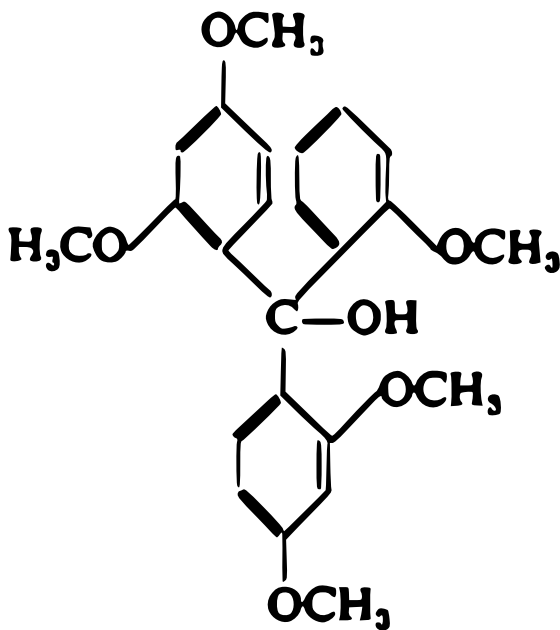


Y. Lourié

AIDE-MÉMOIRE DE CHIMIE ANALYTIQUE



Éditions Mir Moscou

Ю.Ю. ЛУРЬЕ

**СПРАВОЧНИК
ПО АНАЛИТИЧЕСКОЙ
ХИМИИ**

Издательство

• Химия • ● Москва

Aide-mémoire de chimie analytique

par YOULI LOURIÉ

docteur ès sciences chimiques

A l'usage

des chimistes, ingénieurs,

élèves des écoles techniques

Editions Mir • Moscou

**Traduit du russe par
A. Krjijevski**

Table des matières

Notes préliminaires	9
Tableau 1. Masses atomiques des éléments	15
Tableau 2. Éléments radioactifs	20
Tableau 3. Rayons ioniques	21
Tableau 4. Potentiels d'ionisation des atomes et des ions	27
Tableau 5. Structures des couches électroniques extérieures, potentiels ioniques et groupes analytiques de cations (selon Block)	30
Tableau 6. Masses atomiques, masses moléculaires, masses de groupes d'atomes et leurs logarithmes	31
Tableau 7. Facteurs analytiques et stœchiométriques	80
Tableau 8. Solubilités de certains composés minéraux et organiques dans l'eau ...	89
Tableau 9. Solubilités de certains composés minéraux dans des solvants organiques à 18-25 °C.....	120
Tableau 10. Produits de solubilité de principaux corps peu solubles	125
Tableau 11. Coefficients d'activité de divers ions	140
Tableau 12. Coefficients d'activité de divers ions pour des valeurs élevées de la force ionique de la solution	142
Tableau 13. Jaugeage de la verrerie	143
Tableau 14. Calculs des résultats des dosages volumétriques	145
A. Titrages acide-base (acidimétrie et alcalimétrie)	145
B. Dosages d'oxydo-réduction (permanganométrie, chromatométrie, iodométrie, bromatométrie, cériométrie, etc.)	148
C. Méthodes de précipitation et de formation des complexes	154
D. Méthodes de titrage par la complexone III	155
Tableau 15. Réactifs dissimulants dans le titrage par la complexone III	158
Tableau 16. Calcul des résultats des dosages gazométriques	162
A. Volume de gaz ramené aux conditions normales	164
B. Pression de vapeur d'eau au-dessus de l'eau et des solutions absorbantes	181

C. Densités des gaz et des vapeurs (ρ)	182
D. Dosage gazométrique (volumétrique) des substances formant des gaz	184
Tableau 17. Relations entre différents modes d'expression des concentrations	186
Tableau 18. Densités et concentrations des solutions	188
A. Densités et concentrations des solutions d'acide nitrique	188
B. Densités et concentrations des solutions d'acide sulfurique	190
C. Densités et concentrations des solutions d'acide chlorhydrique	193
D. Densités et concentrations des solutions d'acide phosphorique	194
E. Densités et concentrations des solutions d'acide perchlorique	197
F. Densités et concentrations des solutions d'acide acétique	199
G. Densités et concentrations des solutions de potasse	200
H. Densités et concentrations des solutions de soude	202
I. Densités et concentrations des solutions d'ammoniac	204
J. Densités et concentrations des solutions de carbonate de sodium	205
K. Densités et concentrations de certains réactifs commerciaux	206
Tableau 19. Indicateurs de pH ou acide-base les plus importants	207
Tableau 20. Produit ionique de l'eau aux températures de 0 à 100 °C	232
Tableau 21. Dosage colorimétrique du pH des solutions	233
Tableau 22. Constantes de dissociation des indicateurs (pK_1 à différente force ionique)	234
A. Indicateurs unicolores	234
B. Indicateurs bicolores	235
Tableau 23. Certains indicateurs mixtes	236
Tableau 24. Indicateurs universels	239
Tableau 25. Indicateurs de fluorescence les plus importants	241
Tableau 26. Certains indicateurs de chimiluminescence	250
Tableau 27. Indicateurs d'absorption les plus importants	252
Tableau 28. Indicateurs de complexométrie les plus utilisés	256
Tableau 29. Conversion de l'indice d'hydrogène (pH) en activité des ions hydrogène (a_{H^+}) et inversement	292
Tableau 30. Préparation des solutions tampons	293
A. Solutions tampons au pH de 1,10 à 3,50 (HCl—NH ₄ CH ₂ COOH)	294
B. Solutions tampons au pH de 1,10 à 4,96 (HCl—NaH ₂ C ₂ H ₃ O ₇)	295
C. Solutions tampons au pH de 2,20 à 3,80 (HCl—KHC ₂ H ₃ O ₇)	296
D. Solutions tampons au pH de 4,00 à 6,20 (NaOH—KHC ₂ H ₃ O ₇)	297
E. Solutions tampons au pH de 4,96 à 6,69 (NaOH—NaH ₂ C ₂ H ₃ O ₇)	298
F. Solutions tampons au pH de 4,80 à 8,00 (KH ₂ PO ₄ —Na ₂ HPO ₄)	298
G. Solutions tampons au pH de 7,71 à 9,23 (Na ₂ B ₄ O ₇ —HCl)	300
H. Solutions tampons au pH de 9,23 à 11,02 (Na ₂ B ₄ O ₇ —NaOH)	300
I. Solutions tampons au pH de 8,53 à 12,90 (NH ₄ CH ₂ COOH—NaOH) ...	301
Tableau 31. Solutions tampons acéto-acétiques	303
Tableau 32. Mélange tampon universel	304
Tableau 33. Solutions tampons à partir des substances individuelles	305
Tableau 34. Détermination des potentiels d'électrode	306
A. Valeurs de θ pour $n=1$ et aux températures de 0 à 50 °C	309
B. Composition et potentiel de certaines électrodes de référence par rapport à l'électrode normale à hydrogène	309

Tableau 35. Détermination électrométrique du pH	311
A. Potentiel normal d'électrode à quinhydrone ($E^0_{\text{quin/hydr}}$) aux températures de 0 à 50 °C $E^0_{\text{quin/hydr}} = 0,7175 - 0,00074 V$	313
B. Potentiels d'électrode au calomel aux températures de 0 à 50 °C	314
C. Différence entre le potentiel normal d'électrode à quinhydrone ($E^0_{\text{quin/hydr}}$) et les potentiels d'électrode de référence au calomel (E_{rc}) aux températures de 0 à 50 °C	315
Tableau 36. pH de précipitation des hydroxydes de métaux (valeurs approximatives compte tenu de la formation des hydroxocomplexes)	316
Tableau 37. Constantes de dissociation des acides et des bases les plus importants	317
Tableau 38. Constantes d'instabilité des ions complexes	326
A. Complexes avec les ligands minéraux	327
B. Complexes avec les ligands organiques	340
Tableau 39. Mobilité de certains ions à 25 °C et en dilution infinie	346
Tableau 40. Potentiels normaux d'oxydation (E^0) par rapport au potentiel d'électrode normale à hydrogène à 25 °C	347
Tableau 41. Indicateurs d'oxydo-réduction les plus importants	366
A. Indicateurs dont le comportement dépend peu du pH et de la force ionique d'une solution	366
B. Indicateurs sensibles à la variation de pH et de force ionique d'une solution	370
Tableau 42. Longueurs d'onde du spectre et colorations correspondantes	376
Tableau 43. Méthodes photométriques de dosage de divers ions	377
Tableau 44. Propriétés de certains solvants	392
Tableau 45. Extraction par les solvants organiques	398
A. Extraction de divers éléments sous forme de dithizonates (Dx : ion dithizone)	398
B. Extraction de divers éléments sous forme de diéthylthiocarbamates ...	404
C. Extraction de divers éléments sous forme de cupferronates	406
D. Extraction de divers éléments sous forme d'oxyquinolates	408
E. Extraction de divers éléments à partir des acides chlorhydrique, bromhydrique, iodhydrique et nitrique par le volume égal d'éther éthylique ..	410
Tableau 46. Séparation des composés organiques	411
A. Classification des composés individuels d'après leur comportement vis-à-vis de certains réactifs	411
B. Constitution des groupes	413
C. Divers composés organiques classés par les groupes principaux	416
D. Composés répandus dont la position dans les groupes est difficile de prévoir	418
E. Séparation des mélanges	422
Tableau 47. Substances utilisées pour la dessiccation	424
A. Dessiccation des gaz	424
B. Dessiccation des liquides	425
Tableau 48. Préparation des hydrostats	426
Tableau 49. Réactifs organiques les plus importants	428
A. Réactifs mis dans l'ordre alphabétique	428
B. Éléments à doser mis dans l'ordre alphabétique	478

Tableau 50. Echelle des tamis	483
Tableau 51. Valeurs des potentiels des demi-vagues polarographiques sur l'électrode à goutte de mercure	484
Tableau 52. Conditions du titrage ampérométrique de certaines substances (selon Sanguina)	490
Tableau 53. Conditions du titrage ampérométrique avec deux électrodes indicatrices polarisées (selon Sanguina)	512
Tableau 54. Surtension de l'hydrogène et de l'oxygène sur les électrodes différentes	528
Tableau 55. Potentiel de décomposition des solutions 1 N de certains composés ...	530
Tableau 56. Photométrie des flammes	531
Tableau 57. Conversion des unités anglaises et américaines en unités métriques	532
Tableau 58. Table simplifiée des mantisses à cinq chiffres de logarithmes	534
A. Logarithmes	534
B. Antilogarithmes	542
Appendices	550
Index	573

Notes préliminaires

L'expression numérique des résultats de pesées effectuées et d'autres mesures ainsi que les calculs ultérieurs utilisant ces valeurs numériques nécessitent de suivre les règles ci-après.

Règle 1

Toutes les valeurs numériques, aussi bien celles directement données par les mesures que leurs dérivées, doivent inclure un nombre de chiffres significatifs tel que seul le dernier chiffre serait incertain, l'avant-dernier étant précis.

La valeur 20,24 ml, par exemple, qui traduit les indications d'une burette ordinaire, renferme le nombre exigé de chiffres, car le chiffre 4 est obtenu par évaluation approximative, tirée au jugé, d'une distance entre le bord du ménisque et la division d'échelle la plus proche. Donc, ce chiffre est incertain, un autre observateur pourrait lire l'indication de cette burette tout autrement : 20,23 ou 20,25 ml. Si lors du prélèvement d'une solution à l'aide d'une burette, le bord inférieur du ménisque a touché exactement la division d'échelle indiquant 15 ml, le résultat de la mesure sera exprimé par la valeur 15,00 ml, l'erreur d'observation ne dépassant pas 0,01-0,02 ml. Les deux zéros dans le nombre 15,00 sont des chiffres significatifs. Les zéros figurant en tête du nombre jusqu'au premier chiffre non nul ne sont pas considérés comme chiffres significatifs. Ainsi, le nombre qui exprime la masse des cendres d'un filtre — 0,00004 g — ne renferme qu'un seul chiffre significatif — 4.

Si la masse est déterminée en grammes et exprimée par le nombre 23,4 dans lequel le dernier chiffre est contestable et que l'on désire de représenter cette masse en milligrammes, il faudra écrire $234 \cdot 10^2$ mg ou bien $2,34 \cdot 10^4$ mg et non pas 23 400 mg, ce qui donnerait une fausse notion sur la précision de la pesée.

Règle 2

Dans le cas où le dernier chiffre est à rejeter, celui-ci étant égal ou supérieur à 5, il faut augmenter de 1 le chiffre précédent. De la sorte le rejet du dernier chiffre dans le nombre 16,236 fournit 16,24.

Règle 3

Le nombre de chiffres après la virgule présenté dans les résultats d'un calcul (addition ou soustraction) correspond à leur nombre dans le terme renfermant le nombre minimal de décimales.

Règle 4

L'erreur relative limite du produit ou du quotient ne peut être inférieure à celle dans le nombre le moins précis parmi les nombres à opérer.

Les erreurs relatives sont généralement exprimées en p.cent, autrement dit c'est le rapport multiplié par 100 de l'erreur maximale possible du nombre au nombre lui-même. S'il s'agit, par exemple, de multiplier 0,0123-24,62-1,07461 et si l'on adopte que l'erreur maximale absolue ne dépasse pas l'unité en dernière décimale dans chacun de ces nombres, les erreurs relatives correspondantes seront de

$$\frac{1}{123} \cdot 100 = 0,8 \%$$

$$\frac{1}{2462} \cdot 100 = 0,04 \%$$

$$\frac{1}{107461} \cdot 100 = 0,001 \%$$

Le premier nombre a l'erreur relative la plus grande (0,8 %). L'erreur du produit ne sera donc pas inférieure à 0,8 %. Si l'on laisse dans le produit les trois premiers chiffres significatifs — 0,325, le dernier chiffre sera alors incertain, car 0,8 % de 0,325 font environ 0,003.

Dans les cas où l'on suit la Règle 1, c.-à-d. où tous les nombres mis en calcul ne renferment qu'un seul chiffre incertain, on peut accepter la Règle 4,a (qui est plus simple, mais moins exacte).

Règle 4,a

Il importe de laisser dans le résultat d'une multiplication ou d'une division le nombre de chiffres significatifs égal à leur nombre dans celui des termes mis en calcul qui en renferme le moins.

Dans l'exemple ci-dessus le premier des facteurs a trois chiffres significatifs, le deuxième et le troisième en ont respectivement 4 et 6. Donc, on doit laisser dans le produit 3 chiffres significatifs et rejeter les autres ; le résultat sera 0,325.

Règle 5

Dans tous les résultats intermédiaires il importe de laisser un chiffre de plus que l'exigent les règles citées plus haut. On rejette ce « chiffre de réserve » en recherchant un résultat définitif.

Règle 6

Si certaines valeurs ont plus de décimales (addition ou soustraction) ou plus de chiffres significatifs (multiplication ou division) que toutes les autres, il est nécessaire de les arrondir préalablement en laissant un chiffre de plus (voir Règle 5).

Règle 7

Si l'on effectue une multiplication ou une division à l'aide de logarithmes, le nombre de décimales dans les mantisses doit être égal au nombre de chiffres significatifs dans le facteur le moins précis.

Ainsi, en effectuant la majorité de calculs, on peut se reporter à la table de logarithmes donnée p. 534.

A côté d'une précision démesurée et d'ailleurs non justifiée des calculs (une longue série de chiffres après la virgule dans le cas où le premier est déjà incertain, l'utilisation des tables de logarithmes de plusieurs chiffres, etc.), une autre erreur est caractéristique des calculs : la précision exagérée de certaines mesures qui conduit à trouver des chiffres inutiles qui seront de toute façon rejetés lors des calculs ultérieurs (si ces calculs seront réalisés d'une manière correcte).

Les analystes effectuent, dans la règle, toutes les pesées en utilisant la balance analytique à 0,0001 g près et ils restent longtemps devant la balance en déterminant un chiffre précis dans la quatrième décimale. Cependant une telle précision est souvent inutile. En voici quelques exemples :

1. Il est à déterminer la teneur du cuivre rouge en antimoine qui ne doit pas dépasser 0,003 %. Pour l'analyse on prend une prise d'essai de cuivre de 10 g. Avec quelle précision faut-il peser les copeaux de cuivre ?

Le résultat obtenu ne doit renfermer que deux chiffres significatifs, car pour la teneur en Sb de 0,0031 %, le cuivre est à mettre au rebut. On n'a pas besoin de haute précision, d'ailleurs elle n'est pas réalisable par des procédés d'analyse utilisés. Ainsi, l'erreur absolue maximale du résultat

final est de $\pm 0,0001 \%$, ce qui fera $\pm 3,3 \%$ de teneur maximale admissible du métal en Sb. On effectue le calcul à partir de la formule suivante :

$$x = \frac{a \cdot 100}{g} \%$$

où a est la teneur en antimoine trouvée ;

g , la prise d'essai.

Si l'on prend une prise d'essai de cuivre à un dixième de gramme près ($\pm 0,1$ g), cela pourra conduire à une erreur relative de $\pm 1 \%$ par rapport à la prise d'essai de 10 g, ce qui est beaucoup inférieur à $\pm 3,3 \%$. Autrement dit, si l'on pèse 9,9 g ou 10,1 g de cuivre mais pas 10 g, cela amènera, pour la teneur en Sb de 0,30 mg, à 0,00303 % dans le premier cas, et à 0,00297 % dans le deuxième, ces valeurs, dans les deux cas, seront arrondies à 0,0030 %. Donc, on peut effectuer cette pesée avec une balance technique à 0,1 g près.

2. La précision des méthodes colorimétriques (s'il s'agit de déterminer la densité optique des solutions visuellement et non pas à l'aide d'un photolorimètre ou un spectrophotomètre) ne dépasse pas généralement $\pm 5 \%$ relatifs, et dans une série de procédés l'erreur relative atteint $\pm 10 \%$ et encore plus. Selon la Règle 4, la précision d'un résultat ne peut dépasser celle de la mesure la moins précise, c'est pourquoi malgré la précision rigoureuse de pesée d'une prise d'essai pour l'analyse, dans le cas où cette analyse est achevée par un dosage colorimétrique, la précision du résultat ne dépassera pas $\pm 5 \%$ indiqués. De ce fait, si en pesant 1 g de prise d'essai pour l'analyse, on opère à $\pm 0,01$ g près, c.-à-d. avec l'erreur relative limite de $\pm 1 \%$, une telle précision est plus que suffisante.

Les méthodes colorimétriques visuelles ne sont utilisées que pour déterminer les constituants qui sont présents dans une substance à étudier en quantités infimes, lorsqu'une erreur relative importante dans le résultat final est admissible. Mais en dosant le fer dans un minerai ferrifère par la méthode colorimétrique visuelle, on fait intervenir une erreur inadmissible dans le résultat final.

Remarque. Il ne faut pas penser que lors du dosage de faibles quantités de substance quelconque, les méthodes colorimétriques cèdent en précision à d'autres méthodes. Si, dans l'exemple précédent, on déterminait Sb par la méthode gravimétrique et non pas par la méthode colorimétrique (comme cela est réalisé d'habitude), on devrait peser environ 0,0003 g de Sb_2O_3 , ce que l'on ne pourrait guère réaliser avec une erreur limite inférieure à $\pm 30 \%$ relatifs en utilisant une balance analytique ordinaire. De plus, on n'y rend pas compte d'une inévitable erreur importante due à la présence d'impuretés dans le précipité calciné, l'erreur que l'on ne pourrait éliminer même en se servant d'une microbalance.

3. Dans les calculs des résultats des dosages volumétriques le nombre le moins précis est celui de millilitres de solution titrante. Les centièmes de millilitre étant fixés approximativement, on peut adopter que l'erreur maximale de jaugeage imprécis ne dépasse pas $\pm 0,02$ ml. L'erreur due à l'étalement des gouttes sur les parois d'une burette est également de $\pm 0,02$ ml. Ainsi, l'erreur totale peut atteindre $0,04$ ml*. Pour la dépense d'une solution titrante de 20 ml, cela fera $0,2$ % relatif. Il en résulte qu'en prenant 1 g de substance pour l'analyse, on peut bien effectuer la pesée à 1 mg près; cela revient à l'erreur relative de $\pm 0,5$ mg ou $0,05$ %. Si le titrage consomme une quantité de solution titrante inférieure à 20 ml, il suffit une précision de pesée plus faible encore.

Mais pour la *mise en titre* il est nécessaire d'effectuer la pesée d'une substance initiale à l'unité près dans la quatrième décimale, car dans ce cas la prise d'essai ne pèse qu'environ $0,2$ mg et le titrage consomme environ 40 ml de solution titrante.

Si l'on cherche à obtenir une précision plus haute des méthodes volumétriques, il faut remplacer les burettes ordinaires par des burettes gravimétriques**, dont l'emploi permet d'éviter les erreurs dues au jaugeage imprécis, à l'étalement des gouttes sur les parois d'une burette et à la différence de température. C'est la pesée d'une prise d'essai qui devient alors l'opération la moins précise et il faut l'effectuer avec l'erreur relative qui est définie par une précision caractérisant le résultat final ($\pm 0,01$ % et moins).

Tout ce qui vient d'être dit ne doit pas aboutir à conclure qu'il faut toujours peser la prise d'essai à ± 1 mg près. Au contraire, il y a des cas où il est nécessaire d'utiliser pour l'analyse toute la précision que la balance analytique puisse fournir et où même la précision de la microbalance n'est pas suffisante. En voici deux exemples.

4. La teneur du cuivre rouge électrolytique en cuivre doit être de $99,95$ %. Il s'agit d'effectuer le dosage analytique de Cu par électrolyse. Avec quelle précision faut-il réaliser la pesée?

L'erreur du résultat final ne doit pas dépasser $\pm 0,004$ %. Aussi une haute précision doit-elle être assurée lors du prélèvement d'une prise d'essai de cuivre rouge ainsi que lors de la pesée de l'électrode de platine faite avant et après le dépôt du cuivre sur celle-ci. Si l'on prélève 1 g de prise d'essai, l'erreur relative sera égale à $\pm 0,02$ %, ce qui dépassera fortement l'erreur admissible même à condition que la précision de pesée avec une balance analytique soit maximale : $\pm 0,2$ mg. C'est pour cette raison qu'il faut utiliser une balance dont la précision est plus haute que celle d'une

* Voir Kolthoff I. M. and Sandell E. B. *Textbook of quantitative inorganic analysis*. N. Y., Macmillan, 1946.

** Voir Kolthoff I. M. and Sandell E. B. *Textbook of quantitative inorganic analysis*. N. Y., Macmillan, 1946; Kolthoff I. M. and Stenger V. A. *Volumetric analysis*, v. II. Titration methods. N. Y.-L., Interscience publishers, 1947.

balance analytique ordinaire ou bien prendre pour analyse pas moins de 5 g de substance à analyser (ce qu'on fait d'habitude).

5. Supposons qu'il s'agit de doser Zn dans un alliage au cuivre-zinc dont la teneur en zinc est d'environ 20 %. Du fait que l'analyste a à sa disposition une faible quantité de copeaux et en prenant en considération certains avantages que présente la manipulation avec des quantités infimes de substance, on prélève une prise d'essai de 0,02 g. L'analyse est terminée par pesée du précipité sous forme de $\text{Zn}_3\text{P}_2\text{O}_7$. Avec quelle précision faut-il effectuer les pesées ?

Le résultat final doit être exprimé avec la précision aux centièmes de p.ccent près (19,84 % par exemple), c.-à-d. avec l'erreur admissible de $\pm 0,01$ % à $\pm 0,05$ % relatif. La même précision doit être assurée par la pesée du métal et du précipité calciné de $\text{Zn}_3\text{P}_2\text{O}_7$. La pesée étant de 20 mg, la valeur $\pm 0,05$ % fera $\pm 0,01$ mg. Le même pourcentage par rapport à la masse du précipité calciné (8 mg) est encore plus faible, $\pm 0,004$ mg environ. Mais la balance microchimique fournit l'erreur ne dépassant pas $\pm 0,01$ mg. Donc, dans le cas donné même la pesée avec une balance microchimique n'assure pas la précision requise.

Tableau 1

Masses atomiques des éléments

Les masses atomiques de divers éléments ont été calculées avec la précision différente, ce qui se traduit par le nombre différent de décimales après la virgule. Si le nombre représentant la masse atomique se termine avec un ou plusieurs zéros, ceux-ci sont dans ce cas des chiffres significatifs puisqu'ils définissent la précision avec laquelle on a calculé la masse atomique d'un élément donné (voir Règle 1, p. 9).

Lors du calcul des résultats des analyses chimiques ceux-ci ne sont pas à exprimer avec la précision qui dépasserait celle requise pour déterminer la masse atomique. Cette limitation s'impose surtout lorsqu'on cherche à identifier certains éléments du groupe du platine ou certains lanthanides ainsi que le rhénium.

Le *Tableau 1* représente les masses atomiques relatives établies en 1965 par la Commission des masses atomiques de l'Union Internationale de la Chimie pure et appliquée (U. I. C. P. A.). Par décision de cette Commission l'ancienne « unité chimique d'oxygène » de masse atomique (1/16 de masse atomique moyenne du mélange isotopique naturel d'atomes d'oxygène) est remplacée par l'« unité physique de carbone » (1/12 de masse d'atome isotopique de carbone ^{12}C).

Le dernier chiffre du nombre exprimant la masse atomique de tous les éléments, sauf énumérés ci-dessous, est exact à $\pm 0,5$.

Les masses atomiques de six éléments ci-après sont aux limites des erreurs suivantes : bore $\pm 0,003$; carbone $\pm 0,00005$; hydrogène $\pm 0,00001$; oxygène $\pm 0,0001$; silicium $\pm 0,001$; soufre $\pm 0,003$.

La raison de ces écarts est la variation des compositions isotopiques naturelles des éléments indiqués.

A cause des erreurs expérimentales dans la détermination des masses atomiques de six éléments ci-dessous, celles-ci sont données aux limites des erreurs suivantes : argent $\pm 0,001$; brome $\pm 0,001$; chlore $\pm 0,001$; chrome $\pm 0,001$; cuivre $\pm 0,001$; fer $\pm 0,003$.

Les masses atomiques des éléments radioactifs ne sont indiquées que pour le thorium et l'uranium, pour les autres éléments radioactifs on met entre crochets le nombre de masse de l'isotope ayant la période la plus longue.

Tableau 1 (suite)

Symbole	Numéro atomique	Elément	Masse atomique <i>a</i>	lg <i>a</i>
Ac	89	Actinium	[227]	35 603
Ag	47	Argent	107,868	03 289
Al	13	Aluminium	26,9815	43 106
Am	95	Américium	[243]	38 561
Ar	18	Argon	39,948	60 150
As	33	Arsenic	74,9216	87 461
At	85	Astate	[210]	32 222
Au	79	Or	196,967	29 440
B	5	Bore	10,811	03 387
Ba	56	Baryum	137,34	13 780
Be	4	Béryllium	9,0122	95 483
Bi	83	Bismuth	208,980	32 010
Bk	97	Berkélium	[247]	39 620
Br	35	Brome	79,904	90 257
C	6	Carbone	12,01115	07 958
Ca	20	Calcium	40,08	60 293
Cd	48	Cadmium	112,40	05 077
Ce	58	Cérium	140,12	14 650
Cf	98	Californium	[252]	41 040
Cl	17	Chlore	35,453	54 965
Cm	96	Curium	[247]	39 270
Co	27	Cobalt	58,9332	77 036
Cr	24	Chrome	51,996	71 597
Cs	55	Césium	132,905	12 354
Cu	29	Cuivre	63,546	80 309
Dy	66	Dysprosium	162,50	21 085
Er	68	Erbium	167,26	22 340
Es	99	Einsteinium	[254]	40 483
Eu	63	Europium	151,96	18 173
F	9	Fluor	18,9984	27 872

Tableau 1 (suite)

Symbole	Numéro atomique	Élément	Masse atomique a	lg a
Fe	26	Fer	55,847	74 700
Fm	100	Fermium	[257]	40 993
Fr	87	Francium	[223]	34 830
Ga	31	Gallium	69,72	84 336
Gd	64	Gadolinium	157,25	19 659
Ge	32	Germanium	72,59	86 088
H	1	Hydrogène	1,00797	00 345
He	2	Hélium	4,0026	60 235
Hf	72	Hafnium	178,49	25 162
Hg	80	Mercure	200,59	30 231
Ho	67	Holmium	164,930	21 730
I	53	Iode	126,9044	10 348
In	49	Indium	114,82	06 002
Ir	77	Iridium	192,2	28 375
K	19	Potassium	39,102	59 220
Kr	36	Krypton	83,80	92 324
Ku	104	Kurchatovium	[264]	42 160
La	57	Lanthane	138,91	14 273
Li	3	Lithium	6,939	84 130
Lr	103	Lawrencium	[256]	40 824
Lu	71	Lutécium	174,97	24 297
Md	101	Mendélévium	[257]	40 993
Mg	12	Magnésium	24,305	38 570
Mn	25	Manganèse	54,9380	73 987
Mo	42	Molybdène	95,94	98 200
N	7	Azote	14,0067	14 634
Na	11	Sodium	22,9898	36 154
Nb	41	Niobium	92,906	96 804
Nd	60	Néodyme	144,24	15 909
Ne	10	Néon	20,179	30 490
Ni	28	Nickel	58,71	76 871

Tableau 1 (suite)

Symbole	Numéro atomique	Élément	Masse atomique a	lg a
No	102	Nobélium	[255]	40 654
Np	93	Neptunium	[237]	37 475
O	8	Oxygène	15,9994	20 410
Os	76	Osmium	190,2	27 921
P	15	Phosphore	30,9738	49 099
Pa	91	Protactinium	[231]	36 361
Pb	82	Plomb	207,19	31 637
Pd	46	Palladium	106,4	02 694
Pm	61	Prométhium	[145]	16 137
Po	84	Polonium	[210]	32 222
Pr	59	Praséodyme	140,907	14 893
Pt	78	Platine	195,09	29 024
Pu	94	Plutonium	[244]	38 739
Ra	88	Radium	[226]	35 411
Rb	37	Rubidium	85,47	93 181
Re	75	Rhénium	186,2	26 998
Rh	45	Rhodium	102,905	01 244
Rn	86	Radon	[222]	34 635
Ru	44	Ruthénium	101,07	00 462
S	16	Soufre	32,064	50 602
Sb	51	Antimoine	121,75	08 547
Sc	21	Scandium	44,956	65 279
Se	34	Sélénium	78,96	89 741
Si	14	Silicium	28,086	44 849
Sm	62	Samarium	150,35	17 711
Sn	50	Étain	118,69	07 441
Sr	38	Strontium	87,62	94 260
Ta	73	Tantale	180,948	25 755
Tb	65	Terbium	158,924	20 119
Tc	43	Technétium	[99]	99 564

Tableau 1 (suite)

Symbole	Numéro atomique	Elément	Masse atomique <i>a</i>	lg <i>a</i>
Te	52	Tellure	127,60	10 585
Th	90	Thorium	232,038	36 556
Ti	22	Titane	47,90	68 034
Tl	81	Thallium	204,37	31 042
Tm	69	Thulium	168,934	22 772
U	92	Uranium	238,03	37 663
V	23	Vanadium	50,942	70 708
W	74	Tungstène	183,85	26 446
Xe	54	Xénon	131,30	11 826
Y	39	Yttrium	88,905	94 893
Yb	70	Ytterbium	173,04	23 815
Zn	30	Zinc	65,37	81 538
Zr	40	Zirconium	91,22	96 009

Tableau 2

Eléments radioactifs

Symbole	Nombre atomique Z	Nombre de masse de l'isotope à plus longue période	Période	Rayonnement
Ac	89	227	22 a	α , β^-
Am	95	243	$7,8 \cdot 10^3$ a	α
At	85	210	8,3 h	Capture électronique, α
Bk	97	247	1400 a	α
Cf	98	252	360 a	α
Cm	96	247	$1,6 \cdot 10^7$ a	α
Es	99	254	270 j	α
Fm	100	257	3 j	Capture électronique, α
Fr	87	223	22 mn	α , β^-
Lr	103	256	8 s	α
Md	101	257	1,5 h	Capture électronique
No	102	255	~ 8 s	α
Np	93	237	$2,1 \cdot 10^6$ a	α
Pa	91	231	$3,2 \cdot 10^4$ a	α
Pm	61	145	18 a	β^-
Po	84	210	138,4 j	α
Pu	94	242	$3,8 \cdot 10^4$ a	α
Ra	88	226	1622 a	α
Rn	86	222	3,83 j	α
Tc	43	99	$2,1 \cdot 10^5$ a	β^-
Th	90	232	$1,4 \cdot 10^{10}$ a	α
U	92	238	$4,5 \cdot 10^9$ a	α

Tableau 3

Rayons ioniques

Les valeurs des rayons ioniques sont données en angströms (Å) pour une coordination 6. Dans le cas où la coordination est égale à 4, il y a correction de - 6 %, pour une coordination 8, la correction vaut + 3 % et pour une coordination 12, elle fait + 12 %.

Élément	Charge ionique	Valeur du rayon (Å)			
		selon Goldschmidt	selon Pauling	selon Bélyov et Boky	selon d'autres données
Ac	+ 3	—	—	1,11	1,19
Ag	+ 1	1,13	1,26	1,13	—
Al	+ 3	0,57	0,50	0,57	—
Am	+ 4	—	—	0,85	—
	+ 3	—	—	1,00	0,99
As	+ 5	—	0,47	0,47	—
	+ 3	0,69	—	0,69	0,58
	- 3	—	2,22	1,91	—
	+ 4	—	—	—	0,89
Au	+ 3	—	—	0,85	0,90
	+ 1	—	1,37	1,37	—
B	+ 3	—	0,20	0,21	—
BF ₄ ⁻	- 1	—	—	—	2,28
Ba	+ 2	1,43	1,35	1,38	—
Be	+ 2	0,34	0,31	0,34	—
Bi	+ 5	—	0,74	0,74	—
	+ 3	—	—	1,20	1,16
	- 3	—	—	2,13	—
Br	+ 7	—	0,39	0,39	—
	+ 5	—	—	—	0,47
	- 1	1,96	1,95	1,96	—
C	+ 4	0,2	0,15	0,20	—
	- 4	—	2,60	2,60	—
CN ⁻	- 1	—	—	—	1,92
Ca	+ 2	1,06	0,99	1,04	—
Cd	+ 2	1,03	0,97	0,99	0,92

Tableau 3 (suite)

Élément	Charge ionique	Valeur du rayon (Å)			
		selon Goldschmidt	selon Pauling	selon Bély et Boky	selon d'autres données
Ce	+4	1,02	1,01	0,88	0,93; 0,87
	+3	1,18	—	1,02	1,00; 1,02
Cl	+7	—	0,26	0,26	—
	+5	—	—	—	0,34
	-1	1,81	1,81	1,81	—
	-1	—	—	—	2,36
Co	+3	0,64	—	0,64	0,72
	+2	0,82	0,72	0,78	0,78; 0,80
Cr	+6	0,35	—	0,35	—
	+3	—	—	0,64	0,62
	+2	0,83	—	0,83	—
	-2	—	—	—	3,00
Cs	+1	1,65	1,69	1,65	—
Cu	+2	0,70	—	0,80	0,69; 0,82
	+1	—	0,96	0,98	0,95
Dy	+3	1,07	—	0,88	0,91
Er	+3	1,04	—	0,85	0,87
Eu	+3	1,13	—	0,97	0,96
	+2	—	—	—	1,09; 1,24
F	+7	—	0,07	0,07	—
	-1	1,33	1,36	1,33	—
Fe	+3	0,67	—	0,67	0,73
	+2	0,83	0,75	0,80	0,75
Ga	+3	0,62	0,62	0,62	—
Gd	+3	1,11	—	0,94	0,94
Ge	+4	0,44	0,53	0,44	—
	+2	—	—	0,65	0,98; 0,73
	-4	—	2,72	—	—
H	-1	1,54	2,08	1,36	—
Hf	+4	—	—	0,82	0,86
Hg	+2	1,12	1,10	1,12	1,05
Ho	+3	1,05	—	0,86	0,89
I	+7	—	0,50	0,50	—
	+5	0,94	—	—	0,98
	+1	—	—	—	1,30
	-1	2,20	2,16	2,20	2,19

Tableau 3 (suite)

Élément	Charge ionique	Valeur du rayon (Å)			
		selon Goldschmidt	selon Pauling	selon Bélyov et Boky	selon d'autres données
In	+3	0,92	0,81	0,92	—
	+1	—	—	1,30	—
Ir	+4	0,66	0,64	0,65	0,75; 0,68
	+3	—	—	—	0,81
	+2	—	—	—	0,89
K	+1	1,33	1,33	1,33	—
La	+4	—	—	0,90	—
	+3	1,22	1,15	1,04	—
Li	+1	0,78	0,60	0,68	—
Lu	+3	0,99	—	0,80	0,84
Mg	+2	0,78	0,65	0,74	—
Mn	+7	—	0,46	0,46	—
	+4	0,52	0,50	0,52	—
	+3	0,70	—	0,70	0,67
	+2	0,91	0,80	0,91	—
Mo	+6	—	0,62	0,65	—
	+4	0,68	0,66	0,68	—
N	MoO ₄ ²⁻	—	—	—	3,45
	+5	0,15	0,11	0,15	0,13
	+3	—	—	—	0,16
	—3	—	1,71	1,48	1,30
NH ₄ ⁺ NO ₃ ⁻	+1	1,43	—	—	1,59
	—1	—	—	—	1,89; 2,57
Na	+1	0,98	0,95	0,98	—
Nb	+5	0,69	0,70	0,66	—
	+4	0,69	0,67	0,67	0,74
Nd	+3	1,15	—	0,99	0,99
Ni	+3	0,35	—	—	—
	+2	0,78	0,69	0,74	0,68; 0,79
	+6	—	—	—	0,82
	+5	—	—	—	0,88
Np	+4	—	—	0,88	0,92
	+3	—	—	1,02	1,01
O	+6	—	0,09	0,09	—
	—2	1,32	1,40	1,36	1,45

Tableau 3 (suite)

Elément	Charge ionique	Valeur du rayon (Å)			
		selon Goldschmidt	selon Pauling	selon Bélyov et Boky	selon d'autres données
Os	OH^-	-1	-	-	1,53; 1,33
	OH_2^+	+1	-	-	1,35
		+4	0,67	0,65	0,75
		+3	-	-	0,81
P		+2	-	-	0,89
		+5	0,35	0,35	-
		+3	-	-	0,44
		-3	-	2,12	1,86
Pa	PO_4^{3-}	-3	-	-	3,00
		+4	-	0,91	0,96
		+3	-	1,06	1,05
Pb		+4	0,84	0,84	0,76
Pd		+2	1,32	1,21	1,26
		+4	-	-	0,64
		+2	-	-	1,17
Pm		+3	-	0,98	0,98
Pr		+4	1,00	0,92	0,92
Pt		+3	1,16	-	1,00
		+4	-	0,64	0,76
		+2	-	-	0,90; 0,87
		+6	-	-	0,81
Pu		+5	-	-	0,87
		+4	-	0,86	0,90
		+3	-	1,02	1,00
Ra		+2	1,52	-	1,44
Rb		+1	1,49	1,48	1,49
Re		+7	-	-	0,56
		+6	-	-	0,55
		+4	-	0,52	0,63
		+4	-	0,72	0,62
Rh		+4	-	0,65	0,67
		+3	-	0,75	0,71
		+4	0,65	0,63	0,62
Ru		+3	-	-	0,74
		+2	-	-	0,85
		+6	0,34	0,29	0,30
S					-

Tableau 3 (suite)

Élément	Charge ionique	Valeur du rayon (Å)			
		selon Goldschmidt	selon Pauling	selon Bélyov et Boky	selon d'autres données
Sb	+4	—	—	—	0,37
	-2	1,74	1,84	1,86	1,90
	-1	—	—	—	2,00
	-2	—	—	—	2,95
	-1	—	—	—	2,06
	+5	—	0,62	0,62	—
	+3	0,90	—	0,90	—
	-3	—	2,45	2,08	—
	+3	0,83	0,81	0,83	—
	+6	—	—	0,35	0,42
Se	+4	—	—	0,69	0,56
	-2	1,91	1,98	1,93	1,91
	+4	0,39	0,41	0,39	—
	-4	—	2,71	—	—
Si	-4	—	—	—	2,90
	+3	1,13	—	0,97	0,97
	+2	—	—	—	1,11
Sm	+4	0,74	0,71	0,67	—
	+2	—	—	1,02	—
	-4	—	2,94	—	—
Sr	+2	1,27	1,13	1,20	1,10
	+5	—	—	0,66	0,73
	+3	1,09	—	0,89	0,92
Tb	+6	—	0,56	0,56	0,61
	+4	0,89	0,81	0,89	—
	-2	2,11	2,21	2,22	—
Te	+4	1,10	1,02	0,95	0,99
	+3	—	—	1,08	1,08
	+4	0,64	0,68	0,64	—
Th	+3	0,69	—	0,69	—
	+2	0,80	—	0,78	0,76
	+3	1,05	0,95	1,05	—
Ti	+1	1,49	1,44	1,36	—
	+3	1,04	—	0,85	0,86
	+6	—	—	—	0,83
Tm					
U					

Tableau 3 (suite)

Élément	Charge ionique	Valeur du rayon (Å)			
		selon Goldschmidt	selon Pauling	selon Bélyov et Boky	selon d'autres données
V	+ 5	—	—	—	0,87
	+ 4	1,05	0,97	0,95	0,93; 0,89
	+ 3	—	—	1,04	1,03
	+ 5	0,4	0,59	—	0,59
	+ 4	0,61	0,59	0,61	0,64
	+ 3	0,65	—	0,67	—
W	+ 2	0,72	—	0,72	—
	+ 6	—	—	0,65	—
	+ 4	0,68	0,66	0,68	—
Y	+ 3	1,06	0,93	0,97	—
Yb	+ 3	1,00	—	0,81	0,85
Zn	+ 2	0,83	0,74	0,83	0,70
Zr	+ 4	0,87	0,80	0,82	—

Tableau 4

Potentiels d'ionisation des atomes et des ions

On appelle *potentiel d'ionisation* la tension minimale du champ électrique, nécessaire pour arracher un électron de l'atome ou de l'ion.

On indique dans le *Tableau 4* les potentiels d'ionisation successifs des atomes et ions, c.-à-d. les potentiels nécessaires pour détacher un électron de l'atome neutre non excité ($X - e \rightarrow X^+$) et les potentiels requis pour arracher un électron de l'ion monochargé (positif) non excité ($X^+ - e \rightarrow X^{2+}$), etc.

Les valeurs insuffisamment sûres du potentiel d'ionisation sont mises entre parenthèses.

Elément	$X - e \rightarrow X^+$	$X^+ - e \rightarrow X^{2+}$	$X^{2+} - e \rightarrow X^{3+}$	$X^{3+} - e \rightarrow X^{4+}$	$X^{4+} - e \rightarrow X^{5+}$	$X^{5+} - e \rightarrow X^{6+}$
Ac	6,89	11,5	—	—	—	—
Ag	7,57	21,48	6,10	(52)	(70)	(89)
Al	5,98	18,82	28,44	119,96	153,8	190,4
Ar	15,76	26,62	40,90	59,79	75,0	91,3
As	9,81	18,7	28,3	50,1	62,9	127,5
Au	9,22	20,5	30,5	(44)	(58)	(73)
B	8,30	25,15	37,92	259,30	340,13	—
Ba	5,81	10,00	37	(49)	(62)	(80)
Be	9,32	18,21	153,9	217,7	—	—
Bi	7,29	19,3	25,6	45,3	56,0	94,4
Br	11,84	21,6	35,9	47,3	59,7	88,6
C	11,26	24,38	47,86	64,48	392,0	489,8
Ca	6,11	11,87	51,21	67,3	84	109
Cd	8,99	16,90	44,5	(55)	(73)	(94)
Ce	6,91	12,3	19,5	36,7	(70)	(85)
Cl	13,01	23,80	39,9	53,3	67,8	96,6
Co	7,86	17,05	33,5	(53)	(82)	(109)
Cr	6,76	16,49	31	(51)	73	90,6
Cs	3,89	25,1	34,6	(46)	(62)	(74)
Cu	7,72	20,29	36,83	(59)	(83)	(109)
Dy	6,82	—	—	—	—	—

Tableau 4 (suite)

Elément	$X-e \rightarrow X^+$	$X^+-e \rightarrow -X^{2+}$	$X^{2+}-e \rightarrow -X^{3+}$	$X^{3+}-e \rightarrow -X^{4+}$	$X^{4+}-e \rightarrow -X^{5+}$	$X^{5+}-e \rightarrow -X^{6+}$
Eu	5,67	11,24	—	—	—	—
F	17,42	34,98	62,65	87,23	114,2	157,1
Fe	7,90	16,18	30,64	(56)	(79)	103
Ga	6,00	20,51	30,70	64,2	(90)	(118)
Gd	6,16	12	—	—	—	—
Ge	7,88	15,93	34,21	45,7	93,4	(123)
H	13,60	—	—	—	—	—
He	24,58	54,40	—	—	—	—
Hf	5,5	14,9	(21)	(31)	—	—
Hg	10,43	18,75	34,2	(46)	(61)	(77)
I	10,44	19,0	33	(42)	71	83
In	5,79	18,86	28,0	58	(77)	(98)
K	4,34	31,8	45,9	61,1	82,6	99,4
Kr	14,00	24,56	36,9	52,6	64,7	78,5
La	5,61	11,43	19,17	(52)	(66)	(80)
Li	5,39	75,62	122,4	—	—	—
Lu	6,15	14,7	(19)	—	—	—
Mg	7,64	15,03	78,2	109,3	141,2	186,8
Mn	7,43	15,64	33,69	(53)	(76)	100
Mo	7,13	15,72	29,6	46,4	61,2	67
N	14,54	29,60	47,43	77,45	97,86	552
Na	5,14	47,29	71,65	98,88	138,6	172,4
Nb	6,88	13,90	28,1	38,3	50	110,4
Nd	6,31	—	—	—	—	—
Ne	21,56	41,07	63,5	97,2	126,4	157,9
Ni	7,63	18,15	36,16	56	79	113
O	13,61	35,15	54,93	77,39	113,9	138,1
Os	8,7	17	25	40	54	68
P	10,55	19,65	30,16	51,35	65,01	220,4
Pb	7,42	15,03	31,93	39,0	69,7	84
Pd	8,33	19,42	(33)	(49)	(66)	(90)
Po	8,2	19,4	27,3	(38)	(61)	(73)
Pr	5,76	—	—	—	—	—
Pt	8,96	18,54	(29)	(41)	(55)	(75)
Ra	5,28	10,14	(34)	(46)	(59)	(76)
Rb	4,18	27,56	40	52,6	71,0	84,4
Re	7,87	16,6	(26)	(38)	(51)	(65)

Tableau 4 (suite)

Elément	$X - e \rightarrow X^+$	$X^+ - e \rightarrow X^{2+}$	$X^{2+} - e \rightarrow X^{3+}$	$X^{3+} - e \rightarrow X^{4+}$	$X^{4+} - e \rightarrow X^{5+}$	$X^{5+} - e \rightarrow X^{6+}$
Rh	7,46	15,92	32,8	(46)	(67)	(85)
Rn	10,75	21,4	29,4	(44)	(55)	(67)
Ru	7,36	16,60	30,3	(47)	(63)	(81)
S	10,36	23,4	34,8	47,3	72,5	88,0
Sb	8,64	16,7	24,8	44,1	63,8	119
Sc	6,56	12,89	24,75	73,9	91,8	111
Se	9,75	21,5	32,0	42,9	68,3	82,1
Si	8,15	16,34	33,46	45,1	166,7	205,1
Sm	5,6	11,2	—	—	—	—
Sn	7,33	14,6	30,7	46,4	91	(103)
Sr	5,69	11,03	43,6	57,1	71,6	90,8
Ta	7,7	16,2	(22)	(33)	(45)	—
Tb	6,74	—	—	—	—	—
Tc	7,23	14,87	31,9	(43)	(59)	(76)
Te	9,01	18,8	31	38	66	83
Th	—	11,5	20,0	28,7	(65)	(80)
Ti	6,83	13,57	28,14	43,24	99,8	119
Tl	6,11	20,42	29,8	50	(64)	(81)
V	6,74	14,2	29,7	48,0	65,2	128,9
W	7,98	17,7	(24)	(35)	(48)	(61)
Xe	12,13	21,2	32,1	(45)	(57)	89
Y	6,38	12,23	20,5	61,8	77,0	93,0
Yb	6,2	12,10	—	—	—	—
Zn	9,39	17,96	39,70	(62)	(86)	(114)
Zr	6,84	12,92	24,8	33,97	82,3	99,4

Couche extérieure complétée à 2 ou à 8 électrons	
$\text{Cs}^+ \text{Rb}^+ \text{NH}_4^+ \text{K}^+ \text{Na}^+ \text{Li}^+$ 0,6 0,7 0,7 0,8 1,0 1,3	$\text{Ra}^{2+} \text{Ba}^{2+} \text{Sr}^{2+} \text{Ca}^{2+}$ 1,3 1,4 1,6 1,9
Groupe I	
Premier sous-groupe du groupe III	
$\text{La}^{3+} \text{Ce}^{3+} \text{Mg}^{2+} \text{Y}^{3+} \text{Sc}^{3+} \text{Zr}^{4+} \text{Hf}^{4+} \text{Al}^{3+} \text{Be}^{2+} \text{Tl}^{1+}$ 2,5 2,5 2,6 2,8 3,6 4,6 4,6 5,3 5,9 6,2	
Couche extérieure non complétée à 18 électrons	
$\text{Mn}^{2+} \text{Fe}^{2+} \text{Co}^{2+} \text{Ni}^{2+} \text{Fe}^{3+} \text{Cr}^{3+}$ 2,2 2,4 2,4 2,6 4,5 4,6	$\text{Cu}^{2+} \text{Ru}^{3+} \text{Rh}^{3+} \text{Os}^{IV} \text{Ir}^{IV}$ 2,5 ? 4,4 6,0 6,0
Deuxième sous-groupe du groupe III	
Groupes IV et V	
Couche extérieure complétée à 18 électrons	
$\text{Au}^+ \text{Ag}^+ \text{Cu}^+ \text{Hg}^{2+} \text{Cd}^{2+} \text{Zn}^{2+} \text{In}^{3+}$ 0,7 0,9 1,0 1,8 1,9 2,4 3,3	$\text{Ga}^{3+} \text{Sn}^{IV} \text{Ge}^{IV} \text{Sb}^V \text{As}^V$ 4,9 5,4 7,5 8,1 10,6
Groupe IV	
Groupe V	
Structure électronique extérieure 18+2	
$\text{Tl}^+ \text{Pb}^{2+} \text{Sn}^{2+} \text{Bi}^{3+}$ 0,6 1,5 1,9 2,6	$\text{Sb}^{III} \text{As}^{III}$ 3,3 4,4
Groupe IV	
Groupe V	

Tableau 6

Masses atomiques, masses moléculaires*, masses de groupes d'atomes et leurs logarithmes

Lors de l'établissement du *Tableau 6*, toutes les additions des masses atomiques ont été effectuées suivant les règles 2 et 3 (p. 10) et toutes les décimales inutiles ont été rejetées.

Les masses atomiques de tous les éléments (sauf douze éléments énumérés ci-dessous) sont exprimées par les nombres dont la dernière décimale est exacte à $\pm 0,5$. Lorsqu'on trouve une partie fractionnaire de masse atomique, l'erreur passe évidemment à l'autre décimale toujours en conservant sa valeur, cette décimale devient alors le premier des chiffres contestables. Ainsi, le nombre total de décimales augmente de 1. Si, par exemple, la masse atomique du titane (Ti) est égale à 47,90, la moitié de cette masse ($1/2\text{Ti}$) fera 23,950, mais pas 23,95 ; $\text{Sn} = 118,69$, $1/2\text{Sn} = 59,345$.

Lorsqu'on trouve un multiple de la masse atomique, l'erreur croît, et s'il s'agit d'augmenter la masse atomique de 10 fois, il faut arrondir le nombre en diminuant de 1 le nombre total des décimales. Ainsi, la masse atomique de l'azote (N) est égale à 14,0067, cependant 10N ne sont pas égales à 140,067, mais à 140,07.

La multiplication de la masse atomique du fer par 2 seulement impliquera une erreur aux limites $\pm 0,006$ et, donc, celle-ci peut passer en décimale précédente ; si, par exemple, $\text{Fe} = 55,847$, 2Fe feront 111,69, mais pas 111,694. La division de la masse atomique du fer par 3 impliquera une erreur maximale aux limites $\pm 0,0001$ et, par conséquent, le nombre total de décimales ne doit pas augmenter : $1/3\text{Fe} = 18,615$.

Le même raisonnement reste valable dans le cas où l'on fait la somme de masses atomiques de divers éléments : si la somme d'erreurs maximales possibles est égale ou supérieure à ± 5 dans la dernière décimale, il faudra effectuer un arrondissement en diminuant de 1 le nombre total de décimales.

* Les masses moléculaires des solvants et des réactifs organiques ne figurant pas dans le *Tableau 6* sont représentées respectivement aux *Tableaux 44* et *49*.

Tableau 6 (suite)

Formule	Masse <i>a</i>	lg <i>a</i>
Ag	107,868	03 289
2Ag	215,736	33 392
3Ag	323,604	51 001
Ag ₃ AsO ₃	446,524	64 984
Ag ₃ AsO ₄	462,523	66 513
AgBr	187,772	27 363
AgC ₂ H ₃ O ₂	166,913	22 249
(acétate)		
AgC ₇ H ₄ NS ₂	274,11	43 792
(mercaptobenzothiazolide)		
AgCN	133,886	12 674
Ag ₂ CO ₃	277,741	44 364
AgCl	143,321	15 631
Ag ₂ CrO ₄	331,730	52 078
Ag ₂ Cr ₂ O ₇	431,730	63 521
AgF	126,866	10 335
Ag ₃ Fe(CN) ₆	535,56	72 881
Ag ₄ Fe(CN) ₆	643,43	80 850
AgI	234,772	37 065
AgNO ₂	153,874	18 717
AgNO ₃	169 873	23 012
Ag ₂ O	231,735	36 499
AgOCN	149,885	17 576
Ag ₃ PO ₄	418,575	62 177
Ag ₂ S	247,80	39 410
AgSCN	165,950	21 998
Ag ₂ SO ₄	311,80	49 388
AgVO ₃	206,808	31 555
Ag ₃ VO ₄	438,544	64 201
Al	26,9815	43 106
1/3Al	8,99383	95 394
2Al	53,9630	73 210
3Al	80,9445	90 819
4Al	107,9260	03 313

Tableau 6 (suite)

Formule	Mass	lg a
5Al	134,9075	13 003
6Al	161,8810	20 922
AlBr ₃	266,691	42 601
Al(C ₂ H ₃ O ₂) ₃	204,117	30 988
(acétate)		
Al(C ₉ H ₆ ON) ₃	459,444	66 223
(oxyquinoléate)		
AlCl ₃	133,341	12 496
AlCl ₃ ·6H ₂ O	241,433	38 280
AlF ₃	83,976	92 416
AlF ₆	140,971	14 913
AlK(SO ₄) ₂ ·12H ₂ O	Cf. KAl(SO ₄) ₂ ·12H ₂ O	
AlNH ₄ (SO ₄) ₂ ·12H ₂ O	Cf. NH ₄ Al(SO ₄) ₂ ·12H ₂ O	
Al(NO ₃) ₃	212,996	32 837
Al(NO ₃) ₃ ·9H ₂ O	375,134	57 419
Al ₂ O ₃	101,9612	00 843
1/6Al ₂ O ₃	16,9935	23 028
Al(OH) ₃	78,0036	89 211
AlPO ₄	121,953	08 619
Al ₂ (SO ₄) ₃	342,15	53 422
Al ₂ (SO ₄) ₃ ·18H ₂ O	666,42	82 375
As	74,9216	87 461
1/2As	37,46080	57 358
1/3As	24,97387	39 748
1/5As	14,98432	17 564
2As	149,8432	17 564
AsBr ₃	314,634	49 781
AsCl ₃	181,281	25 835
AsCl ₅	252,187	40 172
AsH ₃	77,9455	89 179
AsO ₃	122,9198	08 962
AsO ₄	138,9192	14 276
As ₂ O ₃	197,8414	29 632
1/4As ₂ O ₃	49,4603	69 426

Tableau 6 (suite)

Formule	Masse a	lg a
As ₂ O ₅	229,8402	36 143
As ₂ O ₇	261,8390	41 803
AsS ₄	203,18	30 788
As ₂ S ₃	246,04	39 101
As ₂ S ₅	310,16	49 159
Au	196,967	29 439
1/3Au	65,6557	81 727
2Au	393,934	59 542
AuCN	222,985	34 828
Au(CN) ₂	249,003	39 620
Au(CN) ₄	301,038	47 862
AuCl ₃	303,326	48 191
AuCl ₃ ·2H ₂ O	339,357	53 066
AuCl ₄	338,779	52 992
B	10,811	03 387
1/3B	3,604	55 678
2B	21,62	33 490
3B	32,43	51 099
4B	43,24	63 593
BBr ₃	250,52	39 884
BCl ₃	117,17	06 882
BF ₃	67,806	83 127
BF ₄	86,805	93 854
BO ₂	42,810	63 155
BO ₃	58,809	76 944
B ₂ O ₃	69,62	84 273
B ₄ O ₇	155,24	19 100

Tableau 6 (suite)

Formule	Masse <i>a</i>	lg <i>a</i>
Ba	137,34	13 780
1/2Ba	68,670	83 677
2Ba	274,68	43 883
3Ba	412,02	61 492
BaBr ₂	297,15	47 298
BaBr ₂ ·2H ₂ O	333,18	52 268
BaCO ₃	197,35	29 524
Ba(C ₂ H ₃ O ₂)·H ₂ O	273,45	43 688
(acétate)		
BaC ₂ O ₄	225,36	35 288
(oxalate)		
BaCl ₂	208,25	31 859
BaCl ₂ ·2H ₂ O	244,28	38 789
Ba(ClO ₃) ₂ ·H ₂ O	322,26	50 821
BaClO ₄	236,79	37 436
BaClO ₄ ·3H ₂ O	290,84	46 365
BaCrO ₄	253,33	40 369
BaF ₂	175,34	24 388
Ba(NO ₃) ₂	261,35	41 722
BaO	153,34	18 566
1/2BaO	76,67	88 463
BaO ₂	169,34	22 876
Ba(OH) ₂	171,35	23 388
Ba(OH) ₂ ·8H ₂ O	135,48	49 899
1/2Ba(OH) ₂ ·8H ₂ O	157,74	19 794
BaSO ₃	217,40	35 679
BaSO ₄	233,40	36 810
BaSeO ₄	280,30	44 762
BaSiF ₆	279,42	44 626
Be	9,0122	95 483
1/2Be	4,50610	65 380
2Be	18,0244	25 586
BeCO ₃	69,0216	83 898
BeCO ₃ ·4H ₂ O	141,0829	14 947

Tableau 6 (suite)

Formule	Masse <i>a</i>	lg <i>a</i>
BeCl ₂	79,918	90 264
BeCl ₂ ·4H ₂ O	151,980	18 179
BeF ₂	47,0090	67 218
BeF ₄	85,0058	92 945
Be(NO ₃) ₂ ·3H ₂ O	187,068	27 200
BeO	25,0116	39 814
Be(OH) ₂	43,0269	63 374
Be ₃ P ₂ O ₇	191,968	28 323
BeSO ₄	105,074	02 149
BeSO ₄ ·4H ₂ O	177,135	24 830
<hr/>		
Bi	208,980	32 010
1/3Bi	69,6600	84 298
2Bi	417,960	62 113
BiC ₆ H ₃ O ₃	332,069	52 123
(pyrogallate)		
Bi(C ₉ H ₆ ON) ₃	641,443	80 716
(oxyquinoléate)		
Bi(C ₉ H ₆ ON) ₃ ·H ₂ O	659,458	81 919
(oxyquinoléate)		
Bi(C ₁₂ H ₁₀ ONS) ₃ ·H ₂ O	875,85	94 243
(thionalide)		
BiCl ₃	315,339	49 878
BiCr(SCN) ₆	609,47	78 495
BiI ₃	589,693	77 063
BiI ₅	716,598	85 528
(BiI ₄ H)(C ₉ H ₆ ON)	862,768	93 589
(oxyquinoléine)		
(BiI ₄ H)(C ₁₀ H ₉ N)	860,796	93 490
(quinaldine)		
Bi(NO ₃) ₃	394,995	59 659
Bi(NO ₃) ₃ ·5H ₂ O	485,071	68 580
Bi ₂ O ₃	465,958	66 834
(BiO) ₂ CO ₃ ·1/2H ₂ O	518,976	71 515
BiOBr	304,883	48 413
BiOCl	260,432	41 569

Tableau 6 (suite)

Formule	Masse <i>a</i>	lg <i>a</i>
(BiO) ₂ Cr ₂ O ₇	665,947	82 344
BiONO ₃ ·H ₂ O	305,000	48 430
BiPO ₄	303,951	48 280
Bi ₂ S ₃	514,15	71 109
Br	79,904	90 257
2Br	159,808	20 360
3Br	239,712	37 969
4Br	319,616	50 463
5Br	399,52	60 154
6Br	479,42	68 072
BrO	95,903	95 183
BrO ₃	127,902	10 688
1/6BrO ₃	21,3170	32 873
C	12,01115	07 958
2C	24,0223	38 061
3C	36,0335	55 671
4C	48,0446	68 164
5C	60,0558	77 855
6C	72,0669	85 774
7C	84,0781	92 468
8C	96,0892	98 267
CCl ₄	153,823	18 702
CH ₂	14,0271	14 697
2CH ₂	28,0542	44 800
3CH ₂	42,0813	62 409
4CH ₂	56,1084	74 903
5CH ₂	70,1355	84 594
6CH ₂	84,1625	92 512
CH ₃	15,0351	17 711
2CH ₃	30,0701	47 814

Tableau 6 (suite)

Formule	Masse <i>a</i>	lg <i>a</i>
3CH ₃	45,1052	65 423
4CH ₃	60,1402	77 916
5CH ₃	75,1753	87 608
6CH ₃	90,2104	95 526
CH ₄	16,0430	20 529
C ₂ H ₂	26,0382	41 561
C ₂ H ₄	29,0622	46 333
2C ₂ H ₆	58,1243	76 436
3C ₂ H ₆	87,1865	94 045
C ₆ H ₆	77,1068	88 709
2C ₆ H ₆	154,2135	18 812
3C ₆ H ₆	231,3203	36 421
C ₁₀ H ₈	126,1593	10 092
C ₁₀ H ₇	127,1673	10 437
C ₁₀ H ₈	128,1753	10 780
(naphthalène)		
CH ₃ Br	94,939	97 744
CHCl ₃	119,378	07 692
CH ₂ Cl	50,488	70 319
CH ₃ F	34,0335	53 191
CH ₃ I	141,9395	15 210
CH ₂ N ₂	42,0405	62 367
2CH ₂ N ₂	84,0810	92 470
C ₂ H ₄ N ₂	60,0995	77 887
(éthylènediamine)		
C ₅ H ₅ N	79,1023	89 819
(pyridine)		
2C ₅ H ₅ N	158,2046	19 922
C ₂₀ H ₁₆ N ₄	312,3773	49 468
(nitron)		
C ₂₀ H ₁₆ N ₄ ·HClO ₄	412,836	61 578
C ₂₀ H ₁₆ N ₄ ·HNO ₃	375,3902	57 448
CH ₂ O	30,0265	47 750
CH ₃ O	31,0345	49 184
2CH ₃ O	62,0689	79 287
CH ₄ O	32,0424	50 573
C ₂ H ₆ O	43,0456	63 393
C ₂ H ₆ O	46,0695	66 341

Tableau 6 (suite)

Formule	Masse <i>a</i>	lg <i>a</i>
C ₄ H ₄ O ₆ (ion tartrate)	148,0729	17 048
C ₆ H ₆ O (phénol)	94,1141	97 365
C ₇ H ₅ O ₂ N (ion anthranilate)	136,1314	13 396
C ₉ H ₈ ON (ion oxyquinoléate)	144,1543	15 883
C ₉ H ₇ ON (oxyquinoléine)	145,1622	16 185
CN 2CN 3CN 4CN 5CN 6CN	26,0179 52,0357 78,0536 104,0714 130,0893 156,1071	41 527 71 630 89 239 01 733 11 424 19 342
CNO cf. OCN CNS cf. SCN		
CO CO(NH ₂) ₂ CO ₂ 1/2CO ₂ 2CO ₂ 3CO ₂ CO ₃ 1/2CO ₃ 2CO ₃ 3CO ₃	28,0106 60,0558 44,0100 22,0050 88,0199 132,0299 60,0094 30,0047 120,0187 180,0281	44 732 77 855 64 355 34 252 94 458 12 067 77 822 47 719 07 986 25 534
C ₂ O ₄ CO ₂ H CS ₂ CS(NH ₂) ₂	88,0199 45,0179 76,139 76,120	94 458 65 339 88 161 88 150
Ca 1/2Ca 2Ca	40,08 20,040 80,16	60 293 30 190 90 396

Tableau 6 (suite)

Formule	Masse <i>a</i>	lg <i>a</i>
3Ca	120,24	08 005
CaBr ₂	199,89	30 079
CaBr ₂ ·6H ₂ O	307,98	48 852
CaC ₂	64,10	80 686
Ca(CHO ₂) ₂	130,12	11 434
(formiate)		
Ca(C ₂ H ₃ O ₂) ₂	158,17	19 912
(acétate)		
Ca(C ₃ H ₅ O ₂) ₂	218,22	33 889
(lactate)		
Ca(C ₃ H ₅ O ₃) ₂ ·5H ₂ O	308,30	48 897
Ca ₃ (C ₆ H ₅ O ₇) ₂	498,45	69 762
(citrate)		
Ca ₃ (C ₆ H ₅ O ₇) ₂ ·4H ₂ O	570,51	75 626
Ca(C ₁₀ H ₇ N ₄ O ₈) ₂ ·8H ₂ O	710,58	85 161
(picrolanate)		
CaCN ₂	80,10	90 363
(cyanamide)		
CaCO ₃	100,09	00 039
1/2CaCO ₃	50,045	69 936
CaC ₂ O ₄	128,10	10 755
1/2CaC ₂ O ₄	64,050	80 652
CaC ₂ O ₄ ·H ₂ O	146,12	16 471
CaCl ₂	110,99	04 528
CaCl ₂ ·6H ₂ O	219,08	34 060
Ca(ClO) ₂	142,98	15 528
Ca(ClO) ₂ ·4H ₂ O	215,05	33 254
CaCrO ₄	156,07	19 332
CaCrO ₄ ·2H ₂ O	192,10	28 353
CaF ₂	78,08	89 254
Ca ₂ Fe(CN) ₆ ·12H ₂ O	508,30	70 612
CaH ₂	42,10	62 428
Ca(HCO ₃) ₂	162,11	20 981
1/2Ca(HCO ₃) ₂	81,057	90 879
CaHPO ₄	136,06	13 373
CaHPO ₄ ·2H ₂ O	172,09	23 576
Ca(H ₂ PO ₄) ₂	234,05	36 931
Ca(H ₂ PO ₄) ₂ ·H ₂ O	252,07	40 152

Tableau 6 (suite)

Formule	Masse <i>a</i>	lg <i>a</i>
Ca(HS) ₂ ·6H ₂ O	214,32	33 106
Ca(HSO ₃) ₂	202,22	30 582
CaI ₂	293,89	46 818
CaMoO ₄	200,02	30 107
Ca(NO ₃) ₂	164,09	21 508
Ca(NO ₃) ₂ ·4H ₂ O	236,15	37 319
CaO	56,08	74 881
1/2CaO	28,040	44 778
2CaO	112,16	04 984
Ca(OH) ₂	74,09	86 976
1/2Ca(OH) ₂	37,047	56 875
Ca(PO ₃) ₂	198,02	29 671
Ca ₃ (PO ₄) ₂	310,18	49 161
CaS	72,14	85 818
CaSO ₃	120,14	07 969
CaSO ₃ ·2H ₂ O	156,17	19 360
CaSO ₄	136,14	13 399
CaSO ₄ ·1/2H ₂ O	145,15	16 182
CaSO ₄ ·2H ₂ O	172,17	23 596
CaS ₂ O ₃	152,21	18 244
CaS ₂ O ₃ ·6H ₂ O	260,30	41 547
CaSiF ₆	182,16	26 045
CaSiO ₃	116,16	06 506
CaWO ₄	287,93	45 929
Cd	112,40	05 077
1/2Cd	56,200	74 974
2Cd	224,80	35 180
CdBr ₂	272,21	43 490
CdBr ₂ ·4H ₂ O	344,27	53 690
Cd(C ₂ H ₃ O ₂) ₂	230,49	36 265
(acétate)		
Cd(C ₂ H ₃ O ₂) ₂ ·2H ₂ O	266,52	42 573
Cd(C ₃ H ₃ N) ₂ (SCN) ₂	386,77	58 745
(pyridine)		

Tableau 6 (suite)

Formule	Masse <i>a</i>	lg <i>a</i>
$\text{Cd}(\text{C}_5\text{H}_5\text{N})_4(\text{SCN})_2$	544,97	73 637
$\text{Cd}(\text{C}_7\text{H}_4\text{NS}_2)_2$	444,89	64 825
(mercaptobenzothiazolide)		
$\text{Cd}(\text{C}_7\text{H}_5\text{O}_2\text{N})_2$	384,66	58 508
(anthranilate)		
$\text{Cd}(\text{C}_9\text{H}_6\text{ON})_2$	400,71	60 283
(oxyquinoléate)		
$\text{Cd}(\text{C}_9\text{H}_6\text{ON})_2 \cdot 2\text{H}_2\text{O}$	436,74	64 022
$\text{Cd}(\text{C}_{10}\text{H}_6\text{O}_2\text{N})_2$	456,73	65 966
(quinaldinate)		
$\text{Cd}(\text{CN})_2$	164,44	21 601
CdCO_3	172,41	23 656
CdCl_2	183,31	26 319
$\text{CdCl}_2 \cdot \text{H}_2\text{O}$	201,32	30 389
$\text{CdCl}_2 \cdot 2,5\text{H}_2\text{O}$	228,34	35 858
$\text{CdHg}(\text{SCN})_4$	545,32	73 665
CdI_2	366,21	56 373
$\text{CdNH}_4\text{PO}_4 \cdot \text{H}_2\text{O}$	243,43	38 637
$\text{Cd}(\text{NO}_3)_2$	236,40	37 365
$\text{Cd}(\text{NO}_3)_2 \cdot 4\text{H}_2\text{O}$	308,47	48 921
CdO	128,40	10 857
$\text{Cd}(\text{OH})_2$	146,41	16 557
$\text{Cd}_2\text{P}_2\text{O}_7$	398,74	60 069
CdS	144,46	15 975
CdSO_4	208,46	31 902
$\text{CdSO}_4 \cdot 8/3\text{H}_2\text{O}$	256,50	40 909
Ce	140,12	14 650
1/4Ce	35,030	54 444
1/3Ce	46,707	66 938
2Ce	280,24	44 753
$\text{Ce}(\text{C}_2\text{H}_{10}\text{N}_2)_2(\text{SO}_4)_4 \cdot 7\text{H}_2\text{O}$	774,70	88 913
(éthylènediammonium)		
$\text{Ce}(\text{C}_9\text{H}_6\text{ON})_3$	572,58	75 784
(oxyquinoléate)		
$\text{Ce}_2(\text{C}_2\text{O}_4)_3$	544,30	73 584

Tableau 6 (suite)

Formule	Masse <i>a</i>	lg <i>a</i>
$\text{Ce}_2(\text{C}_2\text{O}_4)_3 \cdot 9\text{H}_2\text{O}$	706,44	84 908
CeCl_3	246,48	39 178
$\text{CeCl}_3 \cdot 7\text{H}_2\text{O}$	372,59	57 123
$\text{Ce}(\text{NH}_4)_2(\text{NO}_3)_6$	548,23	73 896
$\text{Ce}(\text{NH}_4)_2(\text{NO}_3)_6 \cdot 2\text{H}_2\text{O}$	584,26	76 661
$\text{Ce}(\text{NH}_4)_4(\text{SO}_4)_4 \cdot 2\text{H}_2\text{O}$	632,55	80 109
$\text{Ce}(\text{NO}_3)_3$	326,13	51 339
$\text{Ce}(\text{NO}_3)_3 \cdot 6\text{H}_2\text{O}$	434,23	63 772
CeO_2	172,12	23 583
Ce_2O_3	328,24	51 619
Ce_3O_4	484,36	68 517
CePO_4	235,09	37 123
$\text{Ce}(\text{SO}_4)_2$	332,24	52 145
$\text{Ce}(\text{SO}_4)_2 \cdot 4\text{H}_2\text{O}$	404,30	60 670
$\text{Ce}_2(\text{SO}_4)_3$	568,42	75 467
$\text{Ce}_2(\text{SO}_4)_3 \cdot 8\text{H}_2\text{O}$	712,55	85 282
Cl	35,453	54 965
2Cl	70,906	85 068
3Cl	106,359	02 677
4Cl	141,812	15 171
5Cl	177,27	24 864
6Cl	212,72	32 781
ClO	51,452	71 140
ClO ₂	67,452	82 899
ClO ₃	83,451	92 143
ClO ₄	99,451	99 761
Co	58,9332	77 036
1/3Co	19,64440	29 324
1/2Co	29,46660	46 933

Tableau 6 (suite)

Formule	Masse <i>a</i>	lg <i>a</i>
2Co	117,8664	07 139
3Co	176,7996	24 748
CoBr ₂	218,741	33 993
CoBr ₂ ·6H ₂ O	326,833	51 433
Co(C ₂ H ₃ O ₂) ₂ ·4H ₂ O	249,085	39 635
(acétate)		
Co(C ₈ H ₅ N) ₄ (SCN) ₂	491,51	69 153
(pyridine)		
Co ₃ (C ₆ H ₅ O ₇) ₂ ·4H ₂ O	627,066	79 731
(citrate)		
Co(C ₇ H ₆ O ₂ N) ₂	331,196	52 009
(anthranilate)		
Co(C ₉ H ₈ ON) ₂ ·2H ₂ O	383,272	58 351
(oxyquinolate)		
Co(C ₁₀ H ₆ O ₂ N) ₂ ·2H ₂ O	611,458	78 637
(α -nitroso- β -naphhtolate)		
CoC ₂ O ₄ ·2H ₂ O	182,984	26 241
CoCl ₂	129,839	11 341
CoCl ₂ ·6H ₂ O	237,931	37 645
CoCrO ₄	174,927	24 286
CoHg(SCN) ₄	491,85	69 183
Co(NO ₃) ₂	182,943	26 232
Co(NO ₃) ₂ ·6H ₂ O	291,035	46 395
CoO	74,9326	87 467
Co ₂ O ₃	165,8646	21 975
Co ₃ O ₄	240,797	38 165
Co ₂ P ₂ O ₇	291,810	46 510
CoS	90,997	95 904
CoSO ₄	154,995	19 032
CoSO ₄ ·7H ₂ O	281,102	44 886
Cr	51,996	71 597
1/3Cr	17,3320	23 885
2Cr	103,992	01 700
3Cr	155,988	19 309
CrCl ₂	122,902	08 956

Tableau 6 (suite)

Formule	Masse <i>a</i>	lg <i>a</i>
CrCl ₃	158,355	19 963
CrCl ₃ ·6H ₂ O	266,447	42 561
CrK(SO ₄) ₂ ·12H ₂ O	Cf. KCr(SO ₄) ₂ ·12H ₂ O	
Cr(NO ₃) ₃	238,011	37 660
Cr(NO ₃) ₃ ·9H ₂ O	400,149	60 222
CrO	67,995	83 248
CrO ₃	99,994	99 997
CrO ₄	115,994	06 444
1/3CrO ₄	38,6647	58 731
Cr ₂ O ₃	151,990	18 182
1/2Cr ₂ O ₃	75,995	88 079
Cr ₂ O ₇	215,988	33 443
1/6Cr ₂ O ₇	35,9980	55 628
Cr(OH) ₃	103,018	01 291
CrPO ₄	146,967	16 722
Cr ₂ (SO ₄) ₃	392,18	59 349
Cr ₂ (SO ₄) ₃ ·18H ₂ O	716,45	85 519
Cs	132,905	12 354
2Cs	265,810	42 457
CsAl(SO ₄) ₂ ·12H ₂ O	568,19	75 449
Cs ₂ CO ₃	325,819	51 298
CsCl	168,358	22 623
CsClO ₄	232,356	36 615
Cs ₂ CrO ₄	381,804	58 184
Cs ₂ Cr ₂ O ₇	481,798	68 287
CsI	259,809	41 465
CsNO ₃	194,910	28 983
Cs ₂ O	281,809	44 995
CsOH	149,912	17 584
Cs ₂ PtCl ₆	673,62	82 842
Cs ₂ SO ₄	361,872	55 856

Tableau 6 (suite)

Formule	Masso <i>a</i>	lg <i>a</i>
Cu	63,546	80 309
1/2Cu	31,7730	50 206
2Cu	127,092	10 412
3Cu	190,638	28 021
CuBr ₂	223,354	34 899
Cu(C ₂ H ₃ O ₂) ₂ ·H ₂ O	199,651	30 027
(acétate)		
Cu(C ₅ H ₅ N) ₂ (SCN) ₂	337,91	52 880
(pyridine)		
Cu(C ₇ H ₆ O ₂ N) ₂	335,809	52 609
(salicylaldoxime ou anthranilate)		
Cu(C ₉ H ₆ ON) ₂	351,855	54 636
(oxyquinoléate)		
Cu(C ₁₀ H ₆ O ₂ N) ₂ ·H ₂ O	425,891	62 930
(quinaldinate)		
Cu(C ₁₂ H ₁₀ ONS) ₂ ·H ₂ O	514,13	71 107
(thionalide)		
CuC ₁₁ H ₁₁ O ₂ N	288,796	46 059
(cupron)		
CuCN	89,564	95 213
CuCl	98,999	99 563
CuCl ₂	134,452	12 857
CuCl ₂ ·2H ₂ O	170,483	23 168
CuHg(SCN) ₄	496,46	69 588
CuI	190,450	27 978
Cu(NO ₃) ₂	187,556	27 313
Cu(NO ₃) ₂ ·3H ₂ O	241,602	38 310
Cu(NO ₃) ₂ ·6H ₂ O	295,648	47 077
CuO	79,545	90 061
1/2CuO	39,773	59 959
Cu(OH) ₂	97,561	98 928
Cu ₂ O	143,091	15 561
Cu ₂ (OH) ₂ CO ₃	221,116	34 462
CuS	95,610	98 050
Cu ₂ S	159,16	20 183
CuSCN	121,628	08 503
CuSO ₄	159,608	20 305
CuSO ₄ ·5H ₂ O	249,685	39 739

Tableau 6 (suite)

Formule	Masse <i>a</i>	lg <i>a</i>
F	18,9984	27 872
2F	37,9968	57 974
3F	56,9952	75 584
4F	75,9936	88 078
5F	94,9920	97 769
6F	113,9904	05 687
Fe	55,847	74 700
1/3Fe	18,616	26 989
1/2Fe	27,924	44 598
2Fe	111,69	04 801
3Fe	167,54	22 412
FeBr ₃	295,559	47 064
FeBr ₃ ·6H ₂ O	403,651	60 601
Fe ₃ C	179,55	25 419
Fe(C ₉ H ₆ ON) ₃	488,310	68 870
(oxyquinoléate)		
Fe(CN) ₆	211,954	32 624
FeCO ₃	115,856	06 392
FeCl ₂	126,75	10 295
FeCl ₂ ·4H ₂ O	198,81	29 844
FeCl ₃	162,21	21 008
FeCl ₃ ·6H ₂ O	270,30	43 185
Fe(HCO ₃) ₂	177,881	25 013
FeNH ₄ (SO ₄) ₂ ·12H ₂ O	482,19	68 322
Fe(NH ₄) ₂ (SO ₄) ₂ ·6H ₂ O	392,14	59 344
Fe(NO ₃) ₃	241,862	38 357
Fe(NO ₃) ₃ ·6H ₂ O	349,95	54 401
FeO	71,846	85 640
Fe ₂ O ₃	159,69	20 328
1/6Fe ₂ O ₃	26,615	42 513
1/2Fe ₂ O ₃	79,846	90 225
Fe ₃ O ₄	231,54	36 463
Fe(OH) ₃	106,869	02 885

Tableau 6 (suite)

Formule	Masse <i>a</i>	lg <i>a</i>
FePO ₄	150,818	17 845
FeS	87,91	94 404
FeS ₂	119,98	07 911
FeSO ₄	151,91	18 159
FeSO ₄ ·7H ₂ O	278,02	44 408
Fe ₂ (SO ₄) ₃	399,88	60 193
Fe ₂ (SO ₄) ₃ ·9H ₂ O	562,02	74 975
Ga	69,72	84 336
2Ga	139,44	14 439
Ga(C ₉ H ₆ ON) ₃	502,18	70 086
(oxyquinoléate)		
Ga(C ₉ H ₄ Br ₂ ON) ₃	975,55	98 925
(bromoxyquinoléate)		
GaCl ₃	176,08	24 571
Ga ₂ O ₃	187,44	27 286
Ge	72,59	86 088
2Ge	145,18	16 191
GeCl ₄	214,40	33 122
GeO ₂	104,59	01 949
GeS ₂	136,72	13 583
H	1,00797	00 345
2H	2,01594	30 448
3H	3,02391	48 057
4H	4,03188	60 551
5H	5,0399	70 242
6H	6,0478	78 160

Tableau 6 (suite)

Formule	Masse <i>a</i>	lg <i>a</i>
7H	7,0558	84 855
8H	8,0638	90 654
H ₃ AsO ₄	141,9431	15 211
HAuCl ₄ ·4H ₂ O	411,848	61 474
HBO ₂	43,818	64 165
H ₃ BO ₃	61,833	79 122
HBr	80,912	90 801
HBrO	96,911	98 637
HBrO ₃	128,910	11 029
HCHO ₂	46,0259	66 300
(formique)		
HC ₂ H ₃ O ₂	60,0530	77 853
(acétique)		
HC ₃ H ₅ O ₃	90,0795	95 463
(lactique)		
HC ₄ H ₄ O ₆	149,081	17 342
(ion hydrotartrate)		
H ₂ C ₄ H ₄ O ₄	118,090	07 221
(succinique)		
H ₂ C ₄ H ₄ O ₅	134,089	12 739
(malique)		
H ₂ C ₄ H ₄ O ₆	150,089	17 635
(tartrique)		
H ₃ C ₆ H ₅ O ₇	192,126	28 358
(citrique)		
H ₃ C ₆ H ₅ O ₇ ·H ₂ O	210,142	32 251
HC ₆ H ₆ O ₂ NS	173,192	23 853
(sulfanilique)		
HC ₆ H ₆ O ₃ NS·2H ₂ O	209,222	32 061
HC ₇ H ₅ O ₂	122,125	08 680
(benzolique)		
HC ₇ H ₅ O ₃	138,124	14 027
(salicylique)		
HC ₇ H ₄ O ₂ N	137,139	13 716
(anthranilique)		
HC ₈ H ₄ O ₄	165,127	21 782
(ion hydrophthalate)		
H ₂ C ₈ H ₄ O ₄	166,135	22 046
(phthalique)		
H ₂ C ₇ H ₄ O ₆ S	218,186	33 882
(sulfosalicylique)		

Tableau 6 (suite)

Formule	Masse <i>a</i>	lg <i>a</i>
$\text{H}_2\text{C}_7\text{H}_4\text{O}_6\cdot 2\text{H}_2\text{O}$	254,217	40 520
$\text{HC}_{10}\text{H}_8\text{O}_2\text{N}$	173,173	23 848
(quinaldinique)		
$\text{HC}_{10}\text{H}_8\text{O}_2\text{N}\cdot 2\text{H}_2\text{O}$	209,203	32 057
$\text{H}_4\text{C}_{10}\text{H}_{12}\text{O}_8\text{N}_2$	292,248	46 575
(éthylènediaminotétracétique, complexone II)		
HCN	27,0258	43 178
HCO_2	45,0179	65 339
2HCO_2	90,036	95 442
3HCO_2	135,054	13 051
HCO_3	61,0173	78 545
H_2CO_3	62,0253	79 257
$\text{H}_2\text{C}_2\text{O}_4$	90,036	95 442
(oxalique)		
$\text{H}_2\text{C}_2\text{O}_4\cdot 2\text{H}_2\text{O}$	126,067	10 060
$1/2\text{H}_2\text{C}_2\text{O}_4\cdot 2\text{H}_2\text{O}$	63,0333	79 957
HCl	36,461	56 183
HClO	52,460	71 983
HClO_2	84,459	92 665
HClO_4	100,459	00 199
H_2CrO_4	118,010	07 192
$\text{H}_2\text{Cr}_2\text{O}_7$	218,004	33 846
HF	20,0064	30 117
HI	127,9124	10 691
HIO	143,9118	15 810
HIO_2	175,9106	24 529
HIO_3	191,9100	28 310
H_3IO_4	227,941	35 782
$\text{H}_2\text{MoO}_4\cdot \text{H}_2\text{O}$	179,97	25 520
HNO_2	47,0135	67 222
HNO_3	63,0129	79 943
HO	cf. OH	
H_2O	18,0153	25 564
$2\text{H}_2\text{O}$	36,0307	55 667
$3\text{H}_2\text{O}$	54,0460	73 276
$4\text{H}_2\text{O}$	72,0614	85 770

Tableau 6 (suite)

Formule	Masse a	lg a
5H ₂ O	90,077	95 461
6H ₂ O	108,092	03 379
7H ₂ O	126,107	10 074
8H ₂ O	144,123	15 873
H ₂ O ₂	34,0147	53 167
1/2H ₂ O ₂	17,0074	23 064
2H ₂ O ₂	68,0295	83 270
HPO ₃	79,9800	90 298
HPO ₄	95,9794	98 218
H ₂ PO ₄	96,9873	98 671
H ₃ PO ₂	65,9965	81 952
H ₂ PO ₃	81,9959	91 379
H ₃ PO ₄	97,9953	99 121
H ₄ P ₂ O ₇	177,975	25 036
HRcO ₄	251,2	40 002
HS	Cf. SH	
H ₂ S		53 250
1/2H ₂ S	17,040	23 147
HSCN	59,090	77 151
HSO ₃	81,070	90 886
2HSO ₃	162,14	20 989
H ₂ SO ₃	82,078	91 423
HSO ₄	97,070	98 709
H ₂ SO ₄	98,078	99 157
1/2H ₂ SO ₄	49,039	69 054
2H ₂ SO ₄	196,16	29 261
H ₂ S ₂ O ₃	114,14	05 744
H ₂ SO ₅	114,077	05 720
H ₂ Se	80,98	90 838
H ₂ SeO ₃	128,97	11 049
H ₂ SeO ₄	144,97	16 128
H ₂ Te	129,62	11 267
H ₂ TeO ₄	193,63	28 697
H ₆ TeO ₆	229,64	36 105
H ₂ WO ₄	249,86	39 770

Tableau 6 (suite)

Formule	Masse <i>a</i>	lg <i>a</i>
Hg	200,59	30 231
1/2Hg	100,295	00 128
2Hg	401,18	60 334
HgBr ₂	360,40	55 678
Hg(C ₂ H ₃ O ₂) ₂ (acétate)	318,68	50 335
Hg(C ₅ H ₅ N) ₂ Cr ₂ O ₇ (pyridine)	574,78	75 950
Hg(C ₇ H ₆ O ₂ N) ₂ (anthranilate)	472,85	67 472
Hg(C ₁₂ H ₁₀ ONS) ₂ (thionalide)	633,16	80 151
HgC ₂ O ₄ (oxalate)	288,61	46 031
Hg(CN) ₂	252,63	40 248
HgCl ₂	271,50	43 377
Hg ₂ Cl ₂	472,09	67 402
HgCrO ₄	316,58	50 048
HgI ₂	454,40	65 744
Hg(NO ₃) ₂	324,60	51 135
Hg(NO ₃) ₂ ·H ₂ O	342,62	53 481
Hg ₂ (NO ₃) ₂	525,19	72 032
Hg ₂ (NO ₃) ₂ ·2H ₂ O	561,22	74 913
HgO	216,59	33 564
Hg ₂ O	417,18	62 032
HgS	232,65	36 670
Hg ₂ S	433,24	63 673
Hg(SCN) ₂	316,75	50 072
Hg ₂ (SCN) ₂	517,34	71 378
HgSO ₄	296,65	47 224
Hg ₂ SO ₄	497,24	69 657
I	126,9044	10 348
2I	253,8088	40 451
3I	380,7132	58 060

Tableau 6 (suite)

Formule	Masse <i>a</i>	lg <i>a</i>
4I	507,6176	70 554
5I	634,5220	80 245
6I	761,4264	88 163
ICl	162,357	21 047
ICl ₃	233,263	36 785
IO	142,9038	15 504
IO ₃	174,9026	24 280
1/6IO ₃	29,1504	46 464
IO ₄	190,9020	28 081
In	114,82	06 002
1/3In	38,273	58 289
2In	229,64	36 105
In(C ₉ H ₆ ON) ₃	547,28	73 821
(oxyquinoléate)		
InCl ₃	221,18	34 475
In ₂ O ₃	277,64	44 348
InPO ₄	209,79	32 178
Ir	192,2	28 375
1/4Ir	48,05	68 169
1/2Ir	96,10	98 272
IrCl ₃	298,6	47 509
IrCl ₄	334,0	52 375
IrCl ₆	404,9	60 735
IrO ₂	224,2	35 064
Ir(OH) ₃	243,2	38 596
Ir(OH) ₄	260,2	41 531
IrS	224,3	35 083

Tableau 6 (suite)

Formule	Masse <i>a</i>	lg <i>a</i>
K	39,102	59 220
2K	78,204	89 323
3K	117,306	06 932
4K	156,408	19 426
5K	195,510	29 117
6K	234,612	37 035
KAl(SO ₄) ₂ ·12H ₂ O	474,39	67 614
KAlSi ₃ O ₈	278,337	44 457
KBF ₄	125,907	10 005
KBr	119,006	07 557
KBrO ₃	167,004	22 273
1/6KBrO ₃	27 834	44 458
KC ₂ H ₃ O ₂	98,147	99 187
(acétate)		
K ₂ C ₆ H ₄ O ₆ ·1/2H ₂ O	235,285	37 159
(tartrate)		
K(C ₆ H ₅) ₄ B	358,340	55 430
K ₃ C ₆ H ₅ O ₇ ·H ₂ O	324,424	51 111
(citrate)		
KCN	65,120	81 371
K ₂ CO ₃	138,213	14 055
K ₂ C ₂ O ₄ ·H ₂ O	184,239	26 538
KCl	74,555	87 248
KClO ₃	122,553	08 832
1/6KClO ₃	20,426	31 018
KClO ₄	138,553	14 162
K ₃ Co(NO ₂) ₆	452,272	65 540
K ₂ Co(SO ₄) ₂ ·6H ₂ O	437,35	64 083
K ₂ CrO ₄	194,198	28 824
1/3K ₂ CrO ₄	64,733	81 113
K ₂ Cr ₂ O ₇	294,192	46 863
1/6K ₂ Cr ₂ O ₇	49,032	69 048
1/2K ₂ Cr ₂ O ₇	147,096	16 760
KCr(SO ₄) ₂ ·12H ₂ O	499,41	69 846
KF	58,100	76 418
K ₃ Fe(CN) ₆	329,26	51 754
K ₄ Fe(CN) ₆	368,36	56 627

Tableau 6 (suite)

Formule	Masse <i>a</i>	lg <i>a</i>
$K_4Fe(CN)_6 \cdot 3H_2O$	422,41	62 573
$KFe(SO_4)_2 \cdot 12H_2O$	503,26	70 179
KH_2AsO_4	180,037	25 536
K_2HAsO_4	218,131	33 872
$KHC_4H_4O_6$	188,183	27 458
(hydrotartrate)		
$KHC_8H_4O_4$	204,229	31 012
(hydrophthalate)		
$KHCO_3$	100,119	00 052
$KHC_2O_4 \cdot H_2O$	146,145	16 478
$KH_2(C_2O_4)_2 \cdot 2H_2O$	254,196	40 517
KHF_2	78,107	89 269
$KH(IO_3)_2$	389,915	59 097
$1/12KH(IO_3)_2$	32,4929	51 179
KH_2PO_2	104,091	01 741
KH_2PO_4	136,089	13 382
K_2HPO_4	174,183	24 101
$KHSO_3$	120,172	07 980
$KHSO_4$	136,172	13 409
KI	166,006	22 012
KI_3	419,815	62 306
KIO_3	214,005	33 042
$1/6KIO_3$	35,6674	55 227
KIO_4	230,004	36 174
$KMnO_4$	158,038	19 876
$1/5KMnO_4$	31,6075	49 979
$1/3KMnO_4$	52,6792	72 164
$2KMnO_4$	316,075	49 979
$KN(C_6H_5)_2(NO_2)_6$	477,307	67 880
(dipicrylamine)		
KNO_2	85,108	92 997
KNO_3	101,107	00 478
$KNaC_4H_4O_6 \cdot 4H_2O$	282,226	45 060
K_2O	94,203	97 406
$1/2K_2O$	47,102	67 304
$KOCN$	81,119	90 913
KOH	56,109	74 903

Tableau 6 (suite)

Formule	Masse <i>a</i>	lg <i>a</i>
K ₃ PO ₄	212,277	32 690
K ₂ PtCl ₆	486,01	68 665
KReO ₄	289,3	46 135
K ₂ S	110,268	04 245
K ₂ S · 5H ₂ O	200,345	30 178
KSCN	97,184	98 759
K ₂ SO ₃	158,266	19 939
K ₂ SO ₃ · 2H ₂ O	194,297	28 847
K ₂ SO ₄	174,266	24 121
K ₂ S ₂ O ₆	222,33	34 700
K ₂ S ₂ O ₇	254,33	40 540
K ₂ S ₂ O ₈	270,33	43 189
K(SbO)C ₄ H ₄ O ₆ · 1/2H ₂ O	333,93	52 366
(tartrate)		
K ₂ SiF ₆	220,280	34 298
K ₂ TiF ₆	240,09	38 037
K ₂ WO ₄	326,05	51 328
La	138,91	14 273
1/3La	46,303	66 561
2La	277,82	44 376
La(C ₂ H ₃ O ₂) ₃ · 1 1/2H ₂ O	343,07	53 538
LaCl ₃ · 7H ₂ O	371,38	56 982
LaF ₃	195,91	29 206
La(NO ₃) ₃ · 6H ₂ O	433,02	63 651
La ₂ O ₃	325,82	51 298
La ₂ (SO ₄) ₃	566,00	75 282
Li	6,939	84 130
2Li	13,878	14 233
3Li	20,817	31 842
LiBr	86,843	93 873

Tableau 6 (suite)

Formule	Masse <i>a</i>	lg <i>a</i>
$\text{Li}_3\text{C}_6\text{H}_5\text{O}_7 \cdot 4\text{H}_2\text{O}$ (citrate)	281,981	45 022
Li_2CO_3	73,887	86 857
LiCl	42,392	62 728
LiF	25,937	41 392
LiH	7,947	90 020
LiI	133,843	12 660
$\text{LiI} \cdot 3\text{H}_2\text{O}$	187,889	27 390
LiNO_3	68,944	83 850
$\text{LiNO}_3 \cdot 3\text{H}_2\text{O}$	122,990	08 987
Li_2O	29,877	47 534
LiOH	23,946	37 923
Li_3PO_4	115,788	06 366
Li_2SO_4	109,940	04 116
$\text{Li}_2\text{SO}_4 \cdot \text{H}_2\text{O}$	127,955	10 706
Mg	24,305	38 570
1/2Mg	12,1525	08 466
2Mg	48,610	68 673
3Mg	72,915	86 282
$\text{Mg}_2\text{As}_2\text{O}_7$	310,449	49 199
MgBr_2	184,113	26 508
$\text{MgBr}_2 \cdot 6\text{H}_2\text{O}$	292,205	46 569
$\text{Mg}(\text{C}_9\text{H}_6\text{ON})_2$	312,614	49 501
(oxyquinoléate)		
$\text{Mg}(\text{C}_9\text{H}_6\text{ON})_2 \cdot 2\text{H}_2\text{O}$	348,644	54 238
MgCO_3	84,314	92 590
MgCl_2	95,211	97 869
$\text{MgCl}_2 \cdot 6\text{H}_2\text{O}$	203,303	30 814
$\text{Mg}(\text{ClO}_4)_2$	223,206	34 871
$\text{Mg}(\text{ClO}_4)_2 \cdot 6\text{H}_2\text{O}$	331,298	52 022
MgF_2	62,302	79 450
$\text{Mg}(\text{HCO}_3)_2$	146,340	16 536
$\text{MgNH}_4\text{AsO}_4 \cdot 6\text{H}_2\text{O}$	289,355	46 143

Tableau 6 (suite)

Formule	Masse <i>a</i>	lg <i>a</i>
MgNH ₄ PO ₄ ·6H ₂ O	245,407	38 988
Mg(NO ₃) ₂	148,315	17 119
Mg(NO ₃) ₂ ·6H ₂ O	256,407	40 893
MgO	40,304	60 535
1/2MgO	20,152	30 432
Mg(OH) ₂	58,320	76 582
Mg ₂ P ₂ O ₇	222,553	34 743
MgSO ₄	120,367	08 051
MgSO ₄ ·7H ₂ O	246,474	39 177
MgSiO ₃	100,389	00 169
Mg ₂ SiO ₄	140,694	14 828
Mn	54,9381	73 987
1/2Mn	27,46905	43 884
2Mn	109,8762	04 090
3Mn	164,8143	21 699
Mn(C ₂ H ₃ O ₂) ₂ ·4H ₂ O	245,089	38 932
(acétate)		
Mn(C ₅ H ₃ N) ₄ (SCN) ₂	487,51	68 798
(pyridine)		
MnCO ₃	114,9475	06 050
MnCl ₂	125,844	09 983
MnCl ₂ ·4H ₂ O	197,905	29 646
MnNH ₄ PO ₄ ·H ₂ O	185,956	26 941
Mn(NO ₃) ₂	178,948	25 273
Mn(NO ₃) ₂ ·6H ₂ O	287,040	45 794
MnO	70,9375	85 088
MnO ₂	86,9369	93 920
MnO ₄	118,9357	07 531
Mn ₂ O ₃	157,8744	19 831
Mn ₂ O ₄	228,8119	35 948
Mn(OH) ₂	88,9528	94 916
Mn ₂ P ₂ O ₇	283,820	45 304
MnS	87,002	93 953
MnSO ₄	151,000	17 898

Tableau 6 (suite)

Formule	Masse <i>a</i>	lg <i>a</i>
MnSO ₄ ·4H ₂ O	223,061	34 842
MnSO ₄ ·5H ₂ O	241,076	38 215
MnSO ₄ ·7H ₂ O	277,107	44 265
Mo	95,94	98 200
2Mo	191,88	28 303
3Mo	287,82	45 912
MoO ₃	143,94	15 818
MoO ₄	159,94	20 396
MoO ₂ (C ₈ H ₆ ON) ₂	416,25	61 935
(oxyquinolate)		
MoS ₂	160,07	20 431
MoS ₃	192,13	28 360
N	14,0067	14 634
2N	28,0134	44 737
3N	42,0201	62 346
4N	56,0268	74 840
5N	70,0335	84 531
6N	84,0402	92 449
5,55N (« g�latine »)	77,7372	89 063
6,25N (« prot�ine »)	87,5419	94 222
6,37N (« cas�ine »)	89,2227	95 048
NH	15,0147	17 652
NH ₂	16,0226	20 473
2NH ₂	32,0453	50 576
3NH ₂	48,0679	68 186
NH ₃	17,0306	23 123
2NH ₃	34,0612	53 226
3NH ₃	51,0918	70 835
4NH ₃	68,1224	83 329
5NH ₃	85,1531	93 020
6NH ₃	102,1837	00 938

Tableau 6 (suite)

Formule	Masse <i>a</i>	lg <i>a</i>
NH ₄	18,0386	25 620
2NH ₄	36,0772	55 723
3NH ₄	54,1157	73 332
N ₂ H ₄	32,0453	50 576
N ₂ H ₄ ·HCl	68,506	83 573
N ₂ H ₄ ·2HCl	104,967	02 105
N ₂ H ₄ ·H ₂ O	50,0606	69 950
N ₂ H ₄ ·H ₂ SO ₄	130,123	11 435
NH ₂ OH	33,0262	51 886
NH ₂ OH·HCl	69,487	84 190
(NH ₂ OH) ₂ ·H ₂ SO ₄	164,138	21 521
NH ₂ SO ₃ H	97,093	98 719
NH ₄ Al(SO ₄) ₂ ·12H ₂ O	453,33	65 642
NH ₄ Br	97,948	99 100
NH ₄ C ₂ H ₃ O ₂ (acétate)	77,0836	88 696
(NH ₄) ₂ CO ₃	96,0865	98 266
(NH ₄) ₂ CO ₃ ·H ₂ O	114,102	05 729
(NH ₄) ₂ C ₂ O ₄ ·H ₂ O	142,112	15 263
(NH ₄) ₂ Ce(NO ₃) ₆	548,23	73 896
(NH ₄) ₄ Ce(SO ₄) ₄ ·2H ₂ O	632,55	80 109
NH ₄ Cl	53,492	72 829
NH ₄ ClO ₄	117,489	07 000
(NH ₄) ₂ CrO ₄	152,071	18 205
(NH ₄) ₂ Cr ₂ O ₇	252,065	40 151
NH ₄ F	37,0370	56 864
NH ₄ Fe(SO ₄) ₂ ·12H ₂ O	482,19	68 322
(NH ₄) ₂ Fe(SO ₄) ₂ ·6H ₂ O	392,11	59 341
NH ₄ HCO ₃	79,0559	89 793
NH ₄ HF ₂	57,0434	75 621
NH ₄ H ₂ PO ₄	115,026	06 080
(NH ₄) ₂ HPO ₄	132,057	12 076
NH ₄ HS	51,111	70 851
NH ₄ HSO ₄	115,108	06 111
(NH ₄) ₂ Hg(SCN) ₄	468,99	67 116
NH ₄ I	144,9430	16 120
(NH ₄) ₆ Mo ₇ O ₂₄ ·4H ₂ O	1235,9	09 197

Tableau 6 (suite)

Formule	Masse <i>a</i>	lg <i>a</i>
NH ₄ NO ₂	64,0441	80 648
NH ₄ NO ₃	80,0435	90 333
NH ₄ NaPO ₄ ·4H ₂ O	209,069	32 029
NH ₄ OH	35,0460	54 464
(NH ₄) ₃ PO ₄ ·12MoO ₃	1876,3	27 330
(NH ₄) ₂ PdCl ₆	355,2	55 047
(NH ₄) ₂ PtCl ₆	443,89	64 728
(NH ₄) ₂ S	68,141	83 341
NH ₄ SCN	76,120	88 150
(NH ₄) ₂ SO ₃	116,139	06 498
(NH ₄) ₂ SO ₄	132,139	12 103
(NH ₄) ₂ S ₂ O ₈	228,20	35 832
(NH ₄) ₂ SiF ₆	178,154	25 080
(NH ₄) ₂ SnCl ₆	367,49	56 525
NH ₄ VO ₃	116,979	06 811
NO	30,0061	47 721
NO ₂	46,0055	66 281
2NO ₂	92,011	96 384
3NO ₂	138,017	13 993
4NO ₂	184,022	26 487
5NO ₂	230,028	36 178
6NO ₂	276,033	44 096
NO ₃	62,0049	79 243
2NO ₃	124,010	09 346
3NO ₃	186,015	26 955
4NO ₃	248,020	39 449
N ₂ O	44,0128	64 358
N ₂ O ₃	76,0116	88 088
N ₂ O ₄	92,011	96 384
N ₂ O ₅	108,010	03 346
Na	22,9898	36 154
2Na	45,9796	66 257
3Na	68,9694	83 866

Tableau 6 (suite)

Formule	Masse <i>a</i>	lg <i>a</i>
4Na	91,9592	96 360
5Na	114,9490	06 051
6Na	137,9398	13 969
Na ₂ AlF ₆	209,9413	32 210
NaAlSi ₃ O ₈	262,225	41 867
NaAsO ₂	129,9102	11 364
Na ₃ AsO ₄ ·12H ₂ O	424,073	62 744
NaB(C ₆ H ₅) ₄	342,229	53 432
NaBH ₄	37,833	57 787
NaBO ₂ ·4H ₂ O	137,861	13 944
NaBO ₂ ·4H ₂ O	153,860	18 713
Na ₂ B ₄ O ₇	201,22	30 367
1/2Na ₂ B ₄ O ₇	100,61	00 264
Na ₂ B ₄ O ₇ ·10H ₂ O	381,37	58 135
1/2Na ₂ B ₄ O ₇ ·10H ₂ O	190,69	28 033
NaBiO ₃	279,968	44 711
NaBr	102,894	01 239
NaBr·2H ₂ O	138,925	14 278
NaBrO ₃	150,892	17 867
1/6NaBrO ₃	25,1487	40 052
NaC ₂ H ₃ O ₂	82,0348	91 400
(acétate)		
NaC ₂ H ₃ O ₂ ·3H ₂ O	136,081	13 380
Na ₂ C ₄ H ₄ O ₆ ·2H ₂ O	230,083	36 188
(tartrate)		
Na ₃ C ₆ H ₅ O ₇ ·5 1/2H ₂ O	357,156	55 286
(citrate)		
Na ₂ C ₈ H ₄ O ₄	210,098	32 242
(phthalate)		
NaCN	49,0077	69 026
Na ₂ CO ₃	105,9890	02 526
1/2Na ₂ CO ₃	52,9945	72 423
Na ₂ CO ₃ ·10H ₂ O	286,142	45 658
1/2Na ₂ CO ₃ ·10H ₂ O	143,071	15 555
Na ₂ C ₂ O ₄	134,000	12 710
(oxalate)		
1/2Na ₂ C ₂ O ₄	67,0000	82 607
NaCl	58,443	76 673

Tableau 6 (suite)

Formule	Masse <i>a</i>	lg <i>a</i>
NaClO	74,442	87 182
NaClO ₂	106,441	02 711
NaClO ₄	122,440	08 792
Na ₃ Co(NO ₂) ₆	403,936	60 631
Na ₂ CrO ₄	161,973	20 944
Na ₂ CrO ₄ ·4H ₂ O	234,035	36 928
Na ₂ Cr ₂ O ₇	261,967	41 825
Na ₂ Cr ₂ O ₇ ·2H ₂ O	297,998	47 421
NaF	41,9882	62 313
Na ₄ Fe(CN) ₆ ·10H ₂ O	484,07	68 491
Na ₂ [Fe(CN) ₅ NO]·2H ₂ O (nitroprussiate)	297,953	47 415
Na ₂ HAsO ₃	169,9074	23 021
Na ₂ HAsO ₄	185,907	26 930
Na ₂ HAsO ₄ ·7H ₂ O	312,014	49 417
Na ₂ HAsO ₄ ·12H ₂ O	402,091	60 432
NaHC ₄ H ₄ O ₆	172,071	23 571
(hydrotartrate)		
NaHC ₈ H ₄ O ₄	188,116	27 443
(hydrophthalate)		
Na ₂ H ₂ C ₁₀ H ₁₂ O ₈ N ₂	336,211	52 661
(éthylènediaminététraacétate, complexone III, trilon B)		
Na ₂ H ₂ C ₁₀ H ₁₂ O ₈ N ₂ ·2H ₂ O	372,242	57 083
(éthylènediaminététraacétate, dihydrate)		
NaHCO ₃	84,0071	92 432
NaHC ₂ O ₄	112,018	04 929
NaHC ₂ O ₄ ·H ₂ O	130,033	11 405
NaH ₂ PO ₂	87,9783	94 438
NaH ₂ PO ₄	119,977	07 910
NaH ₂ PO ₄ ·2H ₂ O	156,008	19 315
Na ₂ HPO ₄	141,959	15 216
Na ₂ HPO ₄ ·2H ₂ O	177,990	25 040
Na ₂ HPO ₄ ·12H ₂ O	358,143	55 406
NaHS	56,062	74 867
NaHSO ₃	104,060	01 728
NaHSO ₄	120,059	07 939

Tableau 6 (suite)

Formule	Masse <i>a</i>	lg <i>a</i>
NaHSeO ₃	150,96	17 886
NaI	149,8942	17 578
NaIO ₃	197,8924	29 643
NaIO ₄	213,892	33 019
NaKC ₄ H ₄ O ₆ ·4H ₂ O	282,226	45 060
(tartrate)		
NaMg(UO ₂) ₃ (C ₂ H ₃ O ₂) ₉ ·6H ₂ O ..	1496,88	17 518
Na ₂ MoO ₄	205,92	31 370
Na ₂ MoO ₄ ·2H ₂ O	241,95	38 373
NaN ₃	65,0099	81 298
NaNH ₂	39,0124	59 120
NaNH ₄ HPO ₄	137,008	13 675
NaNH ₄ HPO ₄ ·4H ₂ O	209,069	32 029
NaNO ₂	68,9953	83 882
NaNO ₃	84,9947	92 939
Na ₂ O	61,9790	79 224
1/2Na ₂ O	30,9895	49 121
Na ₂ O ₂	77,9784	89 197
NaOH	39,9972	60 203
NaPO ₃	101,9618	00 844
Na ₃ PO ₄	163,941	21 469
Na ₃ PO ₄ ·12H ₂ O	380,125	57 993
Na ₄ P ₂ O ₇	265,903	42 472
Na ₄ P ₂ O ₇ ·10H ₂ O	446,056	64 939
Na ₂ S	78,044	89 234
Na ₂ S·9H ₂ O	240,182	38 054
NaSCN	81,072	90 887
Na ₂ SO ₃	126,042	10 051
Na ₂ SO ₃ ·7H ₂ O	252,149	40 166
Na ₂ SO ₄	142,041	15 241
Na ₂ SO ₄ ·10H ₂ O	322,195	50 812
Na ₂ S ₂ O ₃	158,11	19 896
1/2Na ₂ S ₂ O ₃	79,053	89 792
Na ₂ S ₂ O ₃ ·5H ₂ O	248,18	39 477
1/2Na ₂ S ₂ O ₃ ·5H ₂ O	124,091	09 374
Na ₂ S ₂ O ₄	174,11	24 082
Na ₂ S ₂ O ₄ ·2H ₂ O	210,14	32 251

Tableau 6 (suite)

Formule	Masse <i>a</i>	lg <i>a</i>
$\text{Na}_2\text{S}_2\text{O}_5$	190,10	27 898
$\text{N}_2\text{S}_2\text{O}_8$	238,10	37 676
$\text{Na}_3\text{SbS}_4 \cdot 9\text{H}_2\text{O}$	481,11	68 224
Na_2SeO_3	172,94	23 790
Na_2SiF_6	188,056	27 429
Na_2SiO_3	122,064	08 659
$\text{Na}_2\text{SnO}_3 \cdot 3\text{H}_2\text{O}$	266,71	42 604
$\text{Na}_2\text{U}_2\text{O}_7$	634,04	80 212
$\text{Na}_2\text{U}_2\text{O}_7 \cdot 6\text{H}_2\text{O}$	742,13	87 048
$\text{NaVO}_3 \cdot 4\text{H}_2\text{O}$	193,991	28 778
Na_2WO_4	293,81	46 807
$\text{Na}_2\text{WO}_4 \cdot 2\text{H}_2\text{O}$	329,84	51 830
$\text{NaZn}(\text{UO}_2)_3(\text{C}_2\text{H}_3\text{O}_2)_6 \cdot 6\text{H}_2\text{O}$...	1537,94	18 694
<hr/>		
Nb	92,906	96 804
2Nb	185,812	26 907
NbCl_5	270,17	43 164
Nb_2O_5	265,809	42 457
<hr/>		
Ni	58,71	76 871
1/2Ni	29,355	46 768
2Ni	117,42	06 974
$\text{Ni}(\text{C}_2\text{H}_3\text{O}_2)_2 \cdot 4\text{H}_2\text{O}$	248,86	39 596
(acétate)		
$\text{Ni}(\text{C}_4\text{H}_7\text{O}_2\text{N}_2)_2$	288,94	46 081
(diméthylglyoxime)		
$\text{Ni}(\text{C}_5\text{H}_3\text{N})_4(\text{SCN})_2$	491,28	69 133
(pyridine)		
$\text{Ni}(\text{C}_7\text{H}_5\text{O}_2\text{N})_2$	330,97	51 979
(anthranilate)		
$\text{Ni}(\text{C}_9\text{H}_6\text{ON})_2$	347,02	54 035
(oxyquinoléate)		
$\text{Ni}(\text{C}_9\text{H}_6\text{ON})_2 \cdot 2\text{H}_2\text{O}$	383,05	58 326

Tableau 6 (suite)

Formule	Masse <i>a</i>	lg <i>a</i>
NiCO ₃	118,72	07 452
Ni(CO) ₄	170,75	23 236
NiCl ₂ ·6H ₂ O	237,71	37 605
NiCl ₂	129,62	11 267
Ni(NO ₃) ₂	182,72	26 179
Ni(NO ₃) ₂ ·6H ₂ O	290,81	46 361
Ni(NH ₄) ₂ (SO ₄) ₂ ·6H ₂ O	395,00	59 660
NiO	74,71	87 338
Ni ₂ O ₃	165,42	21 859
Ni ₃ P ₂ O ₇	291,36	46 443
NiS	90,77	95 794
NiSO ₄	154,77	18 969
NiSO ₄ ·7H ₂ O	280,88	44 852
O	15,9994	20 410
1/2O	7,9997	90 307
2O	31,9988	50 513
3O	47,9982	68 122
4O	63,9976	80 616
5O	79,997	90 307
6O	95,996	98 225
7O	111,996	04 920
8O	127,995	10 719
OCH ₃	31,0345	49 184
OC ₂ H ₅	45,0616	65 381
OCN	42,0173	62 343
OH	17,0074	23 064
20H	34,0147	53 167
30H	51,0221	70 776
40H	68,0295	83 270
50H	85,037	92 961
60H	102,044	00 879

Tableau 6 (suite)

Formule	Masse <i>a</i>	lg <i>a</i>
Os	190,2	27 921
2Os	380,4	58 024
OcCl ₄	332,0	52 114
OsO ₂	222,2	34 674
OsO ₄	254,2	40 518
P	30,9738	49 099
1/5P	6,19476	79 202
1/3P	10,32460	01 387
2P	61,9476	79 202
3P	92,9214	96 812
PBr ₃	270,686	43 247
PCl ₃	137,333	13 777
PCl ₅	208,24	31 856
PH ₃	33,9977	53 145
PO ₂	62,9726	79 915
PO ₃	78,9720	89 747
PO ₄	94,9714	97 759
2PO ₄	189,943	27 862
P ₂ O ₃	109,9458	04 118
P ₂ O ₅	141,945	15 212
P ₂ O ₇	173,943	24 041
POCl ₃	153,332	18 563
P ₂ O ₅ ·24MoO ₃	3596,5	55 588
Pb	207,19	31 637
1/2Pb	103,595	01 534
2Pb	414,38	61 740
3Pb	621,57	79 349
PbBr ₂	367,00	56 467
Pb(C ₂ H ₃ O ₂) ₂ (acétate)	325,28	51 226

Tableau 6 (suite)

Formule	Masse <i>a</i>	lg <i>a</i>
Pb(C ₂ H ₃ O ₂) ₂ · 3H ₂ O	379,33	57 902
Pb(C ₂ H ₃) ₄	323,44	50 979
Pb(C ₇ H ₄ NS ₂)OH	390,44	59 155
(mercaptobenzothiazolide)		
Pb(C ₇ H ₆ O ₂ N) ₂	479,45	68 074
(salicylaldoxime ou anthranilate)		
Pb(C ₁₀ H ₇ O ₃ N ₄) ₂ · 1 1/2H ₂ O	760,60	88 116
(picrolanate)		
Pb(C ₁₂ H ₁₀ ONS) ₂	639,76	80 602
(thionalide)		
PbCO ₂	267,20	42 684
PbCl ₂	278,10	44 420
PbCl ₄	349,00	54 283
PbClF	261,64	41 770
PbCrO ₄	323,18	50 944
PbF ₂	245,19	38 950
PbI ₂	461,00	66 370
PbMoO ₄	367,13	56 482
Pb(NO ₃) ₂	331,20	52 009
PbO	223,19	34 867
PbO ₂	239,19	37 874
Pb ₃ O ₄	685,57	83 605
Pb(OH) ₂	241,20	38 238
PbS	239,25	37 885
PbSO ₃	287,25	45 826
PbSO ₄	303,25	48 180
PbWO ₄	455,04	65 805
Pd	106,4	02 694
2Pd	212,8	32 797
Pd(C ₄ H ₇ O ₂ N ₂) ₂	336,6	52 711
(diméthylglyoxime)		
Pd(C ₇ H ₆ O ₂ N) ₂	378,7	57 830
(salicylaldoxime)		
Pd(C ₉ H ₆ ON) ₂	394,7	59 627
(oxyquinoléate)		

Tableau 6 (suite)

Formule	Masse <i>a</i>	lg <i>a</i>
Pd(CN) ₂	158,4	19 976
PdCl ₂	177,3	24 871
PdCl ₂ ·2H ₂ O	213,3	32 899
PdC ₄	248,2	39 480
PdCl ₆	319,1	50 393
PbI ₂	360,2	55 654
Pd(NO ₃) ₂	230,4	36 248
PdO	122,4	08 778
PdS	138,5	14 145
PdSO ₄	202,5	30 643
PdSO ₄ ·2H ₂ O	238,5	37 749
Pt	195,09	29 024
1/4Pt	48,773	68 818
1/2Pt	97,545	98 921
2Pt	390,18	59 127
PtCl ₄	336,90	52 750
PtCl ₆	407,81	61 046
PtS	227,15	35 631
Rb	85,47	93 181
2Rb	170,94	23 284
RbAl(SO ₄) ₂ ·12H ₂ O	520,76	71 664
Rb ₂ CO ₃	230,95	36 352
RbCl	120,92	08 250
RbClO ₄	184,92	26 698
RbI	212,37	32 709
RbNO ₃	147,47	16 870
Rb ₂ O	186,94	27 170
Rb ₂ PtCl ₆	578,75	76 249
RbSO ₄	267,00	42 651

Tableau 6 (suite)

Formule	Masse <i>a</i>	lg <i>a</i>
Re	186,2	26 998
2Re	372,4	57 101
ReCl ₃	292,6	46 627
ReCl ₅	363,5	56 050
ReO ₂	218,2	33 885
ReO ₃	234,2	36 959
ReO ₄	250,2	39 829
Re ₂ O ₇	484,4	68 520
Rh	102,905	01 244
2Rh	205,810	31 347
RhCl ₃	209,264	32 069
RhO ₂	134,904	13 002
Rh ₂ O ₃	253,808	40 451
Ru	101,07	00 462
2Ru	202,14	30 565
RuO ₄	165,07	21 767
S	32,064	50 602
2S	64,13	80 706
3S	96,19	98 313
4S	128,26	10 809
5S	160,32	20 499
6S	192,38	28 416
SCN	58,082	76 404
2SCN	116,16	06 506
3SCN	174,25	24 117
4SCN	232,33	36 611

Tableau 6 (suite)

Formule	Masse <i>a</i>	lg <i>a</i>
5SCN	290,41	46 301
6SCN	348,49	54 219
SH	33,072	51 946
2SH	66,14	82 046
3SH	99,22	99 660
SO ₂	64,063	80 661
SO ₃	80,062	90 343
SO ₃ H	81,070	90 886
2SO ₃ H	162,14	20 989
SO ₃ Na	103,052	01 306
2SO ₃ Na	206,10	31 408
SO ₄	96,062	98 255
2SO ₄	192,12	28 357
3SO ₄	288,18	45 966
S ₂ O ₃	112,13	04 972
S ₂ O ₄	128,13	10 765
S ₂ O ₇	176,12	24 581
S ₂ O ₈	192,12	28 357
S ₄ O ₆	224,25	35 073
Sb	121,75	08 547
1/5Sb	24,350	38 650
1/3Sb	40,583	60 834
1/2Sb	60,875	78 444
2 Sb	243,50	38 650
SbC ₆ H ₅ O ₄	262,85	41 971
(pyrogallate)		
Sb(C ₆ H ₄ ON) ₃	554,21	74 367
(oxyquinoléate)		
Sb(C ₁₂ H ₁₀ ONS) ₃	770,60	88 683
(thionalide)		
SbCl ₃	228,11	35 814
SbCl ₅	299,02	47 570
SbCl ₃	502,46	70 110
SbOCl	173,20	23 855

Tableau 6 (suite)

Formule	Masse <i>a</i>	lg <i>a</i>
Sb ₂ O ₃	291,50	46 464
Sb ₂ O ₅	323,50	50 987
SbS ₄	250,01	39 796
Sb ₂ S ₃	339,69	53 108
Sb ₂ S ₅	403,82	60 619
Sc	44,956	65 279
2Sc	89,912	95 382
Sc ₂ O ₃	137,910	13 960
Se	78,96	89 741
2Se	157,92	19 844
SeO ₂	110,96	04 517
SeO ₃	126,96	10 367
SeO ₄	142,96	15 521
Si	28,086	44 849
2Si	56,172	74 952
3Si	84,258	92 561
4Si	112,344	05 055
5Si	140,43	14 746
6Si	168,52	22 665
SiC	40,097	60 311
SiCl ₄	169,90	23 019
SiF ₄	104,080	01 737
SiF ₆	142,076	15 252
SiH ₄	32,118	50 675
SiO ₂	60,085	77 877
SiO ₃	76,084	88 129
2SiO ₃	152,168	18 232

Tableau 6 (suite)

Formule	Masse <i>a</i>	lg <i>a</i>
3SiO ₃	228,253	35 842
4SiO ₃	304,34	48 336
SiO ₄	92,084	96 418
2SiO ₄	184,167	26 521
Si ₂ O ₇	168,168	22 574
Si ₃ O ₈	212,253	32 685
Sn	118,69	07 441
1/4Sn	29,673	47 236
1/2Sn	59,345	77 338
2Sn	237,38	37 544
SnCl ₂	189,60	27 784
SnCl ₂ ·2H ₂ O	225,63	35 340
SnCl ₄	260,50	41 581
SnO	134,69	12 934
SnO ₂	150,69	17 808
SnS	150,75	17 826
SnS ₂	182,82	26 202
SnS ₃	214,88	33 220
Sr	87,62	94 260
1/2Sr	43,810	64 157
2Sr	175,24	24 363
Sr(C ₂ H ₃ O ₂) ₂ ·1/2H ₂ O	214,72	33 187
(acétate)		
SrC ₂ O ₄	175,64	24 462
SrC ₂ O ₄ ·H ₂ O	193,66	28 704
SrCO ₃	147,63	16 917
SrCl ₂	158,53	20 011
SrCl ₂ ·6H ₂ O	266,62	42 589
SrCrO ₄	203,61	30 880
Sr(NO ₃) ₂	211,63	32 558

Tableau 6 (suite)

Formule	Masse <i>a</i>	lg <i>a</i>
Sr(NO ₃) ₂ ·4H ₂ O	283,69	45 284
SrO	103,62	01 544
Sr(OH) ₂	121,63	08 504
Sr(OH) ₂ ·8H ₂ O	265,76	42 449
SrSO ₃	167,68	22 448
SrSO ₄	183,68	26 406
SrS ₂ O ₃	199,75	30 049
.		
Ta	180,948	25 755
2Ta	361,896	55 858
TaCl ₅	358,21	55 414
Ta ₂ O ₃	441,893	64 532
Te	127,60	10 585
2Te	255,20	40 688
TeO ₂	159,60	20 303
TeO ₃	175,60	24 452
TeO ₄	191,60	28 240
Th	232,038	36 556
2Th	464,076	66 659
Th(C ₉ H ₆ ON) ₄	808,655	90 776
(oxyquinoléate)		
Th(C ₉ H ₆ ON) ₄ ·(C ₉ H ₇ ON)	953,817	97 947
(oxyquinoléate) (oxyquinoléine)		
Th(C ₁₀ H ₇ O ₃ N ₄) ₄ ·H ₂ O	1302,818	11 488
(picrolanate)		
Th(C ₂ O ₄) ₂ ·6H ₂ O	516,170	71 279
(oxalate)		
ThCl ₄	373,850	57 270

Tableau 6 (suite)

Formule	Masse <i>a</i>	lg <i>a</i>
Th(NO ₃) ₄	480,058	68 129
Th(NO ₃) ₄ ·4H ₂ O	552,119	74 203
Th(NO ₃) ₄ ·12H ₂ O	696,242	84 276
ThO ₂	264,037	42 166
Th(SO ₄) ₂	424,16	62 753
Th(SO ₄) ₂ ·9H ₂ O	586,30	76 812
<hr/>		
Ti	47,90	68 034
1/4Ti	11,975	07 828
1/3Ti	15,967	20 322
2Ti	95,80	98 137
TiCl ₃	154,26	18 825
TiCl ₄	189,71	27 809
TiO(C ₈ H ₆ ON) ₂	352,21	54 681
(oxyquinoléate)		
TiO ₂	79,90	90 255
(TiO) ₂ P ₂ O ₇	301,74	47 963
TiOSO ₄	159,96	20 401
<hr/>		
Tl	204,37	31 042
2Tl	408,74	61 145
TlBr	284,27	45 373
TlC ₇ H ₄ NS ₂	370,61	56 892
(mercaptobenzothiazolide)		
TlC ₁₂ H ₁₀ ONS	420,65	62 392
(thionalide)		
TlCl	239,82	37 989
Tl ₂ CrO ₄	524,73	71 994
TlI	331,27	52 018
TlNO ₃	266,37	42 549
Tl ₂ O	424,74	62 812
Tl ₂ O ₃	456,74	65 967

Tableau 6 (suite)

Formule	Masse <i>a</i>	lg <i>a</i>
TiOH	221,38	34 514
Ti ₂ PtCl ₆	816,55	91 198
Ti ₂ S	440,80	64 424
Ti ₂ SO ₄	504,80	70 312
U	238,03	37 663
1/6U	39,672	59 848
1/4U	59,508	77 458
2U	476,06	67 766
3U	714,09	85 375
UCl ₄	379,84	57 960
UF ₄	314,02	49 696
UF ₆	352,02	54 657
UO ₂	270,03	43 141
2UO ₂	540,06	73 244
UO ₃	286,03	45 641
UO ₄	302,03	48 005
U ₃ O ₈	842,09	92 536
UO ₂ (C ₂ H ₃ O ₂) ₂	388,12	58 897
(acétate)		
UO ₂ (C ₂ H ₃ O ₂) ₂ ·2H ₂ O	424,15	62 752
UO ₂ (C ₉ H ₆ ON) ₂ ·(C ₉ H ₇ ON)	703,50	84 726
(oxyquinoléate) (oxyquinoléine)		
UO ₂ (NO ₃) ₂	394,04	59 554
UO ₂ (NO ₃) ₂ ·6H ₂ O	502,13	70 082
(UO ₂) ₃ NaMg(C ₂ H ₃ O ₂) ₉ ·6H ₂ O ..	1496,88	17 518
(UO ₂) ₃ NaZn(C ₂ H ₃ O ₂) ₉ ·6H ₂ O ...	1537,94	18 694
(UO ₂) ₃ P ₂ O ₇	714,00	85 370
UO ₂ SO ₄	366,09	56 359
UO ₂ SO ₄ ·3H ₂ O	420,14	62 339

Tableau 6 (suite)

Formule	Masse <i>a</i>	lg <i>a</i>
V	50,942	70 708
1/5V	10,1884	00 810
1/4V	12,7355	10 502
2V	101,884	00 810
VCl ₄	192,754	28 500
VO	66,941	82 569
VOCl ₂	137,847	13 940
VO ₂	82,941	91 877
VO ₃	98,940	99 537
VO ₄	114,940	06 047
V ₂ O ₃	149,882	17 575
V ₂ O ₃ (C ₉ H ₆ ON) ₄	726,499	86 124
(oxyquinoléate)		
V ₂ O ₅	181,881	25 979
W	183,85	26 446
2W	367,70	56 549
WC	195,86	29 195
WCl ₅	361,12	55 765
WO ₃ (C ₉ H ₆ ON) ₂	504,16	70 257
(oxyquinoléate)		
WO ₃	231,85	36 521
WO ₄	247,85	39 419
Y	88,905	94 893
2Y	177,810	24 996
Y ₂ O ₃	225,819	35 374

Tableau 6 (suite)

Formule	Masse <i>a</i>	lg <i>a</i>
Zn	65,37	81 538
1/2Zn	32,685	51 435
2Zn	130,74	11 641
3Zn	196,11	29 250
Zn(C ₂ H ₃ O ₂) ₂	183,46	26 354
(acétate)		
Zn(C ₂ H ₃ O ₂) ₂ ·2H ₂ O	219,49	34 141
Zn(C ₅ H ₅ N) ₂ (SCN) ₂	339,74	53 115
(pyridine)		
Zn(C ₇ H ₆ O ₂ N) ₂	337,63	52 844
(anthranilate)		
Zn(C ₉ H ₆ ON) ₂	353,68	54 861
(oxyquinoléate)		
Zn(C ₁₀ H ₆ O ₂ N) ₂ ·H ₂ O	427,71	63 115
(quinaldine)		
Zn(CN) ₂	117,41	06 971
ZnCO ₃	125,38	09 823
ZnCl ₂	136,28	13 443
ZnHg(SCN) ₄	498,29	69 748
ZnNH ₄ PO ₄	178,38	25 135
Zn(NO ₃) ₂	189,38	27 733
Zn(NO ₃) ₂ ·6H ₂ O	297,47	47 344
ZnO	81,37	91 046
Zn(OH) ₂	99,38	99 730
Zn ₃ (PO ₄) ₂ ·4H ₂ O	458,11	66 097
Zn ₂ P ₂ O ₇	304,68	48 384
ZnS	97,43	98 869
ZnSO ₄	161,43	20 798
ZnSO ₄ ·7H ₂ O	287,54	45 870
Zr	91,22	96 009
2Zr	182,44	26 112
Zr(C ₉ H ₆ ON) ₄	667,84	82 467
(oxyquinoléate)		
ZrCl ₄	233,93	36 741
Zr(NO ₃) ₄	339,24	53 051

Tableau 6 (suite)

Formule	Masse <i>a</i>	lg <i>a</i>
Zr(NO ₃) ₄ ·5H ₂ O	429,32	63 278
ZrO ₂	123,22	09 068
ZrOCl ₂ ·8H ₂ O	322,25	50 819
ZrP ₂ O ₇	265,16	42 351
Zr(SO ₄) ₂	283,34	45 231
Zr(SO ₄) ₂ ·4H ₂ O	355,40	55 072
ZrSiO ₄	183,30	26 316

Tableau 7

Facteurs analytiques et stœchiométriques*

g étant une prise d'essai de substance prélevée en vue d'une analyse, a , la masse du précipité desséché ou calciné (forme pondérale) et f , le facteur figurant dans ce *Tableau*, on trouvera la teneur p.cent en substance cherchée d'après la formule :

$$x = \frac{a \cdot f \cdot 100}{g} \% \quad \lg x = \lg a + \lg f + 2 - \lg g$$

où a et g sont exprimées dans les mêmes unités.

On doit effectuer les calculs en négligeant les caractéristiques de logarithmes et en n'opérant que sur les mantisses. Alors chaque calcul revient à une addition de trois nombres

$$\lg a + \lg f + (1 - \lg g)$$

Les facteurs f figurant dans ce *Tableau* et leurs logarithmes ne sont pas toujours en bon accord. Cela est dû au fait que les facteurs sont arrondis, tandis que leurs logarithmes, qui caractérisent le stade intermédiaire de calcul, sont représentés par les nombres plus exacts.

On dose	Prise d'essai	Facteur f	$\lg f$
Ag	AgBr	0,5745	75 926
	AgCl	0,7526	87 658
	AgI	0,4595	66 224
Al	Al(C ₉ H ₆ ON) ₃ (oxyquinoléate)	0,05873	76 883
	Al ₂ O ₃	0,5293	72 367
	AlPO ₄	0,2212	34 487

* Sur le mode d'utilisation du *Tableau 7* voir pp. 550-552.

Tableau 7 (suite)

On dose	Prise d'essai	Facteur f	lg f
Ba	BaCrO ₄	0,5421	73 411
	BaSO ₄	0,5884	76 970
BaCl ₂ BaCl ₂ ·2H ₂ O	BaSO ₄	0,8923	95 049
	BaSO ₄	1,0466	01 979
Bc	BcO	0,3603	55 669
Bi	Bi(C ₆ H ₂ O ₂ (pyrogallate)	0,6293	79 887
	Bi(C ₉ H ₆ ON) ₃ (oxyquinoléate)	0,3258	51 294
	Bi(C ₁₂ H ₁₀ ONS) ₃ ·H ₂ O .. (thionalide)	0,2386	37 767
	Bi ₂ O ₃	0,8970	95 279
	BiOCl	0,8024	90 441
	BiPO ₄	0,6875	83 730
Br	AgBr	0,4255	62 894
C	CO ₂	0,2729	43 603
	BaCO ₃	0,06086	78 434
CN	AgCN	0,1943	28 853

Tableau 7 (suite)

On dose	Prise d'essai	Facteur f	lg f
CO ₂	BaCO ₃	0,2230	34 831
	CaCO ₃	0,4397	64 316
CO ₃	BaCO ₃	0,3041	48 298
Ca	CaCO ₃	0,4004	60 254
	CaC ₂ O ₄ ·H ₂ O	0,2743	43 822
	(oxalate)		
	CaO	0,7147	85 412
	CaSO ₄	0,2944	46 894
CaCO ₃	CO ₂	2,274	35 684
	CaO	1,785	25 158
Cd	Cd(C ₇ H ₄ NS ₂) ₂	0,2527	40 252
	(mercaptobenzothiazolide)		
	Cd(C ₇ H ₆ O ₂ N) ₂	0,2922	46 569
	(anthranilate)		
	Cd(C ₉ H ₆ ON) ₂	0,2805	44 794
	(oxyquinoléate)		
	Cd(C ₁₀ H ₆ O ₂ N) ₂	0,2461	39 111
	(quinaldinate)		
	CdO	0,8754	94 220
	Cd ₂ P ₂ O ₇	0,5638	75 111

Tableau 7 (suite)

On dose	Prise d'essai	Facteur f	lg f
Cl	AgCl	0,2474	39 334
ClO ₂	AgCl	0,5823	76 512
ClO ₄	AgCl	0,6939	84 130
Co	Co ₂ P ₂ O ₇	0,4039	60 629
Cr	BaCrO ₄	0,2053	31 228
CrO ₄	BaCrO ₄	0,4579	66 075
Cr ₂ O ₇	BaCrO ₄	0,4263	62 971
Cu	Cu(C ₅ H ₅ N) ₂ (SCN) ₂ (pyridine)	0,1881	27 429
	Cu(C ₉ H ₆ ON) ₂	0,1806	25 673
	Cu(C ₁₁ H ₁₁ O ₂ N)	0,2200	34 250
	(cupron)		
	CuO	0,7989	90 248

Tableau 7 (suite)

On dose	Prise d'essai	Facteur f	$\lg f$
F	CaF_2	0,4866	68 721
	PbClF	0,07261	86 102
Fe	Fe_2O_3	0,6994	84 473
H	H_2O	0,1119	04 884
HBr	AgBr	0,4309	63 438
HCN	AgCN	0,2019	30 504
HI	AgI	0,5448	73 626
HNO_3	$\text{C}_{20}\text{H}_{16}\text{N}_4 \cdot \text{HNO}_3$ (nitron)	0,1679	22 495
H_3PO_4	$\text{Mg}_2\text{P}_2\text{O}_7$	0,8806	94 478
H_2SO_4	BaSO_4	0,4202	62 347

Tableau 7 (suite)

On dose	Prise d'essai	Facteur f	lg f
K	$K(C_6H_5)_4B$	0,1091	03 790
	KCl	0,5245	71 972
	$KClO_4$	0,2822	45 058
	$KN(C_6H_5)_2(NO_2)_6$ (dipicrylamine)	0,08192	91 340
	K_2PtCl_6	0,1609	20 658
	K_2SO_4	0,4489	65 212
Li	Li_3PO_4	0,1798	25 476
Mg	$Mg(C_9H_6ON)_2$ (oxyquinolate)	0,07775	89 069
	$Mg_2P_2O_7$	0,2184	33 930
Mn	$Mn_2P_2O_7$	0,3871	58 786
Mo	MoO_3	0,6665	82 382
	$PbMoO_4$	0,2613	41 718
MoO_4	$PbMoO_4$	0,4357	63 914
N	Pt	0,1436	15 713

Tableau 7 (suite)

On dose	Prise d'essai	Facteur f	$\lg f$
NH ₄	Pt	0,1849	26 699
Na	Na ₂ SO ₄	0,3237	51 016
	NaZn(UO ₂) ₃ × × (C ₂ H ₃ O ₂) ₉ · 6H ₂ O	0,01495	17 460
Ni	NiC ₈ H ₁₄ N ₄ O ₄	0,2032	30 790
	(diméthylglyoxime)		
	NiO	0,7858	89 533
	NiSO ₄	0,3793	57 902
P	Mg ₂ P ₂ O ₇	0,2783	44 456
	(NH ₄) ₃ PO ₄ · 12MoO ₃	0,01651	21 769
		(théorique)	
		0,01639	21 464
		(empirique)	
	P ₂ O ₅ · 24MoO ₃	0,01722	23 614
Pb	PbCrO ₄	0,6411	80 693
	PbMoO ₄	0,5644	75 155
	PbSO ₄	0,6832	83 457
S	BaSO ₄	0,1374	13 792

Tableau 7 (suite)

On dose	Prise d'essai	Facteur f	lg f
SCN	AgSCN	0,3500	34 831
	BaSO ₄	0,4397	64 316
SO ₄	BaSO ₄	0,4116	61 445
Si	SiO ₂	0,4674	66 972
Sn	SnO ₂	0,7876	89 633
Sr	SrC ₂ O ₄ ·H ₂ O	0,4524	65 556
	SrO	0,8456	92 716
	SrSO ₄	0,4770	67 854
Ti	TiO ₂	0,5995	77 779
Tl	Tl ₂ CrO ₄	0,7790	89 151
	TlI	0,6169	79 024
U	U ₃ O ₈	0,8480	92 839
W	WO ₃	0,7930	89 925

Tableau 7 (suite)

On dose	Prise d'essai	Facteur f	lg f
Zn	$\text{Zn}(\text{C}_5\text{H}_5\text{N})_2(\text{SCN})_2$ (pyridine)	0,1924	28 423
	$\text{Zn}(\text{C}_7\text{H}_5\text{O}_2\text{N})_2$ (anthranilate)	0,1936	28 694
	$\text{Zn}(\text{C}_9\text{H}_6\text{ON})_2$ (oxyquinoléate)	0,1848	26 677
	$\text{ZnHg}(\text{SCN})_4$	0,1312	11 790
	ZnO	0,8034	90 492
	$\text{Zn}_2\text{P}_2\text{O}_7$	0,4291	63 257
Zr	ZrO_2	0,7403	86 941

Tableau 8

Solubilités de certains composés minéraux et organiques dans l'eau

On indique dans la première colonne le nombre de grammes (P) de substance anhydre qui est dissoute dans 100 g d'eau à une température indiquée en ligne supérieure. Si l'on désire d'exprimer ces données en p. cent pondéraux (P_1 %), c.-à-d. en grammes de substance anhydre renfermés dans 100 g de solution saturée, on effectuera le calcul d'après la formule

$$P_1 = \frac{P \cdot 100}{100 + P}$$

P. S. signifie la phase solide, c.-à-d. l'hydrate cristallisé qui se trouve en équilibre avec la solution saturée. Certaines colonnes représentent les solubilités de deux ou plusieurs hydrates cristallisés de la même substance à une seule température, à 0°, par exemple la solubilité de $\text{Na}_2\text{SO}_4 \cdot 10\text{H}_2\text{O}$ est égale à 5,0 g/100 g, celle de $\text{Na}_2\text{SO}_4 \cdot 7\text{H}_2\text{O}$ est de 19,5 g/100 g. Dans ces cas l'hydrate cristallisé à la plus faible solubilité se trouvera en *équilibre stable* avec la solution saturée, les autres hydrates cristallisés en *équilibre métastable*.

Les valeurs des solubilités des sels peu solubles sont calculées à partir de leurs produits de solubilité (voir *Tableau 10*).

Les substances sont disposées par ordre alphabétique des symboles chimiques figurant dans la formule, pour laquelle on adopte la représentation la plus répandue. On doit tenir compte de ce fait lorsqu'on cherche à trouver dans le *Tableau 8* des sels acides, basiques, doubles et complexes dont les formules peuvent être représentées d'une manière différente.

Les solubilités des gaz correspondent à une pression de 760 mm Hg.

n°	Formule	P. S.*	Température (°C)			
			0	10	20	30
			Solubilité du composé anhydre dans			
1	$\text{AgC}_2\text{H}_3\text{O}_2$	—	0,72	0,88	1,04	1,21
2	AgF	$2\text{H}_2\text{O}$	—	119,8	172,0	190,1
3	AgNO_2	—	0,155	0,220	0,340	0,510
4	AgNO_3	—	122	170	222	300
5	Ag_2SO_4	—	0,57	0,69	0,79	0,88
6	AlCl_3	$6\text{H}_2\text{O}$	43,8	44,9	45,9	46,6
7	$\text{Al}(\text{NO}_3)_3$	$9\text{H}_2\text{O}$	61	67	75,4	81
8	$\text{Al}_2(\text{SO}_4)_3$	$18\text{H}_2\text{O}$	31,2	33,5	36,4	40,4
9	As_2O_3	—	1,21	—	2,04 (25 °C)	—
10	As_2O_5	—	59,5	62,1	65,9	69,5
11	B_2O_3	—	1,1	1,5	2,2	—
12	BaBr_2	$2\text{H}_2\text{O}$	98	101	104	109
13	$\text{Ba}(\text{BrO}_3)_2$	H_2O	0,287	0,441	2,656	0,96
14	$\text{Ba}(\text{C}_2\text{H}_3\text{O}_2)_2$	$3\text{H}_2\text{O}$	59	63	71	—
15	$\text{Ba}(\text{C}_2\text{H}_3\text{O}_2)_2$	H_2O	—	—	—	75
16	BaCl_2	$2\text{H}_2\text{O}$	31,6	33,3	35,7	38,2
17	$\text{Ba}(\text{ClO}_3)_2$	H_2O	20,33	26,95	33,80	41,70
18	$\text{Ba}(\text{ClO}_4)_2$	$3\text{H}_2\text{O}$	205,8	—	289,2	—
19	BaI_2	$7\frac{1}{2}\text{H}_2\text{O}$	166,6	184,1	203,1	219,6
20	BaI_2	$2\text{H}_2\text{O}$	—	—	—	—
21	$\text{Ba}(\text{NO}_2)_2$	H_2O	—	—	67,5	—
22	$\text{Ba}(\text{NO}_3)_2$	—	5,0	7,0	9,2	11,6
23	$\text{Ba}(\text{OH})_2$	$8\text{H}_2\text{O}$	1,67	2,48	3,89	5,59
24	BaSO_4	—	—	$2 \cdot 10^{-4}$	$2,4 \cdot 10^{-4}$	$2,8 \cdot 10^{-4}$

* Le nombre de molécules d'eau d'un hydrate cristallisé (P. S.) se trouvant en équilibre avec la solution saturée.

Tableau 8 (suite)

40	50	60	70	80	90	100	n°
100 g d'eau à une température donnée (g)							
1,41	1,64	1,89	2,18	2,52	—	—	1
222,0	—	—	—	—	—	—	2
0,715	0,995	1,363	—	—	—	—	3
376	455	525	—	669	—	952	4
0,98	1,08	1,15	1,23	1,30	1,36	1,41	5
47,3	—	48,1	—	48,6	—	49,0	6
89	96	108	120	132,5	153	159	7
45,7	52,2	59,2	66,2	73,1	86,8	89,0	8
2,93	3,43	4,44	5,62	—	—	8,17	9
71,2	—	73,0	(75 °C)	75,2	—	75,7	10
4,0	—	6,2	—	9,5	—	15,7	11
114	118	123	128	135	—	149	12
1,33	1,75	2,32	3,01	3,65	4,45	5,7	13
—	—	—	—	—	—	—	14
79	77	74	74	—	—	75	15
40,7	43,6	46,4	49,4	52,4	—	58,8	16
49,61	—	66,80	—	84,84	—	104,9	17
358,7	—	426,3	—	495,2	—	562,2	18
—	—	—	—	—	—	—	19
223,7	234,3	241,3	246,6	257,1	270,4	284,5	20
101,2	—	141,9	—	205,8	—	300	21
14,2	17,1	20,3	23,6	27,0	30,6	34,2	22
8,22	13,12	20,94	35,6	101,4	—	—	23
—	—	—	—	$4 \cdot 10^{-4}$	—	—	24

n°	Formule	P. S.*	Température (°C)			
			0	10	20	30
			Solubilité du composé anhydre dans			
25	BaSiF ₆	—	—	—	2,1 · 10 ⁻²	2,7 · 10 ⁻²
26	Be(NO ₃) ₂	4H ₂ O	49,4	—	—	52,3
27	BeSO ₄	4H ₂ O	37,0	—	39,9	43,8
28	Br ₂	—	4,22	3,4	3,20	3,13
29	CO	—	4,4 · 10 ⁻³	3,5 · 10 ⁻³	2,8 · 10 ⁻³	2,4 · 10 ⁻³
30	CO ₂	—	0,3346	0,2318	0,1688	0,1257
31	CaBr ₂	6H ₂ O	125	132	143	—
32	CaBr ₂	4H ₂ O	—	—	—	—
33	Ca(C ₂ H ₃ O ₂) ₂	2H ₂ O	37,4	36,0	34,7	33,8
34	Ca(C ₂ H ₃ O ₂) ₂	H ₂ O	—	—	—	—
35	CaCO ₃	—	8,1 · 10 ⁻³	7,0 · 10 ⁻³	6,5 · 10 ⁻³	5,2 · 10 ⁻³
36	CaCl ₂	6H ₂ O	59,5	65,0	74,5	102
37	CaCl ₂	2H ₂ O	—	—	—	—
38	Ca(HCO ₃) ₂ ...	—	0,1615	—	0,1660	—
39	Ca(H ₂ PO ₄) ₂ ...	—	—	—	15,4 (25 °C)	—
40	CaI ₂	—	182,5	194,1	208,6	222,5
41	Ca(IO ₃) ₂	6H ₂ O	0,10	0,17	—	0,42
42	Ca(IO ₃) ₂	H ₂ O	—	—	—	—
43	Ca(NO ₃) ₂	4H ₂ O	62,1	—	76,7	—
44	Ca(NO ₃) ₂	2H ₂ O	—	—	—	—
45	Ca(NO ₃) ₂	4H ₂ O	102,1	115,3	129,3	152,6
46	Ca(NO ₃) ₂	3H ₂ O	—	—	—	—
47	Ca(NO ₃) ₂	—	—	—	—	—
48	Ca(OH) ₂	—	0,185	0,176	0,165	0,153
49	CaSO ₃	2H ₂ O	—	—	4,3 · 10 ⁻³	—
50	CaSO ₄	2H ₂ O	0,1759	0,1928	0,2036	0,209

* Le nombre de molécules d'eau d'un hydrate cristallisé (P. S.) se trouvant en équilibre avec la solution saturée.

Tableau 8 (suite)

40	50	60	70	80	90	100	n°
100 g d'eau à une température donnée (g)							
$3 \cdot 10^{-2}$	$3,3 \cdot 10^{-2}$	—	—	—	—	$9 \cdot 10^{-2}$	25
—	58,6	64,0	—	—	—	—	26
46,7	—	55,5	62	—	83	100	27
—	—	—	—	—	—	—	28
$2,1 \cdot 10^{-3}$	$1,8 \cdot 10^{-3}$	$1,5 \cdot 10^{-3}$	$1,3 \cdot 10^{-3}$	$1,0 \cdot 10^{-3}$	$6 \cdot 10^{-4}$	—	29
0,0973	0,0761	0,0576	—	—	—	—	30
—	—	—	—	—	—	—	31
68,1	—	73,5	—	74,7	—	—	32
33,2	32,8	32,7	33,0	33,5	—	—	33
—	—	—	—	—	31,1	29,7	34
$4,4 \cdot 10^{-3}$	$3,8 \cdot 10^{-3}$	—	—	—	—	—	35
—	—	—	—	—	—	—	36
—	—	136,8	141,7	147,0	152,7	159,0	37
0,1705	—	0,1750	—	0,1795	—	0,1840	38
—	—	—	—	—	—	12,5	39
242,4	—	284,5	—	354,6	—	426,3	40
0,61	0,90	1,38	—	—	—	—	41
0,52	0,59	0,65	—	0,80	—	0,95	42
—	—	—	—	—	—	—	43
—	—	132,5	151,9	—	244,8	—	44
196,0	—	—	—	—	—	—	45
237,5	281,5	—	—	—	—	—	46
—	—	—	—	358,7	—	363,7	47
0,141	0,128	0,116	0,106	0,094	0,085	0,077	48
$6,3 \cdot 10^{-3}$	—	—	$4,5 \cdot 10^{-3}$	$3,1 \cdot 10^{-3}$	$2,7 \cdot 10^{-3}$	$1,1 \cdot 10^{-3}$	49
0,2097	—	0,2047	0,1974	0,1966	—	0,1619	50

n°	Formule	P. S.*	Température (°C)			
			0	10	20	30
			Solubilité du composé anhydre dans			
51	CdBr ₂	4H ₂ O	56,2	75,4	98,8	128,8
52	CdCl ₂	2 1/2H ₂ O	90,01	122,8	—	—
53	CdCl ₂	H ₂ O	—	135,1	134,5	—
54	CdI ₂	—	79,8	83,2	86,2	89,7
55	Cd(NO ₃) ₂	9H ₂ O	106	—	—	—
56	Cd(NO ₃) ₂	4H ₂ O	—	—	153	—
57	Cd(NO ₃) ₂	—	—	—	—	—
58	CdSO ₄	8/3H ₂ O	75,4	76,1	—	77,7
59	CdSO ₄	H ₂ O	—	—	—	—
60	Ce(NH ₄) ₂ (NO ₃) ₆	—	—	—	129,3	153,8
61	CeNH ₄ (SO ₄) ₂	4H ₂ O	—	—	5,33	—
62	Ce ₂ (SO ₄) ₃	9H ₂ O	20,98	—	10,08	6,79
63	Ce ₂ (SO ₄) ₃	8H ₂ O	16,96	—	9,52	—
64	Ce ₂ (SO ₄) ₃	5H ₂ O	—	—	—	—
65	Ce ₂ (SO ₄) ₃	4H ₂ O	—	—	—	—
66	Cl ₂	—	1,46	0,980	0,716	0,562
67	CoCl ₂	6H ₂ O	43,5	47,7	52,9	59,7
68	CoCl ₂	2H ₂ O	—	—	—	—
69	CoI ₂	6H ₂ O	138,1	159,7	187,4	233,3
70	Co(IO ₃) ₂	2H ₂ O	—	—	0,45	0,52
71	Co(NO ₃) ₂	6H ₂ O	84,05	—	100,0	111,4
72	Co(NO ₃) ₂	3H ₂ O	—	—	—	—
73	Co(NO ₃) ₂	—	0,076	0,24	0,40	0,60
74	CoSO ₄	7H ₂ O	25,5	—	36,3	—
75	CoSO ₄	6H ₂ O	—	—	—	—
76	CoSO ₄	H ₂ O	—	—	—	—
77	CrO ₃	—	164,8	166,0	167,4	169,5

* Le nombre de molécules d'eau d'un hydrate cristallisé (P. S.) se trouvant en équilibre avec la solution saturée.

Tableau 8 (suite)

40	50	60	70	80	90	100	n°
100 g d'eau à une température donnée (g)							
151,9	—	152,9	—	155,1	—	160,8	51
—	—	—	—	—	—	—	52
135,3	—	136,5	—	140,5	—	147,0	53
93,8	97,4	100,4	110,0	—	—	124,9	54
—	—	—	—	—	—	—	55
199	—	—	—	—	—	—	56
—	—	619	—	646	—	682	57
78,6	—	—	—	—	—	—	58
—	77,1	—	70,3	67,6	64,5	58,4	59
183,0	—	196,5	—	219,6	—	—	60
3,29	—	—	—	—	1,05	—	61
—	4,67	3,88	—	—	—	—	62
5,95	—	4,04	—	—	—	—	63
—	—	3,25	—	1,20	—	0,46	64
6,05	3,42	2,35	—	1,01	—	0,41	65
0,451	0,386	0,324	0,274	0,219	0,125	0	66
69,5	—	—	—	—	—	—	67
—	88,7	93,8	95,3	97,6	101,2	106,2	68
300,0	376,1	—	—	400,0	—	—	69
—	0,67	—	—	—	—	1,33	70
126,8	—	—	—	—	—	—	71
—	—	167,4	184,8	220,5	334,8	—	72
0,84	—	—	—	—	—	—	73
49,9	—	—	—	—	—	—	74
—	—	55,0	—	—	—	—	75
—	—	—	—	73,8	—	83,9	76
174,0	182,5	186,5	—	194,1	198,6	206,7	77

n°	Formule	P. S.*	Température (°C)			
			0	10	20	30
			Solubilité du composé anhydre dans			
78	CsAl(SO ₄) ₂ ...	12H ₂ O	0,34	—	0,46	—
79	CsCl	—	161,4	174,7	186,5	197,3
80	CsClO ₃	—	2,46	3,8	6,2	9,5
81	CsClO ₄	—	0,8	1,0	1,6	2,6
82	CsF	1 1/2H ₂ O	—	—	366,6 (18 °C)	—
83	CsIO ₃	—	—	—	2,6 (24 °C)	—
84	CsIO ₄	—	—	2,15 (15 °C)	—	—
85	CsNO ₃	—	9,33	14,9	23,0	33,9
86	CsOH	—	—	79,41 (15 °C)	—	75,18
87	Cs ₂ PtCl ₆	—	4,7 · 10 ⁻³	6,4 · 10 ⁻³	8,6 · 10 ⁻³	11,9 · 10 ⁻³
88	Cs ₂ SO ₄	—	167,1	173,1	178,7	184,1
89	CuBr ₂	4H ₂ O	107,5	116,0	126,8	127,7
90	CuCl ₂	4H ₂ O	68,6	70,9	—	—
91	CuCl ₂	2H ₂ O	—	—	72,7	77,3
92	CuI ₂	—	—	—	1,107	—
93	Cu(IO ₃) ₂	H ₂ O	—	—	0,153	—
94	Cu(NH ₄) ₂ Cl ₄	2H ₂ O	28,24	—	35,05	—
95	Cu(NO ₃) ₂	6H ₂ O	81,8	100,0	124,8	154,4
96	Cu(NO ₃) ₂	3H ₂ O	—	—	—	—
97	CuSO ₄	5H ₂ O	14,3	17,4	20,7	25,0
98	FeBr ₂	6H ₂ O	102,1	—	115,0	122,3
99	FeCl ₂	4H ₂ O	—	64,5	—	73,0
100	FeCl ₂	2H ₂ O	—	—	—	—

* Le nombre de molécules d'eau d'un hydrate cristallisé (P. S.) se trouvant en équilibre avec la solution saturée.

Tableau 8 (suite)

40	50	60	70	80	90	100	n°
100 g d'eau à une température donnée (g)							
0,89	—	2,00	—	5,49	—	42,54	78
208,0	218,3	229,7	239,5	250,0	260,1	270,5	79
13,8	19,4	26,2	34,7	45,0	58,0	79,0	80
4,0	5,4	7,3	9,8	14,4	20,5	30,0	81
—	—	160	—	—	—	—	82
—	—	—	—	—	—	—	83
—	—	—	—	—	—	—	84
47,2	64,4	83,8	107,0	134,0	163,0	197,0	85
—	—	—	—	—	—	—	86
15,8· ·10 ⁻³	21,2· ·10 ⁻³	29,0· ·10 ⁻³	38,9· ·10 ⁻³	52,5· ·10 ⁻³	67,5· ·10 ⁻³	91,5· ·10 ⁻³	87
189,9	194,9	199,9	205,0	210,3	214,9	220,3	88
—	131,4	—	—	—	—	—	89
—	—	—	—	—	—	—	90
80,8	84,2	87,6	92,3	96,1	103,6	110,0	91
—	—	—	—	—	—	—	92
—	—	—	—	—	—	0,65	93
43,82	—	56,57	—	76,56	—	—	94
—	—	—	—	—	—	—	95
163,1	171,8	181,8	194,1	207,8	222,5	247,3	96
28,5	33,3	40,0	47,1	55	64,2	75,4	97
128,3	—	143,9	—	159,7	—	177,8	98
77,3	82,5	88,7	—	100,0	—	—	99
—	—	—	—	—	105,3	105,8	100

n°	Formule	P. S.*	Température (°C)			
			0	10	20	30
			Solubilité du composé anhydre dans			
101	FeCl ₃	6H ₂ O	74,4	81,8	91,9	106,8
102	FeCl ₃	2H ₂ O	—	—	—	—
103	FeCl ₃	—	—	—	—	—
104	Fe(NO ₃) ₃	6H ₂ O	78,03	—	83,03	—
105	FeSO ₄	7H ₂ O	15,65	20,5	26,5	32,9
106	FeSO ₄	H ₂ O	—	—	—	—
107	H ₂	—	1,982· ·10 ⁻⁴	1,740· ·10 ⁻⁴	1,603· ·10 ⁻⁴	1,474· ·10 ⁻⁴
108	H ₃ BO ₃	—	2,66	3,57	5,04	6,72
109	HBr	—	221,2	210,3	198,2	—
110	H ₂ C ₂ O ₄	2H ₂ O	3,54	6,08	9,52	14,3
111	H ₂ C ₄ H ₄ O ₄ (succinique)	—	2,80	4,50	6,91	10,62
112	H ₂ C ₄ H ₄ O ₆ (tartrique)	—	115,0	126,3	139,2	156,4
113	H ₃ C ₆ H ₅ O ₇ (citrique)	H ₂ O	96	118	146	183
114	H ₃ C ₆ H ₅ O ₇	—	—	—	—	—
115	HC ₇ H ₅ O ₂	—	0,17	0,21	0,29	0,41
116	HC ₇ H ₅ O ₃	—	0,090	0,14	0,22	0,30
117	HCl	—	82,3	—	—	67,3
118	HIO ₃	—	236,7	—	257,1	—
119	H ₂ S	—	0,699	0,502	0,378	0,294
120	H ₂ SeO ₃	—	90,1	122,3	166,6	235,6
121	H ₂ SeO ₄	H ₂ O	426,3	—	566,6	—
122	H ₂ SeO ₄	—	—	—	—	132,5
123	H ₂ TeO ₄	6H ₂ O	16,17	35,52	—	—
124	H ₂ TeO ₄	2H ₂ O	—	33,85	—	50,05

* Le nombre de molécules d'eau d'un hydrate cristallisé (P. S.) se trouvant en équilibre avec la solution saturée.

Tableau 8 (suite)

40	50	60	70	80	90	100	n°
100 g d'eau à une température donnée (g)							
—	—	—	—	—	—	—	101
—	315,2	—	—	—	—	—	102
—	—	—	—	525,0	—	536,9	103
—	—	166,6	—	—	—	—	104
40,2	48,6	—	—	—	—	—	105
—	—	—	50,9	43,6	37,3	—	106
1,384· ·10 ⁻⁴	1,287· ·10 ⁻⁴	1,178· ·10 ⁻⁴	1,021· ·10 ⁻⁴	0,790· ·10 ⁻⁴	0,461· ·10 ⁻⁴	0	107
8,72	11,54	14,81	18,62	23,62	30,38	40,3	108
—	171,3	—	—	—	—	130,0	109
21,5	31,4	44,3	65,0	84,5	119,8	—	110
16,1	24,4	35,9	51,1	70,9	—	121,3	111
176,2	195,0	218,5	244,8	273,2	—	344,4	112
—	—	—	—	—	—	—	113
216	244	278	—	371	—	526	114
0,56	0,78	1,16	—	2,71	—	5,88	115
0,42	0,64	0,90	1,39	2,26	3,89	8,12	116
63,3	59,6	56,1	—	—	—	—	117
280,2	—	314,9	—	360,8	—	420,8	118
0,232	0,186	0,146	0,109	0,076	0,041	0,000	119
344,4	380,7	383,0	383,0	383,0	385,4	—	120
—	—	—	—	—	—	—	121
1718	2753	∞	—	—	—	—	122
—	—	—	—	—	—	—	123
57,19	—	77,54	—	106,4	—	155,3	124

n°	Formule	P. S.*	Température (°C)			
			0	10	20	30
			Solubilité du composé anhydre dans			
125	HgBr ₂	—	0,3	0,4	0,55	0,65
126	Hg(CN) ₂	—	—	9,3 (13,5°C)	—	—
127	HgCl ₂	—	4,3	5,6	6,6	8,3
128	Hg ₂ Cl ₂	—	1,4 · 10 ⁻⁴	—	2 · 10 ⁻⁴	7 · 10 ⁻⁴
129	I ₂	—	1,62 · 10 ⁻²	1,9 · 10 ⁻²	2,9 · 10 ⁻²	4,0 · 10 ⁻²
130	KAl(SO ₄) ₂	12H ₂ O	3,0	4,0	5,9	8,4
131	KAuBr ₄	2H ₂ O	—	18,3 (15 °C)	—	—
132	KAuCl ₄	2H ₂ O	—	38,3	61,8	94,9
133	KBeF ₃	—	—	—	2,0	—
134	KBr	—	53,5	59,5	65,5	70,6
135	KBrO ₃	—	3,1	4,8	6,9	9,5
136	KC ₂ H ₃ O ₂	1 1/2 H ₂ O	216,7	233,9	255,6	283,8
137	KC ₂ H ₃ O ₂	1/2 H ₂ O	—	—	—	—
138	KCN	—	63	—	71,6 (25 °C)	—
139	K ₂ CO ₃	1 1/2 H ₂ O	105,3	108,3	110,5	113,7
140	K ₂ C ₂ O ₄	H ₂ O	20,3	23,7	26,4	28,6
141	KCl	—	27,6	31,0	34,0	37,0
142	KClO ₃	—	3,3	5,0	7,4	10,5
143	KClO ₄	—	0,75	1,05	1,80	2,6
144	K ₂ CrO ₄	—	58,2	60,0	61,7	63,4
145	K ₂ Cr ₂ O ₇	—	5,0	8,5	13,1	18,2
146	KCr(SO ₄) ₂	12H ₂ O	—	—	12,51 (25 °C)	—
147	KF	4H ₂ O	44,72	53,55	—	—

* Le nombre de molécules d'eau d'un hydrate cristallisé (P. S.) se trouvant en équilibre avec la solution saturée.

Tableau 8 (suite)

40	50	60	70	80	90	100	n°
100 g d'eau à une température donnée (g)							
0,91 —	1,27 —	1,68 —	— —	2,8 —	— —	4,9 53,85	125 126
9,9 —	11,1 —	14,9 —	17,2 —	24,2 —	37,2 —	63,6 —	127 128
5,6· ·10 ⁻²	7,8· ·10 ⁻²	10,6· ·10 ⁻²	—	—	—	—	129
11,7 —	17,0 —	24,8 —	40,0 —	71,0 —	109,0 —	154 192	130 131
145 —	233 —	405 —	— —	— —	— —	— 5,2	132 133
75,5 13,2	80,2 17,5	85,1 22,7	90,0 —	95,0 34,0	99,2 —	104,0 50,0	134 135
323,3 —	— —	— —	— —	— —	— —	— —	136 137
— —	337,3 81	350,0 —	364,8 —	380,1 95	396,3 —	— 122	137 138
116,9 30,8	121,3 33,0	126,8 35,1	133,5 37,2	139,8 39,5	147,5 41,3	155,7 44,0	139 140
40,0 14,0	42,6 19,3	45,5 25,9	48,1 32,5	51,1 39,7	54,0 47,7	56,7 56,2	141 142
4,4 65,2	6,5 66,8	9,0 68,6	11,8 70,4	14,8 72,1	18,0 73,9	21,8 75,6	143 144
29,2 —	37,0 —	50,5 —	61,5 —	73,0 —	96,2 —	102,0 —	145 146
—	—	—	—	—	—	—	147

n°	Formule	P. S.*	Température (°C)			
			0	10	20	30
			Solubilité du composé anhydre dans			
148	KF	2H ₂ O	—	—	94,93	108,1
149	KF	—	—	—	—	—
150	K ₃ Fe(CN) ₆ ...	—	~ 30	36,6	42,9	—
151	K ₄ Fe(CN) ₆ ...	3H ₂ O	14,9	21,2	28,9	36,8
152	KHCO ₃	—	22,6	27,7	33,3	39,1
153	KH ₃ (C ₂ O ₄) ₂ ...	2H ₂ O	1,27	—	—	4,29
154	KHC ₄ H ₄ O ₆ ...	—	0,32	0,40	0,53	0,90
155	KHC ₈ H ₄ O ₄ ... (hydrophosphate)	—	—	—	10	—
156	KHF ₂	—	24,53	30,10	39,18	—
157	KH ₂ PO ₄	—	14,8	18,4	22,6	—
158	KHSO ₄	—	36,3	—	51,4	—
159	KI	—	127,5	136	144	152
160	KIO ₃	—	4,73	—	8,13	11,73
161	KIO ₄	—	0,17	—	0,42	—
162	KMnO ₄	—	2,83	4,4	6,4	9,0
163	KNO ₂	—	278,8	—	298,4	—
164	KNO ₃	—	13,3	20,9	31,6	45,8
165	KNaC ₄ H ₄ O ₆ ...	4H ₂ O	28,4	40,6	54,8	76,4
166	KOH	2H ₂ O	97	103	112	126
167	KOH	H ₂ O	—	—	—	—
168	K ₂ PtCl ₆	—	0,74	0,90	1,12	1,41
169	KSCN	—	177	196	217,5	255
170	K ₂ SO ₃	—	106,2	106,6	106,0	—
171	K ₂ SO ₄	—	7,35	9,22	11,11	12,97
172	K ₂ S ₂ O ₆	—	28,4	36,2	44,7	—
173	K ₂ S ₂ O ₈	—	1,8	2,7	4,7	7,7
174	KSbOC ₄ H ₄ O ₆ ...	1/2H ₂ O	—	5,3	8,0	12,2
175	K ₂ SiF ₆	—	—	—	0,12	—
176	La ₂ (SO ₄) ₃	9H ₂ O	3,0	—	—	1,9

* Le nombre de molécules d'eau d'un hydrate cristallisé (P. S.) se trouvant en équilibre avec la solution saturée.

Tableau 8 (suite)

40	50	60	70	80	90	100	n°
100 g d'eau à une température donnée (g)							
—	—	—	—	—	—	—	148
—	—	142,2	—	150,1	—	—	149
61,3	—	71,0	—	81,8	—	91,6	150
42,7	—	55,9	57,5	68,6	74,8	77,8	151
45,3	52,0	60,0	—	—	—	—	152
—	—	12,0	—	—	—	66,7	153
1,3	1,8	2,5	—	4,6	—	7,0	154
—	—	—	—	—	—	33	155
56,37	—	78,83	—	114,0	—	—	156
33,5	—	50,1	—	70,4	83,5	—	157
67,3	—	—	—	—	—	121,6	158
160	168	176	184	192	200	208	159
12,8	—	18,5	—	24,8	—	32,2	160
0,93	—	2,16	—	4,44	—	7,87	161
12,56	16,89	22,2	—	—	—	—	162
334,8	—	350	—	376	—	412,9	163
63,9	85,5	110,0	138	169	202	246	164
—	—	—	—	—	—	—	165
—	—	—	—	—	—	—	166
136	140	147	—	160	—	178	167
1,76	2,17	2,64	3,19	3,79	4,45	5,18	168
290	325	372	420	488	575	674	169
108,7	—	—	—	111,4	122,3	—	170
14,76	16,56	18,17	19,75	21,4	22,4	24,1	171
64,0	—	83,2	—	106,6	119,3	—	172
11,0	—	—	—	—	—	—	173
—	—	—	31,2 (75 °C)	—	—	35,9	174
0,25	—	—	—	0,46	—	0,954	175
—	1,5	—	—	—	—	0,69	176

n°	Formule	P. S.*	Température (°C)			
			0	10	20	30
			Solubilité du composé anhydre dans			
177	LiBr	2H ₂ O	143	166	177	191
178	LiBr	H ₂ O	—	—	—	—
179	Li ₂ CO ₃	—	1,54	1,43	1,33	1,25
180	LiCl	H ₂ O	67	72	78,5	84,5
181	LiF	—	—	—	0,26 (18 °C)	—
182	LiI	3H ₂ O	151	157	165	171
183	LiI	H ₂ O	—	—	—	—
184	LiNO ₃	3H ₂ O	53,4	61,0	74,5	132,5
185	LiNO ₃	1/2H ₂ O	—	—	—	—
186	LiNO ₃	—	—	—	—	—
187	LiOH	H ₂ O	12,7	12,7	12,8	12,9
188	Li ₂ SO ₄	H ₂ O	35,3	35,0	34,2	33,5
189	MgBr ₂	6H ₂ O	91,0	94,5	96,5	99,2
190	MgCl ₂	6H ₂ O	52,8	53,5	54,5	—
191	MgI ₂	8H ₂ O	120,8	—	139,8	—
192	MgNH ₄ AsO ₄	6H ₂ O	—	—	3,8·10 ⁻²	—
193	MgNH ₄ PO ₄ ...	6H ₂ O	2,3·10 ⁻²	—	5,2·10 ⁻²	—
194	Mg(NO ₃) ₂	6H ₂ O	62,6	—	70,1	74,8
195	MgSO ₄	7H ₂ O	—	30,9	35,5	40,8
196	MgSO ₄	6H ₂ O	40,8	42,3	44,5	45,4
197	MgSO ₄	H ₂ O	—	—	—	—
198	MnBr ₂	4H ₂ O	127,3	135,8	146,9	157,0
199	MnBr ₂	2H ₂ O	—	—	—	—
200	MnCl ₂	4H ₂ O	63,4	68,1	73,9	80,7
201	MnCl ₂	2H ₂ O	—	—	—	—

* Le nombre de molécules d'eau d'un hydrate cristallisé (P. S.) se trouvant en équilibre avec la solution saturée.
 ** P. S. à 6H₂O.

Tableau 8 (suite)

40	50	60	70	80	90	100	n°
100 g d'eau à une température donnée (g)							
205	—	—	—	—	—	—	177
—	214	224	—	245	—	226	178
1,17	1,08	1,01	—	0,85	—	0,72	179
90,5	97	103	—	115	—	127,5	180
—	—	—	—	—	—	—	181
179	187	202	230	—	—	—	182
—	—	—	—	435	—	481	183
—	—	—	—	—	—	—	184
145,1	156,4	174,8	—	—	—	—	185
—	—	—	194,1	—	—	—	186
13	13,3	13,8	—	15,3	—	17,5	187
32,8	32,5	31,9	—	30,7	—	29,9	188
101,6	104,1	107,5	—	113,7	—	120,2	189
57,5	—	61,0	—	66,0	—	73,0	190
173,2	—	—	—	185,7**	—	—	191
—	—	—	—	2,4· ·10 ⁻²	—	—	192
4·10 ⁻²	—	4·10 ⁻²	—	1,9· ·10 ⁻²	—	—	193
78,9	84,5	91,2	—	106,2	138,1	—	194
45,6	—	—	—	—	—	—	195
—	50,4	55,0	59,5	64,2	68,9	73,9	196
—	—	—	—	62,9	—	68,3	197
168,9	181,8	196,7	212,5	—	—	—	198
—	—	—	—	224,7	225,7	227,9	199
88,6	98,2	—	—	—	—	—	200
—	—	108,6	110,6	112,7	114,1	115,3	201

n°	Formule	P. S.*	Température (°C)			
			0	10	20	30
			Solubilité du composé anhydre dans			
202	Mn(H ₂ BO ₃) ₂	H ₂ O	—	0,19 (14 °C)	—	—
203	Mn(NO ₃) ₂	6H ₂ O	102,0	117,9	142,8	—
204	Mn(NO ₃) ₂	3H ₂ O	—	—	—	206,5
205	MnSO ₄	7H ₂ O	53,23	60,01	—	—
206	MnSO ₄	5H ₂ O	—	59,5	62,9	67,76
207	MnSO ₄	4H ₂ O	—	—	64,5	66,4
208	MnSO ₄	H ₂ O	—	—	—	—
209	MoO ₃	—	—	—	0,138	0,264
210	NH ₃	—	89,7	68,3	52,9	40,9
211	NH ₄ Al(SO ₄) ₂	12H ₂ O	2,72	4,81	7,17	10,10
212	NH ₄ Br	—	60,6	68	75,5	83,2
213	(NH ₄) ₂ C ₂ O ₄ ...	H ₂ O	2,4	3,2	4,5	6,0
214	NH ₄ Cl	—	29,4	33,3	37,2	41,4
215	NH ₄ ClO ₄ ** ...	—	11,56	—	20,85	—
216	(NH ₄) ₂ Co(SO ₄) ₂	6H ₂ O	6,0	9,5	13,0	17,0
217	(NH ₄) ₂ CrO ₄ ...	—	25,01	—	32,96	40,4
218	(NH ₄) ₂ Cr ₂ O ₇	—	18,26	—	35,6	46,5
219	NH ₄ Cr(SO ₄) ₂ (violet)	12H ₂ O	3,9	—	—	11,9
220	NH ₄ Cr(SO ₄) ₂ (vert)	12H ₂ O	3,9	—	—	19,0
221	NH ₄ F	—	50	74	—	—
222	(NH ₄) ₂ Fe(SO ₄) ₂	6H ₂ O	17,8	—	26,9	—
223	NH ₄ Fe(SO ₄) ₂	12H ₂ O	—	—	124	—
224	NH ₄ HCO ₃	—	11,9	15,8	21	27

* Le nombre de molécules d'eau d'un hydrate cristallisé (P. S.) se trouvant en équilibre avec la solution saturée.

** Pour NH₄ClO₄ la solubilité est exprimée en grammes de NH₄ClO₄ anhydre renfermés dans 100 ml de solution saturée.

Tableau 8 (suite)

40	50	60	70	80	90	100	n°
100 g d'eau à une température donnée (g)							
—	0,69	—	—	—	—	—	202
—	—	—	—	—	—	—	203
—	—	—	—	—	—	—	204
—	—	—	—	—	—	—	205
—	—	—	—	—	—	—	206
68,8	72,6	—	—	—	—	—	207
—	58,2	55,0	52,0	48,0	42,5	34,0	208
0,476	0,687	1,206	2,055	2,106	—	—	209
31,6	23,5	16,8	11,1	6,5	3,0	0,0	210
14,29	19,1	26,8	37,7	53,9	98,2	120,7	211
91,1	99,2	107,8	116,8	126,0	135,6	145,6	212
8,2	10,7	—	—	—	—	—	213
45,8	50,4	55,2	60,2	65,6	71,3	77,3	214
30,58	—	39,05	—	48,19	—	57,01	215
22,0	27,0	33,5	40,0	49,0	—	—	216
—	51,87	—	81,83	—	—	—	217
—	—	—	(75 °C)	—	—	—	—
58,5	71,4	86,0	—	115,0	—	155,6	218
18,3	—	—	—	—	—	—	219
32,8	—	—	—	—	—	—	220
—	—	111	—	—	—	—	221
38,5	—	53,4	—	73,0	—	—	222
—	—	—	—	—	—	400	223
36,6	—	—	—	—	—	—	224

n°	Formule	P. S.*	Température (°C)			
			0	10	20	30
			Solubilité du composé anhydre dans			
225	$\text{NH}_4\text{H}_2\text{PO}_3$...	—	171	190 (14,5 °C)	—	260
226	$\text{NH}_4\text{H}_2\text{PO}_4$...	—	22,7	—	36,8	—
227	$(\text{NH}_4)_2\text{HPO}_4$	—	42,9	57,5	68,6	—
228	NH_4I	—	154,2	163,2	172,3	181,4
229	NH_4LiSO_4	—	—	55,24	—	55,94
230	NH_4NO_3	—	118,3	—	192,0	241,8
231	$(\text{NH}_4)_2\text{PtCl}_6$	—	—	0,7	—	—
232	NH_4SCN	—	119,8	143,9	170,2	207,7
233	$(\text{NH}_4)_2\text{SO}_4$	—	70,6	73,0	75,4	78,0
234	$(\text{NH}_4)_2\text{S}_2\text{O}_8$...	—	58,2	—	—	—
235	$(\text{NH}_4)_3\text{SbS}_4$...	$4\text{H}_2\text{O}$	71,2	—	91,2	119,8
236	$(\text{NH}_4)_2\text{SeO}_4$	—	—	1,22 (12 °C)	—	—
237	$(\text{NH}_4)_2\text{SiF}_6$...	—	—	—	18,6	—
238	NH_4VO_3	—	—	—	4,8	8,4
239	NO	—	9,84· ·10 ⁻³	7,57· ·10 ⁻³	6,18· ·10 ⁻³	5,17· ·10 ⁻³
240	N_2O	—	—	0,171	0,121	—
241	$\text{Na}_2\text{B}_4\text{O}_7$	$10\text{H}_2\text{O}$	1,3	1,6	2,7	3,9
242	$\text{Na}_2\text{B}_6\text{O}_{11}$	$5\text{H}_2\text{O}$	—	—	—	—
243	NaBeF_3	—	—	—	1,4	—
244	NaBr	$2\text{H}_2\text{O}$	79,5	—	90,5	97,6
245	NaBr	—	—	—	—	—
246	NaBrO_2	—	27,5	—	34,5	—
247	$\text{NaC}_2\text{H}_3\text{O}_2$	$3\text{H}_2\text{O}$	36,3	40,8	46,5	54,5
248	$\text{NaC}_2\text{H}_3\text{O}_2$	—	—	—	—	126
249	Na_2CO_3	$10\text{H}_2\text{O}$	7	12,5	21,5	38,8

* Le nombre de molécules d'eau d'un hydrate cristallisé (P. S.) se trouvant en équilibre avec la solution saturée.

Tableau 8 (suite)

40	50	60	70	80	90	100	n°
100 g d'eau à une température donnée (g)							
—	—	—	—	—	—	—	225
56,7	—	82,9	—	120,7	—	174	226
81,8	—	97,6	106,0	—	—	—	227
190,5	199,6	208,9	218,7	228,8	—	250,3	228
—	56,24	—	56,70	—	—	—	229
297,0	344,0	421,0	499,0	580,0	740,0	871,0	230
—	—	—	—	—	—	1,25	231
—	235	—	347	—	—	—	232
81,0	—	88,0	—	95,3	—	103,3	233
—	—	—	—	—	—	—	234
—	—	—	—	—	—	—	235
—	—	—	—	—	—	—	236
—	—	—	—	—	—	55,5	237
13,2	17,8	—	30,5	—	—	—	238
4,40· ·10 ⁻³	3,76· ·10 ⁻³	3,24· ·10 ⁻³	2,67· ·10 ⁻³	1,99· ·10 ⁻³	1,14· ·10 ⁻³	0	239
—	—	—	—	—	—	—	240
6,7	10,5	20,3	—	—	—	—	241
—	—	—	24,4	31,5	41,0	52,5	242
—	—	—	—	—	—	2,8	243
105,8	116,0	—	—	—	—	—	244
—	—	—	—	118,3	—	121,3	245
50,2	—	62,5	—	75,7	—	90,9	246
65,5	83	139	—	—	—	—	247
129,5	134	139,5	146	153	161	170	248
—	—	—	—	—	—	—	249

n°	Formule	P. S.*	Température (°C)			
			0	10	20	30
			Solubilité du composé anhydre dans			
250	Na ₂ CO ₃	H ₂ O	—	—	—	50,5
251	Na ₂ C ₂ O ₄	—	—	—	3,7	—
252	NaCl	—	35,7	35,8	36,0	36,3
253	NaClO	—	29,4	36,4	53,4	100,0
254	NaClO ₃	—	79	89	101	113
255	NaClO ₄	H ₂ O	167	—	181	—
256	NaClO ₄	—	—	—	—	—
257	Na ₂ CrO ₄	10H ₂ O	31,70	50,17	88,7	—
258	Na ₂ CrO ₄	4H ₂ O	—	—	—	88,7
259	Na ₂ CrO ₄	—	—	—	—	—
260	Na ₂ Cr ₂ O ₇	2H ₂ O	163,0	170,2	180,1	196,7
261	Na ₂ C ₂ O ₇	—	—	—	—	—
262	NaF	—	3,53	4,01 (15 °C)	4,17	4,20
263	Na ₄ Fe(CN) ₆	10H ₂ O	—	—	17,9	—
264	Na ₂ HAsO ₄ ...	12H ₂ O	5,9	16,4	33,9	49,3
265	NaHCO ₃	—	6,9	8,15	9,6	11,1
266	NaH ₂ PO ₄	2H ₂ O	57,9	69,9	85,2	106,5
267	NaH ₂ PO ₄	H ₂ O	—	—	—	—
268	NaH ₂ PO ₄	—	—	—	—	—
269	Na ₂ HPO ₄	12H ₂ O	1,67	3,6	7,7	20,8
270	Na ₂ HPO ₄	7H ₂ O	—	—	—	—
271	Na ₂ HPO ₄	2H ₂ O	—	—	—	—
272	Na ₂ HPO ₄	—	—	—	—	—
273	NaI	2H ₂ O	158,7	168,6	178,7	190,3
274	NaI	—	—	—	—	—
275	NaIO ₃	H ₂ O	2,5	4,6	9,0	11,0
276	NaIO ₃	—	—	—	—	—
277	Na ₂ MoO ₄	10H ₂ O	44,3	64,7	—	—
278	Na ₂ MoO ₄	2H ₂ O	—	—	65,0	66,1
279	NaNO ₂	—	72,1	77,9	84,5	91,6
280	NaNO ₃	—	73	80	88	96

* Le nombre de molécules d'eau d'un hydrate cristallisé (P. S.) se trouvant en équilibre avec la solution saturée.

Tableau 8 (suite)

40	50	60	70	80	90	100	n°
100 g d'eau à une température donnée (g)							
48,5	—	46,4	46,2	45,8	45,7	45,5	250
—	—	—	—	—	—	6,33	251
36,6	37,0	37,3	37,8	38,4	39,0	39,8	252
110,5	129,9	—	—	—	—	—	253
126	140	155	172	189	—	230	254
243	—	—	—	—	—	—	255
—	—	289	—	304	—	324	256
—	—	—	—	—	—	—	257
95,94	104,1	114,6	—	—	—	—	258
—	—	—	123,1	124,8	—	126,2	259
220,5	248,4	283,1	323,8	385,4	—	—	260
—	—	—	—	—	—	431,9	261
4,40	4,55	4,68	—	4,89	—	5,08	262
30	—	—	—	59	—	63	263
69,5	99,4	144	184	186	189	198	264
12,7	14,45	16,4	—	Se décompose		—	265
138,2	—	—	—	—	—	—	266
—	158,6	—	—	—	—	—	267
—	—	179,3	190,3	207,3	225,3	246,6	268
—	—	—	—	—	—	—	269
51,8	—	—	—	—	—	—	270
—	80,2	82,9	88,1	92,4	102,9	—	271
—	—	—	—	—	—	102,2	272
205,0	227,8	256,8	—	—	—	—	273
—	—	—	294	296	300	302	274
13,3	16,3	19,8	23,5	—	—	—	275
—	—	—	—	28,5	29,5	33,0	276
—	—	—	—	—	—	—	277
—	70,7	—	—	—	—	83,8	278
98,4	104,1	—	—	132,5	—	163,1	279
104	114	124	—	148	—	180	280

n°	Formule	P. S.*	Température (°C)			
			0	10	20	30
			Solubilité du composé anhydre dans			
281	NaOH	4H ₂ O	42	51	—	—
282	NaOH	H ₂ O	—	—	109	119
283	NaOH	—	—	—	—	—
284	Na ₃ PO ₄	12H ₂ O	1,5	4,1	11	20
285	Na ₄ P ₂ O ₇	10H ₂ O	3,16	3,95	6,23	9,95
286	Na ₂ S	9H ₂ O	—	15,42	18,8	22,6
287	Na ₂ S	6H ₂ O	—	—	—	—
288	Na ₂ SO ₃	7H ₂ O	13,9	20	26,9	36
289	Na ₂ SO ₃	—	—	—	—	—
290	Na ₂ SO ₄	10H ₂ O	5,0	9,0	19,4	40,8
291	Na ₂ SO ₄	7H ₂ O	19,5	30	44	—
292	Na ₂ SO ₄	—	—	—	—	50,4
293	Na ₂ S ₂ O ₃	5H ₂ O	52,5	61,0	70,0	84,7
294	Na ₂ S ₂ O ₃	2H ₂ O	—	—	—	—
295	Na ₂ S ₂ O ₃	—	—	—	—	—
296	Na ₂ S ₂ O ₅	7H ₂ O	45,5	—	—	—
297	Na ₂ S ₂ O ₅	—	—	—	65,3	—
298	Na ₂ SeO ₄	10H ₂ O	13,30	—	—	78,74
299	Na ₂ SeO ₄	—	—	—	—	—
300	Na ₂ SiF ₆	—	0,43	—	0,73	—
301	NaVO ₃	—	—	—	—	—
302	Na ₂ WO ₄	10H ₂ O	57,58	—	—	—
303	Na ₂ WO ₄	2H ₂ O	71,61	—	72,4	—
304	Nd ₂ (SO ₄) ₃	8H ₂ O	9,6	—	7,1	5,3
305	NiBr ₂	3H ₂ O	112,8	122,3	130,9	138,1
306	NiCl ₂	6H ₂ O	51,7	—	55,3	—
307	NiCl ₂	4H ₂ O	—	—	—	—
308	NiCl ₂	2H ₂ O	—	—	—	—
309	NiI ₂	—	124,3	135,3	148,1	161,1
310	Ni(NH ₄) ₂ (SO ₄) ₂	6H ₂ O	—	3,2	5,9	7,8

* Le nombre de molécules d'eau d'un hydrate cristallisé (P. S.) se trouvant en équilibre avec la solution saturée.

Tableau 8 (suite)

40	50	60	70	80	90	100	n°
100 g d'eau à une température donnée (g)							
—	—	—	—	—	—	—	281
129	145	174	—	—	—	—	282
—	—	—	299	313,7	—	347	283
31	43	55	—	81	—	108	284
13,50	17,45	21,83	—	30,04	—	40,26	285
28,5	—	—	—	—	—	—	286
—	36,4	39,1	43,31	49,15	57,28	—	287
—	—	—	—	—	—	—	288
37,0	—	33,2	—	29,0	—	26,6	289
—	—	—	—	—	—	—	290
—	—	—	—	—	—	—	291
48,8	46,7	45,3	44,1	43,7	42,9	42,5	292
102,6	—	—	—	—	—	—	293
—	—	206,6	—	—	—	—	294
—	—	—	—	245	—	266	295
—	—	—	—	—	—	—	296
71,1	—	79,9	—	88,7	—	100	297
—	—	—	—	—	—	—	298
—	80,15	—	—	—	—	72,83	299
1,03	—	—	—	1,86	—	2,46	300
26,23	—	32,97	36,9	—	—	—	301
—	—	—	—	—	—	—	302
77,9	—	—	—	91,2	—	97,2	303
4,1	3,3	2,8	2,5	—	1,2	1,2	304
144,5	150,0	152,5	—	153,8	—	155,1	305
—	—	—	—	—	—	—	306
72,5	—	80,5	—	—	—	—	307
—	—	—	—	86,9	—	88,0	308
174,0	183,2	184,1	185,7	187,4	188,2	—	309
11,5	14,4	17,0	19,8	25,5	—	—	310

n°	Formule	P. S. *	Température (°C)			
			0	10	20	30
			Solubilité du composé anhydre dans			
311	Ni(NO ₃) ₂	6H ₂ O	79,58	—	96,32	—
312	Ni(NO ₃) ₂	4H ₂ O	—	—	—	—
313	Ni(NO ₃) ₂	2H ₂ O	—	—	—	—
314	NiSO ₄	7H ₂ O	27,22	32	—	42,46
315	NiSO ₄	6H ₂ O	—	—	—	—
316	O ₂	—	6,948· ·10 ⁻³	5,370· ·10 ⁻³	4,339· ·10 ⁻³	3,508· ·10 ⁻³
317	O ₃	—	3,9· ·10 ⁻³	2,9· ·10 ⁻³	2,1· ·10 ⁻³	7·10 ⁻⁴
318	PbBr ₂	—	0,4554	—	0,85	1,15
319	Pb(C ₂ H ₃ O ₂) ₂	3H ₂ O	—	45,6 (15 °C)	55,0 (25 °C)	—
320	PbCl ₂	—	0,6728	—	0,99	1,20
321	PbCrO ₄	—	—	—	4,3· ·10 ⁻⁸	—
322	PbI ₂	—	4,42· ·10 ⁻²	—	6,8· ·10 ⁻²	9,0· ·10 ⁻²
323	Pb(NO ₃) ₂	—	38,8	48,3	56,5	66
324	PbSO ₄	—	2,8· ·10 ⁻³	3,5· ·10 ⁻³	4,1· ·10 ⁻³	4,9· ·10 ⁻³
325	RbAl(SO ₄) ₂ ...	12H ₂ O	0,72	—	2,59	—
326	RbCl	—	77,0	84,4	91,1	97,6
327	RbClO ₃	—	2,14	—	5,4	8,0
328	RbClO ₄	—	0,5	0,6	1,0	1,5
329	RbNO ₃	—	19,5	33,0	53,3	81,3
330	Rb ₂ PtCl ₆	—	13,7· ·10 ⁻³	20,0· ·10 ⁻³	28,2· ·10 ⁻³	39,7· ·10 ⁻³
331	Rb ₂ SO ₄	—	36,4	42,6	48,2	53,5

* Le nombre de molécules d'eau d'un hydrate cristallisé (P. S.) se trouvant en équilibre avec la solution saturée.

Tableau 8 (suite)

40	50	60	70	80	90	100	n°
100 g d'eau à une température donnée (g)							
122,3	—	—	—	—	—	—	311
—	—	163,1	177,4	—	—	—	312
—	—	—	—	—	235,2	—	313
—	—	—	—	—	—	—	314
—	50,15	54,80	59,44	63,17	—	76,7	315
3,081· ·10 ⁻³ 4·10 ⁻⁴	2,657· ·10 ⁻³ 1·10 ⁻⁴	2,274· ·10 ⁻³ 0	1,857· ·10 ⁻³ —	1,381· ·10 ⁻³ —	7,87· ·10 ⁻⁴ —	0 —	316 317
1,53	1,94	2,36	—	3,34	—	4,75	318
—	—	—	—	—	—	200	319
1,45	1,70	1,98	—	2,62	—	3,34	320
—	—	—	—	—	—	—	321
12,5· ·10 ⁻³	16,4· ·10 ⁻³	19,7· ·10 ⁻³	—	30,2· ·10 ⁻³	—	43,6· ·10 ⁻³	322
75	85	95	—	115	—	138,8	323
5,6· ·10 ⁻³	—	—	—	—	—	—	324
3,52	—	7,39	—	43,25	—	69	325
103,5	109,3	115,5	121,4	127,2	133,1	138,9	326
—	15,98	—	—	—	—	62,8	327
2,3	3,5	4,85	6,72	9,2	12,7	18	328
116,7	155,6	200	251	309	375	452	329
56,5· ·10 ⁻³	—	99,7· ·10 ⁻³	—	182· ·10 ⁻³	—	334· ·10 ⁻³	330
58,5	63,1	67,4	71,4	75,0	78,7	81,8	331

n°	Formule	P. S. *	Température (°C)			
			0	10	20	30
			Solubilité du composé anhydre dans			
332	SO ₂	—	22,83	16,21	11,29	7,81
333	SbCl ₃	—	601,6	—	931,5	1068,0
334	SbF ₃	—	384,7	—	444,7	563,6
335	SnCl ₂	2H ₂ O	83,9	—	269,8 (15 °C)	—
336	SnI ₂	—	—	—	1,0	1,2
337	SnSO ₄	—	—	—	19	—
338	SrBr ₂	6H ₂ O	85,2	93,0	102,4	111,9
339	Sr(C ₂ H ₃ O ₂) ₂	4H ₂ O	36,9	43,61	—	—
340	Sr(C ₂ H ₃ O ₂) ₂ ...	1/2 H ₂ O	—	42,95	41,6	39,5
341	SrCl ₂	6H ₂ O	43,5	47,7	52,9	58,7
342	SrCl ₂	2H ₂ O	—	—	—	—
343	SrI ₂	6H ₂ O	165,3	—	177,8	—
344	SrI ₂	2H ₂ O	—	—	—	—
345	Sr(NO ₃) ₂	H ₂ O	52,7	—	63,95	—
346	Sr(NO ₃) ₂	4H ₂ O	40,1	—	70,5	—
347	Sr(NO ₃) ₂	—	—	—	—	88,6
348	Sr(OH) ₂	8H ₂ O	0,35	0,48	0,69	1,01
	(calculé à partir de SrO)					
349	Th(SO ₄) ₂	9H ₂ O	0,74	0,98	1,38	1,995
350	Th(SO ₄) ₂	8H ₂ O	1,0	1,25	1,62	—
351	Th(SO ₄) ₂	6H ₂ O	1,50	—	1,90	2,45
352	Th(SO ₄) ₂	4H ₂ O	—	—	—	—
353	Th(ScO ₄) ₂	—	0,498	—	—	—

* Le nombre de molécules d'eau d'un hydrate cristallisé (P. S.) se trouvant en équilibre avec la solution saturée.

Tableau 8 (suite)

40	50	60	70	80	90	100	n°
100 g d'eau à une température donnée (g)							
5,41	4,5	3,2	2,6	2,1	1,8	—	332
1368,0	1917,0	4531,0	—	∞	—	—	333
—	—	—	—	—	—	—	334
—	—	—	—	—	—	—	335
1,4	1,7	2,1	2,5	3,0	3,4	4,0	336
—	—	—	—	—	—	18	357
123,2	135,8	150,0	—	181,8	—	222,5	338
—	—	—	—	—	—	—	339
—	37,35	—	36,24	36,10	36,24	36,4	340
65,3	72,4	81,8	—	—	—	—	341
—	—	—	85,9	90,5	—	100,8	342
191,5	—	217,5	—	270,4	—	—	343
—	—	—	—	—	365,2	383,1	344
—	83,5	97,2	—	—	130,4	138,7	345
—	—	—	—	—	—	—	346
90,1	—	93,8	96	98	100	—	347
1,50	2,18	3,13	4,53	7,03	13,6	24,2	348
2,998	5,22	—	—	—	—	—	349
—	—	—	—	—	—	—	350
—	—	6,64	—	—	—	—	351
4,04	2,54	1,63	1,09	—	—	—	352
—	—	—	—	—	—	—	353

n°	Formule	P. S. *	Température (°C)			
			0	10	20	30
			Solubilité du composé anhydre dans			
354	TlBrO ₂	—	—	—	3,46 · 10 ⁻²	—
355	TlCl	—	0,21	0,25	0,33	0,42
356	TlClO ₃	—	2,0	—	3,92	—
357	TlClO ₄	—	6,0	8,04	—	19,72
358	TlIO ₃	—	—	—	0,058	—
359	TlNO ₃	—	3,91	6,22	9,55	14,3
360	TlOH	—	25,44	—	—	39,9
361	Tl ₂ SO ₄	—	2,70	3,70	4,87	6,16
362	Tl ₂ SeO ₄	—	—	2,13	2,8	—
363	UO ₂ (NO ₃) ₂ ...	6H ₂ O	98,0	108,3	125,7	—
364	Yb ₂ (SO ₄) ₃	8H ₂ O	44,2	—	38,4	—
365	ZnBr ₂	2H ₂ O	389,0	—	446,4	528,1
366	ZnBr ₂	—	—	—	—	—
367	ZnCl ₂	3H ₂ O	207,7	—	—	—
368	ZnCl ₂	2 1/2 H ₂ O	—	271,7	367,3	—
369	ZnCl ₂	—	—	—	—	—
370	Zn(ClO ₃) ₂	6H ₂ O	145,1	152,5	—	—
371	Zn(ClO ₃) ₂	4H ₂ O	—	—	200,3	209,2
372	ZnI ₂	2H ₂ O	430,7	475,3	484,9	—
373	ZnI ₂	—	429,3	—	—	—
374	Zn(NO ₃) ₂	6H ₂ O	94,77	—	118,4	—
375	Zn(NO ₃) ₂	3H ₂ O	—	—	—	—
376	ZnBO ₃	7H ₂ O	41,9	47,0	54,4	—
377	ZnSO ₄	6H ₂ O	—	—	—	—
378	ZnSO ₄	H ₂ O	—	—	—	—

* Le nombre de molécules d'eau d'un hydrate cristallisé (P. S.) se trouvant en équilibre avec la solution saturée.

Tableau 8 (suite)

40	50	60	70	80	90	100	n°
100 g d'eau à une température donnée (g)							
7,36· 10 ⁻³	—	—	—	—	—	—	354
0,52	0,63	0,8	—	1,2	—	1,8	355
—	12,67	—	—	36,65	—	57,31	356
—	39,62	—	65,32	81,49	—	166,6	357
—	—	—	—	—	—	—	358
20,9	30,4	46,2	69,5	111,0	200,0	414,0	359
49,5	—	73,8	—	106,0	126,1	148,3	360
—	9,21	10,92	12,74	14,61	16,53	18,45	361
—	—	—	—	8,5	—	10,86	362
—	203,1	365,2	—	—	426	476	363
21,0	—	10,4	7,22	6,92	5,83	4,67	364
—	—	—	—	—	—	—	365
592,6	—	618,4	—	644,6	—	672,0	366
—	—	—	—	—	—	—	367
—	—	—	—	—	—	—	368
452,9	—	488,3	—	541,1	—	614,4	369
—	—	—	—	—	—	—	370
223,1	273,2	—	—	—	—	—	371
—	—	—	—	—	—	—	372
445,2	—	467,3	—	490,0	—	510,5	373
—	—	—	—	—	—	—	374
206,9	—	—	—	—	—	—	375
—	—	—	—	—	—	—	376
70,1	77,0	—	—	—	—	—	377
—	—	—	—	86,6	83,5	80,8	378

Tableau 9

Solubilités de certains composés minéraux dans des solvants organiques à 18-25 °C

Les solubilités sont exprimées en grammes de substance anhydre (sauf les cas spécialement indiqués) par 100 g de solvant pur anhydre

Formule	Solubilité dans				
	l'éthanol (absolu)	le méthanol	l'acétone	la pyridine	les autres solvants
AgBr	$1,6 \cdot 10^{-6}$	$7 \cdot 10^{-7}$	—	—	—
AgCl	$1,5 \cdot 10^{-6}$	$6 \cdot 10^{-6}$	$1,3 \cdot 10^{-6}$	1,95	—
AgI	$6 \cdot 10^{-9}$	$2 \cdot 10^{-7}$	—	—	—
AgNO ₃	2,1	3,8	0,44	34	Benzène 0,02 ; phénol 30
AlBr ₃	—	—	—	4,0	Benzène 125 ; sulfure de carbone 150
AlCl ₃	—	—	—	—	Benzène 0,02 ; tétrachlorure de carbone 0,01; chloroforme 0,05
AlI ₃	—	—	—	0,83	Ethylèneglycol 16,8
Al ₂ (SO ₄) ₃	—	—	—	—	Alcool isoamylique 0,02
BaBr ₂	3,6	41	0,026	—	Glycérine 9,8
BaCl ₂	—	2,2	—	—	—
BaI ₂	77	—	—	8,2	—
Ba(NO ₃) ₂	$1,8 \cdot 10^{-3}$	0,06	$5 \cdot 10^{-3}$	—	—
BiCl ₃	—	—	18,0	—	Acétate d'éthyle 1,8
BiI ₃	3,5	—	—	—	—
Bi(NO ₃) ₃ · 5H ₂ O	—	—	41,7	—	—
CaBr ₂	53,8	56,2	2,73	—	Alcool isoamylique 25,6

CaCl ₂	25,8	29,2	0,01	1,69	Alcool isoamylique 7,0
CaI ₂	—	127	89	—	—
Ca(NO ₃) ₂	51	138	16,9	—	Alcool amylique 7,5
CaSO ₄	—	—	—	—	Glycérine 5,2
CdBr ₂	30	16,1	18,1	—	Oxyde de diéthyle 0,4
CdCl ₂	1,5	2,7	—	0,70	—
CdI ₂	113	223	42,8	0,45	Oxyde de diéthyle 0,2
CdSO ₄	0,03	0,035	—	—	—
CoBr ₂	77	43	64	—	—
CoCl ₂	54	40	3,0	0,6	Oxyde de diéthyle 0,02
Co(NO ₃) ₂	—	—	—	—	Ethylèneglycol 400
CoSO ₄	0,02	0,40	—	—	—
CuCl ₂	55,5	57,5	2,96	0,34	Oxyde de diéthyle 0,11 ; alcool isoamylique 12
CuI	—	—	—	1,74	—
CuSO ₄	—	1,5	—	—	—
FeBr ₃	—	—	—	0,5	—
FeCl ₃	145	150	62,9	—	—
Fe ₂ (SO ₄) ₃ ·9H ₂ O	12,7	—	—	—	Ethylèneglycol 6,0
FeSO ₄	—	—	—	—	Glycérine 22 ; dioxane 1,3
H ₃ BO ₃	11	—	—	7,1	Oxyde de diéthyle 33,2 ; benzène 1,9
HCl	69,5	88,7	0,5	—	Oxyde de diéthyle 525
H ₃ PO ₄	—	—	—	—	Benzène 0,7
HgBr ₂	30	60	51	39,6	—
Hg(CN) ₂	9,5	44,1	10,3	65	Oxyde de diéthyle 7
HgCl ₂	47	67	141	25	Chloroforme 0,07 ; oxyde de diéthyle 0,7
HgI ₂	2,2	3,8	3,4	31	—

Tableau 9

Formule	Solubilité dans				
	l'éthanol (absolu)	le méthanol	l'acétone	la pyridine	les autres solvants
I ₂	26	—	—	—	Chloroforme 2,7 ; tétrahydrate de carbone 2,5 ; sulfure de carbone 16
KBr	0,46	2,1	0,03	—	Alcool isoamylique 0,002
KCN	0,88	4,91	—	—	Glycérine 32
KCl	0,03	0,5	9,0·10 ⁻⁸	—	Glycérine 3,7 ; alcool propyle 0,006
KF	0,11	0,19	2,2	—	Alcool propylique 0,34
KI	1,75	16,4	2,35	0,3	Glycérine 40 ; éthylène glycol
KNO ₃	—	—	—	—	Trichlorure d'éthylène 0,01
KOH	39	55	—	—	—
KSCN	—	—	20,8	6,15	—
LiBr	70	—	18,1	—	Ethylène glycol 60
LiCl	25	43,4	1,2	12	Glycérine 11
LiI	250	343	43	—	Ethylène glycol 39
LiNO ₃	—	—	31	33	Alcool isoamylique 10
MgBr ₂	15,1	27,9	2,0	0,5	Oxyde de diéthyle 2,5
MgCl ₂	5,6	16,0	—	—	—
MgSO ₄	0,025	0,3	—	—	Glycérine 26
MgSO ₄ ·7H ₂ O	—	43	—	—	—
MnCl ₂	—	—	—	—	—
MnSO ₄	0,01	0,13	—	1,3	—
NH ₃	12,8	24	—	—	—
NH ₄ Br	3,4	12,5	—	—	—

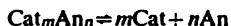
NH ₄ Cl	0,6	3,3	—	—	—	—	—
NH ₄ ClO ₄	1,9	6,8	2,2	—	—	—	—
NH ₄ NO ₃	2,5	17,1	—	0,3	—	—	—
NH ₄ SCN	23,5	59	—	—	—	—	—
NH ₄ I	26,3	—	—	—	—	—	—
NaBF ₄	0,47	4,4	—	—	—	—	—
NaBr	2,4	16,7	0,008	—	—	—	—
Na ₂ CO ₃	—	—	—	—	—	—	—
NaCl	0,1	1,5	3·10 ⁻⁵	—	—	—	—
Na ₂ CrO ₄	—	0,36	—	—	—	—	—
NaF	0,10	0,42	1·10 ⁻⁴	—	—	—	—
NaI	46	72,7	26	—	—	—	—
NaNO ₂	0,31	4,4	—	—	—	—	—
NaNO ₃	0,04	0,43	—	—	—	—	—
NaOH	17,3	31	—	—	—	—	—
NaSCN	20	35	7	—	—	—	—
Na ₂ SO ₄	0,006	0,02	0,80	—	—	—	—
NiBr ₂	—	35	—	—	—	—	—
NiCl ₂	10	—	—	—	—	—	—
Ni(NO ₃) ₂	—	—	—	—	—	—	—
NiSO ₄	0,02	0,08	—	—	—	—	—
P	0,3	—	0,14	—	—	—	—
PbBr ₂	—	—	—	0,6	—	—	—
PbCl ₂	—	—	—	0,5	—	—	—
PbI ₂	—	—	0,02	0,2	—	—	—
Pb(NO ₃) ₂	0,04	1,4	—	7	—	—	—

Tableau 9

Formule	Solubilité dans				
	l'éthanol (absolu)	le méthanol	l'acétone	la pyridine	les autres solvants
S	0,05	0,03	2,1	1,5	Sulfure de carbone 43 ; t chlorure de carbone 0,1 chloroforme 1,2 ; benzène glycérine 0,14 Benzène 5.10-4
SbF ₃	—	160	70	—	Benzène 42
SbCl ₃	—	—	538	—	Alcool isoamylique 31
SnCl ₂	—	—	56	—	Alcool isopropylique 0,002
SrBr ₂	64	117	0,6	—	Oxyde de diéthyle 0,96
SrI ₂	4	—	—	—	—
Sr(NO ₃) ₂	0,009	—	—	0,7	Alcool isopropylique 0,002
UO ₂ (NO ₃) ₂ ..	3,3	—	1,5	—	Oxyde de diéthyle 0,96
UO ₂ SO ₄	—	0,73	—	—	—
ZnBr ₂	—	—	365	4,4	Glycérine 50
ZnCl ₂	—	—	43,3	2,6	Glycérine 40
ZnI ₂	—	—	—	12,6	Glycérine 35
ZnSO ₄	0,03	0,6	—	—	—

Produits de solubilité de principaux corps peu solubles

Le produit de solubilité (PS) d'une substance Cat_mAn_n qui se dissocie en ions selon l'équation



est égal à $PS = a_{Cat}^m \cdot a_{An}^n$, où a_{Cat} est l'activité du cation Cat et a_{An} , l'activité de l'anion An .

On appelle *indice de produit de solubilité* pPS le logarithme du produit de solubilité, changé de signe. En calculant d'après la valeur du produit de solubilité la solubilité de tel ou tel sel peu soluble dans l'eau ou dans une solution d'autres sels, on doit tenir compte 1) de la réaction entre les cations formés et les ions hydroxyle de l'eau ; 2) de la réaction entre les cations formés et les ions hydrogène ; 3) de la force ionique de la solution qui détermine la valeur des coefficients d'activité et, dans certains cas, 4) de la possibilité de formation des ions complexes*.

En outre, il importe de mettre en considération la présence en solution des molécules non dissociées de sel dissout dont les concentrations sont trouvées en divisant le PS par la valeur correspondante de K (Tableau 38, chiffres marqués d'un astérisque).

Formule de la substance	PS	$pPS = -\lg PS$
$Ac(C_2O_4)_3$	$2 \cdot 10^{-24}$	23,7
$Ac(OH)_3$	10^{-15}	15
Ag_3AsO_3	$1 \cdot 10^{-17}$	17
Ag_3AsO_4	10^{-22}	22
$AgBO_2$	$4 \cdot 10^{-1}$	0,4
$AgBr$	$5,3 \cdot 10^{-13}$	12,28
$AgBrO_3$	$5,5 \cdot 10^{-5}$	4,26
$AgC_2H_3O_2$	$4 \cdot 10^{-3}$	2,4
$AgCN$	$1,4 \cdot 10^{-16}$	15,84
Ag_2CO_3	$8,2 \cdot 10^{-12}$	11,09
$Ag_2C_2O_4$	$3,5 \cdot 10^{-11}$	10,46
$AgCl$	$1,78 \cdot 10^{-10}$	9,75
$AgClO_2$	$2 \cdot 10^{-4}$	3,7

* La réalisation de ces calculs est décrite dans les manuels de chimie analytique.

Tableau 10 (suite)

Formule de la substance	PS	$pPS = -\lg PS$
$AgClO_3$	$5,0 \cdot 10^{-8}$	1,3
Ag_2CrO_4	$1,1 \cdot 10^{-10}$	11,95
$Ag_2Cr_2O_7$	$1 \cdot 10^{-10}$	10
$Ag_3Fe(CN)_6$	$1 \cdot 10^{-22}$	22
$Ag_4Fe(CN)_6$	$1,5 \cdot 10^{-41}$	40,82
$Ag_2HVO_4(2Ag^+, HVO_4^{3-})$	$2 \cdot 10^{-14}$	13,7
AgI	$8,3 \cdot 10^{-17}$	16,08
$AgIO_3$	$3,0 \cdot 10^{-8}$	7,52
$AgMnO_4$	$1,6 \cdot 10^{-8}$	2,79
Ag_2MoO_4	$2,8 \cdot 10^{-10}$	11,55
AgN_3	$2,9 \cdot 10^{-9}$	8,54
$AgNO_3$	$1,6 \cdot 10^{-4}$	3,80
$Ag_2O(Ag^+, OH^-)$	$1,6 \cdot 10^{-8}$	7,80
$AgOCN$	$2,3 \cdot 10^{-7}$	6,64
$Ag_2PO_3F(2Ag^+, PO_3F^{2-})$	$8,9 \cdot 10^{-4}$	3,05
Ag_3PO_4	$1,3 \cdot 10^{-20}$	19,89
$AgReO_4$	$7,95 \cdot 10^{-5}$	4,10
Ag_2S	$6,3 \cdot 10^{-50}$	49,20
$AgSCN$	$1,1 \cdot 10^{-12}$	11,97
Ag_2SO_3	$1,50 \cdot 10^{-14}$	13,82
$AgSO_3NH_3(Ag^+, SO_3NH_2^-)$	$1 \cdot 10^{-1}$	1
Ag_2SO_4	$1,6 \cdot 10^{-5}$	4,80
$AgSeCN$	$4,0 \cdot 10^{-10}$	15,40
Ag_2SeO_3	$9,0 \cdot 10^{-10}$	15,01
Ag_2SeO_4	$5,6 \cdot 10^{-8}$	7,25
$AgVO_3$	$5 \cdot 10^{-7}$	6,3
Ag_2WO_4	$5,5 \cdot 10^{-12}$	11,26
$AlAsO_4$	$1,6 \cdot 10^{-10}$	15,80
$Al(OH)_3(Al^{3+}, 3OH^-)$	$1 \cdot 10^{-32}$	32,0
$(AlOH^{2+}, 2OH^-)$	$1 \cdot 10^{-23}$	23,0
(H^+, AlO_2^-)	$1,6 \cdot 10^{-13}$	12,80
$AlPO_4$	$5,75 \cdot 10^{-19}$	18,24
$Am(OH)_3$	$2,7 \cdot 10^{-20}$	19,57
$Am(OH)_4$	$1 \cdot 10^{-56}$	56
$AuBr$	$5,0 \cdot 10^{-17}$	16,3
$AuBr_3$	$4,0 \cdot 10^{-30}$	35,4
$AuCl$	$2,0 \cdot 10^{-13}$	12,7

Tableau 10 (suite)

Formule de la substance	PS	pPS = -lg PS
AuCl ₃	3,2·10 ⁻²⁵	24,5
Au(OH) ₃	5,5·10 ⁻⁴⁶	45,26
AuI	1,6·10 ⁻²³	22,8
AuI ₃	1·10 ⁻⁴⁶	46
Ba ₃ (AsO ₄) ₂	7,8·10 ⁻⁶¹	50,11
Ba(BrO ₃) ₂	5,5·10 ⁻⁶	5,26
BaCO ₃	5,1·10 ⁻⁹	8,29
BaC ₂ O ₄	1,1·10 ⁻⁷	6,96
BaCrO ₄	1,2·10 ⁻¹⁰	9,93
BaF ₂	1,1·10 ⁻⁶	5,98
Ba ₂ Fe(CN) ₆	3·10 ⁻⁶	7,5
Ba(IO ₃) ₂	1,50·10 ⁻⁹	8,82
BaMnO ₄	2,5·10 ⁻¹⁰	9,60
BaMoO ₄	4·10 ⁻⁸	7,40
Ba(NO ₃) ₂	4,5·10 ⁻³	2,35
Ba(OH) ₂	5,0·10 ⁻³	2,3
BaPO ₃ F(Ba ²⁺ , PO ₃ F ²⁻)	4·10 ⁻⁷	6,4
Ba ₃ (PO ₄) ₂	6,03·10 ⁻³⁰	38,22
Ba ₃ P ₂ O ₇	3·10 ⁻¹¹	10,5
BaPt(CN) ₄	4·10 ⁻³	2,4
Ba(ReO ₄) ₂	5,25·10 ⁻³	1,28
BaSO ₃	8,0·10 ⁻⁷	6,1
BaSO ₄	1,1·10 ⁻¹⁰	9,97
BaS ₂ O ₃	1,6·10 ⁻⁶	4,79
BaScO ₄	2,8·10 ⁻¹¹	10,55
BeCO ₃	1·10 ⁻³	3
BeMoO ₄	3,2·10 ⁻²	1,50
Be(OH) ₂ (Be ²⁺ , 2OH ⁻)	6,3·10 ⁻²²	21,2
(BeOH ⁺ , OH ⁻)	2·10 ⁻¹⁴	13,7
BiAsO ₄	2,8·10 ⁻¹⁰	9,36
BiI ₃	8,1·10 ⁻¹⁹	18,09
BiOCl(BiO ⁺ , Cl ⁻)	7·10 ⁻⁹	8,85
(BiOCl + H ₂ O = Bi ³⁺ + + 2OH ⁻ + Cl ⁻)	1,8·10 ⁻³¹	30,75
BiOOH(BiO ⁺ , OH ⁻)	4·10 ⁻¹⁰	9,4
Bi(OH) ₃	3,2·10 ⁻³²	31,5
BiPO ₄	1,3·10 ⁻²³	22,90

Tableau 10 (suite)

Formule de la substance	PS	pPS = -lg PS
Bi_2S_3	$1 \cdot 10^{-97}$	97
$\text{Ca}_3(\text{AsO}_4)_2$	$6,8 \cdot 10^{-10}$	18,17
$\text{CaC}_4\text{H}_4\text{O}_6$	$7,7 \cdot 10^{-7}$	6,11
(tartrate)		
CaCO_3	$4,8 \cdot 10^{-9}$	8,32
CaC_2O_4	$2,3 \cdot 10^{-9}$	8,64
CaCrO_4	$7,1 \cdot 10^{-4}$	3,15
CaF_2	$4,0 \cdot 10^{-11}$	10,40
$\text{CaHPO}_4(\text{Ca}^{2+}, \text{HPO}_4^{2-})$	$2,7 \cdot 10^{-7}$	6,57
$\text{Ca}(\text{H}_2\text{PO}_4)_2(\text{Ca}^{2+}, 2\text{H}_2\text{PO}_4^-)$...	$1 \cdot 10^{-3}$	3
$\text{Ca}(\text{NH}_4)_2\text{Fe}(\text{CN})_6$	$4 \cdot 10^{-8}$	7,4
$\text{Ca}(\text{IO}_3)_2$	$7,0 \cdot 10^{-7}$	6,15
$\text{Ca}(\text{OH})_2(\text{Ca}^{2+}, 2\text{OH}^-)$	$5,5 \cdot 10^{-6}$	5,26
(CaOH^+ , OH^-)	$1,4 \cdot 10^{-4}$	3,86
$\text{Ca}_3(\text{PO}_4)_2$	$2,0 \cdot 10^{-29}$	28,70
$\text{CaPO}_3\text{F}(\text{Ca}^{2+}, \text{PO}_3\text{F}^{2-})$	$4 \cdot 10^{-3}$	2,4
$\text{Ca}_3(\text{PO}_4)_2\text{OH}$	$1,6 \cdot 10^{-58}$	57,8
CaSO_3	$1,3 \cdot 10^{-8}$	7,89
CaSO_4	$9,1 \cdot 10^{-6}$	5,04
CaSeO_3	$4,7 \cdot 10^{-6}$	5,53
CaSiF_6	$8,1 \cdot 10^{-4}$	3,09
CaWO_4	$9,0 \cdot 10^{-9}$	8,06
$\text{Cd}_3(\text{AsO}_4)_2$	$2,2 \cdot 10^{-33}$	32,66
$\text{Cd}(\text{CN})_2$	$1,0 \cdot 10^{-8}$	8,0
CdCO_3	$5,2 \cdot 10^{-12}$	11,3
CdC_2O_4	$1,5 \cdot 10^{-8}$	7,8
$\text{Cd}_2\text{Fe}(\text{CN})_6$	$3,2 \cdot 10^{-17}$	16,49
$\text{Cd}(\text{NH}_3)_6(\text{BF}_4)_2$	$2 \cdot 10^{-6}$	5,7
$\text{Cd}(\text{OH})_2$	$2,2 \cdot 10^{-14}$	13,66
(fraîchement précipité)		
$\text{Cd}(\text{OH})_2$	$5,9 \cdot 10^{-15}$	14,23
(après vieillissement)		
CdS	$7,9 \cdot 10^{-27}$	26,10
CdSeO_3	$1,30 \cdot 10^{-9}$	8,89
CdWO_4	$2 \cdot 10^{-6}$	5,7
$\text{Ce}_2(\text{C}_2\text{O}_4)_3$	$2,5 \cdot 10^{-29}$	28,60
$\text{Ce}(\text{IO}_3)_3$	$3,2 \cdot 10^{-10}$	9,50

Tableau 10 (suite)

Formule de la substance	PS	pPS = -lg PS
Ce(IO ₃) ₄	5·10 ⁻¹⁷	16,3
Ce(OH) ₃	1,5·10 ⁻²⁰	19,82
CeO ₂ (CeO ²⁺ , 2OH ⁻)	1·10 ⁻²⁴	24,0
CeO ₂ (Ce ⁴⁺ , 4OH ⁻)	2,5·10 ⁻⁵¹	50,6
Ce ₂ (SO ₄) ₃	2·10 ⁻²	1,7
Ce ₂ (SeO ₃) ₃	3,75·10 ⁻²⁵	24,43
Co ₃ (AsO ₄) ₂	7,6·10 ⁻²⁹	28,12
CoCO ₃	1,4·10 ⁻¹³	12,84
CoC ₂ O ₄	6,3·10 ⁻⁸	7,2
Co ₂ Fe(CN) ₆	1,8·10 ⁻¹⁵	14,74
CoHg(SCN) ₄ [Co ²⁺ , Hg(SCN) ₄ ⁻]	1,50·10 ⁻⁶	5,82
Co(IO ₃) ₂	1,0·10 ⁻⁴	4,0
Co(NH ₃) ₆ (BF ₄) ₂	4·10 ⁻⁶	5,4
Co(NH ₃) ₆ (ReO ₄) ₂	1,7·10 ⁻¹²	11,77
Co(OH) ₂	6,3·10 ⁻¹⁵	14,20
(bleu)		
Co(OH) ₂	2,0·10 ⁻¹⁵	14,80
(rose, fraîchement précipité)		
Co(OH) ₂	2,0·10 ⁻¹⁶	15,70
(rose, après vieillissement)		
Co(OH) ₃	4·10 ⁻⁴⁵	44,4
CoS α	4,0·10 ⁻²¹	20,40
CoS β	2,0·10 ⁻²⁵	24,70
CoSeO ₃	1,6·10 ⁻⁷	6,8
CrAsO ₄	7,8·10 ⁻²¹	20,11
Cr(NH ₃) ₆ (BF ₄) ₃	6,2·10 ⁻⁵	4,21
Cr(NH ₃) ₆ (MnO ₄) ₃	4,0·10 ⁻⁸	7,40
Cr(NH ₃) ₆ (SO ₃ F) ₃	4,3·10 ⁻⁴	3,9
Cr(NH ₃) ₆ (ReO ₄) ₃	7,7·10 ⁻¹²	11,11
Cr(OH) ₂	1,0·10 ⁻¹⁷	17,0
Cr(OH) ₃ (Cr ²⁺ , 3OH ⁻)	6,3·10 ⁻³¹	30,20
(CrOH ²⁺ , 2OH ⁻)	6,3·10 ⁻²¹	20,20
CrPO ₄	1,0·10 ⁻¹⁷	17,00
(violet)		
CrPO ₄	2,4·10 ⁻²³	22,62
(vert)		
CsAuCl ₄ (Cs ⁺ , AuCl ₄ ⁻)	1·10 ⁻³	3
CsBF ₄ (Cs ⁺ , BF ₄ ⁻)	2·10 ⁻⁵	4,7

Tableau 10 (suite)

Formule de la substance	PS	pPS = -lg PS
CsBH ₄ (Cs ⁺ , BH ₄ ⁻)	2,5·10 ⁻⁷	6,6
CsBrO ₃	2·10 ⁻²	1,7
CsClO ₃	4·10 ⁻²	1,4
CsClO ₄	4·10 ⁻³	2,4
Cs ₃ Co(NO ₂) ₆ [3Cs ⁺ , Co(NO ₂) ₆ ³⁻]	5,8·10 ⁻¹⁶	15,24
CsHgCl ₅ (Cs ⁺ , HgCl ₅ ⁻)	2·10 ⁻³	2,7
CsIO ₃	1,0·10 ⁻²	2,0
CsIO ₄	4,4·10 ⁻³	2,36
CsMnO ₄	9,1·10 ⁻⁵	4,08
Cs ₂ PtCl ₆	3·10 ⁻⁸	7,44
Cs ₂ PtF ₆	2,39·10 ⁻⁶	5,62
CsReO ₄	4,0·10 ⁻⁴	3,40
Cs ₂ SiF ₆	1,26·10 ⁻⁵	4,90
Cs ₂ SnCl ₆ (2Cs ⁺ , SnCl ₆ ²⁻)	3,6·10 ⁻⁸	7,44
Cu ₃ (AsO ₄) ₂	7,6·10 ⁻³⁸	35,12
CuBr	5,25·10 ⁻⁹	8,28
CuCN	3,2·10 ⁻²⁰	19,49
CuCO ₃	2,5·10 ⁻¹⁰	9,6
Cu ₂ C ₂ O ₄	3·10 ⁻⁸	7,5
CuCl	1,2·10 ⁻⁶	5,92
CuCrO ₄	3,6·10 ⁻⁶	5,44
Cu ₂ Fe(CN) ₆	1,3·10 ⁻¹⁶	15,89
CuI	1,1·10 ⁻¹²	11,96
Cu(IO ₃) ₂	7,4·10 ⁻⁸	7,13
CuN ₃	5,0·10 ⁻⁹	8,3
Cu ₂ O(2Cu ⁺ , OH ⁻)	1·10 ⁻¹⁴	14,0
Cu(OH) ₂ (Cu ²⁺ , 2OH ⁻)	2,2·10 ⁻²⁰	19,66
(CuOH ⁺ , OH ⁻)	2,2·10 ⁻¹³	12,66
Cu ₂ (OH) ₂ CO ₃	1,7·10 ⁻³⁴	33,78
Cu ₂ P ₂ O ₇	8,3·10 ⁻¹⁶	15,08
CuS	6,3·10 ⁻³⁸	35,20
Cu ₂ S	2,5·10 ⁻⁴⁸	47,60
CuSCN	4,8·10 ⁻¹⁵	14,32
CuSe	1·10 ⁻⁴⁹	49
CuSeO ₃	2,1·10 ⁻⁸	7,68
CuWO ₄	1·10 ⁻⁶	5
FeAsO ₄	5,8·10 ⁻²¹	20,24

Tableau 10 (suite)

Formule de la substance	PS	pPS = -lg PS
FeCO ₃	3,47·10 ⁻¹¹	10,46
FeC ₂ O ₄	2·10 ⁻⁷	6,7
Fe ₄ [Fe(CN) ₆] ₃	3,0·10 ⁻⁴¹	40,52
Fe(OH) ₂ (Fe ²⁺ , 2OH ⁻)	1·10 ⁻¹⁸	15,0
(FeOH ⁺ , OH ⁻)	5·10 ⁻¹⁰	9,3
Fe(OH) ₃ (Fe ³⁺ , 3OH ⁻)	3,2·10 ⁻³⁸	37,50
(FeOH ²⁺ , 2OH ⁻)	2·10 ⁻²⁶	25,70
[Fe(OH) ₂ ⁺ , OH ⁻]	4·10 ⁻¹⁷	16,40
FePO ₄	1,30·10 ⁻²²	21,89
FeS	5·10 ⁻¹⁸	17,3
FeS ₂ (Fe ²⁺ , S ₂ ²⁻)	6,3·10 ⁻³¹	30,2
FeSe	1·10 ⁻²⁶	26
Fe ₂ (SeO ₃) ₃	2·10 ⁻³¹	30,7
Ga ₄ [Fe(CN) ₆] ₃	1,5·10 ⁻³⁴	33,82
Ga(OH) ₃	7,1·10 ⁻²⁶	35,15
GeO ₂ (Ge ⁴⁺ , 4OH ⁻)	1·10 ⁻⁵⁷	57,0
GeS	3·10 ⁻³⁵	34,5
HfO(OH) ₂ (HfO ²⁺ , 2OH ⁻)	4·10 ⁻²⁶	25,4
Hg ₂ Br ₂ (Hg ₂ ²⁺ , 2Br ⁻)	5,8·10 ⁻²³	22,24
Hg ₂ CO ₃ (Hg ₂ ²⁺ , CO ₃ ²⁻)	8,9·10 ⁻¹⁷	16,05
Hg ₂ C ₂ O ₄ (Hg ₂ ²⁺ , C ₂ O ₄ ²⁻)	1·10 ⁻¹³	13
Hg ₂ Cl ₂ (Hg ₂ ²⁺ , 2Cl ⁻)	1,3·10 ⁻¹⁶	17,88
Hg ₂ CrO ₄ (Hg ₂ ²⁺ , CrO ₄ ²⁻)	5,0·10 ⁻⁹	8,70
Hg ₂ I ₂ (Hg ₂ ²⁺ , 2I ⁻)	4,5·10 ⁻²⁹	28,35
Hg ₂ (IO ₃) ₂ (Hg ₂ ²⁺ , 2IO ₃ ⁻)	2,45·10 ⁻¹⁴	13,71
Hg ₂ HPO ₄ (Hg ₂ ²⁺ , HPO ₄ ²⁻)	4,0·10 ⁻¹³	12,40
HgO(Hg ²⁺ , 2OH ⁻)	3,0·10 ⁻²⁶	25,52
Hg ₂ O(Hg ₂ ²⁺ , 2OH ⁻)	1,6·10 ⁻²³	22,8
HgS*	1,6·10 ⁻⁵²	51,8

(noir)

* Les produits de solubilité des sels de mercure (II) (à l'exception de HgS et HgSe) n'y figurent pas puisque leurs valeurs trop faibles peuvent donner des idées fausses sur les solubilités également faibles de ces sels. En effet, lorsque les sels de mercure (II) passent en solution, il se forme très peu d'ions libres (dont le produit de concentrations fournit la valeur du PS), mais un nombre relativement grand de molécules non dissociées telles que Hg(CN)₂, HgCl₂, etc.

On peut juger du taux de dissociation des sels de mercure (II) d'après les constantes d'instabilité représentées dans le Tableau 38.

Tableau 10 (suite)

Formule de la substance	PS	pPS = -lg PS
HgS (rouge)	$4,0 \cdot 10^{-53}$	52,40
Hg ₂ S(Hg ₂ ²⁺ , S ²⁻)	$1 \cdot 10^{-47}$	47,0
Hg ₂ (SCN) ₂ (Hg ₂ ²⁺ , 2SCN ⁻)	$3,0 \cdot 10^{-20}$	19,52
Hg ₂ SO ₃ (Hg ₂ ²⁺ , SO ₃ ²⁻)	$1 \cdot 10^{-27}$	27,0
Hg ₂ SO ₄ (Hg ₂ ²⁺ , SO ₄ ²⁻)	$6,8 \cdot 10^{-7}$	6,17
HgSe	$1 \cdot 10^{-59}$	59,0
Hg ₂ SeO ₃ (Hg ₂ ²⁺ , SeO ₃ ²⁻)	$6,3 \cdot 10^{-15}$	14,2
Hg ₂ WO ₄ (Hg ₂ ²⁺ , WO ₄ ²⁻)	$1,10 \cdot 10^{-17}$	16,96
In ₄ [Fe(CN) ₆] ₃	$1,9 \cdot 10^{-44}$	43,72
In(IO ₃) ₃	$3 \cdot 10^{-3}$	2,5
In(OH) ₃	$5 \cdot 10^{-24}$	33,3
In ₂ S ₃	$1 \cdot 10^{-28}$	88
IrO ₂ (Ir ⁴⁺ , 4OH ⁻)	$1,6 \cdot 10^{-72}$	71,8
Ir ₂ O ₃ (2Ir ³⁺ , 3OH ⁻)	$2 \cdot 10^{-48}$	47,7
IrS ₂	$1 \cdot 10^{-75}$	75
K ₃ AlF ₆ (3K ⁺ , AlF ₆ ³⁻)	$1,6 \cdot 10^{-9}$	8,80
KBF ₄ (K ⁺ , BF ₄ ⁻)	$2 \cdot 10^{-3}$	2,7
KBH ₄ (K ⁺ , BH ₄ ⁻)	$1,3 \cdot 10^{-3}$	2,9
K(C ₆ H ₅) ₄ B[K ⁺ , (C ₆ H ₅) ₄ B ⁻]	$2,25 \cdot 10^{-8}$	7,65
KClO ₄	$1,1 \cdot 10^{-2}$	1,97
K ₃ Co(NO ₂) ₆ [3K ⁺ , Co(NO ₂) ₆ ³⁻]	$4,3 \cdot 10^{-10}$	9,37
K ₂ NaCo(NO ₂) ₆		
[2K ⁺ , Na ⁺ , Co(NO ₂) ₆ ³⁻]	$2,2 \cdot 10^{-11}$	10,66
K ₂ GeF ₆ (2K ⁺ , GeF ₆ ²⁻)	$3,0 \cdot 10^{-5}$	4,52
K ₂ HfF ₆ (2K ⁺ , HfF ₆ ²⁻)	$2 \cdot 10^{-3}$	2,7
K ₂ IrCl ₆ (2K ⁺ , IrCl ₆ ²⁻)	$6,8 \cdot 10^{-5}$	4,17
KIO ₄	$8,3 \cdot 10^{-4}$	3,08
K ₂ PdCl ₄ (2K ⁺ , PdCl ₄ ²⁻)	$1,6 \cdot 10^{-5}$	4,9
K ₂ PdCl ₆ (2K ⁺ , PdCl ₆ ²⁻)	$6,0 \cdot 10^{-6}$	5,2
K ₂ PtCl ₄ (2K ⁺ , PtCl ₄ ²⁻)	$8 \cdot 10^{-3}$	2,1
K ₂ PtCl ₆ (2K ⁺ , PtCl ₆ ²⁻)	$1,1 \cdot 10^{-5}$	4,96
K ₂ PtF ₆ (2K ⁺ , PtF ₆ ²⁻)	$2,9 \cdot 10^{-5}$	4,54
KReO ₄	$1,9 \cdot 10^{-3}$	2,72
K ₂ SiF ₆	$8,7 \cdot 10^{-7}$	6,06
K ₂ TiF ₆ (2K ⁺ , TiF ₆ ²⁻)	$5 \cdot 10^{-4}$	3,3
K ₂ ZrF ₆ (2K ⁺ , ZrF ₆ ²⁻)	$5 \cdot 10^{-4}$	3,3

Tableau 10 (suite)

Formule de la substance	PS	pPS = -lg PS
La(BrO ₃) ₃	3 · 10 ⁻³	2,5
La ₂ (C ₂ O ₄) ₃	2,5 · 10 ⁻²⁷	26,60
La(IO ₃) ₃	6,2 · 10 ⁻¹²	11,21
La ₂ (MoO ₄) ₃	4 · 10 ⁻²¹	20,4
La(OH) ₃	2,0 · 10 ⁻¹⁹	18,7
La ₂ S ₃	2,0 · 10 ⁻¹³	12,70
La ₂ (SO ₄) ₃	3 · 10 ⁻⁵	4,5
Li ₂ CO ₃	3,98 · 10 ⁻³	2,40
LiF	3,8 · 10 ⁻³	2,42
LiOH	4 · 10 ⁻²	1,4
Li ₃ PO ₄	3,2 · 10 ⁻⁹	8,5
Mg ₃ (AsO ₄) ₂	2,1 · 10 ⁻²⁰	19,68
MgCO ₃	2,1 · 10 ⁻⁵	4,67
MgC ₂ O ₄	8,6 · 10 ⁻⁵	4,1
MgF ₂	6,5 · 10 ⁻⁹	8,19
Mg(IO ₃) ₂	3 · 10 ⁻³	2,5
MgK ₄ Fe(CN) ₆	5 · 10 ⁻⁹	8,3
Mg(NH ₄) ₂ Fe(CN) ₆	4 · 10 ⁻⁸	7,4
MgNH ₄ PO ₄	2,5 · 10 ⁻¹³	12,6
Mg(OH) ₂	6,0 · 10 ⁻¹⁰	9,22
(fraîchement précipité)		
Mg(OH) ₂ (Mg ²⁺ , 2OH ⁻)	1,8 · 10 ⁻¹¹	10,74
(MgOH ⁺ , OH ⁻)	2,3 · 10 ⁻⁷	6,64
(après vieillissement)		
Mg ₃ (PO ₄) ₂	1 · 10 ⁻¹³	13
MgSO ₃	3 · 10 ⁻³	2,5
MgSeO ₃	1,30 · 10 ⁻⁵	4,89
Mn ₂ (AsO ₄) ₂	1,9 · 10 ⁻²⁹	28,72
MnCO ₃	1,8 · 10 ⁻¹¹	10,74
MnC ₂ O ₄	5 · 10 ⁻⁸	5,3
Mn ₂ Fe(CN) ₆	7,9 · 10 ⁻¹³	12,10
MnNH ₄ PO ₄	1 · 10 ⁻¹²	12
Mn(OH) ₂ (Mn ²⁺ , 2OH ⁻)	1,9 · 10 ⁻¹³	12,72
(MnOH ⁺ , OH ⁻)	1,5 · 10 ⁻⁹	8,82
Mn(OH) ₃	1 · 10 ⁻³⁶	36

Tableau 10 (suite)

Formule de la substance	PS	pPS = -lg PS
MnS* (couleur chair)	$2,5 \cdot 10^{-10}$	9,60
MnS** (vert)	$2,5 \cdot 10^{-13}$	12,60
MnSeO ₃	$1,26 \cdot 10^{-7}$	6,9
Mo(OH) ₄	$1 \cdot 10^{-50}$	50,0
(NH ₄) ₃ AlF ₆ (3NH ₄ ⁺ , AlF ₆ ³⁻)	$1,6 \cdot 10^{-3}$	2,80
(NH ₄) ₃ Co(NO ₂) ₆ [3NH ₄ ⁺ , Co(NO ₂) ₆ ³⁻]	$7,6 \cdot 10^{-6}$	5,12
(NH ₄) ₂ IrCl ₆	$3 \cdot 10^{-5}$	4,5
(NH ₄) ₂ PtCl ₆	$9 \cdot 10^{-6}$	5,05
Na ₃ AlF ₆	$4,1 \cdot 10^{-10}$	9,39
Na ₂ BeF ₄	$7 \cdot 10^{-3}$	2,15
NaIO ₄	$3 \cdot 10^{-3}$	2,5
NaSb(OH) ₆ [Na ⁺ , Sb(OH) ₆ ⁻] ...	$4 \cdot 10^{-8}$	7,4
Na ₂ SiF ₆	$2,8 \cdot 10^{-4}$	3,56
Ni ₃ (AsO ₄) ₂	$3,1 \cdot 10^{-28}$	25,51
Ni(CN) ₂	$3 \cdot 10^{-23}$	22,5
NiCO ₃	$1,3 \cdot 10^{-7}$	6,87
NiC ₂ O ₄	$4 \cdot 10^{-10}$	9,4
Ni(ClO ₃) ₂	$1 \cdot 10^{-4}$	4
Ni ₂ Fe(CN) ₆	$1,3 \cdot 10^{-15}$	14,89
Ni(IO ₃) ₂	$1,40 \cdot 10^{-8}$	7,85
Ni(NH ₃) ₆ (BF ₄) ₂	$1 \cdot 10^{-6}$	6
Ni(NH ₃) ₆ (ReO ₄) ₂	$5,1 \cdot 10^{-4}$	3,29
Ni(OH) ₂	$2,0 \cdot 10^{-15}$	14,70
(fraîchement précipité)		
Ni(OH) ₂	$6,3 \cdot 10^{-18}$	17,20
(après vieillissement)		
Ni ₂ P ₂ O ₇	$1,7 \cdot 10^{-13}$	12,77
NiS α	$3,2 \cdot 10^{-19}$	18,50
NiS β	$1 \cdot 10^{-24}$	24,0

* Les valeurs du PS_{MAS} sont citées selon Ringbom A. *Solubilités of sulfides*. Report to analytical section IUPAC, July, 1953. Elles diffèrent essentiellement de nombreuses valeurs trouvées auparavant, par exemple pour la modification couleur chair : $7 \cdot 10^{-16}$ (Bruner, Zawadski), $1,1 \cdot 10^{-18}$ (Kapoustinski); pour la modification verte : $6,2 \cdot 10^{-22}$ (Bruner, Zawadski).

Tableau 10 (suite)

Formule de la substance	PS	pPS = -lg PS
NiS γ	$2,0 \cdot 10^{-28}$	25,70
NiSeO ₃	$1,0 \cdot 10^{-5}$	5,0
NpO ₂ (OH) ₂ (NpO ₂ ⁺ , 2OH ⁻) ...	$2,5 \cdot 10^{-22}$	21,6
Pb ₃ (AsO ₄) ₂	$4,1 \cdot 10^{-36}$	35,39
PbBr ₂	$9,1 \cdot 10^{-6}$	5,04
Pb(BrO ₃) ₂	$7,99 \cdot 10^{-6}$	5,10
PbCO ₃	$7,49 \cdot 10^{-14}$	13,13
PbC ₂ O ₄	$4,8 \cdot 10^{-10}$	9,32
PbCl ₂	$1,6 \cdot 10^{-5}$	4,79
PbClF	$2,8 \cdot 10^{-9}$	8,55
PbCrO ₄	$1,8 \cdot 10^{-14}$	13,75
PbF ₂	$2,7 \cdot 10^{-8}$	7,57
Pb ₂ Fe(CN) ₆	$3,5 \cdot 10^{-15}$	14,46
PbI ₂	$1,1 \cdot 10^{-9}$	8,98
Pb(IO ₃) ₂	$2,6 \cdot 10^{-13}$	12,58
PbMoO ₄	$4,0 \cdot 10^{-6}$	5,4
Pb(N ₃) ₂	$2,6 \cdot 10^{-9}$	8,59
Pb(OH) ₂ (Pb ²⁺ , 2OH ⁻)	$1,1 \cdot 10^{-20}$	19,96
(PbOH ⁺ , OH ⁻)	$8,7 \cdot 10^{-14}$	13,06
PbOHBr	$2 \cdot 10^{-15}$	14,7
PbOHCl	$2 \cdot 10^{-14}$	13,7
PbO ₂ (Pb ⁴⁺ , 4OH ⁻)	$3,0 \cdot 10^{-68}$	65,5
Pb ₃ O ₄ (2Pb ²⁺ , PbO ₄ ²⁻)	$5,3 \cdot 10^{-51}$	50,28
Pb ₃ (PO ₄) ₂	$7,9 \cdot 10^{-43}$	42,10
Pb ₃ (PO ₄) ₂ Cl	$7,5 \cdot 10^{-50}$	79,12
PbPO ₃ F	$1 \cdot 10^{-7}$	7,0
PbS	$2,5 \cdot 10^{-27}$	26,60
Pb(SCN) ₂	$2,0 \cdot 10^{-5}$	4,70
PbSO ₄	$1,6 \cdot 10^{-8}$	7,80
PbS ₂ O ₃	$4,0 \cdot 10^{-7}$	6,40
PbSe	$1 \cdot 10^{-38}$	38
PbSeO ₃	$3 \cdot 10^{-12}$	11,5
PbSeO ₄	$1,45 \cdot 10^{-7}$	6,84
PbWO ₄	$4,5 \cdot 10^{-7}$	6,35
Pb(OH) ₄	$6,5 \cdot 10^{-71}$	70,2
PoS	$5 \cdot 10^{-29}$	28,3

Tableau 10 (suite)

Formule de la substance	PS	pPS = -lg PS
Po(SO ₄) ₂	2,6·10 ⁻⁷	6,58
PtBr ₄	3·10 ⁻⁴¹	40,5
PtCl ₄	8,0·10 ⁻²⁹	28,1
Pt(OH) ₂	1·10 ⁻²⁵	35
PtO ₂ (Pt ⁴⁺ , 4OH ⁻)	1,6·10 ⁻⁷²	71,8
PtS	8·10 ⁻⁷³	72,1
Pu(OH) ₃	2·10 ⁻²⁰	19,7
Pu(OH) ₄	1·10 ⁻⁵²	52
PuO ₂ OH(PuO ₂ ⁺ , OH ⁻)	1·10 ⁻³	3
PuO ₂ (OH) ₂ (PuO ₂ ⁺ , 2OH ⁻)	3,2·10 ⁻²¹	20,5
Pu(IO ₃) ₄	5·10 ⁻¹³	12,3
Ra(IO ₃) ₂	8,8·10 ⁻¹⁰	9,06
Ra(NO ₃) ₂	6,2·10 ⁻³	2,21
RaSO ₄	4,3·10 ⁻¹¹	10,37
RbBF ₄	1·10 ⁻³	3,0
RbBH ₄	2,5·10 ⁻⁴	3,6
RbBrO ₃	2·10 ⁻²	1,7
RbClO ₄	2,5·10 ⁻³	2,60
Rb ₃ Co(NO ₂) ₆ [3Rb ⁺ , Co(NO ₂) ₆ ³⁻]	1,48·10 ⁻¹⁵	14,83
RbIO ₄	5,5·10 ⁻⁴	3,26
RbMnO ₄	2,9·10 ⁻³	2,54
Rb ₂ PtCl ₂ (2Rb ⁺ , PtCl ₂ ²⁻)	9·10 ⁻⁸	7,2
Rb ₂ PtF ₆ (2Rb ⁺ , PtF ₆ ²⁻)	7,63·10 ⁻⁷	6,12
RbReO ₄	9,6·10 ⁻⁴	3,02
Rb ₂ SiF ₆	5·10 ⁻⁷	6,3
Rb ₂ TiF ₆	5,5·10 ⁻⁵	4,26
Rh ₂ O ₃ (Rh ³⁺ , 3OH ⁻)	2·10 ⁻⁴⁸	47,7
Ru ₂ O ₃ (Ru ³⁺ , 3OH ⁻)	1·10 ⁻²⁸	36
Sb ₂ O ₃ (Sb ³⁺ , 3OH ⁻)	4·10 ⁻⁴²	41,4
(SbO ⁺ , OH ⁻)	7,9·10 ⁻¹⁸	17,1
Sb ₂ S ₃	1,6·10 ⁻⁹³	92,8
Sc(OH) ₃	1·10 ⁻²⁷	27
SnI ₂	1,0·10 ⁻⁴	4,0
Sn(OH) ₂ (Sn ²⁺ , 2OH ⁻)	6,3·10 ⁻²⁷	26,20
(SnOH ⁺ , OH ⁻)	4,6·10 ⁻¹⁵	14,34

Tableau 10 (suite)

Formule de la substance	PS	pPS = -lg PS
Sn(OH) ₄	1 · 10 ⁻⁶⁷	57
SnS	1 · 10 ⁻²⁵	25,0
Sr ₃ (AsO ₄) ₂	1,3 · 10 ⁻¹⁸	17,79
SrCO ₃	1,1 · 10 ⁻¹⁰	9,96
SrC ₂ O ₄	5,6 · 10 ⁻⁸	7,25
SrCrO ₄	3,6 · 10 ⁻⁵	4,44
SrF ₂	2,5 · 10 ⁻⁹	8,61
Sr(IO ₃) ₂	3,3 · 10 ⁻⁷	6,48
SrMoO ₄	2 · 10 ⁻⁷	6,7
Sr(OH) ₂	3,2 · 10 ⁻⁴	3,50
Sr ₃ (PO ₄) ₂	1 · 10 ⁻³¹	31
SrPO ₃ F	3 · 10 ⁻³	2,5
SrSO ₃	4 · 10 ⁻⁸	7,4
SrSO ₄	3,2 · 10 ⁻⁷	6,49
SrSeO ₃	8,5 · 10 ⁻⁷	6,07
SrSiF ₆	1,5 · 10 ⁻²	1,82
SrWO ₄	2,2 · 10 ⁻¹⁰	9,77
Te(OH) ₄	3,0 · 10 ⁻⁶⁴	53,52
Th(C ₂ O ₄) ₂	2,0 · 10 ⁻⁵	4,70
Th(IO ₃) ₄	2,5 · 10 ⁻¹⁵	14,6
Th(OH) ₄	3,2 · 10 ⁻⁴⁵	44,5
Th ₃ (PO ₄) ₄	2,57 · 10 ⁻⁷⁰	78,59
Th(SO ₄) ₂	4 · 10 ⁻³	2,4
TiO(OH) ₂ (TiO ²⁺ , 2OH ⁻)	1 · 10 ⁻²⁹	29
TiBr	3,89 · 10 ⁻⁸	5,41
TiBrO ₃	3,89 · 10 ⁻⁴	3,41
Ti ₂ CO ₃	4 · 10 ⁻³	2,4
TiCl	1,7 · 10 ⁻⁴	3,76
TiClO ₄	4 · 10 ⁻²	1,4
Ti ₃ Co(NO ₂) ₆ [3Ti ⁺ , Co(NO ₂) ₃ ⁻]	1,0 · 10 ⁻¹⁸	16,00
Ti ₂ CrO ₄	9,8 · 10 ⁻¹³	12,01
Ti ₄ Fe(CN) ₆	5 · 10 ⁻¹⁰	9,3
TiI	6,5 · 10 ⁻⁸	7,19
TiIO ₃	3,1 · 10 ⁻⁶	5,51
Ti(OH) ₃	6,3 · 10 ⁻⁴⁶	45,20
Ti ₃ PO ₄	6,7 · 10 ⁻⁸	7,18

Tableau 10 (suite)

Formule de la substance	PS	pPS = -lg PS
Ti ₂ PtCl ₆	4·10 ⁻¹²	11,4
TiReO ₄	1,2·10 ⁻⁵	4,92
Ti ₂ S	5,0·10 ⁻²¹	20,30
TiSCN	1,7·10 ⁻⁴	3,77
Ti ₂ SO ₃	6,3·10 ⁻⁴	3,2
Ti ₂ SO ₄	4·10 ⁻³	2,4
Ti ₂ S ₂ O ₃	2,0·10 ⁻⁷	6,70
TiVO ₃	1·10 ⁻⁵	5
Ti ₄ V ₂ O ₇	1·10 ⁻¹¹	11
UO ₂ C ₂ O ₄	4·10 ⁻⁴	3,4
(UO ₂) ₂ Fe(CN) ₆	7,0·10 ⁻¹⁴	13,15
UO ₂ HAsO ₄ (UO ₂ ⁺ , HAsO ₄ ⁻)	3,2·10 ⁻¹¹	10,50
UO ₂ HPO ₄ (UO ₂ ⁺ , HPO ₄ ⁻)	2,14·10 ⁻¹¹	10,67
UO ₂ (IO ₃) ₂	3·10 ⁻⁸	7,5
UO ₂ KAsO ₄	2,5·10 ⁻²³	22,60
UO ₂ KPO ₄	7,8·10 ⁻²⁴	23,11
UO ₂ NH ₄ AsO ₄	1,7·10 ⁻²⁴	23,77
UO ₂ NH ₄ PO ₄	4,4·10 ⁻²⁷	26,36
UO ₂ NaAsO ₄	1,3·10 ⁻²²	21,87
U(OH) ₃	1·10 ⁻¹⁹	19,0
U(OH) ₄	1·10 ⁻⁴⁵	45,0
UO ₂ (OH) ₂ (UO ₂ ⁺ , 2OH ⁻)	1·10 ⁻²²	22,0
VO(OH) ₂	7,4·10 ⁻²³	22,13
V ₂ O ₅ (VO ₂ ⁺ , OH ⁻)	1,6·10 ⁻¹⁸	14,8
(VO) ₂ (PO ₄) ₂	8·10 ⁻²⁵	24,1
W(OH) ₄	1·10 ⁻⁵⁰	50,0
Y(OH) ₃	6,3·10 ⁻²⁵	24,2
Zn ₃ (AsO ₄) ₂	1,07·10 ⁻²⁷	26,97
Zn(CN) ₂	2,6·10 ⁻¹³	12,59
ZnCO ₃	1,45·10 ⁻¹¹	10,84
ZnC ₂ O ₄	1,5·10 ⁻⁹	8,8
ZnFe(CN) ₆	4,1·10 ⁻¹⁶	15,39
ZnHg(SCN) ₄ [Zn ²⁺ , Hg(SCN) ₄ ⁻]	2,2·10 ⁻⁷	6,66
Zn(IO ₃) ₂	2,0·10 ⁻⁸	7,7
Zn(OH) ₂ (Zn ²⁺ , 2OH ⁻)	7,1·10 ⁻¹⁸	17,15
(ZnOH ⁺ , OH ⁻)	1,8·10 ⁻¹³	12,75

Tableau 10 (suite)

Formule de la substance	PS	$pPS = -\lg PS$
$Zn_3(PO_4)_2$	$9,1 \cdot 10^{-33}$	32,04
$ZnS \alpha$	$1,6 \cdot 10^{-24}$	23,80
(blende)		
$ZnS \beta$	$2,5 \cdot 10^{-22}$	21,60
(wurtzite)		
$ZnSe$	$1 \cdot 10^{-31}$	31
$ZnSeO_3$	$2,57 \cdot 10^{-7}$	6,59
$ZrO(OH_2)$	$2 \cdot 10^{-24}$	23,7
$Zr(OH)_4(Zr^{4+}, 4OH^-)$	$1,1 \cdot 10^{-64}$	53,96
$[Zr(OH)_2^{2+}, 2OH^-]$	$3,2 \cdot 10^{-26}$	25,50
$Zr_3(PO_4)_4$	10^{-132}	132

Tableau 11

Coefficients d'activité de divers ions

Ions	Valeurs du coefficient d'activité pour la force ionique * (μ)								
	0,0005	0,001	0,0025	0,005	0,01	0,025	0,05	0,1	
<i>Ions des composés minéraux</i>									
H ⁺	0,975	0,967	0,950	0,933	0,914	0,88	0,86	0,83	
Li ⁺	0,975	0,965	0,948	0,929	0,907	0,87	0,835	0,80	
Rb ⁺ , Cs ⁺ , NH ₄ ⁺ , Ag ⁺ , Tl ⁺	0,975	0,964	0,945	0,924	0,898	0,85	0,80	0,75	
K ⁺ , Cl ⁻ , Br ⁻ , I ⁻ , CN ⁻ , NO ₂ ⁻ , NO ₃ ⁻	0,975	0,964	0,945	0,925	0,899	0,85	0,805	0,755	
OH ⁻ , F ⁻ , HS ⁻ , ClO ₂ ⁻ , ClO ₄ ⁻ , BrO ₃ ⁻ , IO ₃ ⁻ , MnO ₄ ⁻ , OCN ⁻ , SCN ⁻ , Na ⁺ , CdCl ⁺ , ClO ₂ ⁻ , IO ₂ ⁻ , HCO ₃ ⁻ , H ₂ PO ₄ ⁻ , HSO ₄ ⁻ , H ₂ AsO ₄ ⁻	0,975	0,964	0,946	0,926	0,900	0,855	0,81	0,76	
Hg ₂ ²⁺ , SO ₄ ²⁻ , S ₂ O ₃ ²⁻ , S ₂ O ₄ ²⁻ , S ₂ O ₆ ²⁻ , SeO ₄ ²⁻ , CrO ₄ ²⁻ , HPO ₄ ²⁻	0,975	0,964	0,947	0,928	0,902	0,86	0,82	0,775	
FeO ₄ ²⁻ , Pb ²⁺ , CO ₃ ²⁻ , SO ₃ ²⁻ , MoO ₄ ²⁻	0,903	0,867	0,803	0,740	0,660	0,545	0,445	0,355	
Pb ²⁺ , CO ₃ ²⁻ , SO ₃ ²⁻ , MoO ₄ ²⁻	0,903	0,868	0,805	0,742	0,665	0,55	0,455	0,37	
Sr ²⁺ , Ba ²⁺ , Ra ²⁺ , Cd ²⁺ , Hg ²⁺ , Si ²⁺ , S ₂ O ₃ ²⁻ , WO ₄ ²⁻	0,903	0,868	0,805	0,744	0,67	0,555	0,465	0,38	
Ca ²⁺ , Cu ²⁺ , Zn ²⁺ , Sn ²⁺ , Mn ²⁺ , Fe ²⁺ , Ni ²⁺ , Co ²⁺	0,905	0,870	0,809	0,749	0,675	0,57	0,485	0,405	
Mg ²⁺ , Be ²⁺	0,906	0,872	0,813	0,755	0,69	0,595	0,52	0,45	
PO ₄ ³⁻ , [Fe(CN) ₆] ³⁻	0,796	0,725	0,612	0,505	0,395	0,25	0,16	0,095	
Al ³⁺ , Fe ³⁺ , Cr ³⁺ , Sc ³⁺ , Y ³⁺ , La ³⁺ , In ³⁺ , Ce ³⁺ , Pr ³⁺ , Nd ³⁺ , Sm ³⁺	0,802	0,738	0,632	0,54	0,445	0,325	0,245	0,18	

	Ions des composés organiques									
	0,668 0,678	0,57 0,588	0,425 0,455	0,31 0,35	0,20 0,255	0,10 0,155	0,048 0,10	0,021 0,065		
[Fe(CN) ₆] ⁴⁻										
Th ⁴⁺ , Zr ⁴⁺ , Ce ⁴⁺ , Sn ⁴⁺										
HCOO ⁻ , H ₂ C ₆ H ₈ O ₇ ⁻ , CH ₃ NH ₃ ⁺ , (CH ₃) ₂ NH ₂ ⁺	0,975	0,964	0,946	0,926	0,900	0,855	0,81	0,76		
-OOCCH ₂ NH ₃ ⁺ , (CH ₃) ₃ NH ⁺ , C ₂ H ₅ NH ₃ ⁺	0,975	0,964	0,947	0,927	0,901	0,855	0,815	0,77		
CH ₃ COO ⁻ , (CH ₃) ₂ N ⁺ , CH ₃ ClCOO ⁻ , NH ₂ CH ₂ COO ⁻	0,975	0,964	0,947	0,928	0,902	0,86	0,82	0,775		
CHCl ₂ COO ⁻ , CCl ₃ COO ⁻ , (C ₂ H ₅) ₂ NH ⁺ , C ₃ H ₇ NH ⁺	0,975	0,964	0,947	0,928	0,904	0,865	0,83	0,79		
C ₆ H ₅ COO ⁻ , C ₆ H ₅ OHCOO ⁻ , C ₆ H ₅ ClCOO ⁻ , C ₆ H ₅ CH ₂ COO ⁻ , H ₂ C=CHCH ₂ COO ⁻ , (C ₂ H ₅) ₂ N ⁺ , (CH ₃) ₂ C=CHCOO ⁻ , (C ₃ H ₇) ₂ NH ⁺ , [OC ₆ H ₄ (NO ₂) ₃] ⁻ , (C ₃ H ₇) ₃ NH ⁺	0,975 0,975 0,903	0,965 0,965 0,867	0,948 0,948 0,804	0,929 0,930 0,741	0,907 0,909 0,662	0,87 0,875 0,55	0,835 0,845 0,45	0,80 0,81 0,36		
(COO) ₂ ²⁻ , HC ₆ H ₄ O ₇ ⁻										
H ₂ C(COO) ₂ ²⁻ , (CH ₂ COO) ₂ ²⁻ , (CHOHCOO) ₂ ²⁻	0,903	0,868	0,805	0,744	0,67	0,555	0,465	0,38		
C ₆ H ₄ (COO) ₂ ²⁻ , H ₂ C(CH ₂ COO) ₂ ²⁻ , CH ₂ CH ₂ (COO) ₂ ²⁻	0,905	0,870	0,809	0,749	0,675	0,57	0,485	0,405		
C ₆ H ₅ O ₃ ³⁻	0,796	0,728	0,616	0,51	0,405	0,27	0,18	0,115		

• La force ionique $\mu = \frac{C_1 Z_1^2 + C_2 Z_2^2 + C_3 Z_3^2 + \dots + C_n Z_n^2}{2}$, où C₁, C₂, C₃, ..., C_n sont les concentrations de tous les ions présents en solution et Z₁, Z₂, Z₃, ..., Z_n, les valeurs correspondantes des charges de ces ions.

Tableau 12

Coefficients d'activité de divers ions pour des valeurs élevées de la force ionique de la solution

(Valeurs approximatives)

Le Tableau 12 est dressé par Meites* en utilisant la formule de Davis :

$$-\frac{\lg f_i}{Z_i^2} = \frac{0,511 \sqrt{\mu}}{1 + 1,5 \sqrt{\mu}} - 0,2\mu$$

où μ est la force ionique de la solution ; f_i le coefficient d'activité de l'ion ; Z_i la charge ionique (de 1 à 6).

On a adopté comme la valeur du rayon ionique effectif sa moyenne propre à tous les ions.

μ	$-\frac{\lg f_i}{Z_i^2}$	f_i pour Z_i					
		1	2	3	4	5	6
0,05	0,076	0,84	0,50	0,21	0,062	0,013	0,0019
0,1	0,090	0,81	0,44	0,16	0,037	0,0058	0,00060
0,2	0,097	0,80	0,41	0,14	0,028	0,0038	0,00033
0,3	0,094	0,81	0,42	0,14	0,032	0,0046	0,00043
0,4	0,086	0,82	0,45	0,17	0,042	0,0072	0,00082
0,5	0,075	0,84	0,50	0,21	0,062	0,013	0,0020
0,6	0,063	0,87	0,56	0,27	0,098	0,027	0,0054
0,7	0,050	0,89	0,63	0,36	0,16	0,058	0,016
0,8	0,035	0,92	0,72	0,48	0,27	0,13	0,054
0,9	0,020	0,96	0,83	0,66	0,48	0,31	0,19
1,0	0,0044	0,99	0,96	0,91	0,85	0,78	0,69

* Meites L. *Handbook of analytical chemistry*. N. Y., 1963.

Tableau 13

Jaugeage de la verrerie

La correction A est égale à la différence entre 1000 g (la masse de 1 l d'eau sous vide à 4 °C) et la masse de 1 l d'eau sous vide à une température donnée (première colonne).

La correction B caractérise la pesée en air utilisant un jeu de poids en laiton (la densité du laiton 8,4 g/cm³), elle est calculée à l'admission que la pression barométrique soit voisine de 760 mm Hg et l'humidité relative de l'air soit proche de 50 %. Puisque la variation de la pression barométrique de 10 mm Hg implique une variation de la valeur de B de 14 mg en moyenne, pour un écart important de la pression à 760 mm, la quantité B est à remplacer par une quantité plus précise : $B' = B + (P - 760) \cdot 1,4$ mg, où P est la pression barométrique.

La correction C caractérisant la dilatation (ou la compression) d'un récipient en fonction de la température supérieure ou inférieure à la normale (20 °C) est calculée d'après le coefficient de dilatation moyen du verre, égal à $25 \cdot 10^{-6}$.

Dans la dernière colonne figure la masse d'eau dans l'air à la température d'expérience, qui, à 20 °C, occupe un volume égal à 1 l. *La partie correspondante de cette masse est mise en jeu dans le cas où l'on jauge les récipients à une capacité moins importante.*

Température (°C)	Masse de 1000 ml d'eau sous vide (g) ($d \cdot 1000$)	Correction A (g)	Correction B (g)	Correction C (g)	$A + B + C$ (g)	$1000 - (A + B + C)$ (g)
9	999,81	0,19	1,10	+ 0,28	1,57	998,43
10	999,73	0,27	1,09	+ 0,25	1,61	998,39
11	999,63	0,37	1,09	+ 0,23	1,69	998,31
12	999,52	0,48	1,09	+ 0,20	1,77	998,23
13	999,40	0,60	1,08	+ 0,18	1,86	998,14
14	999,27	0,73	1,08	+ 0,15	1,96	998,04
15	999,13	0,87	1,07	+ 0,13	2,07	997,93
16	998,97	1,03	1,07	+ 0,10	2,20	997,80
17	998,80	1,20	1,07	+ 0,08	2,35	997,65

Tableau 13 (suite)

Température (°C)	Masse de 1000 ml d'eau sous vide (g) ($d \cdot 1000$)	Correction A (g)	Correction B (g)	Correction C (g)	A + B + C (g)	1000 - (A + B + C) (g)
18	998,62	1,38	1,06	+ 0,05	2,49	997,51
19	998,43	1,57	1,06	+ 0,03	2,66	997,34
20	998,23	1,77	1,05	0,00	2,82	997,18
21	998,02	1,98	1,05	- 0,03	3,00	997,00
22	997,80	2,20	1,05	- 0,05	3,20	996,80
23	997,57	2,43	1,04	- 0,08	3,39	996,61
24	997,33	2,67	1,04	- 0,10	3,61	996,39
25	997,08	2,92	1,03	- 0,13	3,82	996,18
26	996,82	3,18	1,03	- 0,15	4,06	995,94
27	996,55	3,45	1,03	- 0,18	4,30	995,70
28	996,27	3,73	1,02	- 0,20	4,55	995,45
29	995,98	4,02	1,02	- 0,23	4,81	995,19
30	995,68	4,32	1,01	- 0,25	5,08	994,92
31	995,37	4,63	1,01	- 0,28	5,36	994,64
32	995,06	4,94	1,01	- 0,30	5,65	994,35
33	994,73	5,27	1,00	- 0,33	5,94	994,06
34	994,40	5,60	1,00	- 0,35	6,25	993,75
35	994,06	5,94	0,99	- 0,38	6,55	993,45

Tableau 14

Calculs des résultats des dosages volumétriques *

1 ml de solution titrante titre $N_s E_x$ mg de substance à analyser (N_s est la normalité de la solution titrante**, E_x est le poids équivalent de la substance à doser). Si g est une prise d'essai de substance consommée au cours du dosage à analyser en mg, V est le volume de solution titrante, le pourcentage de substance à doser x est égal à

$$x = \frac{V N_s E_x \cdot 100}{g}$$

A. Titrages acide-base (acidimétrie et alcalimétrie)

Les substances utilisées pour le titrage et les concentrations de leurs solutions normales :

a) acides

Formule	HCl	H ₂ SO ₄	HNO ₃	H ₂ C ₂ O ₄ ·2H ₂ O
Concentration de la solution 1 N (g/l)	36,461	49,039	63,0129	63,0333

b) bases

Formule	NaOH	KOH	Ba(OH) ₂ ·8H ₂ O
Concentration de la solution 1 N (g/l)	39,9972	56,109	157,74

Substance à doser	$\frac{E}{M}$ *	Poids équivalent E	lg E
Al	1/3	8,99383	95 394
B (titrage de H ₃ BO ₃ avec de la phénolphthaléine en présence de mannite ou de glycérine)	1	10,811	03 387

* M est la masse molaire.

* Sur le mode d'utilisation du *Tableau 14* voir pp. 553-559.

** Dans le *Tableau 14* (et dans tous les autres d'ailleurs) le symbole s au bas de la lettre N correspond aux solutions titrantes, le symbole x dans E_x , aux solutions titrées de substance à doser.

Tableau 14 (suite)

Substance à doser	$\frac{E}{M^*}$	Poids équivalent E	lg E
Ba(OH) ₂	1/2	85,675	93 285
Ba(OH) ₂ ·8H ₂ O	1/2	157,74	19 794
CO ₂	1/2	22,0050	34 252
CO ₃	1/2	30,0047	47 719
CH ₃ COO ⁻	1	59,0450	77 118
CaCO ₃	1/2	50,045	69 936
Ca(HCO ₃) ₂	1/2	81,057	90 879
CaO	1/2	28,040	44 778
Ca(OH) ₂	1/2	37,047	56 875
H ₂ BO ₃ (avec de la phénolphtaléine en présence de mannite ou de glycérine)	1	61,833	79 122
HBr	1	80,912	90 801
HCHO ₂	1	46,0259	66 300
(formique)			
HC ₂ H ₃ O ₂	1	60,0530	77 853
(acétique)			
H ₂ C ₄ H ₄ O ₄	1/2	59,045	77 118
(succinique)			
H ₂ C ₄ H ₄ O ₆	1/2	75,0445	87 532
(tartrique)			
H ₃ C ₆ H ₅ O ₇	1/3	64,0420	80 646
(citrique)			
H ₃ C ₆ H ₅ O ₇ ·H ₂ O	1/3	70,0473	84 539
HC ₇ H ₅ O ₂	1	122,125	08 680
(benzoïque)			
H ₂ C ₂ O ₄	1/2	45,0179	65 339
(oxalique)			
H ₂ C ₂ O ₄ ·2H ₂ O	1/2	63,0333	79 957
HCl	1	36,461	56 183
HClO ₄	1	100,459	00 199
HF	1	20,0064	30 117
HI	1	127,9124	10 691
HIO ₃	1	175,9106	24 529
HNO ₃	1	63,0129	79 943

* M est la masse moléculaire.

Tableau 14 (suite)

Substance à doser	$\frac{E}{M^*}$	Poids équivalent E	lg E
H ₃ PO ₄ (avec de l'orange de méthyle, ou du jaune de méthyle ou du bleu de bromocrésol) ...	1	97,9953	99 121
H ₃ PO ₄ (avec de la phénolphtaléine ou du bleu de thymol en présence de NaCl)	1/2	48,9977	69 018
H ₃ PO ₄ (avec de la phénolphtaléine en présence de CaCl ₂)	1/3	32,6651	51 408
H ₃ PO ₄ (titrage du précipité de phosphomolybdate)	1/23	4,2607	62 948
H ₂ SO ₄	1/2	49,039	69 054
K ₂ CO ₃ (avec du bleu de thymol ou de la phénolphtaléine) ...	1	138,213	14 055
K ₂ CO ₃ (avec du jaune de méthyle, ou de l'orange de méthyle, ou du bleu de bromophénol ou du bleu de bromocrésol)	1/2	69,107	83 952
KHCO ₃	1	100,119	00 052
KHC ₈ H ₄ O ₆	1	188,183	27 458
(hydrotartrate)			
KHC ₈ H ₄ O ₄	1	204,229	31 012
(hydrophthalate)			
KH(IO ₃) ₂	1	389,915	59 097
KOH	1	54,109	74 903
Li ₂ CO ₃ (avec du bleu de thymol ou de la phénolphtaléine)	1	73,887	86 857
Li ₂ CO ₃ (avec du jaune de méthyle, ou de l'orange de méthyle, ou du bleu de bromophénol ou du bleu de bromocrésol)	1/2	36,944	56 754
MgCO ₃	1/2	42,157	62 487
MgO	1/2	20,152	30 432
N (d'après Kjeldahl)	1	14,0067	14 634
6,25 N (« protéine »)	—	87,5419	94 222
6,37 N (« caséine »)	—	89,2227	95 048

* M est la masse moléculaire.

Tableau 14 (suite)

Substance à doser	$\frac{E}{M^*}$	Poids équivalent E	lg E
5,55 N (« gélatine »)	—	77,7372	89 063
NH ₃	1	17,0306	23 123
NH ₄ ⁺	1	18,0386	25 620
NH ₄ Cl	1	53,492	72 829
(NH ₄) ₂ SO ₄	1/2	66,070	82 000
Na (titrage avec de la base et de la phénolphthaléine du précipité de NaZn(UO ₂) ₃ (C ₂ H ₃ O ₂) ₉ ·6H ₂ O	1/10	2,29898	36 154
Na ₂ B ₄ O ₇ ·10H ₂ O	1/2	190,69	28 033
Na ₂ CO ₃ (avec du bleu de thymol ou de la phénolphthaléine)	1	105,9890	02 526
Na ₂ CO ₃ (avec du jaune de méthyle, ou de l'orange de méthyle, ou du bleu de bromophénol ou du bleu de bromocrésol)	1/2	52,9945	72 423
Na ₂ CO ₃ ·10H ₂ O	1/2	143,071	15 555
NaHCO ₃	1	84,0071	92 432
NaOH	1	39,9972	60 203
P (titrage du précipité de phosphomolybdate)	1/23	1,3467	12 927
PO ₄ ³⁻ (titrage du précipité de phosphomolybdate)	1/23	4,1292	61 587

* M est la masse moléculaire.

B. Dosages d'oxydo-réduction (permanganatométrie, chromatométrie, iodométrie, bromatométrie, cériométrie, etc.)

Les substances utilisées pour le titrage et les concentrations de leurs solutions normales :

a) oxydants

Formule	KMnO ₄	Ce(NH ₄) ₂ (SO ₄) ₄ ·2H ₂ O	Ce(SO ₄) ₂ ·4H ₂ O
Concentration de la solution 1 N (g/l)	31,6075	632,55	404,30

Tableau 14 (suite)

Formule	I_2	$KBrO_3$	$K_2Cr_2O_7$
Concentration de la solution 1 N (g/l)	126,9044	27,835	49,032
Formule	KIO_3	$Ca(ClO)_2$	NH_4VO_3
Concentration de la solution 1 N (g/l)	35,6674	35,745	116,979

b) réducteurs

Formule	$Na_2S_2O_3 \cdot 5H_2O$	$Fe(NH_4)_2(SO_4)_2 \cdot 6H_2O$	$FeSO_4 \cdot 7H_2O$
Concentration de la solution 1 N (g/l)	248,18	392,14	278,02
Formule	$C_6H_8O_6$		$Hg_2(NO_3)_2 \cdot 2H_2O$
Concentration de la solution 1 N (g/l)	(acide ascorbique) 88,064		280,61

Substance à doser	$\frac{E}{M}^*$	Poids équivalent E	lg E
Al (après la précipitation par l'oxyquinoléine)	1/12	2,24846	35 189
As ($As^{3+} \rightleftharpoons As^{5+}$)	1/2	37,46080	57 358
Ba (après la précipitation sous forme de $BaCrO_4$)	1/3	45,780	66 068
Bi (après la précipitation par l'oxyquinoléine)	1/12	17,4150	24 092
Br	1	79,904	90 257
BrO_3^-	1/6	21,3170	32 873
C_6H_5OH (selon Koppeschaar) (phénol)	1/6	15,6857	19 550
CN^- (titrage avec l'iode et selon Schulek)	1/2	13,00895	11 424
Ca (après la précipitation sous forme de CaC_2O_4)	1/2	20,040	30 190
Cd (après la précipitation par l'oxyquinoléine)	1/8	14,050	14 768
Ce (après la précipitation par l'oxyquinoléine)	1/12	11,677	06 733
Cl (actif)	1	35,453	54 965

* M est la masse moléculaire.

Tableau 14 (suite)

Substance à doser	$\frac{E}{M^*}$	Poids équivalent E	lg E
Cl ₂	1/2	35,453	54 965
ClO ⁻	1/2	25,726	41 037
ClO ₂ ⁻	1/6	13,9035	14 312
Co [après la précipitation sous forme de K ₃ Co(NO ₂) ₆]	1/11	5,3576	72 897
Co (après la précipitation par l'oxyquinoléine)	1/8	7,3667	86 727
Cr(Cr ₂ O ₇ ²⁻ → 2Cr ³⁺)	1/3	17,3320	23 885
CrO ₄ ²⁻	1/3	38,6647	58 731
Cr ₂ O ₇ ²⁻	1/6	35,9980	55 628
Cu (titrage avec l'iodate)	1	63,546	80 309
Cu (titrage avec le permanganate du précipité de CuSCN)	1/6	10,5910	02 494
Cu (après la précipitation par l'oxyquinoléine)	1/8	7,9433	90 000
Fe(Fe ³⁺ ⇌ Fe ²⁺)	1	55,847	14 700
Fe (après la précipitation par l'oxyquinoléine)	1/12	4,6539	66 782
Fe(CN) ₆ [Fe(CN) ₆ ³⁻ → Fe(CN) ₆ ⁴⁻]	1	211,954	32 624
Fe(NH ₄) ₂ (SO ₄) ₂ ·6H ₂ O	1	392,14	59 344
FeO	1	71,846	85 640
Fe ₂ O ₃	1/2	79,846	90 225
FeSO ₄	1	151,91	18 159
FeSO ₄ ·7H ₂ O	1	278,02	44 408
Ga (après la précipitation par l'oxyquinoléine)	1/12	5,810	76 418
HCN (titrage avec l'iode et selon Schulek)	1/2	13,5129	13 075
H ₂ C ₂ O ₄	1/2	45,0180	65 339
(oxalique)			
H ₂ C ₂ O ₄ ·2H ₂ O	1/2	63,0333	79 957
HI	1	127,9124	10 691
HNO ₂	1/2	23,5068	37 119
H ₂ O ₂	1/2	17,0074	23 064
H ₂ S (titrage avec l'iode)	1/2	17,040	23 147

* M est la masse moléculaire.

Tableau 14 (suite)

Substance à doser	$\frac{E}{M^*}$	Poids équivalent E	lg E
H ₂ S (titrage avec le bromate et permanganate)	1/8	4,2600	62 941
HSCN (titrage avec le permanganate)	1/6	9,8483	99 336
HSCN (titrage avec l'iode selon Rupp et Schiedd)	1/8	7,3863	86 843
H ₂ SO ₃	1/2	41,039	61 320
H ₂ SO ₄ (en utilisant le chromate de baryum)	1/3	32,693	51 445
I	1	126,9044	10 348
I ⁻ (après l'oxydation en iode par le nitrite)	1	126,9044	10 348
I ⁻ (après l'oxydation en IO ₃ ⁻ par le brome)	1/6	21,1507	32 533
IO ₃ ⁻	1/6	29,1504	46 464
In (après la précipitation par l'oxyquinoléine)	1/12	9,5682	98 083
KBrO ₃	1/6	27,834	44 458
KClO ₃	1/6	20,426	31 018
K ₂ CrO ₄	1/3	64,733	81 113
K ₂ Cr ₂ O ₇	1/6	49,032	69 048
K ₃ Fe(CN) ₆	1	329,26	51 754
K ₄ Fe(CN) ₆	1	368,36	56 627
K ₄ Fe(CN) ₆ · 3H ₂ O	1	422,41	62 573
KH(IO ₃) ₂	1/12	32,4929	51 179
KIO ₃	1/6	35,6674	55 227
KMnO ₄	1/5	31,6075	49 979
KNO ₂	1/2	42,554	62 894
Mg (après la précipitation par l'oxyquinoléine)	1/8	3,0381	48 260
Mn (par la méthode au bismuthate)	1/5	10,9876	04 090
Mn (par la méthode de Volhard)	3/10	16,4814	21 699
Mn (par la méthode de Ford-Williams ou Hampe)	1/2	27,4690	43 884

* M est la masse moléculaire.

Tableau 14 (suite)

Substance à doser	$\frac{E}{M^*}$	Poids équivalent E	lg E
Mn (après la précipitation par l'oxyquinoléine)	1/8	6,5782	81 811
MnO ₂ dans la pyrolusite (traitement par FeSO ₄ -KMnO ₄)	1/2	43,4685	63 817
Mo (titrage avec l'iode)	1	95,94	98 200
Mo (après la réduction par le zinc)	1/3	31,980	50 488
Mo (après la précipitation par l'oxyquinoléine)	1/8	11,993	07 893
NH ₂ OH	1/2	16,5131	21 783
NO ₂ ⁻	1/2	23,0028	36 178
Na [dissolution du précipité NaZn(UO ₂) ₃ ·(C ₂ H ₃ O ₂) ₉ ·6H ₂ O, réduction par le zinc et titrage]	1/6	3,8316	58 338
Na ₂ C ₂ O ₄	1/2	67,000	82 607
NaClO	1/2	37,221	57 079
NaNO ₂	1/2	34,4977	53 779
Na ₂ S(S ²⁻ → S ⁰)	1/2	39,022	59 131
Na ₂ SO ₃	1/2	63,021	79 949
Na ₂ S ₂ O ₃	1	158,11	19 896
Na ₂ S ₂ O ₃ ·5H ₂ O	1	248,18	39 477
Nb	1/2	46,453	66 701
Nb (empir.)	—	49,9	69 810
Ni (après la précipitation par l'oxyquinoléine)	1/8	7,339	86 564
O (« oxygène actif »)	1/2	7,9997	90 307
O ₃	1/2	23,9991	38 019
P (titrage du précipité de phosphomolybdate avec le permanganate après la réduction par le zinc)	1/36	0,8638	93 469
Pb (après la précipitation de PbC ₂ O ₄)	1/2	103,595	01 534
Pb (après la précipitation de PbCrO ₄)	1/3	69,063	83 925

* M est la masse moléculaire.

Tableau 14 (suite)

Substance à doser	$\frac{E}{M^*}$	Poids équivalent E	lg E
Pb (après la précipitation par l'oxyquinoléine)	1/8	25,899	41 328
$S(S^{2-} - S^0)$	1/2	16,032	20 499
$S(S^{2-} - SO_4^{2-})$	1/8	4,008	60 293
SCN^- (titrage avec le permanganate)	1/6	9,6803	98 589
SCN^- (titrage avec l'iode selon Rupp et Schiedd)	1/8	7,2603	86 095
SO_2	1/2	32,032	50 558
SO_3^{2-}	1/2	40,031	60 240
SO_4^{2-} (en utilisant le chromate de baryum)	1/3	32,021	50 543
$S_2O_3^{2-}(2S_2O_3^{2-} - S_4O_6^{2-})$	1	112,13	04 972
$S_2O_3^{2-}(S_2O_3^{2-} - 2SO_4^{2-})$	1/8	14,016	14 662
$Sb (Sb^{3+} - Sb^{5+})$	1/2	60,875	78 444
Sb (après la précipitation par l'oxyquinoléine)	1/12	10,146	00 629
$Sn (Sn^{2+} - Sn^{4+})$	1/2	59,345	77 338
Th (après la précipitation par l'oxyquinoléine)	1/16	14,502	16 143
Ti	1	47,90	68 034
Ti (après la précipitation par l'oxyquinoléine)	1/8	5,988	77 728
$U(U^{4+} - UO_2^{2+})$	1/2	119,015	07 560
U (après la précipitation par l'oxyquinoléine)	1/12	19,836	29 745
$V(VO^{2+} - VO_5^-)$	1	50,942	70 708
V (après la précipitation par l'oxyquinoléine)	1/8	6,368	80 400
Zn (après la précipitation par l'oxyquinoléine)	1/8	8,171	91 228
Zr (après la précipitation par l'oxyquinoléine)	1/16	5,701	75 595

* M est la masse moléculaire.

Tableau 14 (suite)

C. Méthodes de précipitation et de formation des complexes*

Les substances utilisées pour le titrage et les concentrations de leurs solutions normales :

Formule	AgNO ₃	Hg(NO ₃) ₂ ·H ₂ O	KSCN	NaCl
Concentration de la solution 1 N (g/l)	169,873	171,31	97,184	58,443
Formule	NH ₄ SCN	Hg ₂ (NO ₃) ₂ ·2H ₂ O	K ₂ CrO ₄	
Concentration de la solution 1 N (g/l)	76,120	280,61	97,099	

Substance à doser	$\frac{E}{M^*}$	Poids équivalent E	lg E
Ag	1	107,868	03 289
AgNO ₃	1	169,873	23 012
Ba (par titrage direct de K ₂ CrO ₄)	1/2	68,670	83 677
Br ⁻	1	79,904	90 257
CN ⁻ (selon Mohr, Volhard, Fajans)	1	26,0179	41 527
CN ⁻ (selon Liebig, Dénigès) ...	2	52,0357	71 630
Cl ⁻	1	35,453	54 965
F ⁻ (après la précipitation sous forme de PbClF)	1	18,9984	27 872
HBr	1	80,912	90 801
HCN (selon Mohr, Volhard, Fajans)	1	27,0258	43 178
HCN (selon Liebig, Dénigès)	2	54,0516	73 281
HCl	1	36,461	56 183
HI	1	127,9124	10 691
HSCN (selon Volhard)	1	59,090	77 151
Hg (avec du rhodanate)	1/2	100,295	00 128
I	1	126,9044	10 348
KBr	1	119,006	07 557
KCN (selon Mohr, Volhard, Fajans)	1	65,120	81 371

* M est la masse moléculaire.

* Méthodes de titrage par la complexone III, voir « D », p. 155.

Tableau 14 (suite)

Substance à doser	$\frac{E}{M^*}$	Poids équivalent E	lg E
KCN (selon Liebig, Dénigès)	2	130,240	11 474
KCl	1	74,555	87 248
KI	1	166,006	22 012
NH ₄ Cl	1	53,492	72 829
NaBr	1	102,894	01 239
NaCl	1	58,443	76 673
NaI	1	149,8942	17 578
SCN ⁻ (selon Volhard)	1	58,082	76 404

* M est la masse moléculaire.

D. Méthodes de titrage par la complexone III

(éthylènediamine-tétraacétate de sodium, EDTA, trilon B)

Les substances utilisées pour le titrage et les concentrations de leurs solutions normales (moléculaires) :

Formule	$\text{Na}_2\text{H}_2\text{C}_{10}\text{H}_{12}\text{O}_8\text{N}_2$	$\text{Na}_2\text{H}_2\text{C}_{10}\text{H}_{12}\text{O}_8\text{N}_2 \cdot 2\text{H}_2\text{O}$
Concentration de la solution 1 N (1 M) (g/l)	336,211	372,242

Substance à doser	$\frac{E}{M^*}$	Poids équivalent E	lg E
Ag [après l'addition de $\text{K}_2\text{Ni}(\text{CN})_4$]	2	215,736	33 392
Al	1	26,9815	43 106
As (sous forme de $\text{MgNH}_4\text{AsO}_4$)	1	74,9216	87 461
AsO_4^{3-} (sous forme de $\text{MgNH}_4\text{AsO}_4$)	1	138,9192	14 276
Ba	1	137,34	13 780
Bi	1	208,980	32 010
Br (en utilisant AgBr)	2	159,808	20 360

* M est la masse moléculaire.

Tableau 14 (suite)

Substance à doser	$\frac{E}{M^*}$	Poids équivalent E	lg E
CN ⁻ (après l'addition du sel de Ni ²⁺)	4	104,0714	01 733
Ca	1	40,08	60 293
Cd	1	112,40	05 077
Ce	1	140,12	14 650
Cl (en utilisant AgCl)	2	70,906	85 068
Co	1	58,9332	77 036
Cr	1	51,996	71 597
Cu	1	63,546	80 309
F (après l'addition du sel de Ca ²⁺)	2	37,9968	57 974
F (en utilisant PbClF)	1	18,9984	27 872
Fe	1	55,847	74 700
Ga	1	69,72	84 336
Hg	1	200,59	30 231
I (en utilisant AgI)	2	253,8088	40 451
In	1	114,82	06 002
Ir	1	192,2	28 375
K [sous forme de NaK ₂ Co(NO ₂) ₆]	2	78,204	89 323
La	1	138,91	14 273
Mg	1	24,305	38 570
Mn	1	54,9381	73 987
Mo (sous forme de CaMoO ₄)	1	95,94	98 200
Na [sous forme de NaZn(UO ₂)(C ₂ H ₃ O ₂) ₆ ·6H ₂ O]	1	22,9898	36 154
Ni	1	58,71	76 781
P (sous forme de MgNH ₄ PO ₄)	1	30,9738	49 099
PO ₄ ³⁻ (sous forme de MgNH ₄ PO ₄)	1	94,9714	97 759
Pb	1	207,19	31 637
Pd [après l'addition de K ₂ Ni(CN) ₄]	1	106,4	02 694

* M est la masse moléculaire.

Tableau 14 (suite)

Substance à doser	$\frac{E}{M^*}$	Poids équivalent E	lg E
Pt [après l'addition de $K_2Ni(CN)_4$]	1	195,09	29 024
S (sous forme de $BaSO_4$)	1	32,064	50 602
SCN^- (en utilisant $AgSCN$) ..	2	116,16	06 506
SO_4^{2-} (sous forme de $BaSO_4$)	1	96,062	98 255
Sn (II)	1	118,69	07 441
Sr	1	87,62	94 260
Th	1	232,038	36 556
Ti	1	47,90	68 034
Tl	1	204,37	31 042
U	2	476,06	67 766
V (IV)	1	50,942	70 708
W (sous forme de $CaWO_4$) ...	1	183,85	26 446
Zn	1	65,37	81 538
Zr	1	91,22	96 009

* M est la masse moléculaire.

Tableau 15

Réactifs dissimulants dans le titrage par la complexone III

Réactif dissimulant	pH	Indicateur (méthode)	Ions dissimulés	Ions titrés
Acide ascorbique	2,5	Violet de pyrocatechol	Cu^{2+} , Hg^{2+} , Fe^{3+}	Bi^{3+} , Th^{4+}
Acide ascorbique + KCN	10	Noir Eriochrome T	Fe^{3+} et tous les ions dissimulés par KCN	Mn^{2+} , Pb^{2+} , Mg^{2+} , Ca^{2+} , Sr^{2+} , Ba^{2+}
Acide ascorbique + KI ou acide ascorbique + KSCN	5-6	PAN*	Cu^{2+} , Hg^{2+}	Zn^{2+}
Dimercaptopropionol-2,3 (dithiopropanol, dimercaprol, BAL)	10	Noir Eriochrome T	Hg^{2+} , Cd^{2+} , Zn^{2+} , Pb^{2+} , Bi^{3+} , Ag^{+} , As^{3+} , Sb^{3+} , Sn^{4+} , $(\text{Cu}^{2+}$, Co^{2+} , Ni^{2+} , Mn^{2+} et Fe^{3+} seulement en quantités minimes, car leurs complexes avec le réactif dissimulant sont fortement colorés)	Ca^{2+} , Mg^{2+} , Sr^{2+} , Ba^{2+} , $(\text{Mn}^{2+}$ en présence d'hydroxylamine et d'éthanolamine)

Diéthylthiocarbamate	10	Noir Eriochrome T	Hg ²⁺ , Pb ²⁺ , Cu ²⁺ , Pd ²⁺ , Bi ³⁺	Zn ²⁺ , Mn ²⁺ , Co ²⁺ , Ni ²⁺ , Mg ²⁺ , Ca ²⁺ , Sr ²⁺ , Ba ²⁺
Ion iodure	5-6	PAN*	Hg ²⁺ , Cu ²⁺ , Ti ³⁺	Zn ²⁺
Acide formique ou formol	2,5	Violet de pyrocathol	Hg ²⁺	Bi ³⁺ , Th ^{IV}
Ion oxalate	2	Violet de pyrocathol	Sn ²⁺ , (T.R. ³⁺) **	Bi ³⁺
Pentanedione-2,4	7	Titration potentiométrique	Al ³⁺ , UO ₂ ²⁺	La ³⁺ , (T. R. ³⁺) **, Zn ²⁺
Pentanedione-2,4 + ion citrate	7	Titration potentiométrique	Al ³⁺ , Th ^{IV}	Zn ²⁺
Eau oxygénée	10	Noir Eriochrome T	Ti ^{IV} , UO ₂ ²⁺	Zn ²⁺ , Mg ²⁺
Acide sulfosalicylique	4,5	Titration potentiométrique	UO ₂ ²⁺ , Al ³⁺	(T. R. ³⁺) **, Y ³⁺ , Th ^{IV}
Ion tartrate	5-6	PAN*	UO ₂ ²⁺ , Sb ³⁺	Zn ²⁺ , Cd ²⁺ , Co ²⁺ , Ni ²⁺ , Cu ²⁺ , (T. R. ³⁺) **

* PAN ou le (pyridyl-2-azo)-1-naphthol-2.

** T. R. ou les terres rares (lanthanides, Y et Sc).

Tableau 15 (suite)

Réactif dissimulant	pH	Indicateur (méthode)	Ions dissimulés	Ions titrés
Ion tartrate	7	Titrage potentiométrique	Mo^{IV} , Nb^{V} , Sb^{3+} , W^{VI} , UO_2^{2+}	Zn^{2+} , Cd^{2+} , Cu^{2+} , Hg^{2+} , Pb^{2+}
Thiomalate	3	Violet de pyrocatechol	Fe^{3+} , Bi^{3+}	Th^{IV}
Thio-urée	5-6	PAN*	Cu^{2+} , Hg^{2+}	Zn^{2+}
Thiosemicarbazide	5	PAN*	Cu^{2+} , Hg^{2+}	Zn^{2+} , Cd^{2+} , Pb^{2+}
Ion thiosulfate	6	PAN*	Cu^{2+}	Zn^{2+} , Cd^{2+} , Ni^{2+}
Triéthanolamine	10 11-12	Noir Eriochrome T Murexide	Al^{3+} , Fe^{3+} , Sn^{IV} Al^{3+} , Fe^{3+} , (Mn^{II})	Mg^{2+} , Zn^{2+} , Cd^{2+} , [Mn^{2+} en présence d'acide ascorbique, Pb^{2+} et (T.R.^{2+}) **], Ca^{2+} , Ni^{2+}
Unithiol (dimercapto-2,3-propanesulfonate de sodium)	10-11	Noir Eriochrome T	Zn^{2+} , Cd^{2+} , Hg^{2+} , Pb^{2+} , Sn^{2+} , Sn^{IV} , As^{III} , As^{V} , Sb^{III} , Sb^{V} , Bi^{3+} , Ag^+	Ca^{2+} , Mg^{2+} , Sr^{2+} , Ba^{2+}

Ion fluorure	6	PAN *	Be^{2+} , Nb^{V} , Ta^{V} , Ti^{IV}	Cu^{2+} , Zn^{2+}
Ion fluorure	6	Violet de pyrocathol	Al^{3+} , Ti^{IV}	Cu^{2+} , (Fe^{3+} par titrage en retour)
Ion fluorure	10	Noir Eriochrome T	Al^{3+} , Mg^{2+} , Ca^{2+} , Sr^{2+} , Ba^{2+} (T. R. 3+) **	Zn^{2+} , Cd^{2+} , Mn^{2+} , (Ni^{2+} et Co^{2+} par titrage en retour)
Ion cyanure	10	Noir Eriochrome T	Cu^{2+} , Co^{2+} , Hg^{2+} , Ni^{2+} , Zn^{2+} , Cd^{2+} , Pb^{2+} , Pd^{2+} , Ag^{+} , Ti^{3+} . L'addition du formaldéhyde ou du chloral hydraté démasque Cd^{2+} et Zn^{2+}	Ca^{2+} , Mg^{2+} , Sr^{2+} , Ba^{2+} , Pb^{2+} , Mn^{2+} , In^{3+} , (T. R. 3+) **, Ga^{3+}
Ion citrate	5-6	PAN *	UO_2^{2+} , Th^{IV} , Zr^{IV} , Sn^{2+}	Zn^{2+}
Ion citrate	7	Titration potentiométrique	UO_2^{2+} , Th^{IV} , Zr^{IV} , Sb^{3+} , Ti^{IV} , Nb^{V} , Ta^{V} , No^{VI} , W^{VI} , Be^{2+} , Fe^{3+} , Cr^{3+}	Cd^{2+} , Cu^{2+} , Hg^{2+} , Pb^{2+} , Zn^{2+} , Y^{3+}

* PAN ou le (pyridyl-2-azo)-1-naphthol-2.
 ** T. R. ou les terres rares (lanthanides, Y et Sc).

Tableau 16

Calcul des résultats des dosages gazométriques *

Si l'analyse de telle ou telle substance consiste à obtenir un gaz dont on cherche à mesurer le volume, il faudra ramener ce volume aux conditions normales de température (0 °C) et de pression (760 mm Hg) afin d'effectuer les calculs ultérieurs.

Trois cas y sont possibles.

1. Le gaz sec est recueilli au-dessus du mercure

On trouve le volume de gaz rapporté aux conditions normales (V_0) d'après la formule approchée, mais suffisamment précise :

$$V_0 = V \frac{P_0}{(1 + \alpha t) 760} = VF$$

où V est le volume de gaz mesuré ;

t , la température du gaz ;

α , 0,003670 ;

P_0 , l'indication du baromètre ramenée à 0 °C.

On a :

$$F = \frac{P_0}{(1 + \alpha t) 760}$$

La valeur de P_0 est trouvée à partir de la formule

$$P_0 = \left(P_t - \frac{1}{8} t' \right) \text{ mm Hg}$$

où P_t est l'indication du baromètre observée ;

t' , la température du mercure dans le baromètre (on mesure la température de l'air au voisinage immédiat du baromètre).

On a :

$$\lg V_0 = \lg V + \lg F$$

Les valeurs de $\lg F$ pour les diverses valeurs de t et F_0 sont indiquées pp. 164-180.

2. Le gaz est recueilli au-dessus de l'eau

Dans ce cas il importe non seulement d'apporter dans l'indication du baromètre observée la correction de température du mercure, mais aussi de soustraire la pression (tension) de vapeur d'eau à la température t :

$$P_0 = P_t - \frac{1}{8} t' - P_e$$

* Sur le mode d'utilisation du Tableau 16 voir p. 559.

Tableau 16 (suite)

La quantité P_e est la pression de vapeur d'eau à la température correspondante du gaz recueilli au-dessus de l'eau (voir p. 181).

3. Le gaz est recueilli au-dessus d'une solution de KOH ou d'une solution saturée de NaCl

En ce cas il faut soustraire de la valeur de P_t celle de la pression de vapeur d'eau au-dessus d'une solution aqueuse absorbante :

$$P_0 = P_t - \frac{1}{8} t' - P_e$$

Les valeurs de P_e pour les solutions aqueuses sont données p. 181.

Si le gaz recueilli est le constituant dont le pourcentage dans une substance analysée est à déterminer, il faudra, pour trouver la masse de ce gaz, multiplier le volume mesuré V_0 par ρ , la densité de ce gaz ramenée aux conditions normales ; alors le pourcentage de constituant cherché (x) sera égal à

$$x = \frac{V_0 \cdot \rho \cdot 100}{g}$$

où g est la prise d'essai de substance à analyser.

Les valeurs correspondantes de la masse de 1 l de gaz en grammes ou de 1 ml en milligrammes et leurs logarithmes sont donnés pp. 182-184.

Si, d'après la masse de gaz recueilli, on cherche à calculer le pourcentage de constituant d'une substance à analyser dégageant ce gaz, il faudra multiplier la masse trouvée par la valeur de f' . Les valeurs de f' , qui représentent le produit du facteur de conversion par la densité du gaz, sont données pp. 184-185.

Le facteur de conversion est défini en tenant compte de la réaction engendrant du gaz à mesurer. Ainsi, en dosant Al d'après la quantité de H_2 dégagé, on trouve que 1 atome Al correspond à 3 atomes H :

$$f' = \frac{Al}{(3H) \cdot (\rho_H)} + \frac{Al_{OH}}{3H} = \frac{26,982 \cdot 0,08988}{3 \cdot 1,0080} = 0,8020$$

où Al est la masse atomique de Al ;

H, la masse atomique de H ;

ρ_H , la densité de H_2 indiquée pp. 182-184.

Ainsi, le pourcentage de constituant cherché (x) est déterminé à partir de la formule

$$x = \frac{V_0 f' \cdot 100}{g} \quad \text{ou} \quad x = \frac{VF f' \cdot 100}{g}$$

Tableau 16 (suite)

Température (°C)	Indication du baromètre P_0 (mm Hg)							Parties proportionnelles
	667	668	669	670	671	672	673	
Logarithme du facteur F								
5	93 541	93 606	93 671	93 736	93 801	93 866	93 931	65
6	93 385	93 450	93 515	93 580	93 645	93 710	93 775	
7	93 229	93 294	93 359	93 425	93 490	93 554	93 619	
8	93 074	93 139	93 205	93 270	93 339	93 399	93 464	
9	92 920	92 985	93 050	93 115	93 180	93 244	93 309	
10	92 766	92 831	92 896	92 961	93 026	93 090	93 155	1
11	92 612	92 677	92 742	92 807	92 872	92 937	93 002	2
12	92 459	92 524	92 589	92 654	92 719	92 784	92 849	3
13	92 307	92 372	92 437	92 502	92 567	92 631	92 696	4
14	92 155	92 220	92 285	92 350	92 415	92 479	92 544	5
15	92 004	92 069	92 134	92 199	92 264	92 328	92 393	6
16	91 854	91 918	91 983	92 048	92 113	92 177	92 242	7
17	91 703	91 768	91 833	91 898	91 963	92 027	92 092	8
18	91 553	91 618	91 683	91 748	91 813	91 877	91 942	9
19	91 404	91 469	91 533	91 599	91 664	91 728	91 793	10
20	91 255	91 320	91 385	91 450	91 515	91 579	91 644	11
21	91 107	91 172	91 237	91 302	91 367	91 431	91 496	12
22	90 959	91 024	91 089	91 154	91 219	91 283	91 348	13
23	90 812	90 877	90 942	91 007	91 072	91 136	91 201	14
24	90 665	90 730	90 795	90 860	90 925	90 989	91 054	15
25	90 519	90 584	90 649	90 714	90 779	90 843	90 908	16
26	90 373	90 438	90 503	90 568	90 633	90 697	90 762	17
27	90 228	90 293	90 358	90 423	90 488	90 552	90 617	18
28	90 083	90 148	90 213	90 278	90 343	90 407	90 472	19
29	89 939	90 004	90 069	90 134	90 199	90 263	90 328	20
30	89 796	89 861	89 926	89 990	90 055	90 120	90 185	21
31	89 653	89 718	89 783	89 847	89 912	89 977	90 042	22
32	89 510	89 575	89 640	89 704	89 769	89 834	89 899	23
33	89 368	89 433	89 498	89 562	89 627	89 692	89 757	24
34	89 226	89 291	89 356	89 420	89 485	89 550	89 615	25

Tableau 16 (suite)

Température (°C)	Indication du baromètre P_0 (mm Hg)							Parties proportionnelles
	674	675	676	677	678	679	680	
Logarithme du facteur F								
5	93 995	94 060	94 124	94 188	94 252	94 316	94 380	64
6	93 839	93 904	93 968	94 032	94 096	94 160	94 224	
7	93 683	93 748	93 812	93 876	93 940	94 004	94 068	
8	93 528	93 593	93 657	93 721	93 785	93 849	93 913	
9	93 373	93 438	93 502	93 566	93 630	93 694	93 758	
10	93 219	93 284	93 348	93 412	93 476	93 540	93 604	154
11	93 066	93 131	93 195	93 259	93 323	93 387	93 451	
12	92 913	92 978	93 042	93 106	93 170	93 234	93 298	
13	92 761	92 826	92 889	92 954	93 018	93 082	93 145	
14	92 609	92 674	92 737	92 802	92 866	92 930	92 993	
15	92 458	92 522	92 586	92 651	92 715	92 779	92 842	15,4
16	92 307	92 371	92 435	92 500	92 564	92 628	92 691	
17	92 156	92 221	92 285	92 349	92 413	92 478	92 541	
18	92 006	92 071	92 135	92 199	92 263	92 327	92 391	
19	91 857	91 922	91 986	92 050	92 114	92 178	92 242	
20	91 708	91 773	91 837	91 901	91 965	92 029	92 093	148
21	91 560	91 625	91 689	91 753	91 817	91 881	91 945	
22	91 412	91 477	91 541	91 605	91 669	91 733	91 797	
23	91 265	91 330	91 394	91 458	91 522	91 586	91 650	
24	91 118	91 183	91 247	91 311	91 375	91 439	91 503	
25	90 972	91 037	91 101	91 165	91 229	91 293	91 357	142
26	90 826	90 891	90 955	91 019	91 083	91 147	91 211	
27	90 681	90 746	90 810	90 874	90 938	91 002	91 066	
28	90 536	90 601	90 665	90 729	90 793	90 857	90 911	
29	90 392	90 457	90 521	90 585	90 649	90 713	90 777	
30	90 249	90 313	90 378	90 442	90 506	90 570	90 634	14,2
31	90 106	90 170	90 235	90 299	90 363	90 427	90 491	
32	89 963	90 027	90 092	90 156	90 220	90 284	90 348	
33	89 821	89 885	89 950	90 014	90 078	90 142	90 206	
34	89 679	89 743	89 808	89 872	89 936	90 000	90 064	

Tableau 16 (suite)

Température (°C)	Indication du baromètre P_0 (mm Hg)							Parties proportionnelles
	688	689	690	691	692	693	694	
Logarithme du facteur F								
5	94 888	94 951	95 014	95 077	95 139	95 202	95 265	63
6	94 732	94 795	94 858	94 921	94 983	95 046	95 109	
7	94 576	94 639	94 702	94 765	94 828	94 891	94 953	
8	94 421	94 484	94 547	94 610	94 673	94 736	94 798	
9	94 266	94 329	94 392	94 455	94 518	94 581	94 643	
10	94 112	94 175	94 238	94 301	94 364	94 427	94 489	154
11	93 959	94 022	94 085	94 148	94 210	94 273	94 336	
12	93 806	93 869	93 932	93 995	94 057	94 120	94 183	
13	93 653	93 719	93 779	93 842	93 905	93 968	94 030	
14	93 501	93 564	93 627	93 690	93 753	93 816	93 878	
15	93 350	93 413	93 476	93 539	93 602	93 665	93 727	154
16	93 199	93 262	93 325	93 389	93 451	93 514	93 576	
17	93 049	93 112	93 175	93 228	93 301	93 364	93 426	
18	92 899	92 962	93 025	93 088	93 151	93 214	93 276	
19	92 750	92 813	92 876	92 939	93 002	93 065	93 127	
20	92 601	92 664	92 727	92 790	92 853	92 916	92 979	148
21	92 453	92 516	92 579	92 642	92 705	92 768	92 830	
22	92 305	92 368	92 431	92 494	92 557	92 620	92 682	
23	92 158	92 221	92 284	92 347	92 410	92 473	92 535	
24	92 011	92 074	92 137	92 200	92 263	92 326	92 388	
25	91 865	91 928	91 991	92 054	92 117	92 180	92 242	142
26	91 719	91 782	91 845	91 908	91 971	92 034	92 096	
27	91 574	91 637	91 700	91 763	91 826	91 889	91 951	
28	91 429	91 492	91 555	91 618	91 681	91 744	91 806	
29	91 285	91 348	91 411	91 474	91 537	91 600	91 662	
30	91 142	91 205	91 268	91 331	91 394	91 456	91 519	142
31	90 999	91 061	91 125	91 188	91 251	91 313	91 376	
32	90 856	90 919	90 982	91 045	91 108	91 170	91 233	
33	90 714	90 777	90 840	90 903	90 966	91 028	91 091	
34	90 572	90 635	90 698	90 761	90 824	90 886	90 949	

Tableau 16 (suite)

Température (°C)	Indication du baromètre P_0 (mm Hg)							Parties proportionnelles
	695	696	697	698	699	700	701	
Logarithme du facteur F								
5	95 328	95 390	95 452	95 514	95 577	95 639	95 701	62 6,2 12,4 18,6 24,8 31,0 37,2 43,4 49,6 55,8
6	95 172	95 234	95 296	95 358	95 421	95 483	95 545	
7	95 015	95 078	95 140	95 203	95 265	95 327	95 389	
8	94 861	94 923	94 986	95 048	95 110	95 172	95 234	
9	94 706	94 768	94 831	94 893	94 955	95 017	95 079	
10	94 552	94 614	94 677	94 739	94 801	94 863	94 925	151 15,1 30,2 45,3 60,4 75,5 90,6 105,4 120,8 135,9
11	94 399	94 461	94 524	94 585	94 648	94 710	94 772	
12	94 246	94 308	94 370	94 432	94 495	94 557	94 619	
13	94 093	94 155	94 218	94 280	94 342	94 404	94 466	
14	93 941	94 003	94 066	94 128	94 190	94 252	94 314	
15	93 790	93 852	93 915	93 977	94 039	94 101	94 163	145 14,5 29,0 43,5 58,0 72,5 87,0 101,0 116,0 130,5
16	93 639	93 701	93 764	93 826	93 888	93 950	94 012	
17	93 489	93 551	93 614	93 676	93 738	93 800	93 862	
18	93 339	93 401	93 464	93 526	93 588	93 650	93 712	
19	93 190	93 252	93 315	93 377	93 439	93 501	93 563	
20	93 041	93 103	93 166	93 228	93 290	93 352	93 414	
21	92 893	92 955	93 018	93 080	93 142	93 204	93 266	
22	92 745	92 807	92 870	92 932	92 994	93 056	93 118	
23	92 598	92 660	92 723	92 785	92 847	92 909	92 975	
24	92 451	92 513	92 576	92 638	92 700	92 762	92 824	
25	92 305	92 367	92 430	92 492	92 554	92 616	92 678	
26	92 159	92 221	92 284	92 346	92 408	92 470	92 532	
27	92 014	92 076	92 139	92 201	92 263	92 325	92 387	
28	91 869	91 931	91 994	92 056	92 118	92 180	92 242	
29	91 725	91 787	91 850	91 912	91 974	92 036	92 098	
30	91 581	91 644	91 706	91 769	91 831	91 893	91 955	
31	91 438	91 501	91 563	91 626	91 688	91 750	91 812	
32	91 295	91 358	91 420	91 483	91 545	91 607	91 669	
33	91 153	91 216	91 278	91 341	91 403	91 465	91 527	
34	91 011	91 074	91 136	91 199	91 261	91 323	91 385	

Tableau 16 (suite)

Température (°C)	Indication du baromètre P_0 (mm Hg)							Parties proportionnelles
	702	703	704	705	706	707	708	
Logarithme du facteur F								
5	95 763	95 825	95 886	95 948	96 009	96 071	96 132	
6	95 606	95 668	95 730	95 792	95 859	95 915	95 976	62
7	95 451	95 513	95 574	95 636	95 698	95 759	95 820	1 6,2
8	95 296	95 358	95 419	95 481	95 543	95 604	95 665	2 12,4
9	95 141	95 203	95 265	95 327	95 388	95 450	95 511	3 18,6
								4 24,8
								5 31,0
								6 37,2
								7 43,4
10	94 987	95 049	95 111	95 173	95 234	95 296	95 357	8 49,6
11	94 834	94 896	94 957	95 019	95 080	95 142	95 203	9 55,8
12	94 681	94 743	94 804	94 866	94 927	94 989	95 050	
13	94 528	94 590	94 652	94 718	94 775	94 837	94 898	
14	94 376	94 438	94 500	94 562	94 623	94 685	94 746	154
								1 15,4
								2 30,8
								3 46,2
								4 61,6
								5 77,0
								6 92,4
								7 107,8
								8 123,2
								9 138,6
15	94 225	94 287	94 349	94 411	94 472	94 534	94 595	
16	94 074	94 136	94 198	94 260	94 321	94 383	94 444	148
17	93 924	93 986	94 048	94 110	94 171	94 233	94 294	1 14,8
18	93 774	93 836	93 898	93 960	94 021	94 083	94 144	2 29,6
19	93 625	93 687	93 749	93 811	93 872	93 934	93 995	3 44,4
								4 59,2
								5 74,0
								6 88,8
								7 103,6
								8 118,4
								9 133,2
20	93 476	93 538	93 600	93 662	93 723	93 785	93 846	
21	93 328	93 390	93 452	93 514	93 575	93 637	93 698	1 14,8
22	93 180	93 242	93 304	93 366	93 427	93 489	93 550	2 29,6
23	93 033	93 095	93 157	93 219	93 280	93 342	93 403	3 44,4
24	92 886	92 948	93 010	93 072	93 133	93 195	93 256	4 59,2
								5 74,0
								6 88,8
								7 103,6
								8 118,4
								9 133,2
25	92 740	92 802	92 864	92 926	92 987	93 049	93 110	
26	92 594	92 656	92 718	92 780	92 841	92 903	92 964	142
27	92 449	92 511	92 573	92 635	92 696	92 759	92 819	1 14,2
28	92 304	92 366	92 428	92 490	92 551	92 613	92 674	2 28,4
29	92 160	92 222	92 284	92 346	92 407	92 469	92 530	3 42,6
								4 56,8
								5 71,0
								6 85,2
								7 99,4
								8 113,6
								9 127,8
30	92 017	92 079	92 140	92 202	92 263	92 325	92 386	
31	91 874	91 936	91 997	92 059	92 120	92 182	92 243	
32	91 731	91 793	91 854	91 916	91 977	92 039	92 100	
33	91 589	91 651	91 712	91 774	91 835	91 897	91 958	
34	91 447	91 509	91 570	91 632	91 693	91 755	91 816	

Tableau 16 (suite)

Température (°C)	Indication du baromètre P_0 (mm Hg)							Parties proportionnelles
	709	710	711	712	713	714	715	
Logarithme du facteur F								
5	96 194	96 255	96 316	96 377	96 438	96 499	96 560	61 1 2 3 4 5 6 7 8 9
6	96 038	96 099	96 160	96 221	96 282	96 343	96 404	
7	95 882	95 943	96 004	96 065	96 126	96 187	96 248	
8	95 727	95 788	95 849	95 910	95 971	96 032	96 093	
9	95 572	95 633	95 694	95 755	95 816	95 877	95 938	
10	95 418	95 479	95 540	95 601	95 662	95 723	95 784	151 1 2 3 4 5 6 7 8 9
11	95 265	95 326	95 387	95 448	95 509	95 570	95 631	
12	95 112	95 173	95 234	95 295	95 356	95 417	95 478	
13	94 959	95 020	95 082	95 143	95 204	95 264	95 325	
14	94 807	94 868	94 930	94 991	95 052	95 112	95 173	
15	94 656	94 717	94 778	94 839	94 900	94 961	95 022	151 1 2 3 4 5 6 7 8 9
16	94 505	94 566	94 627	94 688	94 749	94 810	94 871	
17	94 355	94 416	94 478	94 538	94 599	94 660	94 721	
18	94 205	94 266	94 327	94 388	94 449	94 510	94 571	
19	94 056	94 117	94 178	94 239	94 300	94 361	94 422	
20	93 907	93 968	94 029	94 090	94 151	94 212	94 273	145 1 2 3 4 5 6 7 8 9
21	93 759	93 820	93 881	93 942	94 003	94 064	94 125	
22	93 611	93 672	93 734	93 795	93 856	93 916	93 977	
23	93 464	93 525	93 586	93 648	93 709	93 769	93 830	
24	93 317	93 378	93 440	93 501	93 562	93 622	93 683	
25	93 171	93 232	93 294	93 355	93 416	93 476	93 537	145 1 2 3 4 5 6 7 8 9
26	93 025	93 086	93 148	93 209	93 270	93 330	93 391	
27	92 880	92 941	93 003	93 064	93 125	93 185	93 246	
28	92 735	92 796	92 858	92 919	92 980	93 040	93 101	
29	92 591	92 652	92 713	92 774	92 835	92 896	92 957	
30	92 448	92 509	92 570	92 631	92 692	92 753	92 814	145 1 2 3 4 5 6 7 8 9
31	92 305	92 366	92 427	92 488	92 549	92 610	92 671	
32	92 162	92 223	92 284	92 345	92 406	92 467	92 528	
33	92 020	92 081	92 142	92 203	92 264	92 325	92 386	
34	91 878	91 939	92 000	92 061	92 122	92 183	92 244	

Tableau 16 (suite)

Température (°C)	Indication du baromètre P_0 (mm Hg)							Parties proportionnelles
	716	717	718	719	720	721	722	
Logarithme du facteur F								
5	96 620	96 680	96 741	96 802	96 862	96 922	96 983	61
6	96 464	96 525	96 585	96 646	96 706	96 767	96 827	
7	96 308	96 369	96 429	96 490	96 500	96 611	96 671	
8	96 153	96 214	96 274	96 335	96 395	96 456	96 516	
9	95 999	96 060	96 120	96 181	96 241	96 301	96 361	
10	95 845	95 906	95 966	96 027	96 087	96 147	96 207	9
11	95 691	95 752	95 812	95 873	95 933	95 994	96 054	
12	95 538	95 599	95 659	95 720	95 780	95 841	95 901	
13	95 386	95 447	95 507	95 568	95 628	95 688	95 748	
14	95 234	95 295	95 355	95 416	95 476	95 536	95 596	
15	95 083	95 144	95 204	95 265	95 325	95 385	95 445	154
16	94 932	94 993	95 053	95 114	95 174	95 234	95 294	
17	94 782	94 843	94 903	94 964	95 024	95 084	95 144	
18	94 632	94 693	94 753	94 814	94 874	94 934	94 994	
19	94 483	94 544	94 604	94 665	94 725	94 785	94 845	
20	94 334	94 395	94 455	94 516	94 576	94 636	94 696	148
21	94 186	94 247	94 307	94 368	94 428	94 488	94 548	
22	94 038	94 099	94 159	94 220	94 280	94 340	94 400	
23	93 891	93 952	94 012	94 073	94 133	94 193	94 253	
24	93 744	93 805	93 865	93 926	93 986	94 046	94 106	
25	93 598	93 659	93 719	93 780	93 840	93 900	93 960	9
26	93 452	93 513	93 573	93 634	93 694	93 754	93 814	
27	93 307	93 368	93 428	93 489	93 549	93 609	93 669	
28	93 162	93 223	93 288	93 344	93 404	93 464	93 524	
29	93 018	93 079	93 139	93 199	93 259	93 320	93 380	
30	92 874	92 935	92 995	93 056	93 116	93 177	93 237	142
31	92 731	92 792	92 852	92 913	92 973	93 034	93 094	
32	92 588	92 649	92 709	92 770	92 830	92 891	92 951	
33	92 446	92 507	92 567	92 628	92 688	92 749	92 809	
34	92 304	92 365	92 425	92 486	92 546	92 607	92 667	

Tableau 16 (suite)

Température (°C)	Indication du baromètre P_0 (mm Hg)							Parties proportionnelles
	723	724	725	726	727	728	729	
Logarithme du facteur F								
5	97 043	97 103	97 163	97 223	97 283	97 342	97 402	60
6	96 887	96 947	97 007	97 067	97 127	97 186	97 246	
7	96 731	96 791	96 851	96 911	96 971	97 030	97 090	
8	96 576	96 636	96 696	96 756	96 816	96 875	96 935	
9	96 421	96 481	96 541	96 601	96 661	96 721	96 781	
10	96 267	96 327	96 387	96 447	96 507	96 567	96 637	1
11	96 114	96 174	96 234	96 294	96 354	96 413	96 473	2
12	95 961	96 021	96 081	96 141	96 201	96 260	96 320	3
13	95 808	95 868	95 928	95 988	96 048	96 108	96 168	4
14	95 656	95 716	95 776	95 836	95 896	95 956	96 016	5
15	95 505	95 565	95 625	95 685	95 745	95 805	95 865	151
16	95 354	95 414	95 474	95 534	95 594	95 654	95 714	
17	95 204	95 264	95 324	95 384	95 444	95 514	95 564	
18	95 054	95 114	95 174	95 234	95 294	95 354	95 414	
19	94 905	94 965	95 025	95 085	95 145	95 205	95 265	
20	94 756	94 816	94 876	94 936	94 996	95 056	95 116	1
21	94 608	94 668	94 728	94 788	94 848	94 908	94 968	2
22	94 460	94 520	94 580	94 640	94 700	94 760	94 820	3
23	94 313	94 373	94 433	94 493	94 553	94 613	94 673	4
24	94 166	94 226	94 286	94 346	94 406	94 466	94 526	5
25	94 020	94 080	94 140	94 200	94 260	94 320	94 380	145
26	93 874	93 934	93 994	94 054	94 114	94 174	94 234	
27	93 729	93 789	93 849	93 909	93 969	94 029	94 089	
28	93 584	93 644	93 704	93 764	93 824	93 885	93 944	
29	93 440	93 500	93 569	93 620	93 680	93 740	93 800	
30	93 297	93 357	93 417	93 477	93 536	93 596	93 656	1
31	93 154	93 214	93 274	93 334	93 393	93 453	93 513	2
32	93 011	93 071	93 131	93 191	93 250	93 310	93 370	3
33	92 869	92 929	92 989	93 049	93 108	93 168	93 228	4
34	92 727	92 787	92 847	92 907	92 966	93 026	93 086	5

Tableau 16 (suite)

Température (°C)	Indication du baromètre P_0 (mm Hg)							Parties proportionnelles
	730	731	732	733	734	735	736	
Logarithme du facteur F								
5	97 461	97 521	97 580	97 640	97 699	97 758	97 817	59
6	97 305	97 365	97 424	97 484	97 543	97 602	97 661	
7	97 149	97 209	97 268	97 328	97 387	97 446	97 505	
8	96 994	97 054	97 113	97 173	97 232	97 291	97 350	
9	96 840	96 899	96 958	97 018	97 077	97 136	97 195	
10	96 686	96 745	96 804	96 864	96 923	96 982	97 041	154
11	96 532	96 592	96 651	96 711	96 770	96 829	96 888	
12	96 379	96 439	96 498	96 558	96 617	96 676	96 735	
13	96 227	96 287	96 346	96 406	96 465	96 524	96 583	
14	96 075	96 135	96 194	96 253	96 312	96 371	96 430	
15	95 924	95 984	96 043	96 102	96 161	96 220	96 279	154
16	95 773	95 833	95 892	95 951	96 010	96 069	96 128	
17	95 623	95 683	95 742	95 801	95 860	95 919	95 978	
18	95 473	95 533	95 592	95 651	95 710	95 769	95 828	
19	95 324	95 384	95 443	95 502	95 561	95 620	95 679	
20	95 175	95 235	95 294	95 353	95 412	95 471	95 530	148
21	95 027	95 086	95 145	95 205	95 264	95 323	95 382	
22	94 879	94 939	94 998	95 057	95 116	95 175	95 234	
23	94 732	94 791	94 850	94 910	94 969	95 028	95 087	
24	94 585	94 645	94 704	94 763	94 822	94 881	94 940	
25	94 439	94 498	94 557	94 617	94 676	94 735	94 794	142
26	94 293	94 353	94 412	94 471	94 530	94 589	94 648	
27	94 148	94 208	94 267	94 326	94 385	94 444	94 503	
28	94 003	94 063	94 122	94 181	94 240	94 299	94 358	
29	93 859	93 918	93 977	94 037	94 096	94 155	94 214	
30	93 715	93 775	93 834	93 893	93 953	94 012	94 071	142
31	93 572	93 632	93 691	93 750	93 810	93 869	93 928	
32	93 429	93 489	93 548	93 607	93 667	93 726	93 785	
33	93 287	93 347	93 406	93 465	93 525	93 584	93 643	
34	93 145	93 205	93 264	93 323	93 383	93 442	93 501	

Tableau 16 (suite)

Température (°C)	Indication du baromètre P_0 (mm Hg)							Parties proportionnelles
	737	738	739	740	741	742	743	
Logarithme du facteur F								
5	97 876	97 935	97 994	98 052	98 111	98 170	98 222	59
6	97 720	97 779	97 838	97 896	97 955	98 013	98 078	
7	97 564	97 623	97 682	97 740	97 799	97 857	97 916	
8	97 409	97 468	97 527	97 585	97 644	97 702	97 761	
9	97 254	97 313	97 372	97 431	97 490	97 548	97 607	
10	97 100	97 159	97 218	97 277	97 336	97 394	97 453	1
11	96 947	97 006	97 065	97 123	97 182	97 240	97 299	2
12	96 794	96 853	96 912	96 970	97 029	97 087	97 146	3
13	96 642	96 701	96 760	96 818	96 877	96 935	96 994	4
14	96 489	96 548	96 607	96 666	96 725	96 783	96 842	5
15	96 338	96 397	96 456	96 515	96 574	96 632	96 691	6
16	96 187	96 246	96 305	96 364	96 423	96 481	96 540	7
17	96 037	96 096	96 155	96 214	96 273	96 331	96 390	8
18	95 887	95 946	96 005	96 064	96 123	96 181	96 240	9
19	95 738	95 797	95 856	95 915	95 974	96 032	96 091	1
20	95 589	95 648	95 707	95 766	95 825	95 883	95 942	2
21	95 441	95 500	95 559	95 618	95 677	95 735	95 794	3
22	95 293	95 352	95 411	95 470	95 529	95 587	95 646	4
23	95 146	95 205	95 264	95 323	95 382	95 440	95 499	5
24	94 999	95 058	95 117	95 176	95 235	95 293	95 352	6
25	94 753	94 912	94 971	95 030	95 089	95 147	95 206	7
26	94 707	94 766	94 825	94 884	94 943	95 001	95 060	8
27	94 562	94 621	94 680	94 739	94 798	94 856	94 915	9
28	94 417	94 476	94 535	94 594	94 653	94 711	94 770	1
29	94 273	94 332	94 391	94 449	94 508	94 567	94 626	2
30	94 130	94 189	94 247	94 306	94 365	94 423	94 482	3
31	93 987	94 046	94 104	94 163	94 222	94 280	94 339	4
32	93 844	93 903	93 961	94 020	94 079	94 137	94 196	5
33	93 702	93 761	93 819	93 878	93 937	93 995	94 054	6
34	93 560	93 619	93 677	93 736	93 795	93 853	93 912	7

Tableau 16 (suite)

Température (°C)	Indication du baromètre P_0 (mm Hg)							Parties proportionnelles
	744	745	746	747	748	749	750	
Logarithme du facteur F								
5	98 286	98 345	98 403	98 461	98 519	98 577	98 635	58
6	98 130	98 189	98 247	98 305	98 363	98 421	98 479	
7	97 974	98 033	98 091	98 149	98 207	98 265	98 323	
8	97 819	97 878	97 936	97 994	98 052	98 110	98 168	
9	97 665	97 724	97 781	97 839	97 898	97 956	98 013	
10	97 511	97 569	97 627	97 686	97 744	97 802	97 859	59
11	97 357	97 416	97 474	97 532	97 590	97 648	97 706	
12	97 204	97 263	97 321	97 379	97 437	97 495	97 553	
13	97 052	97 110	97 168	97 227	97 285	97 343	97 401	
14	96 900	96 959	97 017	97 075	97 133	97 191	97 249	
15	96 749	96 807	96 865	96 924	96 982	97 040	97 098	154
16	96 598	96 656	96 714	96 773	96 831	96 889	96 947	
17	96 448	96 506	96 564	96 622	96 680	96 738	96 796	
18	96 298	96 356	96 414	96 472	96 530	96 588	96 646	
19	96 149	96 207	96 265	96 323	96 381	96 439	96 497	
20	96 000	96 058	96 116	96 174	96 232	96 290	96 348	148
21	95 852	95 910	95 968	96 026	96 084	96 142	96 200	
22	95 705	95 763	95 821	95 879	95 937	95 995	96 053	
23	95 558	95 616	95 674	95 732	95 790	95 848	95 906	
24	95 411	95 469	95 527	95 585	95 643	95 701	95 759	
25	95 264	95 322	95 380	95 439	95 497	95 555	95 613	142
26	95 118	95 176	95 234	95 293	95 351	95 409	95 467	
27	94 973	95 031	95 089	95 148	95 206	95 264	95 322	
28	94 828	94 886	94 944	95 003	95 061	95 119	95 177	
29	94 684	94 742	94 800	94 858	94 916	94 974	95 032	
30	94 540	94 599	94 657	94 715	94 773	94 831	94 889	127,8
31	94 397	94 456	94 514	94 572	94 630	94 688	94 746	
32	94 254	94 313	94 371	94 429	94 487	94 545	94 603	
33	94 112	94 171	94 229	94 287	94 345	94 403	94 461	
34	93 970	94 029	94 087	94 145	94 203	94 261	94 319	

Tableau 16 (suite)

Température (°C)	Indication du baromètre P_0 (mm Hg)							Parties proportionnelles
	751	752	753	754	755	756	757	
Logarithme du facteur F								
5	98 693	98 751	98 809	98 866	98 924	98 981	99 039	58 5,8 11,6 17,4 23,2 29,0 34,8 40,6 46,4 52,2
6	98 537	98 595	98 653	98 710	98 768	98 825	98 883	
7	98 381	98 439	98 497	98 554	98 612	98 669	98 727	
8	98 226	98 284	98 342	98 399	98 457	98 514	98 572	
9	98 071	98 129	98 187	98 244	98 302	98 360	98 417	
10	97 917	97 975	98 033	98 090	98 148	98 206	98 263	151 15,1 30,2 45,3 60,4 75,5 90,6 105,7 120,8 135,9
11	97 764	97 822	97 880	97 937	97 995	98 052	98 110	
12	97 611	97 669	97 727	97 784	97 842	97 899	97 957	
13	97 459	97 516	97 574	97 632	97 690	97 747	97 805	
14	97 307	97 364	97 422	97 480	97 538	97 595	97 653	
15	97 156	97 213	97 271	97 329	97 387	97 444	97 501	151 15,1 30,2 45,3 60,4 75,5 90,6 105,7 120,8 135,9
16	97 005	97 062	97 120	97 178	97 236	97 293	97 350	
17	96 854	96 912	96 970	97 028	97 086	97 143	97 200	
18	96 704	96 762	96 820	96 878	96 936	96 993	97 050	
19	96 555	96 613	96 671	96 729	96 787	96 844	96 901	
20	96 406	96 464	96 522	96 580	96 638	96 695	96 752	145 14,5 29,0 43,5 58,0 72,5 87,0 101,5 116,0 130,5
21	96 258	96 316	96 374	96 432	96 490	96 547	96 604	
22	96 111	96 168	96 226	96 284	96 342	96 399	96 456	
23	95 964	96 021	96 079	96 137	96 195	96 252	96 309	
24	95 817	95 874	95 932	95 990	96 048	96 105	96 162	
25	95 671	95 728	95 786	95 844	95 902	95 959	96 016	145 14,5 29,0 43,5 58,0 72,5 87,0 101,5 116,0 130,5
26	95 525	95 582	95 640	95 698	95 756	95 813	95 870	
27	95 380	95 437	95 495	95 553	95 611	95 668	95 725	
28	95 235	95 292	95 350	95 408	95 466	95 523	95 580	
29	95 090	95 148	95 206	95 263	95 321	95 378	95 436	
30	94 947	95 005	95 062	95 120	95 178	95 235	95 293	145 14,5 29,0 43,5 58,0 72,5 87,0 101,5 116,0 130,5
31	94 804	94 862	94 919	94 977	95 035	95 092	95 150	
32	94 661	94 719	94 776	94 834	94 892	94 949	95 007	
33	94 519	94 577	94 634	94 692	94 750	94 807	94 865	
34	94 377	94 435	94 492	94 550	94 608	94 665	94 723	

Tableau 16 (suite)

Température (°C)	Indication du baromètre P_0 (mm Hg)							Parties proportionnelles
	765	766	767	768	769	770	771	
Logarithme du facteur F								
5	99 495	99 552	99 609	99 665	99 722	99 778	99 834	56
6	99 339	99 396	99 453	99 509	99 566	99 622	99 678	
7	99 183	99 240	99 297	99 353	99 410	99 466	99 523	
8	99 028	99 085	99 142	99 198	99 255	99 311	99 368	
9	98 874	98 930	98 987	99 043	99 100	99 156	99 213	
10	98 720	98 776	98 833	98 889	98 946	99 002	99 059	1
11	98 566	98 623	98 680	98 736	98 793	98 849	98 906	2
12	98 413	98 470	98 527	98 583	98 640	98 696	98 753	3
13	98 261	98 317	98 374	98 431	98 488	98 544	98 600	4
14	98 109	98 165	98 222	98 279	98 336	98 392	98 448	5
15	97 958	98 014	98 071	98 128	98 185	98 241	98 297	6
16	97 807	97 863	97 920	97 977	98 034	98 090	98 146	7
17	97 657	97 713	97 770	97 827	97 884	97 940	97 996	8
18	97 507	97 563	97 620	97 677	97 734	97 790	97 846	9
19	97 358	97 414	97 471	97 528	97 585	97 641	97 697	10
20	97 209	97 265	97 322	97 379	97 436	97 492	97 548	11
21	97 061	97 117	97 174	97 231	97 287	97 343	97 400	12
22	96 913	97 969	97 026	97 083	97 139	97 195	97 252	13
23	96 766	96 822	96 879	96 936	96 992	97 048	97 105	14
24	96 619	96 675	96 732	96 789	96 845	96 901	96 958	15
25	96 473	96 529	96 586	96 643	96 699	96 755	96 812	16
26	96 327	96 383	96 440	96 497	96 553	96 609	96 666	17
27	96 182	96 238	96 295	96 352	96 408	96 464	96 521	18
28	96 037	96 093	96 150	96 207	96 263	96 319	96 376	19
29	95 893	95 949	96 006	96 062	96 119	96 175	96 232	20
30	95 749	95 806	95 863	95 919	95 976	96 032	96 088	21
31	95 606	95 663	95 720	95 776	95 833	95 889	95 945	22
32	95 463	95 520	95 577	95 633	95 690	95 746	95 802	23
33	95 321	95 378	95 435	95 491	95 548	95 604	95 660	24
34	95 179	95 236	95 293	95 349	95 406	95 462	95 518	25

Tableau 16 (suite)

B. Pression de vapeur d'eau au-dessus de l'eau et des solutions absorbantes

Température (°C)	Eau	Solution de KOH, concentration en g de KOH dans 100 g d'eau				NaCl, solution saturée	Température (°C)
		10	20	30	40		
Pression de vapeur d'eau P_v (mm Hg)							
5	6,5	6,1	5,7	5,2	4,6	4,9	5
6	7,0	6,5	6,1	5,6	4,9	5,3	6
7	7,5	7,0	6,5	6,0	5,3	5,7	7
8	8,0	7,5	7,0	6,4	5,7	6,1	8
9	8,6	8,0	7,5	6,8	6,1	6,5	9
10	9,2	8,6	8,0	7,3	6,5	6,9	10
11	9,8	9,2	8,6	7,8	6,9	7,4	11
12	10,5	9,8	9,2	8,3	7,4	7,9	12
13	11,2	10,5	9,8	8,9	7,9	8,5	13
14	12,0	11,2	10,4	9,5	8,4	9,1	14
15	12,8	11,9	11,1	10,1	9,0	9,7	15
16	13,6	12,7	11,8	10,8	9,6	10,3	16
17	14,5	13,6	12,6	11,5	10,2	11,0	17
18	15,5	14,5	13,4	12,3	10,9	11,7	18
19	16,5	15,4	14,3	13,1	11,6	12,4	19
20	17,5	16,4	15,2	13,9	12,4	13,2	20
21	18,7	17,4	16,2	14,8	13,2	14,1	21
22	19,8	18,5	17,2	15,8	14,0	15,0	22
23	21,1	19,7	18,3	16,8	14,9	15,9	23
24	22,4	20,9	19,5	17,8	15,8	16,9	24
25	23,8	22,2	20,7	18,9	16,8	17,9	25
26	25,2	23,6	22,0	20,1	17,9	19,0	26
27	26,7	25,1	23,3	21,3	19,0	20,2	27
28	28,3	26,6	24,7	22,6	20,2	21,4	28
29	30,0	28,1	26,2	23,9	21,4	22,7	29
30	31,8	29,7	27,7	25,3	22,4	24,0	30
31	33,7	31,4	29,3	26,8	23,7	25,3	31
32	35,7	33,3	31,0	28,4	25,2	26,8	32
33	37,7	35,2	32,8	30,0	26,7	28,4	33
34	39,9	37,2	34,7	31,7	28,2	30,0	34

Tableau 16 (suite)

C. Densités des gaz et des vapeurs (ρ)

(La masse de 1 l de gaz ou de vapeur en grammes ou de 1 ml en milligrammes ramenée aux conditions normales)

Formule	Nom du corps gazeux	(g/l ou mg/ml)	lg ρ
Ar	Argon	1,7837	25 132
AsF ₅	Fluorure d'arsenic (V)	7,71	88 705
AsH ₃	Arséniure d'hydrogène	3,740	57 287
BF ₃	Fluorure de bore	3,21	50 650
CF ₂ Cl ₂	Dichlorodifluorométhane (fréon-12)	5,510	74 115
CH ₄	Méthane	0,7168	85 540
C ₂ H ₂	Acétylène (éthyne)	1,173	06 930
C ₂ H ₄	Ethylène (éthène)	1,2604	10 051
C ₂ H ₆	Ethane	1,3566	13 245
C ₃ H ₆	Propylène (propène)	1,937	28 713
C ₃ H ₈	Propane	2,0096	30 311
C ₄ H ₁₀	Butane	2,5190	40 123
C ₄ H ₁₀	Isobutane (méthylpropane)	2,6726	42 693
C ₅ H ₁₂	Pentane	3,457	53 870
C ₇ H ₁₆	Heptane	4,459	64 924
C ₈ H ₁₈	Octane	5,030	70 157
CH ₃ Cl	Chlorure de méthyle	2,3073	36 310
CH ₃ F	Fluorure de méthyle	1,5452	18 898
CHCl ₃	Chloroforme	5,283	72 288
CH ₃ NH ₂	Méthylamine	1,396	14 489
(CH ₃) ₂ NH	Diméthylamine	2,089	31 994
(CH ₃) ₃ N	Triméthylamine	2,619	41 814
C ₂ H ₅ NH ₂	Ethylamine	2,0141	30 408
CH ₃ OH	Méthanol (alcool méthylique)	1,426	15 412
C ₂ H ₅ OH	Ethanol (alcool éthylique)	2,043	31 027
C ₄ H ₉ OH	Butanol (alcool butylique)	3,244	51 108
(CN) ₂	Cyanogène (dicyanogène)	2,335	36 829
(CH ₃) ₂ O	Ether diméthylique	2,1098	32 424
CO	Oxyde de carbone	1,2504	09 705
CO ₂	Dioxyde de carbone	1,9769	29 598
COCl ₂	Oxychlorure de carbone (phosgène)	3,89	58 995
COS	Oxysulfure de carbone	2,721	43 473

Tableau 16 (suite)

Formule	Nom du corps gazeux	(g/l ou mg/ml)	lg e
Cl ₂	Chlore	3,214	50 705
ClO ₂	Dioxyde de chlore	3,21	50 651
F ₂	Fluor	1,696	22 943
GeH ₄	Germaniure d'hydrogène	3,42	53 403
Ge ₂ H ₆	Digermaniure d'hydrogène	7,23	85 914
H ₂	Hydrogène	0,08988	95 366
HBr	Bromure d'hydrogène	3,6445	56 164
HCOH	Formaldéhyde	1,34	12 716
HCl	Chlorure d'hydrogène	1,6392	21 463
HF	Fluorure d'hydrogène	0,8940	95 134
HI	Iodure d'hydrogène	5,7891	76 261
H ₂ O	Vapeur d'eau	0,768	88 536
H ₂ S	Sulfure d'hydrogène	1,539	18 724
H ₂ Se	Sélénure d'hydrogène	3,670	56 467
H ₂ Te	Tellure d'hydrogène	5,81	76 418
He	Hélium	0,17847	25 157
Kr	Krypton	3,708	56 914
N ₂	Azote	1,25055	09 710
—	Air (valeur moyenne)	1,2929	11 156
NH ₃	Ammoniac	0,7710	88 705
N ₂ O	Oxyde nitreux	1,9778	29 618
NO	Oxyde nitrique	1,3402	12 717
NO ₂	Dioxyde d'azote	2,055	31 281
NOCl	Chlorure de nitrosyle	2,9919	47 595
NOF	Fluorure de nitrosyle	2,231	34 850
Ne	Néon	0,90035	95 441
O ₂	Oxygène	1,42895	15 502
O ₃	Ozone	2,144	33 122
OF ₂	Fluorure d'oxygène	2,421	38 399
PH ₃	Phosphure d'hydrogène	1,5294	18 452
PF ₅	Pentafluorure de phosphore	5,805	76 380
PF ₃	Trifluorure de phosphore	3,907	59 184
POF ₃	Oxyfluorure de phosphore	4,8	68 124
Rn	Radon	9,73	98 811
SF ₆	Fluorure de soufre	6,98	84 386
SO ₂	Dioxyde de soufre	2,9269	46 641
SO ₂ F ₂	Fluorure de sulfuryle	3,99	60 097

Tableau 16 (suite)

Formule	Nom du corps gazeux	ρ (g/l ou mg/ml)	lg ρ
SbH ₃	Antimoniure d'hydrogène	5,59	74 741
SiF ₄	Tétrafluorosilane	4,684	67 062
SiH ₄	Silane (monosilane, silicométhane)	1,44	15 836
Si ₂ H ₆	Disilane (silico-éthane)	2,85	45 484
SiH ₃ (CH ₃) ₂	Diméthylsilane	2,73	43 616
SiH ₃ CH ₃	Méthylsilane	2,08	31 806
SiH ₃ Cl	Chlorosilane	3,03	48 144
SiH ₂ ClCH ₃	Méthylchlorosilane	3,64	56 110
SiHCl ₂ CH ₃	Méthylchlorosilane	5,3	72 428
SiHF ₃	Trifluorosilane	3,86	58 659
WF ₆	Fluorure de tungstène	12,9	11 059
Xe	Xénon	5,851	76 723

D. Dosage gazométrique (volumétrique) des substances formant des gaz

Substance à chercher		Gaz mesuré	1 ml de gaz mesuré aux conditions normales correspond à f' mg de substance à chercher	lg f'
Formule	Nom			
Al	Aluminium	H ₂	0,8019	90 416
C	Carbone	CO ₂	0,53954	73 202
CO ₃ ²⁻	Ion carbonate	CO ₂	2,6956	43 066
CO(NH ₂) ₂	Urée	N ₂	2,6809	42 828
CaC ₂	Carbure de calcium	C ₂ H ₂	2,8877	46 055
CaCO ₃	Carbonate de calcium	CO ₂	4,4960	65 283
CaF ₂	Fluorure de calcium	SiF ₄	7,0278	84 682
F	Fluor	SiF ₄	3,4200	53 403
Fe	Fer	H ₂	2,4899	39 618
HNO ₃	Acide nitrique	NO	2,8144	44 939

Tableau 16 (suite)

Substance à chercher		Gaz mesuré	1 ml de gaz mesuré aux conditions normales correspond à f' mg de substance à chercher	$\lg f'$
Formule	Nom			
H ₂ O ₂	Eau oxygénée (traitement avec KMnO ₄)	O ₂	1,5191	18 158
H ₂ O ₂	Eau oxygénée (décomposition catalytique)	O ₂	3,0382	48 261
KMnO ₄	Permanganate de potassium (traitement avec H ₂ O)	O ₂	2,8231	45 073
KNO ₃	Nitrate de potassium	NO	4,5159	65 474
Mg	Magnésium	H ₂	1,0839	03 500
MgCO ₃	Carbonate de magnésium	CO ₂	3,7877	57 838
N	Azote	NO	0,62560	79 630
NH ₄ NO ₃	Nitrate d'ammonium	NO	3,5751	55 329
NO ₃ ⁻	Ion nitrate	NO	2,7694	44 239
N ₂ O ₃	Anhydride nitreux	NO	1,6975	22 981
N ₂ O ₅	Anhydride nitrique	NO	2,4121	38 239
NaNO ₃	Nitrate de sodium	NO	3,7962	57 935
Ni	Nickel	H ₂	2,6175	41 789
Na ₂ O ₂	Peroxyde de sodium	O ₂	6,965	84 291
Zn	Zinc	H ₂	2,9145	46 456

Tableau 17

Relations entre différents modes d'expression des concentrations

(d , la densité de la solution (g/ml) ; M_m , la masse moléculaire du soluté ;

Concentration	A	B
En p.cent (g/100 g de solution, % massiques) $A =$	A	$\frac{100B}{100 + B}$
En grammes de soluté par 100 g de solvant $B =$	$\frac{100A}{100 - A}$	B
En grammes par 1 l de solution (g/l) $C =$	$10Ad$	$\frac{1000Bd}{100 + B}$
Normalité $N =$	$\frac{10Ad}{E}$	$\frac{1000Bd}{(100 + B)E}$
Molarité $M =$	$\frac{10Ad}{M_m}$	$\frac{1000Bd}{(100 + B)M_m}$
Molalité $L =$	$\frac{1000A}{(100 - A)M_m}$	$\frac{10B}{M_m}$

E, le poids équivalent du soluté)

<i>C</i>	<i>N</i>	<i>M</i>	<i>L</i>
$\frac{C}{10d}$	$\frac{NE}{10d}$	$\frac{MM_m}{10}$	$\frac{100LM_m}{1000+LM_m}$
$\frac{100C}{1000d-C}$	$\frac{100NE}{1000d-NE}$	$\frac{100MM_m}{1000d-MM_m}$	$\frac{LM_m}{10}$
<i>C</i>	<i>NE</i>	<i>MM_m</i>	$\frac{1000LM_md}{1000+LM_m}$
$\frac{C}{E}$	<i>N</i>	$\frac{MM_m}{E}$	$\frac{1000LM_m}{(1000+LM_m)E}$
$\frac{C}{M_m}$	$\frac{NE}{M_m}$	<i>M</i>	$\frac{1000Ld}{1000+M_mL}$
$\frac{1000C}{(1000d-C)M_m}$	$\frac{1000NE}{(1000d-NE)M_m}$	$\frac{1000M}{1000d-MM_m}$	<i>L</i>

Tableau 18

Densités et concentrations des solutions

A. Densités et concentrations des solutions d'acide nitrique *

Densité à 20 °C (g/cm ³)	Concentration de HNO ₃		Densité à 20 °C (g/cm ³)	Concentration de HNO ₃	
	g/100 g de solution (% massiques)	mol/l		g/100 g de solution (% massiques)	mol/l
1,000	0,3333	0,05231	1,130	22,38	4,012
1,005	1,255	0,2001	1,135	23,16	4,171
1,010	2,164	0,3468	1,140	23,94	4,330
1,015	3,073	0,4950	1,145	24,71	4,489
1,020	3,982	0,6445	1,150	25,48	4,649
1,025	4,883	0,7943	1,155	26,24	4,810
1,030	5,784	0,9454	1,160	27,00	4,970
1,035	6,661	1,094	1,165	27,76	5,132
1,040	7,530	1,243	1,170	28,51	5,293
1,045	8,398	1,393	1,175	29,25	5,455
1,050	9,259	1,543	1,180	30,00	5,618
1,055	10,12	1,694	1,185	30,74	5,780
1,060	10,97	1,845	1,190	31,47	5,943
1,065	11,81	1,997	1,195	32,21	6,107
1,070	12,65	2,148	1,200	32,94	6,273
1,075	13,48	2,301	1,205	33,68	6,440
1,080	14,31	2,453	1,210	34,41	6,607
1,085	15,13	2,605	1,215	35,16	6,778
1,090	15,95	2,759	1,220	35,93	6,956
1,095	16,76	2,913	1,225	36,70	7,135
1,100	17,58	3,068	1,230	37,48	7,315
1,105	18,39	3,224	1,235	38,25	7,497
1,110	19,19	3,381	1,240	39,02	7,679
1,115	20,00	3,539	1,245	39,80	7,863
1,120	20,79	3,696	1,250	40,58	8,049
1,125	21,59	3,854	1,255	41,36	8,237

* Sur le mode d'utilisation du Tableau 18 voir pp. 562-564.

Tableau 18 (suite)

Densité à 20 °C (g/cm ³)	Concentration de HNO ₃		Densité à 20 °C (g/cm ³)	Concentration de HNO ₃	
	g/100 g de solution (% massiques)	mol/l		g/100 g de solution (% massiques)	mol/l
1,260	42,14	8,426	1,415	70,39	15,81
1,265	42,92	8,616	1,420	71,63	16,14
1,270	43,70	8,808	1,425	72,86	16,47
1,275	44,48	9,001	1,430	74,09	16,81
1,280	45,27	9,195	1,435	75,35	17,16
1,285	46,06	9,394	1,440	76,71	17,53
1,290	46,85	9,590	1,445	78,07	17,90
1,295	47,63	9,789	1,450	79,43	18,28
1,300	48,42	9,990	1,455	80,88	18,68
1,305	49,21	10,19	1,460	82,39	19,09
1,310	50,00	10,39	1,465	83,91	19,51
1,315	50,85	10,61	1,470	85,50	19,95
1,320	51,71	10,83	1,475	87,29	20,43
1,325	52,56	11,05	1,480	89,07	20,92
1,330	53,41	11,27	1,485	91,13	21,48
1,335	54,27	11,49	1,490	93,49	22,11
1,340	55,13	11,72	1,495	95,46	22,65
1,345	56,04	11,96	1,500	96,73	23,02
1,350	56,95	12,20	1,501	96,98	23,10
1,355	57,87	12,44	1,502	97,23	23,18
1,360	58,78	12,68	1,503	97,49	23,25
1,365	59,69	12,93	1,504	97,74	23,33
1,370	60,67	13,19	1,505	97,99	23,40
1,375	61,69	13,46	1,506	98,25	23,48
1,380	62,70	13,73	1,507	98,50	23,56
1,385	63,72	14,01	1,508	98,76	23,63
1,390	64,74	14,29	1,509	99,01	23,71
1,395	65,84	14,57	1,510	99,26	23,79
1,400	66,97	14,88	1,511	99,52	23,86
1,405	68,10	15,18	1,512	99,77	23,94
1,410	69,23	15,49	1,513	100,00	24,01

Tableau 18 (suite)

B. Densités et concentrations des solutions d'acide sulfurique *

Densité à 20 °C (g/cm³)	Concentration de H ₂ SO ₄		Densité à 20 °C (g/cm³)	Concentration de H ₂ SO ₄	
	g/100 g de solution (% massiques)	mol/l		g/100 g de solution (% massiques)	mol/l
1,000	0,2609	0,02660	1,145	20,73	2,420
1,005	0,9855	0,1010	1,150	21,38	2,507
1,010	1,731	0,1783	1,155	22,03	2,594
1,015	2,485	0,2595	1,160	22,67	2,681
1,020	3,242	0,3372	1,165	23,31	2,768
1,025	4,000	0,4180	1,170	23,95	2,857
1,030	4,746	0,4983	1,175	24,58	2,945
1,035	5,493	0,5796	1,180	25,21	3,033
1,040	6,237	0,6613	1,185	25,84	3,122
1,045	6,956	0,7411	1,190	26,47	3,211
1,050	7,704	0,8250	1,195	27,10	3,302
1,055	8,415	0,9054	1,200	27,72	3,391
1,060	9,129	0,9865	1,205	28,33	3,481
1,065	9,843	1,066	1,210	28,95	3,572
1,070	10,56	1,152	1,215	29,57	3,663
1,075	11,26	1,235	1,220	30,18	3,754
1,080	11,96	1,317	1,225	30,79	3,846
1,085	12,66	1,401	1,230	31,40	3,938
1,090	13,36	1,484	1,235	32,01	4,031
1,095	14,04	1,567	1,240	32,61	4,123
1,100	14,73	1,652	1,245	33,22	4,216
1,105	15,41	1,735	1,250	33,82	4,310
1,110	16,08	1,820	1,255	34,42	4,404
1,115	16,76	1,905	1,260	35,01	4,498
1,120	17,43	1,990	1,265	35,60	4,592
1,125	18,09	2,075	1,270	36,19	4,686
1,130	18,76	2,161	1,275	36,78	4,781
1,135	19,42	2,247	1,280	37,36	4,876
1,140	20,08	2,334	1,285	37,95	4,972

* Sur le mode d'utilisation du Tableau 18 voir pp. 562-564.

Tableau 18 (suite)

Densité à 20 °C (g/cm³)	Concentration de H ₂ SO ₄		Densité à 20 °C (g/cm³)	Concentration de H ₂ SO ₄	
	g/100 g de solution (% massiques)	mol/l		g/100 g de solution (% massiques)	mol/l
1,290	38,53	5,068	1,460	56,41	8,397
1,295	39,10	5,163	1,465	56,89	8,497
1,300	39,68	5,259	1,470	57,36	8,598
1,305	40,25	5,356	1,475	57,84	8,699
1,310	40,82	5,452	1,480	58,31	8,799
1,315	41,39	5,549	1,485	58,78	8,899
1,320	41,95	5,646	1,490	59,24	9,000
1,325	42,51	5,743	1,495	59,70	9,100
1,330	43,07	5,840	1,500	60,17	9,202
1,335	43,62	5,938	1,505	60,62	9,303
1,340	44,17	6,035	1,510	61,08	9,404
1,345	44,72	6,132	1,515	61,54	9,506
1,350	45,26	6,229	1,520	62,00	9,608
1,355	45,80	6,327	1,525	62,45	9,711
1,360	46,33	6,424	1,530	62,91	9,813
1,365	46,86	6,522	1,535	63,36	9,916
1,370	47,39	6,620	1,540	63,81	10,02
1,375	47,92	6,718	1,545	64,26	10,12
1,380	48,45	6,817	1,550	64,71	10,23
1,385	48,97	6,915	1,555	65,15	10,33
1,390	49,48	7,012	1,560	65,59	10,43
1,395	49,99	7,110	1,565	66,03	10,54
1,400	50,50	7,208	1,570	66,47	10,64
1,405	51,01	7,307	1,575	66,91	10,74
1,410	51,52	7,406	1,580	67,35	10,85
1,415	52,02	7,505	1,585	67,79	10,96
1,420	52,51	7,603	1,590	68,23	11,06
1,425	53,01	7,702	1,595	68,66	11,16
1,430	53,50	7,801	1,600	69,09	11,27
1,435	54,00	7,901	1,605	69,53	11,38
1,440	54,49	8,000	1,610	69,96	11,48
1,445	54,97	8,099	1,615	70,39	11,59
1,450	55,45	8,198	1,620	70,82	11,70
1,455	55,93	8,297	1,625	71,25	11,80

Tableau 18 (suite)

Densité à 20 °C (g/cm ³)	Concentration de H ₂ SO ₄		Densité à 20 °C (g/cm ³)	Concentration de H ₂ SO ₄	
	g/100 g de solution (% massiques)	mol/l		g/100 g de solution (% massiques)	mol/l
1,630	71,67	11,91	1,765	83,57	15,04
1,635	72,09	12,02	1,770	84,08	15,17
1,640	72,52	12,13	1,775	84,61	15,31
1,645	72,95	12,24	1,780	85,16	15,46
1,650	73,37	12,34	1,785	85,74	15,61
1,655	73,80	12,45	1,790	86,35	15,76
1,660	74,22	12,56	1,795	86,99	15,92
1,665	74,64	12,67	1,800	87,69	16,09
1,670	75,07	12,78	1,805	88,43	16,27
1,675	75,49	12,89	1,810	89,23	16,47
1,680	75,92	13,00	1,815	90,12	16,68
1,685	76,34	13,12	1,820	91,11	16,91
1,690	76,77	13,23	1,821	91,33	16,96
1,695	77,20	13,34	1,822	91,56	17,01
1,700	77,63	13,46	1,823	91,78	17,06
1,705	78,06	13,57	1,824	92,00	17,11
1,710	78,49	13,69	1,825	92,25	17,17
1,715	78,93	13,80	1,826	92,51	17,22
1,720	79,37	13,92	1,827	92,77	17,28
1,725	79,81	14,04	1,828	93,03	17,34
1,730	80,25	14,16	1,829	93,33	17,40
1,735	80,70	14,28	1,830	93,64	17,47
1,740	81,16	14,40	1,831	93,94	17,54
1,745	81,62	14,52	1,832	94,32	17,62
1,750	82,09	14,65	1,833	94,72	17,70
1,755	82,57	14,78	1,834	95,12	17,79
1,760	83,06	14,90	1,835	95,72	17,91

Tableau 18 (suite)

C. Densités et concentrations des solutions d'acide chlorhydrique *

Densité à 20 °C (g/cm ³)	Concentration de HCl		Densité à 20 °C (g/cm ³)	Concentration de HCl	
	g/100 g de solution (% massiques)	mol/l		g/100 g de solution (% massiques)	mol/l
1,000	0,3600	0,09872	1,105	21,36	6,472
1,005	1,360	0,3748	1,110	22,33	6,796
1,010	2,364	0,6547	1,115	23,29	7,122
1,015	3,374	0,9391	1,120	24,25	7,449
1,020	4,388	1,227	1,125	25,22	7,782
1,025	5,408	1,520	1,130	26,20	8,118
1,030	6,433	1,817	1,135	27,18	8,459
1,035	7,464	2,118	1,140	28,18	8,809
1,040	8,490	2,421	1,145	29,17	9,159
1,045	9,510	2,725	1,150	30,14	9,505
1,050	10,52	3,029	1,155	31,14	9,863
1,055	11,52	3,333	1,160	32,14	10,22 ₅
1,060	12,51	3,638	1,165	33,16	10,59 ₅
1,065	13,50	3,944	1,170	34,18	10,97
1,070	14,49 ₅	4,253	1,175	35,20	11,34
1,075	15,48 ₅	4,565	1,180	36,23	11,73
1,080	16,47	4,878	1,185	37,27	12,11
1,085	17,45	5,192	1,190	38,32	12,50
1,090	18,43	5,509 ₅	1,195	39,37	12,90
1,095	19,41	5,829	1,198	40,00	13,14
1,100	20,39	6,150			

* Sur le mode d'utilisation du Tableau 18 voir pp. 562-564.

Concentrations de l'acide chlorhydrique au point d'ébullition constant

Pression
atmosphérique
lors de la
distillation
(mm Hg)

780 770 760 750 740 730

Tableau 18 (suite)

Concentration de
l'acidechlorhydrique
ramenée au vide(g HCl/100 g
de solution)Masse de distillat
(pesée en air)

renfermant

exactement 1 mole

de HCl (g)

20,173 20,197 20,221 20,245 20,269 20,293

180,621 180,407 180,193 179,979 179,766 179,551

D. Densités et concentrations des solutions d'acide phosphorique *

Densité à 20 °C (g/cm³)	Concentration de H ₃ PO ₄		Densité à 20 °C (g/cm³)	Concentration de H ₃ PO ₄	
	g/100 g de solution (% massiques)	mol/l		g/100 g de solution (% massiques)	mol/l
1,000	0,296	0,030	1,100	17,87	2,005
1,005	1,222	0,1253	1,105	18,68	2,105
1,010	2,148	0,2214	1,110	19,46	2,204
1,015	3,074	0,3184	1,115	20,25	2,304
1,020	4,000	0,4164	1,120	21,03	2,403
1,025	4,926	0,5152	1,125	21,80	2,502
1,030	5,836	0,6134	1,130	22,56	2,602
1,035	6,745	0,7124	1,135	23,32	2,702
1,040	7,643	0,8110	1,140	24,07	2,800
1,045	8,536	0,911	1,145	24,82	2,900
1,050	9,429	1,010	1,150	25,57	3,000
1,055	10,32	1,111	1,155	26,31	3,101
1,060	11,19	1,210	1,160	27,05	3,203
1,065	12,06	1,311	1,165	27,78	3,304
1,070	12,92	1,411	1,170	28,51	3,404
1,075	13,76	1,510	1,175	29,23	3,505
1,080	14,60	1,609	1,180	29,94	3,606
1,085	15,43	1,708	1,185	30,65	3,707
1,090	16,26	1,807	1,190	31,35	3,806
1,095	17,07	1,906	1,195	32,05	3,908

* Sur le mode d'utilisation du Tableau 18 voir pp. 562-564.

Tableau 18 (suite)

Densité à 20 °C (g/cm³)	Concentration de H ₃ PO ₄		Densité à 20 °C (g/cm³)	Concentration de H ₃ PO ₄	
	g/100 g de solution (% massiques)	mol/l		g/100 g de solution (% massiques)	mol/l
1,200	32,75	4,010	1,370	54,14	7,570
1,205	33,44	4,112	1,375	54,71	7,678
1,210	34,13	4,215	1,380	55,28	7,784
1,215	34,82	4,317	1,385	55,85	7,894
1,220	35,50	4,420	1,390	56,42	8,004
1,225	36,17	4,522	1,395	56,98	8,112
1,230	36,84	4,624	1,400	57,54	8,221
1,235	37,51	4,727	1,405	58,09	8,328
1,240	38,17	4,829	1,410	58,64	8,437
1,245	38,83	4,932	1,415	59,19	8,547
1,250	39,49	5,036	1,420	59,74	8,658
1,255	40,14	5,140	1,425	60,29	8,766
1,260	40,79	5,245	1,430	60,84	8,878
1,265	41,44	5,350	1,435	61,38	8,989
1,270	42,09	5,454	1,440	61,92	9,099
1,275	42,73	5,559	1,445	62,45	9,208
1,280	43,37	5,655	1,450	62,98	9,322
1,285	44,00	5,771	1,455	63,51	9,432
1,290	44,63	5,875	1,460	64,03	9,541
1,295	45,26	5,981	1,465	64,55	9,651
1,300	45,88	6,087	1,470	65,07	9,761
1,305	46,49	6,191	1,475	65,58	9,870
1,310	47,10	6,296	1,480	66,09	9,982
1,315	47,70	6,400	1,485	66,60	10,09
1,320	48,30	6,506	1,490	67,10	10,21
1,325	48,89	6,610	1,495	67,60	10,31
1,330	49,48	6,716	1,500	68,10	10,42
1,335	50,07	6,822	1,505	68,60	10,53
1,340	50,66	6,928	1,510	69,09	10,64
1,345	51,25	7,034	1,515	69,58	10,76
1,350	51,84	7,141	1,520	70,07	10,86
1,355	52,42	7,247	1,525	70,56	10,98
1,360	53,00	7,355	1,530	71,04	11,09
1,365	53,57	7,463	1,535	71,52	11,20

Tableau 18 (suite)

Densité à 20 °C (g/cm ³)	Concentration de H ₃ PO ₄		Densité à 20 °C (g/cm ³)	Concentration de H ₃ PO ₄	
	g/100 g de solution (% massiques)	mol/l		g/100 g de solution (% massiques)	mol/l
1,540	72,00	11,32	1,710	87,22	15,22
1,545	72,48	11,42	1,715	87,64	15,33
1,550	72,95	11,53	1,720	88,06	15,45
1,555	73,42	11,65	1,725	88,48	15,57
1,560	73,89	11,76	1,730	88,90	15,70
1,565	74,36	11,88	1,735	89,31	15,81
1,570	74,83	11,99	1,740	89,72	15,93
1,575	75,30	12,11	1,745	90,13	16,04
1,580	75,76	12,22	1,750	90,54	16,16
1,585	76,22	12,33	1,755	90,95	16,29
1,590	76,68	12,45	1,760	91,36	16,41
1,595	77,14	12,56	1,765	91,77	16,53
1,600	77,60	12,67	1,770	92,17	16,65
1,605	78,05	12,78	1,775	92,57	16,77
1,610	78,50	12,90	1,780	92,97	16,89
1,615	78,95	13,01	1,785	93,37	17,00
1,620	79,40	13,12	1,790	93,77	17,13
1,625	79,85	13,24	1,795	94,17	17,25
1,630	80,30	13,36	1,800	94,57	17,37
1,635	80,75	13,48	1,805	94,97	17,50
1,640	81,20	13,59	1,810	95,37	17,62
1,645	81,64	13,71	1,815	95,76	17,74
1,650	82,08	13,82	1,820	96,15	17,85
1,655	82,52	13,94	1,825	96,54	17,98
1,660	82,96	14,06	1,830	96,93	18,10
1,665	83,39	14,17	1,835	97,32	18,23
1,670	83,82	14,29	1,840	97,71	18,34
1,675	84,25	14,40	1,845	98,10	18,47
1,680	84,68	14,52	1,850	98,48	18,60
1,685	85,11	14,63	1,855	98,86	18,72
1,690	85,54	14,75	1,860	99,24	18,84
1,695	85,96	14,87	1,865	99,62	18,96
1,700	86,38	14,98	1,870	100,00	19,08
1,705	86,80	15,10			

Tableau 18 (suite)

E. Densités et concentrations des solutions d'acide perchlorique *

Densité à 20 °C (g/cm ³)	Concentration de HClO ₄		Densité à 20 °C (g/cm ³)	Concentration de HClO ₄	
	g/100 g de solution (% massiques)	mol/l		g/100 g de solution (% massiques)	mol/l
1,005	1,00	0,1004	1,150	22,99	2,632
1,010	1,90	0,1910	1,155	23,65	2,719
1,015	2,77	0,2799	1,160	24,30	2,806
1,020	3,61	0,3665	1,165	24,94	2,892
1,025	4,43	0,4520	1,170	25,57	2,978
1,030	5,25	0,5383	1,175	26,20	3,064
1,035	6,07	0,6253	1,180	26,82	3,150
1,040	6,88	0,7122	1,185	27,44	3,237
1,045	7,68	0,7989	1,190	28,05	3,323
1,050	8,48	0,8863	1,195	28,66	3,409
1,055	9,28	0,9745	1,200	29,26	3,495
1,060	10,06	1,061	1,205	29,86	3,582
1,065	10,83	1,148	1,210	30,45	3,667
1,070	11,58	1,233	1,215	31,04	3,754
1,075	12,33	1,319	1,220	31,61	3,839
1,080	13,08	1,406	1,225	32,18	3,924
1,085	13,83	1,494	1,230	32,74	4,008
1,090	14,56	1,580	1,235	33,29	4,092
1,095	15,28	1,665	1,240	33,85	4,178
1,100	16,00	1,752	1,245	34,40	4,263
1,105	16,72	1,839	1,250	34,95	4,349
1,110	17,45	1,928	1,255	35,49	4,433
1,115	18,16	2,015	1,260	36,03	4,519
1,120	18,88	2,105	1,265	36,56	4,604
1,125	19,57	2,191	1,270	37,08	4,687
1,130	20,26	2,279	1,275	37,60	4,772
1,135	20,95	2,367	1,280	38,10	4,854
1,140	21,64	2,456	1,285	38,60	4,937
1,145	22,32	2,544	1,290	39,10	5,021

* Sur le mode d'utilisation du Tableau 18 voir pp. 562-564.

Tableau 18 (suite)

Densité à 20 °C (g/cm ³)	Concentration de HClO ₄		Densité à 20 °C (g/cm ³)	Concentration de HClO ₄	
	g/100 g de solution (% massiques)	mol/l		g/100 g de solution (% massiques)	mol/l
1,295	39,60	5,105	1,465	54,41	7,934
1,300	40,10	5,189	1,470	54,79	8,017
1,305	40,59	5,273	1,475	55,17	8,100
1,310	41,08	5,357	1,480	55,55	8,183
1,315	41,56	5,440	1,485	55,93	8,267
1,320	42,02	5,521	1,490	56,31	8,352
1,325	42,49	5,604	1,495	56,69	8,436
1,330	42,97	5,689	1,500	57,06	8,519
1,335	43,43	5,771	1,505	57,44	8,605
1,340	43,89	5,854	1,510	57,81	8,689
1,345	44,35	5,937	1,515	58,17	8,772
1,350	44,81	6,021	1,520	58,54	8,857
1,355	45,26	6,104	1,525	58,91	8,942
1,360	45,71	6,188	1,530	59,28	9,028
1,365	46,16	6,272	1,535	59,66	9,116
1,370	46,61	6,356	1,540	60,04	9,203
1,375	47,05	6,439	1,545	60,41	9,290
1,380	47,49	6,523	1,550	60,78	9,377
1,385	47,93	6,608	1,555	61,15	9,465
1,390	48,37	6,692	1,560	61,52	9,553
1,395	48,80	6,776	1,565	61,89	9,641
1,400	49,23	6,860	1,570	62,26	9,730
1,405	49,68	6,948	1,575	62,63	9,819
1,410	50,10	7,032	1,580	63,00	9,908
1,415	50,51	7,114	1,585	63,37	9,998
1,420	50,90	7,196	1,590	63,74	10,09
1,425	51,31	7,278	1,595	64,12	10,18
1,430	51,71	7,360	1,600	64,50	10,27
1,435	52,11	7,443	1,605	64,88	10,37
1,440	52,51	7,527	1,610	65,26	10,46
1,445	52,89	7,607	1,615	65,63	10,55
1,450	53,27	7,689	1,620	66,01	10,64
1,455	53,65	7,770	1,625	66,39	10,74
1,460	54,03	7,852	1,630	66,76	10,83

Tableau 18 (suite)

Densité à 20 °C (g/cm³)	Concentration de HClO ₄		Densité à 20 °C (g/cm³)	Concentration de HClO ₄	
	g/100 g de solution (% massiques)	mol/l		g/100 g de solution (% massiques)	mol/l
1,635	67,13	10,93	1,660	69,02	11,40
1,640	67,51	11,02	1,665	69,40	11,50
1,645	67,89	11,12	1,670	69,77	11,60
1,650	68,26	11,21	1,675	70,15	11,70
1,655	68,64	11,31			

F. Densités et concentrations des solutions d'acide acétique*

Densité à 20 °C (g/cm³)	Concentration de CH ₃ COOH		Densité à 20 °C (g/cm³)	Concentration de CH ₃ COOH	
	g/100 g de solution (% massiques)	mol/l		g/100 g de solution (% massiques)	mol/l
1,000	1,20	0,200	1,050	40,2	7,03
1,005	4,64	0,777	1,055	46,9	8,24
1,010	8,14	1,37	1,060	53,4	9,43
1,015	11,7	1,98	1,065	61,4	10,9
1,020	15,4	2,61	1,070	77-79**	13,7-14,1
1,025	19,2	3,27	1,065	91,2	16,2
1,030	23,1	3,96	1,060	95,4	16,8
1,035	27,2	4,68	1,055	98,0	17,2
1,040	31,6	5,46	1,050	99,9	17,5
1,045	36,2	6,30			

* Sur le mode d'utilisation du Tableau 18 voir pp. 562-564.

** La densité de l'acide acétique aux limites indiquées de concentration est de 1,0700 g/cm³, les écarts étant inférieurs à 0,0001. Une augmentation de la concentration au delà de ces limites fait rediminuer la densité, c'est pourquoi pour mettre en évidence celle de deux concentrations possibles qui répond à la densité trouvée (par exemple, pour savoir si pour la densité 1,060 g/cm³ la concentration est égale à 53,4 ou à 95,4 %), il faut ajouter un peu d'eau à une prise d'essai d'acide acétique. Dans le cas où la densité a diminué, il faut employer une concentration plus faible (dans l'exemple cité 53,4 %), si la densité a augmenté, il faut utiliser une concentration plus forte (dans l'exemple cité 95,4 %).

Tableau 18 (suite)

G. Densités et concentrations des solutions de potasse *

Densité à 20 °C (g/cm³)	Concentration de KOH		Densité à 20 °C (g/cm³)	Concentration de KOH	
	g/100 g de solution (% massiques)	mol/l		g/100 g de solution (% massiques)	mol/l
1,000	0,197	0,0351	1,145	15,74	3,21
1,005	0,743	0,133	1,150	16,26	3,33
1,010	1,29 _s	0,233	1,155	16,78	3,45
1,015	1,84	0,333	1,160	17,29	3,58
1,020	2,38	0,433 _s	1,165	17,81	3,70
1,025	2,93	0,536	1,170	18,32	3,82
1,030	3,48	0,639 _s	1,175	18,84	3,94 _s
1,035	4,03	0,744	1,180	19,35	4,07
1,040	4,58	0,848	1,185	19,86	4,19 _s
1,045	5,12	0,954	1,190	20,37	4,32
1,050	5,66	1,06	1,195	20,88	4,45
1,055	6,20	1,17	1,200	21,38	4,57
1,060	6,74	1,27	1,205	21,88	4,70
1,065	7,28	1,38	1,210	22,38	4,83
1,070	7,82	1,49	1,215	22,88	4,95 _s
1,075	8,36	1,60	1,220	23,38	5,08
1,080	8,89	1,71	1,225	23,87	5,21
1,085	9,43	1,82	1,230	24,37	5,34
1,090	9,96	1,94	1,235	24,86	5,47
1,095	10,49	2,05	1,240	25,36	5,60
1,100	11,03	2,16	1,245	25,85	5,74
1,105	11,56	2,28	1,250	26,34	5,87
1,110	12,08	2,39	1,255	26,83	6,00
1,115	12,61	2,51	1,260	27,32	6,13 _s
1,120	13,14	2,62	1,265	27,80	6,27
1,125	13,66	2,74	1,270	28,29	6,40
1,130	14,19	2,86	1,275	28,77	6,54
1,135	14,70 _s	2,97 _s	1,280	29,25	6,67
1,140	15,22	3,09	1,285	29,73	6,81

* Sur le mode d'utilisation du Tableau 18 voir pp. 562-564.

Tableau 18 (suite)

Densité à 20 °C (g/cm³)	Concentration de KOH		Densité à 20 °C (g/cm³)	Concentration de KOH	
	g/100 g de solution (% massiques)	mol/l		g/100 g de solution (% massiques)	mol/l
1,290	30,21	6,95	1,415	41,71	10,52
1,295	30,68	7,08	1,420	42,15 _f	10,67
1,300	31,15	7,22	1,425	42,60	10,82
1,305	31,62	7,36	1,430	43,04	10,97
1,310	32,09	7,49	1,435	43,48	11,12
1,315	32,56	7,63	1,440	43,92	11,28
1,320	33,03	7,77	1,445	44,36	11,42
1,325	33,50	7,91	1,450	44,79	11,58
1,330	33,97	8,05	1,455	45,23	11,73
1,335	34,43	8,19	1,460	45,66	11,88
1,340	34,90	8,33 _s	1,465	46,09 _s	12,04
1,345	35,36	8,48	1,470	46,53	12,19
1,350	35,82	8,62	1,475	46,96	12,35
1,355	36,28	8,76	1,480	47,39	12,50
1,360	36,73 _s	8,90 _s	1,485	47,82	12,66
1,365	37,19	9,05	1,490	48,25	12,82
1,370	37,65	9,19	1,495	48,67 _s	12,97
1,375	38,10 _s	9,34	1,500	49,10	13,13
1,380	38,56	9,48	1,505	49,53	13,29
1,385	39,01	9,63	1,510	49,95	13,45
1,390	39,46	9,78	1,515	50,38	13,60
1,395	39,92	9,93	1,520	50,80	13,76
1,400	40,37	10,07	1,525	51,22	13,92
1,405	40,82	10,22	1,530	51,64	14,08
1,410	41,26	10,37	1,535	52,05	14,24

Tableau 18 (suite)

H. Densités et concentrations des solutions de soude*

Densité à 20 °C (g/cm³)	Concentration de NaOH		Densité à 20 °C (g/cm³)	Concentration de NaOH	
	g/100 g de solution (% massiques)	mol/l		g/100 g de solution (% massiques)	mol/l
1,000	0,159	0,0398	1,145	13,28	3,801
1,005	0,602	0,151	1,150	13,73	3,947
1,010	1,04 ₈	0,264	1,155	14,18	4,095
1,015	1,49	0,378	1,160	14,64	4,244
1,020	1,94	0,494	1,165	15,09	4,395
1,025	2,39	0,611	1,170	15,54	4,545
1,030	2,84	0,731	1,175	15,99	4,697
1,035	3,29	0,851	1,180	16,44	4,850
1,040	3,74 ₈	0,971	1,185	16,89	5,004
1,045	4,20	1,097	1,190	17,34 ₈	5,160
1,050	4,65 ₈	1,222	1,195	17,80	5,317
1,055	5,11	1,347	1,200	18,25 ₈	5,476
1,060	5,56	1,474	1,205	18,71	5,636
1,065	6,02	1,602	1,210	19,16	5,796
1,070	6,47	1,731	1,215	19,62	5,958
1,075	6,93	1,862	1,220	20,07	6,122
1,080	7,38	1,992	1,225	20,53	6,286
1,085	7,83	2,123	1,230	20,98	6,451
1,090	8,28	2,257	1,235	21,44	6,619
1,095	8,74	2,391	1,240	21,90	6,788
1,100	9,19	2,527	1,245	22,36	6,958
1,105	9,64 ₈	2,664	1,250	22,82	7,129
1,110	10,10	2,802	1,255	23,27 ₈	7,302
1,115	10,55 ₈	2,942	1,260	23,73	7,475
1,120	11,01	3,082	1,265	24,19	7,650
1,125	11,46	3,224	1,270	24,64 ₈	7,824
1,130	11,92	3,367	1,275	25,10	8,000
1,135	12,37	3,510	1,280	25,56	8,178
1,140	12,83	3,655	1,285	26,02	8,357

* Sur le mode d'utilisation du Tableau 18 voir pp. 562-564.

Tableau 18 (suite)

Densité à 20 °C (g/cm ³)	Concentration de NaOH		Densité à 20 °C (g/cm ³)	Concentration de NaOH	
	g/100 g de solution (% massiques)	mol/l		g/100 g de solution (% massiques)	mol/l
1,290	26,48	8,539	1,415	38,49	13,61
1,295	26,94	8,722	1,420	38,99	13,84
1,300	27,41	8,906	1,425	39,49 _s	14,07
1,305	27,87	9,092	1,430	40,00	14,30
1,310	28,33	9,278	1,435	40,51 _s	14,53
1,315	28,80	9,466	1,440	41,03	14,77
1,320	29,26	9,656	1,445	41,55	15,01
1,325	29,73	9,847	1,450	42,07	15,25
1,330	30,20	10,04	1,455	42,59	15,49
1,335	30,67	10,23	1,460	43,12	15,74
1,340	31,14	10,43	1,465	43,64	15,98
1,345	31,62	10,63	1,470	44,17	16,23
1,350	32,10	10,83	1,475	44,69 _s	16,48
1,355	32,58	11,03	1,480	45,22	16,73
1,360	33,06	11,24	1,485	45,75	16,98
1,365	33,54	11,45	1,490	46,27	17,23
1,370	34,03	11,65	1,495	46,80	17,49
1,375	34,52	11,86	1,500	47,33	17,75
1,380	35,01	12,08	1,505	47,85	18,00
1,385	35,50 _s	12,29	1,510	48,38	18,26
1,390	36,00	12,51	1,515	48,90 _s	18,52
1,395	36,49 _s	12,73	1,520	49,44	18,78
1,400	36,99	12,95	1,525	49,97	19,05
1,405	37,49	13,17	1,530	50,50	19,31
1,410	37,99	13,39			

Tableau 18 (suite)

I. Densités et concentrations des solutions d'ammoniac *

Densité à 20 °C (g/cm ³)	Concentration de NH ₃		Densité à 20 °C (g/cm ³)	Concentration de NH ₃	
	g/100 g de solution (% massiques)	mol/l		g/100 g de solution (% massiques)	mol/l
0,998	0,0465	0,0273	0,938	15,47	8,52
0,996	0,512	0,299	0,936	16,06	8,83
0,994	0,977	0,570	0,934	16,65	9,13
0,992	1,43	0,834	0,932	17,24	9,44
0,990	1,89	1,10	0,930	17,85	9,75
0,988	2,35	1,36 _s	0,928	18,45	10,06
0,986	2,82	1,63 _s	0,926	19,06	10,37
0,984	3,30	1,91	0,924	19,67	10,67
0,982	3,78	2,18	0,922	20,27	10,97
0,980	4,27	2,46	0,920	20,88	11,28
0,978	4,76	2,73	0,918	21,50	11,59
0,976	5,25	3,01	0,916	22,12 _s	11,90
0,974	5,75	3,29	0,914	22,75	12,21
0,972	6,25	3,57	0,912	23,39	12,52
0,970	6,75	3,84	0,910	24,03	12,84
0,968	7,26	4,12	0,908	24,68	13,16
0,966	7,77	4,41	0,906	25,33	13,48
0,964	8,29	4,69	0,904	26,00	13,80
0,962	8,82	4,98	0,902	26,67	14,12
0,960	9,34	5,27	0,900	27,33	14,44
0,958	9,87	5,55	0,898	28,00	14,76
0,956	10,40 _s	5,84	0,896	28,67	15,08
0,954	10,95	6,13	0,894	29,33	15,40
0,952	11,49	6,42	0,892	30,00	15,71
0,950	12,03	6,71	0,890	30,68 _s	16,04
0,948	12,58	7,00	0,888	31,37	16,36
0,946	13,14	7,29	0,886	32,09	16,69
0,944	13,71	7,60	0,884	32,84	17,05
0,942	14,29	7,91	0,882	33,59 _s	17,40
0,940	14,88	8,21	0,880	34,35	17,75

* Sur le mode d'utilisation du Tableau 18 voir pp. 562-564.

Tableau 18 (suite)

J. Densités et concentrations des solutions de carbonate de sodium *

Densité à 20 °C (g/cm ³)	Concentration de Na ₂ CO ₃		Densité à 20 °C (g/cm ³)	Concentration de Na ₂ CO ₃	
	g/100 g de solution (% massiques)	mol/l		g/100 g de solution (% massiques)	mol/l
1,000	0,19	0,018	1,100	9,75	1,012
1,005	0,67	0,063 ₈	1,105	10,22	1,065
1,010	1,14	0,109	1,110	10,68	1,118
1,015	1,62	0,155	1,115	11,14	1,172
1,020	2,10	0,202	1,120	11,60	1,226
1,025	2,57	0,248	1,125	12,05	1,279
1,030	3,05	0,296	1,130	12,52	1,335
1,035	3,54	0,346	1,135	13,00	1,392
1,040	4,03	0,395	1,140	13,45	1,446
1,045	4,50	0,444	1,145	13,90	1,501
1,050	4,98	0,493	1,150	14,35	1,557
1,055	5,47	0,544	1,155	14,75	1,607
1,060	5,95	0,595	1,160	15,20	1,663
1,065	6,43	0,646	1,165	15,60	1,714
1,070	6,90	0,696	1,170	16,03	1,769
1,075	7,38	0,748	1,175	16,45	1,823
1,080	7,85	0,800	1,180	16,87	1,878
1,085	8,33	0,853	1,185	17,30	1,934
1,090	8,80	0,905	1,190	17,70	1,987
1,095	9,27	0,958			

* Sur le mode d'utilisation du *Tableau 18* voir pp. 562-564.

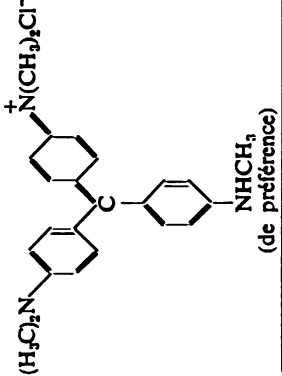
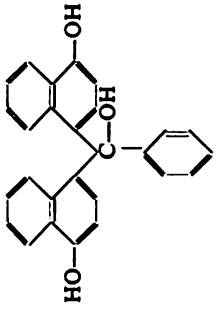
Tableau 18 (suite)

K. Densités et concentrations de certains réactifs commerciaux

Réactif	Densité à 20 °C (g/cm ³)	Concentration	
		% massiques	mol/l
Ammoniac (solution concentrée)	0,901-0,907	25,0-27,0	13,32-14,28
Acide nitrique « fort »	1,372-1,405	60,7-68,0	13,28-15,16
Acide nitrique « faible »	1,337-1,367	54,0-60,0	11,41-13,02
Acide bromhydrique ...	1,486	46,85	8,6
Acide iodhydrique	1,50-1,55	45,3-45,8	5,31-5,55
Acide sulfurique	1,83-1,835	93,56-95,60	17,46-17,88
Acide chlorhydrique ...	1,174-1,185	35,0-38,0	11,27-12,38
Acide acétique glacial chimiquement pur	≤ 1,0503	≥ 99,8	≥ 17,45
Acide acétique pur pour l'analyse et pur	≤ 1,0549	≥ 98	≥ 17,21
Acide phosphorique pur pour l'analyse	≥ 1,719	≥ 88	≥ 15,43
Acide phosphorique pur	≥ 1,713	≥ 87,5	≥ 15,29
Acide fluorhydrique pur pour l'analyse	≥ 1,128	≥ 40	≥ 22,55
Acide fluorhydrique pur	≥ 1,116	≥ 35	≥ 19,52
Acide perchlorique	1,206-1,220	30,0-31,61	3,60-3,84

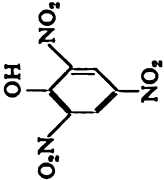
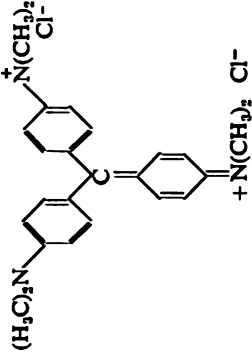
Tableau 19

Indicateurs de pH ou acide-base les plus importants *

n°	Indicateur	Formule	Concentration (%)	Solvant	Domaine de virage du pH et changement de couleur
1	Violet de méthyle, 1 ^{er} virage (voir nos 7 et 15)		0,1 et 0,05	Eau	0,13 à 0,5 Vert → jaune
2	α -naphtholbenzoline, 1 ^{er} virage (voir n° 57)		0,05	Alcool à 70%	0,0 à 1,0 Vert → jaune

* Sur le mode d'utilisation du Tableau 19 voir pp. 564-566.

Tableau 19 (suite)

n°	Indicateur	Formule	Concentration (%)	Solvant	Domaine de virage du pH et changement de couleur
3	Acide picrique (trinitro-2,4,6-phénol)		0,1	Eau	0,0 à 1,3 Incolore → jaune
4	Vert de méthyle		0,05	Eau	0,1 à 2,0 Jaune → vert → bleu

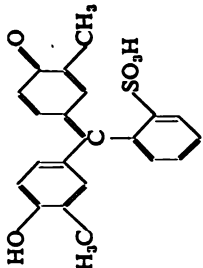
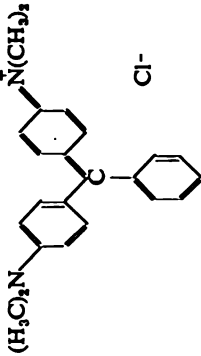
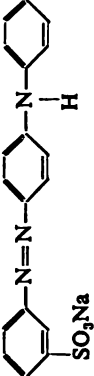

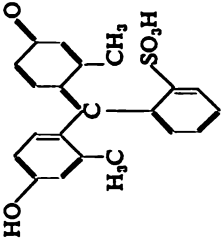
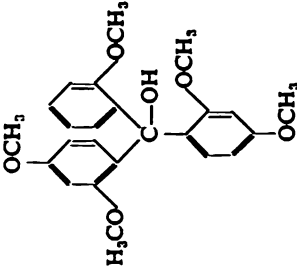
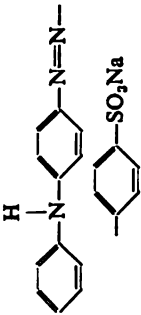
5	Rouge de crésol (o-crésolsulfophtaléine), 1 ^{er} virage		0,04	Alcool à 50%	0,2 à 1,8 Rouge → jaune
6	Vert malachite, 1 ^{er} virage (voir n° 69)		0,1	Eau	0,13 à 2,0 Jaune → vert bleuâtre
7	Violet de méthyle, 2 ^{ème} virage (voir nos 1 et 15)	Voir n° 1	0,1	Eau	1,0 à 1,5 Vert → bleu foncé

Tableau 19 (suite)

n°	Indicateur	Formule	Concentration (%)	Solvant	Domaine de virage du pH et changement de couleur
8	Jaune méthanile (Jaune Victoria)		0,1	Eau	1,2 à 2,3 Rouge → jaune
9	Benzène-azo-diphénylamine		0,01	Alcool à 50 % avec l'addition de 1 ml de HCl 1 N par 100 g de solution	1,1 à 2,8 Pourpre → jaune
10	Pourpre de m-crésol (m-crésolsulphaléine), 1 ^{er} virage (voir n° 50)		0,04	Alcool à 20 %	1,2 à 2,8 Rouge → jaune

11	Bleu de thymol (thymolsulfo- phthaléine), 1 ^{er} virage (voir n° 53)	<p>The structure shows a central carbon atom bonded to a phenyl ring (top), a thymol ring (bottom-left), and a thymol-sulfonate ring (bottom-right). The thymol ring has a hydroxyl group and two methyl groups. The thymol-sulfonate ring has a sulfonate group and two methyl groups.</p>	0,1	<p>a. Alcool à 20 % b. Eau avec l'addition de 4,3 ml de NaOH 0,05 N par 100 mg d'indicateur</p>	1,2 à 2,8 Rouge → jaune λ_{max} 544-430 nm
12	Bleu de xylnol (p-xylnolsulfo- phthaléine), 1 ^{er} virage (voir n° 54)	<p>The structure shows a central carbon atom bonded to a phenyl ring (top), a xylenol ring (bottom-left), and a xylenol-sulfonate ring (bottom-right). The xylenol ring has a hydroxyl group and two methyl groups. The xylenol-sulfonate ring has a sulfonate group and two methyl groups.</p>	0,04 0,05	<p>a. Alcool à 20 % b. Eau avec l'addition de 5,3 ml de NaOH 0,05 N par 100 mg d'indicateur</p>	1,2 à 2,8 Rouge → jaune marron

Tableau 19 (suite)

n°	Indicateur	Formule	Concentration (%)	Solvant	Domaine de virage du pH et changement de couleur
13	Rouge penta-méthoxy		0,1	Alcool à 70 %	1,2 à 3,2 Rouge → violet → incolore
14	Tropéoline 00 (orangé IV, orangé de diphenyle)		1,0 ; 0,1 et 0,01	Eau	1,4 à 3,2 Rouge → jaune
15	Violet de méthyle, 3 ^{ème} virage (voir nos 1 et 7)	Voir n° 1	0,1	Eau	2,0 à 3,0 Bleu → violet

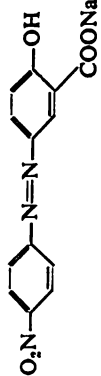
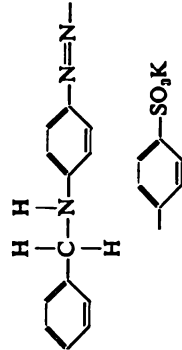
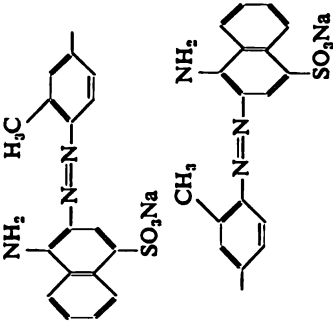
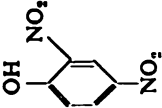
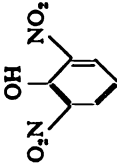
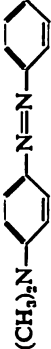
16	Jaune d'alizarine R, 1 ^{er} virage		0,1	Eau	1,9 à 3,3 Rouge → jaune
17	Orangé de benzyle		0,05	Eau	1,9 à 3,3 Rouge → jaune
18	Benzopurpurine 4B, 1 ^{er} virage (voir n° 74)		0,1 0,5	Eau Alcool à 90 %	1,3 à 4,0 Bleu → violet → orangé

Tableau 19 (suite)

n°	Indicateur	Formule	Concentration (%)	Solvant	Domaine de virage du pH et changement de couleur
19	α -Dinitrophénol (dinitro-2,4-phénol)		Saturée et 0,04 0,1	Eau Alcool	2,8 à 4,4 Incolore → jaune
20	β -Dinitrophénol (dinitro-2,6-phénol)		0,1 ; 0,05 et 0,04	Eau	2,4 à 4,0 Incolore → jaune
21	Jaune de méthyle		0,1 et 0,01	Alcool à 90 %	2,9 à 4,0 Rouge → jaune

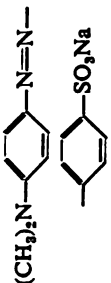
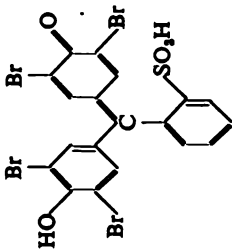
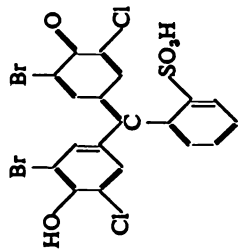
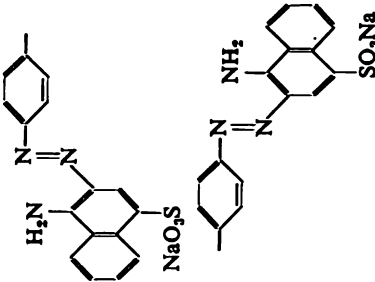
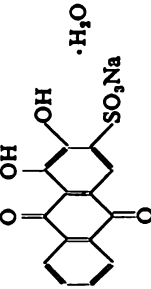
22	Orangé de méthyle (élianthine, orangé III)		0,1	Eau	3,1 à 4,4 Rouge → orangé-jaune λ_{\max} 52-464 nm
23	Bleu de bromophénol (tétrabromophénol-sulfoptaléine)		0,1	a. Alcool à 20 % b. Eau avec l'addition de 3,0 ml de NaOH 0,05 N par 100 mg d'indicateur	3,0 à 4,6 Jaune → bleu λ_{\max} 436-592 nm
24	Bleu de bromochlorophénol		0,04	a. Alcool à 20 % b. Eau avec l'addition de 3,2 ml de NaOH 0,05 N par 100 mg d'indicateur	3,0 à 4,8 Jaune → pourpre

Tableau 19 (suite)

n°	Indicateur	Formule	Concentration (%)	Solvant	Domaine de virage du pH et changement de couleur
25	Rouge Congo		0,1 et 1,0	Eau	3,0 à 5,2 Bleu-violet → rouge
26	Rouge d'alizarine S (alizarine sulfonate de sodium), 1 ^{er} virage (voir n° 61)		0,1	Eau	3,7 à 5,2 Jaune → violet

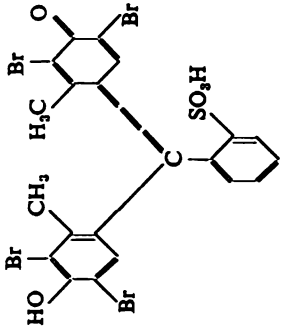
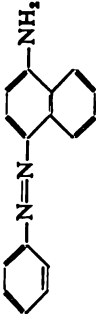
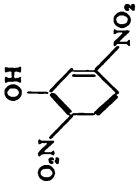
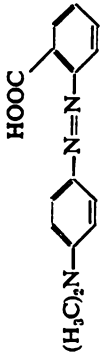
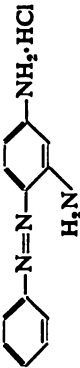
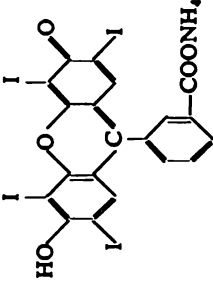
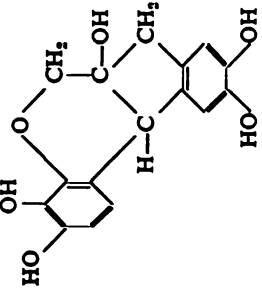
27	Bleu de bromocrésol (vert de bromocrésol)		0,1	a. Alcool à 20 % b. Eau avec l'addition de 2,9 ml de NaOH 0,05 N par 100 mg d'indicateur	3,8 à 5,4 Jaune → bleu λ_{max} 444-617 nm
28	Rouge de α -naphthyle		0,1	Alcool à 70 %	3,7 à 5,7 Violet → jaune brunâtre
29	γ -Dinitrophénol (dinitro-2,5-phénol)		0,1 et 0,025	Eau	4,0 à 5,4 Incolore → jaune
30	Tournesol	$\text{C}_{12}\text{H}_9\text{O}_3\text{N}$	0,2 et 0,5	Alcool à 90 %	4,0 à 6,4 Rouge → bleu
31	Rouge de méthyle		0,1 et 0,2	Alcool à 60 %	4,2 à 6,2 Rouge → jaune λ_{max} 530-427 nm

Tableau 19 (suite)

n°	Indicateur	Formule	Concentration (%)	Solvant	Domaine de virage du pH et changement de couleur
32	Chrysoldine		0,1	Eau	4,0 à 7,0 Orangé → jaune
33	Iodéosine (tétraiodofluorescéine)		0,1	Eau (on dissout de l'acide correspondant dans de l'alcool à 70 %)	4,5 à 6,5 Incolore → rouge
34	Hématoxyline		0,5	Alcool à 90 %	5,0 à 6,0 Jaune → violet

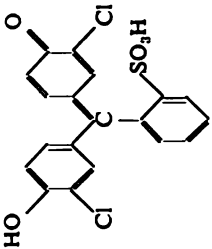
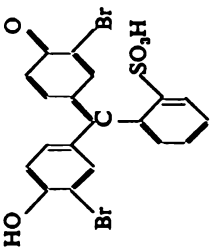
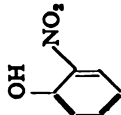
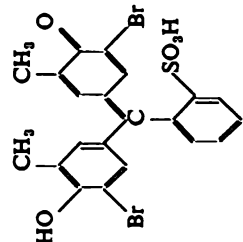
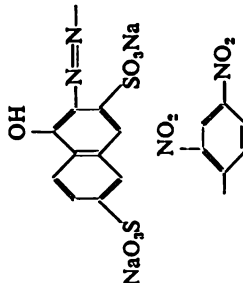
35	Rouge de chlorophénol (dichlorophénolsulfophtaléine)		0,1	a. Alcool à 20 % b. Eau avec l'addition de 4,7 ml de NaOH 0,05 N par 100 mg d'indicateur	5,0 à 6,6 Jaune → rouge
36	Rouge de bromophénol (dibromophénolsulfophtaléine)		0,1 0,04	a. Alcool à 20 % b. Eau avec l'addition de 3,9 ml de NaOH 0,05 N par 100 mg d'indicateur	5,0 à 6,8 Jaune → rouge
37	<i>o</i> -Nitrophénol		0,1	Alcool à 50 %	5,0 à 7,0 Incolore → jaune

Tableau 19 (suite)

n°	Indicateur	Formule	Concentration (%)	Solvant	Domaine de virage du pH et changement de couleur
38	Pourpre de bromocrésol (di-bromo- <i>o</i> -crésol-sulfophthaléine)		0,1	a. Alcool à 20 % b. Eau avec l'addition de 3,7 ml de NaOH 0,05 N par 100 mg d'indicateur	5,2 à 6,8 Jaune → pourpre λ_{max} 433-591 nm
39	Jaune de nitrazine		0,1	Eau	6,0 à 7,0 Jaune → bleu-violet


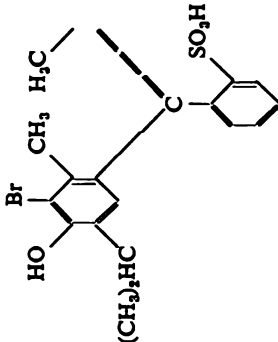
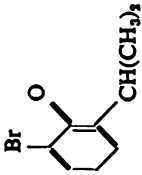
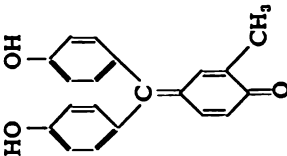
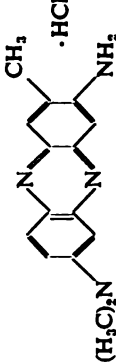
40	<i>p</i> -Nitrophénol		0,1	Eau	5,6 à 7,6 Incolore → jaune
41	Bleu de bromothymol (dibromothymol-sulfophthaléine)	 	0,05 0,1	a. Alcool à 20 % b. Eau avec l'addition de 3,2 ml de NaOH 0,05 N par 100 mg d'indicateur	6,0 à 7,6 Jaune → bleu foncé λ_{max} 433-617 nm

Tableau 19 (suite)

n°	Indicateur	Formule	Concentration (%)	Solvant	Domaine de virage du pH et changement de couleur
42	Acide rosolique (coralline- phthaléine, auri- ne, méthylauri- ne, coralline jaune)		0,5 et 0,1	Alcool à 50 %	6,2 à 8,0 Jaune → rouge
43	Rouge neutre		0,1	Alcool à 60 %	6,8 à 8,4 Rouge → jaune ambré

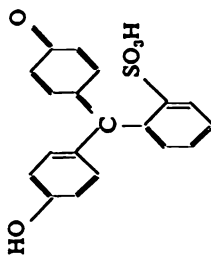
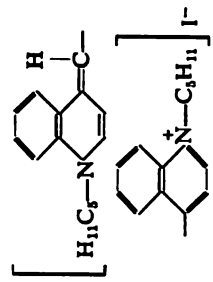
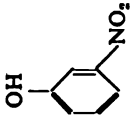
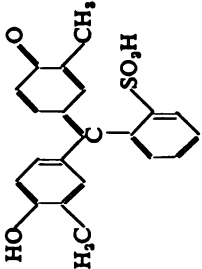
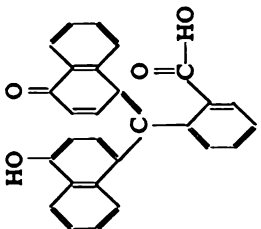
44	Rouge de phénol (phénolsulfophtaléine)		0,1 0,05	a. Alcool à 20 % b. Eau avec l'addition de 5,7 ml de NaOH 0,05 N par 100 mg d'indicateur	6,8 à 8,4 Jaune → rouge λ_{\max} 433-558 nm
45	Bleu de quino- léine (cyanine)		1,0	Alcool à 90 %	7,0 à 8,0 Incolore → violet
46	<i>m</i> -Nitrophénol		0,3	Eau	6,8 à 8,4 Incolore → jaune

Tableau 19 (suite)

n°	Indicateur	Formule	Concentration (%)	Solvant	Domaine de virage du pH et changement de couleur
47	Rouge de crésol (<i>o</i> -crésolsulfo- phthaléine)		0,1	a. Alcool à 20 % b. Eau avec l'addition de 5,3 ml de NaOH 0,05 N par 100 mg d'indicateur	7,2 à 8,8 Jaune ambré → rouge pourpre λ_{\max} 434-572 nm
48	α -Naphtholphtaléine		0,1 et 1,0	Alcool à 70 %	7,4 à 8,6 Jaune rose → bleu-vert

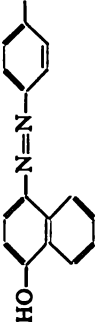
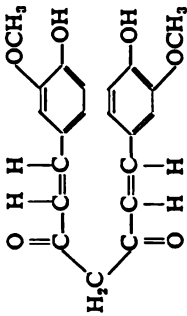
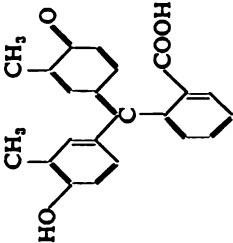
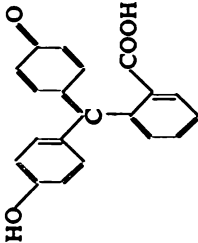
49	Ethyle-bis-(dinitro-2,4-phényle)-acétate	—	0,1	Alcool	7,4 à 9,0 Incolore → bleu foncé
50	Pourpre de <i>m</i> -crésol, 2 ^{ème} virage (voir n° 10)	Voir n° 10			7,4 à 9,0 Jaune → pourpre
51	Tropéoline 000 (orangé II)	 <chem>Oc1ccc2c(c1)-c3ccc(cc3N=Nc4ccc(cc4)S(=O)(=O)[Na])cc2</chem>	0,1 et 1,0	Eau	7,6 à 8,9 Jaune-vert → rose
52	Curcumine, 1 ^{er} virage	 <chem>COc1ccc(cc1C(=O)C(=C(C(=O)c2ccc(cc2)OC)c3ccc(cc3)OC)OC)c4cc(O)cc(OC)c4</chem>	1,0	Alcool à 90 %	7,4 à 9,2 Jaune → brun-rouge
53	Bleu de thymol, 2 ^{ème} virage (voir n° 11)	Voir n° 11			8,0 à 9,6 Jaune → bleu foncé λ_{\max} 430-596 nm

Tableau 19 (suite)

n°	Indicateur	Formule	Concentration (%)	Solvant	Domaine de virage du pH et changement de couleur
54	Bleu de xylénol, 2 ^{ème} virage (voir n° 12)		Voir n° 12		8,0 à 9,6 Jaune → bleu foncé
55	o-Crésolphtaléine		0,2 et 0,02	Alcool à 90 %	8,2 à 9,8 Incolore → rouge
56	Phénolphthaléine		0,1 et 1,0	Alcool à 60 %	8,2 à 10 Incolore → pourpre λ_{max} -553 nm

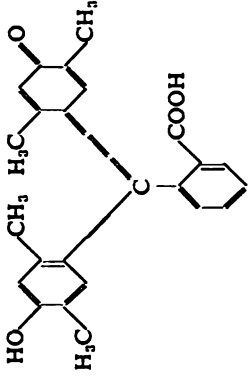
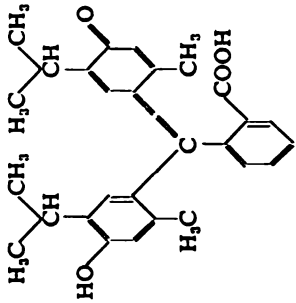
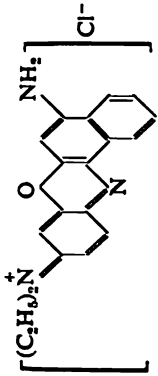
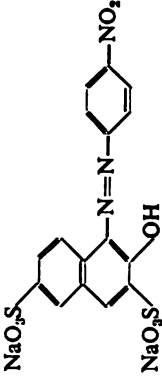
57	α -Naphтолbenzoline, 2ème visage (voir n° 2)	Voir n° 2			8,4 à 10,0 Jaune – bleu foncé
58	<i>p</i> -Xylénolphtaléine				9,3 à 10,5 Incolore – bleu foncé
59	Thymolphtaléine				9,3 à 10,5 Incolore – bleu foncé λ_{max} 598 nm

Tableau 19 (suite)

n°	Indicateur	Formule	Concentration (%)	Solvant	Domaine de virage du pH et changement de couleur
60	Bleu de Nil		0,1	Eau	10,1 à 11,1 Bleu foncé → rouge
61	Rouge d'alizarine S, 2 ^{ème} virage (voir n° 26)	Voir n° 26			10,0 à 12,0 Violet → jaune pâle
62	Curcumine, 2 ^{ème} virage (voir n° 52)	Voir n° 52			10,2 à 11,8 Brun-rouge → orangé-jaune
63	Violet de β-naphtol		0,04	Eau	10,0 à 12,1 Orangé-jaune → violet


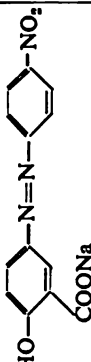
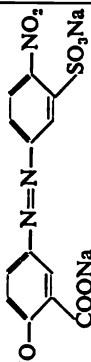
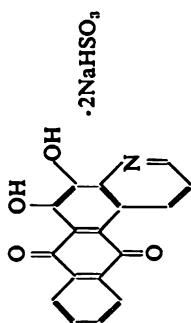
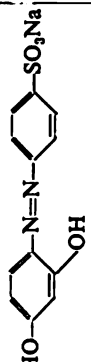
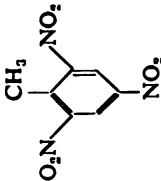
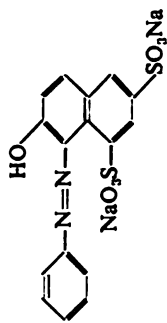
64	Jaune d'alizarine GG (jaune salicylique)		0,1	Eau	10,0 à 12,1 Jaune clair → orangé foncé
65	Jaune d'alizarine R		0,1	Eau	10,1 à 12,1 Jaune → lilas
66	Jaune d'alizarine RC		0,1	Eau	10,1 à 12,1 Jaune clair → brun-rouge
67	Bleu d'alizarine BS		0,05	Eau	11,0 à 13,0 Orangé-jaune → vert-bleu
68	Tropéoline 0 (jaune doré, chrysoline, jaune de résorcine)		0,1	Eau	11,0 à 13,0 Jaune → orangé- brun

Tableau 19 (suite)

n°	Indicateur	Formule	Concentration (%)	Solvant	Domaine de virage du pH et changement de couleur
69	Vert malachite, 2 ^{ème} virage (voir n° 6)	Voir n° 6			11,5 à 13,2 Vert-bleuâtre → incolore
70	Trinitro-2,4,6-toluène		0,1 et 0,05	Alcool à 90 %	11,5 à 13,2 Incolore → orangé
71	Orangé G		0,1	Eau	11,5 à 14,0 Jaune → rouge

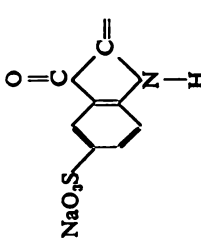
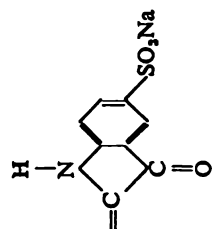
72	Carmin d'indigo (indigo-sulfonate de sodium)		0,25	Alcool à 50 %	11,6 à 14,00 Bleu foncé → jaune
73	Trinitro-1,3,5-benzène		0,1 et 0,5	Alcool à 90 %	12,2 à 14,0 Incolore → orangé
74	Benzopurpurine 4B, 2 ^{ème} virage (voir n° 18)	Voir n° 18			13,0 à 14,0 Orangé → rouge

Tableau 20

Produit ionique de l'eau aux températures de 0 à 100 °C

$$K_w = a_H + \cdot a_{OH^-} \quad \sqrt{K_w} = a_H + = a_{OH^-}$$

t °C	K_w	$\sqrt{K_w}$
0	$10^{-14,96} = 0,11 \cdot 10^{-14}$	$10^{-7,48} = 0,33 \cdot 10^{-7}$
5	$10^{-14,76} = 0,17 \cdot 10^{-14}$	$10^{-7,38} = 0,42 \cdot 10^{-7}$
10	$10^{-14,52} = 0,30 \cdot 10^{-14}$	$10^{-7,27} = 0,54 \cdot 10^{-7}$
15	$10^{-14,31} = 0,46 \cdot 10^{-14}$	$10^{-7,17} = 0,68 \cdot 10^{-7}$
16	$10^{-14,30} = 0,50 \cdot 10^{-14}$	$10^{-7,15} = 0,71 \cdot 10^{-7}$
17	$10^{-14,26} = 0,55 \cdot 10^{-14}$	$10^{-7,13} = 0,74 \cdot 10^{-7}$
18	$10^{-14,22} = 0,60 \cdot 10^{-14}$	$10^{-7,11} = 0,77 \cdot 10^{-7}$
19	$10^{-14,19} = 0,65 \cdot 10^{-14}$	$10^{-7,10} = 0,80 \cdot 10^{-7}$
20	$10^{-14,16} = 0,69 \cdot 10^{-14}$	$10^{-7,08} = 0,83 \cdot 10^{-7}$
21	$10^{-14,12} = 0,76 \cdot 10^{-14}$	$10^{-7,06} = 0,87 \cdot 10^{-7}$
22	$10^{-14,09} = 0,81 \cdot 10^{-14}$	$10^{-7,05} = 0,89 \cdot 10^{-7}$
23	$10^{-14,06} = 0,87 \cdot 10^{-14}$	$10^{-7,03} = 0,93 \cdot 10^{-7}$
24	$10^{-14,03} = 0,93 \cdot 10^{-14}$	$10^{-7,02} = 0,96 \cdot 10^{-7}$
25	$10^{-14,00} = 1,00 \cdot 10^{-14}$	$10^{-7,00} = 1,00 \cdot 10^{-7}$
26	$10^{-13,96} = 1,10 \cdot 10^{-14}$	$10^{-6,98} = 1,05 \cdot 10^{-7}$
27	$10^{-13,92} = 1,17 \cdot 10^{-14}$	$10^{-6,97} = 1,07 \cdot 10^{-7}$
28	$10^{-13,89} = 1,29 \cdot 10^{-14}$	$10^{-6,95} = 1,12 \cdot 10^{-7}$
29	$10^{-13,86} = 1,38 \cdot 10^{-14}$	$10^{-6,93} = 1,17 \cdot 10^{-7}$
30	$10^{-13,83} = 1,48 \cdot 10^{-14}$	$10^{-6,92} = 1,20 \cdot 10^{-7}$
31	$10^{-13,80} = 1,58 \cdot 10^{-14}$	$10^{-6,90} = 1,26 \cdot 10^{-7}$
32	$10^{-13,77} = 1,70 \cdot 10^{-14}$	$10^{-6,89} = 1,29 \cdot 10^{-7}$
33	$10^{-13,74} = 1,82 \cdot 10^{-14}$	$10^{-6,87} = 1,35 \cdot 10^{-7}$
34	$10^{-13,71} = 1,95 \cdot 10^{-14}$	$10^{-6,86} = 1,38 \cdot 10^{-7}$
35	$10^{-13,68} = 2,09 \cdot 10^{-14}$	$10^{-6,84} = 1,45 \cdot 10^{-7}$
36	$10^{-13,65} = 2,24 \cdot 10^{-14}$	$10^{-6,83} = 1,48 \cdot 10^{-7}$
37	$10^{-13,62} = 2,40 \cdot 10^{-14}$	$10^{-6,81} = 1,55 \cdot 10^{-7}$
38	$10^{-13,59} = 2,57 \cdot 10^{-14}$	$10^{-6,80} = 1,58 \cdot 10^{-7}$
39	$10^{-13,56} = 2,75 \cdot 10^{-14}$	$10^{-6,78} = 1,66 \cdot 10^{-7}$
40	$10^{-13,53} = 2,95 \cdot 10^{-14}$	$10^{-6,77} = 1,70 \cdot 10^{-7}$
50	$10^{-13,26} = 5,50 \cdot 10^{-14}$	$10^{-6,63} = 2,34 \cdot 10^{-7}$
60	$10^{-13,02} = 9,55 \cdot 10^{-14}$	$10^{-6,51} = 3,09 \cdot 10^{-7}$
70	$10^{-12,60} = 15,8 \cdot 10^{-14}$	$10^{-6,40} = 3,98 \cdot 10^{-7}$
80	$10^{-12,00} = 25,1 \cdot 10^{-14}$	$10^{-6,30} = 5,01 \cdot 10^{-7}$
90	$10^{-12,42} = 38,0 \cdot 10^{-14}$	$10^{-6,21} = 6,17 \cdot 10^{-7}$
100	$10^{-12,26} = 55,0 \cdot 10^{-14}$	$10^{-6,13} = 7,41 \cdot 10^{-7}$

Tableau 21

Dosage colorimétrique de pH des solutions *

Corrections de sel pour les indicateurs les plus importants à une force ionique différente
(La force ionique des solutions tampons utilisées comme témoins est de 0,1)

Indicateur	Force ionique							
	0,0025	0,005	0,01	0,02	0,05	0,1	0,5 (KCl)	0,5 (NaCl)
Correction de sel								
Bleu de bromocrésol (vert de bromocrésol)	+ 0,21	+ 0,18	+ 0,16	+ 0,14	+ 0,05	0,00	- 0,12	- 0,16
Bleu de bromophénol	+ 0,15	+ 0,14	+ 0,14	+ 0,13	+ 0,10	0,00	- 0,10	- 0,18
Bleu de bromothymol	+ 0,14	+ 0,12	+ 0,11	+ 0,07	+ 0,04	0,00	- 0,20	- 0,28
Bleu de thymol (1 ^{er} virage)	—	—	0,00	0,00	0,00	0,00	0,00	0,00
Bleu de thymol (2 ^{ème} virage)	—	+ 0,16	+ 0,12	+ 0,09	+ 0,05	0,00	- 0,12	- 0,19
Orangé de méthyle	- 0,04	- 0,04	- 0,02	0,00	0,00	0,00	0,00	0,00
Phénolphthaleïne	—	+ 0,18	+ 0,12	+ 0,10	+ 0,05	0,00	- 0,16	- 0,21
Rouge de chlorophénol	—	+ 0,15	+ 0,13	+ 0,12	+ 0,05	0,00	- 0,16	- 0,19
Rouge de méthyle	0,00	0,00	0,00	0,00	0,00	0,00	0,00	0,00
Rouge de phénol	+ 0,14	+ 0,12	+ 0,11	+ 0,07	+ 0,04	0,00	- 0,20	- 0,29
Thymolphthaleïne	—	—	+ 0,11	+ 0,09	+ 0,05	0,00	- 0,19	—

* Sur le mode d'utilisation du Tableau 21 voir pp. 566-568.

Tableau 22

Constantes de dissociation des indicateurs (pK_1 à différente force ionique)

(t est la température d'expérience)

A. Indicateurs unicolores

Indicateur	pK_1 (à force ionique nulle et aux températures différentes) $A = t - 20\text{ }^{\circ}\text{C}$	pK_1 ($t = 20\text{ }^{\circ}\text{C}$)			
		Force ionique (μ)			
		0,01	0,05	0,1	0,5
Rouge de pentaméthoxy	$1,86 + 0,008\ A$	—	1,86	1,86	—
Rouge de quinaldine	$2,63 - 0,007\ A$	2,80	—	2,90	3,10
α -Dinitrophénol	$4,10 - 0,006\ A$	—	3,95	3,90	3,80 (KCl)
β -Dinitrophénol	$3,70 - 0,006\ A$	—	3,95	3,90	3,80 (KCl)
γ -Dinitrophénol	$5,20 - 0,0045\ A$	—	5,12	5,10	5,00 (NaCl)
p -Nitrophénol	$7,00 - 0,011\ A$	—	—	—	—
m -Nitrophénol	$8,35 - 0,01\ A$	—	8,30	8,25	8,15 (NaCl)

Tableau 22 (suite)

B. Indicateurs bicolores

Indicateur	pK_1 (force ionique est nulle)	pK_1 ($t=20\text{ }^{\circ}\text{C}$)			
		Force ionique (μ)			
		0,01	0,05	0,1	0,5
Bleu de thymol (domaine acide) *	1,65 (15 à 30 $^{\circ}\text{C}$)	—	1,65	1,65	1,65
Orangé de méthyle *	3,46 à 0,014 ($t=20\text{ }^{\circ}\text{C}$)	3,46	3,46	3,46	3,46
Bleu de bromophénol	4,10 (15 à 20 $^{\circ}\text{C}$)	4,06	4,00	3,85	3,75 (KCl)
Bleu de bromocrésol (vert de bromocrésol)	4,90 (15 à 30 $^{\circ}\text{C}$)	4,80	4,70	4,66	4,50 (KCl) 4,42 NaCl
Rouge de méthyle *	5,00 à 0,006 ($t=20\text{ }^{\circ}\text{C}$)	5,00	5,00	5,00	5,00
Rouge de chlorophénol	6,25 à 0,005 ($t=20\text{ }^{\circ}\text{C}$)	6,15	6,05	6,00	5,9 (KCl) 5,85 (NaCl)
Pourpre de bromocrésol	6,40 à 0,005 ($t=20\text{ }^{\circ}\text{C}$)	6,28	6,21	6,12	5,9 (KCl) 5,8 (NaCl)
Bleu de bromothymol	7,30 (15 à 30 $^{\circ}\text{C}$)	7,19	7,13	7,10	6,9 (KCl)
Rouge de phénol	8,00 à 0,007 ($t=20\text{ }^{\circ}\text{C}$)	7,92	7,84	7,81	6,8 (NaCl) 7,6 (KCl) 7,5 (NaCl)
Bleu de thymol	9,20 (15 à 30 $^{\circ}\text{C}$)	9,01	8,95	8,90	—

* L'orangé de méthyle, le rouge de méthyle et le bleu de thymol (domaine acide) présentent l'avantage d'avoir des constantes peu sensibles à l'influence des électrolytes même ayant une force ionique de 0,5.

Tableau 23

Certains indicateurs mixtes *

L'indice de titrage pT est la valeur du pH pour laquelle l'observateur fixe nettement le virage de l'indicateur et considère le titrage comme terminé. C'est une grandeur en quelque sorte conventionnelle, elle dépend de l'opérateur.

Indice de titrage (pT)	Constituants	Proportion des volumes	Coloration de l'indicateur	
			en milieu acide	en milieu basique
3,25	Jaune de méthyle, solution alcoolique à 0,1 % Bleu de méthyle, solution alcoolique à 0,1 %	1:1	Bleu-violet	Vert
4,1	Orangé de méthyle, solution aqueuse à 0,1 % Carmin d'indigo, solution aqueuse à 0,25 %	1:1	Violet	Vert
4,3	Bleu de bromocrésol, sel sodique, solution aqueuse à 0,1 % Orangé de méthyle, solution aqueuse à 0,2 %	1:1	Jaune	Bleu-vert
5,1	Bleu de bromocrésol, solution alcoolique à 0,1 % Rouge de méthyle, solution alcoolique à 0,2 %	3:1	Rouge vin	Vert

5,4	Rouge de méthyle, solution alcoolique à 0,2 % Bleu de méthylène, solution alcoolique à 0,1 %	1:1	Rouge-violet	Vert
6,1	Bleu de bromocrésol, sel sodique, solution aqueuse à 0,1 % Rouge de chlorophénol, sel sodique, solution aqueuse à 0,1 %	1:1	Jaune-vert	Bleu-violet
6,7	Pourpre de bromocrésol, sel sodique, solution aqueuse à 0,1 % Bleu de bromothymol, sel sodique, solution aqueuse à 0,1 %	1:1	Jaune	Bleu-violet
7,0	Rouge neutre, solution alcoolique à 0,1 % Bleu de méthylène, solution alcoolique à 0,1 %	1:1	Violet-bleu	Vert
7,2	Rouge neutre, solution alcoolique à 0,1 % Bleu de bromothymol, solution alcoolique à 0,1 %	1:1	Rose	Vert
7,5	Bleu de bromothymol, sel sodique, solution aqueuse à 0,1 % Rouge de phénol, sel sodique, solution aqueuse à 0,1 %	1:1	Jaune	Violet

* Les indicateurs sont conservés dans les fioles en verre fumé.

Tableau 23 (suite)

Indice de titrage (μT)	Constituants	Proportion des volumes	Coloration de l'indicateur	
			en milieu acide	en milieu basique
8,3	Rouge de crésol, sel sodique, solution aqueuse à 0,1 % Bleu de thymol, sel sodique, solution aqueuse à 0,1 %	1:3	Jaune	Violet
8,9	α -Naphtholphtaléine, solution alcoolique à 0,1 % Phénolphtaléine, solution alcoolique à 0,1 %	1:3	Rose pâle	Violet
9,0	Bleu de thymol, solution à 0,1 % dans l'alcool à 50 % Phénolphtaléine, solution à 0,1 % dans l'alcool à 50 %	1:3	Jaune	Violet
9,9	Phénolphtaléine, solution alcoolique à 0,1 % Thymolphtaléine, solution alcoolique à 0,1 %	1:1	Incolore	Violet
10,2	Thymolphtaléine, solution alcoolique à 0,1 % Jaune d'alizarine, solution alcoolique à 0,1 %	2:1	Jaune	Violet

Tableau 24

Indicateurs universels

1. On dissout 100 mg de phénolphthaléine, 200 mg de rouge de méthyle, 300 mg de jaune de méthyle, 400 mg de bleu de bromothymol et 500 mg de bleu de thymol dans 500 ml d'alcool à 96 %, on y ajoute ensuite de la solution de NaOH 0,1 N jusqu'à l'apparition de la couleur jaune pure (pH 6).

Couleur..	Rouge	Orangé	Jaune	Vert	Bleu
pH	2,0	4,0	6,0	8,0	10,0

2. On prépare un mélange de 15 ml de solution à 0,1 % de jaune de méthyle, de 5 ml de solution à 0,1 % de rouge de méthyle, de 20 ml de solution à 0,1 % de bleu de bromothymol, de 20 ml de solution à 0,1 % de phénolphthaléine et de 20 ml de solution à 0,1 % de thymolphthaléine.

Couleur	Rose	Rouge-orangé	Orangé
pH	1,0	3,0	4,0
Couleur	Jaune-orangé	Jaune citron	Jaune-vert
pH	5,0	6,0	7,0
Couleur	Vert	Bleu-vert	Violet
pH	8,0	9,0	10,0

3. On dissout 70 mg de tropéoline 00, 100 mg d'orangé de méthyle, 80 mg de rouge de méthyle, 400 mg de bleu de bromothymol, 500 mg de phénolphthaléine et 100 mg de jaune d'alizarine R dans 100 ml d'alcool à 50 %.

Couleur	Orangé-rouge	Rouge-orangé	Orangé
pH	2,0	3,0	4,0
Couleur	Jaune-orangé	Orangé-jaune	Jaune
pH	5,0	6,0	6,5
Couleur	Vert-jaune	Vert	Vert-bleu clair
pH	7,0	8,0	9,0
Couleur	Bleu-violet	Violet	Rouge-violet
pH	9,5	10,0	12,0

Tableau 24 (suite)

4. On dissout 100 mg de rouge de méthyle, 100 g de bleu de bromothymol, 100 mg de α -naphtolphtaléine, 100 mg de phénolphtaléine et 100 mg de thymolphtaléine dans 500 ml d'alcool à 96 %.

Couleur	Rouge	Orangé	Jaune	Vert-jaune
pH	4,0	5,0	6,0	7,0
Couleur	Vert	Bleu-vert	Bleu-violet	Rouge-violet
pH	8,0	9,0	10,0	11,0

Tableau 25

Indicateurs de fluorescence les plus importants

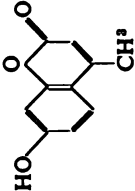
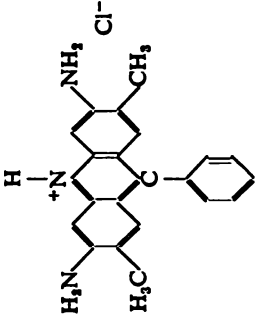
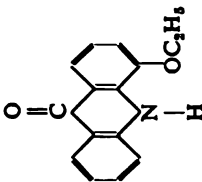
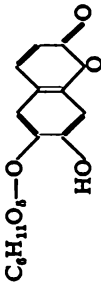
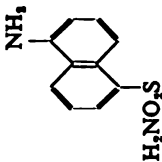
n°	Indicateur	Formule	Domaine de virage du pH	Changement de fluorescence
1	β -Méthylombelliférone (méthyl-4-ombelliférone, hydroxy-7-méthyle-4-coumarine), 1 ^{er} virage (voir n° 18)		0,0 à 2,0	Vert – bleu clair
2	Benzoflavine		0,3 à 1,7	Jaune – vert

Tableau 25 (suite)

n°	Indicateur	Formule	Domaine de virage du pH	Changement de fluorescence
3	Ethoxy-4-acridone		1,4 à 3,2	Vert - bleu
4	Esculine	 $C_6H_{11}O_6$	1,5 à 2,0	Absence - bleu
5	Naphtylaminesulfamide-1,5, 1 ^{er} virage	 H_2NO_2S	2,0 à 4,0	Accroissement de la fluorescence jaune-orangé

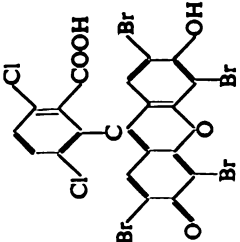
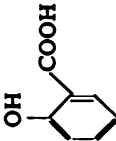
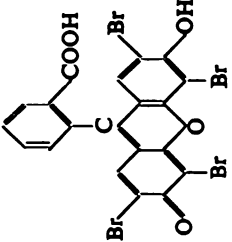
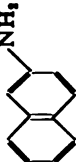
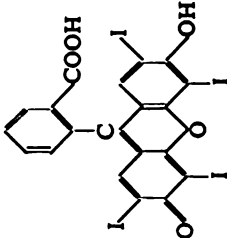
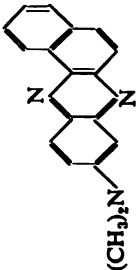
6	Floxine (dichloro-3',6'- tétrabromo-2,4,5,7- fluorescéine)		2,0 à 4,0	Absence -- jaune- orangé
7	Acide salicylique		2,5 à 3,5	Accroissement de la fluorescen- ce bleu clair
8	Eosine (tétrabromo- fluorescéine)		2,5 à 4,5	Accroissement de la fluorescen- ce jaune-vert

Tableau 25 (suite)

n°	Indicateur	Formule	Domaine de virage du pH	Changement de fluorescence
9	β -Naphthylamine		2,8 à 4,4	Accroissement de la fluorescence violette
10	Erythrosine (tétraiodo-fluorescéine)		3,0 à 4,2	Accroissement de la fluorescence bleu-vert
11	Diméthylnaphteurhodine		3,2 à 3,8	Lilas - orangé

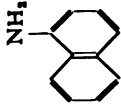
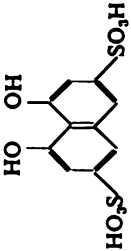
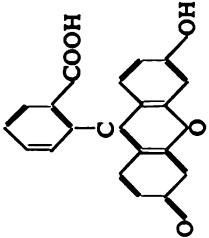
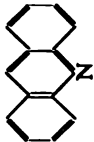
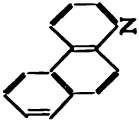
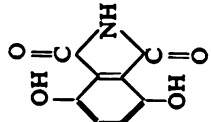
12	α -Naphthylamine (naph-tylamine-1), 1 ^{er} virage (voir n° 32)		3,4 à 4,8	Accroissement de la fluorescence bleue
13	Acide chromatropique		3,5 à 6,0	Accroissement de la fluorescence bleue
14	Fluorescéine		4,0 à 5,0	Accroissement de la fluorescence verte
15	Acide quinique	$C_6H_7(OH)_4COOH$	4,5 à 5,0	Jaune - bleu clair
16	Quinine, 1 ^{er} virage (voir n° 28)	$C_{20}H_{24}O_2N_2$	3,8 à 6,1	Bleu clair - violet

Tableau 25 (suite)

n°	Indicateur	Formule	Domaine de virage du pH	Changement de fluorescence
17	Acridine		4,8 à 6,6	Vert - violet bleu
18	β -méthylombelliférone, 2 ^{ème} virage (voir n° 1)	Voir n° 1	5,0 à 7,6	Accroissement de la fluorescence bleue
19	β -Naphtoquinoléine		5,0 à 8,0	Bleu vif - violet pâle
20	Dihydroxy-3,6-phthalimide		6,0 à 8,0	Vert - jaune-vert

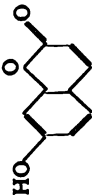
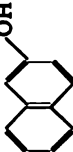
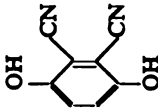
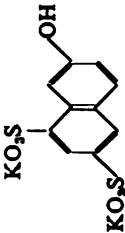
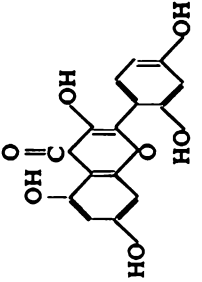
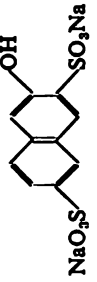
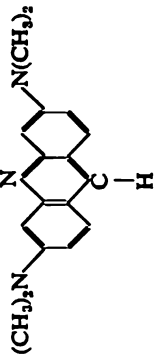
21	Ombelliférone		6,5 à 7,6	Absence – bleu
22	β -Naphтол (naphтол-2)		7,0 à 8,5	Bleu clair – bleu-violet
23	Dicyanehydroquinone-2,3		6,8 à 8,8	Bleu – vert
24	Acide naphtholdisulfonique, sel dipotassique		7,4 à 9,0	Accroissement de la fluorescence bleue

Tableau 25 (suite)

n°	Indicateur	Formule	Domaine de virage du pH	Changement de fluorescence
25	Morine (penta-3,5,7,2',4'-hydroxyflavone)		7,0 à 10,0	Vert - jaune
26	Acide naphtholdisulfonique, sel disodique		8,0 à 10,6	Accroissement de la fluorescence bleue
27	Euchrysine 3R (base d'orange d'acridine)		8,4 à 10,4	Orangé - vert
28	Quinine, 2 ^{ème} virage (voir n° 16)	Voir n° 16	9,5 à 10,5	Violet - absence

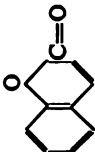
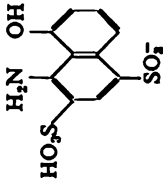
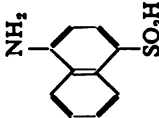
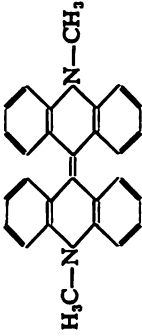
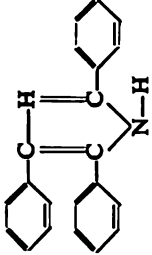
29	Naphtylaminosulfamide-1,5 ; 2 ^{ème} virage	Voir n° 5	9,5 à 13,0	Jaune-orangé - vert
30	Coumarine		9,8 à 12,0	Vert foncé - jaun- ne clair
31	SS-Acide		10,0 à 12,0	Violet - vert
32	α -Naphtylamine, 2 ^{ème} virage (voir n° 12)	Voir n° 12	12,0 à 13,0	Décolorance de la fluorescence bleue
33	Acide naphionique		11,5 à 14,0	Violet-bleu - vert bleuâtre

Tableau 26

Certains indicateurs de chimiluminescence

Indicateur	Formule	Le pH auquel apparaît la luminescence
N,N'-Diméthylbiacridène		~9
Lophine (triphényl-2,4,5-imidazole, triphényl-2,4,5-glyoxaline)		8,9 à 9,4

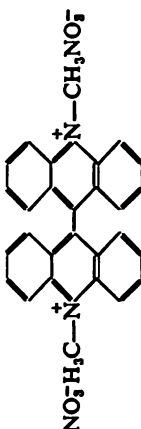
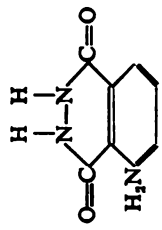
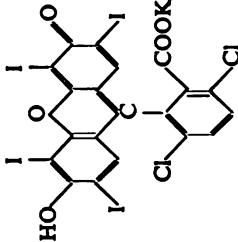
Lucigénine		9,0 à 10,0
Luminol		8,0 à 8,5

Tableau 27

Indicateurs d'absorption les plus importants

n°	Indicateur	Formule	Ion de réactif titrant	Ion à déterminer	Virage
1	Rouge d'alizarine S (solution aqueuse à 0,4 %)	Voir <i>Tableau 19</i> , n° 26 (p. 216)	Pb ²⁺	Fe(CN) ₆ ⁴⁻	Jaune → rose rouge
2	Rose bengale (dichloro-3',6'-tétraiodo-2,4,5,7-fluorescéine, sel potassique) (solution aqueuse à 0,5 %)		Ag ⁺	I ⁻	Rose → violet
3	Bleu de bromocrésol (vert de bromocrésol) (solution à 1 % dans l'alcool à 20 %)	Voir <i>Tableau 19</i> , n° 27 (p. 217)	Ag ⁺	Cl ⁻	Violet → bleu verdâtre

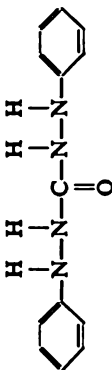
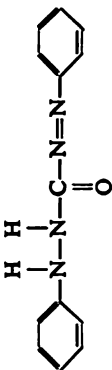
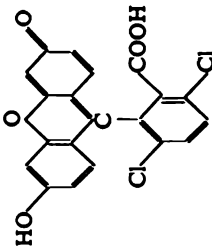
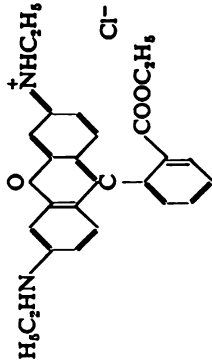
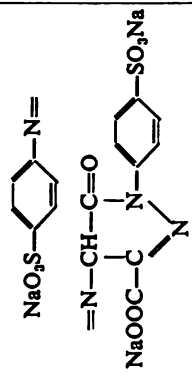
4	Bleu de bromophénol (solution alcoolique à 0,1 % ou solution aqueuse de sel sodique à 0,1 %)	Voir Tableau 19, n° 23 (p. 215)	Ag ⁺	Cl ⁻ , Br ⁻ , SCN ⁻ , I ⁻	Jaune - bleu Jaune-vert - bleu-vert
5	Diphénylcarbazine		Hg ²⁺	Cl ⁻ , Br ⁻	Incolore - violet
6	Diphénylcarbazone (solution alcoolique à 0,2 %)		Ag ⁺	Cl ⁻ Br ⁻ , I ⁻ SCN ⁻	Rouge clair - violet Jaune - vert Rose - bleu
7	Dichloro-3,6-fluorescéine (solution à 0,1 % dans l'alcool à 60-70 % ou solution aqueuse à 0,1 % de sel sodique)		Ag ⁺	Cl ⁻ , Br ⁻ SCN ⁻ I ⁻	Rouge-violet bleu-violet Rose - rouge-violet Jaune-vert - orangé

Tableau 27 (suite)

n°	Indicateur	Formule	Ion de réactif titrant	Ion à déterminer	Virage
8	Rouge Congo (solution aqueuse à 0,1 %)	Voir Tableau 19, n° 25 (p. 216)	Ag ⁺	Cl ⁻ , Br ⁻ , I ⁻	Rouge → bleu
9	Rhodamine 6G (solution aqueuse à 0,1 %)		Ag ⁺	Br ⁻ , Cl ⁻	Rouge-violet → orange
10	Tartrazine		Ag ⁺	Cl ⁻ , Br ⁻ , I ⁻ , SCN ⁻	Vert-jaune → jaune-brun
11	Tropéoline 00 (solution aqueuse à 1 %)	Voir Tableau 19, n° 14 (p. 212)	Ag ⁺	Cl ⁻	Jaune → rose

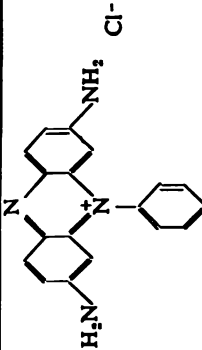
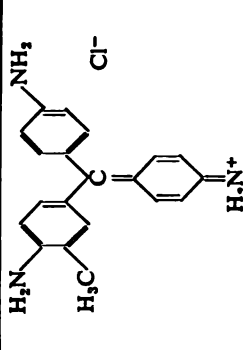
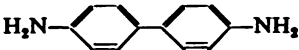
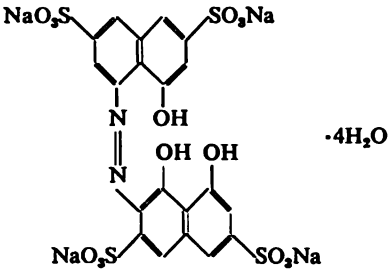
12	Phénosafranine (solution aqueuse à 0,1 %)		Ag ⁺	Cl ⁻ Br ⁻	Violet – rose Rouge-violet – bleu
13	Fluorescéine (solution alcoolique à 0,1 %)	Voir <i>Tableau 25</i> , n° 14 (p. 245)	Ag ⁺	Cl ⁻ , Br ⁻ , SCN ⁻ , I ⁻	Jaune-vert – rose Jaune-vert – orange
14	Fuchsine (magenta) (solution alcoolique à 0,1 %)		Ag ⁺	Cl ⁻ Br ⁻ , I ⁻ SCN ⁻	Rouge-violet – rose Orangé – rose Bleutâtre – rose
15	Eosine (solution aqueuse à 0,5 % de sel sodique ou solution à 0,1 % dans l'alcool à 60-70 %)	Voir <i>Tableau 25</i> , n° 8 (p. 243)	Ag ⁺	Br ⁻ , I ⁻ , SCN ⁻	Orangé – rouge intense
16	Erythrosine (solution aqueuse à 0,5 %)	Voir <i>Tableau 25</i> , n° 10 (p. 244)	Pb ²⁺	MoO ₄ ²⁻	Orangé – rouge foncé

Tableau 28

Indicateurs de complexométrie les plus utilisés

n°	Indicateur	Formule
1	Rouge d'alizarine S	Voir <i>Tableau 19</i> , n° 26 (p. 216)
2	Arsénazo I	Voir <i>Tableau 49</i> , n° 15 (p. 434)
3	Benzidine	
4	Berrylon II	

* T. R. signifie les terres rares.

Concentration	Ions à doser	Conditions du dosage	Virage lors du titrage direct
Solution aqueuse à 0,05 %	Th ^{IV} , T. R. * Sc ³⁺ Al ³⁺	pH 2,2 à 3,4 pH 2 pH 3,5 à 3,6 ; titrage en retour par le nitrate de thorium	Rose → jaune Jaune → rose
—	Pu ^{IV} Th ^{IV} U ^{IV} T. R. * Ca ²⁺ , Mg ²⁺	0,1 à 0,2 M HCl pH 1,6 à 3 pH 1,7 pH 7 pH 10	Violet → rose
Solution à 1 % dans l'acide acétique glacial	Al ³⁺ , Bi ³⁺ , Fe ³⁺ , Ga ³⁺ , Sn ^{IV} , Ti ^{IV}	Solution tampon : 500 g d'acétate d'ammonium et 20 ml d'acide acétique glacial dans 1 l. Addition de Fe(CN) ₆ ⁴⁻ et de Fe(CN) ₆ ³⁻ suivie du titrage en retour par l'acétate de zinc	Incolore → bleu
Solution aqueuse à 0,02 %	Be ²⁺ Mg ²⁺	pH 12 à 13,2 pH 10	Bleu → violet Bleu-violet → violet-rouge

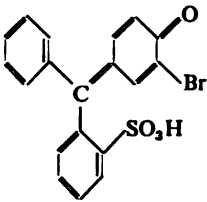

n°	Indicateur	Formule
5	Rouge de bromopyrogallol, BPR	
6	Bleu de varamine B	$\text{CH}_3\text{O}-\text{C}_6\text{H}_4-\text{NH}-\text{C}_6\text{H}_4-\text{NH}_2\cdot\text{HCl}$
7	Hématoxyline	Voir <i>Tableau 19</i> , n° 34 (p. 218)
8	Glyoxal-bis-(hydroxy-2-anile) (GBHA)	

Tableau 28 (suite)

Concentration	Ions à doser	Conditions du dosage	Virage lors du titrage direct
Solution à 0,5 % dans l'alcool à 50 %	Bi^{3+} Pb^{2+} $\text{Ni}^{2+}, \text{Co}^{2+}, \text{Cd}^{2+}$ $\text{Mg}^{2+}, \text{Mn}^{2+}$ $\text{Pd}^{2+}, \text{Tl}^{3+}, \text{Fe}^{3+}, \text{In}^{3+}, \text{Ga}^{3+}$	<p>$\text{pH } 2 \text{ à } 3 ; \text{HNO}_3$</p> <p>$\text{pH } 5 \text{ à } 6$</p> <p>$\text{pH } 9,3$, tampon d'ammoniac</p> <p>$\text{pH } 10$, tampon d'ammoniac</p> <p>Titration en retour par le sel de plomb ou de bismuth</p>	<p>Rouge → orangé-jaune</p> <p>Bleu-violet → rouge</p> <p>Bleu → rouge vin</p> <p>Bleu → violet-rouge</p>
Solution aqueuse à 1 %	Fe^{3+} $\text{Cd}^{2+}, \text{Zn}^{2+}$ $\text{Al}^{3+}, \text{Pb}^{2+}, \text{Zr}^{\text{IV}}$	<p>$\text{pH } 1,7 \text{ à } 3$</p> <p>$\text{pH } 5$, en présence des traces de $\text{Fe}(\text{CN})_6^{4-}$ et de $\text{Fe}(\text{CN})_6^{3-}$</p> <p>Titration en retour par le sel de zinc</p>	<p>Bleu-violet → jaune</p> <p>Violet → incolore</p>
Solution à 0,5 % dans l'alcool à 90 %	Al^{3+} Bi^{3+} Th^{IV} Zr^{IV}	<p>$\text{pH } 6$, titration en retour par le sel d'aluminium</p> <p>$\text{pH } 1 \text{ à } 2, \text{HNO}_3$</p> <p>$\text{pH } 2$</p> <p>$\text{pH } 1 \text{ à } 1,5$</p>	<p>Jaune-vert → rose</p> <p>Rose → jaune pâle</p> <p>Orangé → jaune</p> <p>Rose → jaune</p>
—	Ca^{2+}	$\text{pH } 13$ (en présence de KCN le point terminal est plus net)	Rose → jaune

n°	Indicateur	Formule
9	Bleu de glycine-thymol (GTB)	
10	Diméthyl-3,3'-naphtidine (DMN)	
11	Dithizone	Voir <i>Tableau 49</i> , n° 49 (p. 450)
12	Diphényl-carbazone	Voir <i>Tableau 27</i> , n° 6 (p. 253)

Tableau 28 (suite)

Concentration	Ions à doser	Conditions du dosage	Virage lors du titrage direct
Solution aqueuse à 0,1 %	Cu^{2+} Zn^{2+}	pH 5 à 6, tampon d'urotropine pH 7,5, tampon de pyridine	Bleu → jaune
Solution à 1 % dans l'acide acétique glacial	Zn^{2+} Al^{3+} , Cd^{2+} , Cu^{2+} , Ni^{2+} , Pd^{2+}	pH 5, en présence de $\text{Fe}(\text{CN})_6^{3-}$ pH 5, titrage en retour en présence de $\text{Fe}(\text{CN})_6^{3-}$	Violet → incolore
Solution à 0,075 % dans l'alcool éthylique	Cd^{2+} Zn^{2+} Ni^{2+} Pb^{2+} Al^{3+}	pH 4,5, alcool à 50 % pH 4 à 6, alcool à 50 % ou le diméthylcétone pH 4,5, alcool à 60 % pH 4,7 à 5,4, alcool à 50 % en présence du tampon d'urotropine pH 4 à 5, alcool à 50 %, titrage en retour par le sel de zinc	Rose → jaune Rose → bleu clair, vert ou jaune suivant le pH Rose → jaune Rose → jaune
Solution alcoolique à 0,2 %	Hg^{2+} Pb^{2+}	pH 1, HCl-KCl pH 4,5 à 6,5, tampon d'acide acétique-acétate	Bleu-violet → incolore Rouge → incolore

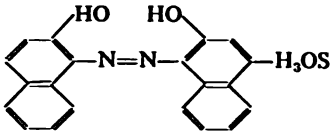
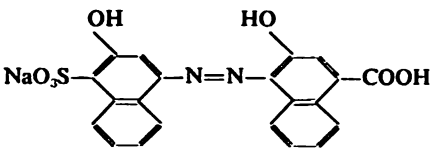
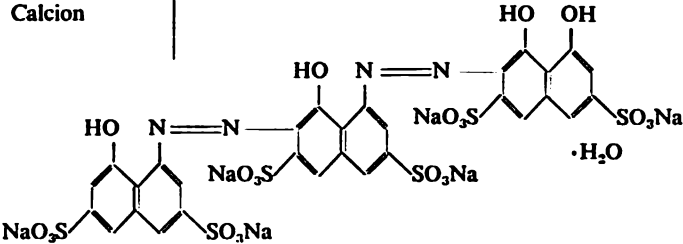
n°	Indicateur	Formule
13	Calcone (bleu-noir Eriochrome R, Erio R)	
14		Calcéine
15	Calcess (colorant de Patton-Reeder, HHSNN)	
16	Calcion	

Tableau 28 (suite)

Concentration	Ions à doser	Conditions du dosage	Virage lors du titrage direct
—	Ca ²⁺ Cd ²⁺ Mg ²⁺ , Mn ²⁺ , Zn ²⁺	pH 14,5, NH ₃ pH 12,5 à 13, NaOH pH 11,5, NH ₃ pH 10, tampon d'ammoniac	Rose → bleu clair

(Voir Fluorexone, n° 43)

Mélange à 1 % de chlorure de sodium solide	Ca ²⁺	pH 12 à 14	Rouge vin → bleu
—	Ca ²⁺	pH > 12	Framboise → bleu vif

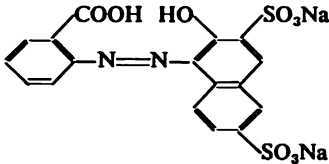
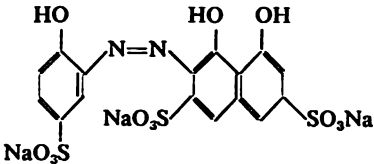
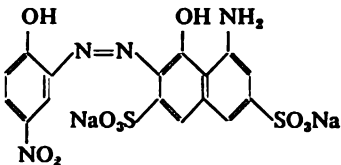
n°	Indicateur	Formule
17	Rouge d'alizarine acide B ; rouge Eriochrome RE	
18	Bleu au chrome acide K	
19	Vert foncé au chrome acide G (palatine vert au chrome)	

Tableau 28 (suite)

Concentration	Ions à doser	Conditions du dosage	Virage lors du titrage direct
Solution aqueuse à 0,35 % (10 ml) avec l'addition d'une solution aqueuse à 0,02 % de bleu de méthylène (10 ml), d'une solution à 0,4 % de sel de calcium (à raison de Ca^{2+}) (5 ml) et de l'eau (25 ml)	Ca^{2+}	pH 13	Jaune → orangé-rouge
Solution aqueuse	Ca^{2+} Mg^{2+} C^{2+} , Zn^{2+} Mn^{2+} Pb^{2+}	pH 12 pH 10 à 11, tampon d'ammoniac pH 9 à 10, tampon d'ammoniac pH 10, tampon d'ammoniac pH 10, en présence du tartrate	Rose → gris-bleu
Solution aqueuse à 0,5 %	Ca^{2+} Ga^{3+}	pH > 12 Utilisé en association avec une solution aqueuse à 0,25 % de jaune de naphтол en proportion 1 : 2 (hydrone II) pH 3	Orangé brunâtre → vert Bleu → rose

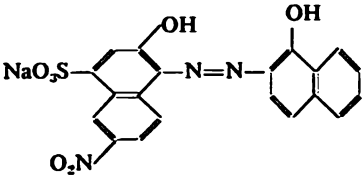
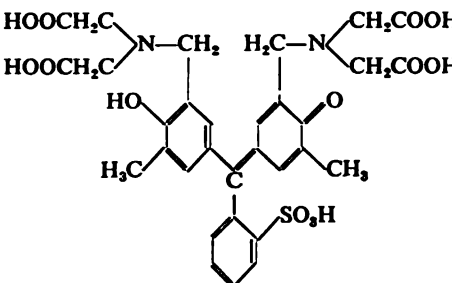
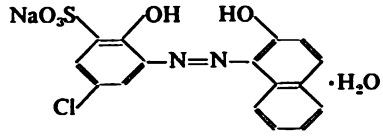
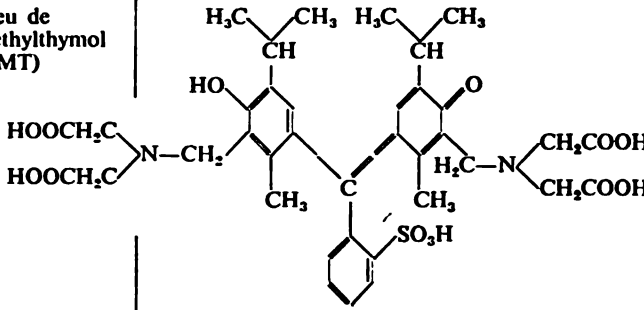
n°	Indicateur	Formule
20	Noir au chrome acide spécial (noir au chrome spécial ET 00 ; Voir Eriochrome T)	 <chem>[Na+].[O-]S(=O)(=O)c1ccc2c(c1)c([N+](=O)[O-])ccc2O/N=N/c3ccc4c(c3)ccc(O)c4</chem>

Tableau 28 (suite)

Concentration	Ions à doser	Conditions du dosage	Virage lors du titrage direct
Mélange à 1 % d'indicateur et de chlorure de sodium	Al ³⁺	pH 7 à 8, titrage en retour par le sel de zinc en présence de la pyridine	Rouge vin → bleu
	Ba ²⁺	pH 10, titrage en présence du complexonate de magnésium	
	Bi ³⁺	pH 9 à 10, titrage en retour par le sel de zinc	
	Ca ²⁺	pH 10, addition du complexonate de magnésium	
	Cd ²⁺ , Co ²⁺ , Mg ²⁺ , Zn ²⁺ , Cr ³⁺	pH 10 Milieu basique, titrage en retour par le sel de manganèse	
	Fe ³⁺ , Ti ^{IV}	Titration en retour par le sel de zinc en présence de la pyridine	
	Ga ³⁺	pH 6,5 à 9,5, titrage en retour par le sel de zinc	
	Hg ²⁺	pH 9 à 10, addition du complexonate de magnésium	
	In ³⁺	pH 8 à 10, en présence du sel de Seignette	
	Mn ²⁺	pH 10, addition de l'hydroxylamine	
	Ni ²⁺ , Pb ²⁺	pH 10, titrage en retour par le sel de magnésium ou de zinc	
	Tl ³⁺	pH 10, titrage en retour par le sel de magnésium ou addition du complexonate de magnésium	
	V ^{IV}	pH 10, titrage en retour par le sel de manganèse	

n°	Indicateur	Formule
21	Orangé de xylénol	
22	Magneson	

* T. R. signifie les terres rares.

n°	Indicateur	Formule
23		Métalpthaléine
24	Bleu de méthylthymol (BMT)	

* T. R. signifie les terres rares.

Tableau 28 (suite)

Concentration	Ions à doser	Conditions du dosage	Virage lors du titrage direct
(Voir Phthaléinecomplexone, n° 44)			
Mélange solide d'indicateur et de KNO_3 en proportion 1 : 100	Ba^{2+} , Sr^{2+}	pH 10 à 11, tampon d'ammoniac	Bleu – gris
	Ca^{2+}	pH 12, NH_3 ou NaOH	
	Mg^{2+}	pH 10 à 11,5, tampon d'ammoniac	
	Bi^{3+}	pH 1 à 3, HNO_3	Bleu – jaune
	Cd^{2+} , Co^{2+}	pH 5 à 6, tampon d'urotropine	
		pH 12, NH_3	Bleu – gris ou incolore
	Cu^{2+}	pH 11,5, NH_3	Bleu – incolore ou gris-vert
	Fe^{2+}	pH 4,5 à 6,5, tampon d'urotropine	Bleu – jaune
	Hg^{2+}	pH 6, tampon d'urotropine	
	In^{3+}	pH 3 à 4, tampon d'acétate	
	Mn^{2+}	pH 6 à 6,5, tampon d'urotropine	Bleu – jaune
	Pb^{2+}	pH 11,5, NH_3	Bleu – gris
		pH 6, tampon d'urotropine	Bleu – jaune
		pH 12, NH_3 , en présence du tartrate	Bleu – gris
	T. R. *	pH 6, tampon d'urotropine	Bleu – jaune
	Sn^{2+}	pH 2,2, HNO_3	
		pH 5,5 à 6, pyridine + acétate + F^-	Bleu – jaune
	Zn^{2+}	pH 6 à 6,5, tampon d'urotropine	Bleu – jaune
		pH 12, NH_3	
	Zr^{IV}	pH 1 à 2, acide chloracétique, 90 °C	Bleu – gris Bleu – rouge
	Ga^{3+} , In^{3+}	pH 4,5 à 6, tampon d'acétate	Disparition de la fluorescence

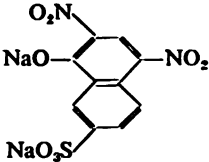
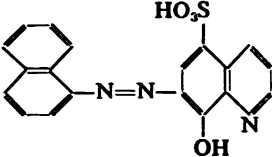
n°	Indicateur	Formule
25	Morine	Voir <i>Tableau 25</i> , n° 25 (p. 248)
26	Murexide	$ \begin{array}{c} \text{HN}-\text{CO} \qquad \text{OC}-\text{NH} \\ \qquad \qquad \qquad \\ \text{OC} \quad \text{C}-\text{N}=\text{C} \quad \text{CO} \\ \qquad \qquad \qquad \\ \text{HN}-\text{C} \qquad \text{OC}-\text{NH} \\ \\ \text{ONH}_4 \cdot \text{H}_2\text{O} \end{array} $
27	Jaune de naphтол	
28	Naphtylazoxine	

Tableau 28 (suite)

Concentration	Ions à doser	Conditions du dosage	Virage lors du titrage direct
	Ga^{3+} , In^{3+}	pH 4,5 à 6, tampon d'acétate	Disparition de la fluorescence
Mélange à 0,2 % d'indicateur et de chlorure de sodium solide	Ca^{2+} Co^{2+} Cu^{2+} Ni^{2+} Ag^{+} Pd^{2+}	<p> $\text{pH} \approx 12$ $\text{pH} 8, \text{NH}_3$ $\text{pH} 7 \text{ à } 8, \text{NH}_3$ $\text{pH} 8,5 \text{ à } 9,5, \text{NH}_3$ </p> <p> $\left. \begin{array}{l} \text{pH } 10 \text{ à } 11,5, \text{NH}_3 \\ \text{Addition de } \text{K}_2\text{Ni}(\text{CH})_4 + \text{NH}_4\text{OH} \end{array} \right\}$ </p>	<p>Rouge → violet</p> <p>Orangé → violet</p> <p>Rouge → violet</p> <p>Jaune → violet</p>
Utilisé en association avec le vert foncé au chrome acide G (n° 19)			
—	Cu^{2+} Mn^{2+} Ni^{2+} Pb^{2+}	<p>pH 3,5 à 6,5, tampon d'acétate</p> <p>pH 9,3, tampon d'ammoniac</p> <p>pH 6,7 à 7,0, tampon d'acétate</p> <p>pH 5,5, à 6,5, tampon d'acétate ou de pyridine</p> <p>pH 6 à 6,5, tampon d'acétate ou de pyridine</p>	<p>Jaune → rouge</p> <p>Jaune-vert → rose</p> <p>Jaune → rouge</p>

n°	Indicateur	Formule
29	Rose d'hydroxy-hydroquinone (hydroxyhydroquinonesulfophtaléine)	
30	(Pyridyl-2-azo)-1-naphtol-2 (PAN)	

* T. R. signifie les terres rares.

Tableau 28 (suite)

Concentration	Ions à doser	Conditions du dosage	Virage lors du titrage direct
Solution aqueuse à 0,1 %	Th ^{IV} , Bi ³⁺	pH 2,4 à 3, tampon d'acétate	Rose → jaune
Solution à 0,1 % dans le méthanol ou l'éthanol	Bi ³⁺ Cd ²⁺ Cu ²⁺ In ³⁺ Ni ²⁺ Th ^{IV} Ti ³⁺ Zn ²⁺ Al ³⁺ , Ca ²⁺ , Co ²⁺ , Fe ³⁺ , Hg ²⁺ , Ga ³⁺ , Mg ²⁺ , Mn ²⁺ , Mo ^V , Ni ²⁺ , Pb ²⁺ , T. R. *, UO ₂ ²⁺ , VO ₂ ²⁺	pH 1 à 3, HNO ₃ pH 5 à 6, tampon d'acétate pH 3 à 5, tampon d'acétate, 70 à 80 °C pH 9 à 10, tampon d'ammoniac, 50 °C pH 2,3 à 2,5, tampon d'acétate, solution chaude pH 4, méthanol à 25 %, 50 à 70 °C pH 2 à 3,5, HNO ₃ pH > 1,8, acide chloracétique, solution chaude pH 4 à 6, tampon d'acétate Titrage en retour par le sel de cuivre (II)	Rouge → jaune-vert Rose → jaune-vert Violet → jaune Rouge → jaune Violet-rouge → jaune Rouge → jaune

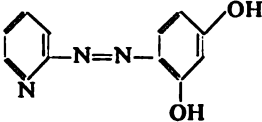
n°	Indicateur	Formule
31	(Pyridyl-2-azo)- 4-résorcine (PAR)	
32	Colorant de Patton-Reeder	Voir
		<p>* T. R. signifie les terres rares.</p>

Tableau 28 (suite)

Concentration	Ions à doser	Conditions du dosage	Virage lors du titrage direct
Solution aqueuse à 0,1 %	Bi^{3+}	pH 1 à 2, HNO_3	Rouge → jaune
	Ti^{3+}	pH 1,7, solution chaude	
	In^{3+}	pH 2,3 à 2,5, 60 à 70°C	
	Hg^{2+}	pH 3 à 6	Rouge → jaune-orangé
	Cd^{2+}	pH 6 à 11,5, tampon d'ammoniac ou d'urotropine	Rouge → jaune
	Cu^{2+}	pH 5, tampon d'acétate pH 6, tampon d'urotropine pH 11,5, tampon d'ammoniac	Rouge vin → jaune ou vert
	Mn^{2+}	pH 9, tampon d'ammoniac	
	Ni^{2+}	pH 5, tampon d'acétate, 90 °C	
	Pb^{2+}	pH 5 à 9,6, tampon d'urotropine ou d'ammoniac	Rouge → jaune
	T. R. * et Y^{3+} Zn^{2+}	pH 6, tampon d'acétate pH 5 à 11,5, tampon d'urotropine ou d'ammoniac	Rouge → jaune Rouge → jaune

Calcess, n° 15

--	--	--	--

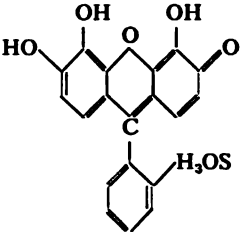
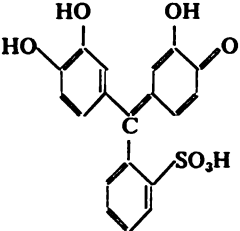
n°	Indicateur	Formule
33	Rouge de pyrogallol	
34	Violet de pyrocathéchol (pyrocathéchol-sulfophtaléine)	

Tableau 28 (suite)

Concentration	Ions à doser	Conditions du dosage	Virage lors du titrage direct
Solution à 0,05 % dans l'éthanol à 50 %	Bi ³⁺	pH 2 à 3, HNO ₃	Rouge → orangé-jaune
	Co ²⁺ , Ni ²⁺	pH 9,3, tampon d'ammoniac	Bleu → rouge vin
	Pb ²⁺	pH 5 à 6, tampon d'acétate	Violet → rouge
	Cu ²⁺ , Fe ³⁺ , Ga ³⁺ , In ³⁺ , Pd ²⁺ , Th ^{IV}	Titration en retour par le sel de plomb ou de bismuth	
Solution aqueuse à 0,1 %	Bi ³⁺	pH 2 à 3, HNO ₃	Bleu → jaune
	Cd ²⁺	pH 10, tampon d'ammoniac	Bleu verdâtre → rouge-violet
	Co ²⁺	pH 9,3, tampon d'ammoniac	
	Ni ²⁺	pH 8 à 9,3, tampon d'ammoniac	
	Cu ²⁺	pH 5 à 6,5, tampon d'acétate	Bleu → jaune
		pH 6 à 7, tampon de pyridine	
		pH 9,3, tampon d'ammoniac	Bleu → rouge-violet
	Fe ³⁺	pH 5 à 6, tampon de pyridine-acétate	Bleu → jaune-vert
	Ga ³⁺	pH 3 à 3,8, tampon d'acétate	Bleu → jaune
	In ³⁺	pH 5, tampon d'acétate, solution chaude	Bleu → jaune
	Mg ²⁺ , Zn ²⁺	pH 10, tampon d'ammoniac	Bleu verdâtre → rouge-violet
	Mn ²⁺	pH 9,3, tampon d'ammoniac + NH ₂ OH	

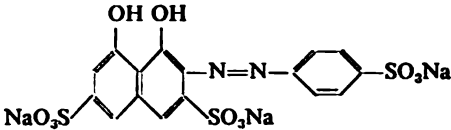
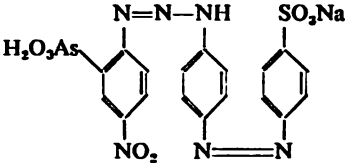
n°	Indicateur	Formule
35	SPADNS	
36	Sulfarsazène (plumbone)	

Tableau 28 (suite)

Concentration	Ions à doser	Conditions du dosage	Virage lors du titrage direct
	Th^{IV} Pb^{2+} $\left. \begin{array}{l} \text{Al}^{3+}, \\ \text{Fe}^{3+}, \\ \text{Ga}^{3+}, \\ \text{In}^{3+}, \\ \text{Pd}^{2+}, \\ \text{Th}^{\text{IV}}, \\ \text{Tl}^{3+}, \\ \text{Sn}^{\text{IV}} \end{array} \right\}$	<p>$\text{pH } 2,5 \text{ à } 3,5, \text{HNO}_3, 40^\circ\text{C}$</p> <p>$\text{pH } 5,5, \text{tampon d'urotropine}$</p> <p>Titration en retour par le sel de cuivre (II) ou de bismuth</p> <p>$\text{pH } 5, \text{titration en retour par le sel de zinc, } 70 \text{ à } 80^\circ\text{C}$</p>	<p>Rouge → jaune</p> <p>Bleu → jaune</p>
<p>Solution aqueuse à 0,4 %</p> <p>Solution aqueuse à 0,02 %</p>	Zr^{IV} Th^{IV}	<p>$\text{pH } 1,5 \text{ à } 2,5, \text{HNO}_3$</p> <p>$\text{pH } 2,5 \text{ à } 3,5, \text{HNO}_3$</p>	<p>Rouge-rose → orangé-rouge</p> <p>Violet-bleu → rouge-pourpre</p>
<p>Solution aqueuse à 0,05 % avec l'addition de 1 à 2 gouttes de solution d'ammoniac à 5 %</p>	Pb^{2+} Zn^{2+}	<p>$\text{pH } 9,8 \text{ à } 10 \text{ en présence de l'acide tartrique et de l'ammoniac}$</p> <p>$\text{pH } 9,3 \text{ à } 9,6 \text{ en présence de l'acide tartrique et de l'ammoniac}$</p>	<p>Orangé-rose → jaune citron</p> <p><i>Idem</i></p>

n°	Indicateur	Formule
37	Sulfonazo	
38	Acide sulfosalicylique	
39	Thymolphthalexone	

Tableau 28 (suite)

Concentration	Ions à doser	Conditions du dosage	Virage lors du titrage direct
Solution aqueuse à 0,02 %	Sc ³⁺ In ³⁺	pH 5	Bleu → violet-rose Bleu-violet → violet-rose
Solution aqueuse à 5 %	Fe ³⁺	pH 2 à 3, tampon d'acétate, solution chaude	Rouge → jaune
Solution aqueuse à 0,5 % ou mélange solide de KNO ₃ en proportion 1 : 100	Ba ²⁺ , Sr ²⁺ , Ca ²⁺ , Mn ²⁺	pH 10 à 11, NaOH ou NH ₃ pH 10,5 à 12, NaOH ou NH ₃ pH 10 à 11, NH ₃ , NaOH	Bleu → gris ou incolore

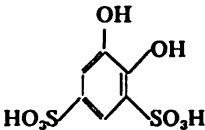
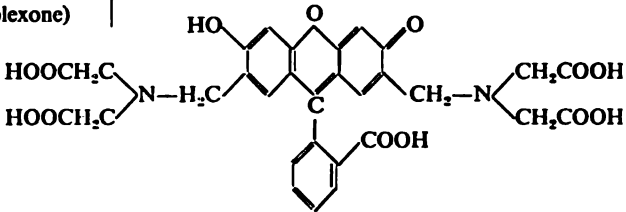
n°	Indicateur	Formule
40	Thio-urée	$\begin{array}{c} \text{H}_2\text{N}-\text{C}-\text{NH}_2 \\ \parallel \\ \text{S} \end{array}$
41	Tirone (acide disulfo-3,5-dioxy-1,2-benzoi-que)	
42	Toron (torine, APANS)	Voir <i>Tableau 49</i> , n° 92 (p. 472)
43	Fluorexone (calcéine, fluorescéine-complexone)	

Tableau 28 (suite)

Concentration	Ions à doser	Conditions du dosage	Virage lors du titrage direct
Solution aqueuse	Bi^{3+}	$\text{pH } 1,5 \text{ à } 2,0$, HNO_3 ou HClO_4	Jaune \rightarrow incolore
Solution aqueuse à 2 %	Fe^{3+}	$\text{pH } 2 \text{ à } 3$; tampon d'acétate, solution chaude	Bleu \rightarrow incolore
Solution aqueuse	Bi^{3+} Th^{IV} U^{IV}	$\text{pH } 2 \text{ à } 3$, HNO_3 $\text{pH } 1 \text{ à } 3$, HNO_3 $\text{pH } 1 \text{ à } 1,8$, 30°C	Rouge \rightarrow jaune Violet \rightarrow jaune Rouge-orangé \rightarrow orangé-jaune
Solution aqueuse à 2 % ou mélange solide de KNO_3 en proportion 1 : 100	Ca^{2+} Ba^{2+} , Sr^{2+} Cu^{2+} Mn^{2+}	$\text{pH} > 12$, KOH ou NaOH $\text{pH } 11,5$, NH_3 ou $\text{pH } 12,5$, KOH $\text{pH } 10 \text{ à } 11$, tampon d'ammoniac $\text{pH } 8 \text{ à } 11$, tampon d'ammoniac + NH_2OH	Fluorescence bleue ou verte Fluorescence rose, presque incolore

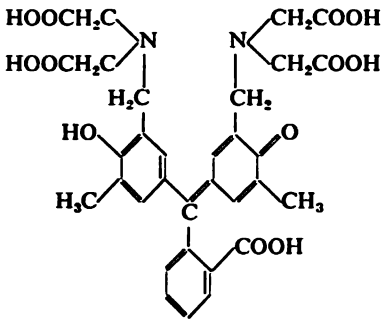
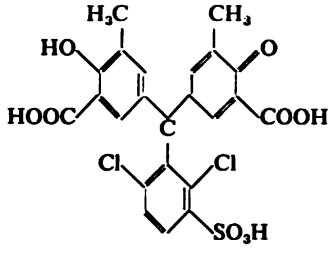
n°	Indicateur	Formule
44	Phtaléine-complexone (métalphtaléine, pourpre phtaléine, cré-solphtalexone)	
45	Chromazurol S (bleu brillant B, Erio au chromazurol S, albéron)	

Tableau 28 (suite)

Concentration	Ions à doser	Conditions du dosage	Virage lors du titrage direct
a. Solution aqueuse à 0,5 % b. Mélange de 0,1 g de phtaléinecomplexone, de 0,005 g de rouge de méthyle et de 0,005 g de vert de diamine à 100 ml d'eau	Ba ²⁺ , Sr ²⁺ Mg ²⁺ Ca ²⁺ Cd ²⁺	pH 10,5 à 11, addition de l'éthanol pH 10 à 11, NH ₃ , addition de l'éthanol pH 10 à 11 pH 10, tampon d'ammoniac + 30 % d'éthanol	a. Rouge-violet → rose pâle ou incolore b. Rouge → gris clair
Solution aqueuse à 0,4 %	Al ³⁺ Ca ²⁺ Cu ²⁺ Fe ³⁺ Mg ²⁺ Ni ²⁺ T. R. ³⁺ Th ^{IV} VO ²⁺	pH 4, tampon d'acétate, 80 °C pH 11 ; NH ₃ pH 6 à 6,5, tampon d'acétate pH 8 à 10, NH ₃ pH 2 à 3, tampon de chloroacétique-acétate, 60 °C pH 11, NH ₃ pH 11, NH ₃ pH 8, pyridine + NH ₃ pH 1 à 3, HNO ₃ pH 4, tampon d'acétate	Violet → jaune-orangé Rouge orangé pâle → jaune Bleu ou bleu-violet → vert Violet → jaune ou jaune-vert Bleu verdâtre → jaune-orangé Rouge boue → jaune Bleu-violet → jaune Violet → jaune Rouge-violet → orangé Bleu-violet → rouge-orangé

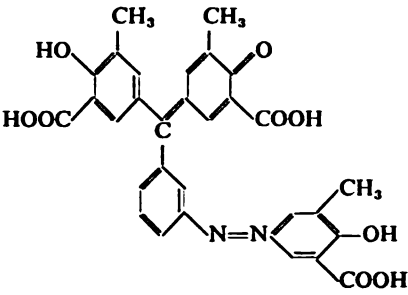
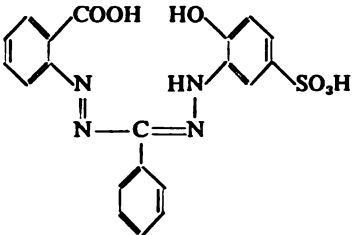
n°	Indicateur	Formule
46		Noir de chromogène spécial ET 00
47	Vert de chromoxane GG	 <p>The structure shows a central carbon atom double-bonded to two benzene rings. The left benzene ring has a methyl group (CH₃) at position 2, a hydroxyl group (HO) at position 3, and a carboxylic acid group (HOOC) at position 4. The right benzene ring has a methyl group (CH₃) at position 2, a carbonyl group (C=O) at position 3, and a carboxylic acid group (COOH) at position 4. The central carbon is also single-bonded to a phenyl ring, which is connected via an azo group (-N=N-) to another phenyl ring. This second phenyl ring has a methyl group (CH₃) at position 2, a hydroxyl group (OH) at position 3, and a carboxylic acid group (COOH) at position 4.</p>
48	Zincon	 <p>The structure features a central carbon atom double-bonded to two nitrogen atoms. One nitrogen is part of an azo group (-N=N-) connected to a phenyl ring with a carboxylic acid group (COOH) at position 2. The other nitrogen is connected to a benzene ring with a hydroxyl group (HO) at position 2 and a sulfonic acid group (SO₃H) at position 4. The central carbon is also single-bonded to a phenyl ring.</p>

Tableau 28 (suite)

Concentration	Ions à doser	Conditions du dosage	Virage lors du titrage direct
(Voir Noir au chrome acide spécial, n° 20)			
—	Mg^{2+} , Ca^{2+} Cu^{2+} Ni^{2+} Th^{IV} VO^{2+}	pH 11 pH 8 pH 11 pH 4,8 pH 4	Rouge – vert Rouge – orangé Rouge – vert Violet – rouge
0,130 g d'indicateur et 2 ml de solution de NaOH 1 M dans 100 ml d'eau	Ca^{2+} , Ge^{IV} , Co^{2+} , Cu^{2+} , Fe^{3+} , In^{3+} , Mn^{2+} , Pb^{2+} , Zn^{2+}	pH 9 à 10, titrage en retour par le sel de zinc pH 9 à 10, tampon d'ammoniac	Bleu – jaune

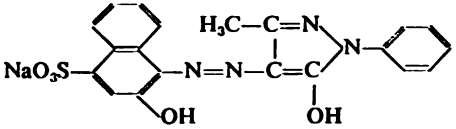
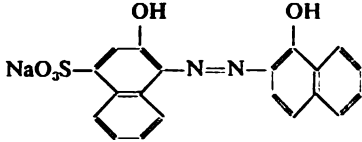
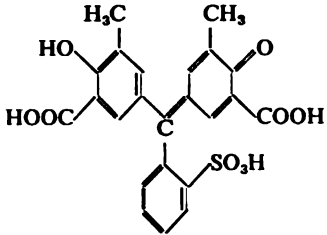
n°	Indicateur	Formule
49	Rouge Eriochrome B	
50	Bleu-noir Eriochrome B	
51	Eriochrome- cyanine R	
52	Noir Eriochrome T	(Voir Noir au chrome acide spécial, n° 20)

Tableau 28 (suite)

Concentration	Ions à doser	Conditions du dosage	Virage lors du titrage direct
—	Ca^{2+} Cu^{2+} Mn^{2+} Ni^{2+} Pb^{2+} Zn^{2+}	<p>pH 10, tampon d'ammoniac</p> <p>pH 2, acide chloracétique</p> <p>pH 4, tampon d'acétate</p> <p>pH 8 à 10, tampon d'ammoniac, acide ascorbique</p> <p>pH 4 à 6, tampon d'acétate</p> <p>pH 10, tampon d'ammoniac, tartrate</p> <p>pH 6,5, tampon d'urotropine</p>	<p>Rouge → jaune</p> <p>Pourpre → jaune</p> <p>Pourpre → vert</p> <p>Rouge → jaune</p> <p>Pourpre → jaune pâle</p> <p>Orangé-rouge → jaune</p> <p>Rouge → jaune</p>
Solution à 0,4 % dans le méthanol	Ca^{2+} , Cd^{2+} Mg^{2+} , Zn^{2+} U^{IV} Zr^{IV}	<p>pH 11,5, NH_3</p> <p>pH 10, tampon d'ammoniac</p> <p>HCl 0,01 à 0,2 M, solution chaude</p> <p>HCl 0,01 à 0,5 M, solution chaude, méthanol à 50 %</p>	<p>Rouge → bleu</p> <p>Rouge → bleu</p> <p>Bleu → rouge</p> <p>Bleu → rouge</p>
Solution aqueuse à 0,4 %	Al^{3+} Zr^{IV} Fe^{3+} Th^{IV}	<p>pH 5 à 6,3, tampon d'acétate, titrage en retour par le sel de zinc, 70 à 80 °C</p> <p>pH 1,4, solution chaude</p> <p>pH 2 à 3, acide chloracétique-acétate, 60 °C</p> <p>pH 2 à 2,5</p>	<p>Jaune → violet</p> <p>Rose → incolore</p> <p>Violet → jaune ou vert</p> <p>Pourpre → rose</p>

Tableau 29

Conversion de l'indice d'hydrogène (pH) en activité des ions hydrogène (a_{H^+}) et inversement

Le *Tableau 29* peut être utilisé pour la conversion des indices de produit de solubilité pPS en produit de solubilité PS , des constantes pK en constantes K et dans les autres cas analogues.

Dixièmes de pH	Centièmes de pH									
	,00	,01	,02	,03	,04	,05	,06	,07	,08	,09
	Valeurs de a_{H^+}									
,0	1,000	0,977	0,955	0,933	0,912	0,891	0,871	0,851	0,832	0,813
,1	0,794	0,766	0,759	0,741	0,725	0,708	0,692	0,676	0,661	0,646
,2	0,631	0,617	0,603	0,589	0,575	0,562	0,550	0,537	0,525	0,513
,3	0,501	0,490	0,479	0,468	0,457	0,447	0,437	0,427	0,417	0,407
,4	0,398	0,389	0,380	0,372	0,363	0,355	0,347	0,339	0,331	0,324
,5	0,316	0,309	0,302	0,295	0,288	0,282	0,275	0,269	0,263	0,257
,6	0,251	0,245	0,240	0,234	0,229	0,224	0,219	0,214	0,209	0,204
,7	0,200	0,195	0,191	0,186	0,182	0,178	0,174	0,170	0,166	0,162
,8	0,158	0,155	0,151	0,148	0,145	0,141	0,138	0,135	0,132	0,129
,9	0,126	0,123	0,120	0,117	0,115	0,112	0,110	0,107	0,105	0,102

d Pour calculer a_{H^+} d'après une valeur donnée du pH, on trouve dans la première colonne la première décimale d'une mantisse de la valeur du pH et dans la première ligne, sa deuxième décimale. Ensuite, au point de croisement des lignes partant des chiffres trouvés, on obtient une valeur de a_{H^+} . On multiplie cette valeur par 10 à la puissance égale à la caractéristique de pH changée de signe. Par exemple : $pH = 6,27$; $a_{H^+} = 0,537 \cdot 10^{-6}$.

Pour calculer le pH d'après une valeur connue de a_{H^+} , on recalcule cette dernière de façon qu'elle s'exprime par le nombre commençant par 0 et multiplié par 10 à une certaine puissance négative. Ensuite on trouve ce nombre (ou un nombre proche) au milieu du *Tableau 29* et en s'avancant à gauche et vers le haut de ce nombre, on obtient les deux décimales dans la valeur du pH. La valeur du pH sera égale à la puissance de 10 dans le nombre a_{H^+} , mais au signe positif. Par exemple, $a_{H^+} = 2,41 \cdot 10^{-7} = 0,241 \cdot 10^{-6}$ $pH = 6,62$.

Tableau 30

Préparation des solutions tampons (pH de 1,10 à 12,90, température 20 °C)

Réactifs de départ

- Solution n° 1 acide chlorhydrique 0,1 N
- Solution n° 2 glycocolle (acide aminoacétique, glycine)
 $\text{NH}_2\text{CH}_2\text{COOH}$ 0,1 N (7,507 g de glycocolle + 5,85 g de NaCl dans 1 l)
- Solution n° 3 hydrophthalate de potassium $\text{KHC}_8\text{H}_4\text{O}_4$ 0,2 M
(40,846 g dans 1 l)
- Solution n° 4 citrate de sodium 0,1 M (21,014 g de $\text{H}_3\text{C}_6\text{H}_5\text{O}_7 \cdot \text{H}_2\text{O}$ + 200 ml de solution de NaOH 1 N dans 1 l)
- Solution n° 5 soude caustique 0,1 N
- Solution n° 6 dihydrophosphate de potassium 1/15 M (9,073 g de KH_2PO_4 dans 1 l)
- Solution n° 7 hydrophosphate de sodium 1/15 M (11,866 g de $\text{Na}_2\text{HPO}_4 \cdot 2\text{H}_2\text{O}$ dans 1 l)
- Solution n° 8 tétraborate de sodium 0,05 M (12,367 g de H_3BO_3 + 100 ml de solution de NaOH 1 N dans 1 l)

Le chlorure de sodium « c. p. »* est deux fois recristallisé et séché à 120 °C ; l'acide borique « c. p. » est deux fois recristallisé à partir de l'eau bouillante et séché à une température ne dépassant pas 80 °C ; le dihydrophosphate de potassium « c. p. » est deux fois recristallisé et séché à 110-120 °C ; l'hydrophosphate de sodium « c. p. » est deux fois recristallisé (lors de la dernière cristallisation la température de la solution ne doit pas dépasser 90 °C), ensuite, il est humidifié à l'eau et séché dans le thermostat à 36 °C pendant 48 h ; l'acide citrique « c. p. » est deux fois recristallisé (lors de la dernière cristallisation la température ne doit pas dépasser 60 °C) ; l'hydrophthalate de sodium est deux fois recristallisé et séché à 110-120 °C.

* c. p. signifie chimiquement pur

Tableau 30 (suite)

A. Solutions tampons au pH de 1,10 à 3,50 (HCl-NH₄CH₂COOH)

Chacun des volumes de solution indiqués ci-après (solution n° 2, voir p. 293) est porté à 100 ml avec de la solution n° 1 (voir p. 293)

[illegible]

Tableau 30 (suite)

B. Solutions tampons au pH de 1,10 à 4,96 ($\text{HCl-NaH}_2\text{C}_6\text{H}_5\text{O}_7$)

Chacun des volumes de solution indiqués ci-après (solution n° 4, p. 293) est porté à 100 ml avec de la solution n° 1 (p. 293)

pH	0	1	2	3	4	5	6	7	8	9
1,1	4,8	5,6	6,4	7,1	7,8	8,4	9,0	9,6	10,1	10,6
2	11,1	11,6	12,1	12,5	13,0	13,5	14,0	14,5	14,9	15,4
3	15,9	16,2	16,6	16,9	17,3	17,6	17,9	18,3	18,6	19,0
4	19,3	19,6	19,9	20,2	20,5	20,8	21,1	21,4	21,6	21,9
5	22,2	22,4	22,7	22,9	23,2	23,4	23,6	23,9	24,1	24,4
6	24,6	24,8	25,0	25,2	25,4	25,6	25,8	26,0	26,1	26,3
7	26,5	26,7	26,9	27,0	27,2	27,4	27,6	27,7	27,9	28,0
8	28,2	28,3	28,5	28,6	28,8	28,9	29,0	29,1	29,3	29,4
9	29,5	29,6	29,7	29,9	30,0	30,1	30,2	30,3	30,4	30,5
2,0	30,6	30,7	30,8	31,0	31,1	31,2	31,3	31,4	31,5	31,6
1	31,7	31,8	31,9	31,9	32,0	32,1	32,2	32,3	32,4	32,5
2	32,6	32,7	32,8	32,9	33,0	33,1	33,2	33,3	33,4	33,5
3	33,6	33,7	33,8	33,8	33,9	34,0	34,1	34,2	34,3	34,4
4	34,5	34,6	34,7	34,8	34,9	35,0	35,1	35,2	35,2	35,3
5	35,4	35,5	35,6	35,7	35,8	35,9	36,0	36,1	36,2	36,3
6	36,4	36,5	36,6	36,7	36,8	36,9	37,0	37,1	37,1	37,2
7	37,3	37,4	37,5	37,6	37,7	37,8	37,9	38,0	38,1	38,2
8	38,3	38,4	38,5	38,6	38,7	38,8	38,9	39,0	39,1	39,2
9	39,3	39,4	39,5	39,6	39,7	39,8	39,9	40,0	40,1	40,2
3,0	40,3	40,4	40,5	40,7	40,8	40,9	41,0	41,1	41,3	41,4
1	41,5	41,6	41,7	41,8	41,9	42,0	42,1	42,3	42,4	42,6
2	42,7	42,8	42,9	43,1	43,2	43,3	43,4	43,6	43,7	43,9
3	44,0	44,1	44,3	44,4	44,6	44,7	44,8	45,0	45,1	45,3
4	45,4	45,5	45,7	45,8	46,0	46,1	46,2	46,4	46,5	46,7
5	46,8	47,0	47,1	47,3	47,4	47,6	47,8	47,9	48,1	48,2
6	48,4	48,6	48,8	48,9	49,1	49,3	49,5	49,6	49,8	49,9
7	50,1	50,3	50,5	50,6	50,8	51,0	51,2	51,4	51,5	51,7
8	51,9	52,1	52,3	52,5	52,7	52,9	53,1	53,3	53,4	53,6
9	53,8	54,0	54,2	54,5	54,7	54,9	55,1	55,3	55,6	55,8
4,0	56,0	56,3	56,5	56,8	57,0	57,3	57,5	57,8	58,0	58,3
1	58,5	58,7	59,0	59,2	59,5	59,7	60,0	60,3	60,5	60,8

Tableau 30 (suite)

E. Solutions tampons au pH de 4,96 à 6,69 ($\text{NaOH-NaH}_2\text{C}_6\text{H}_5\text{O}_7$)

Chacun de volumes de solution indiqués ci-après (solution n° 5, p. 293) est porté à 100 ml avec de la solution n° 4 (p. 293)

pH	0	1	2	3	4	5	6	7	8	9
4,9	—	—	—	—	—	—	0,0	0,9	1,8	2,7
5,0	3,6	4,3	5,0	5,6	6,3	7,0	7,5	8,1	8,6	9,2
1	9,7	10,2	10,8	11,3	11,9	12,4	12,9	13,4	13,9	14,4
2	14,9	15,4	15,9	16,5	17,0	17,5	17,9	18,3	18,8	19,2
3	19,6	20,0	20,4	20,8	21,2	21,6	22,0	22,4	22,9	23,3
4	23,7	24,1	24,5	24,9	25,3	25,7	26,1	26,5	26,9	27,3
5	27,7	28,0	28,4	28,7	29,1	29,4	29,7	30,0	30,4	30,7
6	31,0	31,3	31,6	31,9	32,2	32,5	32,8	33,1	33,4	33,7
7	34,0	34,3	34,5	34,8	35,0	35,3	35,5	35,8	36,0	36,2
8	36,4	36,6	36,8	37,1	37,3	37,5	37,7	37,9	38,1	38,3
9	38,5	38,7	38,9	39,1	39,3	39,5	39,7	39,9	40,0	40,2
6,0	40,4	40,6	40,8	41,0	41,2	41,4	41,5	41,6	41,7	41,9
1	42,0	42,1	42,3	42,4	42,6	42,7	42,8	43,0	43,1	43,3
2	43,4	43,5	43,6	43,8	44,0	44,1	44,2	44,3	44,4	44,5
3	44,6	44,7	44,8	44,9	45,0	45,1	45,2	45,3	45,3	45,4
4	45,5	45,6	45,7	45,7	45,8	45,9	46,0	46,1	46,1	46,2
5	46,3	46,4	46,5	46,5	46,6	46,7	46,8	46,8	46,9	46,9
6	47,0	47,1	47,1	47,2	47,2	47,3	47,3	47,4	47,4	47,5

F. Solutions tampons au pH de 4,80 à 8,00 ($\text{KH}_2\text{PO}_4\text{-Na}_2\text{HPO}_4$)

Chacun de volumes de solution indiqués ci-après (solution n° 7, p. 293) est porté à 100 ml avec de la solution n° 6 (p. 293)

pH	0	1	2	3	4	5	6	7	8	9
4,8	0,35	0,37	0,39	0,41	0,43	0,45	0,48	0,51	0,54	0,57
9	0,60	0,63	0,66	0,69	0,72	0,75	0,79	0,83	0,87	0,91

Tableau 30 (suite)

G. Solutions tampons au pH de 7,71 à 9,23 ($\text{Na}_2\text{B}_4\text{O}_7\text{-HCl}$)

Chacun de volumes de solution indiqués ci-après (solution n° 8, p. 293) est porté à 100 ml avec de la solution n° 1 (p. 293)

pH	0	1	2	3	4	5	6	7	8	9
7,7	—	52,5	52,6	52,7	52,8	52,9	53,0	53,1	53,2	53,3
8	53,4	53,5	53,6	53,7	53,85	53,95	54,1	54,25	54,4	54,55
9	54,65	54,75	54,85	55,0	55,1	55,25	55,35	55,5	55,6	55,75
8,0	55,85	56,0	56,1	56,25	56,35	56,5	56,6	56,75	56,9	57,0
1	57,15	57,25	57,4	57,5	57,65	57,8	57,95	58,1	58,3	58,45
2	58,65	58,8	59,0	59,2	59,4	59,6	59,8	60,0	60,2	60,45
3	60,7	60,95	61,15	61,4	61,6	61,85	62,05	62,3	62,5	62,7
4	62,95	63,2	63,45	63,65	63,9	64,1	64,35	64,55	64,8	65,0
5	65,25	65,5	65,75	66,05	66,3	66,6	66,9	67,2	67,5	67,75
6	68,0	68,25	68,55	68,8	69,1	69,4	69,7	70,0	70,4	70,8
7	71,2	71,6	72,0	72,4	72,8	73,2	73,6	74,0	74,5	75,0
8	75,5	76,0	76,5	77,0	77,5	78,0	78,5	79,0	79,5	80,0
9	80,5	81,0	81,5	82,0	82,5	83,0	83,5	84,0	84,5	85,0
9,0	85,6	86,25	86,9	87,5	88,1	88,75	89,4	90,0	91,6	91,25
1	91,9	92,5	93,1	93,75	94,4	95,0	95,6	96,25	96,9	97,5
2	98,1	98,75	99,4	100,0						

H. Solutions tampons au pH de 9,23 à 11,02 ($\text{Na}_2\text{B}_4\text{O}_7\text{-NaOH}$)

Chacun de volumes de solution indiqués ci-après (solution n° 5, p. 293) est porté à 100 ml avec de la solution n° 8 (p. 293)

pH	0	1	2	3	4	5	6	7	8	9
9,2	—	—	—	0,72	2,16	3,60	4,90	6,05	7,10	8,05
3	8,90	9,60	10,3	11,0	11,7	12,4	13,0	13,6	14,2	14,8
4	15,4	16,0	16,6	17,2	17,7	18,2	18,8	19,4	20,0	20,5
5	21,0	21,6	22,2	22,8	23,4	23,9	24,5	25,1	25,7	26,3
6	26,8	27,4	28,0	28,6	29,2	29,8	30,3	30,8	31,3	31,8

Tableau 30 (suite)

pH	0	1	2	3	4	5	6	7	8	9
7	32,3	32,8	33,3	33,7	34,1	34,5	34,9	35,3	35,7	36,0
8	36,3	36,6	36,9	37,2	37,5	37,7	38,0	38,3	38,6	38,8
9	39,0	39,3	39,6	39,8	40,0	40,2	40,4	40,6	40,8	40,9
10,0	41,0	41,2	41,4	41,6	41,8	41,9	42,1	42,3	42,5	42,6
1	42,7	42,9	43,1	43,2	43,3	43,4	43,6	43,7	43,8	43,9
2	44,0	44,2	44,3	44,4	44,5	44,6	44,8	44,9	45,0	45,1
3	45,2	45,4	45,5	45,6	45,7	45,8	45,9	46,0	46,1	46,2
4	46,3	46,4	46,5	46,6	46,7	46,8	46,9	46,95	47,05	47,1
5	47,2	47,3	47,35	47,45	47,5	47,6	47,7	47,75	47,85	47,9
6	48,0	48,05	48,1	48,2	48,25	48,3	48,35	48,4	48,5	48,55
7	48,6	48,65	48,7	48,75	48,8	48,85	48,9	48,95	49,0	49,05
8	49,1	49,15	49,2	49,2	49,25	49,3	49,35	49,4	49,4	49,45
9	49,5	49,55	49,6	49,6	49,65	49,7	49,75	49,8	49,8	49,85
11,0	49,9	49,95	50,0							

I. Solutions tampons au pH de 8,53 à 12,90 (NH₂CH₂COOH-NaOH)

Chacun de volumes de solution indiqués ci-après (solution n° 5, p. 293) est porté à 100 ml avec de la solution n° 2 (p. 293)

pH	0	1	2	3	4	5	6	7	8	9
8,5	—	—	—	5,00	5,11	5,22	5,33	5,44	5,56	5,68
6	5,80	5,92	6,04	6,16	6,28	6,41	6,54	6,68	6,82	6,96
7	7,10	7,24	7,38	7,52	7,66	7,81	7,96	8,12	8,28	8,44
8	8,60	8,77	8,94	9,12	9,30	9,48	9,66	9,84	10,02	10,21
9	10,4	10,6	10,8	11,0	11,2	11,4	11,6	11,8	12,0	12,2
9,0	12,4	12,6	12,8	13,0	13,2	13,4	13,6	13,8	14,0	14,3
1	14,6	14,8	15,1	15,3	15,6	15,8	16,0	16,3	16,5	16,8
2	17,0	17,2	17,4	17,6	17,9	18,2	18,5	18,8	19,1	19,4
3	19,7	19,9	20,1	20,3	20,5	20,8	21,1	21,4	21,7	22,0
4	22,3	22,5	22,8	23,1	23,4	23,7	24,0	24,3	24,6	24,9

Tableau 31

Solutions tampons acéto-acétiques

Pour préparer une solution tampon ayant une valeur du pH requise, on jauge le volume indiqué de solution d'acide acétique 1 N, on y ajoute 50,0 ml de solution de soude 1 N et on la dilue avec de l'eau distillée à 500 ml.

pH	Acide acétique 1 N (ml)	pH	Acide acétique 1 N (ml)	pH	Acide acétique 1 N (ml)
3,8	421,5	4,67	100,0	5,5	57,4
3,9	345,1	4,7	96,8	5,6	55,9
4,0	284,4	4,8	87,2	5,7	54,7
4,1	236,2	4,9	79,5	5,8	53,7
4,2	197,9	5,0	73,4	5,9	53,0
4,3	167,4	5,1	68,6	6,0	52,3
4,4	143,3	5,2	64,8	6,1	51,9
4,5	124,1	5,3	61,7	6,2	51,5
4,6	108,9	5,4	59,3	6,3	51,2

Tableau 32

Mélange tampon universel

On prépare la solution de mélange d'acides phosphorique, acétique et borique à 0,04 M respectivement. Pour obtenir le mélange tampon à une valeur du pH requise, on verse le volume indiqué de solution de NaOH 0,2 N dans ce mélange.

NaOH 0,2 N (ml)	pH	NaOH 0,2 N (ml)	pH	NaOH 0,2 N (ml)	pH	NaOH 0,2 N (ml)	pH
0	1,81	25,0	4,10	50,0	6,80	75,0	9,62
2,5	1,89	27,5	4,35	52,5	7,00	77,5	9,91
5,0	1,98	30,0	4,56	55,0	7,24	80,0	10,38
7,5	2,09	32,5	4,78	57,5	7,54	82,5	10,88
10,0	2,21	35,0	5,02	60,0	7,96	85,0	11,20
12,5	2,36	37,5	5,33	62,5	8,36	87,5	11,40
15,0	2,56	40,0	5,72	65,0	8,69	90,0	11,58
17,5	2,87	42,5	6,09	67,5	8,95	92,5	11,70
20,0	3,29	45,0	6,37	70,0	9,15	95,0	11,82
22,5	3,78	47,5	6,59	72,5	9,37	100,0	11,98

Tableau 33

Solutions tampons à partir des substances individuelles

Substance	pH
Solution saturée d'hydrotartrate de potassium (~0,025 M) $\text{KHC}_4\text{H}_4\text{O}_6$ (m.m. 188, 183)	3,59 (16 °C)
Solution saturée de pipérazine-phosphate *	6,36 (16 °C)
(~0,065 M) $\text{C}_4\text{H}_{12}\text{N}_2\text{HPO}_4 \cdot \text{H}_2\text{O}$ (m.m. 202, 148)	6,34 (18 °C)
Solution de tétraborate de sodium 0,05 M	9,18 (25 °C)
$\text{Na}_2\text{B}_4\text{O}_7 \cdot 10\text{H}_2\text{O}$ (m.m. 381, 37)	9,07 (38 °C)

* On prépare du pipérazine-phosphate en mélangeant à la température ambiante les quantités équimoléculaires de pipérazine et d'acide phosphorique, puis on cherche à former des cristaux lamellaires blancs.

Tableau 34

Détermination des potentiels d'électrode

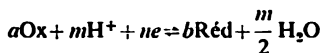
Pour la réaction



l'expression mathématique de la valeur du potentiel d'une électrode métallique immergée dans une solution renfermant les ions de ce métal est déterminée par la formulee

$$E_{\text{Me}^{n+}/\text{Me}^0} = E_{\text{Me}^{n+}/\text{Me}^0}^0 + \frac{RT}{nF} \ln a_{\text{Me}^{n+}}$$

Pour la réaction d'oxydo-réduction dans laquelle interviennent les ions hydrogène



la valeur du potentiel d'une électrode plate en platine ou en un autre métal noble, immergée dans la solution de mélange des formes oxydée et réduite d'un composé donné, est définie par la formule

$$E_{\text{Ox/Réd}} = E_{\text{Ox/Réd}}^0 + \frac{RT}{nF} \ln \frac{a_{\text{Ox}}^a}{a_{\text{Réd}}^b} a_{\text{H}^+}^m$$

Si les ions hydrogène n'interviennent pas dans une réaction donnée, la formule prend l'aspect

$$E_{\text{Ox/Réd}} = E_{\text{Ox/Réd}}^0 + \frac{RT}{nF} \ln \frac{a_{\text{Ox}}^a}{a_{\text{Réd}}^b}$$

Dans toutes ces formules

E est le potentiel d'électrode ;

E^0 , une constante caractéristique d'une réaction donnée ;

R , la constante des gaz ;

T , la température absolue ;

n , le nombre d'électrons intervenant dans la réaction ;

F , le nombre de Faraday (96 500 coulombs) ;

$a_{\text{Me}^{n+}}$, a_{Ox} , $a_{\text{Réd}}$, a_{H^+} , les activités des constituants intervenant dans la réaction ;

a , b , m , les coefficients stœchiométriques de ces constituants.

Tableau 34 (suite)

En passant des logarithmes naturels aux logarithmes décimaux, on obtient (à $n=1$)

$$E_{\text{Ox/Réd}} = E_{\text{Ox/Réd}}^0 + \theta \lg \frac{a_{\text{Ox}}^a}{a_{\text{Réd}}^b} a_{\text{H}^+}^m$$

La valeur de θ , égale à $0,0591 + 0,0002 (t - 25 \text{ }^\circ\text{C})$ à la température de 0 à $50 \text{ }^\circ\text{C}$, est donnée dans le *Tableau 34*, A.

Lorsque a_{Ox} , $a_{\text{Réd}}$ et a_{H^+} ou $a_{\text{Me}^{n+}}$ sont égales à l'unité,

$$E = E^0$$

Par convention on prend la grandeur E^0 pour *potentiel normal d'électrode*. On représente un système d'oxydo-réduction sous la forme d'une réaction de réduction :



La mesure du potentiel d'une électrode isolée n'est pas réalisable, c'est pourquoi on mesure la force électromotrice (f.é.m.) d'une pile galvanique comprenant deux demi-piles ; la valeur de la f.é.m. est égale à la différence des potentiels d'électrode de ces demi-piles. Si les piles galvaniques sont toujours constituées d'une même demi-pile dont le potentiel d'électrode est de valeur constante et de différents autres demi-piles, alors après avoir mesuré la f.é.m., on peut trouver les valeurs des potentiels d'électrode des systèmes d'oxydo-réduction par rapport au potentiel d'une demi-pile choisie, qui sert, dans ce cas, d'électrode de référence ($E_{\text{réf}}$).

On utilise comme demi-pile de référence l'électrode normale à hydrogène (ENH) constituée d'électrode de platine platiné immergée dans une solution d'acide, où $a_{\text{H}^+}=1$ (solution de H_2SO_4 1 N) sous une pression d'hydrogène purifié en phase gazeuse, qui est égale à 1 atm. La convention revient à prendre le potentiel d'électrode normale à hydrogène ($E_{\text{H}^+/\text{H}_2}^0$) pour égal à zéro, cette convention vaut pour toute température.

Les potentiels normaux (E^0) de divers systèmes d'oxydo-réduction (rédox) rapportés au potentiel d'électrode normale à hydrogène sont représentés dans le *Tableau 40* (p. 347). Les signes + ou - de ces potentiels indiquent le sens du déroulement d'une réaction dans les demi-piles correspondantes (en état de référence) lorsqu'elles constituent une pile galvanique au potentiel d'électrode normale à hydrogène.

Lorsque la valeur du potentiel est de signe moins, la réaction qui se déroule spontanément dans la demi-pile correspond à l'oxydation de la forme réduite du couple rédox, le signe plus correspond à la réduction de la forme oxydée.

Tableau 34 (suite)

En réalité, l'électrode à hydrogène est moins pratique que les autres électrodes dont les potentiels sont constants et rapportés à E_{ENH} . Dans le *Tableau 34, B* (p. 310) sont représentés les compositions et les potentiels ($E_{\text{réf}}$) de demi-piles (électrodes de référence) les plus utilisées.

Lorsqu'on calcule le potentiel d'électrode d'un système rédox (E_x) d'après les résultats de la mesure de la f.é.m. d'une pile galvanique dont la deuxième demi-pile est l'une des électrodes de référence (voir p. 310), on doit prendre en considération le signe des demi-piles à étudier. Si la réaction qui se déroule spontanément dans la demi-pile à étudier est une oxydation (c.-à-d. que la demi-pile porte un signe négatif), on aura :

$$\text{f.é.m.} = E_{\text{réf}} - E_x$$

ou si c'est une réduction, on aura :

$$\text{f.é.m.} = E_x - E_{\text{réf}}$$

D'où pour le premier cas

$$E_x = E_{\text{réf}} - \text{f.é.m.}$$

et pour le second

$$E_x = E_{\text{réf}} + \text{f.é.m.}$$

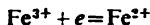
Ainsi, pour une pile galvanique constituée d'électrode de référence saturée au calomel ($E_{\text{sat.é.c.}} = 0,247$ V, voir p. 314) et d'électrode au zinc, immergée dans une solution dans laquelle $a_{\text{Zn}^{2+}} = 1$, la valeur absolue de la f.é.m. mesurée sera de 1,007 V. Du fait que dans cette pile galvanique la réaction spontanée sera l'oxydation du zinc métallique (signe -) :



il en résultera :

$$E_{\text{Zn}^{2+}/\text{Zn}}^0 = E_{\text{réf}} - \text{f.é.m.} = 0,247 - 1,007 = -0,760 \text{ V}$$

Si la pile galvanique est constituée d'électrode de référence saturée au calomel et d'électrode au platine immergée dans une solution de sel de fer, où $a_{\text{Fe}^{3+}} = a_{\text{Fe}^{2+}} = 1$, la valeur absolue de la f.é.m. sera égale à +0,524 V. Puisque la réaction spontanée dans cette pile sera la réduction (signe +) du fer (III) en fer (II) :



on aura :

$$E_{\text{Fe}^{3+}/\text{Fe}^{2+}}^0 = E_{\text{réf}} + \text{f.é.m.} = 0,247 + 0,524 = 0,771 \text{ V}$$

Tableau 34 (suite)

A. Valeurs de ϑ pour $n = 1$ et aux températures de 0 à 50 °C

$$\vartheta = 0,0001983 T = 0,0591 + 0,0002 (t - 25 \text{ °C})$$

Température, °C	ϑ	lg ϑ	Température, °C	ϑ	lg ϑ	Température, °C	ϑ	lg ϑ
0	0,0541	73 320	17	0,0575	75 967	34	0,0609	78 462
1	0,0543	73 480	18	0,0577	76 118	35	0,0611	78 604
2	0,0545	73 640	19	0,0579	76 268	36	0,0613	78 746
3	0,0547	73 799	20	0,0581	76 418	37	0,0615	78 888
4	0,0549	73 957	21	0,0583	76 567	38	0,0617	79 029
5	0,0551	74 115	22	0,0585	76 716	39	0,0619	79 169
6	0,0553	74 273	23	0,0587	76 864	40	0,0621	79 309
7	0,0555	74 429	24	0,0589	77 012	41	0,0623	79 449
8	0,0557	74 586	25	0,0591	77 159	42	0,0625	79 588
9	0,0559	74 741	26	0,0593	77 305	43	0,0627	79 727
10	0,0561	74 896	27	0,0595	77 452	44	0,0629	79 865
11	0,0563	75 051	28	0,0597	77 597	45	0,0631	80 003
12	0,0565	75 205	29	0,0599	77 743	46	0,0633	80 140
13	0,0567	75 358	30	0,0601	77 887	47	0,0635	80 277
14	0,0569	75 511	31	0,0603	78 032	48	0,0637	80 414
15	0,0571	75 664	32	0,0605	78 176	49	0,0639	80 550
16	0,0573	75 815	33	0,0607	78 319	50	0,0641	80 686

B. Composition et potentiel de certaines électrodes de référence par rapport à l'électrode normale à hydrogène (à 20 °C)

Electrode de référence	Composition de l'électrode de référence	Potentiel E_{ref} (V)
Normale à hydrogène (ENH) Pt, $H_2 H^+$	Lame de platine platinée dans une solution de H_2SO_4 1 M, saturée de H_2 sous pression de 1 atm	0,000

Tableau 34 (suite)

Electrode de référence	Composition de l'électrode de référence	Potentiel E_{ref} (V)
A l'iodure de mercure (EIM) $Hg HgI_2, KI, KCl $	Mercure métallique, 4,2 g de KI et 1,3 g de HgI_2 dans 100 ml de solution saturée de KCl	+ 0,02
Au chlorure d'argent (ECh-arg) $Ag AgCl, Cl^- $	Argent métallique recouvert de couche de AgCl, dans une solution de HCl ou de KCl aux concentrations suivantes	
	0,1 N	+ 0,290
	1,0 N	+ 0,237
Au calomel (EC) $Hg Hg_2Cl_2, KCl $	Mercure métallique, pâte en mercure métallique et Hg_2Cl_2 dans une solution de KCl aux concentrations suivantes	
0,1 (0,1 ENC)	0,1 N	+ 0,337
1,0 (ENC)	1,0 N	+ 0,284
3,5 (3,5 ENC)	3,5 N	+ 0,250
Saturée (EC sat)	Saturée	+ 0,247
Au sulfate de mercure (EM-sulf) $Hg Hg_2SO_4, H_2SO_4 $	Mercure métallique, pâte en mercure métallique et Hg_2SO_4 dans une solution de H_2SO_4 2 N	+ 0,682

Tableau 35

Détermination électrométrique du pH

L'indice d'hydrogène $pH = -\lg a_{H^+}$. Le dosage électrométrique du pH comprend la mesure de la f.é.m. de la chaîne composée suivant un des procédés décrits ci-après.

1. L'électrode indicatrice est celle à hydrogène, l'électrode de référence, ENH :

$$f.é.m. = E_{ENH} - E_{2H^+/H_2}$$

étant donné que $E_{ENH} = 0$ et

$$E_{2H^+/H_2} = \theta \lg a_{H^+} = -\theta pH$$

on aura :

$$pH = \frac{f.é.m.}{\theta}$$

2. L'électrode indicatrice est celle à hydrogène, l'électrode de référence, l'une des électrodes au calomel (EC) :

$$f.é.m. = -E_{EC} - E_{2H^+/H_2}$$

d'où

$$f.é.m. = E_{EC} + \theta pH$$

et

$$pH = \frac{f.é.m. - E_{EC}}{\theta}$$

3. L'électrode indicatrice est celle à quinhydrone, l'électrode de référence, ENH :

$$f.é.m. = E_{quin/hydr} - E_{ENH}$$

$$E_{quin/hydr} = E_{quin/hydr}^0 + \theta \lg a_{H^+} = E_{quin/hydr}^0 - \theta pH$$

d'où

$$f.é.m. = E_{quin/hydr}^0 - \theta pH - E_{ENH}$$

puisque $E_{ENH} = 0$, on aura :

$$pH = \frac{E_{quin/hydr}^0 - f.é.m.}{\theta}$$

Tableau 35 (suite)

4. L'électrode indicatrice est celle à quinhydrone, l'électrode de référence, EC :

$$f.é.m. = E_{\text{quin/hydr}} - E_{EC}$$

d'où

$$f.é.m. = E_{\text{quin/hydr}}^0 - \theta \text{ pH} - E_{EC}$$

et

$$\text{pH} = \frac{E_{\text{quin/hydr}}^0 - E_{EC} - f.é.m.}{\theta}$$

Les valeurs de $E_{\text{quin/hydr}}^0$, E_{EC} et $E_{\text{quin/hydr}}^0 - E_{EC}$ aux différentes températures sont représentées pp. 313-314.

Lorsqu'on trouve le pH suivant les procédés 3 et 4, il importe de tenir compte des indications données p. 308. Au fur et à mesure que la valeur du pH croît, le potentiel $E_{\text{quin/hydr}}$ diminue et il peut décroître à tel point que l'oxydation de l'hydroquinone en quinone deviendra la réaction spontanée dans la demi-pile à quinhydrone (signe -). De ce fait les formules de calcul se modifieront :

pour le procédé 3 :

$$f.é.m. = E_{ENH} - E_{\text{quin/hydr}} = -(E_{\text{quin/hydr}}^0 - \theta \text{ pH}) = \theta \text{ pH} - E_{\text{quin/hydr}}^0$$

$$\text{pH} = \frac{f.é.m. + E_{\text{quin/hydr}}^0}{\theta}$$

pour le procédé 4 :

$$f.é.m. = E_{EC} - E_{\text{quin/hydr}} = E_{EC} - (E_{\text{quin/hydr}}^0 - \theta \text{ pH}) =$$

$$= E_{EC} + \theta \text{ pH} - E_{\text{quin/hydr}}^0$$

$$\text{pH} = \frac{f.é.m. + E_{\text{quin/hydr}}^0 - E_{EC}}{\theta}$$

Tableau 35 (suite)

A. Potentiel normal d'électrode à quinhydrone ($E_{\text{quin/hydr}}^{\circ}$)
 aux températures de 0 à 50 °C $E_{\text{quin/hydr}}^{\circ} = 0,7175 - 0,00074 \text{ V}$

Température (°C)	$E_{\text{quin/hydr}}^{\circ}$ (V)	Température (°C)	$E_{\text{quin/hydr}}^{\circ}$ (V)	Température (°C)	$E_{\text{quin/hydr}}^{\circ}$ (V)
0	0,7175	18	0,7042	35	0,6916
1	0,7168	19	0,7034	36	0,6909
2	0,7160	20	0,7027	37	0,6901
3	0,7153	21	0,7020	38	0,6894
4	0,7145	22	0,7012	39	0,6886
5	0,7138	23	0,7005	40	0,6879
6	0,7131	24	0,6997	41	0,6872
7	0,7123	25	0,6990	42	0,6864
8	0,7116	26	0,6983	43	0,6857
9	0,7108	27	0,6975	44	0,6849
10	0,7101	28	0,6968	45	0,6842
11	0,7094	29	0,6960	46	0,6835
12	0,7086	30	0,6953	47	0,6827
13	0,7079	31	0,6946	48	0,6820
14	0,7071	32	0,6938	49	0,6812
15	0,7064	33	0,6931	50	0,6805
16	0,7057	34	0,6923		
17	0,7049				

Tableau 35 (suite)

B. Potentiels d'électrode au calomel aux températures de 0 à 50 °C

$$E_{0,1ENC} = 0,3365 - 0,00006 (25 - t) \text{ V}$$

$$E_{ENC} = 0,2828 - 0,00024 (25 - t) \text{ V}$$

$$E_{EC \text{ sat}} = 0,2438 - 0,00065 (25 - t) \text{ V}$$

Température (°C)	Potentiel (V)			Température (°C)	Potentiel (V)		
	$E_{0,1ENC}$	E_{ENC}	$E_{EC \text{ sat}}$		$E_{0,1ENC}$	E_{ENC}	$E_{EC \text{ sat}}$
0	0,3380	0,2888	0,2601	26	0,3364	0,2826	0,2431
1	0,3379	0,2886	0,2594	27	0,3364	0,2823	0,2425
2	0,3379	0,2883	0,2588	28	0,3363	0,2821	0,2418
3	0,3378	0,2881	0,2581	29	0,3363	0,2818	0,2412
4	0,3378	0,2878	0,2575	30	0,3362	0,2816	0,2405
5	0,3377	0,2876	0,2568	31	0,3361	0,2814	0,2399
6	0,3376	0,2874	0,2562	32	0,3361	0,2811	0,2393
7	0,3376	0,2871	0,2555	33	0,3360	0,2809	0,2386
8	0,3375	0,2869	0,2549	34	0,3360	0,2806	0,2379
9	0,3375	0,2866	0,2542	35	0,3359	0,2804	0,2373
10	0,3374	0,2864	0,2536	36	0,3358	0,2802	0,2366
11	0,3373	0,2862	0,2529	37	0,3358	0,2799	0,2360
12	0,3373	0,2859	0,2523	38	0,3357	0,2797	0,2353
13	0,3372	0,2857	0,2516	39	0,3357	0,2794	0,2347
14	0,3372	0,2854	0,2510	40	0,3356	0,2792	0,2340
15	0,3371	0,2852	0,2503	41	0,3355	0,2790	0,2334
16	0,3370	0,2850	0,2497	42	0,3355	0,2787	0,2327
17	0,3370	0,2847	0,2490	43	0,3354	0,2785	0,2321
18	0,3369	0,2845	0,2483	44	0,3354	0,2782	0,2314
19	0,3369	0,2842	0,2477	45	0,3353	0,2780	0,2308
20	0,3368	0,2840	0,2471	46	0,3352	0,2778	0,2301
21	0,3367	0,2838	0,2464	47	0,3352	0,2775	0,2295
22	0,3367	0,2835	0,2458	48	0,3351	0,2773	0,2288
23	0,3366	0,2833	0,2451	49	0,3351	0,2770	0,2282
24	0,3366	0,2830	0,2445	50	0,3350	0,2768	0,2275
25	0,3365	0,2828	0,2438				

Tableau 35 (suite)

C. Différence entre le potentiel normal d'électrode à quinhidrone ($E_{\text{quin/hydr}}^0$) et les potentiels d'électrode de référence au calomel (E_{EC}) aux températures de 0 à 50 °C ($E_{\text{quin/hydr}}^0 - E_{\text{EC}}$)

Température (°C)	$E_{\text{quin/hydr}}^0 - E_{\text{a,1ENC}}$	$E_{\text{quin/hydr}}^0 - E_{\text{ENC}}$	$E_{\text{quin/hydr}}^0 - E_{\text{EC sat}}$	Température (°C)	$E_{\text{quin/hydr}}^0 - E_{\text{a,1ENC}}$	$E_{\text{quin/hydr}}^0 - E_{\text{ENC}}$	$E_{\text{quin/hydr}}^0 - E_{\text{EC sat}}$
0	0,3795	0,4287	0,4575	26	0,3618	0,4157	0,4551
1	0,3788	0,4282	0,4574	27	0,3611	0,4152	0,4550
2	0,3781	0,4277	0,4573	28	0,3605	0,4147	0,4549
3	0,3775	0,4272	0,4572	29	0,3598	0,4142	0,4548
4	0,3768	0,4267	0,4571	30	0,3591	0,4137	0,4548
5	0,3761	0,4262	0,4570	31	0,3584	0,4132	0,4547
6	0,3754	0,4257	0,4569	32	0,3577	0,4127	0,4546
7	0,3747	0,4252	0,4568	33	0,3571	0,4122	0,4545
8	0,3741	0,4247	0,4567	34	0,3564	0,4117	0,4544
9	0,3734	0,4242	0,4566	35	0,3557	0,4112	0,4543
10	0,3727	0,4237	0,4566	36	0,3550	0,4107	0,4542
11	0,3720	0,4232	0,4565	37	0,3543	0,4102	0,4541
12	0,3713	0,4227	0,4564	38	0,3537	0,4097	0,4540
13	0,3707	0,4222	0,4563	39	0,3530	0,4092	0,4539
14	0,3700	0,4217	0,4562	40	0,3523	0,4087	0,4539
15	0,3693	0,4212	0,4561	41	0,3516	0,4082	0,4538
16	0,3686	0,4207	0,4560	42	0,3509	0,4077	0,4537
17	0,3679	0,4202	0,4559	43	0,3503	0,4072	0,4536
18	0,3673	0,4197	0,4558	44	0,3496	0,4067	0,4535
19	0,3666	0,4192	0,4557	45	0,3489	0,4062	0,4534
20	0,3659	0,4187	0,4557	46	0,3482	0,4057	0,4533
21	0,3652	0,4182	0,4556	47	0,3475	0,4052	0,4532
22	0,3645	0,4177	0,4555	48	0,3469	0,4047	0,4531
23	0,3639	0,4172	0,4554	49	0,3462	0,4042	0,4530
24	0,3632	0,4167	0,4553	50	0,3455	0,4037	0,4530
25	0,3625	0,4162	0,4552				

Tableau 36

pH de précipitation des hydroxydes de métaux
(valeurs approximatives compte tenu de la formation des hydroxocomplexes) *

Hydroxyde	Valeurs du pH				
	du début de la précipitation à la concentration initiale en ion à précipiter égale à		de la précipitation complète (la concentration résiduelle est inférieure à 10^{-3} M)	du début de la dissolution du précipité (la précipitation cesse d'être complète)	de la dissolution complète du précipité
	1 M	0,01 M			
Sn(OH) ₄	0	0,5	1	13	15
TiO(OH) ₂	0	0,5	2,0	—	—
Sn(OH) ₂	0,9	2,1	4,7	10	13,5
ZrO(OH) ₂	1,3	2,25	3,75	—	—
HgO	1,3	2,4	5,0	11,5	—
Fe(OH) ₃	1,5	2,3	4,1	14	—
Al(OH) ₃	3,3	4,0	5,2	7,8	10,8
Cr(OH) ₃	4,0	4,9	6,8	12	15
Be(OH) ₂	5,2	6,2	8,8	—	—
Zn(OH) ₂	5,4	6,4	8,0	10,5	12—13
Ag ₂ O	6,2	8,2	11,2	12,7	—
Fe(OH) ₂	6,5	7,5	9,7	13,5	—
Co(OH) ₂	6,6	7,6	9,2	14,1	—
Ni(OH) ₂	6,7	7,7	9,5	—	—
Cd(OH) ₂	7,2	8,2	9,7	—	—
Mn(OH) ₂	7,8	8,8	10,4	14	—
Mg(OH) ₂	9,4	10,4	12,4	—	—

* Il faut tenir compte du fait que lors de la précipitation des hydroxydes par addition d'une solution alcaline à une solution saline correspondante un dépassement local de la valeur du pH et la formation d'un précipité, qui, souvent, n'est pas redissout par agitation, ont lieu aux endroits où tombent les gouttes de réactif précipitant (pour les différentes valeurs des produits de solubilité des hydroxydes au moment de la précipitation et après un certain vieillissement consulter le Tableau 10).

Tableau 37

Constantes de dissociation des acides et des bases les plus importants

Le *Tableau 37* représente les constantes thermodynamiques de dissociation des acides et des bases à 25 °C :

$$K_a = \frac{a_{H^+} a_{A^-}}{a_{HA}} = \frac{[H^+][A^-]}{[HA]} \cdot \frac{f_{H^+} f_{A^-}}{f_{HA}}$$

$$K_b = \frac{a_{Kt^+} a_{OH^-}}{a_{KtOH}} = \frac{[Kt^+][OH^-]}{[KtOH]} \cdot \frac{f_{Kt^+} f_{OH^-}}{f_{KtOH}}$$

où a_{H^+} , a_{A^-} etc., sont des activités des ions ou des molécules ;
 H^+ , A^- etc., des concentrations des ions ou des molécules ;
 f_{H^+} , f_{A^-} , f_{Kt^+} etc., des coefficients d'activité des ions ou des molécules.

Tableau 37 (suite)

Acides

Nom	Formule	K_a	pK_a
Acétique	CH_3COOH	$1,74 \cdot 10^{-5}$	4,76
Acrylique	$\text{CH}_2=\text{CHCOOH}$	$5,5 \cdot 10^{-5}$	4,26
Adipique	$\text{HOOC}(\text{CH}_2)_4\text{COOH}$	$3,9 \cdot 10^{-5}$	4,26
Aminoacétique (glycine)	$\text{NH}_2\text{CH}_2\text{COOH}$	$5,1 \cdot 10^{-6}$	5,30
		$1,7 \cdot 10^{-10}$	9,78
Antimonique	$\text{HSb}(\text{OH})_4$		
α -Aminopropionique (α -Alanine)	$\text{CH}_3\text{CH}(\text{NH}_2)\text{COOH}$	$4,0 \cdot 10^{-5}$	4,4
β -Aminopropionique (β -Alanine)	$\text{NH}_2(\text{CH}_2)_2\text{COOH}$	$1,35 \cdot 10^{-10}$	9,87
Arsénique		$5,9 \cdot 10^{-11}$	10,23
Arsénieux	H_3AsO_4	$6,0 \cdot 10^{-3}$	2,22
		$1,05 \cdot 10^{-7}$	6,98
		$2,95 \cdot 10^{-12}$	11,53
Ascorbique	H_3AsO_3	$5,1 \cdot 10^{-10}$	9,29
Azélaïque	$\text{CH}_2(\text{OH})\text{CH}(\text{OH})\text{CH}(\text{OH})\text{C}(\text{OH})=\text{C}(\text{OH})\text{COO}$	$9,1 \cdot 10^{-5}$	4,04
Azothydrique Benzoïque <i>o</i> -Borique <i>iso</i> -Butyrique <i>n</i> -Butyrique	$\text{HOOC}(\text{CH}_2)_7\text{COOH}$	$4,6 \cdot 10^{-12}$	11,34
		$2,9 \cdot 10^{-5}$	4,54
		$2,8 \cdot 10^{-6}$	5,55
		$1,9 \cdot 10^{-5}$	4,72
	HN_3	$6,2 \cdot 10^{-5}$	4,21
	$\text{C}_6\text{H}_5\text{COOH}$	$5,8 \cdot 10^{-10}$	9,24
	H_3BO_3	$1,4 \cdot 10^{-5}$	4,86
	$(\text{CH}_3)_2\text{CHCOOH}$		
	$\text{CH}_3\text{CH}_2\text{CH}_2\text{COOH}$		

Caproïque		$\text{CH}_3(\text{CH}_2)_4\text{COOH}$	$1,31 \cdot 10^{-5}$	4,88
Caprylique	K_1	$\text{CH}_3(\text{CH}_2)_6\text{COOH}$	$1,88 \cdot 10^{-5}$	4,89
Carbonique	K_2	$\text{CO}_2(\text{aq.}) + \text{H}_2\text{O}$	$4,5 \cdot 10^{-7}$	6,35
			$4,8 \cdot 10^{-11}$	10,32
Chloracétique		CH_2ClCOOH	$1,4 \cdot 10^{-3}$	2,86
Chloreux		HClO_2	$1,1 \cdot 10^{-2}$	1,97
Chromique	K_1	H_2CrO_4	$1,1 \cdot 10^{-1}$	0,98
	K_2		$3,2 \cdot 10^{-7}$	6,50
Chromotropique	K_1	$\text{C}_{10}\text{H}_9(\text{OH})_2(\text{SO}_3\text{H})_2$	$4,4 \cdot 10^{-4}$	5,36
	K_2		$2,5 \cdot 10^{-16}$	15,6
Cinnamique (<i>cis</i> -)		$\text{C}_6\text{H}_5\text{CH}=\text{CHCOOH}$	$1,3 \cdot 10^{-4}$	3,88
Cinnamique (<i>trans</i> -)		$\text{C}_6\text{H}_5\text{CH}=\text{CHCOOH}$	$3,7 \cdot 10^{-6}$	4,43
Citrique	K_1	$\text{HOOCCH}_2\text{C}(\text{OH})(\text{COOH})\text{CH}_2\text{COOH}$	$7,4 \cdot 10^{-4}$	3,13
	K_2		$1,8 \cdot 10^{-5}$	4,76
	K_3		$4,0 \cdot 10^{-7}$	6,40
<i>m</i> -Crésol		$\text{CH}_3\text{C}_6\text{H}_4\text{OH}$	$9,8 \cdot 10^{-11}$	10,01
<i>o</i> -Crésol		$\text{CH}_3\text{C}_6\text{H}_4\text{OH}$	$6,3 \cdot 10^{-11}$	10,20
<i>p</i> -Crésol		$\text{CH}_3\text{C}_6\text{H}_4\text{OH}$	$6,7 \cdot 10^{-11}$	10,17
Crotonique	K_1	$\text{CH}_3-\text{CH}=\text{CHCOOH}$	$2,0 \cdot 10^{-5}$	4,70
Cyanique		HCNO	$3,5 \cdot 10^{-4}$	3,46
Dichloracétique		CHCl_2COOH	$5,0 \cdot 10^{-2}$	1,30
Dichromique	K_2	$\text{H}_2\text{Cr}_2\text{O}_7$	$2,3 \cdot 10^{-2}$	1,64
Dimolybdique		$\text{H}_2\text{Mo}_2\text{O}_7$	$9,55 \cdot 10^{-6}$	5,02
Eau oxygénée		H_2O_2	$2,0 \cdot 10^{-12}$	11,70
Ethylènediaminetétracétique	K_1	$\text{HOOCCH}_2-\text{N}(\text{CH}_2\text{COOH})_2-\text{CH}_2-\text{N}(\text{CH}_2\text{COOH})_2-\text{CH}_2\text{COOH}$	$1,0 \cdot 10^{-2}$	1,99
	K_2		$2,1 \cdot 10^{-3}$	2,67
	K_3		$5,4 \cdot 10^{-7}$	6,27
	K_4		$1,1 \cdot 10^{-11}$	10,95

Tableau 37 (suite)

Nom	Formule	K_a	pK_a
Ferrocyanhydrique	$H_4Fe(CN)_6$	$2,7 \cdot 10^{-3}$	2,57
Fluorhydrique	HF	$4,5 \cdot 10^{-5}$	4,35
Fluorophosphorique	$H_2[PO_3F]$	$6,8 \cdot 10^{-4}$	3,17
Formique	HCOOH	$2,8 \cdot 10^{-1}$	0,55
Fumarique	$HOOCCH=CHCOOH$	$1,6 \cdot 10^{-5}$	4,80
Gallique	$C_6H_2(OH)_3COOH$	$1,8 \cdot 10^{-4}$	3,75
Germanique	H_4GeO_4	$9,3 \cdot 10^{-4}$	3,03
Gluconique	$CH_2OH(CHOH)_4COOH$	$4,2 \cdot 10^{-5}$	4,38
Glutamique	$HOOC(CH_2)_2CH(NH_2)COOH$	$3,9 \cdot 10^{-5}$	4,41
Glutarique	$HOOC(CH_2)_3COOH$	$1,7 \cdot 10^{-5}$	8,78
Glycérique	$CH_2(OH)CH(OH)COOH$	$2,0 \cdot 10^{-13}$	12,7
Glycine	$HOOCCH_2NH_2$	$1,4 \cdot 10^{-4}$	3,86
Hydroquinone	$C_6H_4(OH)_2(1,4)$	$4,7 \cdot 10^{-8}$	4,33
Hydrosulfurique	$H_2S_2O_4$	$1,2 \cdot 10^{-10}$	9,92
Hypobromeux	HBrO	$4,6 \cdot 10^{-5}$	4,34
Hypochloreux	HClO	$5,4 \cdot 10^{-6}$	5,27
Hypoiodieux	HIO ₃	$3,0 \cdot 10^{-4}$	3,52

Hyponitrex	K_1 K_2	$H_2N_2O_2$	$6,2 \cdot 10^{-8}$ $2,9 \cdot 10^{-12}$ $5,9 \cdot 10^{-2}$	7,21 11,54 1,23
Hypophosphoreux	K_1 K_2 K_3 K_4	H_3PO_2 $H_4P_2O_4$	$6,3 \cdot 10^{-3}$ $1,6 \cdot 10^{-3}$ $5,4 \cdot 10^{-8}$ $9,3 \cdot 10^{-11}$	2,20 2,81 7,27 10,03
Lactique	K_1 K_2	$CH_3CH(OH)COOH$	$1,4 \cdot 10^{-4}$	3,86
Maléique	K_1 K_2	$HOOCCH=CHCOOH$	$1,2 \cdot 10^{-2}$	1,92
Malique	K_1 K_2	$HOOCCH(OH)CH_2COOH$	$5,9 \cdot 10^{-7}$ $3,5 \cdot 10^{-4}$	6,23 3,46
Malonique	K_1 K_2	$HOOCCH_2COOH$	$8,9 \cdot 10^{-6}$	5,05
Mandélique	K_1 K_2	$C_6H_5CH(OH)COOH$	$1,4 \cdot 10^{-3}$	2,85
Manganique	K_1 K_2	H_2MnO_4	$2,0 \cdot 10^{-6}$ $3,9 \cdot 10^{-4}$	5,70 3,41
Molybdique	K_1 K_2	H_2MoO_4	$\sim 10^{-1}$	~ 1
Nitreux	K_1 K_2	HNO_2	$7,1 \cdot 10^{-11}$	10,15
m-Nitrobenzolique	K_1 K_2	$NO_2C_6H_4COOH$	$2,9 \cdot 10^{-3}$	2,54
o-Nitrobenzolique	K_1 K_2	$NO_2C_6H_4COOH$	$1,4 \cdot 10^{-4}$	3,86
p-Nitrobenzolique	K_1 K_2	$NO_2C_6H_4COOH$	$5,1 \cdot 10^{-4}$	3,29
Noir au chrome	K_1 K_2	Voir <i>Tableau 28</i> N 20	$3,5 \cdot 10^{-4}$ $6,8 \cdot 10^{-3}$ $3,6 \cdot 10^{-4}$	3,45 2,17 3,44
Céanthique	K_1 K_2	$CH_3(CH_2)_8COOH$	$5,0 \cdot 10^{-7}$ $2,8 \cdot 10^{-12}$ $1,3 \cdot 10^{-6}$	6,3 11,55 4,89

Tableau 37 (suite)

Nom	Formule	K_a	pK_a
Orthophosphorique	H_3PO_4	$7.6 \cdot 10^{-3}$	2,12
	K_1	$6.2 \cdot 10^{-8}$	7,21
	K_2	$4.2 \cdot 10^{-13}$	12,38
Oxalique	$H_2C_2O_4$	$5.6 \cdot 10^{-2}$	1,25
	K_1	$5.4 \cdot 10^{-6}$	4,27
8-Oxyquinoléine	C_8H_7ON	$1.3 \cdot 10^{-10}$	9,90
	$HIO_4; H_4IO_6$	$2.8 \cdot 10^{-2}$	1,55
	K_1	$5.4 \cdot 10^{-9}$	8,27
Periodique	K_2	$1.05 \cdot 10^{-15}$	14,98
	K_3	$1.0 \cdot 10^{-10}$	10,0
Phénol	C_6H_5OH	$1.6 \cdot 10^{-2}$	1,80
	H_3PO_3	$2.0 \cdot 10^{-7}$	6,70
Phosphoreux	K_1	$2.0 \cdot 10^{-4}$	3,70
m -Phtalique	$C_6H_4(COOH)_2$	$2.5 \cdot 10^{-5}$	4,60
o -Phtalique	K_1	$1.1 \cdot 10^{-3}$	2,95
p -Phtalique	K_2	$4.0 \cdot 10^{-6}$	5,40
	K_1	$2.9 \cdot 10^{-4}$	3,54
	K_2	$3.5 \cdot 10^{-5}$	4,46
Picrique	$HOC_6H_2(NO_2)_3$	$5.1 \cdot 10^{-1}$	0,29
Propionique	CH_3CH_2COOH	$1.35 \cdot 10^{-5}$	4,87
Prussique	HCN	$6.2 \cdot 10^{-10}$	9,21
Résorcine	$C_6H_4(OH)_2(1,3)$	$3.6 \cdot 10^{-10}$	9,44
Rhodanique	$HSCN$	$1.4 \cdot 10^{-1}$	0,85
Salicylique	$C_6H_4(OH)COOH$	$1.1 \cdot 10^{-3}$	2,97
Sébacique	$HOOC(CH_2)_8COOH$	$4.0 \cdot 10^{-5}$	4,40
	K_1	$6.0 \cdot 10^{-6}$	5,22
	K_2		

Sélénieux	K_1	H_2SeO_3	$2.4 \cdot 10^{-3}$	2.62
	K_2		$4.8 \cdot 10^{-9}$	8.32
Sélénhydrique	K_1	H_2Se	$1.3 \cdot 10^{-4}$	3.89
	K_2		$1.0 \cdot 10^{-11}$	11.0
Sélénique	K_2	H_2SeO_4	$1.3 \cdot 10^{-2}$	1.88
o-Silicique	K_1	H_4SiO_4	$1.3 \cdot 10^{-11}$	9.9
	K_2		$1.6 \cdot 10^{-12}$	11.8
	K_3		$2.0 \cdot 10^{-14}$	13.7
Succinique	K_1	$HOOCCH_2CH_2COOH$	$1.6 \cdot 10^{-3}$	4.21
	K_2		$2.3 \cdot 10^{-6}$	5.63
Sulfamique		H_2NSO_3H	$1.05 \cdot 10^{-1}$	0.98
Sulfanilique		$H_2NC_6H_4SO_3H$	$6.3 \cdot 10^{-4}$	3.20
Sulfhydrique	K_1	H_2S	$1.0 \cdot 10^{-7}$	6.99
	K_2		$1.3 \cdot 10^{-13}$	12.89
Sulfosalicylique	K_2	$C_6H_3(OH)(COOH)SO_3H$	$1.4 \cdot 10^{-3}$	2.86
	K_3		$1.8 \cdot 10^{-12}$	1.74
Sulfureux	K_1	H_2SO_3	$1.7 \cdot 10^{-2}$	1.76
	K_2		$6.2 \cdot 10^{-8}$	7.20
Sulfurique	K_2	H_2SO_4	$1.2 \cdot 10^{-2}$	1.94
Suroxyde d'hydrogène		HO_2	$6.3 \cdot 10^{-3}$	2.2
Tartrique	K_1	$HOOCCH(OH)CH(OH)COOH$	$9.1 \cdot 10^{-4}$	3.04
	K_2		$4.3 \cdot 10^{-8}$	4.37
Tellureux	K_1	H_2TeO_3	$2.7 \cdot 10^{-3}$	2.57
	K_2		$1.8 \cdot 10^{-8}$	7.74
Tellurhydrique	K_1	H_2Te	$2.3 \cdot 10^{-3}$	2.64
	K_2		$1 \cdot 10^{-11}$	11
Tellurique	K_1	H_6TeO_6	$2.0 \cdot 10^{-8}$	7.70
	K_2		$1.1 \cdot 10^{-11}$	10.95
	K_3		$1 \cdot 10^{-13}$	15

Tableau 37 (suite)

Nom	Formule	K_a	pK_a
Thiosulfurique K_1 K_2	$H_2S_2O_3$	$2,5 \cdot 10^{-1}$	0,60
Trichloracétique	CCl_3COOH	$1,9 \cdot 10^{-2}$	1,72
Tungstique	H_6WO_6	$2,0 \cdot 10^{-1}$	0,70
iso-Valérique	$(CH_3)_2CHCH_2COOH$	$6,3 \cdot 10^{-5}$	4,2
n-Valérique	$CH_3(CH_2)_4COOH$	$1,7 \cdot 10^{-5}$	4,78
o-Vanadique	H_3VO_4	$1,4 \cdot 10^{-8}$	4,86
		$1,1 \cdot 10^{-9}$	8,95
		$4,0 \cdot 10^{-18}$	14,4

Bases

Nom	Formule	K_a	pK_a
Ammoniac (solution de)	$NH_3 + H_2O$	$1,76 \cdot 10^{-5}$	4,755
Aniline	$C_6H_5NH_2 + H_2O$	$4,2 \cdot 10^{-10}$	9,38
Argent (hydroxyde de)	$AgOH$	$5,0 \cdot 10^{-12}$	2,30
Baryum (hydroxyde de)	$Ba(OH)_2$	$2,3 \cdot 10^{-1}$	0,64
Benzidine	$H_2NC_6H_4C_6H_4NH_2 + H_2O$	$9,3 \cdot 10^{-10}$	9,03
	$H_2NC_6H_4C_6H_4NH_2 + H_2O$	$5,6 \cdot 10^{-11}$	10,25
Calcium (hydroxyde de)	$Ca(OH)_2$	$4,0 \cdot 10^{-2}$	1,40

Diethylamine	$(C_2H_5)_2NH + H_2O$	$9,6 \cdot 10^{-4}$	3,02
Diméthylamine	$(CH_3)_2NH + H_2O$	$1,1 \cdot 10^{-3}$	2,97
Diphénylamine	$(C_6H_5)_2NH + H_2O$	$7,1 \cdot 10^{-14}$	13,15
Ethanolamine	$H_2NCH_2CH_2OH + H_2O$	$1,8 \cdot 10^{-5}$	4,75
Ethylamine	$CH_3CH_2NH_2 + H_2O$	$4,7 \cdot 10^{-4}$	3,33
Ethylendiamine K_1 K_2	$H_2NCH_2-CH_2NH_2 + H_2O$	$9,1 \cdot 10^{-5}$	4,04
Guanidine	$(H_2N)_2CNH + H_2O$	$1,5 \cdot 10^{-7}$	6,82
Hydrazine	$N_2H_4 + H_2O$	$3,0 \cdot 10^{-1}$	0,52
Hydroxylamine	$NH_2OH + H_2O$	$9,8 \cdot 10^{-7}$	6,01
Lithium		$9,6 \cdot 10^{-9}$	8,02
(hydroxyde de)			
Méthylamine	$LiOH$	$6,8 \cdot 10^{-1}$	0,17
α -Naphthylamine	$CH_3NH_2 + H_2O$	$5,25 \cdot 10^{-3}$	3,28
β -Naphthylamine	$C_{10}H_7NH_2 + H_2O$	$8,4 \cdot 10^{-11}$	10,08
8-Oxyquinoléine	$C_{10}H_7NH_2 + H_2O$	$1,3 \cdot 10^{-10}$	9,89
Phénylhydrazine	$C_6H_5ON + H_2O$	$1,0 \cdot 10^{-9}$	8,99
Plomb (hydroxyde de)	$C_6H_5NHNH_2 + H_2O$	$1,6 \cdot 10^{-9}$	8,80
K_1 K_2	$Pb(OH)_2$	$9,55 \cdot 10^{-4}$	3,02
Pyridine		$3,0 \cdot 10^{-8}$	7,52
Quinoléine	$C_8H_5N + H_2O$	$1,5 \cdot 10^{-9}$	8,82
Semi-carbazide	$C_6H_7N + H_2O$	$6,3 \cdot 10^{-10}$	9,20
Thio-urée	$H_2NCONHNH_2 + H_2O$	$2,7 \cdot 10^{-11}$	10,57
Triméthylamine	$CS(NH_2)_2 + H_2O$	$1,35 \cdot 10^{-13}$	11,87
Urée	$(CH_3)_3N + H_2O$	$8,1 \cdot 10^{-5}$	4,09
Urotropine (hexa-méthylentetramine)	$CO(NH_2)_2 + H_2O$	$1,5 \cdot 10^{-14}$	13,82
	$(CH_3)_6N_4 + H_2O$	$1,4 \cdot 10^{-9}$	8,87

Tableau 38

Constantes d'instabilité des ions complexes

L'indice mis en bas du signe K désigne le nombre de groupes du ligand près de l'atome central du complexe dissocié à un degré, on aura par exemple pour les complexes de Fe^{3+} ayant les ions chlorure :

$$K_1 = \frac{[\text{Fe}^{3+}] [\text{Cl}^-]}{[\text{FeCl}^{2+}]} \quad K_2 = \frac{[\text{FeCl}_2^+] [\text{Cl}^-]}{[\text{FeCl}_2^+]}$$

$$K_3 = \frac{[\text{FeCl}_2^+] [\text{Cl}^-]}{[\text{FeCl}_3]} \quad K_4 = \frac{[\text{FeCl}_3] [\text{Cl}^-]}{[\text{FeCl}_4^-]}$$

Pour les constantes de dissociation complète des complexes au nombre correspondant de groupes du ligand, l'indice a deux chiffres et plus :

$$K_{1,2} = \frac{[\text{Fe}^{3+}] [\text{Cl}^-]^2}{[\text{FeCl}_2^+]} \quad K_{1,2,3} = \frac{[\text{Fe}^{3+}] [\text{Cl}^-]^3}{[\text{FeCl}_3]} \quad K_{1,2,3,4} = \frac{[\text{Fe}^{3+}] [\text{Cl}^-]^4}{[\text{FeCl}_4^-]}$$

On voit aisément que $K_{1,2} = K_1 \cdot K_2$; $K_{1,2,3} = K_1 \cdot K_2 \cdot K_3$, etc. Le Tableau 38 ne donne pas les constantes elles-mêmes mais leurs indices, c.-à-d. les logarithmes des constantes changés de signe :

$$pK_1 = -\lg K_1 \quad pK_2 = -\lg K_2 \quad pK_{1,2} = -\lg K_{1,2}$$

Seuls les indices des constantes de dissociation complète sont donnés, mais tenant compte des indications citées ci-dessus, on peut aisément trouver les indices des constantes des degrés de dissociation isolés d'après les différences telles que

$$pK_2 = pK_{1,2} - pK_1 \quad pK_3 = pK_{1,2,3} - pK_{1,2}, \text{ etc.}$$

Toutes les données sont rapportées aux températures de 20 à 30 °C.

Tableau 38 (suite)

A. Complexes avec les ligands minéraux

Ion central	pK_1	$pK_{1,2}$	$pK_{1,2,3}$	$pK_{1,2,3,4}$	$pK_{1,2,3,4,5}$	$pK_{1,2,3,4,5,6}$	Force ionique
<i>Complexes avec l'ammoniac NH_3</i>							
Ag ⁺	3,32	7,24	—	—	—	—	0
Au ⁺	?	27	—	—	—	—	?
Au ³⁺	?	?	?	30	—	—	?
Cd ²⁺	2,51	4,47	5,77	6,56	6,26	4,56	0
Co ²⁺	1,99	3,50	4,43	5,07	5,13	4,39	0
Co ³⁺	7,3	14,0	20,1	25,7	30,8	35,21	2
Cu ⁺	5,93	10,86	—	—	—	—	2
Cu ²⁺	3,99	7,33	10,06	12,03	11,43	8,9	0
Fe ²⁺	1,4	2,2	?	3,7	—	—	0
Hg ²⁺	8,8	17,5	18,5	19,3	—	—	2
Mg ²⁺	0,23	0,08	-0,34	-1,04	-1,99	-3,29	2
Mn ²⁺	0,8	1,3	?	?	?	9(?)	2
Ni ²⁺	2,67	4,79	6,40	7,47	8,10	8,01	0
Tl ⁺	-0,9	—	—	—	—	—	2
Tl ³⁺	?	?	?	17(?)	—	—	?
Zn ²⁺	2,18	4,43	6,74	8,70	—	—	0
<i>Complexes avec le brome Br⁻</i>							
Ag ⁺	4,38 *	7,34	8,00	8,73	—	—	0
Au ⁺	?	12,46	—	—	—	—	?
Au ³⁺	?	?	?	31,5	—	—	?
Bi ³⁺	2,26	4,45	6,33 *	7,84	9,42	9,52	2
Cd ²⁺	2,23	3,00 *	2,83	2,93	—	—	0
Ce ³⁺	0,38	—	—	—	—	—	0
Co ²⁺	-2,30	—	—	—	—	—	?
Cu ⁺	?	5,92	—	—	—	—	0
Cu ²⁺	-0,03	?	—	—	—	—	0
Fe ³⁺	0,55	0,82	—	—	—	—	0
Hg ²⁺	9,05	17,33 *	19,74	21,00	—	—	0,5

* Molécules neutres en solution.

Tableau 38 (suite)

Ion central	pK_1	$pK_{1,2}$	$pK_{1,2,3}$	$pK_{1,2,3,4}$	$pK_{1,2,3,4,5}$	$pK_{1,2,3,4,5,6}$	Force ionique
In ³⁺	1,20	1,78	2,48*	3,33	—	—	1
Ni ²⁺	-0,12	-3,24*	?	-8,12	—	—	?
Pb ²⁺	2,23	3,00*	2,83	2,93	—	—	0
Pd ²⁺	?	?	?	13,10	—	—	0
Pt ²⁺	?	?	?	20,5	—	—	0
Sn ²⁺	0,73	1,14*	1,35	—	—	—	3
SnOH ⁺	0,70*	—	—	—	—	—	3
Tl ⁺	0,95	1,01	0,6	-0,2	—	—	0
Tl ³⁺	9,7	16,6	21,2*	23,9	25,5	26,2	0
UO ₂ ²⁺	-0,20	?	—	—	—	—	0
Zn ²⁺	-0,8	-2,2*	-2,9	-2,5	—	—	0
<i>Complexes avec l'hydrazine N₂H₄</i>							
Cd ²⁺	2,25	2,40	2,78	3,89	—	—	1
Ni ²⁺	2,76	5,20	7,35	9,20	10,75	11,99	0,5
Zn ²⁺	3,40	3,70	3,78	3,88	—	—	1
<i>Complexes avec l'hydroxylamine NH₂OH</i>							
Zn ²⁺	0,40	1,01	—	—	—	—	1
<i>Hydroxocomplexes OH⁻</i>							
Ag ⁺	2,30*	4,0	5,2	—	—	—	0
Al ³⁺	9,04	?	?	33,0	—	—	0
AsO ⁺	14,33*	18,73	20,60	21,2	—	—	?
Ba ²⁺	0,85	—	—	—	—	—	0
Be ²⁺	7,48	?	15,21	15,0	—	—	0
Bi ³⁺	12,4	15,8	?	35,2	—	—	0
Ca ²⁺	1,46	—	—	—	—	—	0
Cd ²⁺	4,17	8,33*	9,02	< 8,6	—	—	?
Ce ³⁺	4,6	—	—	—	—	—	?
Ce ⁴⁺	13,28	27,06	—	—	—	—	2

* Molécules neutres en solution.

Tableau 38 (suite)

Ion central	pK_1	$pK_1, 2$	$pK_1, 2, 3$	$pK_1, 2, 3, 4$	$pK_1, 2, 3, 4, 5$	$pK_1, 2, 3, 4, 5, 6$	Force ionique
Co ²⁺	4,4	4,6*	10,5	—	—	—	0
Cr ³⁺	10,1	17,8	—	29,9	—	—	0
Cu ²⁺	7,0	13,68*	17,0	18,5	—	—	0
Fe ²⁺	5,56	9,77*	9,67	8,56	—	—	0
Fe ³⁺	11,87	21,17	30,67*	—	—	—	0
Ga ³⁺	11,0	21,7	?	34,3	38,0	40,3	0
Hg ₂ ²⁺	9,0	—	—	—	—	—	0,5
Hg ²⁺	10,30	21,70*	21,20	—	—	—	0,5
In ³⁺	9,9	19,8	?	28,7	—	—	0
La ³⁺	3,30	?	?	—	—	—	?
Li ⁺	0,17*	—	—	—	—	—	0
Mg ²⁺	2,58	?	—	—	—	—	0
Mn ²⁺	3,90	?	8,3	—	—	—	0
Ni ²⁺	4,97	8,55*	11,33	—	—	—	0
Pb ²⁺	6,9	10,8*	13,3	—	—	—	1
Sb ³⁺	?	24,3	36,7*	38,3	—	—	0
Sn ²⁺	11,86	20,64*	25,13	—	—	—	0
Sn ⁴⁺	?	?	?	?	?	63,0	0
Sr ²⁺	0,82	—	—	—	—	—	0
Th ⁴⁺	10,0	21,2	32,0	?	8,7	38,7	0
Tl ⁺	0,82*	—	—	—	—	—	0
Tl ³⁺	12,86	25,37	—	—	—	—	0
U ⁴⁺	13,3	?	?	?	41,2	—	0
UO ₂ ²⁺	9,8	18,6*	?	32,40	—	—	0,1
V ³⁺	11,1	21,6	—	—	—	—	?
VO ²⁺	8,6	—	—	—	—	—	?
VO ³⁺	?	25,2	?	46,2	58,5	—	?
Zn ²⁺	4,40	11,3*	13,14	14,66	—	—	?
Zr ⁴⁺	14,32	28,26	41,91	55,27*	—	—	1

Complexes avec l'hypophosphite H₂PO₂⁻

Fe ³⁺	2,77	—	—	—	—	—	?
------------------	------	---	---	---	---	---	---

* Molécules neutres en solution.

Tableau 38 (suite)

Ion central	pK_1	$pK_{1,2}$	$pK_{1,2,3}$	$pK_{1,2,3,4}$	$pK_{1,2,3,4,5}$	$pK_{1,2,3,4,5,6}$	Force ionique
<i>Complexes avec l'iodate IO_3^-</i>							
Ag^+	0,63*	1,90	—	—	—	—	0
Ba^{2+}	1,1	—	—	—	—	—	0
Ca^{2+}	0,89	—	—	—	—	—	0
Cu^{2+}	0,82	—	—	—	—	—	0
Mg^{2+}	0,72	—	—	—	—	—	0
Sr^{2+}	0,98	—	—	—	—	—	0
Th^{IV}	2,88	4,79	7,15	—	—	—	0,5
Ti^+	0,50*	—	—	—	—	—	0
<i>Complexes avec l'iode I^-</i>							
Ag^+	6,58*	11,74	13,68	13,10	—	—	0
Bi^{3+}	2,89	?	?	14,95	16,80	19,1	0
Cd^{2+}	2,28	3,92*	5,00	6,10	—	—	0
Cu^+	?	8,85	—	—	—	—	0
Fe^{3+}	1,88	?	?	—	—	—	0
Hg^{2+}	12,87	23,82*	27,60	29,83	—	—	0,5
In^{3+}	1,64	2,56	2,48*	—	—	—	0,7
Pb^{2+}	1,26	2,80*	3,42	3,92	—	—	1
Ti^+	1,41*	1,82	2,0	1,6	—	—	?
Ti^{2+}	11,41	20,88	27,60*	31,82	—	—	0
Zn^{2+}	-2,9	-1,6*	-1,7	-2,3	—	—	4,5
<i>Complexes avec le carbonate CO_3^{2-}</i>							
Ca^{2+}	3,2*	—	—	—	—	—	0
Cu^{2+}	6,0*	10,0	—	—	—	—	0
Mg^{2+}	3,40*	—	—	—	—	—	0
UO_2^{2+}	?	14,6	18,3	—	—	—	0

* Molécules neutres en solution.

Tableau 38 (suite)

Ion central	pK_1	$pK_{1,2}$	$pK_{1,2,3}$	$pK_{1,2,3,4}$	$pK_{1,2,3,4,5}$	$pK_{1,2,3,4,5,6}$	Force ionique
<i>Complexes avec le nitrate NO_3^-</i>							
Ag^+	-0,29*	—	—	—	—	—	0
Ba^{2+}	0,92	—	—	—	—	—	0
Bi^{3+}	1,26	—	—	—	—	—	0,1
Ca^{2+}	0,28	—	—	—	—	—	0
Cd^{2+}	0,40	—	—	—	—	—	0
Ce^{3+}	1,04	1,51	—	—	—	—	2
Fe^{3+}	1,0	—	—	—	—	—	0
Hf^{IV}	0,92	1,51	1,89	2,08*	2,08	1,81	4
Hg_2^{2+}	0,08	-0,24*	—	—	—	—	0,5
Hg_2^{2+}	0,35	~0*	—	—	—	—	?
La^{3+}	-0,26	—	—	—	—	—	1
Pb^{2+}	1,18	—	—	—	—	—	0
Pu^{IV}	0,54	—	—	—	—	—	1
Si^{2+}	0,82	—	—	—	—	—	0
Th^{IV}	0,78	1,11	1,00	0,74*	—	—	2
Ti^+	0,33*	—	—	—	—	—	0
Ti^{3+}	0,92	—	—	—	—	—	0,6
U^{IV}	0,36	0,47	0,42	0,18*	—	—	4
UO_2^{2+}	-1,4*	-1,4*	-0,5	—	—	—	1
Zr^{IV}	0,34	0,11	-0,26	-0,82*	-1,5	~ -1,7	4
<i>Complexes avec le nitrite NO_2^-</i>							
Ag^+	1,88*	2,83	—	—	—	—	?
Cd^{2+}	1,80	3,01*	3,81	3,1	—	—	3
Cu^{2+}	1,26	1,56*	4,6	—	—	—	5
Hg_2^{2+}	?	?	?	13,54	—	—	?
<i>Complexes avec le perchlorate ClO_4^-</i>							
Ce^{3+}	1,91	—	—	—	—	—	0
Fe^{3+}	1,15	—	—	—	—	—	0
Hg_2^{2+}	-0,05	—	—	—	—	—	?

* Molécules neutres en solution.

Tableau 38 (suite)

Ion central	pK_1	$pK_1, 2$	$pK_1, 2, 3$	$pK_1, 2, 3, 4$	$pK_1, 2, 3, 4, 5$	$pK_1, 2, 3, 4, 5, 6$	Force ionique
<i>Complexes avec le pyrophosphate $P_2O_7^{4-}$</i>							
Ba ²⁺	4,64	—	—	—	—	—	?
Ca ²⁺	5,00	—	—	—	—	—	?
Cd ²⁺	5,6	4,18	—	—	—	—	3,5
Ce ³⁺	17,15	—	—	—	—	—	0
Co ²⁺	4,0	—	—	—	—	—	?
Cu ⁺	?	26,72	—	—	—	—	?
Cu ²⁺	5,20	10,30	—	—	—	—	?
Fe ³⁺	?	5,55	—	—	—	—	?
K ⁺	2,3	—	—	—	—	—	0
Li ⁺	2,39	—	—	—	—	—	1
Mg ²⁺	5,70	—	—	—	—	—	0,02
Na ⁺	2,22	—	—	—	—	—	0
Ni ²⁺	5,82	7,19	—	—	—	—	0,1
Pb ²⁺	11,24	16,5	—	—	—	—	0,1
Sn ²⁺	14	—	—	—	—	—	?
Sr ²⁺	4,66	—	—	—	—	—	?
Tl ⁺	1,69	1,9	—	—	—	—	2
Zn ²⁺	8,7	11,0	—	—	—	—	?
<i>Complexes avec le pyrophosphate $HP_2O_7^{3-}$</i>							
Cu ²⁺	6,4	10,0	—	—	—	—	?
Li ⁺	1,03	—	—	—	—	—	1
Na ⁺	1,52	—	—	—	—	—	0
<i>Complexes avec le pyrophosphate $H_2P_2O_7^{2-}$</i>							
Sn ²⁺	4,48*	6,08	—	—	—	—	2
SnOH ⁺	5,48	7,30	—	—	—	—	2

* Molécules neutres en solution.

Tableau 38 (suite)

Ion central	pK_1	$pK_{1,2}$	$pK_{1,2,3}$	$pK_{1,2,3,4}$	$pK_{1,2,3,4,5}$	$pK_{1,2,3,4,5,6}$	Force ionique
<i>Complexes avec le rhodanate SCN^-</i>							
Ag^+	4,75*	8,23	9,45	9,67	—	—	0
Au^+	?	25	—	—	—	—	?
Au^{3+}	?	?	?	42,00	42,00	42,04	0
Bi^{3+}	1,15	2,26	?	3,41	?	4,23	0,1
Cd^{2+}	1,74	2,33*	~2	~3	—	—	0,1
Co^{2+}	3,0	3,0*	2,3	2,2	—	—	?
Cr^{3+}	3,08	4,8	5,8*	6,1	5,4	3,8	0
Cu^+	?	12,11	9,90	10,05	9,59	9,27	0
Cu^{2+}	2,30	3,65*	5,19	6,52	—	—	0
Fe^{2+}	0,95	0,07*	—	—	—	—	?
Fe^{3+}	3,03	4,33	4,63*	4,53	4,23	3,23	0
Hg^{2+}	?	17,47*	19,15	19,77	—	—	?
In^{3+}	2,58	3,60	4,63*	—	—	—	2
Ni^{2+}	1,18	1,64*	1,81	—	—	—	1
Pb^{2+}	1,09	2,52*	?	0,85	?	0,30	?
Th^{4+}	1,08	?	1,78	—	—	—	1
$TiOH^{3+}$	1,7	—	—	—	—	—	1
Tl^+	0,80*	0,65	0,2	0	—	—	0
U^{4+}	1,49	1,95	2,18	—	—	—	1
UO^{2+}	0,93	0,91*	1,35	—	—	—	0
Zn^{2+}	1,7	2,1*	2,2	3,7	—	—	0,1
$ZnOH^+$	2,01*	?	2,66	—	—	—	1,7
<i>Complexes avec le sélénate SeO_4^{2-}</i>							
Cd^{2+}	2,27*	—	—	—	—	—	0
Zn^{2+}	2,19*	—	—	—	—	—	0
<i>Complexes avec le sélénite SeO_3^{2-}</i>							
Cd^{2+}	?	5,15	—	—	—	—	1
Hg^{2+}	?	12,48	—	—	—	—	1

* Molécules neutres en solution.

Tableau 38 (suite)

Ion central	pK_1	$pK_{1,2}$	$pK_{1,2,3}$	$pK_{1,2,3,4}$	$pK_{1,2,3,4,5}$	$pK_{1,2,3,4,5,6}$	Force ionique
<i>Complexes avec le sulfate SO_4^{2-}</i>							
Al ³⁺	3,2	5,1	—	—	—	—	0
Ag ⁺	0,23	0,28	—	—	—	—	3
Ba ²⁺	2,36*	—	—	—	—	—	0
Ca ²⁺	2,31*	—	—	—	—	—	0
Cd ²⁺	2,31*	?	?	—	—	—	0
Ce ³⁺	3,37	—	—	—	—	—	0
Ce ⁴⁺	3,3	—	—	—	—	—	2
Co ²⁺	2,47*	—	—	—	—	—	0
Co ³⁺	1,34	—	—	—	—	—	2,7
Cu ²⁺	2,36*	?	—	—	—	—	0
Fe ²⁺	2,30*	—	—	—	—	—	0
Fe ³⁺	4,18	7,4	—	—	—	—	0
Hf ⁴⁺	3,11	5,58*	—	—	—	—	2
Hg ₂ ²⁺	1,30*	2,40	—	—	—	—	0,5
Hg ²⁺	1,34	2,3	—	—	—	—	0,5
In ³⁺	1,85	2,60	3,00	—	—	—	1
K ⁺	0,96	—	—	—	—	—	0
La ³⁺	3,82	—	—	—	—	—	0
Li ⁺	0,64	—	—	—	—	—	0
Mg ²⁺	2,36*	—	—	—	—	—	0
Mn ²⁺	2,28*	—	—	—	—	—	0
Na ⁺	0,72	—	—	—	—	—	0
Ni ²⁺	2,34*	—	—	—	—	—	0
Pb ²⁺	3,7*	—	—	—	—	—	0
Pu ³⁺	1,0	1,62	—	—	—	—	2
Pu ⁴⁺	3,66	—	6,46	4,44	—	—	1
Th ⁴⁺	3,32	5,70*	—	—	—	—	2
TiO ²⁺	2,40*	—	—	—	—	—	—
Tl ⁺	1,37	—	—	—	—	—	0
U ⁴⁺	3,24	5,42*	—	—	—	—	2

* Molécules neutres en solution.

Tableau 38 (suite)

Ion central	pK_1	$pK_{1,2}$	$pK_{1,2,3}$	$pK_{1,2,3,4}$	$pK_{1,2,3,4,5}$	$pK_{1,2,3,4,5,6}$	Force ionique
UO_2^{2+}	2,72*	4,20	—	—	—	—	0
VO_2^{2+}	2,48	—	—	—	—	—	0
Zn^{2+}	2,34*	—	—	—	—	—	0
Zr^{4+}	3,79	6,64*	7,77	—	—	—	2
<i>Complexes avec le sulfite SO_3^{2-}</i>							
Ag^+	5,60	8,68	9,00	—	—	—	0
Cd^{2+}	?	4,19	—	—	—	—	1
Cu^+	7,85	8,70	9,36	—	—	—	1
Hg^{2+}	?	24,07	24,96	—	—	—	0
Tl^{3+}	?	?	?	34	—	—	?
<i>Complexes avec le thiosulfate $S_2O_3^{2-}$</i>							
Ag^+	8,82	13,46	14,15	—	—	—	0
Ba^{2+}	2,33*	—	—	—	—	—	0
Ca^{2+}	1,91*	—	—	—	—	—	0
Cd^{2+}	3,94*	6,48	8,2	?	—	—	0
Co^{2+}	2,05*	—	—	—	—	—	0
Cu^+	10,27	12,22	13,84	—	—	—	2
Cu^{2+}	?	12,29	—	—	—	—	?
Fe^{2+}	2,0*	?	?	< 2	—	—	0
Fe^{3+}	2,10	—	—	—	—	—	0,5
Hg^{2+}	?	29,86	32,26	33,61	—	—	0
K^+	1,00	—	—	—	—	—	0
La^{3+}	0,8	—	—	—	—	—	1
Mg^{2+}	1,79*	—	—	—	—	—	0
Mn^{2+}	1,95*	—	—	—	—	—	0
Na^+	0,58	—	—	—	—	—	0
Ni^{2+}	2,06*	—	—	—	—	—	0
Pb^{2+}	2,7*	5,13	6,35	7,2	—	—	?
Sr^{2+}	2,04*	—	—	—	—	—	0

* Molécules neutres en solution.

Tableau 38 (suite)

Ion central	pK_1	$pK_{1,2}$	$pK_{1,2,3}$	$pK_{1,2,3,4}$	$pK_{1,2,3,4,5}$	$pK_{1,2,3,4,5,6}$	Force ionique
Tl ⁺	1,91	—	—	—	—	—	0
Tl ³⁺	?	?	?	41	—	—	?
Zn ²⁺	2,29*	4,59	?	< 0,6	—	—	0
<i>Complexes avec le tétramétaphosphate $P_4O_{12}^{4-}$</i>							
Ba ²⁺	4,99	—	—	—	—	—	0
Ca ²⁺	5,42	—	—	—	—	—	0
La ³⁺	6,66	—	—	—	—	—	0
Mg ²⁺	5,17	—	—	—	—	—	0
Mn ²⁺	5,74	—	—	—	—	—	0
Ni ²⁺	4,95	—	—	—	—	—	0
Sr ²⁺	5,15	—	—	—	—	—	0
<i>Complexes avec le trimétaphosphate $P_3O_9^{3-}$</i>							
Ba ²⁺	3,35	—	—	—	—	—	0
Ca ²⁺	3,45	—	—	—	—	—	0
La ³⁺	5,70	—	—	—	—	—	0
Mg ²⁺	3,31	—	—	—	—	—	0
Mn ²⁺	3,57	—	—	—	—	—	0
Na ⁺	1,17	—	—	—	—	—	0
Ni ²⁺	3,22	—	—	—	—	—	0
Sr ²⁺	3,35	—	—	—	—	—	0
<i>Complexes avec le phosphate PO_4^{3-}</i>							
Ce ³⁺	18,53*	—	—	—	—	—	0
<i>Complexes avec le phosphate HPO_4^{2-}</i>							
Ca ²⁺	2,70*	—	—	—	—	—	0
Fe ³⁺	9,75	—	—	—	—	—	0
Mg ²⁺	2,50*	—	—	—	—	—	0
Pu ^{IV}	12,9	23,7*	33,4	43,2	52,0	—	2

* Molécules neutres en solution.

Tableau 38 (suite)

Ion central	pK_1	$pK_1, 2$	$pK_1, 2, 3$	$pK_1, 2, 3, 4$	$pK_1, 2, 3, 4, 5$	$pK_1, 2, 3, 4, 5, 6$	Force ionique
<i>Complexes avec le phosphate $H_2PO_4^-$</i>							
Al ³⁺	~ 3	~ 5,3	7,6*	—	—	—	0,1
Ca ²⁺	1,08	—	—	—	—	—	0
Cu ²⁺	?	1,49*	—	—	—	—	0
Fe ³⁺	3,5	?	?	9,15	—	—	?
UO ₂ ²⁺	3,00	5,43*	7,33	—	—	—	0
<i>Complexes avec le phosphate H_3PO_4</i>							
Pu ^{IV}	2,3	—	—	—	—	—	2
Th ^{IV}	1,89	—	—	—	—	—	2
UO ₂ ²⁺	< 1,8	3,9	5,3	—	—	—	0
<i>Complexes avec le fluor F^-</i>							
Ag ⁺	0,36*	—	—	—	—	—	0
Al ³⁺	7,10	11,98	15,83*	18,53	20,20	20,67	0
Ba ²⁺	< 0,45	—	—	—	—	—	0
Be ²⁺	5,89	10,83*	14,39*	16,38	—	—	?
Ca ²⁺	< 1,04	—	—	—	—	—	0
Cd ²⁺	0,46	0,53*	—	—	—	—	1
Ce ³⁺	3,99	—	—	—	—	—	0
Cr ³⁺	5,20	8,54	11,02*	—	—	—	0
Cu ²⁺	1,23	—	—	—	—	—	0
Fe ³⁺	6,04	10,74	13,74*	15,74	16,10	~ 16,10	0
Ca ³⁺	4,5	8,3	11,0*	12,5	12,8	—	?
Hg ²⁺	1,56	—	—	—	—	—	0
In ³⁺	4,63	7,41	10,23*	—	—	—	0
La ³⁺	3,56	—	—	—	—	—	0
Mg ²⁺	1,82	—	—	—	—	—	0
Mn ²⁺	5,76	—	—	—	—	—	2
Pu ³⁺	7,94	—	—	—	—	—	0
Sc ³⁺	7,08	12,88	17,33*	20,81	—	—	0

* Molécules neutres en solution.

Tableau 38 (suite)

Ion central	pK_1	$pK_{1,2}$	$pK_{1,2,3}$	$pK_{1,2,3,4}$	$pK_{1,2,3,4,5}$	$pK_{1,2,3,4,5,6}$	Force ionique
Sn ²⁺	4,85	?	~ 10	—	—	—	0
Sn ⁴⁺	?	?	?	?	?	~ 25	0
Th ⁴⁺	7,65	13,46	17,97	—	—	—	0,5
Tl ⁺	0,10*	—	—	—	—	—	0
TiO ²⁺	5,4	9,8*	13,8	17,5	—	—	3
UO ₂ ²⁺	4,4	7,7*	10,3	11,7	—	—	0
VO ²⁺	3,3	5,5*	7,2	7,5	—	—	1
Y ³⁺	4,81	8,54	12,14*	—	—	—	0
Zn ²⁺	1,26	—	—	—	—	—	0
Zr ⁴⁺	9,80	17,37	23,45	—	—	—	0
<i>Complexes avec le chlorate ClO₃⁻</i>							
Ba ²⁺	0,7	—	—	—	—	—	0
Ag ⁺	0,22*	—	—	—	—	—	0
Th ⁴⁺	0,26	—	—	—	—	—	0,5
Tl ⁺	0,47*	—	—	—	—	—	0
<i>Complexes avec le chlore Cl⁻</i>							
Ag ⁺	3,04*	5,04	5,04	5,30	—	—	0
Au ⁺	?	9,42	—	—	—	—	0
Au ³⁺	?	?	?	21,30	—	—	0
Bi ³⁺	2,43	4,7	5,0*	5,6	6,1	6,42	1
Cd ²⁺	2,05	2,60*	2,4	2,9	—	—	0
Ce ³⁺	0,22	—	—	—	—	—	0
Cr ³⁺	0,60	-0,11	—	—	—	—	?
Cu ⁺	?	5,35	5,63	—	—	—	0
Cu ²⁺	0,07	-0,57*	-2,1	—	—	—	0
Fe ²⁺	0,36	0,40*	—	—	—	—	2
Fe ³⁺	1,45	2,10	1,10*	-0,85	—	—	0
Ga ³⁺	-0,6	-2,3	-4,5*	-6,8	—	—	0
Hg ²⁺	6,74	13,22*	14,07	15,07	—	—	0,5

* Molécules neutres en solution.

Tableau 38 (suite)

Ion central	pK_1	pK_1, a	pK_1, a, a	pK_1, a, a, a	pK_1, a, a, a, b	pK_1, a, a, a, a, a	Force ionique
In ³⁺	1,0	1,5	1,55*	1,35	—	—	0
Ir ³⁺	?	?	?	?	?	14,00	0
La ³⁺	-0,15	—	—	—	—	—	1
Mn ³⁺	0,95	—	—	—	—	—	2
MoO ₄ ²⁺	-0,3	-0,8*	-2,69	—	—	—	0
Pb ²⁺	1,62	2,44*	2,04	1,0	—	—	0
Pd ²⁺	6,1	10,5*	12,9	15,5	13,4	11,3	0
Pt ²⁺	?	?	14,00	16,00	—	—	0
Pu ³⁺	1,17	—	—	—	—	—	0
Pu ⁴⁺	-0,25	—	—	—	—	—	1
PuO ₂ ²⁺	0,10	-0,35*	—	—	—	—	2
Sn ²⁺	1,51	2,24*	2,03	1,48	—	—	0
SnOH ⁺	1,04*	—	—	—	—	—	3
Th ⁴⁺	1,38	0,38	0,23	-0,51*	—	—	0
Ti ⁺	0,52*	0,09	-0,8	—	—	—	0
Ti ³⁺	8,14	13,60	15,78*	18,00	17,47	—	0
U ⁴⁺	0,85	—	—	—	—	—	0
UO ₂ ²⁺	-0,1	-0,92*	-2,62	—	—	—	0
VO ₂ ²⁺	0,04	—	—	—	—	—	0
Zn ²⁺	-0,5	-1,0*	0,0	-1,0	—	—	0
Zr ⁴⁺	0,9	1,3	1,5	1,2*	—	—	6,5
<i>Complexes avec le cyanate CNO⁻</i>							
Ag ⁺	?	5,00	—	—	—	—	0
<i>Complexes avec le cyanure CN⁻</i>							
Ag ⁺	?	19,85	20,55	19,42	—	—	0
Au ⁺	?	38,3	—	—	—	—	0
Au ³⁺	?	?	?	56	—	—	0
Cd ²⁺	5,18	9,60*	13,92	17,11	—	—	?
Co ²⁺	?	—	?	?	?	19,09	5

* Molécules neutres en solution.

Tableau 38 (suite)

Ion central	pK_1	$pK_{1,2}$	$pK_{1,2,3}$	$pK_{1,2,3,4}$	$pK_{1,2,3,4,5}$	$pK_{1,2,3,4,5,6}$	Force ionique
Co ³⁺	?	—	?	?	?	64	?
Cu ²⁺	?	24,0	28,6	30,3	—	—	0
Fe ²⁺	?	?	?	?	15,7	24	0
Fe ³⁺	?	?	?	?	?	31	0
Hg ²⁺	18,0	34,70*	38,53	41,51	—	—	0
Ni ²⁺	?	?	?	31,0	30,3	—	0
Tl ³⁺	?	?	?	35	—	—	0
Zn ²⁺	?	?	17	19	—	—	?

B. Complexes avec les ligands organiques

Complexes avec l'acétate CH₃COO⁻

Ag ⁺	0,73*	0,64	—	—	—	—	0
Ba ²⁺	0,41	—	—	—	—	—	0
Ca ²⁺	0,77	—	—	—	—	—	0
Cd ²⁺	1,30	2,28*	2,42	2,00	—	0	3
Ce ³⁺	1,68	2,65	3,23*	—	—	—	1
Cu ²⁺	2,24	3,30*	—	—	—	—	0
Fe ²⁺	3,2	6,1*	8,3	—	—	—	0,1
Fe ³⁺	3,2	—	—	—	—	—	1
In ³⁺	3,50	5,95	7,90*	9,08	—	—	2
Mg ²⁺	0,82	—	—	—	—	—	0
Mn ²⁺	1,2	—	—	—	—	—	0
Ni ²⁺	1,12	1,81*	—	—	—	—	0
Pb ²⁺	2,52	4,0*	6,4	8,5	—	—	0
Sr ²⁺	0,44	—	—	—	—	—	0
Tl ⁺	-0,11*	—	—	—	—	—	0
Tl ³⁺	?	?	?	15,4	—	—	0,2
UO ₂ ²⁺	2,38	4,36*	6,34	—	—	—	1
Zn ²⁺	1,57	—	—	—	—	—	0

* Molécules neutres en solution.

Tableau 38 (suite)

Ion central	pK_1	$pK_{1,2}$	$pK_{1,2,3}$	$pK_{1,2,3,4}$	$pK_{1,2,3,4,5}$	$pK_{1,2,3,4,5,6}$	Force ionique
Complexes avec l'oxalate $(COO)_2^{2-}$							
Al ³⁺	7,3	13	16,3	—	—	—	0
Ba ²⁺	2,3*	—	—	—	—	—	0
Be ²⁺	~ 4*	~ 6,5	—	—	—	—	?
Ca ²⁺	~ 3*	—	—	—	—	—	0
Cd ²⁺	4,00*	5,77	—	—	—	—	0
Ce ³⁺	6,52	10,48	11,30	—	—	—	0
Co ²⁺	4,7*	6,7	9,7	—	—	—	0
Cu ²⁺	6,7*	10,3	—	—	—	—	0,3
Fe ²⁺	?	4,52	5,22	—	—	—	0,5
Fe ³⁺	9,4	16,2	20,2	—	—	—	0
Mg ²⁺	2,55*	4,38	—	—	—	—	0
Mn ²⁺	3,82*	5,25	—	—	—	—	0
Mn ³⁺	9,98	16,57	19,42	—	—	—	2
Nd ³⁺	7,21	11,51	> 13,5	—	—	—	0
Ni ²⁺	> 5,3*	6,51	~ 14	—	—	—	0
Pb ²⁺	?	6,54	—	—	—	—	0
Sr ²⁺	2,54*	—	—	—	—	—	0
Tl ⁺	2,03	—	—	—	—	—	0
Yb ³⁺	7,30	11,89	> 12,9	—	—	—	0
Zn ²⁺	5,00*	7,36	8,15	—	—	—	0
Complexes avec la 8-oxyquinoléine $(C_8H_6NO)^-$							
Ba ²⁺	2,07	—	—	—	—	—	0
Ca ²⁺	3,27	—	—	—	—	—	0
Cd ²⁺	7,2	13,4*	—	—	—	—	0,01
Co ²⁺	9,1	17,2*	—	—	—	—	0,01
Cu ²⁺	12,2	23,4*	—	—	—	—	0,01
Fe ²⁺	8,0	15,0*	—	—	—	—	0,01
Fe ³⁺	12,3	23,6	33,9*	—	—	—	0,01
Mg ²⁺	4,74	—	—	—	—	—	0

* Molécules neutres en solution.

Tableau 38 (suite)

Ion central	pK_1	$pK_{1,2}$	$pK_{1,2,3}$	$pK_{1,2,3,4}$	$pK_{1,2,3,4,5}$	$pK_{1,2,3,4,5,6}$	Force ionique
Mn ²⁺	6,8	12,6*	—	—	—	—	0,01
Ni ²⁺	9,9	18,7*	—	—	—	—	0,01
Pb ²⁺	9,02	—	—	—	—	—	0
Sr ²⁺	2,56	—	—	—	—	—	0
Th ⁴⁺	10,45	20,40	29,85	38,80*	—	—	0
UO ₂ ²⁺	11,25	20,89*	—	—	—	—	0,3
Zn ²⁺	8,50	16,72*	—	—	—	—	0
<i>Complexes avec la pyridine C₅H₅N</i>							
Ag ⁺	1,97	4,35	—	—	—	—	0
Cd ²⁺	1,27	2,14	2,30	2,50	—	—	0,1
Co ²⁺	1,14	1,54	—	—	—	—	0,5
Cu ⁺	?	3,3	—	—	—	—	?
Cu ²⁺	2,52	4,38	5,69	6,54	—	—	0,5
Fe ²⁺	0,71	?	?	6,7	—	—	0,5
Hg ²⁺	5,1	10,0	10,4	—	—	—	0,5
Ni ²⁺	1,78	2,82	3,13	—	—	—	0,5
Zn ²⁺	1,41	1,11	1,61	1,93	—	—	0,1
<i>Complexes avec le salicylate [C₆H₄(COO)O]²⁻</i>							
Al ³⁺	14,11	—	—	—	—	—	0
Ca ^{2+*}	0,36*	—	—	—	—	—	0,16
Cu ²⁺	10,6*	18,45	—	—	—	—	0,1
Fe ²⁺	6,55*	11,25	—	—	—	—	0,1
Fe ³⁺	16,48	28,16	36,84	—	—	—	0,25
Ni ²⁺	6,95*	11,75	—	—	—	—	0,1
Th ⁴⁺	4,25	7,60*	10,05	11,60	—	—	0,1
UO ₂ ²⁺	4,91*	—	—	—	—	—	?

* Molécules neutres en solution.
 ** CaHSal⁺ = Ca²⁺ + HSal⁻.

Tableau 38 (suite)

Ion central	pK_1	$pK_1, 2$	$pK_1, 2, 3$	$pK_1, 2, 3, 4$	$pK_1, 2, 3, 4, 5$	$pK_1, 2, 3, 4, 5, 6$	Force ionique
<i>Complexes avec le sulfosalicylate $C_6H_3O(COO)(SO_3)^{2-}$</i>							
Al^{3+}	13,20*	22,83	28,89	—	—	—	0,1
Be^{2+}	11,71	20,81	—	—	—	—	0,1
Cu^{2+}	9,52	16,45	—	—	—	—	0,1
Fe^{2+}	5,90	9,90	—	—	—	—	0,1
Fe^{3+}	15,02*	25,76	32,60	—	—	—	0,1
Mn^{2+}	5,24	8,24	—	—	—	—	0,1
UO_2^{2+}	11,14	19,20	—	—	—	—	0,1
<i>Complexes avec le tartrate $[(CHOH)_2(COO)]^{2-}$</i>							
Ba^{2+}	2,54*	—	—	—	—	—	0
Ca^{2+}	2,98*	9,01	—	—	—	—	0
Cu^{2+}	3,00*	5,11	5,76	6,20	—	—	1
Fe^{3+}	7,49	—	—	—	—	—	?
Mg^{2+}	1,36*	—	—	—	—	—	0,2
Pb^{2+}	3,78*	—	—	—	—	—	?
Sr^{2+}	1,59*	—	—	—	—	—	0,16
Zn^{2+}	2,68*	—	—	—	—	—	0,2
<i>Complexes avec la phénanthroline $C_{12}H_8N_2$</i>							
Ag^+	5,02	12,07	—	—	—	—	0,1
Ca^{2+}	0,5	—	—	—	—	—	0,5
Cd^{2+}	6,4	11,6	15,8	—	—	—	0,1
Co^{2+}	7,25	13,95	19,90	—	—	—	0,1
Cu^{2+}	9,25	16,00	21,35	—	—	—	0,1
Fe^{2+}	5,85	?	21,3	—	—	—	0
Fe^{3+}	6,5	11,4	23,5	—	—	—	0,1
Zn^{2+}	6,43*	12,15	17,0	—	—	—	0,1

* Molécules neutres en solution.

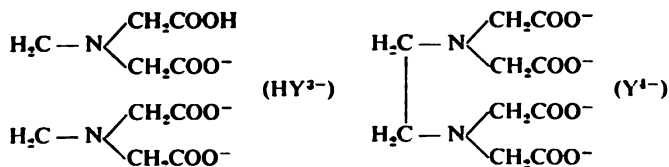
Tableau 38 (suite)

Ion central	pK_1	$pK_{1,2}$	$pK_{1,2,3}$	$pK_{1,2,3,4}$	$pK_{1,2,3,4,5}$	$pK_{1,2,3,4,5,6}$	Force ionique
<i>Complexes avec le citrate $[(CH_2)_2C(OH)(COO)_2]^{3-}$</i>							
Ba ²⁺	2,84	—	—	—	—	—	0,08
Be ²⁺	4,52	—	—	—	—	—	0,15
Ca ²⁺	4,85	—	—	—	—	—	0
Cd ²⁺	5,36	—	—	—	—	—	0
Co ²⁺	4,83	—	—	—	—	—	0,06
Cu ²⁺	14,21	—	—	—	—	—	0
Fe ²⁺	3,08	—	—	—	—	—	1
Fe ³⁺	11,7*	—	—	—	—	—	0,1
Mg ²⁺	3,29	—	—	—	—	—	0,09
Mn ²⁺	3,67	—	—	—	—	—	0,15
Ni ²⁺	5,11	—	—	—	—	—	0,15
Pb ²⁺	6,50	—	—	—	—	—	0
Sr ²⁺	2,90	—	—	—	—	—	0,15
UO ₂ ²⁺	7,40	—	—	—	—	—	0,1
<i>Complexes avec le citrate $[(CH_2)_2C(OH)(COOH)(COO)_2]^{2-}$</i>							
Be ²⁺	2,22*	—	—	—	—	—	0,15
Ca ²⁺	3,29*	—	—	—	—	—	0
Fe ²⁺	2,12*	—	—	—	—	—	0
Fe ³⁺	6,3	—	—	—	—	—	1
Pb ²⁺	5,72*	—	—	—	—	—	0

* Molécules neutres en solution.

Tableau 38 (suite)

Complexes avec l'éthylènediaminététraacétate



(Acide éthylènediaminététraacétique — H_4Y)
(Force ionique est égale à 0,1)

Ion central	$pK_1\text{HY}^{3-}$	$pK_1\text{Y}^{4-}$	Ion central	$pK_1\text{HY}^{3-}$	$pK_1\text{Y}^{4-}$
Ag^+	3,07	7,32	Mg^{2+}	2,28	8,69
Al^{3+}	8,4*	16,13	Mn^{2+}	6,9	14,04
Ba^{2+}	2,07	7,78	Na^+	—	1,66
Ca^{2+}	3,51	10,57	Ni^{2+}	11,56	18,62
Cd^{2+}	9,10	16,59	Pb^{2+}	10,61	18,04
Ce^{3+}	?	16,01	Pd^{2+}	?	18,5
Co^{2+}	9,15	16,21	Sc^{3+}	?	23,1
Co^{3+}	?	36	Sr^{2+}	2,30	8,63
Cr^{3+}	?	24,0	Th^{4+}	?	23,2*
Cu^{2+}	11,54	18,80	Ti^{3+}	?	21,3
Fe^{2+}	6,86	14,33	TiO^{2+}	?	17,3
Fe^{3+}	16,2*	25,10	Tl^{3+}	?	5,8
Ga^{3+}	11,39*	20,27	V^{2+}	?	12,70
Hg^{2+}	14,6	21,80	V^{3+}	?	25,9
In^{3+}	?	24,95	VO^{2+}	?	18,77
La^{3+}	?	15,19	Zn^{2+}	?	16,50

* Molécules neutres en solution.

Tableau 39

Mobilité de certains ions à 25 °C et en dilution infinie

La conductibilité électrique équivalente ($\text{ohm}^{-1} \cdot \text{cm}^2$) d'un électrolyte λ_{BA} est numériquement égale à la somme des mobilités de deux ions $\lambda_{\text{BA}} = \lambda_{\text{B}^+} + \lambda_{\text{A}^-}$

Cations	λ_{B^+}	Anions	λ_{A^-}
H^+	362	OH^-	205
K^+	76	$1/4 \text{ Fe(CN)}_6^{4-}$	114
NH_4^+	76	$1/3 \text{ Fe(CN)}_6^{3-}$	104
Tl^+	75	$1/2 \text{ SO}_4^{2-}$	83
$1/2 \text{ Pb}^{2+}$	73	$1/2 \text{ CrO}_4^{2-}$	82
$1/3 \text{ Fe}^{3+}$	68	Br^-	81
$1/2 \text{ Ba}^{2+}$	66	$1/3 \text{ PO}_4^{3-}$	80
Ag^+	64	I^-	80
$1/2 \text{ Ca}^{2+}$	62	Cl^-	79
$1/2 \text{ Sr}^{2+}$	62	NO_3^-	74
$1/2 \text{ Cu}^{2+}$	57	$1/2 \text{ C}_2\text{O}_4^{2-}$	74
$1/2 \text{ Zn}^{2+}$	56	ClO_4^-	71
$1/2 \text{ Mg}^{2+}$	55	$1/2 \text{ CO}_3^{2-}$	70
$1/2 \text{ Fe}^{2+}$	54	HCO_3^-	46
$1/2 \text{ Ni}^{2+}$	52	CH_3CO_2^-	42
Na^+	52	IO_3^-	41
Li^+	39		

Tableau 40

Potentiers normaux d'oxydation (E^0) par rapport au potentiel d'électrode * normale à hydrogène à 25 °C

(l — solution saturée en présence d'un solide ou d'un liquide ; ! — solution saturée de gaz sous pression de 1 atm)

Symbole de l'élément	Degré d'oxydation supérieur	+ ne	Degré d'oxydation inférieur	E^0 , V
Ag	Ag^{2+}	+ e	Ag^+	+ 2,00
	Ag^+	+ e	Ag	+ 0,7994
	AgBr l	+ e	$\text{Ag} + \text{Br}^-$	+ 0,071
	AgBrO_3 l	+ e	$\text{Ag} + \text{BrO}_3^-$	+ 0,55
	$\text{AgC}_2\text{H}_3\text{O}_2$ l	+ e	$\text{Ag} + \text{C}_2\text{H}_3\text{O}_2^-$	+ 0,64
	AgCN l	+ e	$\text{Ag} + \text{CN}^-$	- 0,04
	$\text{Ag}(\text{CN})_2^-$	+ e	$\text{Ag} + 2\text{CN}^-$	- 0,29
	$\text{Ag}(\text{CN})_3^{2-}$	+ e	$\text{Ag} + 3\text{CN}^-$	- 0,51
	AgCNO l	+ e	$\text{Ag} + \text{CNO}^-$	+ 0,41
	Ag_2CO_3 l	+ 2e	$2\text{Ag} + \text{CO}_3^{2-}$	+ 0,46
	$\text{Ag}_2\text{C}_2\text{O}_4$ l	+ 2e	$2\text{Ag} + \text{C}_2\text{O}_4^{2-}$	+ 0,472
	AgCl l	+ e	$\text{Ag} + \text{Cl}^-$	+ 0,224
	Ag_2CrO_4 l	+ 2e	$2\text{Ag} + \text{CrO}_4^{2-}$	+ 0,447
	$\text{Ag}_4\text{Fe}(\text{CN})_6$ l	+ 4e	$4\text{Ag} + \text{Fe}(\text{CN})_6^{4-}$	+ 0,194
	AgI l	+ e	$\text{Ag} + \text{I}^-$	- 0,152
	AgIO_3	+ e	$\text{Ag} + \text{IO}_3^-$	+ 0,35
	Ag_2MoO_4 l	+ 2e	$2\text{Ag} + \text{MoO}_4^{2-}$	+ 0,49
	$\text{Ag}(\text{NH}_3)_2^+$	+ e	$\text{Ag} + 2\text{NH}_3$	+ 0,373
	AgNO_2 l	+ e	$\text{Ag} + \text{NO}_2^-$	+ 0,59
	AgN_3 l	+ e	$\text{Ag} + \text{N}_3^-$	+ 0,293
	$2\text{AgO} + \text{H}_2\text{O}$	+ 2e	$\text{Ag}_2\text{O} + 2\text{OH}^-$	+ 0,60
	$\text{AgO}^+ + 2\text{H}^+$	+ e	$\text{Ag}^{2+} + \text{H}_2\text{O}$	~ + 2,1
	$\text{Ag}_2\text{O} + \text{H}_2\text{O}$	+ 2e	$2\text{Ag} + 2\text{OH}^-$	+ 0,344
	$\text{Ag}_2\text{O} + \text{H}_2\text{O}$	+ 2e	$2\text{AgO} + 2\text{OH}^-$	+ 0,74
	Ag_2S l	+ 2e	$2\text{Ag} + \text{S}^{2-}$	- 0,71
	AgSCN l	+ e	$\text{Ag} + \text{SCN}^-$	+ 0,09

* Sur le mode d'utilisation du Tableau 40 voir pp. 569-572.

Tableau 40 (suite)

Symbole de l'élément	Degré d'oxydation supérieur	+ne	Degré d'oxydation inférieur	E°, V
Ag	$\text{Ag}(\text{SO}_3)_2^{2-}$ $\text{Ag}(\text{S}_2\text{O}_3)_2^{2-}$ Ag_2SO_4 Ag_2WO_4	$+e$ $+e$ $+2e$ $+2e$	$\text{Ag} + 2\text{SO}_3^{2-}$ $\text{Ag} + 2\text{S}_2\text{O}_3^{2-}$ $2\text{Ag} + \text{SO}_4^{2-}$ $2\text{Ag} + \text{WO}_4^{2-}$	$+0,43$ $+0,01$ $+0,653$ $+0,53$
Al	Al^{3+} $\text{Al}_2 + 2\text{H}_2\text{O}$ $\text{Al}(\text{OH})_3$ AlF_4^-	$+3e$ $+3e$ $+3e$ $+3e$	Al $\text{Al} + 4\text{OH}^-$ $\text{Al} + 3\text{OH}^-$ $\text{Al} + 6\text{F}^-$	$-1,66$ $-2,35$ $-2,31$ $-2,07$
As	$\text{As} + 3\text{H}^+$ $\text{As} + 3\text{H}_2\text{O}$ $\text{HAsO}_2 + 3\text{H}^+$ $\text{H}_2\text{AsO}_4 + 2\text{H}^+$ $\text{AsO}_2^- + 2\text{H}_2\text{O}$ $\text{AsO}_3^{2-} + 2\text{H}_2\text{O}$	$+3e$ $+3e$ $+3e$ $+2e$ $+3e$ $+2e$	AsH_3 $\text{AsH}_3 + 3\text{OH}^-$ $\text{As} + 2\text{H}_2\text{O}$ $\text{HAsO}_2 + 2\text{H}_2\text{O}$ $\text{As} + 4\text{OH}^-$ $\text{AsO}_2^- + 4\text{OH}^-$	$-0,60$ $-1,37$ $+0,247$ $+0,56$ $-0,68$ $-0,71$
Au	Au^{3+} Au^{3+} Au^+ AuBr_2^- AuBr_4^- AuBr_4^- $\text{Au}(\text{CN})_2^-$ AuCl_2^- AuCl_4^- AuCl_4^- $\text{H}_2\text{AuO}_2 + \text{H}_2\text{O}$ $\text{Au}(\text{SCN})_2^-$ $\text{Au}(\text{SCN})_4^-$ $\text{Au}(\text{SCN})_4^-$	$+2e$ $+3e$ $+e$ $+e$ $+2e$ $+3e$ $+e$ $+e$ $+2e$ $+3e$ $+3e$ $+e$ $+2e$ $+3e$	Au^+ Au Au $\text{Au} + 2\text{Br}^-$ $\text{AuBr}_2^- + 2\text{Br}^-$ $\text{Au} + 4\text{Br}^-$ $\text{Au} + 2\text{CN}^-$ $\text{Au} + 2\text{Cl}^-$ $\text{AuCl}_2^- + 2\text{Cl}^-$ $\text{Au} + 4\text{Cl}^-$ $\text{Au} + 4\text{OH}^-$ $\text{Au} + 2\text{SCN}^-$ $\text{Au}(\text{SCN})_2^- + 2\text{SCN}^-$ $\text{Au} + 4\text{SCN}^-$	$+1,41$ $+1,50$ $+1,68$ $+0,96$ $+0,82$ $+0,87$ $-0,61$ $+1,11$ $+0,93$ $+0,99$ $+0,7$ $+0,69$ $+0,64$ $+0,66$

Tableau 40 (suite)

Symbole de l'élément	Degré d'oxydation supérieur	+ne	Degré d'oxydation inférieur	E°, V
B	$\text{H}_3\text{BO}_3 + 3\text{H}^+$ $\text{H}_2\text{BO}_3^- + \text{H}_2\text{O}$ BF_4^-	+ 3e + 3e + 3e	$\text{B} + 3\text{H}_2\text{O}$ $\text{B} + 4\text{OH}^-$ $\text{B} + 4\text{F}^-$	- 0,87 - 1,79 - 1,04
Ba	Ba^{2+}	+ 2e	Ba	- 2,90
Be	Be^{2+} $\text{Be}_2\text{O}_3^{2-} + 3\text{H}_2\text{O}$	+ 2e + 4e	Be $2\text{Be} + 6\text{OH}^-$	- 1,85 - 2,62
Bi	$\text{BiO}^+ + 2\text{H}^+$ $\text{Bi} + 3\text{H}^+$ $\text{NaBiO}_3 + 4\text{H}^+$ BiCl_4^- $\text{Bi}_2\text{O}_4 + 4\text{H}^+$ $\text{Bi}_2\text{O}_4 + \text{H}_2\text{O}$ $\text{Bi}_2\text{O}_3 + 3\text{H}_2\text{O}$ $\text{BiOCl} + 2\text{H}^+$	+ 3e + 3e + 2e + 3e + 2e + 2e + 6e + 3e	$\text{Bi} + \text{H}_2\text{O}$ $\text{Bi} + \text{H}_2$ $\text{BiO}^+ + \text{Na}^+ + 2\text{H}_2\text{O}$ $\text{Bi} + 4\text{Cl}^-$ $2\text{BiO}^+ + 2\text{H}_2\text{O}$ $\text{Bi}_2\text{O}_3 + 2\text{OH}^-$ $2\text{Bi} + 6\text{OH}^-$ $\text{Bi} + \text{H}_2\text{O} + \text{Cl}^-$	+ 0,32 < - 0,8 > + 1,8 + 0,16 + 1,59 + 0,56 - 0,46 + 0,16
Br	Br_2 Br_3^- $2\text{HBrO} + 2\text{H}^+$ $2\text{BrO}^- + 2\text{H}_2\text{O}$ $\text{HBrO} + \text{H}^+$ $\text{BrO}^- + \text{H}_2\text{O}$ $\text{BrO}_3^- + 5\text{H}^+$ $\text{BrO}_2^- + 2\text{H}_2\text{O}$ $2\text{BrO}_3^- + 12\text{H}^+$ $2\text{BrO}_3^- + 6\text{H}_2\text{O}$ $\text{BrO}_3^- + 6\text{H}^+$ $\text{BrO}_3^- + 3\text{H}_2\text{O}$	+ 2e + 2e + 2e + 2e + 2e + 2e + 4e + 4e + 10e + 10e + 6e + 6e	2Br^- 3Br^- $\text{Br}_2 + 2\text{H}_2\text{O}$ $\text{Br}_2 + 4\text{OH}^-$ $\text{Br}^- + \text{H}_2\text{O}$ $\text{Br}^- + 2\text{OH}^-$ $\text{HBrO} + 2\text{H}_2\text{O}$ $\text{BrO}^- + 4\text{OH}^-$ $\text{Br}_2 + 6\text{H}_2\text{O}$ $\text{Br}_2 + 12\text{OH}^-$ $\text{Br}^- + 3\text{H}_2\text{O}$ $\text{Br}^- + 6\text{OH}^-$	+ 1,087 + 1,05 + 1,6 + 0,45 + 1,34 + 0,76 + 1,45 + 0,54 + 1,52 + 0,50 + 1,45 + 0,61

Tableau 40 (suite)

Symbole de l'élément	Degré d'oxydation supérieur	+ne	Degré d'oxydation inférieur	E°, V
C	$\text{CH}_3\text{OH} + 2\text{H}^+$ $\text{C}_2\text{H}_5\text{OH} + 2\text{H}^+$ $\text{C}_6\text{H}_5\text{O}_2 + 2\text{H}^+$ (quinone) $(\text{CN})_2 + 2\text{H}^+$ $2\text{HCNO} + 2\text{H}^+$ $\text{HCNO} + 2\text{H}^+$ $\text{CNO}^- + \text{H}_2\text{O}$ $\text{HCHO} + 2\text{H}^+$ $\text{CH}_3\text{CHO} + 2\text{H}^+$ $\text{HCOOH} + 2\text{H}^+$ $\text{CH}_3\text{COOH} + 2\text{H}^+$ $\text{HCOO}^- + 2\text{H}_2\text{O}$ $\text{CO}_2 + 2\text{H}^+$ $\text{CO}_2 + \text{N}_2 + 6\text{H}^+$ $\text{CO}_2 + 2\text{H}^+$ $2\text{CO}_2 + 2\text{H}^+$	$+2e$ $+2e$ $+2e$ $+2e$ $+2e$ $+2e$ $+2e$ $+2e$ $+2e$ $+2e$ $+2e$ $+2e$ $+2e$ $+2e$ $+2e$ $+2e$ $+2e$	$\text{CH}_4 + \text{H}_2\text{O}$ $\text{C}_2\text{H}_6 + \text{H}_2\text{O}$ $\text{C}_6\text{H}_4(\text{OH})_2$ (hydroquinone) 2HCN $2\text{H}_2\text{O} + (\text{CN})_2 +$ $\text{HCN} + \text{H}_2\text{O}$ $\text{CN}^- + 2\text{OH}^-$ CH_3OH $\text{C}_2\text{H}_5\text{OH}$ HCHO CH_3CHO $\text{HCHO} + 3\text{OH}^-$ $\text{CO} + \text{H}_2\text{O}$ $\text{CO}(\text{NH}_2)_2 + \text{H}_2\text{O}$ (urée) HCOOH $\text{H}_2\text{C}_2\text{O}_4$	$+0,59$ $+0,46$ $+0,6994$ $+0,37$ $+0,33$ $+0,35$ $-0,97$ $+0,19$ $+0,19$ $-0,01$ $-0,12$ $-1,07$ $-0,12$ $+0,1$ $-0,20$ $-0,49$
Ca	Ca^{2+} $\text{Ca}(\text{OH})_2 +$	$+2e$ $+2e$	Ca $\text{Ca} + 2\text{OH}^-$	$-2,87$ $-3,03$
Cd	Cd^{2+} $\text{CdCO}_3 +$ $\text{Cd}(\text{CN})_2^-$ $\text{Cd}(\text{NH}_3)_2^+$ $\text{Cd}(\text{OH})_2 +$ $\text{CdS} +$	$+2e$ $+2e$ $+2e$ $+2e$ $+2e$ $+2e$	$\text{Cd} +$ $\text{Cd} + \text{CO}_3^{2-}$ $\text{Cd} + 4\text{CN}^-$ $\text{Cd} + 4\text{NH}_3$ $\text{Cd} + 2\text{OH}^-$ $\text{Cd} + \text{S}^{2-}$	$-0,402$ $-0,74$ $-1,09$ $-0,61$ $-0,81$ $-1,17$
Ce	Ce^{3+} $\text{Ce}(\text{ClO}_4)_2^-$ $\text{Ce}(\text{NO}_3)_2^-$ $\text{Ce}(\text{SO}_4)_2^-$	$+3e$ $+e$ $+e$ $+e$	$\text{Ce} +$ $\text{Ce}^{3+} + 6\text{ClO}_4^-$ $\text{Ce}^{3+} + 6\text{NO}_3^-$ $\text{Ce}^{3+} + 3\text{SO}_4^{2-}$	$-2,33$ $+1,70$ $+1,60$ $+1,44$

Tableau 40 (suite)

Symbole de l'élément	Degré d'oxydation supérieur	+ne	Degré d'oxydation inférieur	E°, V
Cl	$\text{Cl}_2 \uparrow$	+ 2e	2Cl^-	+ 1,359
	$2\text{HOCI} + 2\text{H}^+$	+ 2e	$\text{Cl}_2 \uparrow + \text{H}_2\text{O}$	+ 1,63
	$2\text{ClO}^- + 2\text{H}_2\text{O}$	+ 2e	$\text{Cl}_2 \uparrow + 4\text{OH}^-$	+ 0,40
	$\text{HClO} + \text{H}^+$	+ 2e	$\text{Cl}^- + \text{H}_2\text{O}$	+ 1,50
	$\text{ClO}^- + \text{H}_2\text{O}$	+ 2e	$\text{Cl}^- + 2\text{OH}^-$	+ 0,88
	$\text{HClO}_2 + 2\text{H}^+$	+ 2e	$\text{HClO} + \text{H}_2\text{O}$	+ 1,64
	$2\text{HClO}_2 + 6\text{H}^+$	+ 6e	$\text{Cl}_2 \uparrow + 4\text{H}_2\text{O}$	+ 1,63
	$\text{HClO}_2 + 3\text{H}^+$	+ 4e	$\text{Cl}^- + 2\text{H}_2\text{O}$	+ 1,56
	$\text{ClO}_2^- + \text{H}_2\text{O}$	+ 2e	$\text{ClO}^- + 2\text{OH}^-$	+ 0,66
	$\text{ClO}_2^- + 2\text{H}_2\text{O}$	+ 4e	$\text{Cl}^- + 4\text{OH}^-$	+ 0,77
	$\text{ClO}_2^- + 3\text{H}^+$	+ 2e	$\text{HClO}_2 + \text{H}_2\text{O}$	+ 1,21
	$\text{ClO}_2^- \uparrow + \text{H}_2\text{O}$	+ 2e	$\text{ClO}_2^- + 2\text{OH}^-$	+ 0,33
	$\text{ClO}_2^- + 2\text{H}^+$	+ e	$\text{ClO}_2 \uparrow + \text{H}_2\text{O}$	+ 1,15
	$\text{ClO}_2 \uparrow + \text{H}^+$	+ e	HClO_2	+ 1,27
	$\text{ClO}_2^- + 6\text{H}^+$	+ 6e	$\text{Cl}^- + 3\text{H}_2\text{O}$	+ 1,45
	$2\text{ClO}_2^- + 12\text{H}^+$	+ 10e	$\text{Cl}_2 \uparrow + 6\text{H}_2\text{O}$	+ 1,47
	$\text{ClO}_2^- + 3\text{H}_2\text{O}$	+ 6e	$\text{Cl}^- + 6\text{OH}^-$	+ 0,63
	$\text{ClO}_2 \uparrow + 4\text{H}^+$	+ 5e	$\text{Cl}^- + 2\text{H}_2\text{O}$	+ 1,50
	$\text{ClO}_2 \uparrow + 2\text{H}_2\text{O}$	+ 5e	$\text{Cl}^- + 4\text{OH}^-$	+ 0,85
	$\text{ClO}_2^- + 2\text{H}^+$	+ 2e	$\text{ClO}_2^- + \text{H}_2\text{O}$	+ 1,19
	$\text{ClO}_2^- + \text{H}_2\text{O}$	+ 2e	$\text{ClO}_2^- + 2\text{OH}^-$	+ 0,36
	$2\text{ClO}_2^- + 16\text{H}^+$	+ 14e	$\text{Cl}_2 \uparrow + 8\text{H}_2\text{O}$	+ 1,39
	$\text{Cl}_2 \uparrow + 8\text{H}^+$	+ 8e	$\text{Cl}^- + 4\text{H}_2\text{O}$	+ 1,38
	$\text{ClO}_2^- + 4\text{H}_2\text{O}$	+ 8e	$\text{Cl}^- + 8\text{OH}^-$	+ 0,56
Co	Co^{3+}	+ e	Co^{2+}	+ 1,84
	Co^{2+}	+ 3e	$\text{Co} \downarrow$	+ 0,33
	Co^{2+}	+ 2e	$\text{Co} \downarrow$	- 0,28
	$\text{CoCO}_3 \downarrow$	+ 2e	$\text{Co} \downarrow + \text{CO}_3^{2-}$	- 0,64
	$\text{Co}(\text{NH}_3)_6^{3+}$	+ e	$\text{Co}(\text{NH}_3)_6^{2+}$	+ 0,1
	$\text{Co}(\text{NH}_3)_6^{2+}$	+ 2e	$\text{Co} \downarrow + 6\text{NH}_3$	- 0,42
	$\text{Co}(\text{OH})_2 \downarrow$	+ 2e	$\text{Co} \downarrow + 2\text{OH}^-$	- 0,73
	$\text{Co}(\text{OH})_3 \downarrow$	+ e	$\text{Co}(\text{OH})_2 + \text{OH}^-$	+ 0,17
	$\text{CoS } \alpha \downarrow$	+ 2e	$\text{Co} \downarrow + \text{S}^{2-}$	- 0,88
	$\text{CoS } \beta \downarrow$	+ 2e	$\text{Co} \downarrow + \text{S}^{2-}$	- 1,01

Tableau 40 (suite)

Symbole de l'élément	Degré d'oxydation supérieur	+ne	Degré d'oxydation inférieur	E°, V
Cr	Cr^{3+} Cr^{3+} Cr^{2+} $\text{Cr}(\text{OH})_3$ $\text{Cr}(\text{OH})_2$ $\text{CrO}_2 + 2\text{H}_2\text{O}$ $\text{Cr}_2\text{O}_7^{2-} + 14\text{H}^+$ $\text{CrO}_4^{2-} + 4\text{H}_2\text{O}$	$+e$ $+3e$ $+2e$ $+3e$ $+2e$ $+3e$ $+6e$ $+3e$	Cr^{2+} Cr Cr $\text{Cr} + 3\text{OH}^-$ $\text{Cr} + 2\text{OH}^-$ $\text{Cr} + 4\text{OH}^-$ $2\text{Cr}^{3+} + 7\text{H}_2\text{O}$ $\text{Cr}(\text{OH})_3 + 5\text{OH}^-$	$-0,41$ $-0,74$ $-0,91$ $-1,3$ $-1,4$ $-1,2$ $+1,33$ $-0,13$
Cs	Cs^+	$+e$	Cs	$-2,914$
Cu	Cu^{2+} Cu^+ Cu^{2+} $\text{Cu}^{2+} + \text{Br}^-$ $\text{Cu}^{2+} + \text{Cl}^-$ $\text{Cu}^{2+} + \text{I}^-$ CuBr $\text{Cu}(\text{CN})_2^-$ CuCl CuI $\text{Cu}(\text{NH}_3)_4^{2+}$ $\text{Cu}(\text{NH}_3)_2^+$ $\text{Cu}(\text{NH}_3)_3^+$ $2\text{Cu}(\text{OH})_2$ $\text{Cu}_2\text{O} + \text{H}_2\text{O}$ $\text{Cu}(\text{OH})_2$ CuS Cu_2S CuSCN	$+2e$ $+e$ $+e$ $+e$ $+e$ $+e$ $+e$ $+e$ $+e$ $+e$ $+e$ $+e$ $+2e$ $+2e$ $+2e$ $+2e$ $+2e$ $+e$	Cu Cu Cu^+ CuBr CuCl CuI $\text{Cu} + \text{Br}^-$ $\text{Cu} + 2\text{CN}^-$ $\text{Cu} + \text{Cl}^-$ $\text{Cu} + \text{I}^-$ $\text{Cu}(\text{NH}_3)_2^+ + 2\text{NH}_3$ $\text{Cu} + 2\text{NH}_3$ $\text{Cu} + 4\text{NH}_3$ $\text{Cu}_2\text{O} + 2\text{OH}^- + \text{H}_2\text{O}$ $2\text{Cu} + 2\text{OH}^-$ $\text{Cu} + 2\text{OH}^-$ $\text{Cu} + \text{S}^{2-}$ $2\text{Cu} + \text{S}^{2-}$ $\text{Cu} + \text{SCN}^-$	$+0,337$ $+0,521$ $+0,153$ $+0,64$ $+0,54$ $+0,86$ $+0,033$ $-0,43$ $+0,137$ $-0,185$ $-0,01$ $-0,12$ $-0,07$ $-0,08$ $-0,36$ $-0,22$ $-0,70$ $-0,88$ $-0,27$
F	F_2	$+2e$	2F^-	$+2,87$

Tableau 40 (suite)

Symbole de l'élément	Degré d'oxydation supérieur	+ne	Degré d'oxydation inférieur	E°, V
Fe	Fe^{3+} Fe^{3+} Fe^{2+} $\text{Fe}(\text{CN})_6^{3-}$ $\text{FeCO}_3 \downarrow$ $\text{Fe}(\text{C}_{12}\text{H}_8\text{N}_2)_3^{3+}$ (1,10-phénanthroline) $\text{Fe}(\text{OH})_3 \downarrow$ $\text{Fe}(\text{OH})_2 \downarrow$ $\text{Fe}^{2+} + 8\text{H}^+$ $\text{Fe}_3\text{O}_4 + 8\text{H}^+$ $\text{FeS} \downarrow$	$+e$ $+3e$ $+2e$ $+e$ $+2e$ $+e$ $+e$ $+2e$ $+3e$ $+8e$ $+2e$	Fe^{2+} $\text{Fe} \downarrow$ $\text{Fe} \downarrow$ $\text{Fe}(\text{CN})_6^{4-}$ $\text{Fe} \downarrow + \text{CO}_3^{2-}$ $\text{Fe}(\text{C}_{12}\text{H}_8\text{N}_2)_3^{3+}$ $\text{Fe}(\text{OH})_2 \downarrow + \text{OH}^-$ $\text{Fe} \downarrow + 2\text{OH}^-$ $\text{Fe}^{3+} + 4\text{H}_2\text{O}$ $3\text{Fe} \downarrow + 4\text{H}_2\text{O}$ $\text{Fe} \downarrow + \text{S}^{2-}$	$+0,771$ $-0,036$ $-0,440$ $+0,356$ $-0,756$ $+1,06$ $-0,56$ $-0,877$ $> +1,9$ $-0,085$ $-0,95$
^l Ga	Ga^{3+} $\text{H}_2\text{GaO}_3 + \text{H}_2\text{O}$	$+3e$ $+3e$	$\text{Ga} \downarrow$ $\text{Ga} \downarrow + 4\text{OH}^-$	$-0,56$ $-1,22$
Ge	$\text{Ge} \downarrow + 4\text{H}^+$ Ge^{2+} $\text{GeO} \downarrow + 2\text{H}^+$ $\text{GeO}_2 \downarrow + 4\text{H}^+$ $\text{H}_2\text{GeO}_3 + 4\text{H}^+$ $\text{GeO}_2 \downarrow + 2\text{H}^+$ $\text{HGeO}_3^- + 2\text{H}_2\text{O}$	$+4e$ $+2e$ $+2e$ $+4e$ $+4e$ $+2e$ $+4e$	$\text{GeH}_4 \uparrow$ $\text{Ge} \downarrow$ $\text{Ge} \downarrow + \text{H}_2\text{O}$ $\text{Ge} \downarrow + 2\text{H}_2\text{O}$ $\text{Ge} \downarrow + 3\text{H}_2\text{O}$ $\text{GeO} \downarrow (\text{brun}) + \text{H}_2\text{O}$ $\text{Ge} \downarrow + 5\text{OH}^-$	$< -0,3$ $0,0$ $-0,29$ $-0,15$ $-0,13$ $-0,12$ $-1,0$
H	2H^+ $2\text{H}^+(10^{-7}M)$ $\text{H}_2 \uparrow$ $2\text{H}_2\text{O}$ $\text{H}_2\text{O}_2 + 2\text{H}^+$ $\text{HO}_2^- + \text{H}_2\text{O}$	$+2e$ $+2e$ $+2e$ $+2e$ $+2e$ $+2e$	$\text{H}_2 \uparrow$ $\text{H}_2 \uparrow$ 2H^- $\text{H}_2 \uparrow + 2\text{OH}^-$ $2\text{H}_2\text{O}$ 3OH^-	$\pm 0,0000$ $-0,414$ $-2,25$ $-0,828$ $+1,77$ $+0,88$

Tableau 40 (suite)

Symbole de l'élément	Degré d'oxydation supérieur	+ne	Degré d'oxydation inférieur	E°, V
Hf	$\text{HfO}_2^{2+} + 2\text{H}^+$ $\text{HfO}_2 + 4\text{m}^+$ $\text{HfO}(\text{OH})_2 + \text{H}_2\text{O}$	+ 4e + 4e + 4e	$\text{Hf} + \text{H}_2\text{O}$ $\text{Hf} + 2\text{H}_2\text{O}$ $\text{Hf} + 4\text{OH}^-$	- 1,70 - 1,57 - 2,50
Hg	2Hg_2^{2+} Hg_2^{2+} Hg_2^{+} $\text{Hg}_2\text{Br}_2 +$ $\text{Hg}(\text{CN})_2^{2-}$ $\text{Hg}_2(\text{CH}_3\text{COO})_2 +$ $\text{Hg}_2\text{C}_2\text{O}_4 +$ $\text{Hg}_2\text{Cl}_2 +$ $\text{Hg}_2\text{I}_2 +$ $\text{Hg}_2(\text{IO}_3)_2 +$ $\text{HgO} + (\text{rouge}) + \text{H}_2\text{O}$ $\text{HgS} + (\text{noir})$ $\text{HgS} + (\text{rouge})$ $\text{Hg}_2\text{SO}_4 +$	+ 2e + 2e + 2e + 2e + 2e + 2e + 2e + 2e + 2e + 2e + 2e + 2e + 2e + 2e + 2e + 2e	Hg_2^{2+} $\text{Hg} +$ $\text{Hg} +$ $2\text{Hg} + 2\text{Br}^-$ $\text{Hg} + 4\text{CN}^-$ $2\text{Hg} +$ $+ 2\text{CH}_3\text{COO}^-$ $2\text{Hg} + \text{C}_2\text{O}_4^{2-}$ $2\text{Hg} + 2\text{Cl}^-$ $2\text{Hg} + 2\text{I}^-$ $2\text{Hg} + 2\text{IO}_3^-$ $\text{Hg} + 2\text{OH}^-$ $\text{Hg} + \text{S}^{2-}$ $\text{Hg} + \text{S}^{2-}$ $\text{Hg} + \text{SO}_4^{2-}$	+ 0,907 + 0,850 + 0,792 + 0,1392 - 0,37 + 0,510 + 0,415 + 0,2680 - 0,040 + 0,394 + 0,098 - 0,67 - 0,70 + 0,614
I	$\text{I}_2 +$ I_2 I_2^- 2IBr 2IBr_2^- ICN $2\text{ICN} + 2\text{H}^+$ 2ICI 2ICI_2^- 2ICI_3 $2\text{HIO} + 2\text{H}^+$ $2\text{IO}^- + \text{H}_2\text{O}$ $\text{HIO} + \text{H}^+$	+ 2e + 2e + 2e + 2e + 2e + 2e + 2e + 2e + 2e + 6e + 2e + 2e + 2e	2I^- 2I^- 3I^- $\text{I}_2 + 2\text{Br}^-$ $\text{I}_2 + 4\text{Br}^-$ $\text{I}^- + \text{CN}^-$ $\text{I}_2 + 2\text{HCN}$ $\text{I}_2 + 2\text{Cl}^-$ $\text{I}_2 + 4\text{Cl}^-$ $\text{I}_2 + 6\text{Cl}^-$ $\text{I}_2 + 2\text{H}_2\text{O}$ $\text{I}_2 + 4\text{OH}^-$ $\text{I}^- + \text{H}_2\text{O}$	+ 0,536 + 0,621 + 0,545 + 1,02 + 0,87 + 0,30 + 0,63 + 1,19 + 1,06 + 1,28 + 1,45 + 0,45 + 0,99

Tableau 40 (suite)

Symbole de l'élément	Degré d'oxydation supérieur	+ ne	Degré d'oxydation inférieur	E°, V
I	$\text{IO}^- + \text{H}_2\text{O}$ $\text{IO}_2^- + 5\text{H}^+$ $\text{IO}_3^- + 2\text{H}_2\text{O}$ $2\text{IO}_3^- + 12\text{H}^+$ $2\text{IO}_3^- + 6\text{H}_2\text{O}$ $\text{IO}_3^- + 6\text{H}^+$ $\text{IO}_3^- + 3\text{H}_2\text{O}$ $\text{H}_3\text{IO}_6 + \text{H}^+$ H_3IO_6^- $\text{H}_3\text{IO}_6 + 7\text{H}^+$ $\text{H}_3\text{IO}_6^- + 3\text{H}_2\text{O}$	$+ 2e$ $+ 4e$ $+ 4e$ $+ 10e$ $+ 10e$ $+ 6e$ $+ 6e$ $+ 2e$ $+ 2e$ $+ 8e$ $+ 8e$	$\text{I}^- + 2\text{OH}^-$ $\text{HIO} + 2\text{H}_2\text{O}$ $\text{IO}^- + 4\text{OH}^-$ $\text{I}_2 + 6\text{H}_2\text{O}$ $\text{I}_2 + 12\text{OH}^-$ $\text{I}^- + 3\text{H}_2\text{O}$ $\text{I}^- + 6\text{OH}^-$ $\text{IO}_2^- + 3\text{H}_2\text{O}$ $\text{IO}_3^- + 3\text{OH}^-$ $\text{I}^- + 6\text{H}_2\text{O}$ $\text{I}^- + 9\text{OH}^-$	$+ 0,49$ $+ 1,14$ $+ 0,14$ $+ 1,19$ $+ 0,21$ $+ 1,08$ $+ 0,26$ $\sim + 1,6$ $\sim + 0,7$ $\sim + 1,24$ $\sim + 0,37$
In	In^{3+} In^{3+} $\text{In}(\text{OH})_3$	$+ 3e$ $+ 2e$ $+ 3e$	In In^+ $\text{In} + 3\text{OH}^-$	$- 0,33$ $- 0,40$ $- 1,0$
Ir	Ir^{3+} IrCl_6^{3-} IrCl_6^{3-} IrCl_6^{3-} $\text{IrO}_2 + 4\text{H}^+$ $\text{IrO}_2 + 2\text{H}_2\text{O}$ $\text{Ir}_2\text{O}_3 + 3\text{H}_2\text{O}$	$+ 3e$ $+ 3e$ $+ e$ $+ 4e$ $+ 4e$ $+ 4e$ $+ 6e$	Ir $\text{Ir} + 6\text{Cl}^-$ IrCl_6^{3-} $\text{Ir} + 6\text{Cl}^-$ $\text{Ir} + 2\text{H}_2\text{O}$ $\text{Ir} + 4\text{OH}^-$ $2\text{Ir} + 6\text{OH}^-$	$\sim + 1,15$ $+ 0,77$ $+ 1,02$ $+ 0,83$ $+ 0,93$ $+ 0,1$ $+ 0,1$
K	K^+	$+ e$	K	$- 2,925$
La	La^{3+} $\text{La}(\text{OH})_3$	$+ 3e$ $+ 3e$	La $\text{La} + 3\text{OH}^-$	$- 2,52$ $- 2,90$
Li	Li^+	$+ e$	Li	$- 3,03$

Tableau 40 (suite)

Symbole de l'élément	Degré d'oxydation supérieur	+ne	Degré d'oxydation inférieur	E°, V
Mg	Mg ²⁺ Mg(OH) ₂	+ 2e + 2e	Mg Mg + 2OH ⁻	- 2,37 - 2,69
Mn	Mn ³⁺ Mn ²⁺ Mn(CN) ₆ ³⁻ MnCO ₃ Mn(OH) ₂ Mn(OH) ₃ MnO ₂ + 4H ⁺ MnO ₂ ⁺ + 4H ⁺ MnO ₂ ⁺ + 2H ₂ O MnO ₄ ⁻ MnO ₄ ⁻ + 4H ⁺ MnO ₄ ⁻ + 2H ₂ O MnO ₄ ⁻ + 8H ⁺	+ e + 2e + e + 2e + 2e + e + 2e + 2e + 2e + e + 3e + 3e + 5e	Mn ²⁺ Mn Mn(CN) ₆ ⁴⁻ Mn + CO ₃ ²⁻ Mn + 2OH ⁻ Mn(OH) ₂ + OH ⁻ Mn ²⁺ + 2H ₂ O MnO ₂ + 2H ₂ O MnO ₂ + 4OH ⁻ MnO ₄ ⁻ MnO ₂ + 2H ₂ O MnO ₂ + 4OH ⁻ Mn ²⁺ + 4H ₂ O	+ 1,51 - 1,19 - 0,244 - 1,48 - 1,18 + 0,1 + 1,23 + 2,26 + 0,6 + 0,56 + 1,69 + 0,60 + 1,51
Mo	Mo ³⁺ Mo(CN) ₆ ³⁻ MoO ₄ ²⁺ + 4H ⁺ MoO ₄ ²⁺ H ₂ MoO ₄ + 6H ⁺ MoO ₄ ²⁻ + 4H ₂ O	+ 3e + e + 2e + e + 6e + 6e	Mo Mo(CN) ₆ ⁴⁻ Mo ³⁺ + 2H ₂ O MoO ₄ ²⁺ Mo + 4H ₂ O Mo + 8OH ⁻	- 0,2 + 0,73 ~ 0,0 + 0,48 0,0 - 1,05
N	HN ₃ + 11H ⁺ N ₃ ⁻ + 7H ₂ O 3N ₂ + 2H ⁺ 3N ₂ N ₂ + 2H ₂ O + 4H ⁺ N ₂ + 4H ₂ O N ₂ + 5H ⁺ N ₂ + 4H ₂ O	+ 8e + 6e + 2e + 2e + 2e + 2e + 4e + 4e	3NH ₄ ⁺ N ₂ H ₄ + NH ₃ + 7OH ⁻ 2HN ₃ 2N ₂ (2NH ₄ OH)H ⁺ 2NH ₄ OH + 2OH ⁻ (N ₂ H ₄)H ⁺ N ₂ H ₄ + 4OH ⁻	+ 0,69 - 0,62 - 3,1 - 3,4 - 1,87 - 3,04 - 0,23 - 1,16

Tableau 40 (suite)

Symbole de l'élément	Degré d'oxydation supérieur	+ ne	Degré d'oxydation inférieur	E°, V
N	$N_2 + 8H^+$	+ 6e	$2NH_4^+$	+ 0,26
	$N_2 + 8H_2O$	+ 6e	$2NH_4OH + 6OH^-$	- 0,74
	$(N_2H_4)H^+ + 3H^+$	+ 2e	$2NH_4^+$	+ 1,27
	$N_2H_4 + 4H_2O$	+ 2e	$2NH_4OH + 2OH^-$	+ 0,1
	$(NH_4OH)H^+ + 2H^+$	+ 2e	$NH_4^+ + H_2O$	+ 1,35
	$NH_4OH + 2H_2O$	+ 2e	$NH_4OH + 2OH^-$	+ 0,42
	$H_2N_2O_2 + 2H^+$	+ 2e	$N_2 + 2H_2O$	+ 2,65
	$H_2N_2O_2 + 6H^+$	+ 4e	$(2NH_4OH)H^+$	+ 0,50
	$2HNO_2 + 4H^+$	+ 4e	$H_2N_2O_2 + 2H_2O$	+ 0,83
	$HNO_2 + H^+$	+ e	$NO + H_2O$	+ 0,99
	$NO_2^- + H_2O$	+ e	$NO + 2OH^-$	- 0,46
	$2HNO_2 + 4H^+$	+ 4e	$N_2O + 3H_2O$	+ 1,29
	$2HNO_2 + 6H^+$	+ 6e	$N_2 + 4H_2O$	+ 1,44
	$2NO_2^- + 4H_2O$	+ 6e	$N_2 + 8OH^-$	+ 0,41
	$HNO_2 + 7H^+$	+ 6e	$NH_4^+ + 2H_2O$	+ 0,86
	$NO_2^- + 6H_2O$	+ 6e	$NH_4OH + 7OH^-$	- 0,15
	$N_2O + 2H^+$	+ 2e	$N_2 + H_2O$	+ 1,77
	$N_2O + H_2O$	+ 2e	$N_2 + 2OH^-$	+ 0,94
	$2NO + 4H^+$	+ 4e	$N_2 + 2H_2O$	+ 1,68
	$2NO + 2H_2O$	+ 4e	$N_2 + 4OH^-$	+ 0,85
	$N_2O_4 + 2H^+$	+ 2e	$2HNO_2$	+ 1,07
	N_2O_4	+ 2e	$2NO_2^-$	+ 0,88
	$N_2O_4 + 8H^+$	+ 8e	$N_2 + 4H_2O$	+ 1,35
	$N_2O_4 + 4H_2O$	+ 8e	$N_2 + 8OH^-$	+ 0,53
	$NO_2^- + 3H^+$	+ 2e	$HNO_2 + H_2O$	+ 0,94
	$NO_2^- + H_2O$	+ 2e	$NO_2^- + 2OH^-$	+ 0,01
	$NO_2^- + 2H^+$	+ e	$NO_2 + H_2O$	+ 0,80
	$NO_2^- + H_2O$	+ e	$NO_2 + 2OH^-$	- 0,86
	$NO_2^- + 4H^+$	+ 3e	$NO + 2H_2O$	+ 0,96
	$NO_2^- + 2H_2O$	+ 3e	$NO + 4OH^-$	- 0,14
	$2NO_2^- + 12H^+$	+ 10e	$N_2 + 6H_2O$	+ 1,24
	$NO_2^- + 8H^+$	+ 6e	$(NH_4OH)H^+ + 2H_2O$	+ 0,73
	$2NO_2^- + 17H^+$	+ 14e	$(N_2H_4)H^+ + 6H_2O$	+ 0,84
	$NO_2^- + 10H^+$	+ 8e	$NH_4^+ + 3H_2O$	+ 0,87
	$NO_2^- + 7H_2O$	+ 8e	$NH_4OH + 9OH^-$	- 0,12

Tableau 40 (suite)

Symbole de l'élément	Degré d'oxydation supérieur	+ne	Degré d'oxydation inférieur	E°, V
Na	Na ⁺	+ e	Na _l	- 2,713
Nb	Nb ³⁺ Nb ₂ O ₅ + 10OH ⁺ NbO ²⁺ + 2H ⁺ NbO(SO ₄) ₂ ⁻ + 2H ⁺ NbO(SO ₄) ₂ ⁻ + 2H ⁺	+ 3e + 10e + 2e + 2e + 5e	Nb _l Nb _l + 5H ₂ O Nb ³⁺ + H ₂ O Nb ³⁺ + H ₂ O + + 2SO ₄ ²⁻ Nb _l + H ₂ O + + 2SO ₄ ²⁻	- 1,1 - 0,65 - 0,34 - 0,1 - 0,63
Ni	Ni ²⁺ Ni(CN) ₄ ²⁻ NiCO ₃ + Ni(OH) ₂ + Ni(NH ₃) ₆ ²⁺ NiO ₂ + 4H ⁺ NiO ₂ + 2H ₂ O NiO ₂ ²⁻ + 8H ⁺ NiS α + NiS γ +	+ 2e + e + 2e + 2e + 2e + 2e + 4e + 2e + 2e	Ni _l Ni(CN) ₄ ²⁻ + CN ⁻ Ni _l + CO ₃ ²⁻ Ni _l + 2OH ⁻ Ni _l + 6NH ₃ Ni ²⁺ + 2H ₂ O Ni(OH) ₂ + 2OH ⁻ Ni ²⁺ + 4H ₂ O Ni + S ²⁻ Ni _l + S ²⁻	- 0,23 - 0,4 - 0,45 - 0,72 - 0,49 + 1,68 + 0,49 > + 1,8 + 0,76 - 0,99
O	O ₂ + 4H ⁺ O ₂ + 4H ⁺ (10 ⁻⁷ M) O ₂ + 2H ₂ O O ₂ + 2H ⁺ O ₂ + H ₂ O H ₂ O ₂ + 2H ⁺ HO ₂ ⁻ + H ₂ O O ₃ + 2H ⁺ O ₃ + H ₂ O	+ 4e + 4e + 4e + 2e + 2e + 2e + 2e + 2e + 2e	2H ₂ O 2H ₂ O 4OH ⁻ H ₂ O ₂ HO ₂ ⁻ + OH ⁻ 2H ₂ O 3OH ⁻ O ₂ + H ₂ O O ₂ + 2OH ⁻	+ 1,229 + 0,815 + 0,401 + 0,682 - 0,076 + 1,77 + 0,88 + 2,07 + 1,24

Tableau 40 (suite)

Symbole de l'élément	Degré d'oxydation supérieur	+ ne	Degré d'oxydation inférieur	E°, V
Os	Os^{2+} OsCl_2^- OsCl_3^- OsCl_4^- $\text{OsO}_4 + 6\text{Cl}^- + 8\text{H}^+$ $\text{OsO}_4 + 8\text{H}^+$ $\text{HOsO}_5^- + 4\text{H}_2\text{O}$	$+ 2e$ $+ e$ $+ 3e$ $+ e$ $+ 4e$ $+ 8e$ $+ 8e$	Os OsCl_2^- $\text{Os} + 6\text{Cl}^-$ $\text{Os}^{2+} + 6\text{Cl}^-$ $\text{OsCl}_3^- + 4\text{H}_2\text{O}$ $\text{Os} + 4\text{H}_2\text{O}$ $\text{Os} + 9\text{OH}^-$	$+ 0,85$ $+ 0,85$ $+ 0,71$ $+ 0,4$ $+ 1,0$ $+ 0,85$ $+ 0,02$
P	$\text{P} + 3\text{H}^+$ $\text{P} + 3\text{H}_2\text{O}$ $\text{H}_3\text{PO}_2 + \text{H}^+$ H_2PO_2^- $\text{H}_3\text{PO}_3 + 3\text{H}^+$ $\text{H}_3\text{PO}_3 + 2\text{H}^+$ $\text{HPO}_3^{2-} + 2\text{H}_2\text{O}$ $\text{H}_4\text{P}_2\text{O}_6 + 2\text{H}^+$ $\text{H}_3\text{PO}_4 + 5\text{H}^+$ $\text{H}_3\text{PO}_4 + 4\text{H}^+$ $2\text{H}_3\text{PO}_4 + 2\text{H}^+$ $\text{H}_3\text{PO}_4 + 2\text{H}^+$ $\text{PO}_4^{3-} + 2\text{H}_2\text{O}$	$+ 3e$ $+ 3e$ $+ e$ $+ e$ $+ 3e$ $+ 2e$ $+ 2e$ $+ 2e$ $+ 5e$ $+ 4e$ $+ 2e$ $+ 2e$ $+ 2e$	PH_3 $\text{PH}_2 + 3\text{OH}^-$ $\text{P} + 2\text{H}_2\text{O}$ $\text{P} + 2\text{OH}^-$ $\text{P} + 3\text{H}_2\text{O}$ $\text{H}_3\text{PO}_2 + \text{H}_2\text{O}$ $\text{H}_2\text{PO}_2^- + 3\text{OH}^-$ $2\text{H}_3\text{PO}_3$ $\text{P} + 4\text{H}_2\text{O}$ $\text{H}_3\text{PO}_2 + 2\text{H}_2\text{O}$ $\text{H}_4\text{P}_2\text{O}_6 + 2\text{H}_2\text{O}$ $\text{H}_3\text{PO}_3 + \text{H}_2\text{O}$ $\text{HPO}_3^{2-} + 3\text{OH}^-$	$+ 0,06$ $- 0,89$ $- 0,51$ $- 2,05$ $- 0,50$ $- 0,50$ $- 1,57$ $+ 0,38$ $- 0,41$ $- 0,39$ $- 0,94$ $- 0,276$ $- 1,12$
Pb	Pb^{2+} Pb^{4+} Pb^{4+} PbBr_2 PbCO_3 PbCl_2 PbF_2 PbI_2 $\text{PbO} + \text{H}_2\text{O}$ $\text{HPbO}_2^- + \text{H}_2\text{O}$	$+ 2e$ $+ 2e$ $+ 4e$ $+ 2e$ $+ 2e$ $+ 2e$ $+ 2e$ $+ 2e$ $+ 2e$ $+ 2e$	Pb Pb^{2+} Pb $\text{Pb} + 2\text{Br}^-$ $\text{Pb} + \text{CO}_3^{2-}$ $\text{Pb} + 2\text{Cl}^-$ $\text{Pb} + 2\text{F}^-$ $\text{Pb} + 2\text{I}^-$ $\text{Pb} + 2\text{OH}^-$ $\text{Pb} + 3\text{OH}^-$	$- 0,126$ $+ 1,8$ $+ 0,84$ $- 0,274$ $- 0,506$ $- 0,266$ $- 0,350$ $- 0,364$ $- 0,58$ $- 0,54$

Tableau 40 (suite)

Symbole de l'élément	Degré d'oxydation supérieur	+ne	Degré d'oxydation inférieur	E°, V
Pb	$\text{PbO}_2 + \text{H}_2\text{O}$ $\text{PbO}_2 + 4\text{H}^+$ $\text{PbO}_2 + 4\text{H}^+ + \text{SO}_4^{2-}$ $\text{PbO}_2 + \text{H}_2\text{O}$ PbS PbSO_4	$+2e$ $+2e$ $+2e$ $+2e$ $+2e$ $+2e$	$\text{PbO} + 2\text{OH}^-$ $\text{Pb}^{2+} + 2\text{H}_2\text{O}$ $\text{PbSO}_4 + 2\text{H}_2\text{O}$ $\text{PbO}_2 + 2\text{OH}^-$ $\text{Pb} + \text{S}^{2-}$ $\text{Pb} + \text{SO}_4^{2-}$	$+0,28$ $+1,455$ $+1,68$ $+0,2$ $-0,91$ $-0,356$
Pd	Pd^{2+} PdCl_4^{2-} PdCl_6^{2-} PdCl_2 $\text{Pd}(\text{OH})_2$ $\text{Pd}(\text{OH})_4$	$+2e$ $+2e$ $+2e$ $+4e$ $+2e$ $+2e$	Pd $\text{Pd} + 4\text{Cl}^-$ $\text{PdCl}_4^{2-} + 2\text{Cl}^-$ $\text{Pd} + 6\text{Cl}^-$ $\text{Pd} + 2\text{OH}^-$ $\text{Pd}(\text{OH})_2 + 2\text{OH}^-$	$+0,987$ $+0,623$ $+1,29$ $+0,96$ $+0,07$ $\sim +0,73$
Pt	Pt^{2+} PtCl_4^{2-} PtCl_6^{2-} $\text{Pt}(\text{OH})_2$ $\text{Pt}(\text{OH})_2 + 2\text{H}^+$	$+2e$ $+2e$ $+2e$ $+2e$ $+2e$	Pt $\text{Pt} + 4\text{Cl}^-$ $\text{PtCl}_4^{2-} + 2\text{Cl}^-$ $\text{Pt} + 2\text{OH}^-$ $\text{Pt} + 2\text{H}_2\text{O}$	$\sim +1,2$ $+0,73$ $+0,720$ $+0,15$ $+0,98$
Pu	Pu^{3+} Pu^{4+} PuO_2^{2+} $\text{PuO}_2^{2+} + 4\text{H}^+$ $\text{Pu}(\text{OH})_3$ $\text{Pu}(\text{OH})_4$	$+3e$ $+e$ $+e$ $+2e$ $+3e$ $+e$	Pu Pu^{3+} PuO_2^{2+} $\text{Pu}^{4+} + 2\text{H}_2\text{O}$ $\text{Pu} + 3\text{OH}^-$ $\text{Pu}(\text{OH})_3 + \text{OH}^-$	$-2,03$ $+0,970$ $+0,916$ $+1,04$ $-2,42$ $-0,95$
Ra	Ra^{2+}	$+2e$	Ra	$-2,92$
Rb	Rb^+	$+e$	Rb	$-2,93$

Tableau 40 (suite)

Symbole de l'élément	Degré d'oxydation supérieur	+ne	Degré d'oxydation inférieur	E°, V
Re	Re Re^+ Re^{3+} $\text{ReO}_2 + 4\text{H}^+$ $\text{ReO}_3 + 2\text{H}^+$ $\text{ReO}_4^- + 8\text{H}^+$ $\text{ReO}_4^- + 4\text{H}^+$ $\text{ReO}_4^- + 2\text{H}^+$ $\text{ReO}_4^- + 4\text{H}_2\text{O}$ $\text{ReO}_4^- + 2\text{H}_2\text{O}$	$+e$ $+2e$ $+3e$ $+4e$ $+2e$ $+7e$ $+3e$ $+e$ $+7e$ $+3e$	Re^- Re^- Re $\text{Re} + 2\text{H}_2\text{O}$ $\text{ReO}_2 + \text{H}_2\text{O}$ $\text{Re} + 4\text{H}_2\text{O}$ $\text{ReO}_2 + 2\text{H}_2\text{O}$ $\text{ReO}_3 + 2\text{H}_2\text{O}$ $\text{Re} + 8\text{OH}^-$ $\text{ReO}_2 + 4\text{OH}^-$	$-0,4$ $-0,23$ $\sim +0,3$ $+0,26$ $+0,4$ $+0,37$ $+0,51$ $+0,77$ $-0,584$ $-0,595$
Rh	Rh^{3+} RhCl_6^{3-} $\text{Rh}_2\text{O}_3 + 6\text{H}^+$ $\text{RhO}_2 + 4\text{H}^+ + 6\text{Cl}^-$ $\text{RhO}^{2+} + 2\text{H}^+$ $\text{RhO}_2^{+} + 6\text{H}^+$	$+3e$ $+3e$ $+6e$ $+e$ $+e$ $+2e$	Rh $\text{Rh} + 6\text{Cl}^-$ $2\text{Rh} + 3\text{H}_2\text{O}$ $\text{RhCl}_6^{3-} + 2\text{H}_2\text{O}$ $\text{Rh}^{3+} + \text{H}_2\text{O}$ $\text{RhO}^{2+} + 3\text{H}_2\text{O}$	$\sim +0,8$ $+0,44$ $+0,87$ $> +1,4$ $+1,40$ $+1,46$
Ru	Ru^{2+} RuCl_3 RuCl_5 $\text{RuCl}_5\text{OH}^{2-} + \text{H}^+$ RuO_4^- RuO_4	$+2e$ $+3e$ $+2e$ $+e$ $+e$ $+e$	Ru $\text{Ru} + 3\text{Cl}^-$ $\text{Ru}^{2+} + 5\text{Cl}^-$ $\text{RuCl}_5^{2-} + \text{H}_2\text{O}$ RuO_4^{+} RuO_4^-	$+0,45$ $+0,68$ $+0,3$ $+1,3$ $+0,59$ $+1,00$
S	S $\text{S} + 2\text{H}^+$ 5S $(\text{SCN})_2$ $\text{S}_4\text{O}_6^{2-}$ $\text{S}_2\text{O}_3^{2-} + 6\text{H}^+$ $2\text{H}_2\text{SO}_3 + 2\text{H}^+$	$+2e$ $+2e$ $+2e$ $+2e$ $+2e$ $+4e$ $+4e$	S^{2-} H_2S HS^- 2SCN^- $2\text{S}_2\text{O}_3^{2-}$ $2\text{S} + 3\text{H}_2\text{O}$ $\text{S}_2\text{O}_3^{2-} + 3\text{H}_2\text{O}$	$-0,48$ $+0,14$ $-0,34$ $+0,77$ $+0,09$ $+0,5$ $+0,40$

Tableau 40 (suite)

Symbole de l'élément	Degré d'oxydation supérieur	+ne	Degré d'oxydation inférieur	E°, V
S	$2\text{SO}_3^{2-} + 3\text{H}_2\text{O}$ $2\text{H}_2\text{SO}_3 + \text{H}^+$ $2\text{SO}_3^{2-} + 2\text{H}_2\text{O}$ $\text{SO}_3^{2-} + 4\text{H}^+$ $\text{SO}_3^{2-} + \text{H}_2\text{O}$ $2\text{SO}_3^{2-} + 10\text{H}^+$ $2\text{SO}_3^{2-} + 5\text{H}_2\text{O}$ $\text{SO}_3^{2-} + 8\text{H}^+$ $\text{SO}_3^{2-} + 4\text{H}_2\text{O}$ $\text{SO}_3^{2-} + 10\text{H}^+$ $\text{SO}_3^{2-} + 4\text{H}_2\text{O}$ $\text{S}_2\text{O}_8^{2-}$	$+4e$ $+2e$ $+2e$ $+2e$ $+2e$ $+8e$ $+8e$ $+6e$ $+6e$ $+8e$ $+8e$ $+2e$	$\text{S}_2\text{O}_8^{2-} + 6\text{OH}^-$ $\text{HS}_2\text{O}_8^{2-} + 2\text{H}_2\text{O}$ $\text{S}_2\text{O}_8^{2-} + 4\text{OH}^-$ $\text{H}_2\text{SO}_3 + \text{H}_2\text{O}$ $\text{SO}_3^{2-} + 2\text{OH}^-$ $\text{S}_2\text{O}_8^{2-} + 5\text{H}_2\text{O}$ $\text{S}_2\text{O}_8^{2-} + 10\text{OH}^-$ $\text{S} + 4\text{H}_2\text{O}$ $\text{S} + 8\text{OH}^-$ $\text{H}_2\text{S} + 4\text{H}_2\text{O}$ $\text{S}^{2-} + 8\text{OH}^-$ 2SO_3^{2-}	$-0,58$ $-0,08$ $-1,12$ $+0,17$ $-0,93$ $+0,29$ $-0,76$ $+0,36$ $-0,75$ $+0,31$ $-0,68$ $+2,0$
Sb	$\text{Sb} + 3\text{H}^+$ $\text{SbO}^+ + 2\text{H}^+$ $\text{Sb}_2\text{O}_3 + 6\text{H}^+$ $\text{SbO}_2^- + 2\text{H}_2\text{O}$ $\text{Sb}_2\text{O}_4 + 4\text{H}^+$ $\text{Sb}_2\text{O}_5 + 4\text{H}^+$ $\text{Sb}_2\text{O}_5 + 6\text{H}^+$ $\text{SbO}_2^- + \text{H}_2\text{O}$	$+3e$ $+3e$ $+6e$ $+3e$ $+2e$ $+4e$ $+4e$ $+2e$	SbH_3 $\text{Sb} + \text{H}_2\text{O}$ $2\text{Sb} + 3\text{H}_2\text{O}$ $\text{Sb} + 4\text{OH}^-$ $2\text{SbO}^+ + 2\text{H}_2\text{O}$ $\text{Sb}_2\text{O}_3 + 2\text{H}_2\text{O}$ $2\text{SbO}^+ + 3\text{H}_2\text{O}$ $\text{SbO}_2^- + 2\text{OH}^-$	$-0,51$ $+0,212$ $+0,152$ $-0,675$ $+0,68$ $+0,69$ $+0,58$ $-0,43$
Sc	Sc^{3+}	$+3e$	Sc	$-2,08$
Se	$\text{Se} + 2\text{H}^+$ $\text{H}_2\text{SeO}_3 + 4\text{H}^+$ $\text{SeO}_3^{2-} + 3\text{H}_2\text{O}$ $\text{SeO}_3^{2-} + 4\text{H}^+$ $\text{SeO}_3^{2-} + \text{H}_2\text{O}$	$+2e$ $+4e$ $+4e$ $+2e$ $+2e$	H_2Se $\text{Se} + 3\text{H}_2\text{O}$ $\text{Se} + 6\text{OH}^-$ $\text{H}_2\text{SeO}_3 + \text{H}_2\text{O}$ $\text{SeO}_3^{2-} + 2\text{OH}^-$	$-0,40$ $+0,74$ $-0,366$ $+1,15$ $+0,05$
Si	$\text{Si} + 4\text{H}^+$ $\text{Si} + 4\text{H}_2\text{O}$	$+4e$ $+4e$	SiH_4 $\text{SiH}_4 + 4\text{OH}^-$	$+0,10$ $-0,73$

Tableau 40 (suite)

Symbole de l'élément	Degré d'oxydation supérieur	+ne	Degré d'oxydation inférieur	E°, V
Si	SiF_6^{4-} $\text{SiO}_2 + 4\text{H}^+$ $\text{H}_2\text{SiO}_3 (\text{aqueux}) + 4\text{H}^+$ $\text{SiO}_3^{2-} + 3\text{H}_2\text{O}$	$+4e$ $+4e$ $+4e$ $+4e$	$\text{Si} + 6\text{F}^-$ $\text{Si} + 2\text{H}_2\text{O}$ $\text{Si} + 3\text{H}_2\text{O}$ $\text{Si} + 6\text{OH}^-$	$-1,2$ $-0,86$ $-0,79$ $-1,7$
Sn	Sn^{2+} Sn^{4+} Sn^{4+} $\text{HSnO}_2^- + \text{H}_2\text{O}$ $\text{Sn}(\text{OH})_4^{2-}$	$+2e$ $+2e$ $+4e$ $+2e$ $+2e$	Sn Sn^{2+} Sn $\text{Sn} + 3\text{OH}^-$ $\text{HSnO}_2^- + 3\text{OH}^- + \text{H}_2\text{O}$	$-0,140$ $+0,15$ $+0,01$ $-0,91$ $-0,93$
Sr	Sr^{2+}	$+2e$	Sr	$-2,89$
Ta	$\text{Ta}_2\text{O}_5 + 10\text{H}^+$	$+10e$	$2\text{Ta} + 5\text{H}_2\text{O}$	$-0,81$
Te	$\text{Te} + 2\text{H}^+$ Te $\text{TeO}_2 + 4\text{H}^+$ $\text{TeO}_2\text{H}^+ + 3\text{H}^+$ $\text{TeO}_3^{2-} + 3\text{H}_2\text{O}$ $\text{H}_6\text{TeO}_6 + 2\text{H}^+$ $\text{TeO}_3^{2-} + \text{H}_2\text{O}$	$+2e$ $+2e$ $+4e$ $+4e$ $+4e$ $+2e$ $+2e$	H_2Te Te^{2-} $\text{Te} + 2\text{H}_2\text{O}$ $\text{Te} + 2\text{H}_2\text{O}$ $\text{Te} + 6\text{OH}^-$ $\text{TeO}_2 + 4\text{H}_2\text{O}$ $\text{TeO}_3^{2-} + 2\text{OH}^-$	$-0,72$ $-1,14$ $+0,53$ $+0,56$ $-0,57$ $+1,02$ $> +0,4$
Th	Th^{4+} $\text{Th}(\text{OH})_4$	$+4e$ $+4e$	Th $\text{Th} + 4\text{OH}^-$	$-1,90$ $-2,48$
Ti	Ti^{2+} $\text{TiO}_2 + 4\text{H}^+$	$+2e$ $+4e$	Ti $\text{Ti} + 2\text{H}_2\text{O}$	$-1,63$ $-0,86$

Tableau 40 (suite)

Symbole de l'élément	Degré d'oxydation supérieur	+ ne	Degré d'oxydation inférieur	E°, V
Ti	$\text{TiO}^{2+} + 2\text{H}^+$ $\text{TiO}^{2+} + 2\text{H}^+$ Ti^{3+} Ti_2^{3+}	$+4e$ $+e$ $+e$ $+4e$	$\text{Ti} + \text{H}_2\text{O}$ $\text{Ti}^{3+} + \text{H}_2\text{O}$ Ti^{2+} $\text{Ti} + 6\text{F}^-$	$\sim -0,88$ $\sim +0,1$ $-0,37$ $-1,19$
Tl	Tl^+ $\text{TlBr} +$ $\text{TlCl} +$ $\text{TlOH} +$ Tl^{3+} $\text{Tl}_2\text{O}_3 + 3\text{H}_2\text{O}$	$+e$ $+e$ $+e$ $+e$ $+2e$ $+4e$	$\text{Tl} +$ $\text{Tl} + \text{Br}^-$ $\text{Tl} + \text{Cl}^-$ $\text{Tl} + \text{OH}^-$ Tl^+ $2\text{Tl}^+ + 6\text{OH}^-$	$-0,336$ $-0,656$ $-0,557$ $-0,344$ $+1,28$ $+0,02$
U	U^{3+} U^{4+} $\text{U}(\text{OH})_3 +$ $\text{UO}_2 + 2\text{H}_2\text{O}$ $\text{UO}_2^{2+} + 4\text{H}^+$ UO_3^{2+} $\text{UO}_3^{2+} + 4\text{H}^+$	$+3e$ $+e$ $+3e$ $+4e$ $+e$ $+2e$ $+2e$	$\text{U} +$ U^{3+} $\text{U} + 3\text{OH}^-$ $\text{U} + 4\text{OH}^-$ $\text{U}^{4+} + 2\text{H}_2\text{O}$ $\text{UO}_2 +$ $\text{U}^{4+} + 2\text{H}_2\text{O}$	$-1,8$ $-0,64$ $-2,17$ $-2,39$ $+0,55$ $+0,45$ $+0,33$
V	V^{2+} V^{3+} $\text{VO}^{3+} + 2\text{H}^+$ VO^{2+} $\text{VO}_2^{2+} + 2\text{H}^+$ $\text{VO}_2^{2+} + 4\text{H}^+$ $\text{VO}_2^{2+} + 4\text{H}^+$ $\text{VO}_2^{2+} + 4\text{H}^+$ $\text{VO}_2^{2+} + 6\text{H}^+$ $\text{H}_2\text{VO}_4^- + 4\text{H}^+$	$+2e$ $+e$ $+e$ $+e$ $+e$ $+2e$ $+3e$ $+5e$ $+2e$ $+e$	$\text{V} +$ V^{2+} $\text{V}^{3+} + \text{H}_2\text{O}$ VO^{2+} $\text{VO}^{2+} + \text{H}_2\text{O}$ $\text{V}^{3+} + 2\text{H}_2\text{O}$ $\text{V}^{2+} + 2\text{H}_2\text{O}$ $\text{V} + 2\text{H}_2\text{O}$ $\text{VO}^{2+} + 3\text{H}_2\text{O}$ $\text{VO}^{2+} + 3\text{H}_2\text{O}$	$-1,18$ $-0,255$ $+0,337$ $-0,044$ $+0,9994$ $+0,668$ $+0,360$ $-0,25$ $+1,26$ $+1,31$

Tableau 40 (suite)

Symbole de l'élément	Degré d'oxydation supérieur	+ne	Degré d'oxydation inférieur	E°, V
W	$\text{WO}_2 \downarrow + 4\text{H}^+$ $\text{W}(\text{CN})_8^{3-}$ $\text{W}_2\text{O}_5 \downarrow + 2\text{H}^+$ $\text{WO}_3 \downarrow + 6\text{H}^+$ $2\text{WO}_3 \downarrow + 2\text{H}^+$ $\text{WO}_4^{2-} + 8\text{H}^+$ $\text{WO}_4^{2-} + 4\text{H}_2\text{O}$	$+4e$ $+e$ $+2e$ $+6e$ $+2e$ $+6e$ $+6e$	$\text{W} \downarrow + 2\text{H}_2\text{O}$ $\text{W}(\text{CN})_8^{3-}$ $2\text{WO}_2 \downarrow + \text{H}_2\text{O}$ $\text{W} \downarrow + 3\text{H}_2\text{O}$ $\text{W}_2\text{O}_5 \downarrow + \text{H}_2\text{O}$ $\text{W} \downarrow + 4\text{H}_2\text{O}$ $\text{W} \downarrow + 8\text{OH}^-$	$-0,12$ $+0,457$ $-0,04$ $-0,09$ $-0,03$ $+0,05$ $-1,05$
Y	Y^{3+}	$+3e$	$\text{Y} \downarrow$	$-2,37$
Zn	Zn^{2+} $\text{Zn}(\text{CN})_4^{2-}$ $\text{Zn}(\text{NH}_3)_4^{2+}$ $\text{Zn}(\text{OH})_2 \downarrow$ $\text{ZnO}_2^{2-} + 2\text{H}_2\text{O}$ $\text{ZnS} \downarrow$ (wurtzite)	$+2e$ $+2e$ $+2e$ $+2e$ $+2e$ $+2e$	$\text{Zn} \downarrow$ $\text{Zn} \downarrow + 4\text{CN}^-$ $\text{Zn} \downarrow + 4\text{NH}_3$ $\text{Zn} \downarrow + 2\text{OH}^-$ $\text{Zn} \downarrow + 4\text{OH}^-$ $\text{Zn} \downarrow + \text{S}^{2-}$	$-0,7628$ $-1,26$ $-1,04$ $-1,245$ $-1,216$ $-1,40$
Zr	$\text{ZrO}^{2+} + 2\text{H}^+$ $\text{ZrO}_2 \downarrow + 4\text{H}^+$ $\text{H}_2\text{ZrO}_3 \downarrow + \text{H}_2\text{O}$	$+4e$ $+4e$ $+4e$	$\text{Zr} \downarrow + \text{H}_2\text{O}$ $\text{Zr} \downarrow + 2\text{H}_2\text{O}$ $\text{Zr} \downarrow + 4\text{OH}^-$	$-1,57$ $-1,43$ $-2,36$

Tableau 41

Indicateurs d'oxydo-réduction les plus importants

(par ordre de leurs potentiels normaux d'oxydo-réduction)

A. Indicateurs dont le comportement dépend peu du pH et de la force

Indicateur	Formule
Dipyridyle-2,2' (complexe avec le ruthénium)	$\text{Ru}^{3+} \left(\text{C}_5\text{H}_4\text{N}_2 \right)_3$
Nitro- <i>o</i> -phénanthroline (nitro-ferroïne, complexe avec Fe^{2+})	$\text{Fe}^{2+} \left(\text{C}_{14}\text{H}_8\text{N}_2\text{O}_2 \right)_3$
Acide N-phénylanthranilique	<chem>O=C(O)c1ccccc1Nc2ccccc2</chem>
Phénanthroline-1,10 (ferroïne, complexe avec Fe^{2+})	$\text{Fe}^{2+} \left(\text{C}_{12}\text{H}_8\text{N}_2 \right)_3$
<i>p</i> -Ethoxychrysoïdine	<chem>CCOC1=CC=C(C=C1)/N=N/C2=CC(=CC=C2)N.N.Cl</chem>

ionique d'une solution

Solution	E° (V)	Coloration	
		de la forme oxydée	de la forme réduite
Dans HCl dilué	+ 1,33	Incolore	Jaune
0,025 M dans l'eau	+ 1,25	Bleu pâle	Rouge λ_{\max} -510 nm
a. à 0,2 % dans l'eau b. à 0,1 % dans une solution à 0,2 % de Na_2CO_3	+ 1,08	Violet-rouge	Incolore
0,025 M ; 1,624 de chlorhydrate de phénanthroline et 0,695 g de FeSO_4 dans 100 ml d'eau	+ 1,06	Bleu pâle	Rouge λ_{\max} -510 nm
Dans l'eau	+ 1,00	Rouge	Jaune

Indicateur	Formule
Dipyridyle-2,2' (complexe avec Fe^{2+})	$\text{Fe}^{2+} \left(\begin{array}{c} \text{---} \text{N} \text{---} \end{array} \right)_3$
Diméthyl-5,6-phénanthroline-1,10 (complexe avec Fe^{2+})	$\text{Fe}^{2+} \left(\begin{array}{c} \text{H}_3\text{C} \quad \text{CH}_3 \\ \text{---} \text{N} \text{---} \end{array} \right)_3$
<i>o</i>-Dianisidine	$\begin{array}{c} \text{H}_3\text{CO} \quad \text{OCH}_3 \\ \text{H}_2\text{N} \text{---} \text{---} \text{NH}_2 \end{array}$
Diphénylaminosulfonate de sodium ou de baryum	$\begin{array}{c} \text{---} \text{N} \text{---} \text{SO}_3^- \\ \\ \text{H} \end{array}$
Diphénylbenzidine	$\begin{array}{c} \text{---} \text{N} \text{---} \text{---} \text{N} \text{---} \\ \quad \quad \\ \text{H} \quad \quad \text{H} \end{array}$
Diphénylamine	$\begin{array}{c} \text{---} \text{N} \text{---} \\ \\ \text{H} \end{array}$

Tableau 41 (suite)

Solution	E^0 (V)	Coloration	
		de la forme oxydée	de la forme réduite
Dans HCl dilué	+ 0,97	Bleu pâle	Rouge
0,025 M dans l'eau	+ 0,97	Jaune-vert	—
Dans HCl dilué	+ 0,85	Rouge	Incolore
à 0,05 % dans l'eau	+ 0,84	Rouge-violet	Incolore
à 1 % dans H ₂ SO ₄ concentré	+ 0,76	Violet	Incolore
à 1 % dans H ₂ SO ₄ concentré	+ 0,76	Violet	Incolore

B. Indicateurs sensibles à la variation de pH et de force ionique

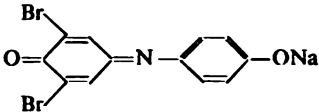
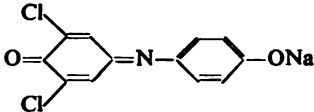
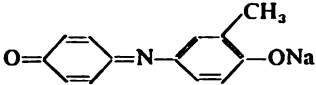
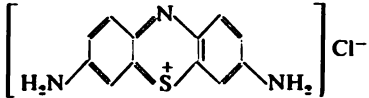
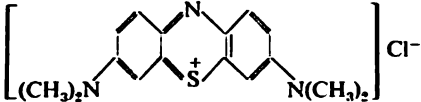
Indicateur	Formule
Dibromo-2,6-benzolindophénol (sel sodique)	
Dichloro-2,6-phénolindophénol (sel sodique)	
o-Crésolindophénol (sel sodique)	
Thionine (diaminophénothiazine)	
Bleu de méthylène	

Tableau 41 (suite)

d'une solution

Solution	E° (V) à pH égal		Coloration	
	0	7	de la forme oxydée	de la forme réduite
à 0,02 % dans l'eau	+0,64	+0,22	Bleu	Incolore
à 0,02 % dans l'eau	+0,64	+0,22	Bleu	Incolore
à 0,02 % dans l'eau	+0,62	+0,19	Bleu	Incolore
à 0,05 % dans l'alcool à 60 %	+0,56	+0,06	Violet	Incolore
à 0,05 % dans l'eau	+0,53	+0,01	Bleu	Incolore

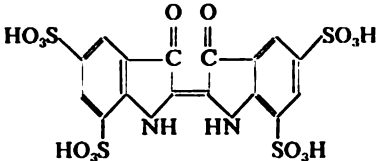
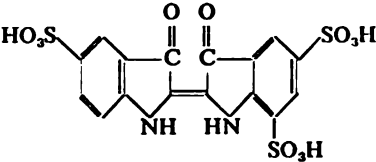
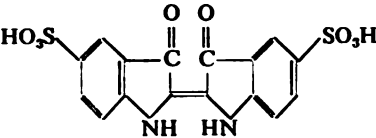
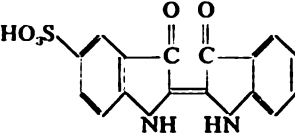
Indicateur	Formule
Acide indigotétrasulfonique	
Acide indigotrisulfonique	
Carmin d'indigo (acide indigodisulfonique)	
Acide indigomonosulfonique	

Tableau 41 (suite)

Solution	E° (V) à pH égal		Coloration	
	0	7	de la forme oxydée	de la forme réduite
à 0,05 % dans l'eau	+0,37	−0,05	Bleu	Incolore
à 0,05 % dans l'eau	+0,33	−0,08	Bleu	Incolore
à 0,05 % dans l'eau	+0,29	−0,13	Bleu	Incolore
à 0,05 % dans l'eau	+0,26	−0,16	Bleu	Incolore

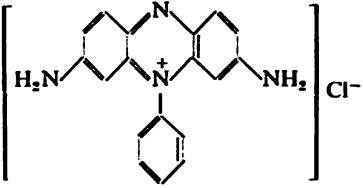
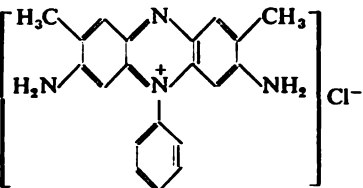
Indicateur	Formule
Phénosafranine	
Safranine T	
Rouge neutre	Voir <i>Tableau 19</i> , n° 43

Tableau 41 (suite)

Solution	E° (V) à pH égal		Coloration	
	0	7	de la forme oxydée	de la forme réduite
à 0,05 % dans l'eau	+ 0,28	− 0,25	Rouge	Incolore
à 0,05 % dans l'eau	+ 0,24	− 0,29	Violet-rouge	Incolore
à 0,01 % dans l'alcool à 60 %	+ 0,24	− 0,33	Rouge	Incolore

Tableau 42

Longueurs d'onde du spectre et colorations correspondantes

Gamme de longueurs d'onde de la lumière absorbée (nm)	Couleur de l'émission absorbée	Couleur complémentaire (couleur observée de la solution)
400 à 450	Violet	Jaune-vert
450 à 480	Bleu	Jaune
480 à 490	Vert-bleu	Orangé
490 à 500	Bleu-vert	Rouge
500 à 560	Vert	Pourpre
560 à 575	Jaune-vert	Violet
575 à 590	Jaune	Bleu
590 à 625	Orangé	Vert-bleu
625 à 750	Rouge	Bleu-vert

Tableau 43

Méthodes photométriques de dosage de divers ions

Ion à doser	Réactif	Solvant	pH ou acidité	λ_{max} (nm)	Coefficient molaire d'absorption de la lumière ($\cdot 10^{-4}$)
Al ³⁺	Aluminon Arsénazo Morine Oxyquinoléine Stilbazo Eriochromocyanine R	Eau Eau Alcool à 95 % Chloroforme Eau Eau	4,5 — — 4,35 à 4,5 5,4 4 à 6	525 600 415 405 260 500 530	24 13,0 18 4,9 80 19,5 40
Ag ⁺	Diithizone Diéthylthiocarbamate Rhodanine (<i>p</i> -diméthylaminobenzylidènerhodanine)	Tétrachlorure de carbone Tétrachlorure de carbone Eau + éthanol, 4 % en volume	H ₂ SO ₄ , 0,5 N 2,6 à 5 1,3	462 340 595	30,5 5,4 23,2

Tableau 43 (suite)

Ion à doser	Réactif	Solvant	pH ou acidité	λ_{max} (nm)	Coefficient molaire d'absorption de la lumière ($\epsilon \cdot 10^{-3}$)
As^{3+} AsO_3^{3-}	Diéthylthiocarbamate	Tétrachlorure de carbone	3 à 6	340	3,6
	Molybdate d'ammonium + hydrazinesulfate	Eau	1 à 1,3	840	25
	Molybdate de sodium	Butanol	HCl dilué (1:3)	370	5,1
	Molybdate de sodium + vanadate de sodium	Eau	HCl, 1 N	400	2,5
AuBr_4^- AuCl_4^-	Acide bromhydrique	Eau	~ 1	380	4,8
	Rhodamine B	Benzène	HCl, 1 N	565	97
	Violet de méthyle	Trichloréthylène	HCl, 1 N	600	115
B^{3+}	Vert brillant + HF	Benzène	?	?	20
	Acide carminique	H_2SO_4 concentré	—	585	?
	Curcumine	Ethanol, méthanol ou acétone	—	555	180
	Curcumine + acide oxalique	Ethanol	—	540	40
	Bleu de méthylène · HF	Dichloréthane	?	645	14
	Quinalizarine	H_2SO_4 concentré	—	620	?

Be⁺⁺	Acétylacétone Aluminone Berrylon Eriochromocyanine R	Chloroforme Eau Eau Eau	7 7,6 12 à 13,2 9,8	295 535 600 512	31,6 2,2 4,0 ?
Bi³⁺	Dithizone Diéthylthiocarbamate Iodure de potassium Iodure de potassium Complexone III Oxyquinoléine Acide chlorhydrique 6 N Thio-urée	Tétrachlorure de car- bone Tétrachlorure de car- bone Alcool isoamylique Eau Eau Chloroforme Eau Eau	6 7 à 10 H ₂ SO ₄ , 1 N H ₂ SO ₄ , 1 N 4,5 4 à 5,2 — HNO ₃ , 0,4 à 1,2 N	490 400 450 337 264 395 327 470 322	80 6,3 6,5 34 9,4 11 14,9 8,8 35
Br⁻	Rosaniline Hypochlorite + H ₂ SO ₄	Alcool benzylque Tétrachlorure de car- bone	H ₂ SO ₄ , 18 N H ₂ SO ₄ , 2 N	585 415	68 0,2
CN⁻	Pyridine + benzidine Pyridine + acide sulfanili- que Pyridine + acide barbituri- que	Eau Eau Eau	— — —	520 450 584	69 62 124

Tableau 43 (suite)

Ion à doser	Réactif	Solvant	pH ou acidité	λ_{max} (nm)	Coefficient molaire d'absorption de la lumière ($\epsilon \cdot 10^{-3}$)
Ca ²⁺	Azo-azoxy BN	Tétrachlorure de carbone	NaOH, 1 N	485	20
	Arsénazo III	Eau	6,5	655	10
	Phthaléinecomplexone	Eau	10-11	575	30
	Murexide	Eau	11,3	506	11,3
Cd ²⁺	Dithizone Diéthylthiocarbamate Cation + acétone	CCl ₄	4 à 12	520	88
		CCl ₄	9	440	0,21
		Eau	9,4	490	13
Ce ³⁺	Arsénazo III	Eau	3,0	665	47
Ce ⁴⁺	Oxyquinoléine	Chloroforme	10	480	2
	Coloration des ions	Eau	H ₂ SO ₄ , 1 N	320	5,6
Cl ⁻	Hg ²⁺ + diphénylcarbazone	Eau	3,2	520	9,5
Cl ₂	<i>o</i> -Tolidine	Eau	1,6	438	26,5
Co ²⁺	Arsénazo	Eau	—	600	25
	Dithizone	Tétrachlorure de carbone	6 à 8	542	59,2
	Diéthylthiocarbamate α -Nitroso- β -naphthol	Chloroforme	6,3	650	0,5
		Chloroforme	4 à 5,5	317	26,5
		Benzène	—	416	30

	β -Nitroso- α -naphthol Sel nitroso R Oxyquinoléine PAN Rhodanure d'ammonium	Eau Toluène Eau Chloroforme Chloroforme Alcool isoamylique Alcool isoamylique Cyclohexane	NH_3 , 0,15 N ~3 5,0 6,8 3 à 4 3 à 5,3	550 530 420 420 590 312 620 620	7,5 26 23 7,8 25 6,8 1 20
Cr^{3+} CrO_4^{2-} $\text{Cr}_2\text{O}_7^{2-}$	Oxyquinoléine Coloration des ions Coloration des ions Diphénylcarbazine Acide chromatotropique	Chloroforme Eau Eau Eau Eau	— Solution basique H_2SO_4 , 0,9 N 1,2 à 2,6 H_2SO_4 , 0,5 à 5 N	420 370 455 540 400	7,7 4,9 1,8 34,6 3,4
Cu^{2+}	Ammoniac α -Benzoinoxime Dithizone 2,2'-Diquinoléine Diéthylthiocarbamate 8-Mercaptoquinoléine Oxyquinoléine Pyridine+ Rhodanure	Eau Chloroforme Tétrachlorure de car- bone Tétrachlorure de car- bone Alcool isoamylique Chloroforme Toluène Chloroforme Chloroforme	NH_3 , 3 N 11,3 à 12,3 HCl , 0,1 N 6 5 à 6 9 à 9,2 HCl , 2,5 N 2,7 à 14 Solution faiblement acide	620 440 545 445 540 440 432 410 415	0,12 2,8 45 22,7 5,5 12 8 5,2 1,6

Tableau 43 (suite)

Ion à doser	Réactif	Solvant	pH ou acidité	λ_{\max} (nm)	Coefficient molaire d'absorption de la lumière ($\epsilon \cdot 10^{-2}$)
F ⁻	Alizarine S + Th ^{IV} SPADNS + Zr ^{IV}	Eau	2 HCl dilué (7 : 3) H ₂ SO ₄ 0,6 à 1 M 2,9	525	2
	Alizarine + Zr ^{IV}	Eau		570	4,4
	Acide sulfosalicylique + Fe ³⁺	Eau		525	—
		Eau		500	—
Fe ³⁺	Diéthylthiocarbamate Diméthylglyoxime	Chloroforme Eau	0 à 10 Solution ammoniacale 3 à 9 Solution faiblement basique 2 à 9 2 à 2,5 0 à 10 H ₂ SO ₄ (1 : 9) — Solution faiblement acide	515	2,7
	α , α' -Dipyridyle α -Nitroso- β -naphthol	Eau Acétate d'éthyle		550	10
	1,10-Phénanthroline Sel de fer (II)	Eau		522	8,65
	Diéthylthiocarbamate Cupferron α -Nitroso- β -naphthol Oxyquinoléine	Eau Eau Chloroforme Chloroforme Chloroforme		700	6,3
Fe(CN) ₆ ⁴⁻ Fe ³⁺				508	11,1
				610	5
				515	2,7
				420	3,6
				407	2,9
				470	5,8

Fe(CN) K^+	Rhodanure d'ammonium	Eau	0,3 à 1,2	480	6,3
	Acide salicylique	Eau	2,6 à 2,8	520	1,6
	Acide sulfosalicylique	Eau	8,2	420	5,5
	Ferron (iodo-7-quinolinol-8,5-sulfo-acide)	Eau	2,7 à 3,1	610	3,6
	Acide chlorhydrique	Eau	HCl, 6,7 N	342	2,9
	Sel de fer (II)	Eau	2 à 2,5	610	5
H ^{IV}	Arsénazo	Eau	HCl, 9 N	665	95
Hg ⁺⁺	Dithizone Diéthylthiocarbamate	Chloroforme Tétrachlorure de carbone	5 à 6	492	70
			3,7	340	1,0
I ₂	Coloration de la substance	Chloroforme Chloroforme Benzène	—	510	0,46
			—	360	14,2
			—	500	0,52
In ³⁺	Dithizone Oxyquinoléine	Tétrachlorure de carbone Chloroforme	9	510	119
			3,5	395	6,7
K ⁺	Dipicrylamine	Acétone (1 : 1)	10 à 11	500	0,8
Li ⁺	Thoron	Acétone (7 : 3)	13	486	6

Tableau 43 (suite)

Ion à doser	Réactif	Solvant	pH ou acidité	λ_{max} (nm)	Coefficient molaire d'absorption de la lumière ($\epsilon \cdot 10^{-3}$)
Mg^{2+}	Oxyquinoléine	Chloroforme	11,2 à 11,3	380	5,6
	Jaune de titane	Eau	> 12	545	2,8
	Noir au chrome	Eau	10	540	33
Mn^{2+}	Diéthylthiocarbamate	Tétrachlorure de carbone	6 à 9	505	3,7
MnO_4^-	Coloration des ions	Eau	< 1	525	2,02
Mo^{6+}	Rhodanure d'ammonium	Ether	HCl, 0,8 N	470	19,5
		Alcool isoamylique	HCl, 1 N	470	15,3
Mo^{VI}	Dithiol	Acétate d'isoamyle ou	HCl, 4 N	680	18
	8-Mercaptoquinoléine	éther de pétrole	HCl, 2,5 N	420	7
	Oxyquinoléine	Toluène	—	369	8,2
NH_4^+	Phénolate de sodium + hypochlorite	Eau	NaOH, 0,8 N	625	3,5
	Réactif de Nessler	Eau	13	400	6,2
	Acide sulfanilique + α -naphtylamine	Eau	2 à 2,5	520	40
NO_2^-					

NO_2^-	Acide 2,4-phénoldisulfonique Brucine	Eau Eau	— H_2SO_4 , dilué (2 : 1)	410 410	9,4 1,5
Nb^{V}	PAR + H_2O_2 Eau oxygénée Pyrogallol Rhodanure d'ammonium + SnCl_2	Eau Acide sulfurique concentré Eau Eau + acétone (1 : 1) Ether	5 — H_2SO_4 , dilué (1 : 40) HCl , 2 à 3 N HCl , 4 N	540 365 400 383 385	32 0,86 6,6 38 36,2
Ni^{2+}	Diméthylglyoxime Ammoniac Diéthylthiocarbamate Dithizone Oxyquinoléine Salicylaldoxime α -Furyldioxime Diméthylglyoxime + oxydant Molybdate d'ammonium Molybdate d'ammonium + SnCl_2 Molybdate d'ammonium + vanadate d'ammonium	Chloroforme Eau Tétrachlorure de carbone Chloroforme Chloroforme Chloroforme Dichlorobenzène Eau Eau Eau Eau	Solution faiblement basique NH_3 , 1,5 N 4 à 11 NH_4OH , 0,3 N $\approx 6,7$ — 7,5 à 8,3 Solution ammoniacale HNO_3 , 0,25 N HNO_3 , 0,25 N HCl , 0,05 N	375 582 430 480 395 400 438 470 360 735 315 400	3,5 0,006 1,8 27 4,9 6 17,6 13 4,8 18,5 20 2,5

Tableau 43 (suite)

Ion à doser	Réactif	Solvant	pH ou acidité	λ_{\max} (nm)	Coefficient molaire d'absorption de la lumière ($\epsilon \cdot 10^{-3}$)
Pb^{2+}	Arsénazo III	Eau	4,5	655	10
	Dithizone	Tétrachlorure de carbone	8,5	520	68,8
	Diéthylthiocarbamate	Tétrachlorure de carbone	4 à 11	340	9,3
	Sulfarsazène	Eau	9,2	515	20
Pd^{2+}	Dithizone	Tétrachlorure de carbone	H_2SO_4 0,5 M	450	34,4
	Diméthylglyoxime	Chloroforme	HCl, 0,2 à 0,3 N	383	1,6
	Iodure de potassium	Eau	HCl, jusqu'à 2 N	408	9,4
	8-Mercaptoquinoléine	Eau	HCl, 6 N	485	8,0
	α -Furyldioxime	Chloroforme	Solution fortement acide	380	23,8
$PtCl_4^{2-}$	<i>p</i> -Nitrosométhylaniline	Ethanol à 80 %	2 à 5	525	67
	Iodure de potassium	Eau	1,6	495	12
	Chlorure d'étain (II)	Eau	HCl, dilué (1:9)	405	10

ReCl_6^-	α -Furyldioxime + SnCl_2 8-Mercaptoquinoléine	Eau + acétone à 25 % Chloroforme	HCl, 0,8 N HCl, 8 à 11 N	530 438	43 8,5
ReO_4^-	Violet de méthyle Rhodanure de potassium + SnCl_2	Toluène Eau Ether diéthylique	3,5 à 5 H_2SO_4 , 4 à 7 N H_2SO_4 , 4 à 7 N	600 400 432	39,5 18 37
S^{2-}	<i>p</i> -Aminodiméthylaniline	Eau	HCl, 0,55 N	670	34
Les mêmes réactifs et aux mêmes conditions que dans le dosage de CN^- , de plus :					
	Pyridine + sulfate de cuivre	Chloroforme	2,5 à 4	410 610	2,4 5
Sb^{3+} SbCl_6^-	Iodure de potassium Rhodamine B Violet de méthyle Safranin T	Eau Benzène Toluène Benzène	H_2SO_4 , 2,4 à 3,8 N HCl, 6 N HCl, 1,2 N HCl, 3,5 N	425 565 600 518	4 28 50 37

Tableau 43 (suite)

Ion à doser	Réactif	Solvant	pH ou acidité	λ_{max} (nm)	Coefficient molaire d'absorption de la lumière ($\epsilon \cdot 10^{-3}$)
Se ^{IV}	3,3'-Diaminobenzidine	Eau Toluène	HCl, 0,1 N 6 à 7	348 420	14,3 9,9
SiO ₃ ²⁻	Molybdate d'ammonium Molybdate d'ammonium + + Cl ₂	Eau Eau	1,6 HCl, 2 N	352 815	7,1 20
Sn ²⁺	Dithiol Hématoxiline Diéthylthiocarbamate Quercétine Violet de pyrocathécol Phénylfluorone	Eau Eau Tétrachlorure de car- bone Eau Eau Eau	<1 2,5 à 4 4 à 5,8 3 à 4 2,3 à 4,5 1	530 580 415 440 610 490	5,8 43 2,4 35,5 60 80
Ta ^V TaF ₆ ⁻	Diméthylfluorone Pyrogallol + oxalate Vert brillant Violet de méthyle	Eau Eau Benzène Benzène	1 HCl, 6 N 0,6 à 2,0 2,3	530 365 600 580	42 5 68 100

Tc ^{IV}	Diéthylthiobarbamate Bismuthol II Thio-urée	Tétrachlorure de carbone Eau Chloroforme Eau	4 à 8,8 6,5 6,5 H ₂ SO ₄ , 1,8 N	428 400 335 320	3,2 14,7 28 16
Th ^{IV}	Arsénazo III Carboxygallanilide Morine PAR Toron	Eau Eau Eau Eau Eau	HCl, 8 N 4,5 2,0 6,4 à 6,7 0,8	665 413 410 500 545	127 25 42 38,9 16,5
Ti ⁴⁺	Eau oxygénée Acide sulfosalicylique Tiron Acide chromotropique	Eau Eau Eau Eau	H ₂ SO ₄ , 1,8 N 3,2 à 4,9 4,3 à 9,6 2,7 à 4,6	410 370 410 470	0,72 15 16 11,5
Tl ⁺ Tl ³⁺	Dithizone Diéthylthiobarbamate Violet de méthyle Oxyquinoléine	Chloroforme Tétrachlorure de carbone Benzène Chloroforme	NaOH, 0,8 N 4 à 11 HCl, 0,5 N 4 à 8	505 426 560 401	33 1,3 56 6,8

Tableau 43 (suite)

Ion à doser	Réactif	Solvant	pH ou acidité	λ_{max} (nm)	Coefficient molaire d'absorption de la lumière ($\epsilon \cdot 10^{-3}$)
U ^{IV} UO ₂ ²⁺	Arsénazo III	Eau	HCl, 4 N	670	130
	Arsénazo I	Eau	4,2	555	22,8
	Arsénazo III	Eau	2,0	665	53
	Dibenzoylméthane (diphényl-1,3-propanedione-1,3)	Eau	6,5 à 8,5	395	18
	Diéthylthiocarbamate K ₄ Fe(CN) ₆ Quinalizarine	Chloroforme Eau Eau	6,5 à 7,2 1 à 2 6,8 à 7,5	380 525 610	4,0 3,7 2,8
V ^V	Tungsténate + H ₃ PO ₄ Diéthylthiocarbamate	Alcool isobutylque Tétrachlorure de carbone	HNO ₃ , 0,5 N	400	2,2
	Oxyquinoléine	Chloroforme	4 à 5,9	400	3,8
	Eau oxygénée	Eau	⁴ H ₂ SO ₄ , 1,5 N	550 460	3,3 0,27
W ^{VI}	Acide vanadiophosphorique	Eau	H ₃ PO ₄ , dilué (1 : 100)	400	0,62
	Dithiol	Acétate d'amyle	0,5 à 2,0	640	20
	Rhodanure + SnCl ₂	Eau	HCl, 9 N	400	11,5

	Oxyquinoléine	Ether Acétone à 60 % Chloroforme	— — —	405 398 357	18,3 17,6 3,3
Zn ⁺⁺	Dithizone PAN	Tétrachlorure de carbone Tétrachlorure de carbone	8,3 5 à 6	535 560	94 28,7
Zr ^{IV}	Alizarine S Arsénazo I Arsénazo III Quercétine Orangé de xylénol SPADNS Toron	Eau Eau Eau Ethanol à 30 % Eau Eau Eau	0,6 à 1,5 1,6 HCl, 9 N HCl, 0,5 N 1,5 0,9 à 1,1 2	520 600 665 440 550 580 570	6,5 9,7 120 31,4 52 18,9 3

Tableau 44

Propriétés de certains solvants

n°	Solvant	Formule	Masse moléculaire <i>M</i>	Densité à 20 °C (g/cm ³)	Indice de réfraction	Point de fusion (°C)
1	Acétate d' <i>iso</i> -amyle	$\text{CH}_3\text{COOCH}_2\text{CH}_2\text{CH} \begin{array}{l} \text{CH}_3 \\ \text{CH}_3 \end{array}$	130,190	0,856	1,400	-75
2	Alcool <i>iso</i> -amylique	$\begin{array}{l} \text{H}_3\text{C} \\ \text{H}_3\text{C} \end{array} \text{CH}-\text{CH}_2-\text{CH}_2\text{OH}$	88,151	0,806	1,406	-134
3	Aniline	$\text{C}_6\text{H}_5\text{NH}_2$	93,130	1,022	1,586	-6,0
4	Acétone	$\text{CH}_3\text{COOCH}_3$	58,081	0,791	1,359	-94,9
5	Alcool benzylique	$\text{C}_6\text{H}_5\text{CH}_2\text{OH}$	108,141	1,045	1,539	-15,3
6	Benzène	C_6H_6	78,144	0,8790	1,5014	+5,5
7	<i>n</i> -Butanol	$\text{C}_4\text{H}_9\text{OH}$	74,124	0,810	1,399	-79,9
8	<i>iso</i> -Butanol	$(\text{CH}_3)_2\text{CHCH}_2\text{OH}$	74,124	0,803	1,396	-108
9	<i>n</i> -Butylamine	$\text{C}_4\text{H}_9\text{NH}_2$	73,140	0,740	1,401	-50,6
10	Acétate de <i>n</i> -butyle	$\text{CH}_3\text{COOC}_4\text{H}_9$	116,162	0,882	1,395	-77
11	Butyl-cellosolve (éther <i>n</i> -butylique de monoéthylèneglycol)	$\text{HO}-\text{CH}_2-\text{CH}_2-\text{O}-\text{C}_4\text{H}_9$	118,178	0,902	1,417	-40
12	Eau	H_2O	18,016	0,997	1,333	0,00
13	<i>n</i> -Hexane	C_6H_{14}	86,178	0,6603	1,3754	-94
14	Glycérine	$\text{CH}_2\text{OHCH}_2\text{OHCH}_2\text{OH}$	92,097	1,261	1,473	+18,2
15	Décaline (décahydronaphtalène)	$\text{C}_{10}\text{H}_{18}$	138,255	0,890	1,475	-125

Point d'ébullition (°C)	Pression de vapeur (cm Hg)	Tension superficielle à 20 °C (dyn/cm)	Solubilité dans l'eau (g/100 ml)	Constante diélectrique (~20 °C)	Température d'inflammation (°C)	n°
135,5	15,7 (20 °C)	—	0,25 (15 °C)	5,26	25	1
128	0,2 (20 °C)	23,7	2,67 (25 °C)	15,8	42	2
184,25	0,24 (50 °C)	42,9	3,66 (25 °C)	7,2	— 71	3
56,1	22,9 (25 °C)	23,7	∞	21,3	— 16,7	4
206	0,1 (60 °C)	38,3	3,66 (20 °C)	13,1	—	5
80,8	9,6 (25 °C)	28,9	0,175 (20 °C)	2,3	— 8	6
117,7	0,64 (25 °C)	24,6	7,9 (20 °C)	17,8	42	7
108	1,8 (31 °C)	—	8,5 (20 °C)	18,8	34	8
77,8	—	21,6	∞	5,4	—	9
125	18 (20 °C)	—	2,3 (20 °C)	5,0	22	10
170,6	0,9 (20 °C)	—	50	—	60	11
100,0	2,38 (25 °C)	72,75	—	80	Inflam- mable — 31	12
68,8	15,1 (25 °C)	18,4	0,014 (16 °C)	1,9	— 31	13
290	0,1 (125 °C)	64,5	∞	43	160	14
189— 192	0,06 (20 °C)	—	Pratique- ment insoluble	—	57-58	15

n°	Solvant	Formule	Masse moléculaire <i>M</i>	Densité à 20 °C (g/cm³)	Indice de réfraction	Point de fusion °C
16	Oxyde d' <i>iso</i> -propyle $\begin{array}{c} \text{H}_3\text{C} \\ \text{H}_3\text{C} \end{array} \text{CH} - \text{O} - \text{CH} \begin{array}{c} \text{CH}_3 \\ \text{CH}_3 \end{array}$		102,178	0,715	1,368	< - 60
17	Dichloréthane (dichlorure d'éthylène)	$\text{CH}_2\text{Cl} - \text{CH}_2\text{Cl}$	98,968	1,257	1,444	- 35,3
18	Dioxane-1,4	$(\text{CH}_2)_4\text{O}_2$	88,108	1,033	1,422	+ 11,7
19	<i>o</i> -Dichlorobenzène	$\text{C}_6\text{H}_4\text{Cl}_2$	147,012	1,305	1,552	- 16,7
20	Oxyde d'éthyle (éther)	$\text{C}_2\text{H}_5\text{OC}_2\text{H}_5$	74,124	0,714	1,354	- 117,
21	Xylène (mélange d'isomères)	C_8H_{10}	106,169	0,88	1,506	- 25,3
22	Méthanol	CH_3OH	32,043	0,792	1,329	- 94,9
23	Méthylisobutylcétone (hexone)	$(\text{CH}_3)_2\text{CHCH}_2\text{COCH}_3$	100,162	0,800	1,396	- 84
24	Méthylcellosolve (éther monométhyllique d'éthylèneglycol)	$\text{HO} - \text{CH}_2 - \text{CH}_2 - \text{O} - \text{CH}_3$	76,097	0,965	1,103	—
25	Méthyléthylcétone	$\text{CH}_3\text{COC}_2\text{H}_5$	72,108	0,805	1,379	- 86
26	Nitrobenzène	$\text{C}_6\text{H}_5\text{NO}_2$	123,114	1,203	1,552	+ 5,7
27	<i>n</i> -Octane	C_8H_{18}	114,232	0,703	1,398	- 57
28	<i>iso</i> -Octane	C_8H_{18}	114,232	0,708	1,401	- 60
29	Pyridine	$\text{C}_5\text{H}_5\text{N}$	79,103	0,982	1,509	- 38,2
30	<i>n</i> -Propanol	$\text{C}_3\text{H}_7\text{OH}$	60,097	0,804	1,385	- 127
31	<i>iso</i> -Propanol	$\text{CH}_3\text{H}_7\text{OH}$	60,097	0,789	1,381	- 88,5

Tableau 44 (suite)

Point d'ébullition (°C)	Pression de vapeur (cm Hg)	Tension superficielle à 20 °C (dyn/cm)	Solubilité dans l'eau (g/100 ml)	Constante diélectrique (~20 °C)	Température d'inflammation (°C)	n°
68	15,8 (20 °C)	32	1,2 (25 °C)	—	— 22	16
83,5	7,7 (25 °C)	0,84	0,87 (20 °C)	10,5	12	17
101,1	2,7 (20 °C)	36,5	∞	3,0	5	18
180,2	0,13 (25 °C)	—	0,014 (25 °C)	7,5	77	19
34,6	53,7 (25 °C)	16,5	6,95 (20 °C)	4,3	— 40	20
136-145	1,0 (20 °C)	28	0,013 (25 °C)	2,4	20	21
64,65	12,4 (25 °C)	22,5	∞	32,3	6,5	22
115,65	2,0 (25 °C)	—	2,3 (25 °C)	—	15,6	23
124,5	6,2 (20 °C)	—	∞	17,2	36	24
79,6	9,84 (25 °C)	24,6	27,3 (20 °C)	18,4	— 7,2	25
210	0,75 (80 °C)	43,6	0,19 (20 °C)	35,5	90	26
125,0	1,1 (20 °C)	—	0,0015(20°C)	2,0	+ 17	27
118	—	—	—	—	< — 12	28
115,1	1,54	36,6	∞	12,5	20	29
97,2	1,45	23,6	∞	—	25	30
82,3	10,0 (39 °C)	21,7	∞	18,6	18,8	31

n°	Solvant	Formule	Masse moléculaire M	Densité à 20 °C (g/cm³)	Indice de réfraction	Point de fusion (°C)
32	Acide sulfurique	H ₂ SO ₄	98,082	1,834	1,429	+ 10,5
33	Huile de térébenthine	—	—	0,85— 0,88	— 1,47	—
34	Sulfure de carbone	CS ₂	76,143	1,263	1,627	−112,8
35	Tétraline	C ₁₀ H ₁₂	132,207	0,971	1,543	− 35
36	Toluène	C ₆ H ₅ CH ₃	92,141	0,866	1,496	− 95
37	Tétrachlorure de carbone	CCl ₄	153,839	1,595	1,461	− 22,9
38	Acide acétique	CH ₃ COOH	60,054	1,049	1,372	+ 16,6
39	Furfural	C ₄ H ₃ CHO ₂	96,087	1,160	1,526	− 39
40	Monochlorobenzène	C ₆ H ₅ Cl	112,563	1,107	1,525	− 45
41	Chloroforme	CHCl ₃	119,390	1,489	1,446	− 63,5
42	Cyclohexane	C ₆ H ₁₂	84,163	0,779	1,426	6,5
43	Cyclohexanol	C ₆ H ₁₁ OH	100,162	0,994	1,465	+ 24
44	Cyclohexanone	C ₆ H ₁₀ O	98,146	0,949	1,452	—
45	Ethanol	C ₂ H ₅ OH	46,070	0,789	1,362	−111,8
46	Ethanolamine	H ₂ NCH ₂ CH ₂ OH	61,086	1,018	1,454	+ 10,5
47	Acétate d'éthyle	CH ₃ COOC ₂ H ₅	88,108	0,901	1,372	− 83,6
48	Ethylèneglycol	HOCH ₂ CH ₂ OH	62,070	1,114	1,431	− 17,4

Tableau 44 (suite)

Point d'ébullition (°C)	Pression de vapeur (cm Hg)	Tension superficielle à 20 °C (dyn/cm)	Solubilité dans l'eau (g/100 ml)	Constante diélectrique (~20 °C)	Température d'inflammation (°C)	n°
(330)	< 0,001 (25 °C)	(55)	∞	> 84	Inflam-mable	32
153-180	0,45 (20 °C)	14,4	~ 0,2 (15 °C)	2,17	30-37	33
46,25	29,8 (20 °C)	33,6	0,18 (20 °C)	2,7	- 20	34
207,3	0,03 (20 °C)	—	~ 0,001 (20 °C)	—	78	35
110,8	2,8 (25 °C)	28,4	0,047 (20 °C)	2,4	5	36
76,7	11,5 (25 °C)	26	0,08 (20 °C)	2,2	Inflam-mable	37
118,1	1,5 (25 °C)	27,8	∞	9,5	40	38
162,1	2,5 (72 °C)	43,5	8,3 (20 °C)	41,9	94	39
132,0	0,88 (20 °C)	33,2	0,049 (30 °C)	5,7	29	40
61,2	19,9 (25 °C)	27,1	0,82 (20 °C)	5,1	Inflam-mable	41
81	7,8 (25 °C)	—	0,01 (20 °C)	2,0	17	42
161,5	1,0 (56 °C)	34,0	4,0 (20 °C)	10	68-72	43
155	0,85 (20 °C)	—	2,4 (30 °C)	—	40	44
78,32	5,9 (25 °C)	21,9	∞	25,0	11	45
172,2	—	—	∞	—	—	46
77,15	7,3 (20 °C)	23,75	7,9 (20 °C)	6,2	4,4	47
197,4	3,9 (120 °C)	47,7	∞	41,2	—	48

Tableau 45

Extraction par les solvants organiques

A. Extraction de divers éléments sous forme de dithizonates (Dz: ion dithizone)

Le réactif est une solution de dithizone dans le chloroforme ou dans le tétrachlorure de carbone ; E signifie l'extraction par les deux solvants ; N, non extractible ; N-E, faiblement extractible

Élément	Complexe	Coloration	Maximum d'absorption de la lumière λ (nm)	Solubilité dans CHCl_3 ou CCl_4	pH d'extraction	Remarques
Ag^+	AgHDz	Jaune	460	E	Solution diluée d'acide minéral	— Un peu soluble dans CHCl_3 (solution rouge)
	Ag_2Dz	Violet-rouge	—	N	Solution basique	
Au^{3+}	$\text{Au}(\text{HDz})_3$	Jaune	450	E	Solution diluée d'acide minéral	Les solutions sont sensibles à la lumière. On applique le titrage extractif direct et le dosage spectrophotométrique
	Au_2Dz_3	Rouge-brun	—	E	Solution basique	

Faiblement soluble dans CCl_4 . Les solutions sont sensibles à la lumière. Seul le titrage extractif direct est utilisé

Bi^{3+}	$\text{Bi}(\text{HDz})_3$ Bi_2Dz_3	Orangé Orangerouge Rouge	490 et 275 505	E	$> 2(\text{CCl}_4)$ Solution basique	— Réagit également en présence de KCN
Cd^{2+}	$\text{Cd}(\text{HDz})_2$		520	E	Solution basique	Stable lors du séchage avec une solution de NaOH 1 N
Co^{2+}	$\text{Co}(\text{HDz})_2$	Violetrouge	542	E	7 à 9 (CCl_4)	Solution de dithionate dans le solvant organique est assez stable vis-à-vis des acides minéraux dilués
	$\text{CoDz} (?)$	Brun	—	E	Solution fortement basique	Apparition des produits de décomposition est possible
Cu^+	CuHDz	Violet, solution dans CCl_4 est brune	—	E	Solution diluée d'acide minéral ($\sim 0,1 \text{ N}$)	—
	Cu_2Dz	Rouge-brun	—	E	Solution basique	N'est soluble qu'un peu dans CCl_4
Cu^{2+}	$\text{Cu}(\text{HDz})_2$	Violet-rouge	545-550	E	Solution diluée d'acide minéral	On recommande d'effectuer le dosage d'après la coloration mixte pour $\lambda = 510 \text{ nm}$ ou 625 nm
	CuDz	Jaune-brun	450	E	Solution basique	Peut également se former en solution peu acide, lorsque les ions cuivre se trouvent en présence d'un excès de dithionite

Tableau 45 (suite)

Elément	Complexe	Coloration	Maximum d'absorption de la lumière λ (nm)	Solubilité dans CHCl_3 ou CCl_4	pH d'extraction	Remarques
Fe^{2+}	$\text{Fe}(\text{HDz})_2$	Rouge	520	E	7 à 9 (CCl_4)	Fe^{III} ne forme pas de complexe, mais il oxyde la dithizone en milieu alcalin, surtout en présence de cyanure —
Hg_2^{2+}	$\text{Hg}_2(\text{HDz})_2$	Orangé	—	E	Solution diluée d'acide minéral	—
	Hg_2Dz	Pourpre rouge	485	N-E	Solution basique	—
Hg^{2+}	$\text{Hg}(\text{HDz})_2$	Orangé-jaune	485	E	Solution diluée d'acide minéral	Peut se former en solution faiblement basique ayant un excès de dithizone. Sensible à la lumière. On recommande d'effectuer le dosage d'après la coloration mixte pour $\lambda = 500$ nm ou 610 nm
Hg^{2+}	HgDz	Rouge	520	E	Solution basique	Peut se former en solution peu acide ayant un défaut de dithizone
In^{3+}	$\text{In}(\text{HDz})_3$	Rouge	510	E	5 à 6 (CCl_4) ; 8,3 à 9,6 (CHCl_3)	Réagit également en présence de cyanure
Mn^{2+}	$\text{Mn}(\text{HDz})_2$	Violet-brun	—	CHCl_3	~ 10	Solution est très instable ; CHCl_3 étant

Ni^{2+}	$\text{Ni}(\text{HDz})_2$	Brun-violet (pour l'extraction à partir de solutions fortement basiques on note la couleur grise) Rouge carmin	285, 480, 665	-E	Solution faiblement basique	remplacé par CCl_4 il se précipite des flocons bruns Si l'on utilise CCl_4 , le dithizonate de nickel y dissout est difficilement décomposé par les acides minéraux
Pb^{2+}	$\text{Pb}(\text{HDz})_2$	Rouge carmin	520	E	8,5 à 11 (valeur optimale dans CHCl_3)	Présence de CN^- n'empêche pas la réaction
Pd^{2+}	$\text{Pd}(\text{HDz})_2$	Vert brunâtre, la solution dans CHCl_3 est vert pâle	280, 640	E	—	Peut se former par addition de la dithizone à une solution de PdZn . Stable vis-à-vis de NaOH 6 N et de H_2SO_4 6 N. Le dosage d'après la coloration mixte est fait pour $\lambda = 620$ nm et $\lambda = 280$ nm
	PdZn	Rouge brunâtre	—	N-E	Solution diluée d'acide minéral	Dans les solvants organiques n'est soluble que partiellement avec formation d'une solution de couleur violet foncé. La réaction se déroule lentement

Tableau 45 (suite)

Élément	Complexe	Coloration	Maximum d'absorption de la lumière λ (nm)	Solubilité dans CHCl_3 ou CCl_4	pH d'extraction	Remarques
Pt^{2+}	$\text{Pt}(\text{HDz})_2$	Brun-jaune	710, 490 et 260	CCl_4	HCl de 1,5 à 3 N	On effectue la réaction en présence de SnCl_2 ; parfois il y a apparition des flocons violets. Le dithizonate de platine (II) est insoluble dans CHCl_3 . Le platine (IV) aussi que d'autres métaux du groupe du platine aux valences IV et III ne réagissent pas
Sn^{2+}	$\text{Sn}(\text{HDz})_2$	Rouge	520	E	> 4 (valeur optimale 6 à 9) (CCl_4)	Instable
Tl^+	TlHDz	Orangé-rouge	505	E	11 à 14,5	Se forme en présence de CN^-
Zn^{2+}	$\text{Zn}(\text{HDz})_2$	Pourpre rouge	535	E	Solution neutre ou faiblement basique (valeur optimale 8,3 dans une solution tampon de citrate par extraction à CHCl_3)	A l'excès de dithizone la réaction se produit complètement aussi en milieu faiblement acide. La présence de thiosulfate n'empêche pas la réaction

Tableau 45 (suite)

Action des réactifs dissimulants dans l'extraction sous forme de dithizonates

Conditions d'extraction	Eléments réagissant sur la dithizone
<p>Solution basique renfermant le cyanure</p> <p>Solution faiblement acide renfermant le cyanure</p> <p>Solution acide diluée renfermant le rhodanure</p> <p>Solution acide diluée renfermant le rhodanure et le cyanure</p> <p>Solution acide diluée renfermant le bromure ou l'iodure</p> <p>Solution acide diluée renfermant l'éthylènediamine-tétracétate</p> <p>Solution faiblement acide (pH 5) renfermant le thiosulfate (la dithizone est dissoute dans CCl_4)</p> <p>Solution faiblement acide renfermant le thiosulfate et le cyanure (pH 4-5)</p> <p>Citrate et tartrate en milieu basique</p>	<p>Pb^{2+}, Sn^{2+}, Tl^+, Bi^{3+}</p> <p>Pd^{2+}, Hg^{2+}, Ag^+, Cu^{2+}</p> <p>Hg^{2+}, Au^{3+}, Cu^{2+}</p> <p>Hg^{2+}, Cu^{2+}</p> <p>Pb^{2+}, Au^{3+}, Cu^{2+}</p> <p>Hg^{2+}, Ag^+</p> <p>Pd^{2+}, Sn^{2+}, Zn^{2+}</p> <p>(Cd^{2+}, Co^{2+}, Ni^{2+})</p> <p>Zn^{2+}, Sn^{2+}</p> <p>D'une manière générale n'empêchent pas l'extraction des dithizonates</p>

B. Extraction de divers éléments sous forme de diéthylthiocarbamates

Elément	Valeurs optimales du pH d'extraction	Extractif et conditions d'extraction
Ag ⁺	3	Acétate d'éthyle
As ^{III}	4 à 11	Tétrachlorure de carbone
Bi ³⁺	4 à 5,6 1 à 10 11 à 12	Idem Chloroforme, oxyde d'éthyle, acétate d'éthyle Tétrachlorure de carbone en présence de l'éthylènediaminetétracétate et de KCN
Cd ²⁺	3	Acétate d'éthyle
Co ²⁺	11 à 12	Tétrachlorure de carbone en présence de KCN
Cr ^{VI}	6 à 8	Chloroforme
Cu ²⁺	0 à 6 1 à 3,5 Solution basique	Idem Idem Acétate d'éthyle en présence de l'éthylènediaminetétracétate : peut être séparé des autres éléments extractibles dans ces conditions par traitement avec un acide
Fe ²⁺	4 à 11	Tétrachlorure de carbone
Fe ³⁺	0 à 10	Chloroforme
Ca ²⁺	3	Acétate d'éthyle (un excès de réactif est nécessaire)
Hg ²⁺	3 11	Acétate d'éthyle Tétrachlorure de carbone en présence de l'éthylènediamine-tétracétate
In ³⁺	3	Acétate d'éthyle
Mn ²⁺	9	Tétrachlorure de carbone en présence de KCN
Mo ^{VI}	6,5 7,5 à 8,0 3	Acétate d'éthyle (un excès de réactif est nécessaire) Chloroforme en présence du citrate Acétate d'éthyle

NbV	4 à 5,5	Tétrachlorure de carbone
Ni ²⁺	0 à 10	Chloroforme, acétate d'éthyle
Os ^{VI}	2,2	Chloroforme
	7 à 9	Tétrachlorure de carbone
Pb ²⁺	(extraction lente et incomplète)	
	Solution fortement acide	Ether diéthylique, acétate d'éthyle
Pd ²⁺	11	Tétrachlorure de carbone en présence de KCN
	11	Tétrachlorure de carbone en présence de l'éthylènediamine-tétracétate
Re ^{VI}	HCl concentré	Acétate d'éthyle
Sb ^{III}	4 à 9,5	Tétrachlorure de carbone
Se ^{IV}	5 à 6	Idem
Sn ^{IV}	5 à 6	Idem
Te ^{IV}	3	Acétate d'éthyle
	H ⁺ 5 N, 3,3	Chloroforme, benzène
	8,5 à 8,8	Tétrachlorure de carbone en présence de l'éthylènediamine-tétracétate et de KCN
Tl ⁺	3	Acétate d'éthyle (un excès de réactif est nécessaire)
Tl ³⁺	11	Tétrachlorure de carbone en présence de l'éthylènediamine-tétracétate et de KCN
U ^{VI}	6,5 à 8,5	Chloroforme, acétate d'amyle, oxyde d'éthyle
V ^V	3	Acétate d'éthyle
	4,5 à 5,0	Chloroforme
W ^{VI}	0,4 à 0,5	Acétate d'amyle en présence de l'acide tartrique
Zn ²⁺	1 à 1,5	Acétate d'éthyle
	11	Tétrachlorure de carbone
	Solution faiblement basique	Ether diéthylique, chloroforme

Tableau 45 (suite)

Action des réactifs dissimulants dans l'extraction sous forme de diéthylthiocarbamates

Conditions d'extraction	Elément réagissant sur le diéthylthiocarbamate
En présence de l'éthylènediaminetétracétate à pH 11	Ag ⁺ , Bi ³⁺ , Cu ²⁺ , Hg ²⁺ , Pd ²⁺ , Tl ³⁺
En présence de KCN à pH 9	Bi ³⁺ , In ³⁺ , Mn ²⁺ , Sb ³⁺ , Te ⁴⁺ , Tl ³⁺
Idem, à pH 11	Bi ³⁺ , Cd ²⁺ , Pb ²⁺ , Tl ³⁺
En présence de l'éthylènediaminetétracétate et de KCN à pH 9	Bi ³⁺ , Sb ³⁺ , Te ⁴⁺ , Tl ³⁺
Idem, à pH 11	Bi ³⁺ , Tl ³⁺

C. Extraction de divers éléments sous forme de cupferronates

Elément	Conditions optimales d'extraction	Extractif
Al ³⁺	pH 2 à 5	Chloroforme
Bi ³⁺	HCl, H ₂ SO ₄	Toluène, méthyléthylcétone
Cd ²⁺	Solution neutre	Ether diéthylique bouillant
Ce ⁴⁺	pH 2	Acétate de butyle
Co ²⁺	CH ₃ COOH dilué	Acétate d'éthyle ou éther diéthylique
Cu ²⁺	HCl dilué (1:9)	Chloroforme
Fe ³⁺	H ₂ SO ₄ ou HCl dilué (1:9)	Chloroforme, éther diéthylique, acétate d'éthyle
Ce ^{IV}	Solution faiblement acide	Méthylisobutylcétone

Hg ²⁺	Solution neutre	Benzène, chloroforme
In ³⁺	Acide dilué	Idem
Mn ²⁺	Solution neutre	Oxyde d'éthyle
Mo ^{VI}	HCl dilué (2:9)	Acétate d'éthyle, chloroforme
Nb ^V	Solution acide	Chloroforme
Ni ²⁺	Solution neutre	Divers solvants organiques
Pa	Acide de 1 à 4 N	Benzène, éther diéthylique, chloroforme
Sb ^{III}	H ₂ SO ₄ dilué (1:9)	Chloroforme
Sn ²⁺	Acide 1,5 N	Benzène, chloroforme
	Violet cristallisé + + TiCl ₃	Heptanone-4
Sn ^{IV}	HCl dilué (1:9)	Acétate d'éthyle
Th ^{IV}	HCl dilué (1:9)	Acétate d'éthyle, acétate de butyle
	pH 0,3 à 0,8	Benzène + alcool isoamylique
Ti ^{IV}	HCl, dilué (1:9)	Chloroforme, acétate d'éthyle
	Tartrate d'ammonium à pH 5	Alcool isoamylique
U ^{IV}	H ₂ SO ₄ dilué (1:9)	Ether diéthylique
V ^V	HCl ou H ₂ SO ₄ dilué (1:9)	Acétate d'éthyle ou éther
W ^{VI}	HCl dilué (1:9)	Acétate d'éthyle (extraction incomplète)
Zn ²⁺	Solution neutre	Ether diéthylique (extraction incomplète)
Zr ^{IV}	H ₂ SO ₄ dilué (1:9)	Acétate d'éthyle
	pH 0,3 à 1,0	Benzène + alcool isoamylique

D. Extraction de divers éléments sous forme d'oxyquinoléates
(Solution à 1 % d'oxyquinoléine dans le chloroforme)

Élément	Conditions optimales d'extraction	Extratif et conditions d'extraction
Al ³⁺	4,8 à 6,7 ; 8,2 à 11,5	—
Bi ³⁺	4,0 à 5,2	—
Ca ²⁺	13 11,5	Butylcellosolve + chloroforme Chloroforme ou, mieux, la solution 0,2 M de butylamine dans le chloroforme
Cd ²⁺	8	Extraction incomplète
Ce ³⁺	9,9 à 10,5	Présence de KCN est admissible
Co ²⁺	> 6,8	—
Cu ²⁺	2,8 à 14	On ajoute du tartrate si les valeurs du pH sont élevées
Er ³⁺	> 8,5	—
Fe ³⁺	1,9 à 12,5	On ajoute du tartrate si les valeurs du pH sont élevées
Ga ³⁺	3,0 à 6,2	—
In ³⁺	> 3,0	—
Mg ²⁺	10 à 10,2	Butylcellosolve + chloroforme
Mn ²⁺	10,5 à 13,6	Solution 0,2 M du butylamine dans le chloroforme
MoVI	12,5	En présence de tartrate et de l'hexacyanoferrate (II)
NbV	1,6	Idem et en présence de l'éthylènediaminetétracétate
Nd ³⁺	NH ₄ OH, 1 N	Milieu citrique
Ni ²⁺	> 8,5	—
Pa ⁺	4,5 à 9,5	—
Pb ²⁺	(NH ₄) ₂ CO ₃ solution saturée	Extraction incomplète
Pd ²⁺	8,4 à 12,3 HCl dilué	—

Pu ^{IV}	4 à 8	Acétate d'amyle	—
Ru ^{III}	Milieu acétique	Benzène	—
Sc ³⁺	9,7 à 10,5	Solution d'oxyquinoléine dans le chloroforme 1 M	
Sn ^{IV}	2,5 à 5,5	Chloroforme ou méthylisobuthylcétone	
Sr ²⁺	11,3	En présence de l'eau oxygénée	
Th ^{IV}	4,9	En présence de l'éthylènediaminetétracétate	
Ti ^{IV}	3,8 à 5,0	de 85 à 89 % d'extraction	—
Ti ³⁺	8 à 9	En présence de l'éthylènediaminetétracétate	—
U ^{VI}	6,5 à 7,0	En présence du complexe éthylènediaminetétracétate + ions calcium	
U ^{VI}	4,7 à 8,0	En présence de l'éthylènediaminetétracétate	
V ^V	8,8	En présence de l'éthylènediaminetétracétate	
	3,3 à 4,5	Extraction incomplète	
	5,0		
W ^{VI}	2,4		
Zn ²⁺	4,6 à 13,4		
	Tampon acétique		

Action des réactifs dissimulants dans l'extraction sous forme d'oxyquinolates

Conditions d'extraction	Éléments réagissant sur la 8-oxyquinoléine
<p>En présence de l'éthylènediaminetétracétate à pH 8 et plus sont dissimulés Al³⁺, Co²⁺, Fe³⁺, Mn²⁺ et Ni²⁺</p> <p>Pour pH 7,9 à 9,0</p> <p>Pour pH 2,5 à 9,0</p>	<p>Ti</p> <p>Cu</p>

Tableau 45 (suite)

E. Extraction de divers éléments à partir des acides chlorhydrique, bromhydrique, iodhydrique et nitrique par le volume égal d'éther éthylique

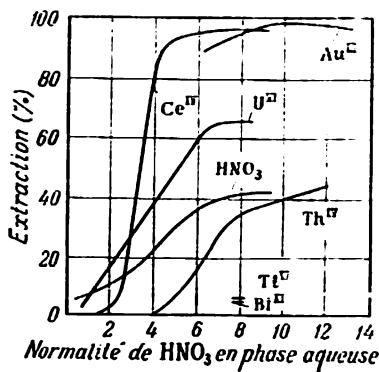
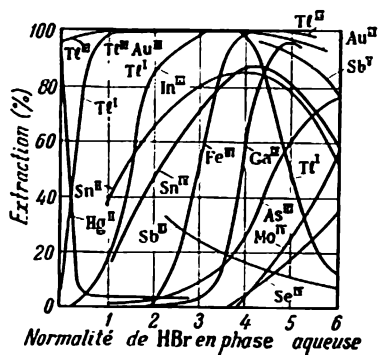
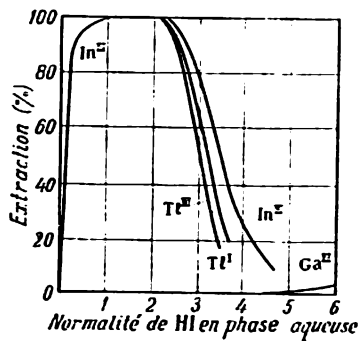
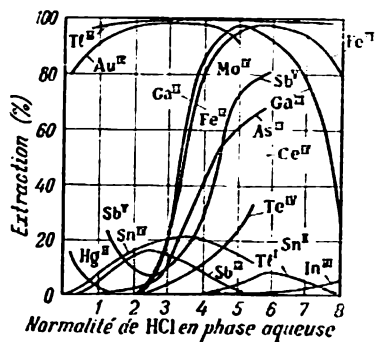


Tableau 46

Séparation des composés organiques

A. Classification des composés individuels d'après leur comportement vis-à-vis de certains réactifs

Une prise d'essai de composé à étudier est traitée successivement par les réactifs suivants : a) l'eau distillée ; b) l'éther diéthylique ; c) l'acide chlorhydrique 1,2 N ; d) la solution de bicarbonate de sodium 1,5 N ; e) la solution de soude 2,5 N ; f) l'acide sulfurique concentré ; g) l'acide phosphorique à 85 %.

On traite par ces réactifs des portions isolées de prise d'essai dans un ordre indiqué. La prise d'essai est considérée comme soluble dans tel ou tel réactif si elle est dissoute lors du secouage pendant 2 mn à la température ambiante dans une quantité de réactif 30 fois dépassant la prise d'essai en masse.

Tableau 46 (suite)

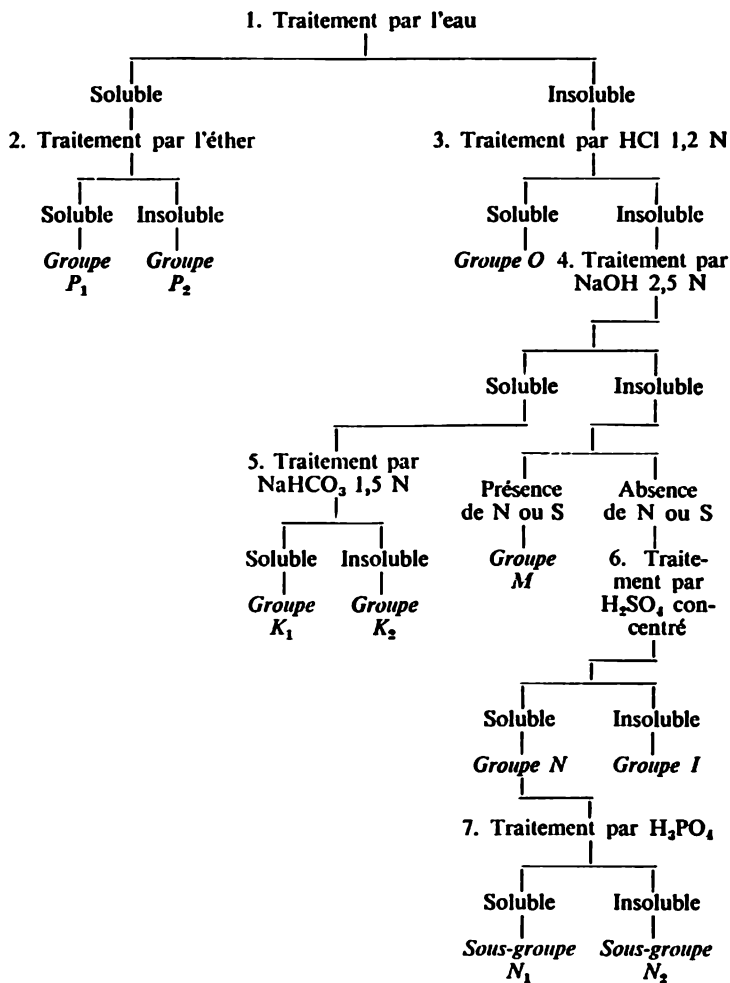


Tableau 46 (suite)

B. Constitution des groupes

(Les composés les plus importants sont mis en italique)

Groupe P_1

De préférence, les composés monofonctionnels renfermant dans leur molécule cinq ou moins atomes de carbone.

- | | |
|----------------------------------|------------------------------------|
| 1. Seuls C, H et O sont présents | Nitroparaffines |
| <i>Alcool</i> | Oximes |
| <i>Aldéhydes et cétones</i> | 3. Halogène est présent |
| <i>Acides carboxyliques</i> | Composés halogénés du sous- |
| Acétals | groupe I |
| Anhydrides | 4. S est présent |
| Ethers et esters | Composés sulfurés hydroxyhétéro- |
| Certains glycols | cycliques |
| Lactones | Mercapto-acides |
| Phénols (partiellement) | Thio-acides |
| 2. N est présent | 5. N et halogènes sont présents |
| <i>Amides</i> | Amines, amides, nitriles halogénés |
| <i>Amines</i> | 6. N et S sont présents |
| Amines hétérocycliques | Composés aminés hétérocycliques |
| Nitriles | |

Groupe P_2 Composés à la masse moléculaire modérée renfermant deux ou plus de groupes polaires (à l'exception des acides sulfonés et sulfiniques qui font partie du groupe P_2 possédant un seul groupe polaire dans la molécule)

- | | |
|--|------------------------------------|
| 1. Seuls C, H ou O sont présents | Amines |
| <i>Di et polyacides</i> | Alcools aminés |
| <i>Acides-alcools</i> | Semi-carbamide |
| <i>Polyalcools</i> | Semi-carbazone |
| <i>Polyphénols</i> | Urée |
| Glucides simples | 4. Halogènes sont présents |
| 2. Métaux sont présents | <i>Acides halogénés</i> |
| <i>Sels des acides et des phénols</i> | Halogénures d'acides (par suite |
| Divers organo-métalliques | d'hydrolyse) |
| 3. N est présent | Alcools halogénés, aldéhydes halo- |
| <i>Sels des amines et des acides orga-</i> | génés, etc. |
| <i>niques</i> | 5. S est présent |
| <i>Acides aminés</i> | <i>Acides sulfonés</i> |
| <i>Sels ammoniacaux</i> | Acides alcoylsulfonés |
| Amides | Acides sulfiniques |

Tableau 46 (suite)

6. N et halogène sont présents
Sels des amines et des acides
halogénés

7. N et S sont présents

Acides diaminosulfoniques
Hydrosulfates des bases faibles
Acides cyanosulfonés
Acides nitrosulfonés

Groupe O. Bases

Les di et triarylamines et les carbazols sont compris dans le groupe M. Le groupe O, en plus des composés cités ci-après, comprend un nombre peu important de composés oxygénés formant des sels d'oxonium lors du traitement par HCl.

Amines (amines possédant des composants négatifs suffisamment forts sont comprises dans le groupe M)

Acides aminés

Composés amphotères (phénols aminés, thio-phénols aminés, sulfamides aminés)

Hydrazines arylées

N-Dialcoylamides

Groupe A₁. Acides forts

1. Seuls C, H et O sont présents
Acides (généralement le nombre d'atomes de carbone dans la molécule est inférieur à 10)

2. N est présent

Acides aminés

Acides nitrés

Cyanoacides

Acides azotiques et carboxyliques

hétérocycliques

Polynitrophénols

3. S est présent

Acides sulfonés

Acides sulfoniques

4. Halogène est présent

Acides halogénés

Phénols polyhalogénés

5. N et S sont présents

Acides aminosulfonés

Nitrothio-phénols

Sulfates des bases faibles

6. S et halogènes sont présents

Sulfohalogénures

Groupe A₂. Acides faibles

1. Seuls C, H et O sont présents
Acides (macromoléculaires)

Anhydrides

Phénols (y compris les esters des acides-phénols)

Enols

2. N est présent

Nitrophénols

Amides (y compris N-monoalcoylamides)

Phénols aminés

Composés amphotères

Cyanophénols

Imides

Amines aromatiques N-monoalcoylées

Hydroxylamines N-substituées

Acides aminés

Oximes

Tableau 46 (suite)

Nitroparaffines primaires et secondaires	5. N et halogènes sont présents
Hydrocarbures aromatiques trinitrés	Hydrocarbures aromatiques polynitrohalogénés
Uréides	Phénols substitués
3. Halogènes sont présents	6. N et S sont présents
<i>Phénols halogénés</i>	Sulfonamides aminés
4. S est présent	Acides aminosulfonés
Mercaptans	Thio-phénols aminés
Thio-phénols	Thio-amides

Groupe M

Composés neutres renfermant l'azote ou le soufre. Seuls certains sont entraînés à la vapeur d'eau

(Les classes les plus connues sont énumérées)

1. N est présent	Mercaptans
<i>Anilides et toluides</i>	Sulfoamides N-dialcoylés
<i>Amides</i>	Sulfates, sulfonates
<i>Arylamines nitrées</i>	Sulfures, disulfures
<i>Hydrocarbures nitrés</i>	Sulfones
Phénols aminés	Thio-éthers
Composés azo, hydrazo et azoxy	Dérivés de la thio-urée
Di et triarylamines	3. N et S sont présents
Dinitrophényl-hydrazines	Sulfamides
Nitrates	4. N et halogène sont présents
Nitrites	Amines, acides, nitriles halogénés
2. S est présent	

Groupe N

Composés neutres ne renfermant pas d'azote et de soufre. Sont entraînés à la vapeur d'eau. Dans le sous-groupe N₁ sont compris les composés ne renfermant pas plus de 7 à 8 atomes de carbone dans la molécule ; le sous-groupe N₂ comprend les autres composés de ce groupe.

<i>Alcools</i>	<i>Hydrocarbures non saturés</i> (hydrocarbures acycliques non saturés et hydrocarbures cycliques non saturés qui sont aisément sulfurés)
<i>Aldéhydes et cétones</i>	Acétals
<i>Esters</i>	Polyoses (se carbonisent en H ₂ SO ₄ concentré)
<i>Ethers</i>	
Anhydrides	
Lactones	

Tableau 46 (suite)

Groupe I. Composés inertes

Hydrocarbures (y compris la plupart d'hydrocarbures cycliques et tous les hydrocarbures acycliques saturés)

Dérivés halogénés
Ethers de diaryle

C. Divers composés organiques classés par les groupes principaux

Composé	Groupe	Composé	Groupe
<i>Acides</i>		Formamide	P ₁ -P ₂
<i>n</i> -Butyrique	P ₁	Formanilide	P ₁ -M
Chloracétique	P ₁	Isobutyramide	P ₁ -P ₂
α -Chloro-		Propionamide	P ₁ -P ₂
propionique	P ₁	<i>Ethers</i>	
Crotonique	P ₁	<i>n</i> -Butylique	N ₂
Isovalérique	P ₁ -K ₁	Diéthylique	P ₁ -N ₁
Valérique	K ₁	Diisopropylique	N ₁
<i>Alcools</i>		Ethylisopropylique	P ₁ -N ₁
<i>tert</i> -Amylique	P ₁	Ethylméthylique	P ₁
Benzylique	N ₁	<i>Hydrocarbures aromatiques</i>	
<i>n</i> -Butylique	P ₁	Cymène	I
Cyclopenthanol	N ₁	Diphénylméthane	N ₂ -I
Isoamylique	P ₁ -N ₁	Naphtalène	I
Isopropylméthyl-		Tétraméthyl-	
carbinol	P ₁ -N ₁	benzène-1,2,3,5	
<i>Aldéhydes</i>		(Isodurène)	N ₂
<i>n</i> -Butyrique	P ₁ -N ₁	Triméthylbenzène-	
Isobutyrique	P ₁	1,3,5 (Mésitylène)	N ₂
Isovalérique	N ₁	<i>Amines</i>	
<i>Amides</i>		<i>m</i> -Xylène	N ₂ -I
Acétamide	P ₁ -P ₂	<i>o</i> -Xylène	N ₂ -I
Acétanilide	M	<i>p</i> -Xylène	N ₂ -I
Butyramide	P ₁ -M	<i>n</i> -Amylamine	P ₁
		Aniline	O

Tableau 46 (suite)

Composé	Groupe	Composé	Groupe
Benzylamine	P ₁	Propionate de méthyle	P ₁
Di- <i>n</i> -butylamine	O	Succinate d'éthyle	N ₁
Di- <i>n</i> -propylamine	P ₁ -O	<i>Nitriles</i>	
Isoamylamine	P ₁	<i>n</i> -Butyronitrile	M
Pipéridine	P ₁	Isobutyronitrile	P ₁ -M
Tri- <i>n</i> -propylamine	O	Propionitrile	P ₁
<i>Esters</i>		<i>Cétones</i>	
Acétate de benzyle	N ₁	Acétophénone	N ₁
Acétate de <i>n</i> -butyle	N ₁	Benzophénone	N ₂
Acétate de <i>sec</i> -butyle	N ₁	Benzylcétone	N ₂
Acétate d'éthyle	P ₁ -N ₁	Cyclohexanone	P ₁ -N ₁
Acétate d'isopropyle	P ₁	Cyclopentanone	P ₁
Acétate de <i>n</i> -propyle	P ₁ -N ₁	Di- <i>n</i> -butylcétone	N ₁ -N ₂
Benzoate d'éthyle	N ₂	Ethylméthylcétone	P ₁
Caprylate d'éthyle	N ₂	Isopropylméthylcétone	P ₁
Carbonate de <i>n</i> -butyle	N ₁ -N ₂	Méthyl- <i>n</i> -propylcétone	P ₁ -N ₁
Carbonate d'éthyle	P ₁ -N ₁	Pinacoline	P ₁ -N ₁
Carbonate de méthyle	P ₁ -N ₁	Succinonitrile	P ₁ -P ₂ -M
Formiate de <i>n</i> -butyle	P ₁ -N ₁	Triméthylène-cyanure	P ₂ -M
Formiate de <i>n</i> -propyle	P ₁	<i>Dérivés nitrés</i>	
Isobutyrate de méthyle	P ₁ -N ₁	Nitrobenzène	M
Isovalérate de méthyle	N ₁	Nitroéthane	K ₂
Malonate d'éthyle	N ₂	Nitrométhane	P ₁ -K ₂
Malonate de méthyle	P ₁ -N ₁	<i>Phénols</i>	
Oxalate de <i>n</i> -butyle	N ₂	Chlorohydroquinone	P ₁ -K ₂
Oxalate d'éthyle	P ₁ -N ₁	Fluoroglycine	P ₂ -K ₂
Phtalate d'éthyle	N ₁	Hydroquinone	P ₁
		Phénol	P ₁ -K ₂

Tableau 46 (suite)

D. Composés répandus dont la position dans les groupes est difficile de prévoir

Composé	Groupe	Composé	Groupe
Acétal	P ₁ -N ₁	Acide benzylmalonique	P ₁ -K ₁
Acétamide	P ₁ -N ₂	Acide α -bromo-propionique	P ₁ -K ₁
Acétate d'allyle	P ₁ -N ₁	Acide <i>n</i> -butyrique	P ₁
Acétate de <i>n</i> -butyle	N ₁	Acide citrique	P ₂
Acétate de <i>sec</i> -butyle	N ₁	Acide α -chloro-propionique	P ₁
Acétate de β -chloroéthyle	N ₁	Acide cyanacétique	P ₁
Acétate d'éthyle	P ₁ -N ₁	Acide α,β -dibromo-propionique	P ₁ -K ₁
Acétate de cyclohexyle	N ₂	Acide diéthylbarbiturique	K ₂
Acétate de <i>n</i> -propyle	P ₁ -N ₁	Acide fumarique	K ₁
Acéto-acétate d'éthyle	P ₁	Acide glutarique	P ₂
Acéto-acétate de méthyle	P ₁	Acide lactique	P ₂
Acétoxime	P ₁	Acide maléique	P ₁ -P ₂
Acétophénone	N ₁	Acide malonique	P ₁
Acétylpipéridine	P ₁	Acide mandélique	P ₁
Acide adipique	K ₁	Acide	
Acide <i>o</i> -amino- <i>p</i> -valérique	K ₂ (O)	phénoxyacétique	P ₁ -K ₁
Acide α -aminoisobutyrique	P ₂	Acide phtalique	K ₁
Acide anthranilique	K ₁ (O)	Acide picrique	K ₁
Acide azélaïque	K ₁	Acide pimélique	P ₁ -K ₁
Acide barbiturique	K ₁	Acide sébacique	K ₁
Acide benzène-sulfonique	P ₁ -K ₁	Acide sulfanilique	K ₁
Acide benzène-sulfoné	P ₂	Alcool <i>n</i> -valérique	K ₁
		Alcool allylique	P ₁
		Alcool	
		β -aminoéthylrique	P ₂
		Alcool <i>n</i> -amylrique	N ₁
		Alcool <i>sec</i> -amylrique	P ₁ -N ₁
		Alcool <i>tert</i> -amylrique	P ₁

Tableau 46 (suite)

Composé	Groupe	Composé	Groupe
Alcool benzylique	N ₁	Carbonate de	
Alcool <i>n</i> -butylique	P ₁	<i>n</i> -butyle	N ₁ -N ₂
Alcool diacétonique	P ₁	Carbonate d'éthyle	P ₁ -N ₁
Alcool furfurylique	P ₁	Carbonate de	
Alcool <i>o</i> -hydroxy-		méthyle	P ₁ -N ₁
benzylique	P ₁ -K ₁	Chloroacétate de	
Alcool		méthyle	P ₁ -N ₁
isoamylique	P ₁ -N ₁	Chloral	P ₁
Aldéhyde		Chlorohy-	
isobutyrique	P ₁	droquinone	P ₁ -K ₂
Aldéhyde	N ₁	Chlorure de	
isovalérique		<i>n</i> -butyryle	P ₁ -N ₁
Aldéhyde	P ₁ -K ₂	Chlorure	
protocatéchique		d'isobutyryle	P ₁
Aldéhyde		Chlorure	
<i>n</i> -valérique	N ₁	d'isovaléryle	P ₁ -N ₁
<i>m</i> -Aminophénol	P ₁ -P ₂ -K ₂	Chlorure de	
<i>o</i> -Aminophénol	P ₁ -P ₂ -K ₂	propionyle	P ₁
<i>p</i> -Aminophénol	K ₂	Citrate de méthyle	P ₁ -N ₁
<i>n</i> -Amylamine	P ₁	Cyanure de	
Anhydride		triméthylène	P ₂ -M
phtalique	N ₂	Cyclohexanol	N ₁
Aniline	O	Cyclohexanone	P ₁ -N-
Benzidine	O	Cyclohexylamine	P ₁
Benzoate d'éthyle	N ₂	Cymène	I
Benzoylacétone	N ₂	Dibenzoylméthane	N ₂
Benzoylcarbinol	P ₁	Dichloro-2,5-	
Benzylamine	P ₁	hydroquinone	K ₂
Biuret	P ₂ -M	Dichloro-2,6-nitro-	
Bromal	P ₁	4-aniline	M
<i>n</i> -Butanal	P ₁ -N ₁	Diéthylamine	P ₁
<i>n</i> -Butyramide	P ₁	Diéthylcétone	P ₁ -N ₁
<i>n</i> -Butyrate de		Diméthylacétal	P ₁ -N ₁
méthyle	P ₁ -N ₁	Dinitro-2,4-aniline	O-M
<i>n</i> -Butyronitrile	M	Dioxane	P ₁
Camphre	N ₂	Di- <i>n</i> -propylamine	P ₁ -O
		Diphénylméthane	N ₂ -I

Tableau 46 (suite)

Composé	Groupe	Composé	Groupe
Durène (tétraméthyle-1,2,4,5-benzène)	N ₂	Isobutyrate de méthyle	P ₁ -N ₁
Ether <i>n</i> -butylique	P ₁	Isobutyronitrile	P ₁ -M
Ether α -dichlorométhyllique	P ₁	Isodurène (tétraméthyle-1,2,3,5-benzène)	N ₂
Ether β -diéthylaminoéthyllique	P ₁	Isopropylacétate	P ₁
Ether diéthyllique	P ₁ -N ₁	Isopropyléméthylcétone	P ₁
Ether			
éthylméthyllique	P ₁	Isovalérate de méthyle	N ₁
Ethylènediamine	P ₂	Lactate d'éthyle	P ₁ -N ₁
Ethylal	P ₁ -N ₁	Lévulinate de méthyle	P ₁ -N ₁
Ethylèneglycol	P ₂	Malonate d'éthyle	N ₂
Ethylmercaptopan	P ₁ -M	Malonate de méthyle	P ₁ -N ₁
Ethylméthylcétone	P ₁	Mésitylène	N ₂
Fluoroglucine	P ₂ -K ₂	Méthylal	P ₁ -N ₁
Formamide	P ₁ -P ₂	N-Méthylbenzylamine	O
Formanilide	P ₁ -M	N-Méthylacétanilide	O-M
Formiate de <i>n</i> -butyle	P ₁ -N ₁	Méthyl- <i>n</i> -propylcarbinol	N ₁
<i>o</i> -Formiate d'éthyle	P ₁ -N ₁	Méthyl- <i>n</i> -propylcétone	P ₁ -N ₁
Formiate d'isobutyle	P ₁	Nitrate d'éthyle	P ₁ -M
<i>o</i> -Formiate de méthyle	P ₁ -N ₁	Nitrate de méthyle	P ₁ -M
Formiate de <i>n</i> -propyle	P ₁	<i>m</i> -Nitroaniline	O
Glycérine	P ₂	<i>o</i> -Nitroaniline	O-M
Glycine	P ₂	<i>p</i> -Nitroaniline	O
Guanidine	P ₂	Nitroguanidine	K ₂ -M
Hydroquinone	P ₁	Nitrométhane	P ₁ -K ₂
<i>n</i> -Hydroxybenzal-déhyde	K ₂ -N ₁	<i>n</i> -Nitrosodiphénylamine	K ₂ -M
Indène	N ₂	Nitro-urée	K ₂ -M
Indol	M		
Isoamylamine	P ₁		
Isobutyramide	P ₁		

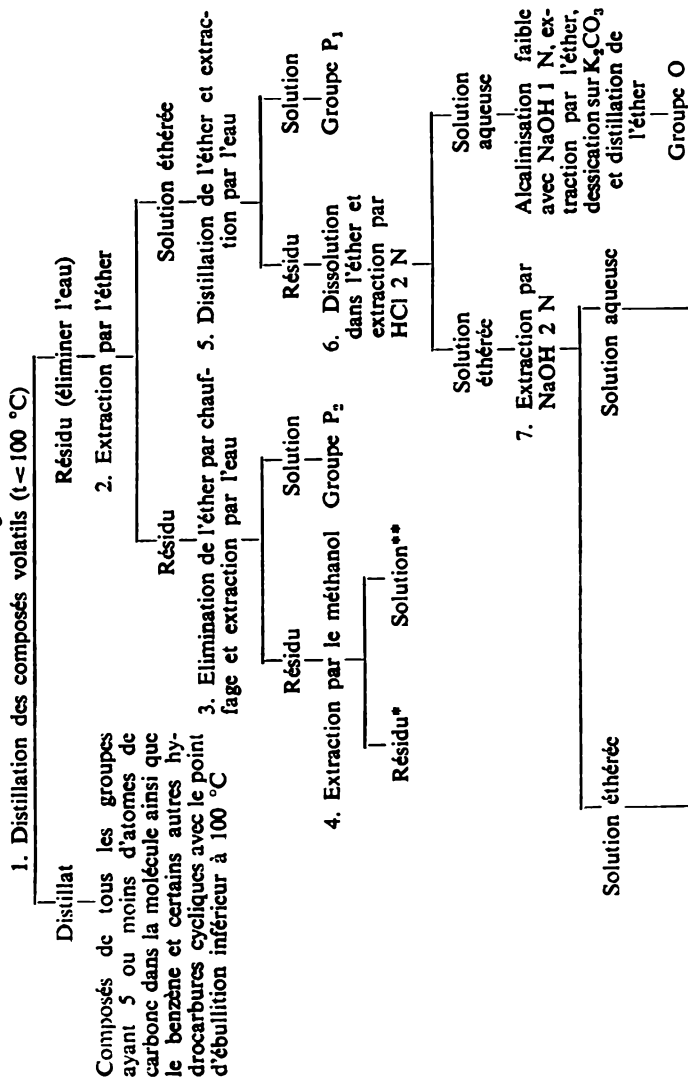
Tableau 46 (suite)

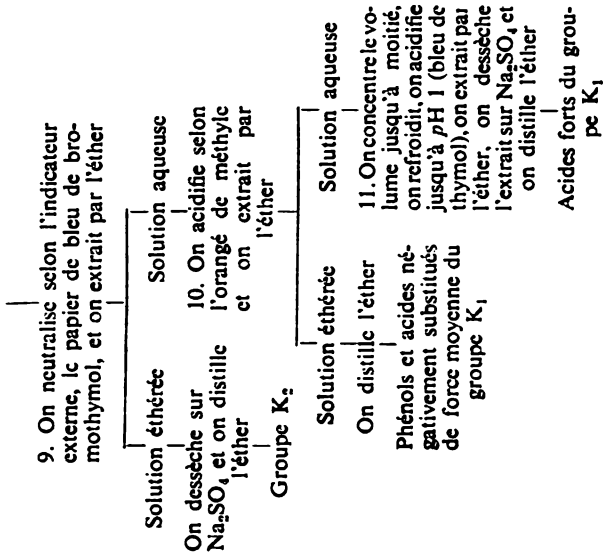
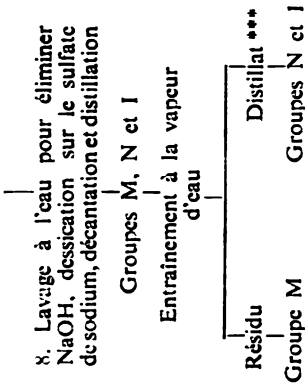
Composé	Groupe	Composé	Groupe
Oxamide	M	Résorcine	P ₁
Oxalate de <i>n</i> -butyle	N ₂	Salicylate de	
Oxalate d'éthyle	P ₁ -N ₁	benzyle	K ₂
Oxyde de mésityle	N ₁	Salicylate d'éthyle	K ₂
Paraldéhyde	P ₁ -N ₁	Succinate d'éthyle	N ₁
Phénol	P ₁ -K ₂	Succinimide	P ₁ -P ₂
<i>m</i> -Phénylène-		Succinitrile	P ₁ -P ₂ -M
diamine	P ₁ -P ₂	Sulfure de carbone	M
<i>o</i> -Phénylène-		Triacétine (triacé-	
diamine	P ₁ -P ₂	tate de glycérine)	P ₁ -N ₁
<i>p</i> -Phénylène-		Tribromo-2,4,6-	
diamine	P ₂	aniline	M
Phénylhydrazine	O	Tribromo-2,4,6-	
Phtalate d'éthyle	N ₁	phénol	K ₁
Phtalimide	K ₂	Trichloro-2,4,6-	
Pinacone	P ₁	aniline	O-M
Pipéridine	P ₁	Trichloro-2,4,6-	
Polyoxyméthylène	P ₂ -N ₂	phénol	K ₁
Propionamide	P ₁ -P ₂	Triméthylèneglycol	P ₂
Propionate de		Tri- <i>n</i> -propylamine	O
méthyle	P ₁	α -Triphénylguani-	
Propionitrile	P ₁	dine	O-M
Propylèneglycol	P ₁	Urée	P ₂
Pyridine	P ₁	Vanillal	K ₁
Pyrocathécol	P ₁	Xylènes	N ₂ -I
Pyrrole	M		

Tableau 46 (suite)

E. Séparation des mélanges

Mélange





* Ce résidu peut contenir : nombreux dérivés nitrés des hydrocarbures aromatiques et leurs dérivés amino, hydroxy et acides, nombreux dérivés trinitrés de types indiqués ci-dessus, certains dérivés dihalogénés d'anthracène, certains dérivés aminés des acides sulfonés, quelques amides et imides, des benzyle et benzoyloxy-urées, certains dérivés d'anthraquinone.

** Dans cette solution peuvent se trouver : certains acides dibromo et dinitrobenzoïques, quelques autres acides aromatiques, certains polyhydroxy et polyaminoquinones et quindolines, quelques aminophénols, amides et anilides, très peu d'amines.

*** Pour isoler le groupe I, on peut utiliser l'inactivité des composés de ce groupe en effectuant l'oxydation des composés du groupe N, la fixation des aldéhydes et des cétones par une solution saturée de NaHSO_3 , etc. On peut identifier le groupe I dans une partie de prise d'essai à l'aide de H_2SO_4 concentré.

Tableau 47

Substances utilisées pour la dessiccation

A. Dessiccation des gaz

Substance	Caractéristique	Quantité de vapeur d'eau (mg) restante dans 1 l de gaz en faisant barboter celui-ci au débit de 1-5 l par heure; température de 30,5 °C
CuSO_4	Anhydre	2,8
CaCl_2	Granuleux, composition moyenne $\text{CaCl}_2 \cdot \text{H}_2\text{O}$	1,5
CaCl_2	Technique anhydre, composition moyenne $\text{CaCl}_2 \cdot 1/4\text{H}_2\text{O}$	1,25
ZnCl_2	En bâtonnets	0,98
$\text{Ba}(\text{ClO}_4)_2$	Anhydre	0,82
NaOH	En bâtonnets	0,80
CaCl_2	Anhydre	0,36
$\text{Mg}(\text{ClO}_4)_2 \times 3\text{H}_2\text{O}$	—	0,031
KOH	En bâtonnets	0,014
Silicagel	—	0,006
CaSO_4	Anhydre	0,005
CaO	—	0,003
H_2SO_4	à 100 %	0,003
$\text{Mg}(\text{ClO}_4)_2$	Anhydre	0,002
Al_2O_3	—	0,001
BaO	—	0,0007
P_2O_5	—	0,00003

Tableau 47 (suite)

B. Dessiccation des liquides

Liquide	Desséchants
Acides	Na_2SO_4
Alcools	K_2CO_3 , CuSO_4 , CaO , Na_2SO_4 (mais pas CaCl_2 , CaC_2)
Aldéhydes	CaCl_2 , $\text{Mg}(\text{ClO}_4)_2$
Amines	NaOH , KOH , K_2CO_3 (mais pas CaCl_2)
Bases	KOH , K_2CO_3 , BaO
Cétones	K_2CO_3 , CaCl_2 , $\text{Mg}(\text{ClO}_4)_2$ (pour cétones supérieures)
Dérivés halogénés	CaCl_2 , $\text{Mg}(\text{ClO}_4)_2$ (mais pas Na)
Dérivés nitrés	CaCl_2 , Na_2SO_4 , $\text{Mg}(\text{ClO}_4)_2$
Esters	Na_2SO_4 , CaCl_2 , $\text{Mg}(\text{ClO}_4)_2$
Ethers	CaCl_2 , Na , CaC_2 , K_2CO_3 , $\text{Mg}(\text{ClO}_4)_2$
Hydrazines	K_2CO_3
Hydrocarbures	CaCl_2 , Na , CaC_2 , $\text{Mg}(\text{ClO}_4)_2$
Nitriles	K_2CO_3
Phénols	Na_2SO_4
Sulfure de carbone	CaCl_2 , $\text{Mg}(\text{ClO}_4)_2$

Tableau 48

Préparation des hydrostats

Pression relative de vapeur d'eau au-dessus des mélanges de sels solides avec leurs solutions aqueuses saturées, des mélanges de sels anhydres avec leurs hydrates et au-dessus des mélanges de deux divers hydrates (la pression de vapeur d'eau à une température donnée est admise égale à l'unité).

Mélange	Température (°C)				
	10	15	20	25	30
	Pression relative de vapeur d'eau				
P_2O_5	—	—	< 0,01	—	—
KOH	—	—	0,05	—	—
NaOH	—	—	0,06	—	—
$CaBr_2 \cdot 6H_2O$	0,23	0,21	0,19	0,17	0,15
$CaCl_2 \cdot 6H_2O$	0,38	0,35	0,32	0,29	0,26
$K_2CO_3 \cdot 2H_2O$	—	—	0,44	0,45	—
$Ca(NO_3)_2 \cdot 4H_2O$	0,65	0,60	0,55	0,50	0,45
$NaBr \cdot 2H_2O$	0,63	0,61	0,59	0,57	0,55
NH_4NO_3	0,69	0,66	0,63	0,60	0,57
NaCl	0,75	0,75	0,75	0,75	0,75
$NaNO_3$	0,77	0,76	0,75	0,74	0,73
KCl	—	—	0,86	0,85	0,85
$Na_2SO_4 \cdot 10H_2O$	—	0,95	0,90	0,85	0,78
$Na_2CO_3 \cdot 10H_2O$	—	—	0,91	0,89	0,87
KNO_3	—	—	0,95	0,94	0,94
$Na_2B_4O_7 \cdot 10H_2O$	—	—	0,99	—	—
$MgCl_2 + MgCl_2 \cdot 2H_2O$	—	—	0,0005	—	—
$KOH + KOH \cdot H_2O$	—	—	—	—	0,02
$CaCl_2 + CaCl_2 \cdot H_2O$	—	—	0,15	—	—
$Na_2SO_4 + Na_2SO_4 \cdot 10H_2O$	0,69	0,72	0,76	0,80	—
$NaOH + NaOH \cdot H_2O$	—	—	0,03	—	—
$K_2CO_3 + K_2CO_3 \cdot 2H_2O$	—	—	—	0,05	—
$NaI + NaI \cdot 2H_2O$	—	0,12	0,13	0,14	0,15
$Na_2CO_3 + Na_2CO_3 \cdot H_2O$	—	—	—	0,20	—
$Na_2B_4O_7 + Na_2B_4O_7 \cdot 5H_2O$	—	—	0,25	—	—
$Na_2HPO_4 + Na_2HPO_4 \cdot 2H_2O$	—	0,27	0,28	0,29	—
$NaBr + NaBr \cdot 2H_2O$	0,30	0,32	0,34	0,36	0,38

Tableau 48 (suite)

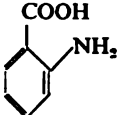
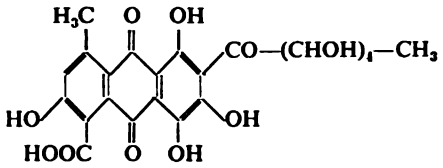
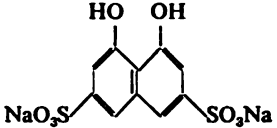
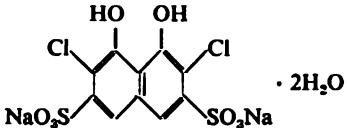
Mélange	Température (°C)				
	10	15	20	25	30
	Pression relative de vapeur d'eau				
$\text{CaCl}_2 \cdot \text{H}_2\text{O} + \text{CaCl}_2 \cdot 2\text{H}_2\text{O}$	—	0,05	—	—	—
$\text{CaCl}_2 \cdot 2\text{H}_2\text{O} + \text{CaCl}_2 \cdot 6\text{H}_2\text{O}$	0,21	0,21	0,22	0,22	0,23
$\text{Na}_2\text{B}_4\text{O}_7 \cdot 5\text{H}_2\text{O} + \text{Na}_2\text{B}_4\text{O}_7 \times$ $\times 10\text{H}_2\text{O}$	—	—	0,39	—	—
$\text{Na}_2\text{HPO}_4 \cdot 2\text{H}_2\text{O} + \text{Na}_2\text{HPO}_4 \times$ $\times 7\text{H}_2\text{O}$	0,50	0,53	0,56	0,59	0,62
$\text{Na}_2\text{CO}_3 \cdot \text{H}_2\text{O} + \text{Na}_2\text{CO}_3 \times$ $\times 10\text{H}_2\text{O}$	0,66	0,69	0,72	0,76	—
$\text{Na}_2\text{HPO}_4 \cdot 7\text{H}_2\text{O} +$ $+ \text{Na}_2\text{HPO}_4 \cdot 12\text{H}_2\text{O}$	0,65	0,70	0,75	0,81	—

Tableau 49

Réactifs organiques les plus importants

Dans les dosages gravimétrique et volumétrique on indique dans la colonne «Éléments de métal»

A. Réactifs mis dans l'ordre alphabétique

n°	Réactif	Synonymes du nom
1	Acide anthranilique 	Acide <i>o</i> -amino-benzoïque
2	Acide carminique 	—
3	Acide chromotrope, sel disodique 	Acide dihydroxy-1,8-naphtalène-disulfoné-3,6 sel disodique
4	Acide dichloro-2,7-chromotrope 	Acide dihydroxy-1,8-dichloro-2,7-naphtalène-disulfoné-3,6, sel disodique

à doser » entre parenthèses le nombre de molécules de réactif lié à un atome

Masse moléculaire		Éléments à doser	Méthode
<i>M</i>	lg <i>M</i>		
137,14	13 716	Cd ²⁺ , Co ²⁺ , Cu ²⁺ , Hg ²⁺ , Mn ²⁺ , Ni ²⁺ , Pb ²⁺ , Zn ²⁺ (sous forme de MeR ₂)	Gravimétrie
492,40	69 232	B ^{III}	Photométrie
364,27	56 142	Ti ^{IV} , Cr ^{VI}	Photométrie
469,18	67 134	Ti ^{IV}	Photométrie

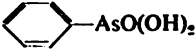
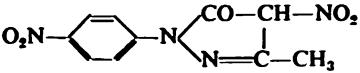
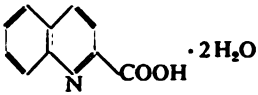
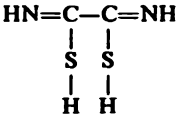
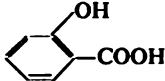
n°	Réactif	Synonymes du nom
5	Acide phénylarsonique 	—
6	Acide picrolanique 	Nitro-4-méthyl-3-(<i>p</i> -nitrophényl)-pyrazolone-5
7	Acide quinaldinique 	Acide α -quino- leïne-carboxy- lique
8	Acide rubéanique 	Dithioamide
9	Acide salicylique 	Acide <i>o</i> -hydro- xybenzoïque
10	Acide thioglycolique HSCH_2COOH	—

Tableau 49 (suite)

Masse moléculaire		Éléments à doser	Méthode
<i>M</i>	<i>Ig M</i>		
202,03	30 542	Nb ^V , Ta ^V , Zr ^{IV} , Bi ³⁺ , Hf ^{IV} , Sn ^{IV} , Th ^{IV} (on fait calciner le précipité jusqu'à l'oxyde)	Gravimétrie
264,21	42 195	Pb ²⁺ , Ca ²⁺ , Sr ²⁺ , Mg ²⁺ , Th ^{IV} (sous forme de MeR _n , où <i>n</i> est la valence du métal) Ca ²⁺	Gravimétrie Photométrie
210,21	32 265	Cu ²⁺ , Pb ²⁺ , Ag ⁺ , Mn ²⁺ , Ni ²⁺ , Co ²⁺ , Fe ²⁺ , Cd ²⁺ , Zn ²⁺ , UO ₂ ²⁺ (sous forme de MeR _n , où <i>n</i> est la valence du métal)	Gravimétrie
120,20	07 990	Cu ²⁺ , Co ²⁺ , Ru ^{IV} , Pd ²⁺ , Ag ⁺	Photométrie
138,13	14 029	Fe ²⁺ , Cu ²⁺	Photométrie
92,120	96 435	Fe ²⁺ , W ^{VI} , Sn ²⁺ (on ajoute le réactif dans le cas, où l'on dose l'étain avec le dithiol)	Photométrie

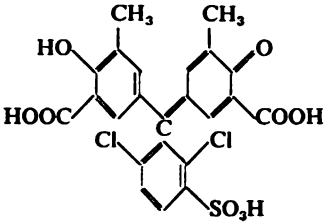
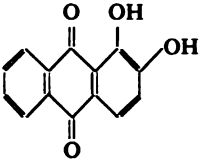
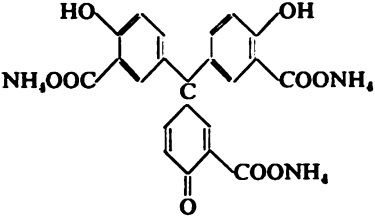
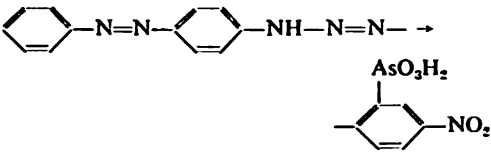
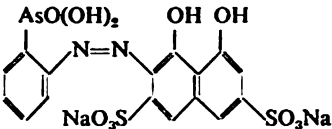
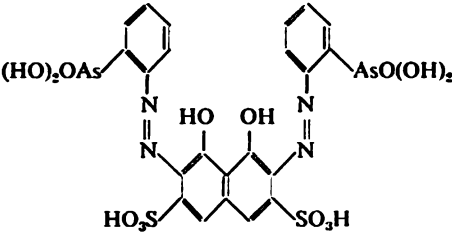
n°	Réactif	Synonymes du nom
11	<p>Albéron</p> 	<p>Acide dichloro-sulfodiméthyl-hydroxyfuxone-dicarboxylique, chromoxan bleu pur BLD</p>
12	<p>Alizarine</p> 	<p>Dihydroxy-1,2-anthra-quinone</p>
13	<p>Aluminon</p> 	<p>Sel ammoniacal d'acide aurine-tricarboxylique</p>

Tableau 49 (suite)

Masse moléculaire		Éléments à doser	Méthode
M	$\lg M$		
539,35	73 188	Be^{2+} , Al^{3+}	Photométrie
240,22	38 061	Al^{3+} , Zr^{IV} , Th^{IV} , F^-	Photométrie
473,45	67 528	Al^{3+} , F^- , Be^{2+}	Photométrie

n°	Réactif	Synonymes du nom
14	<p data-bbox="200 326 291 348">Arsazène</p> 	<p data-bbox="733 326 897 467">Acide diazo-amino-1'',4-azobenzène-1,1'-nitrobenzène-4''-arsonique-2''</p>
15	<p data-bbox="200 584 311 606">Arsénazo I</p> 	<p data-bbox="733 584 897 749">Acide benzène-2'-arsonique (1'-azo-2)-acide dihydroxy-1,8-naphtalène-sulfoné-3,6, sel disodique, uranon</p>
16	<p data-bbox="200 824 327 846">Arsénazo III</p> 	<p data-bbox="733 824 897 1009">Acide benzène-2'-arsonique (1'-azo-7)-acide arsonique (1''-azo-7)-acide dihydroxy-1,8-naphtalène-disulfoné-3,6</p>

* T. R. signifie les terres rares.

Tableau 49 (suite)

Masse moléculaire		Eléments à doser	Méthode
<i>M</i>	lg <i>M</i>		
470 28	—	Pb ²⁺ , Zn ²⁺	Photométrie
592,30	77 254	Al ³⁺ , Be ²⁺ , Ce ^{IV} , In ³⁺ , Nb ^V , T. R. *, Ta ^V , Th ^{IV} , Ti ^{IV} , UO ₂ ²⁺ , V ^{IV} , Zr ^{IV}	Photométrie
776,38	89 008	Ce ^{IV} , Hf ^{IV} , Np ^{IV} , Pa ^V , Pu ^{IV} , T. R. *, Th ^{IV} , U ^{IV} , UO ₂ ²⁺ , Zr ^{IV}	Photométrie

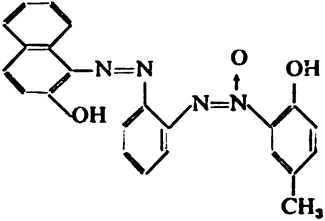
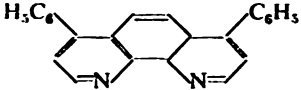
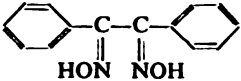
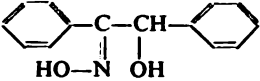
n°	Réactif	Synonymes du nom
17	<p>Azo-azoxy BN</p> 	[Hydroxy-2''-naphthalène-(1'-azo-2')-phénylazoxy]-2-méthyle-4-phénol
18	<p>Bathophénanthroline</p> 	Diphényl-4,7-phénanthroline-1,10
19	<p>α-Benziledioxime</p> 	α -Diphényl-dioxime, nickelon
20	<p>α-BenzoInoxime</p> 	Cupron

Tableau 49 (suite)

Masse moléculaire		Éléments à doser	Méthode
<i>M</i>	lg <i>M</i>		
398,43	60 035	Ca ²⁺	Photométrie
350,44	54 461	Fe ²⁺	Photométrie
240,27	38 070	Ni ²⁺ (sous forme de MeR ₂)	Gravimétrie
227,27	35 654	Cu ²⁺ (sous forme de MeR ₂)	Gravimétrie

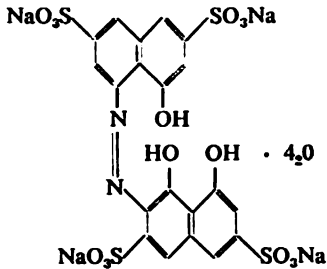
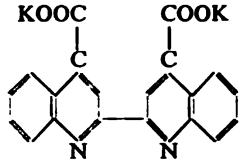
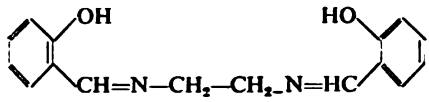
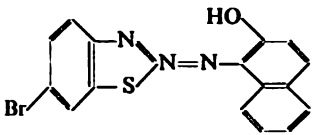
n°	Réactif	Synonymes du nom
21	<p>Béryllon II</p>  <p style="text-align: center;">$\cdot 4_2\text{O}$</p>	<p>Disulfo-3,6-naphtoldihydroxy-1',8'-(8-azo-7')-disulfo-3',6'-naphtalène, sel tétrasodique</p>
22	<p>Bi-2,2'-cinchoninate de potassium</p> 	—
23	<p>Bis-salicylaléthylènediamine</p> 	—
24	<p>Bromobenzothiazole</p> 	—

Tableau 49 (suite)

Masse moléculaire		Éléments à doser	Méthode
<i>M</i>	lg <i>M</i>		
810,58	90 882	Be ²⁺	Photométrie
420,52	62 379	Cu ⁺	Photométrie
268,32	42 865	Mg ²⁺	Photométrie (lumin.)
372,25	57 083	Cd ²⁺	Photométrie

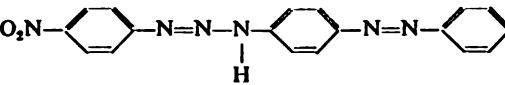
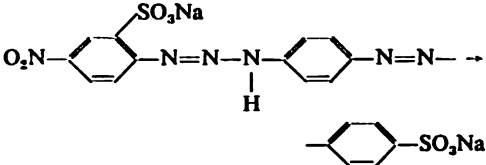
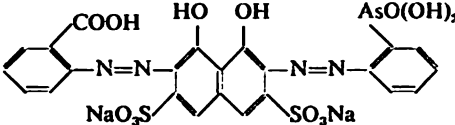
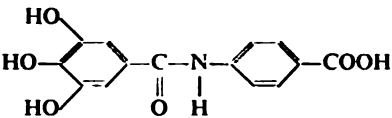
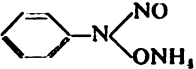
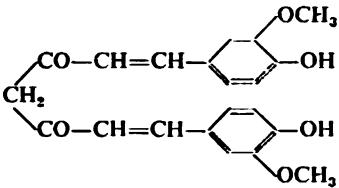
n°	Réactif	Synonymes du nom
25	Brucine $C_{23}H_{20}O_4N_2$	—
26	Cation 	<i>p</i> -Nitrophényl-azoaminobenzène- <i>p</i> -azobenzène
27	Cation S (hydrosoluble) 	—
28	Carboxy-arsénazo 	Acide phényl-2-carboxylique-dihydroxy-1',8'-naphtalène-(1-azo-2')-disulfoné-3',6', acide phényl-2''-(7'azo-1'')-arsonique, sel disodique
29	<i>p</i> -Carboxygallanilide 	Acide trihydroxy-3,4,5-benzoylparaamino-benzoïque

Tableau 49 (suite)

Masse moléculaire		Éléments à doser	Méthode
<i>M</i>	<i>lg M</i>		
394,48	59 603	NO_3^-	Photométrie
346,35	53 952	Cd^{2+}	Photométrie
550,46	74 073	Cd^{2+}	Photométrie
740,30	86 941	Ba^{2+} , SO_4^{2-}	Volumétrie
289,25	46 126	Ti^{IV}	Photométrie

n°	Réactif	Synonymes du nom
30	<p>Complexone III</p> $\begin{array}{c} \text{HOOC}-\text{CH}_2 \\ \text{NaOOC}-\text{CH}_2 \end{array} \text{N}-\text{CH}_2-\text{CH}_2-\text{N} \begin{array}{c} \text{CH}_2-\text{COONa} \\ \text{CH}_2-\text{COOH} \end{array}$	EDTA (éthylène-diaminotétracétate de sodium, trilon B, versène-tétralon B ₃ , chélatone III)
31	<p>Cupferron</p> 	Sel ammoniacal de N-phénylnitroso-hydroxylamine
32	<p>Curcumine</p> 	Bis-(hydroxy-4-méthoxy-3-cynnomoyl)-méthane

*T. R. signifie les terres rares.

Tableau 49 (suite)

Masse moléculaire		Éléments à doser	Méthode
<i>M</i>	lg <i>M</i>		
336,22	52 663	Ca^{2+} , Mg^{2+} , Ni^{2+} , Cu^{2+} , Ag^+ , Au^{3+} , Pd^{2+} , Co^{2+} , V^{IV} , Bi^{3+} , Ga^{3+} , In^{3+} , Sn^{2+} , T. R. *, Sc^{3+} , Sr^{2+} , Tl^{IV} , Th^{IV} , Cr^{3+} , Zr^{IV} , Mn^{2+} , Ba^{2+} , Zn^{2+} , Cd^{2+} , Pd^{2+} , Hg^{2+} , Tl^{3+} , Fe^{2+} , Al^{3+} , Fe^{3+} (sous forme de MeR) Cr^{3+} , Co^{2+} , Mn^{2+}	Volumétrique Photométrique
155,16	12 078	Al^{3+} , Bi^{3+} , Cu^{2+} , Fe^{2+} , Ga^{3+} , Nb^{V} , Sn^{IV} , Ta^{V} , Tl^{IV} , Th^{IV} , V^{V} , Zr^{IV} , U^{IV} (sous forme de MeR_n , où n est la valence du métal, ou bien on fait cal- ciner les précipités jus- qu'aux oxydes)	Gravimétrique
368,39	56 631	B^{III} , Be^{2+}	Photométrique

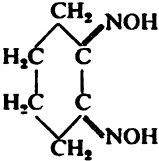
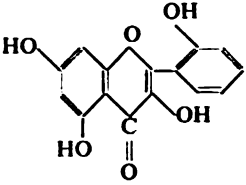
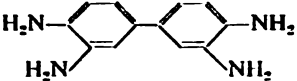
n°	Réactif	Synonymes du nom
33	Cyclohexanedionedioxime-1,2 	Nioxime
34	Datiscétine 	Succédané de la morine. Substance principale — tétrahydroxy-3,5,7, 2'-flavone
35	Diallyldithiocarbamidohydrazine $C_3H_5NHCSNHNHCSNHC_3H_5$	—
36	Diamino-3,3'-benzidine 	Tétra-amino-diphényle

Tableau 49 (suite)

Masse moléculaire		Éléments à doser	Méthode
<i>M</i>	lg <i>M</i>		
142,16	15 278	Ni ²⁺ , Fe ²⁺ , Pd ²⁺	Photométrie
286,25	45 675	Al ³⁺ , Ga ³⁺ , Zr ^{IV} , Th ^{IV}	Photométrie (lumin.)
230,36	36 241	Cu ²⁺ , Pb ²⁺ , Zn ²⁺ , Ni ²⁺ , Ag ⁺	Gravimétrie
214,28	33 098	Sc ^{IV}	Photométrie

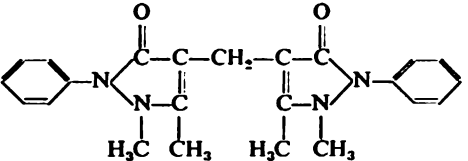
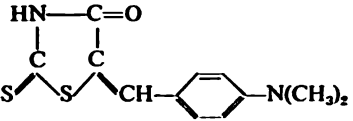
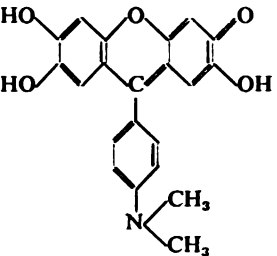
n°	Réactif	Synonymes du nom
37	<p>Diantiprylméthane</p> 	—
38	<p>Diéthylthiocarbamate de sodium</p> $(C_2H_5)_2N-C \begin{array}{l} \nearrow S \\ \searrow SNa \cdot 3 H_2O \end{array}$	—
39	<p><i>p</i>-Diméthylaminobenzylidène-rhodanine</p> 	—
40	<p><i>p</i>-Diméthylaminophénylfluoron</p> 	<p>Diméthylfluoron, trihydroxy-2,6,7-(diméthyl-4''-aminophényl)-3-fluoron-3</p>

Tableau 49 (suite)

Masse moléculaire		Eléments à doser	Méthode
M	$\lg M$		
388,48	58 937	Cd^{2+} , Ti^{IV} , Fe^{3+} , Bi^{3+} , Co^{2+}	Gravimétrie
225,34	35 284	Cu^{2+} , UO_2^{2+} , Ni^{2+}	Photométrie
264,38	42 223	Ag^+ , Au^+ , Hg^{2+} , Pd^{2+} , Cu^+ Ag^+ , Pt^{IV} , CN^-	Photométrie Volumétrie
363,37	56 035	Ta^{V}	Photométrie

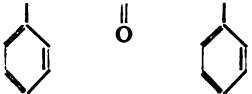
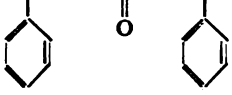
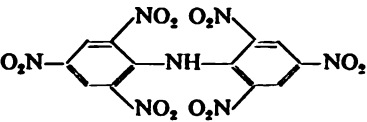
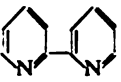
n°	Réactif	Synonymes du nom
41	Diméthylglyoxime $\begin{array}{c} \text{CH}_3-\text{C}-\text{C}-\text{CH}_3 \\ \parallel \quad \parallel \\ \text{HO}-\text{N} \quad \text{N}-\text{OH} \end{array}$	Diacétyldioxime, réactif de Tchougaiev
42	Diphénylcarbazide $\begin{array}{c} \text{HN}-\text{NH}-\text{C}-\text{NH}-\text{NH} \\ \parallel \quad \parallel \\ \text{O} \quad \text{O} \end{array}$ 	Diphényl-1,5- carbo- hydrazide
43	Diphénylcarbazone $\begin{array}{c} \text{HN}-\text{NH}-\text{C}-\text{N}=\text{N} \\ \parallel \quad \parallel \\ \text{O} \quad \text{O} \end{array}$ 	—
44	Dipicrylamine 	Hexanitrodi- phénylamine
45	Dipyridyle-2,2' 	α,α'-Dipyridyle

Tableau 49 (suite)

Masse moléculaire		Éléments à doser	Méthode
<i>M</i>	lg <i>M</i>		
116,12	06 491	Ni ²⁺ , Pd ²⁺ (sous forme de MeR ₂) Fe ²⁺ , Co ²⁺ , Cu ²⁺ (avec la pyridine)	Gravimétrie, volumétrie, photométrie Photométrie
242,29	98 433	Cr ^{VI} , Hg ²⁺ , Pb ²⁺ (indirect.), (Cd ²⁺)	Photométrie
240,27	38 070	Hg ²⁺ , Ag ⁺	Photométrie
439,23	64 269	K ⁺ , Rb ⁺ , Cs ⁺ (sous forme de MeR)	Gravimétrie, photométrie
156,19	19 365	Fe ²⁺	Photométrie

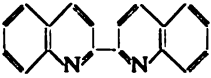
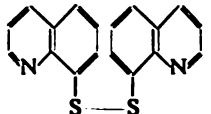
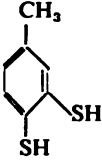
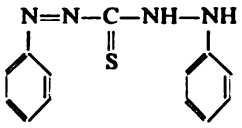
n°	Réactif	Synonymes du nom
46	Diquinolyle-2,2' 	Diquinoléine-2,2', cuproïne
47	Diquinolyle-8,8'-disulfure 	—
48	Dithiol 	Méthyl-1-dimercapto-3,4-benzène
49	Dithizone 	Diphénylthio-carbazone
50	Eriochrome-cyanine R (voir <i>Tableau 28</i> , n° 51)	—

Tableau 49 (suite)

Masse moléculaire		Éléments à doser	Méthode
<i>M</i>	<i>lg M</i>		
256,30	40 875	Du ⁺ , (Ti ³⁺)	Photométrie
320,44	50 575	Cu ⁺	Photométrie
156,27	19 388	Sn ²⁺ , W ^{VI} , Mo ^{VI}	Photométrie
256,34	40 882	Ag ⁺ , Bi ³⁺ , Cd ²⁺ , Co ²⁺ , Cu ²⁺ , Hg ²⁺ , Pb ²⁺ , Zn ²⁺ , Ni ²⁺ , In ³⁺ , Tl ⁺ , Sn ²⁺	Photométrie
470,46	67 252	Al ³⁺ , Be ²⁺ , Zr ^{IV} , F ⁻	Photométrie

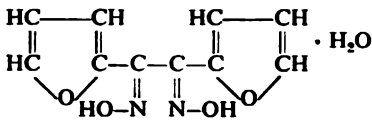
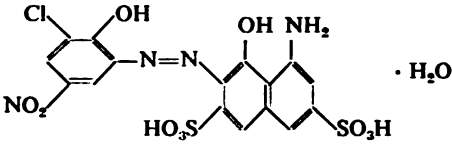
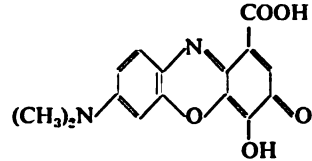
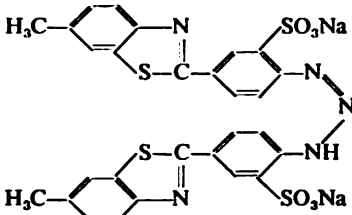
n°	Réactif	Synonymes du nom
51	<p>α-Furyldioxime</p> 	Néoniclon
52	<p>Gallion</p> 	Acide hydroxy-2-chloro-3-nitro-5-benzène-hydroxy-1'-(1-azo-2')-naphtylamino-8'-disulfoné-3',6'
53	<p>Gallocyanine</p> 	—
54	<p>Jaune de titane</p> 	Bis-[méthyl-6-benzthiazol-(1,3)-4,4']-diazaminobenzène-(2,2')-disulfonate de sodium, mimosa, jaune thiazole

Tableau 49 (suite)

Masse moléculaire		Éléments à doser	Méthode
M	$\lg M$		
238,21	37 696	Ni^{2+} , Pd^{2+} (sous forme de MeR_2), Pt^{IV} , Re^{VII}	Gravimétrie, photométrie
536,88	72 989	Ga^{3+}	Photométrie
300,27	47 751	Ga^{3+} , Hg^{2+} , Pb^{2+}	Volumétrie (complexométrie)
695,75	84 245	Mg^{2+}	Photométrie

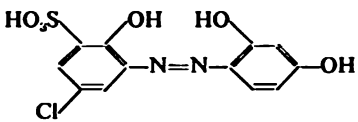
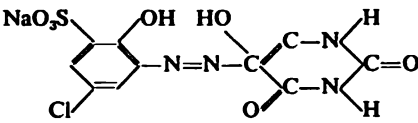
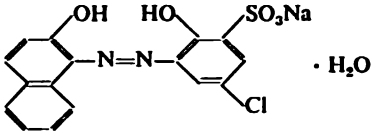
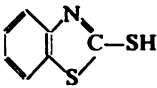
n°	Réactif	Synonymes du nom
55	Lumogallion 	Acide trihydroxy-2,2',4'-chloro-5-benzène(1-azo-1')-sulfoné-3
56	Lumomagnésion 	Acide hydroxy-2-sulfo-3-chloro-5-benzène-azo-1-barbiturique
57	Magnésion CIS 	Naphtol-2-chloro-4'-phénol-(1-azo-2')-sulfonate-6' de sodium
58	Mercaptobenzothiazole 	Captax

Tableau 49 (suite)

Masse moléculaire		Éléments à doser	Méthode
<i>M</i>	<i>lg M</i>		
344,74	53 749	Ga^{3+}	Photométrie (lumin.)
384,69	58 511	Mg^{2+}	Photométrie (lumin.)
418,79	62 201	Mg^{2+} ; Zn^{2+}	Photométrie
167,26	22 341	Ag^+ , Au^{3+} , Bi^{3+} , Cd^{2+} , Cu^{2+} , Pb^{2+} , Tl^{2+}	Gravimétrie

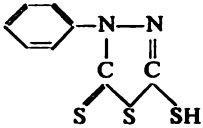
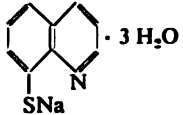
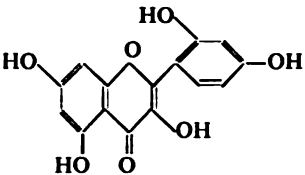
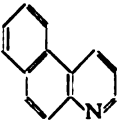
n°	Réactif	Synonymes du nom
59	Mercaptophénylthio-thiodiazolone 	Mercapto-5-phényl-3-thio-2-thio-1,3,4-diazolone, bismuthol II
60	Mercapto-8-quinoléine, sel sodique 	Thio-oxine
61	Morine 	Pentahydroxy-3,5,7,2',4'-flavone
62	Murexide (voir <i>Tableau 28</i> , n° 26, p. 272)	—
63	β-Naphthoquinoléine 	Benzo-5,6-quinoléine

Tableau 49 (suite)

Masse moléculaire		Éléments à doser	Méthode
<i>M</i>	lg <i>M</i>		
226,35	35 478	Bi^{3+}	Photométrie
237,25	37 521	Pd^{2+} , Cu^{2+} , Mo^{VI} , Re^{VII} , In^{3+} , Mn^{2+} , V^{IV} , Co^{2+} , Ru^{3+} , Os^{3+} , Tl^{+}	Photométrie
298,26	47 459	Al^{3+} , Ca^{2+} , Zr^{IV} , Th^{IV} , In^{3+}	Photométrie (lumin.)
302,21	48 031	Ca^{2+} , Sr^{2+}	Photométrie
179,22	25 339	Cd^{2+} (on fait calciner le précipité jusqu'à l'oxyde)	Gravimétrie

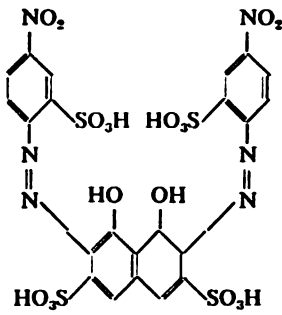
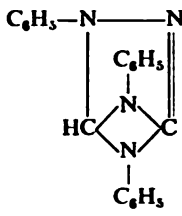
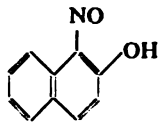
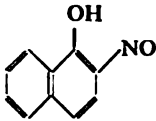
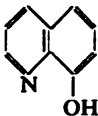
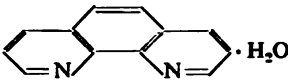
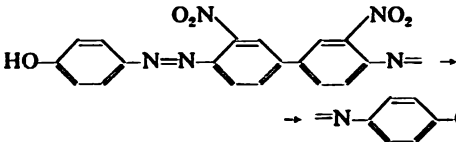
n°	Réactif	Synonymes du nom
64	<p>Nitchromazo</p> 	<p>Acide bis- [(ni- tro-4-sulfo-(2- azobenzène-1)- 2,7]-dihydroxy- 1,8-naphtalène- sulfoné-3,6</p>
65	<p>Nitron</p> 	<p>Diphényl- 1,4(endoanil- 3,5)-dihydro- triazole-1,2,4</p>
66	<p>α-Nitroso-β-naphtol</p> 	<p>Réactif d'Illinski, nitroso-1- naphtol-2</p>

Tableau 49 (suite)

Masse moléculaire		Eléments à doser	Méthode
M	$\lg M$		
778,65	89 134	Ba^{2+} , SO_4^{2-}	Volumétrique
312,38	49 468	ReO_4^- , NO_3^- , ClO_3^- , ClO_4^- (sous forme de RAn , où An est un anion)	Gravimétrique
173,17	23 848	Co^{2+} , Fe^{3+} , Pd^{2+} , Cu^{2+} (sous forme de MeR_n , où n est la valence du métal, ou bien on fait calciner les précipités jusqu'aux oxydes)	Gravimétrique, photométrique

n°	Réactif	Synonymes du nom
67	<p>β-Nitroso-α-naphthol</p> 	Nitroso-2-naphthol-1
68	<p>8-Oxyquinoléine</p> 	o-Oxyquinoléine, oxine
69	<p>Phénanthroline-1,10</p> 	—
70	<p>Phénazo</p> 	Dinitro-3,3'-bis-4,4'-(hydroxy-4''-benzolazo)-biphényle

* Le thorium et l'uranium sont précipités sous forme de $\text{ThR}_4 \cdot \text{HR}$ et UO_2R_2 ; le niobium précipite à une composition indéterminée.

Tableau 49 (suite)

Masse moléculaire		Éléments à doser	Méthode
<i>M</i>	<i>lg M</i>		
173,17	23 848	Co ²⁺	Photométrique
145,16	16 185	Al ³⁺ , Mg ²⁺ , Zn ²⁺ , Bi ³⁺ , Cd ²⁺ , Co ²⁺ , Cu ²⁺ , Ga ³⁺ , In ³⁺ , TiO ²⁺ , Zr ⁴⁺ , MoO ₃ ²⁺ , WO ₃ ²⁺ , Mn ²⁺ , Fe ³⁺ , Ni ²⁺ , V ₂ O ₅ ⁴⁺ , Pb ²⁺ , Pd ²⁺ , Sb ³⁺ , Cr ³⁺ (sous forme de MeR _n , où <i>n</i> est la valence du métal) *	Gravimétrique, volumétrique, photométrique
198,23	29 714	Fe ²⁺	Photométrique
484,30	68 511	Mg ²⁺	Photométrique

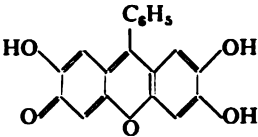
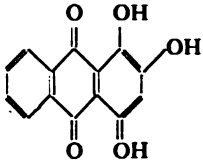
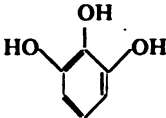
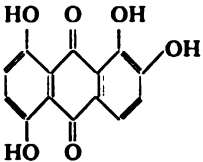
n°	Réactif	Synonymes du nom
71	Phénylfluoron 	Phényl-9-trihydroxy-2,3,7-fluoron-6
72	Purpurine 	Trihydroxy-1,2,4-anthraquinone
73	Pyrogallol 	Trihydroxy-1,2,3-benzène
74	Quinalizarine 	Tétrahydroxy-1,2,5,8-anthraquinone

Tableau 49 (suite)

Masse moléculaire		Éléments à doser	Méthode
<i>M</i>	le <i>M</i>		
320,31	50 557	Ge ^{IV} , Sn ^{IV} , Ta ^V , Zr ^{IV} , Sb ^{III}	Photométrie
256,22	40 861	Zr ^{IV} , F ⁻	Photométrie
126,11	10 075	Bi ³⁺ , Sb ³⁺ (sous forme de MeR) B ^{III} , Ta ^V , Nb ^V	Gravimétrie Photométrie
272,22	43 492	Be ²⁺ , B ^{III} , Mg ²⁺ , Al ³⁺ , Ga ³⁺	Photométrie

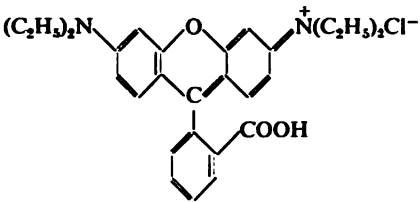
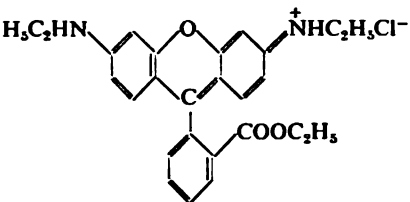
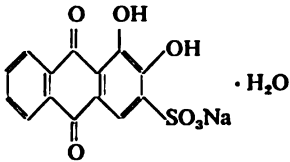
n°	Réactif	Synonymes du nom
75	<p data-bbox="200 326 342 351">Rhodamine B</p> 	<p data-bbox="736 326 891 447">Chlorure de tétraéthyl-diamino-<i>o</i>-carboxyphénylxanthényle</p>
76	<p data-bbox="200 646 358 670">Rhodamine 6G</p> 	<p data-bbox="736 646 891 766">Ether éthylique de chlorure de diéthylamino-<i>o</i>-carboxyphénylxanthényle</p>
77	<p data-bbox="200 964 405 989">Rouge d'alizarine S</p> 	<p data-bbox="736 964 897 1133">Alizarine S, alizarine-sulfonate de sodium, acide dihydroxy-1,2-anthraquinone-3-sulfoné, sel sodique</p>

Tableau 49 (suite)

Masse moléculaire		Eléments à doser	Méthode
<i>M</i>	lg <i>M</i>		
479,03	68 037	Sb ^V , Zn ²⁺ , Ga ³⁺ , Ti ³⁺ , W ^{VI} , Cd ²⁺	Photométrie (lumin.)
450,97	65 415	Re ^{VII} , In ³⁺ , Ti ⁺	Photométrie (lumin.)
360,28	55 664	Al ³⁺ , Zr ^{IV} , Th ^{IV} , Ga ³⁺ , F ⁻ , Ti ^{IV} , UO ₂ ²⁺	Photométrie

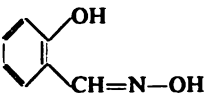
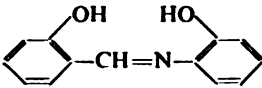
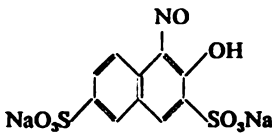
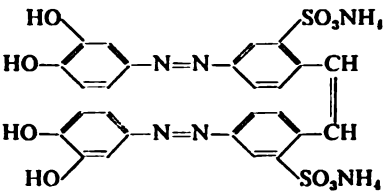
n°	Réactif	Synonymes du nom
78	Salicylaldoxime 	—
79	Salicylal-<i>o</i>-aminophénol 	Dihydroxy-2,2'-benzylidène-aniline
80	Sel-nitrosoR 	Acide nitroso-1-naphtol-2-disulfoné-3,6, sel disodique
81	Stilbazo 	Acide stilbène-disulfoné-2,2'-bis-4,4'-dihydroxy-3'',4''-benzène-(azo-1''), sel diammoniacal

Tableau 49 (suite)

Masse moléculaire		Éléments à doser	Méthode
<i>M</i>	lg <i>M</i>		
137,14	13 716	Cu ²⁺ , Bi ³⁺ , Pb ²⁺ , Pd ²⁺ (sous forme de MeR ₂) Fe ³⁺	Gravimétrie Photométrie
213,24	32 887	Al ³⁺ Mn ²⁺	Photométrie (lumin.) Photométrie
377,27	57 665	Co ²⁺ , K ⁺ (indirect.)	Photométrie
646,66	81 068	Al ³⁺	Photométrie

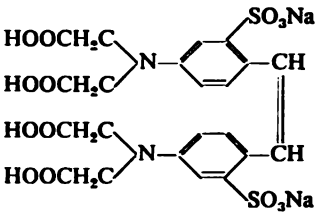
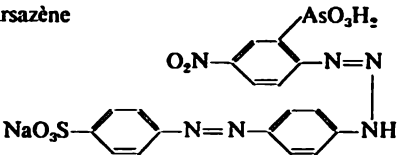
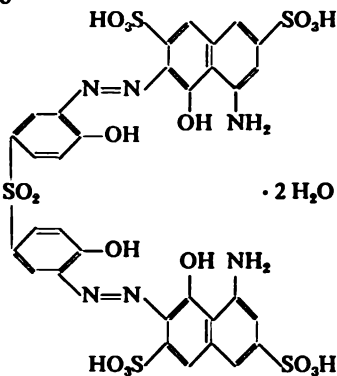
n°	Réactif	Synonymes du nom
82	<p>Stilbexon</p> 	<p>Acide diamino-4,4'-stilbène-(N,N,N',N'-tétracarboxyméthyl)-disulfoné-2,2', sel disodique</p>
83	<p>Sulfarsazène</p> 	<p>Plumbon, nitro-4''-benzène-diazoamino-(1'',4)-benzène-(1-azo-1')-arsono-2''-sulfonate-4 de sodium</p>
84	<p>Sulfonazo</p> 	<p>Acide sulfone-bis-[hydroxy-4-phénylhydroxy-1'-amino-8'-naphtalène-(3-azo-2')]-disulfoné-3', 6'</p>

Tableau 49 (suite)

Masse moléculaire		Eléments à doser	Méthode
<i>M</i>	lg <i>M</i>		
646,51	81 058	Fe ³⁺	Photométrie (lumin.)
572,32	75 764	Pb ²⁺ , Zn ²⁺ , Cd ²⁺	Photométrie, volumétrie
976,93	98 986	Sc ³⁺ , V ^V	Photométrie

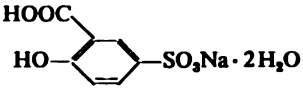
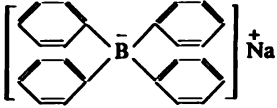
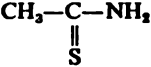
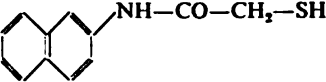
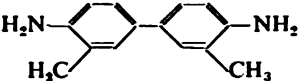
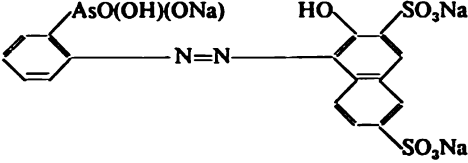
n°	Réactif	Synonymes du nom
85	<p>Sulfosalicylate de sodium</p> 	—
86	<p>Tanin $C_{78}H_{52}O_{48}$</p>	—
87	<p>Tétraphténylborate de sodium</p> 	—
88	<p>Thio-acétamide</p> 	—

Tableau 49 (suite)

Masse moléculaire		Éléments à doser	Méthode
M	$\lg M$		
254,22	40 521	Fe^{2+} , Fe^{3+}	Photométrique
~ 1700	—	Be^{2+} , Al^{3+} , Ga^{3+} , Ge^{IV} , Mo^{VI} , Nb^{V} , Sn^{IV} , Ta^{V} , Ti^{IV} , UO_2^{2+} , W^{VI} , Zr^{IV} , Th^{IV} (on fait calciner les précipités jusqu'aux oxy- des)	Gravimétrique
342,24	53 433	K^+ , Rb^+ , Cs^+ , Ti^+ , NH_4^+	Gravimétrique, volumétrique, photométrique
75,13	87 581	Bi^{3+} , As^{3+} , Sb^{3+} , Cd^{2+} , Pb^{2+} , Sn^{2+} , Hg^+ , MoO_2^{2+} , Cu^{2+} , Pb^{2+} Cu^{2+}	Gravimétrique Photométrique

n°	Réactif	Synonymes du nom
89	Thionalide 	β-Aminonaphtalide de l'acide thioglycolique
90	Thio-urée $\begin{array}{c} \text{H}_2\text{N}-\text{C}-\text{HN}_2 \\ \parallel \\ \text{S} \end{array}$	Thiocarbamide
91	o-Tolidine 	—
92	Toron 	Acide benzène-arsonique-2'-(1'-azo-1)- acide hydroxy-2-naphtalène-di-sulfoné-3,6, sel trisodique, torine, naphtarson, APANS

* T. R. signifie les terres rares.

Tableau 49 (suite)

Masse moléculaire		Éléments à doser	Méthode
<i>M</i>	lg <i>M</i>		
217,29	33 704	Tl ⁺ , As ^{III} , Sb ^{III} , Sn ²⁺ , Ag ⁺ , Au ^{III} , Cu ²⁺ , Hg ²⁺ , Pd ²⁺ , Bi ³⁺ , Rh ^{III} , Ru ^{III} , Mn ²⁺ , Pb ²⁺ , Ni ²⁺ , Co ²⁺ (sous forme de MeR _{<i>n</i>} , où <i>n</i> est la valence du métal)	Gravimétrie
76,125	88 153	Bi ³⁺ , Os ^{VI} , Ru ^{IV} , Re ^{VII} , Te ^{IV}	Photométrie
212,30	32 695	OsO ₄ , RuO ₄ , Ag ^{III} , V ^V , halogènes	Photométrie
598,29	77 691	Th ^{IV} , F ⁻ , U ^{IV} , Zn ²⁺ , Zr ^{IV} , Ta ^V , Nb ^V , T. R. *, Bi ³⁺ , Li ⁺ , Be ²⁺	Photométrie

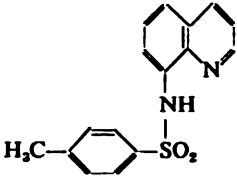
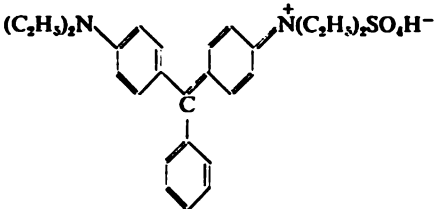
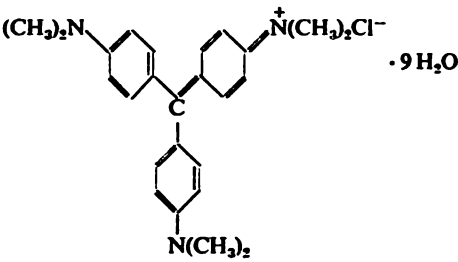
n°	Réactif	Synonymes du nom
93	<p data-bbox="197 312 443 336">Tosylamino-8-quinoléine</p> 	<p data-bbox="733 312 854 381">Quinoléine-8-<i>p</i>-toluène-sulfamide</p>
94	<p data-bbox="197 573 326 596">Vert brillant</p> 	—
95	<p data-bbox="197 878 357 901">Violet cristallisé</p> 	—

Tableau 49 (suite)

Masse moléculaire		Éléments à doser	Méthode
<i>M</i>	lg <i>M</i>		
298,35	47 473	Zn ²⁺ , Cd ²⁺	Photométrie (lumin.)
482,65	68 363	Sb ^V , Tl ³⁺ , Zn ²⁺	Photométrie
570,14	75 598	Sb ^V , Zn ²⁺ , Tl ³⁺ , Cd ²⁺ , Hg ²⁺	Photométrie

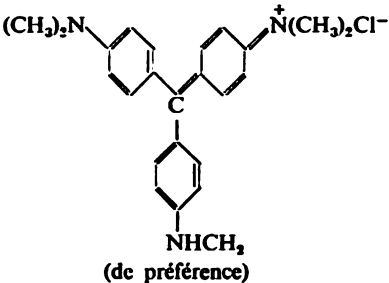
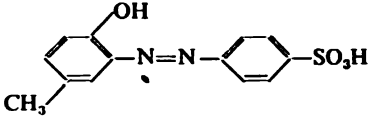
n°	Réactif	Synonymes du nom
96	<p data-bbox="197 310 381 333">Violet de méthyle</p>  <p data-bbox="363 609 515 632">(de préférence)</p>	<p data-bbox="733 310 829 358">Violet de gentiane</p>
97	<p data-bbox="197 680 291 703">Zirconon</p> 	<p data-bbox="733 680 891 769">Acide hydroxy-2-méthyl-5-azo-benzène-sulfoné-4</p>

Tableau 49 (suite)

Masse moléculaire		Éléments à doser	Méthode
<i>M</i>	lg <i>M</i>		
—	—	Sb ^V , Zn ²⁺ , Cd ²⁺ , Tl ³⁺ , Hg ²⁺ , Re ^{VII} , Ta ^V	Photométrique
292,32	46 586	Zr ^{IV} (on fait calciner le précipité jusqu'à l'oxyde)	Gravimétrique

Tableau 49 (suite)

B. Eléments à doser mis dans l'ordre alphabétique

Elément à doser	Réactif (n° est celui du Tableau A)	Méthode
Aluminium	31, 68, 86, 7 30, 68 12, 77, 11, 13, 15, 34, 61, 68, 79, 81, 74, 50	Gravimétrique Volumétrique Photométrique
Ammonium	87	Gravimétrique, Volumétrique
Antimoine	68, 73, 88, 89 68 94, 95, 96, 68, 75	Photométrique Gravimétrique Volumétrique
Argent	35, 58, 89, 7 39, 30 39, 49, 43, 8	Photométrique Gravimétrique Volumétrique
Arsenic	88, 89	Photométrique
Baryum	28, 30, 64	Gravimétrique
Béryllium	86 11, 13, 15, 21, 32, 92, 74, 50	Volumétrique Gravimétrique
Bismuth	37, 31, 58, 68, 73, 78, 88, 89, 5	Photométrique
Bore	2, 32, 73, 74 30, 68 49, 59, 68, 90, 92	Gravimétrique Photométrique Volumétrique
Cadmium	7, 37, 58, 63, 68, 88, 7 30, 68, 83 24, 49, 42, 26, 27, 95, 96, 68, 75, 83, 93	Photométrique
Calcium	6 30 17, 62, 6	Gravimétrique Volumétrique
Chlorates et perchlorates	65	Photométrique Gravimétrique

Tableau 49 (suite)

Elément à doser	Réactif (n° est celui du Tableau A)	Méthode
Chrome (III)	68, 7 30, 68	Gravimétrique Volumétrique, photométrique
Chrome (VI)	42, 3	Photométrique
Cérium	15, 16	Photométrique
Césium	44, 87	Gravimétrique, photométrique
	87	Volumétrique
Cobalt	1, 37, 66, 68, 89, 7 30, 68 41, 49, 30, 60, 66, 67, 80, 68, 8	Gravimétrique Volumétrique
Cuivre	1, 19, 35, 31, 58, 68, 78, 88, 89, 7 30, 68 22, 39, 41, 49, 46, 47, 38, 60, 66, 68, 8, 9, 88	Photométrique Gravimétrique Volumétrique
Cyanures	39	Photométrique
Etain	86, 88, 89, 5 30 49, 48, 10, 71	Volumétrique Gravimétrique Volumétrique
Fer (II)	7 30 18, 41, 45, 85, 10, 69, 33	Photométrique Gravimétrique Volumétrique
Fer (III)	37, 31, 66, 68, 7 30, 68 66, 68, 78, 9, 82, 85	Photométrique Gravimétrique Volumétrique
Fluor	12, 77, 13, 72, 92, 50	Photométrique
Gallium	31, 68, 86 30, 68 77, 52, 34, 55, 61, 68, 75, 74	Gravimétrique Volumétrique
Germanium	86, 71	Photométrique
Hafnium	5 16	Photométrique Gravimétrique Photométrique

Tableau 49 (suite)

Élément à doser	Réactif (n° est celui du Tableau A)	Méthode
Indium	68 30, 68 49, 60, 68, 76	Gravimétrique Volumétrique Photométrique
Lithium	92	Photométrique
Magnésium	68, 6 30, 68 23, 56, 57, 68, 54, 70, 74	Gravimétrique Volumétrique
Manganèse	1, 68, 89, 7 30, 68 30, 60, 68, 79	Photométrique Gravimétrique Volumétrique
Mercure	1, 88, 89 53, 30 39, 49, 42, 43, 95, 96	Photométrique Gravimétrique Volumétrique
Molybdène	68, 86, 88 68 48, 60, 68	Photométrique Gravimétrique Volumétrique
Neptunium	16	Photométrique
Nickel	1, 20, 35, 41, 68, 89, 51, 7 41, 30, 68 41, 49, 38, 68, 51	Gravimétrique Volumétrique Photométrique
Niobium	31, 86, 5 15, 73, 92	Gravimétrique Photométrique
Nitrates	65 25	Gravimétrique Photométrique
Or	58, 89 30 39, 91	Gravimétrique Volumétrique Photométrique
Osmium	60, 90, 91	Photométrique
Palladium	41, 68, 78, 89, 51 41, 30, 68 39, 41, 60, 66, 8, 51, 33	Gravimétrique Volumétrique
Platine	51 39, 51	Photométrique Gravimétrique Photométrique

Tableau 49 (suite)

Élément à doser	Réactif (n° est celui du Tableau A)	Méthode
Plomb	1, 35, 58, 68, 6, 8, 78, 88, 7	Gravimétrique
	53, 30, 68, 83, 89	Volumétrique
	14, 49, 42, 68, 83, 88	Photométrique
Plutonium	16	Photométrique
Potassium	44, 87	Gravimétrique
	87	Volumétrique
	44, 80, 87	Photométrique
Protactinium	16	Photométrique
Rhénium	65	Gravimétrique
	60, 96, 76, 90	Photométrique
Rhodium	89	Gravimétrique
Rubidium	44, 87	Gravimétrique
	87	Volumétrique
Ruthénium	89	Gravimétrique
	60, 90, 91	Photométrique
Scandium	30	Volumétrique
	16, 84	Photométrique
Sélénium	36	Photométrique
Strontium	6	Gravimétrique
	30	Volumétrique
	62	Photométrique
Sulfates	28, 64	Volumétrique
Tantale	31, 86, 5	Gravimétrique
	15, 40, 96, 73, 92, 71	Photométrique
	30	Volumétrique
Terres rares (lanthanides Y, Sc)	15, 16, 92	Photométrique
Thallium	58, 87, 89	Gravimétrique
	30, 87	Volumétrique
	94, 49, 46, 95, 60,	
	96, 75, 76, 87	Photométrique
Thorium	31, 6, 86, 5	Gravimétrique
	30	Volumétrique
	12, 77, 15, 16, 34,	
	61, 92	Photométrique

Tableau 49 (suite)

Élément à doser	Réactif (n° est celui du Tableau A)	Méthode
Titane	37, 31, 68, 86 30, 68 77, 15, 46, 4, 29, 68, 3	Gravimétrie Volumétrie
Tungstène	68, 86	Photométrie Gravimétrie, volumétrie
Uranium	48, 68, 75, 10 31, 86, 7 77, 15, 16, 38, 92	Photométrie Gravimétrie Photométrie
Vanadium	31, 68 30, 68 15, 60, 68, 84, 91	Gravimétrie Volumétrie Photométrie
Zinc	1, 35, 68, 7 30, 68, 83 14, 94, 49, 95, 96, 68, 75, 83, 92, 93	Gravimétrie Volumétrie
Zirconium	31, 68, 86, 5, 97 30, 68 12, 77, 15, 16, 34, 61, 68, 92, 71, 50	Photométrie Gravimétrie Volumétrie Photométrie

Tableau 50

Echelle des tamis

Nombre de trous par 1 cm	Nombre de trous par pouce carré (mesh)	Largeur du trou (mm)	Diamètre du fil (mm)
125	325	0,044	0,036
106	270	0,053	0,041
93	230	0,062	0,046
79	200	0,074	0,053
66	170	0,088	0,063
56	140	0,105	0,074
47	120	0,125	0,086
40	100	0,149	0,102
34	80	0,177	0,119
29	70	0,21	0,140
24	60	0,25	0,162
20	50	0,30	0,188
18	45	0,35	0,22
15	40	0,42	0,25
13	35	0,50	0,29
11	30	0,59	0,33
9	25	0,71	0,37
8	20	0,84	0,42
7	18	1,00	0,48
6	16	1,19	0,54
5	14	1,41	0,61
4	12	1,68	0,69
3,5	10	2,00	0,76
3	8	2,38	0,84
2,7	7	2,83	0,92
2,3	6	3,36	1,02
2	5	4,00	1,12
1,7	4	4,76	1,27
1,4	3,5	5,66	1,45
1,2	3	6,72	1,65
1	2,5	8,00	1,85

Tableau 51

Valeurs des potentiels des demi-vagues polarographiques
sur l'électrode à goutte de mercure

Élément à doser	Composition de la solution (fond)	Changement de la valence	Potentiel de demi-vague E 1/2
Al ^{III}	0,5 N BaCl ₂ dégagement de H ₂ n'est pas exclu	3 → 0 (?)	-1,7
As ^{III}	1 M H ₂ SO ₄ + 0,01 % gélati- ne	3 → 0	-0,7
Bi ^{III}	0,5 N NaOH + 0,025 % gélatine	3 → 5	-0,26
	1 N H ₂ SO ₄ + 0,01 % gélatine	3 → 0	-0,04
	0,5 M KNaC ₄ H ₄ O ₆ + 0,01 % gélatine		
	pH 4,5	3 → 0	-0,29
	pH 9	3 → 0	-0,70
Br ^V	0,5 M NaKC ₄ H ₄ O ₆ + + 0,01 N NaOH + 0,01 % gélatine	3 → 0	-1,00
	Solution tampon pH 1,0	5 → (-1)	-0,43
Ca ^{II} et les autres mé- taux alcali- no-terreux	Dans les solutions de sels de tétraméthylammonium	2 → 0	-2,22
Cd ^{II}	0,1 N HCl	2 → 0	-0,60
	6 N HCl	2 → 0	-0,79
	1 N NH ₄ Cl + 1 N NH ₄ OH	2 → 0	-0,81
Ce ^{IV}	0,1 M éthylènediamine	4 → 3	-0,71

Tableau 51 (suite)

Elément à doser	Composition de la solution (fond)	Changement de la valence	Potentiel de demi-vague $E'_{1/2}$
Co ^{II}	0,25 M KCl	2-0	-1,2
	1 M KSCN	2-0	-1,03
	0,1 M éthylènediamine	2-3	-0,456
Cr ^{II}	0,7 M HCl	2-3	-0,58
Cr ^{III}	0,1 N KCl	{ 3-2	-0,81
		{ 2-0	-1,50
Cr ^{VI}	1 M KOH	6-3	-1,03
Cu ^I	1 M NH ₄ OH + 1 M NH ₄ Cl	{ 1-2	-0,25
		{ 1-0	-0,54
Cu ^{II}	0,5 M H ₂ SO ₄ + 0,01% gélatine	2-0	-0,00
	0,5 M Na ₂ C ₄ H ₄ O ₆ , pH 12	2-0	-0,38
Fe ^{II}	1 M Na ₂ C ₂ O ₄	3-2	-0,24
	1 M Na ₂ C ₂ O ₄	2-3	-0,24
	1 M HClO ₄ , pH 0-2	2-0	-1,37
Fe ^{III}	0,5 M (NH ₄) ₂ C ₄ H ₄ O ₆ + + 1 M NH ₄ OH + 0,005 % gélatine	{ 3-2	-0,98
		{ 2-0	-1,53
Ga ^{III}	Acide salicylique, pH 2,8-3,2	3-0	-0,85
	1 N NH ₄ OH + 1 N NH ₄ Cl	3-0	-1,58
Ge ^{II}	0,5 M HCl	2-0	-0,42
	4 M H ₂ SO ₄	2-4	-0,10
Ge ^{IV}	0,1 M NH ₄ OH + 0,1 M NH ₄ Cl	4-2	-1,45
	0,2 M EDTA, pH 6,8	4-0	-1,3
H ^I	0,1 M KCl	1-0	-1,58
H ₂ O ₂	0,1 M Li ₂ SO ₄	(-1) - (-2)	-0,88
	0,1 M NaOH	(-1) - 0	-0,17

Tableau 51 (suite)

Élément à doser	Composition de la solution (fond)	Changement de la valence	Potentiel de demi-vague $E_{1/2}$
IV	0,05 M KCl	5 \rightarrow (-1)	-1,28
In^{III}	HClO_4 , H_2SO_4 , HNO_3	3 \rightarrow 0	-1,0
	6 N HCl	3 \rightarrow 0	-0,68
K^{I} et les autres métaux alcalins	0,1 M tétraméthylammonium	1 \rightarrow 0	-2,13
Mn^{II}	0,5 M $\text{NH}_4\text{OH} +$ + 0,5 N NH_4Cl	2 \rightarrow 0	-1,54
	2 M NaOH +	{ 2 \rightarrow 3	-0,4
	+ 5 % $\text{KNaC}_4\text{H}_4\text{O}_6$	{ 2 \rightarrow 0	-1,7
Mo^{VI}	3 M HClO_4	{ 6 \rightarrow 5	-0,14
		{ 5 \rightarrow 3	-0,79
	0,1 M HCl	{ 6 \rightarrow 5	-0,29
		{ 5 \rightarrow 3	-0,74
N^{III}	Solution tampon, pH 9	{ 3 \rightarrow 2	-0,45
		{ 2 \rightarrow 1	-0,70
		{ 1 \rightarrow (-1)	-1,00
N^{V}	0,1 M LiCl	5 \rightarrow (?)	-2,1
	0,1 M LaCl_3 ; 0,1 M CeCl_3	5 \rightarrow (?)	-1,2
Nb^{V}	0,1 M $\text{H}_2\text{C}_2\text{O}_4$, pH 1,2-5,5	5 \rightarrow 4	-1,5
	0,06 M HNO_3	5 \rightarrow 3 (?)	-0,84
Ni^{II}	HClO_4 , pH 0-2 ; 1 N KCl	2 \rightarrow 0	-1,1
	1 M $\text{NH}_4\text{OH} +$ + 0,2 M $\text{NH}_4\text{Cl} + 0,005$ % gélatine	2 \rightarrow 0	-1,06
O_2	Solution tampon, pH 1-10	{ 0 \rightarrow (-1)	-0,05
		{ (-1) \rightarrow (-2)	-0,04

Tableau 51 (suite)

Élément à doser	Composition de la solution (fond)	Changement de la valence	Potentiel de demi-vague $E_{1/2}$
Os ^{VI}	Ca(OH) ₂ saturé	$\begin{cases} 6 \rightarrow 4 \\ 4 \rightarrow 3 \end{cases}$	$\begin{cases} -1,41 \\ -1,16 \end{cases}$
Pb ^{II}	1 M KCl	2 → 0	-0,431
	0,97 M NaOH	2 → 0	-0,765
Pd ^{II}	1 M NH ₄ OH + + 1 M NH ₄ Cl + 0,001 % rouge de méthyle	2 → 0	-0,72
	2 M NaOH ou KOH	2 → 0	-1,41
Pt ^{II}	0,5 M KSCN + 0,05 M éthylènediamine	2 → 0	-0,51
Re ^{VII}	2 M KCl	7 → (-1)	-1,43
	2 M HCl	7 → 4(?)	-0,45
Rh ^{III}	1 M NH ₄ OH + 1 M NH ₄ Cl	3 → 1	-0,93
Sb ^{III}	2 M HCl	3 → 0	-0,22
	1 M NaOH	$\begin{cases} 3 \rightarrow 5 \\ 3 \rightarrow 0 \end{cases}$	$\begin{cases} -0,45 \\ -1,15 \end{cases}$
Sb ^V	2 M HCl	5 → 0(?)	-0,24
Se ^{IV}	0,1 M NH ₄ Cl + 0,003 % gélatine	4 → (-2)	-1,50
Sn ^{II}	1 M H ₂ SO ₄	2 → 0	-0,46
	1 M HCl	2 → 4	-0,1
	1 M NaOH + 0,01 % gélatine	$\begin{cases} 2 \rightarrow 4 \\ 2 \rightarrow 0 \end{cases}$	$\begin{cases} -0,73 \\ -1,22 \end{cases}$
Sn ^{IV}	1 M HCl + 4 M NH ₄ Cl + + 0,005 % gélatine	$\begin{cases} 4 \rightarrow 2 \\ 2 \rightarrow 0 \end{cases}$	$\begin{cases} -0,25 \\ -0,52 \end{cases}$
	NaF	4 → 2	-1,2

Tableau 51 (suite)

Elément à doser	Composition de la solution (fond)	Changement de la valence	Potentiel de demi-vague E 1/2
Ta ^V	0,86 M HCl	5 → (?)	- 1,16
Tc ^{IV}	0,1 M NaOH + 0,003 % gélatine	4 → (-2)	- 1,22
	0,1 M (NH ₄) ₂ C ₄ H ₄ O ₆ + 0,003 % gélatine, pH 9,0	4 → (0)?	- 0,76
Tc ^{VI}	0,1 M NaOH + 0,03 % gélatine	6 → (-2)	- 1,66
	0,1 M NH ₄ Cl + NH ₄ OH + 0,0005 % gélatine		
	pH 6,2	6 → (-2)	- 1,17
	pH 9,2	6 → (-2)	- 1,34
Ti ^{III}	0,1 M HCl	3 → 4	- 0,14
Ti ^{IV}	0,1 M HCl	4 → 3	- 0,81
	0,2 M H ₂ C ₄ H ₄ O ₆	4 → 3	- 0,38
	0,4 M Na ₂ C ₄ H ₄ O ₆ + 0,005 % gélatine		
	pH 11,8	4 → 3	- 1,65
Ti ^I	1 M KCl	1 → 0	- 0,482
	0,2 M NaOH	1 → 0	- 0,49
U ^{IV}	0,1 M NaClO ₄	4 → 3	- 0,92
U ^V	0,1 N KCl + HCl, pH 3	5 → 6	- 0,18
U ^{VI}	0,5 N HCl	6 → 5	- 0,20
		5 → 3	- 0,92
V ^{II}	0,1 M KCl	2 → 3	- 0,50
		2 → 3	- 0,55
	Na ₂ B ₄ O ₇ saturé, pH 5,1	3 → 4	- 0,03
		4 → 5	+ 0,13
V ^{III}	0,1 M CO ₃ ²⁻ + CO ₂ saturé, pH 6,7	3 → 5	- 0,06

Tableau 51 (suite)

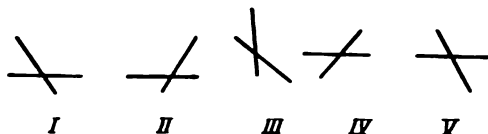
Élément à doser	Composition de la solution (fond)	Changement de la valence	Potentiel de demi-vague $E_{1/2}$
V ^{IV}	0,1 M H ₂ SO ₄ + 0,005 % gélatine	4 → 2	-0,85
	1 M NaOH + + 0,08 M Na ₂ SO ₃ + 1 M KCl	4 → 5	-0,39
V ^V	1 M NH ₄ OH + 1 M NH ₄ Cl + + 0,005 % gélatine	5 → 4	-0,97
		4 → 2	-1,26
W ^{VI}	12 M HCl	6 → 5	*
		5 → 3	-0,54
Zn ^{II}	4 M HCl	5 → 3	-0,66
	1 M KCl	2 → 0	-1,02
:	1 M NH ₄ OH + + 0,2 M NH ₄ Cl + 0,005 % gélatine	2 → 0	-1,33
	1 M NaOH	2 → 0	-1,49
Zr ^{IV}	0,1 M KCl, pH 3 (à C _{Zr^{IV}} ~ 1 · 10 ⁻³)	4 → 0	-1,65

* Celui-ci est réduit justement au potentiel de dissolution du mercure.

Tableau 52

Conditions du titrage ampérométrique de certaines substances

Formes des courbes de titrage



Ion ou molécule produisant le courant de diffusion	Caractère de la réaction d'électrode	Potentiel de la microélectrode indicatrice de platine établi par rapport à l'électrode de référence		Electrolyte-support
		Microélectrode indicatrice, MEI (V)	Electrode au calomel saturée, ECS (V)	
Ag ^I	c	0	—0,25	HNO ₃ , KNO ₃ , CH ₃ COONa
	c	0	—0,25	HNO ₃ , KNO ₃ , CH ₃ COONa
	c	+ 0,40	+ 0,15	H ₂ SO ₄
	c	+ 0,40	+ 0,15	H ₂ SO ₄
	c	de 0 à + 40	de —0,25 à + 0,15	NH ₄ OH + NH ₄ Cl
As ^{III}	a	+ 1,30	+ 1,05	HCl, H ₂ SO ₄

(selon Songuina)

a — courant anodique
d'oxydationc — courant cathodique
de réduction

Forme de la courbe de titrage	Substance à titrer	Réactif titrant	Remarques
<i>I</i>	Ag^{I}	I^- , Br^- , Cl^- et d'autres formant des précipités peu solubles avec Ag^{I}	—
<i>II</i>	Cl^- , Br^- , I^- , SCN^- et les autres formant des précipités peu solubles avec Ag^{I}	Ag^{I}	—
<i>I</i>	Ag^{I}	I^- et d'autres formant des précipités peu solubles avec Ag^{I}	On peut effectuer le titrage en présence de Cu^{II}
<i>II</i>	Cl^- et les autres formant des précipités peu solubles avec Ag^{I}	Ag^{I}	Idem
<i>II</i>	PO_4^{3-}	Ag^{I}	—
<i>I</i>	As^{III}	BrO_3^-	—

Ion ou molécule produisant le courant de diffusion	Caractère de la réaction d'électrode	Potentiel de la microélectrode indicatrice de platine établi par rapport à l'électrode de référence		Electrolyte-support
		Microélectrode indicatrice, MEI (V)	Electrode au calomel saturée, ECS (V)	
Au ^{III}	c	de 0 à +0,40	de -0,25 à +0,15	HCl, H ₂ SO ₄ , KNO ₃ , NaNO ₃
	c	+0,40	+0,15	KNO ₃ , NH ₄ NO ₃ , H ₂ SO ₄
Bi ^{III}	c	+0,1	-0,15	HClO ₄ , pH 1,2 HNO ₃ , pH 1,5
Br ₂	c c	+0,45 +0,40	+0,20 +0,15	NaHCO ₃ + KBr HCl, 2 N H ₂ SO ₄ , 4 N + Cl ⁻
Br ⁻	a	+1,30	+1,05	H ₂ SO ₄ , 2 N

Tableau 52 (suite)

Forme de la courbe de titrage	Substance à titrer	Réactif titrant	Remarques
<i>I</i>	Au ^{III}	S ₂ O ₃ ²⁻ et divers composés organiques tels que mercaptothiazole, hydroquinone, thio-urée	Il est plus commode d'effectuer le titrage de Au ^{III} par les réducteurs suivant le courant d'oxydation de ceux-ci, par exemple suivant le courant de la thio-urée au potentiel de microélectrode égal à + 0,8 V (MEI). Dans ce cas la courbe de titrage a la forme <i>II</i>
<i>I</i>	Au ^{III}	Fe(CN) ₆ ⁴⁻	—
<i>II</i>	PO ₄ ³⁻	Bi ^{III}	—
<i>II</i> <i>II</i>	As ^{III} , NH ₃ As ^{III} , Sb ^{III}	BrO ⁻ , ClO ⁻ BrO ₃ ⁻	— Si dans une solution à étudier sont présents Hg ^{II} , Cu ^{II} , Ag ^I et d'autres ions, on effectue le titrage au potentiel de microélectrode égal à + 0,70 V (MEI)
<i>II</i>	Tl ^{III}	Br ⁻	—

Ion ou molécule produisant le courant de diffusion	Caractère de la réaction d'électrode	Potentiel de la microélectrode indicatrice de platine établi par rapport à l'électrode de référence		Electrolyte-support
		Microélectrode indicatrice, MEI (V)	Electrode au calomel saturée, ECS (V)	
Ce^{IV}	c	+ 0,75	+ 0,50	H_2SO_4
	c c	+ 0,45 + 1,00	+ 0,20 + 0,75	HCl H_2SO_4
Ce^{III}	a	+ 1,60	+ 1,35	$\text{CH}_3\text{CO}_2\text{Na}$ + éthanol
Cl_2	c	+ 0,70	+ 0,45	HCl
Cl^-	a	+ 1,50	+ 1,25	HCl

Tableau 52 (suite)

Forme de la courbe de titrage	Substance à titrer	Réactif titrant	Remarques
<i>II</i>	Oxalate, V^{IV} , Fe^{II} , Tl^{I}	Ce^{IV}	Si dans ces conditions le réducteur produit le courant anodique, la courbe de titrage aura la forme <i>III</i> à allure inverse
<i>II</i> <i>III</i>	Sn^{II} Divers composés organiques tels que hydroquinone, méthol, pyrocatechol, <i>p</i> -amidophénol, etc.	Ce^{IV} Ce^{IV}	Avant le PE (point équivalent) fonctionne le courant d'oxydation des composés organiques, après le PE, le courant de réduction de Ce^{IV}
<i>II</i>	PO_4^{3-}	Ce^{III}	—
—	—	—	La valeur du courant de réduction de Cl_2 est utilisée pour déterminer le chlore dans l'eau
—	—	—	En milieu chlorhydrique le courant d'oxydation du chlorure peut gêner d'autres processus anodiques

Ion ou molécule produisant le courant de diffusion	Caractère de la réaction d'électrode	Potentiel de la microélectrode indicatrice de platine établi par rapport à l'électrode de référence		Electrolyte-support
		Microélectrode indicatrice, MEI (V)	Electrode au calomel saturée, ECS (V)	
Cr ^{VI}	c	+0,40 +0,40 +0,70 +0,90	+0,15 +0,15 +0,45 +0,65	HCl, ≤ 6 N H ₂ SO ₄ , 4-6 N H ₂ SO ₄ , 8-12 N H ₂ SO ₄ , > 12 N
Cr ^{II}	a	+0,65	+0,40	H ₂ SO ₄
Cu ^{II}	c	< +0,30	+0,05	Electrolytes indifférents, acides dilués
Fe ^{III}	c c c	-0,15 0 0	-0,40 -0,25 -0,25	H ₂ SO ₄ + (NH ₄) ₂ SO ₄ HCl, ~ 1,2 N En fonction d'une substance à doser
Fe ^{II}	a	+1,25	+1,00	H ₂ SO ₄
	a	+1,10	+0,85	H ₂ SO ₄ , HCl

Ion ou molécule produisant le courant de diffusion	Caractère de la réaction d'électrode	Potentiel de la microélectrode indicatrice de platine établi par rapport à l'électrode de référence		Electrolyte-support
		Microélectrode indicatrice, MEI (V)	Electrode au calomel saturée, ECS (V)	
Fe(CN)_6^{4-}	c	+ 0,05	- 0,20	$\text{NH}_4\text{OH} + \text{NH}_4\text{Cl}$
	c	+ 0,20	- 0,05	NaOH
Fe(CN)_6^{3-}	a	de + 0,70 à + 1,00	de + 0,45 à + 0,75	-
Hg^{II}	c	+ 0,40	+ 0,15	$\text{NaNO}_3, \text{NH}_4\text{NO}_3, \text{H}_2\text{SO}_4$
	c	+ 0,40	+ 0,15	$\text{NaNO}_3, \text{NH}_4\text{NO}_3, \text{H}_2\text{SO}_4$
Hg^I	c	+ 0,40	+ 0,15	$\text{NaNO}_3, \text{NH}_4\text{NO}_3$

Tableau 52 (suite)

Forme de la courbe de titrage	Substance à titrer	Réactif titrant	Remarques
<i>II</i>	Co^{II}	$\text{Fe}(\text{CN})_6^{3-}$	On peut titrer $\text{Fe}(\text{CN})_6^{3-}$ par une solution étalon de Co^{II} , alors la courbe de titrage aura la forme <i>I</i> Le titrage avec l'hexacyanoferrate (III) est opéré en présence de OsO_4 comme catalyseur
<i>II</i>	Ti^{I}	$\text{Fe}(\text{CN})_6^{3-}$	
—	Zn^{II} , Pb^{II} , Cd^{II} , Ca^{II} , Cu^{II} , Mn^{II} , Zn^{III} , Ag^{I} et d'autres donnant des précipités peu solubles. Au^{III} par la réaction de réduction	$\text{Fe}(\text{CN})_6^{3-}$	Le potentiel de la microélectrode, l'électrolyte-support et, donc, la forme de la courbe de titrage dépendent d'une substance à doser
<i>I</i>	Hg^{II}	I^- , Cl^-	—
<i>II</i>	Cl^-	Hg^{II}	—
<i>II</i>	Pyrophosphate, Mo^{VI} , W^{VI}	Hg^{I}	—

Ion ou molécule produisant le courant de diffusion	Caractère de la réaction d'électrode	Potentiel de la microélectrode indicatrice de platine établi par rapport à l'électrode de référence		Electrolyte-support
		Microélectrode indicatrice, MEI (V)	Electrode au calomel saturée, ECS (V)	
H_2O	c	<i>Début de la réduction</i> - 0,70 - 0,40 0	- 0,95 - 0,65 - 0,25	Milieu basique Milieu neutre Milieu acide
	a	<i>Début de l'oxydation</i> + 0,80 + 1,20 + 1,50	+ 0,55 + 0,95 + 1,25	Milieu basique Milieu neutre Milieu acide
I_2	c	+ 0,20 0	- 0,05 - 0,25	HCl \approx 9 N CH_3CO_2Na
	c			
	c	+ 0,45	+ 0,20	Sel de Seignette + + $NaHCO_3$ HCl 2N, H_2SO_4 2N + + KCl
	c	+ 0,40	+ 0,15	
I^-	a	+ 1,00	+ 0,75	H_2SO_4 , pH 1 à 2 KNO_3 , NH_4NO_3 HCl \approx 6 N
	a	+ 1,00	+ 0,75	
	a	+ 1,00	+ 0,75	
Ir^{IV}	c	+ 0,70	+ 0,45	HCl

Tableau 52 (suite)

Forme de la courbe de titrage	Substance à titrer	Réactif titrant	Remarques
— —	—	—	Le courant de réduction de l'eau réduit le domaine cathodique de la réaction d'électrode
—	—	—	Le courant d'oxydation de l'eau réduit le domaine anodique de la réaction d'électrode
IV I	As ^V , Se ^{IV} I ₂	I ⁻ S ₂ O ₈ ²⁻	— On utilise cette réaction pour doser Cu ^{II} , Fe ^{III} , As ^V après l'addition d'un excès de I ⁻ à une solution à étudier
II	Sn ^{II} , As ^{III} , Sb ^{III}	I ₂	—
II	Sb ^{III} , Tl ^I	IO ₃ ⁻	—
II II II	Ag ^I , Hg ^{II} , Pd ^{II} Tl ^I Se ^{IV}	I ⁻ I ⁻ I ⁻	— — —
I	Ir ^{IV}	Acide ascorbique, hydroquinone	—

Ion ou molécule produisant le courant de diffusion	Caractère de la réaction d'électrode	Potentiel de la microélectrode indicatrice de platine établi par rapport à l'électrode de référence		Electrolyte-support
		Microélectrode indicatrice, MEI (V)	Electrode au calomel saturée, ECS (V)	
Mn^{VII}	c	+ 0,80	+ 0,55	H₂SO₄ ≈ 8 N
	c	+ 0,75	+ 0,50	HCl 1 N CH₃CO₂Na + ZnO K₄P₂O₇, pH 6 à 7 NaOH 1 N
	c	+ 0,40	+ 0,15	
	c	+ 0,40	+ 0,15	
	c	+ 0,40	+ 0,15	
Mn^{III}	c	+ 0,90	+ 0,65	H₂SO₄ ≈ 9 N
	c	+ 0,90	+ 0,65	H₃PO₄ ≈ 10 N
Mn^{II}	a	+ 1,20	+ 0,95	Acide, neutre, CH₃CO₂Na

Tableau 52 (suite)

Forme de la courbe de titrage	Substance à titrer	Réactif titrant	Remarques
—	Divers réducteurs tels qu'oxalate, ferrocyanure, V^{IV} , Fe^{II} , As^{III} , Sb^{III} , Sn^{II} , etc.	MnO_4^-	La forme de la courbe de titrage dépend d'une substance à titrer
<i>II</i>	Tl^I	MnO_4^-	—
<i>II</i>	Mn^{II}	MnO_4^-	—
<i>II</i>	Mn^{II}	MnO_4^-	—
<i>II</i>	Te^{IV}	MnO_4^-	—
<i>I</i>	Mn^{III}	$H_2C_2O_4$	On utilise cette réaction pour doser PrO_2 après l'addition d'un excès de Mn^{II} à une solution à étudier
<i>I</i>	Mn^{III}	Fe^{II}	On peut titrer Mn^{II} d'après le courant d'oxydation de Fe^{II} pour le potentiel de la microélectrode égal à 1,3 V. Dans ce cas la courbe de titrage aura la forme <i>II</i>
—	—	—	Dans le titrage ampérométrique le courant d'oxydation de Mn^{II} n'est pas utilisé, pourtant il peut gêner le dosage des autres substances

Ion ou molécule produisant le courant de diffusion	Caractère de la réaction d'électrode	Potentiel de la microélectrode indicatrice de platine établi par rapport à l'électrode de référence		Electrolyte-support
		Microélectrode indicatrice, MEI (V)	Electrode au calomel saturée, ECS (V)	
NO_2^-	c	de +0,40 à +1,00 en fonction de la concentration de HNO_3	de +0,15 à +0,75	
NO_2^-	a	+ 1,30	+ 1,05	H_2SO_4 0,05 N

Tableau 52 (suite)

Forme de la courbe de titrage	Substance à titrer	Réactif titrant	Remarques
			<p>Dans le titrage ampérométrique le courant de réduction de NO_2^- n'est pas utilisé, pourtant il peut gêner le dosage des autres substances si la concentration de HNO_3, utilisé comme électrolyte-support est $\geq 5 \text{ N}$</p>
I	NO_2^-	Oxydants forts tels que MnO_4^- , Ce^{IV} , etc., acide sulfanilique	<p>Dans le cas du titrage ampérométrique de NO_2^- avec le citrate d'ammonium en tant qu'électrolyte-support (pH de 4 à 4,5), on peut utiliser comme réactif titrant aussi la chloramine T suivant le courant de sa réduction pour le potentiel de microélectrode égal à $+0,3 \text{ V}$</p>

Ion ou molécule produisant le courant de diffusion	Caractère de la réaction d'électrode	Potentiel de la microélectrode indicatrice de platine établi par rapport à l'électrode de référence		Electrolyte-support
		Microélectrode indicatrice, MEI (V)	Electrode au calomel saturée, ECS (V)	
O_2	c	<i>Début de la réduction</i> + 0,10 + 0,40 + 0,80	- 0,15 + 0,15 + 0,55	Milieu basique Milieu neutre Milieu acide
Pb^{II}	c	- 0,60 + 1,80	- 0,85 + 1,55	CH_3CO_2Na , $CH_3CO_2NH_4$ $CH_3CO_2NH_4$ ou CH_3CO_2Na 0,5 N
Sn^{II}	a	- 0,20	- 0,45	Solution basique de complexone III

Tableau 52 (suite)

Forme de la courbe de titrage	Substance à titrer	Réactif titrant	Remarques
—	—	—	Le courant d'oxydation de O_2 est utilisé pour le dosage polarographique de l'oxygène dissout. Dans le titrage ampérométrique le courant de réduction de O_2 se manifeste lors du dosage d'autres substances
I II	Pb^{II} SO_4^{2-}	$Cr_2O_7^{2-}$, MoO_4^{2-} , WO_4^{2-} Pb^{II}	— On utilise comme réactif titrant une solution de sel d'acétate de plomb, contenant 4 à 5 % d'acide acétique
III	Sn^{II}	Hg^{II}	On utilise comme réactif titrant une solution de sel de chlorure de mercure (II). Après le PE, fonctionne le courant de réduction de Hg^{II}

Ion ou molécule produisant le courant de diffusion	Caractère de la réaction d'électrode	Potentiel de la microélectrode indicatrice de platine établi par rapport à l'électrode de référence		Electrolyte-support
		Microélectrode indicatrice, MEI (V)	Electrode au calomel saturée, ECS (V)	
Te^{IV}	c	+ 0,60	+ 0,35	H_2SO_4 6 N
Ti^{III}	a a a	+ 0,75 + 1,00 + 1,00	+ 0,50 + 0,75 + 0,75	$\text{H}_2\text{SO}_4 + (\text{NH}_4)_2\text{SO}_4$ H_2SO_4 10 N H_2SO_4 1 N + $\text{H}_4\text{P}_2\text{O}_7$
Ti^{III}	c	+ 0,50	+ 0,25	KNO_3 , $\text{CH}_3\text{CO}_2\text{Na}$ et d'autres
Ti^{I}	c	- 0,60	- 0,85	$\text{CH}_3\text{CO}_2\text{Na}$

Tableau 52 (suite)

Forme de la courbe de titrage	Substance à titrer	Réactif titrant	Remarques
	—	—	Pour le titrage ampérométrique le courant de réduction de Te^{IV} n'est pas utilisé, pourtant il peut gêner le dosage des autres substances
I: II II	Ti^{III} $\text{V}^{\text{V}}, \text{Cr}^{\text{VI}}$ U^{VI}	$\text{Cr}_2\text{O}_7^{2-}$ Ti^{III} Ti^{III}	— — —
I	Ti^{III}	Divers réducteurs tels que thio-urée	Il est plus commode d'effectuer le titrage ampérométrique de Ti^{III} avec la thio-urée suivant le courant d'oxydation de celle-ci pour le potentiel de microélectrode égal à +0,80 V (MEI). Dans ce cas la courbe de titrage aura la forme II
I	Ti^{I}	I^-	—

Ion ou molécule produisant le courant de diffusion	Caractère de la réaction d'électrode	Potentiel de la microélectrode indicatrice de platine établi par rapport à l'électrode de référence		Electrolyte-support
		Microélectrode indicatrice, MEI (V)	Electrode au calomel saturée, ECS (V)	
	a	+ 1,40	+ 1,15	KNO_3 NH_4NO_3 , H_2SO_4
U ^{III}	a	+ 0,20	- 0,05	H_2SO_4
V ^V	c	+ 0,50	+ 0,25	H_2SO_4 12 à 16 N
	c	+ 1,00	+ 0,75	H_2SO_4 18 à 24 N
V ^{IV}	a	+ 0,85	+ 0,60	$\text{CH}_3\text{CO}_2\text{H}$ + + $\text{CH}_3\text{CO}_2\text{Na}$, pH 4
V ^{II}	a	+ 0,85	0,60	H_2SO_4 + H_3PO_4
	a	+ 0,45	+ 0,20	H_2SO_4

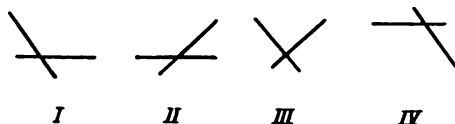
Tableau 52 (suite)

Forme de la courbe de titrage	Substance à titrer	Réactif titrant	Remarques
	—	—	Pour le titrage ampérométrique le courant d'oxydation de Tl^- n'est pas utilisé, pourtant il peut gêner le dosage des autres substances
III	U^{III}	Fe^{III}	Après le PE, fonctionne le courant de réduction de Fe^{III}
II III	Divers réducteurs tels que Fe^{II} V^V	VO_3^- Fe^{II}	— Après le PE, fonctionne le courant d'oxydation de Fe^{II}
II	Complexone III	VO^{2+}	On utilise cette réaction pour doser Al^{III} , Zr^{IV} , Th^{IV} et d'autres substances après l'addition d'un excès de complexone III à une solution à étudier
II II	Mo^{VI} , V^{IV} Ti^{IV} , V^V	V^{II} V^{II}	— —

Tableau 53

Conditions du titrage ampérométrique avec deux électrodes

Formes des courbes de titrage



En effectuant le titrage avec deux électrodes polarisées, il faut immerger simultanément celles-ci dans une solution titrée, ces électrodes ayant une surface suffisamment grande (contrairement au titrage ampérométrique classique opéré avec la microélectrode). On amène la tension aux électrodes à l'aide d'un diviseur de tension à partir d'une source externe du courant continu ayant la faible tension de sortie (~ 2 à 4 V). La valeur de la tension amenée aux électrodes est ajustée (en négligeant une grande précision) avec un voltmètre ordinaire de courant continu mis en circuit parallèlement aux électrodes.

Substance à doser	Titrant	Matériel des électrodes	Tension amenée aux électrodes (mV)
Ag^{I}	Cl^- , Br^- , I^-	Hg	de 1 à 10
Al^{III}	F^-	Pt	100

indicatrices polarisées (selon Sanguina)

Dans la quatrième colonne du *Tableau 53* sont indiquées les tensions approximatives amenées aux électrodes qui provoquent la dépolarisation de ces dernières soit avant le point équivalent (PE), soit après le PE, soit au cours du processus global de titrage.

Dans la cinquième colonne sont présentés les systèmes d'oxydo-réduction dont les constituants font fonctionner le courant d'indicateur par dépolarisation des électrodes. Les traits dans cette colonne indiquent l'absence du courant d'indicateur soit avant, soit après le PE pour une tension donnée aux électrodes. Cela a lieu dans le titrage où les constituants d'un système d'oxydo-réduction formé ou existant dans une solution à titrer ne sont pas oxydables ou réductibles pour une tension amenée aux électrodes ou bien dans le titrage où l'une des formes conjuguées du couple rédox est absente.

Dans certains cas, suivant la composition et la valeur de la tension amenée aux électrodes, dans les réactions électrochimiques peuvent intervenir la forme oxydée d'un système et la forme réduite d'un autre, ce qui assure le courant d'indicateur avant et (ou) après le PE.

Dans la sixième colonne par chiffres romains sont indiquées les formes des courbes de titrage au voisinage du point équivalent.

Réactions d'électrode produisant le courant d'indicateur		Forme des courbes de titrage au voisinage du PE	Remarque
avant le PE	après le PE		
Ag^+/Hg_2	—	<i>I</i>	On utilise comme électrodes le mercure de fond. Avant le PE, est oxydé le matériel d'électrode — Hg_2 (anode) et sur la cathode est réduit Ag^+
—	—	<i>IV</i>	Le titrage est effectué en présence de $\text{Fe}^{III}/\text{Fe}^{II}$

Substance à doser	Titrant	Matériel des électrodes	Tension amenée aux électrodes (mV)
As ^{III}	BrO ₃ ⁻	Pt	50
	Fe(CN) ₆ ⁴⁻	Pt	200
Au ^{III}	Acide ascorbique	Pt	100
Ba ^{II}	F ⁻	Pt	100
Br ⁻	Ag ^I	Ag	10
	Hg ^I	Hg	de 1 à 10
Ca ^{II}	F ⁻	Pt	100
	Complexone III	Cathode — Pt et anode — Ag amal- gamé	130
	Fe(CN) ₆ ⁴⁻	Pt	400

Tableau 53 (suite)

Réactions d'électrode produisant le courant d'indicateur		Forme des courbes de titrage au voisinage du PE	Remarque
avant le PE	après le PE		
—	Br_2/Br^-	<i>II</i>	Le titrage est opéré en présence de Br^-
—	$\text{Fe(CN)}_6^{3-}/\text{Fe(CN)}_6^{4-}$	<i>II</i>	Le titrage est opéré en présence de OsO_4 (catalyseur)
$\text{Au}^{III}/\text{Cl}^-$	—	<i>I</i>	Le titrage est effectué en milieu chlorhydrique. Avant le PE, Au^{III} est réduit sur la cathode et Cl^- est oxydé sur l'anode
—	—	<i>IV</i>	Le titrage est effectué en présence de $\text{Fe}^{III}/\text{Fe}^{II}$
—	Ag^1/Ag_1	<i>II</i>	Après le PE, est oxydé le matériel d'électrode — Ag_1 (anode) On utilise comme électrodes le mercure de fond. Après le PE, est oxydé le matériel d'électrode — Hg_1 (anode)
—	Hg^1/Hg_1	<i>II</i>	
—	—	<i>IV</i>	Le titrage est effectué en présence de $\text{Fe}^{III}/\text{Fe}^{II}$ Le titrage est réalisé en milieu basique en présence de Hg^{II}
—	—	<i>IV</i>	
—	$\text{H}^+/\text{Fe(CN)}_6^{3-}$	<i>II</i>	Comme réactif titrant on utilise $(\text{NH}_4)_6\text{Fe(CN)}_6$. Après le PE, H^+ est réduit sur la cathode et Fe(CN)_6^{3-} est oxydé sur l'anode

Substance à doser	Titrant	Matériel des électrodes	Tension amenée aux électrodes (mV)
Cd ^{II}	Fe(CN) ₆ ⁴⁻	Pt	200
Ce ^{IV}	Acide ascorbique, acide oxalique Fe ^{II} N-benzoylphényl- hydroxylamine	Pt	200
		Pt	200
		Pt	800
	Cupferron	Pt	1 000
Cl ⁻	Ag ^I	Ag	de 1 à 10
	Hg ^I	Hg	de 1 à 10
Co ^{III}	Acide ascorbique	Pt	100
Co ^{II}	Ce ^{IV} , Cr ₂ O ₇ ²⁻ , VO ₃ ⁻	Pt	100
	Fe ^{III}	Pt	1 000

Tableau 53 (suite)

Réactions d'électrode produisant le courant d'indicateur		Forme des courbes de titrage au voisinage du PE	Remarque
avant le PE	après le PE		
—	$\text{Fe}(\text{CN})_6^{3-} / \text{Fe}(\text{CN})_6^{4-}$	<i>II</i>	Le titrage est effectué en présence de $\text{Fe}(\text{CN})_6^{3-}$
$\text{Ce}^{\text{IV}}/\text{Ce}^{\text{III}}$	—	<i>I</i>	—
$\text{Ce}^{\text{IV}}/\text{Ce}^{\text{III}}$	$\text{Fe}^{\text{III}}/\text{Fe}^{\text{II}}$	<i>III</i>	—
$\text{Ce}^{\text{IV}}/\text{H}_2\text{O}$ ou électrolyte-support	—	<i>I</i>	Avant le PE, Ce^{IV} est réduit sur la cathode, tandis que l'eau ou l'électrolyte-support tel que Cl^- sont oxydés sur l'anode dans le cas où l'on titre en milieu chlorhydrique ou en présence de chlore
$\text{Ce}^{\text{IV}}/\text{Ce}^{\text{III}}$	$\text{H}^+/\text{cupferron}$	<i>III</i>	Avant le PE, le cupferron réduit Ce^{IV} . Après le PE, H^+ est réduit sur la cathode, alors que le cupferron est oxydé sur l'anode
—	Ag^1/Ag	<i>II</i>	Après le PE, est oxydé le matériel d'électrode — Ag (anode)
—	Hg^1/Hg	<i>II</i>	On utilise comme électrodes le mercure de fond. Après le PE, est oxydé le matériel d'électrode — Hg (anode)
Mécanisme n'est pas mis en évidence		—	On titre une solution de complexe carbonaté de cobalt (III)
Mécanisme n'est pas mis en évidence		—	On effectue le titrage en présence de complexone III
Mécanisme n'est pas mis en évidence		—	On opère le titrage en présence de phénanthroline

Substance à doser	Titrant	Matériel des électrodes	Tension amenée aux électrodes (mV)
Cr^{IV}	Fe^{II} Fe^{II}	Pt Pt	100 150
Cu^{II}	Complexone III Complexone III	Cu Pt, graphite	20 dc 1 000 à 1 400
Fe^{III}	Complexone III Acide ascorbique	Pt, graphite Pt	dc 1 000 à 1 400 100
Fe^{II}	Ce^{IV} , MnO_4^- , $\text{Cr}_2\text{O}_7^{2-}$ CrO_3	Pt Pt	100 150
$\text{Fe}(\text{CN})_6^{4-}$	AsO_2^-	Pt	150

Tableau 53 (suite)

Réactions d'électrode produisant le courant d'indicateur		Forme des courbes de titrage au voisinage du PE	Remarque
avant le PE	après le PE		
— —	$\text{Fe}^{\text{III}}/\text{Fe}^{\text{II}}$ $\text{Fe}^{\text{III}}/\text{Fe}^{\text{II}}$	<i>II</i> <i>II</i>	— Le titrage est effectué avec une solution de perchlorate ferreux (II) dans de l'acide acétique glacial
$\text{Cu}^{\text{II}}/\text{Cu}$; —	— H^{++} complexonate de cuivre (II)/complexone III	<i>I</i> <i>II</i>	Avant le PE, est oxydé le matériel d'électrode — Cu (anode) et sur la cathode est réduit Cu^{II} . Après le PE, H^{+} et le complexonate de cuivre (II) sont simultanément réduits sur la cathode, alors que la complexone III est oxydée sur l'anode
— $\text{Fe}^{\text{III}}/\text{Fe}^{\text{II}}$	H^{+} + complexonate de fer (III)/complexone III —	<i>II</i> <i>I</i>	Après le PE, H^{+} et le complexonate de fer (III) sont simultanément réduits sur la cathode, tandis que la complexone III est oxydée sur l'anode —
$\text{Fe}^{\text{III}}/\text{Fe}^{\text{II}}$ $\text{Fe}^{\text{III}}/\text{Fe}^{\text{II}}$ $\text{Fe}(\text{CN})_6^{3-}/\text{Fe}(\text{CN})_6^{4-}$	— — —	<i>I</i> <i>I</i> <i>I</i>	— Le titrage est effectué avec une solution de perchlorate ferreux (II) dans de l'acide acétique glacial Le titrage est opéré en présence de OsO_4 (catalyseur). On peut utiliser cette réaction pour le dosage indirect de Hg^{I} , Co^{II} , Sn^{II} , Sb^{III} , As^{III} , Se^{IV} et d'autres ions par titrage d'un excès de $\text{Fe}(\text{CN})_6^{3-}$

Substance à doser	Titrant	Matériel des électrodes	Tension amenée aux électrodes (mV)
Fe(CN)_6^{4-}	MnO_4^-	Pt	150
	Ce^{IV}	Pt	150
	Zn^{II}	Pt	150
Ga^{III}	Fe(CN)_6^{4-}	Pt	200
H_2O	Réactif de Fischer	Pt	30
Hg^{II}	Complexone III	Hg	de 1 à 10
	I^-	Pt	30
Hg^{I}	CN^- , SCN^- , Cl^- , Br^- , I^-	Hg	de 1 à 10
In^{III}	Fe(CN)_6^{4-}	Pt	200

Tableau 53 (suite)

Réactions d'électrode produisant le courant d'indicateur		Forme des courbes de titrage au voisinage du PE	Remarque
avant le PE	après le PE		
$\text{Fe(CN)}_6^{3-}/\text{Fe(CN)}_6^{4-}$	—	<i>I</i>	—
$\text{Fe(CN)}_6^{3-}/\text{Fe(CN)}_6^{4-}$	$\text{Ce}^{\text{IV}}/\text{Ce}^{\text{III}}$	<i>III</i>	—
$\text{Fe(CN)}_6^{3-}/\text{Fe(CN)}_6^{4-}$	—	<i>I</i>	Le titrage est réalisé en présence de Fe(CN)_6^{3-} . On peut utiliser comme réactif titrant aussi d'autres cations formant des précipités peu solubles avec le ferrocyanure, l'hexacyanoferrate (II), par exemple Cd^{II}
—	$\text{Fe(CN)}_6^{3-}/\text{Fe(CN)}_6^{4-}$	<i>II</i>	Le titrage est effectué en présence de Fe(CN)_6^{3-}
—	I_2/I^-	<i>II</i>	Cette réaction est utilisée pour doser l'eau dans des substances organiques et minérales
$\text{Hg}^{\text{II}}/\text{Hg}$	—	<i>I</i>	On utilise comme électrodes le mercure de fond. Avant le PE, est oxydé le matériel d'électrode — Hg (anode)
—	I_2/I^-	<i>II</i>	Le titrage est effectué en présence de $\text{Cr}_2\text{O}_7^{2-}$ ou de I_2
$\text{Hg}^{\text{I}}/\text{Hg}$	—	<i>I</i>	On utilise comme électrodes le mercure de fond. Avant le PE, est oxydé le matériel d'électrode — Hg (anode)
—	$\text{Fe(CN)}_6^{3-}/\text{Fe(CN)}_6^{4-}$	<i>II</i>	Le titrage est effectué en présence de Fe(CN)_6^{3-}

Substance à doser	Titrant	Matériel des électrodes	Tension amenée aux électrodes (mV)
I_2	AsO_2^- , $S_2O_3^{2-}$, N_2H_4 , HCl	Hg	30
I^-	Ag^I	Ag	10
	Ag^I	Pt	30
K^+	Ag^+	Ag	25
La^{III}	$Fe(CN)_6^{4-}$	Pt	400
Mg^{II}	BrO_3^-	Pt	50
	Complexone III	Cathode — Pt et anode — Ag amal- gamé	210
MnO_4^-	Fe^{II}	Pt	100
	Fe^{II}	Pt	150

Tableau 53 (suite)

Réactions d'électrode produisant le courant d'indicateur		Forme des courbes de titrage au voisinage du PE	Remarque
avant le PE	après le PE		
I_2/I^-	—	<i>I</i>	On peut utiliser cette réaction pour le dosage indirect de Cl_2 , H_2O_2 , O_2 , Cu^{II} , Ti^{III} , Se^{IV} et d'autres substances par titrage de I_2 dégagé après l'addition d'un excès d'iodure
—	$Ag^I/Ag \downarrow$	<i>II</i>	Après le PE, est oxydé le matériel d'électrode — $Ag \downarrow$ (anode)
I_2/I^-	—	<i>I</i>	Le titrage est effectué en présence de I_2
—	$Ag^I/Ag \downarrow$	<i>I</i>	Le titrage du tétraphénylborate de potassium est opéré dans l'acétone. Après le PE, est oxydé le matériel d'électrode — $Ag \downarrow$ (anode)
—	$H^+/Fe(CN)_6^{4-}$	<i>II</i>	Après le PE, H^+ est réduit sur la cathode
—	Br_2/Br^-	<i>II</i>	Le titrage de l'oxyquinoléate de magnésium est effectué en présence de Br^-
—	Complexonate de mercure (II) $Hg \downarrow$	<i>IV</i>	Le titrage est effectué dans une solution tampon ammoniacale en présence de Hg^{II}
—	Fe^{III}/Fe^{II} Fe^{III}/Fe^{II}	<i>II</i> <i>II</i>	— Le titrage est effectué avec une solution de perchlorate ferreux (II) dans de l'acide acétique glacial

Substance à doser	Titrant	Matériel des électrodes	Tension amenée aux électrodes (mV)
Mn ^{II}	MnO ₄ ⁻	Cathode — Pt, anode — Ag	Sans amener la tension
Mo ^{VI}	Pb ^{II}	Pt	1 300
NO ₃ ⁻	Fe ^{II}	Pt	100
Ni ^{II}	Diméthylglyoxime	Cathode — Ag amalgamé et anode — Pt Pt	1 500
	I ₂		30
So ²⁻	ICl	Pt	800
S ₂ O ₈ ²⁻	I ₂ , IO ₃ ⁻	Pt	de 30 à 100
SCN ⁻	Ce ^{IV}	Pt	200
Sb ^{III}	BrO ₃ ⁻	Pt	de 50 à 100
Sn ^{II}	I ₂	Pt	30
Th ^{IV}	Complexone III	Pt	100

Tableau 53 (suite)

Réactions d'électrode produisant le courant d'indicateur		Forme des courbes de titrage au voisinage du PE	Remarque
avant le PE	après le PE		
—	MnO_4^-/Ag	<i>II</i>	Après le PE, est oxydé le matériel d'électrode — Ag (anode) et sur la cathode est réduit MnO_4^-
—	$\text{H}^+/\text{Pb}^{\text{II}}$	<i>II</i>	Après le PE, H^+ est réduit sur la cathode, tandis que Pb^{II} est oxydé sur l'anode
—	$\text{Fe}^{\text{III}}/\text{Fe}^{\text{II}}$	<i>II</i>	—
$\text{Ni}^{\text{II}}/\text{OH}^-$	—	<i>I</i>	Avant le PE, Ni^{II} est réduit sur la cathode, tandis que OH^- est oxydé sur l'anode (milieu basique)
—	I_2/I^-	<i>II</i>	Le titrage est opéré en présence de diméthylglyoxime
—	I_2/I^-	<i>II</i>	Le titrage est effectué dans de l'acide acétique glacial
—	I_2/I^-	<i>II</i>	—
—	$\text{Ce}^{\text{IV}}/\text{Ce}^{\text{III}}$	<i>II</i>	Le titrage est effectué en présence de pyridine et de ICl (catalyseur). On peut utiliser cette réaction pour doser indirectement Cu^{II} , Co^{II} , Cd^{II} , Ni^{II} par titrage d'un excès de SCN^-
—	Br_2/Br^-	<i>II</i>	—
—	I_2/I^-	<i>II</i>	—
—	—	<i>IV</i>	Le titrage est effectué en présence de $\text{Fe}^{\text{III}}/\text{Fe}^{\text{II}}$

Substance à doser	Titrant	Matériel des électrodes	Tension amenée aux électrodes (mV)
Ti ^{III}	Ce ^{IV}	Pt	100
Ti ^{III}	Complexone III	Pt, graphite	de 1 000 à 1 400
Ti ^I	Fe(CN) ₆ ⁴⁻	Pt	400
	Ce ^{IV}	Pt	100
U ^{IV}	VO ₂ ⁺	Pt	de 200 à 300
	Fe ^{III}	Pt	100
	Complexone III	Pt	500
V ^V	Fe ^{II}	Pt	100
W ^{VI}	Pb ^I	Pt	1 500
Y ^{III}	Cupferron	Pt ^{II}	de 1 000 à 1 200
Zn ^{II}	Fe(CN) ₆ ⁴⁻	Pt	200

Tableau 53 (suite)

Réactions d'électrode produisant le courant d'indicateur		Forme des courbes de titrage au voisinage du PE	Remarque
avant le PE	après le PE		
—	$\text{Ce}^{\text{IV}}/\text{Ce}^{\text{III}}$	<i>II</i>	—
—	$\text{H}^+ + \text{complexonate de thallium (III)/complexone III}$	<i>II</i>	Après le PE, H^+ et le complexonate de thallium (III) sont simultanément réduits sur la cathode, alors que la complexone III est oxydée sur l'anode
—	$\text{H}^+/\text{Fe}(\text{CN})_6^{4-}$	<i>II</i>	Après le PE, H^+ est réduit sur la cathode, tandis que $\text{Fe}(\text{CN})_6^{4-}$ est oxydé sur l'anode
—	$\text{Ce}^{\text{IV}}/\text{Ce}^{\text{III}}$	<i>II</i>	
— — $\text{H}^+/\text{U}^{\text{IV}}$	$\text{V}^{\text{V}}/\text{V}^{\text{IV}}$ $\text{Fe}^{\text{III}}/\text{Fe}^{\text{II}}$ —	<i>II</i> <i>II</i> <i>I</i>	— — Avant le PE, H^+ est réduit sur la cathode, tandis que U^{IV} est oxydé sur l'anode
—	$\text{Fe}^{\text{III}}/\text{Fe}^{\text{II}}$	<i>II</i>	—
—	$\text{H}^+/\text{Pb}^{\text{II}}$	<i>II</i>	Après le PE, H^+ est réduit sur la cathode, tandis que Pb^{II} est oxydé sur l'anode
—	$\text{H}^+/\text{cupferon}$	<i>II</i>	Après le PE, H^+ est réduit sur la cathode, tandis que le cupferron est oxydé sur l'anode
—	$\text{Fe}(\text{CN})_6^{3-}/\text{Fe}(\text{CN})_6^{4-}$	<i>II</i>	Le titrage est effectué en présence de $\text{Fe}(\text{CN})_6^{3-}$

Tableau 54

Surtension de l'hydrogène et de l'oxygène sur les électrodes différentes

(à la température ambiante)

La surtension η_{H_2} en fonction de la densité de courant est exprimée par l'équation

$$\eta_{H_2} = 0,116 \lg i + k$$

où k est la constante qui dépend de la nature de l'électrode. La valeur de la surtension décroît avec l'élévation de la température de 3 mV/°C. En milieu basique la surtension de l'hydrogène est, dans la règle, un peu plus élevée qu'en milieu acide (de 0,1 à 0,3 V). La surtension de l'oxygène en milieu basique dépasse de 1 V la surtension en milieu acide. La surtension du dépôt des métaux est beaucoup plus faible que celle des gaz.

Electrode	Solution	Densité de courant (A/cm ²)				
		0,0005 et moins	0,0001	0,001	0,01	0,1
		surtension (V)				
Hydrogène						
Palladium	2 N H ₂ SO ₄	-0,26	—	—	—	—
Platine (lame platinée)	Idem	0,000	—	—	0,03	0,04
Platine (lame plate)	{ 2 N H ₂ SO ₄	0,008	—	—	0,07	0,29
	{ 5 N H ₂ SO ₄	—	0,04	0,10	0,22	—
	{ 2 N H ₂ SO ₄	0,017	—	—	0,39	0,59
Or	{ 5 N H ₂ SO ₄	—	0,33	0,44	0,55	—
Cobalt	2 N H ₂ SO ₄	0,067	—	—	—	—
	{ 2 N H ₂ SO ₄	0,97	—	—	—	—
Argent	{ 5 N H ₂ SO ₄	—	0,45	0,57	0,69	—
Vanadium	2 N H ₂ SO ₄	0,135	—	—	—	—
	2 N H ₂ SO ₄	0,138	—	—	—	—
Nickel	0,15 N HCl	—	0,18	0,28	—	—
	0,4 N NaOH	—	0,18	0,29	—	—

Tableau 54 (suite)

Electrode	Solution	Densité de courant (A/cm ²)				
		0,0005 et moins	0,0001	0,001	0,01	0,1
		surtension (V)				
Tungstène	2 N H ₂ SO ₄	0,157	—	—	—	—
Molybdène	2 N H ₂ SO ₄	0,168	—	—	—	—
Fer	2 N H ₂ SO ₄	0,175	—	—	0,56	0,82
	1 N HCl	—	—	0,33	0,46	—
Chrome	5 N NaOH	—	0,32	—	—	—
	2 N H ₂ SO ₄	0,182	—	—	—	—
Cuivre	1 N H ₂ SO ₄	—	0,83	0,94	1,04	—
	2 N H ₂ SO ₄	0,190	—	—	0,58	0,85
Antimoine	2 N H ₂ SO ₄	0,233	—	—	—	—
Titane	2 N H ₂ SO ₄	0,236	—	—	—	—
Aluminium	2 N H ₂ SO ₄	0,296	—	—	—	—
Carbone	2 N H ₂ SO ₄	0,335	0,77	0,88	1,0	—
Arsenic	2 N H ₂ SO ₄	0,369	—	—	—	—
Bismuth	2 N H ₂ SO ₄	0,388	—	—	—	—
Cadmium	1 N H ₂ SO ₄	—	—	0,98	1,3	—
	2 N H ₂ SO ₄	0,392	—	—	—	—
Etain	2 N H ₂ SO ₄	0,401	—	—	1,08	1,22
Plomb	2 N H ₂ SO ₄	0,402	0,98	1,1	1,21	—
Zinc	2 N H ₂ SO ₄	0,482	—	—	0,75	1,06
Mercure	1 N H ₂ SO ₄	—	0,93	1,04	1,16	—
	2 N H ₂ SO ₄	0,570	—	—	1,04	1,07
<i>Oxygène</i>						
Platine (lame plate)	En milieu acide	—	—	—	~ 0,4 *	—
	0,2 N H ₂ SO ₄	—	0,67	0,78	—	—
Dioxyde de plomb	8 N H ₂ SO ₄	—	0,97	1,08	1,19	—
Fer	2 N NaOH	—	0,44	0,48	0,52	—

* 0,023 A/cm².

Tableau 55

Potentiel de décomposition des solutions
1 N de certains composés

Composés	Potentiel de décomposition (V)	Composés	Potentiel de décomposition (V)
<i>Sels</i>		<i>Acides</i>	
AgNO ₃	0,70	HI	0,52
CuSO ₄	1,49	HBr	0,94
Pb(NO ₃) ₂	1,52	(COOH) ₂	0,95
CoCl ₂	1,78	HCl	1,31
ZnBr ₂	1,80	HClO ₄	1,65
NiCl ₂	1,85	H ₂ SO ₄	1,67
CdCl ₂	1,88	HNO ₃	1,69
CoSO ₄	1,92	CH ₃ (COOH) ₂	1,69
Cd(NO ₃) ₂	1,98	H ₃ PO ₄	1,70
CdSO ₄	2,03	CH ₂ ClCOOH	1,72
NiSO ₄	2,09	<i>Bases</i>	
ZnSO ₄	2,35	KOH	1,67
		NaOH	1,69
		NH ₄ OH	1,74

Tableau 56

Photométrie des flammes

Les longueurs d'onde des lignes de spectre et des maximums des bandes moléculaires recommandées pour doser les éléments à l'aide du spectrophotomètre à l'optique de verre en utilisant la flamme aéro-acétylénique.

(Les valeurs des longueurs d'onde des bandes moléculaires sont mises en italique)

Elément	Longueur d'onde (nm)	Elément	Longueur d'onde (nm)
Baryum	870,0	Lithium	670,8
Bore	<i>545,0 à 548,0</i>	Magnésium	<i>384,0</i>
Calcium	422,7	Manganèse	403,1 à 403,4
Calcium	<i>622,0</i>	Phosphore	548,0
Césium	852,1	Potassium	766,5 à 769,9
Chrome	425,4	Rubidium	794,8
Europium	459,4	Sodium	589,0 à 589,6
Fer	386,0	Strontium	460,7
Gallium	417,2	Thallium	535,1
Indium	451,1	Ytterbium	398,8
Lanthane	<i>438,0</i>	Yttrium	<i>613,0 à 616,6</i>
Lanthane	<i>794,0</i>		

Tableau 57

Conversion des unités anglaises et américaines
en unités métriques

Nom	Equivalent métrique
Mesures de longueur	
1 mille=1760 yards=5280 pieds=63 360 pouces ...	1,6093 km
1 yard=3 pieds=36 pouces	0,9144 m
1 pied=12 pouces	0,3048 m
1 pouce	2,5400 cm
Mesures de capacité et de volume pour les liquides	
1 gallon (angl.)=4 quartes=8 pintes=32 gills=160 onces liq.	4,546 l
1 gallon (amér.)=4 quartes=8 pintes=32 gills=128 onces liq.	3,785 l
1 gallon (angl.)=1,2009 gallons (amér.)	4,546 l
1 pinte (angl.)=4 gills=20 onces liq.=160 drachmes liq.=960 minims	0,5683 l
1 pinte (amér.)=4 gills=16 onces liq.=128 drachmes liq.=7680 minims	0,4732 l
1 once liq. (angl.)=8 drachmes liq.=480 minims ..	28,41 ml
1 once liq. (amér.)=8 drachmes liq.=480 minims ..	29,57 ml
1 drachme liq. (angl.)=60 minims=3 scrupules liq. ...	3,552 ml
1 drachme liq. (amér.)	3,697 ml
1 scrupule liq. (angl.)=20 minims	1,184 ml
1 minim (angl.)	0,05919 ml
1 minim (amér.)	0,06161 ml
Mesures de masse (Commerciales)	
1 livre comm. angl. (lb)=16 onces (comm.)=256 drachmes=7000 grains	453,59 g
1 tonne angl. (longue)=2240 livres comm.	1016,05 kg
1 tonne angl. (courte)=2000 livres comm.	907,185 kg

Tableau 57 (suite)

Nom	Equivalent métrique
1 once comm.=16 drachmes=437,5 grains	28,35 g
1 drachme comm.=27,34 grains	1,772 g
1 grain	0,0648 g
Mesures d'énergie et de chaleur	
1 livre-pied angl.=0,1383 kgm	1,356 J
1 force/h brit.=0,746 kWh=274 000 kgm=1,014 force/h métr.	4690 kJ
1 unité therm. brit. (BTU)= quantité de chaleur élevant la température de 1 livre angl. d'eau à 1 °F	0,252 kcal
Mesures de puissance	
1 livre-pied angl. par 1 s=0,0018144 CV (métr.) ..	1,356 W
1 CV brit.=1,014 CV métr.	0,746 kW

Tableau 58

Table simplifiée des mantisses à cinq chiffres de logarithmes

Dans chaque ligne sont présents les partages proportionnels des *valeurs moyennes* de différences entre les nombres figurant dans cette ligne (au lieu de leurs valeurs réelles). Cette simplification fait apparaître des

A. Logarithmes

N	0	1	2	3	4	5	6
10	00 000	00 432	00 860	01 284	01 703	02 119	02 531
11	04 139	04 532	04 922	05 308	05 690	06 070	06 646
12	07 918	08 279	08 636	08 991	09 342	09 691	10 037
13	11 394	11 727	12 057	12 385	12 710	13 033	13 354
14	14 613	14 922	15 229	15 534	15 836	16 137	16 435
15	17 609	17 898	18 184	18 469	18 752	19 033	19 312
16	20 412	20 683	20 951	21 219	21 484	21 748	22 011
17	23 045	23 300	23 553	23 805	24 055	24 304	24 551
18	25 527	25 768	26 007	26 245	26 482	26 717	26 951
19	27 875	28 103	28 330	28 556	28 780	29 003	29 226

erreurs dans les valeurs des mantisses de logarithmes, mais ces erreurs ne dépassent pas 0,00002. L'utilisation du *Tableau 58* est aussi facile et commode que celle des tables des mantisses à quatre chiffres de logarithmes.

7	8	9	Partages proportionnels des <i>valeurs moyennes</i> de différences								
			1	2	3	4	5	6	7	8	9
02 938	03 342	03 743	42 40	85 81	127 121	170 162	212 202	254 242	297 283	339 323	381 364
06 819	07 188	07 555	37 37	77 74	116 111	154 148	193 185	232 222	270 259	309 296	348 333
10 380	10 721	11 059	36 34	71 68	106 102	142 136	177 170	213 204	248 238	284 272	319 307
13 672	13 988	14 301	33 32	66 63	98 95	131 126	164 158	197 190	229 221	262 253	295 284
16 732	17 026	17 319	30 29	61 59	91 88	122 118	152 147	183 177	213 206	244 236	274 265
19 590	19 866	20 140	28 28	57 55	85 83	114 110	142 138	171 ^f 165	199 193	228 221	256 248
22 272	22 531	22 789	27 26	53 52	80 78	107 104	134 130	160 156	187 182	214 208	240 233
24 797	25 042	25 285	26 25	50 49	76 73	101 98	126 122	151 147	176 171	201 196	227 220
27 184	27 416	27 646	24 23	48 46	71 69	95 93	119 116	143 139	167 162	190 185	214 208
29 447	29 667	29 885	23 22	45 44	68 66	90 88	113 110	135 132	158 154	180 176	203 198

Logarithmes

N	0	1	2	3	4	5	6
20	30 103	30 320	30 535	30 750	30 963	31 175	31 387
21	32 222	32 428	32 634	32 838	33 041	33 244	33 445
22	34 242	34 439	34 635	34 830	35 025	35 218	35 411
23	36 173	36 361	36 549	36 736	36 922	37 107	37 291
24	38 021	38 202	38 382	38 561	38 739	38 917	39 094
25	39 794	39 967	40 140	40 312	40 483	40 654	40 824
26	41 497	41 664	41 830	41 996	42 160	42 325	42 488
27	43 136	43 297	43 457	43 616	43 775	43 933	44 091
28	44 716	44 871	45 025	45 179	45 332	45 484	25 637
29	46 240	46 389	46 538	46 687	46 835	46 982	47 129
30	47 712	47 857	48 001	48 144	48 287	48 430	48 572
31	49 136	49 276	49 415	49 554	49 693	49 831	49 969
32	50 515	50 650	50 786	50 920	51 054	51 188	51 322
33	51 851	51 983	52 114	52 244	52 375	52 504	52 634
34	53 148	53 275	53 403	53 529	53 656	53 782	53 908
35	54 407	54 531	54 654	54 777	54 900	55 023	55 145
36	55 630	55 751	55 871	55 991	56 110	56 229	56 348
37	56 820	56 937	57 054	57 171	57 287	57 403	57 519
38	57 978	58 092	58 206	58 320	58 433	58 546	58 659
39	59 106	59 218	59 329	59 439	59 550	59 660	59 770
40	60 206	60 314	60 423	60 531	60 638	60 746	60 853
41	61 278	61 384	61 490	61 595	61 700	61 805	61 909
42	62 325	62 428	62 531	62 634	62 737	62 839	62 941
43	63 347	63 448	63 548	63 649	63 749	63 849	63 949
44	64 345	64 444	64 542	64 640	64 738	64 836	64 933
45	65 321	65 418	65 514	66 610	65 706	65 801	65 896
46	66 276	66 370	66 464	66 558	66 652	66 745	66 839
47	67 210	67 302	67 394	67 486	67 578	67 669	67 761
48	68 124	68 215	68 305	68 395	68 485	68 574	68 664
49	69 020	69 108	69 197	69 285	69 373	69 461	69 548

Tableau 58 (suite)

7	8	9	Partages proportionnels des valeurs moyennes de différences								
			1	2	3	4	5	6	7	8	9
31 597	31 806	32 015	21	43	64	85	106	127	148	170	190
33 646	33 846	34 044	20	41	61	81	101	121	141	162	182
35 603	35 793	35 984	20	39	58	77	97	116	135	154	174
37 475	37 658	37 840	19	37	56	74	93	111	130	148	167
39 270	39 445	39 620	18	35	53	71	89	106	124	142	159
40 993	41 162	41 330	17	34	51	68	85	102	119	136	153
42 651	42 813	42 975	16	33	49	66	82	98	115	131	148
44 248	44 404	44 560	16	32	47	63	79	95	111	126	142
45 788	45 939	46 090	15	30	46	61	76	91	107	122	137
47 276	47 422	47 567	15	29	44	59	74	88	103	118	132
48 714	48 855	48 996	14	29	43	57	72	86	100	114	129
50 106	50 243	50 379	14	28	41	55	69	83	97	110	124
51 455	51 587	51 720	13	27	40	54	67	80	94	107	121
52 763	52 892	53 020	13	26	39	52	65	78	91	104	117
54 033	54 158	54 283	13	25	38	50	63	76	88	101	113
55 267	55 388	55 509	12	24	37	49	61	73	85	98	110
56 467	56 585	56 703	12	24	36	48	60	71	83	95	104
57 634	57 749	57 864	12	23	35	46	58	70	81	93	104
58 771	58 883	58 995	11	23	34	45	57	68	79	90	102
59 879	59 988	60 097	11	22	33	44	55	66	77	88	99
60 959	61 066	61 172	11	21	32	43	54	64	75	86	97
62 014	62 118	62 221	10	21	31	42	53	63	74	84	95
63 043	63 144	63 246	10	20	31	41	51	61	71	82	92
64 048	64 147	64 246	10	20	30	40	50	60	70	80	90
65 031	65 128	65 225	10	20	29	39	49	59	68	78	88
65 992	66 087	66 181	10	19	29	38	48	57	67	76	86
66 932	67 025	67 117	9	19	28	37	47	56	65	74	84
67 852	67 943	68 034	9	18	27	36	46	55	64	73	82
68 753	68 842	68 931	9	18	27	36	45	53	63	72	81
69 636	69 723	69 810	9	18	26	35	44	53	62	70	79

Logarithmes

N	0	1	2	3	4	5	6
50	69 897	69 984	70 070	70 157	70 243	70 329	70 415
51	70 757	70 842	70 927	71 012	71 096	71 181	71 265
52	71 600	71 684	71 767	71 850	71 933	72 016	72 099
53	72 428	72 509	72 591	72 673	72 754	72 835	72 916
54	73 239	73 320	73 400	73 480	73 560	73 640	73 719
55	74 036	74 115	74 194	74 273	74 351	74 429	74 507
56	74 819	74 896	74 974	75 051	75 128	75 205	75 282
57	75 587	75 664	75 740	75 815	75 891	75 967	76 042
58	76 343	76 418	76 492	76 567	76 641	76 716	76 790
59	77 085	77 159	77 232	77 305	77 379	77 452	77 525
60	77 815	77 887	77 960	78 032	78 104	78 176	78 247
61	78 533	78 604	78 675	78 746	78 817	78 888	78 958
62	79 239	79 309	79 379	79 449	79 518	79 588	79 657
63	79 934	80 003	80 072	80 140	80 209	80 277	80 346
64	80 618	80 686	80 754	80 821	80 889	80 956	81 023
65	81 291	81 358	81 425	81 491	81 558	81 624	81 690
66	81 954	82 020	82 086	82 151	82 217	82 282	82 347
67	82 607	82 672	82 737	82 802	82 866	82 930	82 995
68	83 251	83 315	83 378	83 442	83 506	83 569	83 632
69	83 885	83 948	84 011	84 073	84 136	84 198	84 261
70	84 510	84 572	84 634	84 696	84 757	84 819	84 880
71	85 126	85 187	85 248	85 309	85 370	85 431	85 491
72	85 733	85 794	85 854	85 914	85 974	86 034	86 094
73	86 332	86 392	86 451	86 510	86 570	86 629	86 688
74	86 923	86 982	87 040	87 099	87 157	87 216	87 274
75	87 506	87 564	87 622	87 679	87 737	87 795	87 852
76	88 081	88 138	88 195	88 252	88 309	88 366	88 423
77	88 649	88 705	88 762	88 818	88 874	88 930	88 986
78	89 209	89 265	89 321	89 376	89 432	89 487	89 542
79	89 763	89 818	89 873	89 927	89 982	90 037	90 091

Tableau 58 (suite)

7	8	9	Partages proportionnels des valeurs moyennes de différences								
			1	2	3	4	5	6	7	8	9
70 501	70 586	70 672	9	17	26	34	43	52	60	69	77
71 349	71 433	71 517	8	17	25	34	42	50	59	67	76
72 181	72 263	72 346	8	17	25	33	42	50	58	66	75
72 997	73 078	73 159	8	16	24	32	41	49	57	65	73
73 799	73 878	73 957	8	16	24	32	40	48	56	64	72
74 586	74 663	74 741	8	16	23	31	39	47	55	63	70
75 358	75 435	75 511	8	15	23	31	39	46	54	62	69
76 118	76 193	76 268	8	15	23	30	38	45	53	60	68
76 864	76 938	77 012	7	15	22	30	37	44	52	59	67
77 597	77 670	77 743	7	15	22	29	37	44	51	58	66
78 319	78 390	78 462	7	14	22	29	36	43	50	58	65
79 029	79 099	79 169	7	14	21	28	36	43	50	57	64
79 727	79 796	79 865	7	14	21	28	35	41	48	55	62
80 414	80 482	80 550	7	14	20	27	34	41	48	54	61
81 090	81 158	81 224	7	13	20	27	34	40	47	54	60
81 757	81 823	81 889	7	13	20	26	33	40	46	53	59
82 413	82 478	82 543	7	13	20	26	33	39	46	52	59
83 059	83 123	83 187	6	13	19	26	32	38	45	51	58
83 696	83 759	83 822	6	13	19	25	32	38	44	50	57
84 323	84 386	84 448	6	12	19	25	31	37	43	50	56
84 942	85 003	85 065	6	12	19	25	31	37	43	50	56
85 552	85 612	85 673	6	12	18	24	31	37	43	49	55
86 153	86 213	86 273	6	12	18	24	30	36	42	48	54
86 747	86 806	86 864	6	12	18	24	30	35	41	47	53
87 332	87 390	87 448	6	12	17	23	29	35	41	46	52
87 910	87 967	88 024	6	12	17	23	29	35	41	46	52
88 480	88 536	88 593	6	11	17	23	29	34	40	46	51
89 042	89 098	89 154	6	11	17	22	28	34	39	45	50
89 597	89 653	89 708	6	11	17	22	28	33	39	44	50
90 146	90 200	90 255	6	11	17	22	28	33	39	44	50

Logarithmes

N	0	1	2	3	4	5	6
80	90 309	90 363	90 417	90 472	90 526	90 580	90 634
81	90 848	90 902	90 956	91 009	91 062	91 116	91 169
82	91 381	91 434	91 487	91 540	91 593	91 645	91 698
83	91 908	91 960	92 012	92 064	92 117	92 169	92 221
84	92 428	92 480	92 531	92 583	92 634	92 686	92 737
85	92 942	92 993	93 044	93 095	93 146	93 197	93 247
86	93 450	93 500	93 551	93 601	93 651	93 702	93 752
87	93 952	94 002	94 052	94 101	94 151	94 201	94 250
88	94 448	94 498	94 547	94 596	94 645	94 694	94 743
89	94 939	94 988	95 036	95 085	95 134	95 182	95 231
90	95 424	95 472	95 521	95 569	95 617	95 665	95 713
91	95 904	95 952	95 999	96 047	96 095	96 142	96 190
92	96 379	96 426	96 473	96 520	96 567	96 614	96 661
93	96 848	96 895	96 942	96 988	97 035	97 081	97 128
94	97 313	97 359	97 405	97 451	97 497	97 543	97 589
95	97 772	97 818	97 864	97 909	97 955	98 000	98 046
96	98 227	98 272	98 318	98 363	98 408	98 453	98 498
97	98 677	98 722	98 767	98 811	98 856	98 900	98 945
98	99 123	99 167	99 211	99 255	99 300	99 344	99 388
99	99 564	99 607	99 651	99 695	99 739	99 782	99 826

Tableau 58 (suite)

7	8	9	Partages proportionnels des valeurs moyennes de différences								
			1	2	3	4	5	6	7	8	9
90 687	90 741	90 795	5	11	16	22	27	32	38	43	49
91 222	91 275	91 328	5	11	16	21	27	32	37	42	48
91 751	91 803	91 855	5	11	16	21	27	32	37	42	48
92 273	92 324	92 376	5	10	16	21	26	31	36	42	47
92 788	92 840	92 891	5	10	15	20	26	31	36	41	46
93 298	93 349	93 399	5	10	15	20	26	31	36	41	46
93 803	93 852	93 902	5	10	15	20	25	30	35	40	45
94 300	94 349	94 399	5	10	15	20	25	30	35	40	45
94 792	94 841	94 890	5	10	15	20	25	29	34	39	44
95 279	95 328	95 376	5	10	15	19	24	29	34	39	44
95 761	95 809	95 856	5	10	14	19	24	29	34	38	43
96 237	96 284	96 332	5	9	14	19	24	28	33	38	42
96 708	96 755	96 802	5	9	14	19	24	28	33	38	42
97 174	97 220	97 267	5	9	14	18	23	28	32	38	42
97 635	97 681	97 727	5	9	14	18	23	28	32	37	42
98 091	98 137	98 182	5	9	14	18	23	27	32	36	41
98 543	98 588	98 632	5	9	14	18	23	27	32	36	41
98 989	99 034	99 078	4	9	13	18	22	27	31	36	40
99 432	99 476	99 520	4	9	13	18	22	26	31	35	40
99 870	99 913	99 957	4	9	13	17	22	26	31	35	39

B. Antilogarithmes

lg	0	1	2	3	4	5	6
.00	10 000	10 023	10 046	10 069	10 093	10 116	10 139
.01	10 233	10 257	10 280	10 304	10 328	10 351	10 375
.02	10 471	10 495	10 520	10 544	10 568	10 593	10 617
.03	10 715	10 740	10 765	10 789	10 814	10 839	10 864
.04	10 965	10 990	11 015	11 041	11 066	11 092	11 117
.05	11 220	11 246	11 272	11 298	11 324	11 350	11 376
.06	11 482	11 508	11 535	11 561	11 588	11 614	11 641
.07	11 749	11 776	11 803	11 830	11 858	11 885	11 912
.08	12 023	12 050	12 078	12 106	12 134	12 162	12 190
.09	12 303	12 331	12 359	12 388	12 417	12 445	12 474
.10	12 589	12 618	12 647	12 677	12 706	12 735	12 764
.11	12 882	12 912	12 942	12 972	13 002	13 032	13 062
.12	13 183	13 213	13 243	13 274	13 305	13 335	13 366
.13	13 490	13 521	13 552	13 583	13 614	13 646	13 677
.14	13 804	13 836	13 868	13 900	13 932	13 964	13 996
.15	14 125	14 158	14 191	14 223	14 256	14 289	14 322
.16	14 454	14 488	14 521	14 555	14 588	14 622	14 655
.17	14 791	14 825	14 859	14 894	14 928	14 962	14 997
.18	15 136	15 171	15 205	15 241	15 276	15 311	15 346
.19	15 488	15 524	15 560	15 596	15 631	15 668	15 704
.20	15 849	15 885	15 922	15 959	15 996	16 032	16 069
.21	16 218	16 255	16 293	16 331	16 368	16 406	16 444
.22	16 596	16 634	16 672	16 711	16 749	16 788	16 827
.23	16 982	17 022	17 061	17 100	17 140	17 179	17 219
.24	17 378	17 418	17 458	17 498	17 539	17 579	17 620
.25	17 783	17 824	17 865	17 906	17 947	17 989	18 030
.26	18 197	18 239	18 281	18 323	18 365	18 408	18 450
.27	18 621	18 664	18 707	18 750	18 793	18 836	18 880
.28	19 055	19 099	19 143	19 187	19 231	19 275	19 320
.29	19 498	19 543	19 588	19 634	19 679	19 724	19 770

Tableau 58 (suite)

7	8	9	Partages proportionnels des valeurs moyennes de différences								
			1	2	3	4	5	6	7	8	9
10 162	10 186	10 209	2	5	7	9	12	14	16	19	21
10 399	10 423	10 447	2	5	7	10	12	14	17	19	21
10 641	10 666	10 691	2	5	7	10	12	15	17	20	22
10 889	10 914	10 940	3	5	8	10	13	15	18	20	23
11 143	11 169	11 194	3	5	8	10	13	15	18	20	23
11 402	11 429	11 455	3	5	8	11	13	16	18	21	24
11 668	11 695	11 722	3	5	8	11	13	16	19	21	24
11 940	11 967	11 995	3	5	8	11	14	16	19	22	25
12 218	12 246	12 274	3	6	8	11	14	17	20	22	25
12 503	12 531	12 560	3	6	9	11	14	17	20	23	26
12 794	12 823	12 853	3	6	9	12	15	18	21	24	26
13 092	13 122	13 152	3	6	9	12	15	18	21	24	27
13 397	13 428	13 459	3	6	9	12	15	18	21	25	28
13 709	13 740	13 772	3	6	9	13	16	19	22	25	28
14 028	14 060	14 093	3	6	10	13	16	19	22	26	29
14 355	14 388	14 421	3	7	10	13	16	20	23	26	30
14 689	14 723	14 757	3	7	10	13	17	20	24	27	30
15 031	15 066	15 101	3	7	10	14	17	21	24	28	31
15 382	15 417	15 453	4	7	11	14	18	21	25	28	32
15 740	15 776	15 812	4	7	11	14	18	22	25	29	32
16 106	16 144	16 181	4	7	11	15	18	22	26	30	33
16 482	16 520	16 558	4	8	11	15	19	23	26	30	34
16 866	16 904	16 943	4	8	12	15	19	23	27	31	35
17 258	17 298	17 338	4	8	12	16	20	24	28	32	36
17 660	17 701	17 742	4	8	12	16	20	24	28	32	36
18 072	18 113	18 155	4	8	12	17	21	25	29	33	37
18 493	18 535	18 578	4	8	13	17	21	25	30	34	38
18 923	18 967	19 011	4	9	13	17	22	26	30	35	39
19 364	19 409	19 454	4	9	13	18	22	26	31	35	40
19 815	19 861	19 907	5	9	14	18	23	27	32	36	41

Antilogarithmes

lg	0	1	2	3	4	5	6
.30	19 953	19 999	20 045	20 091	20 137	20 184	20 230
.31	20 417	20 464	20 512	20 559	20 606	20 654	20 701
.32	20 893	20 941	20 989	21 038	21 086	21 135	21 184
.33	21 380	21 429	21 478	21 528	21 577	21 627	21 677
.34	21 878	21 928	21 979	22 029	22 080	22 131	22 182
.35	22 387	22 439	22 491	22 542	22 594	22 646	22 699
.36	22 909	22 961	23 014	23 067	23 121	23 174	23 227
.37	23 442	23 496	23 550	23 605	23 659	23 714	23 768
.38	23 988	24 044	24 099	24 155	24 210	24 266	24 322
.39	24 547	24 604	24 660	24 717	24 774	24 831	24 889
.40	25 119	25 177	25 236	25 293	25 351	25 410	25 468
.41	25 704	25 763	25 823	25 882	25 942	26 002	26 062
.42	26 303	26 363	26 424	26 485	26 546	26 607	26 669
.43	26 915	26 977	27 040	27 102	27 164	27 227	27 290
.44	27 542	27 506	27 669	27 733	27 797	27 861	27 925
.45	28 284	28 249	28 314	28 379	28 445	28 510	28 576
.46	28 840	28 907	28 973	29 040	29 107	29 174	29 242
.47	29 512	29 580	29 648	29 717	29 785	29 854	29 923
.48	30 200	30 269	30 339	30 409	30 479	30 549	30 620
.49	30 903	30 974	31 046	31 117	31 189	31 261	31 333
.50	31 623	31 696	31 769	31 842	31 916	31 989	32 063
.51	32 359	32 434	32 509	32 584	32 659	32 735	32 809
.52	33 113	33 189	33 266	33 343	33 420	33 497	33 574
.53	33 884	33 963	34 041	34 119	34 198	34 277	34 356
.54	34 674	34 754	34 834	34 914	34 995	35 075	35 156
.55	35 481	35 563	35 645	35 727	35 810	35 892	35 975
.56	36 308	36 392	36 475	36 559	36 644	36 728	36 813
.57	37 154	37 239	37 325	37 411	37 497	37 584	37 670
.58	38 019	38 107	38 194	38 282	38 371	38 459	38 548
.59	38 905	38 994	39 084	39 174	39 264	39 355	39 446

Tableau 58 (suite)

7	8	9	Partages proportionnels des valeurs moyennes de différences								
			1	2	3	4	5	6	7	8	9
20 277	20 324	20 370	5	9	14	19	23	28	32	37	42
20 749	20 797	20 845	5	10	14	19	24	29	33	38	43
21 232	21 281	21 330	5	10	15	19	24	29	34	39	44
21 727	21 777	21 826	5	10	15	20	25	30	35	40	45
22 233	22 284	22 336	5	10	15	20	25	31	36	41	46
22 751	22 803	22 856	5	10	16	21	26	31	37	42	47
23 281	23 336	23 388	5	11	16	21	27	32	37	43	48
23 823	23 878	23 933	5	11	16	22	27	33	38	44	49
24 378	24 434	24 491	6	11	17	22	28	34	39	45	50
24 946	25 003	25 061	6	11	17	23	29	34	40	46	51
25 527	25 586	25 645	6	12	18	23	29	35	41	47	53
26 122	26 182	26 242	6	12	18	24	30	36	42	48	54
26 730	26 792	26 853	6	12	18	24	31	37	43	49	55
27 353	27 416	27 479	6	13	19	25	31	38	44	50	56
27 990	28 054	28 119	6	13	19	26	32	39	45	51	58
28 642	28 708	28 774	7	13	20	26	33	39	46	52	59
29 309	29 376	29 444	7	13	20	27	34	40	47	54	60
29 992	30 061	30 130	7	14	21	28	34	41	48	55	62
30 690	30 761	30 832	7	14	21	28	35	42	49	56	63
31 405	31 477	31 550	7	14	22	29	36	43	50	58	65
32 137	32 211	32 285	7	15	22	29	37	44	52	59	66
32 885	32 961	33 037	8	15	23	30	38	45	53	60	68
33 651	33 729	33 806	8	15	23	31	39	46	54	62	69
34 435	34 514	34 594	8	16	24	32	40	47	55	63	71
35 237	35 318	35 400	8	16	24	32	40	48	56	65	73
36 058	36 141	36 224	8	16	25	33	41	50	58	66	74
36 898	36 983	37 068	8	17	25	34	42	51	59	68	76
37 757	37 844	37 931	9	17	26	35	43	52	61	69	78
38 637	38 726	38 815	9	18	27	35	44	53	62	71	80
39 537	39 628	39 719	9	18	27	36	45	54	63	72	82

Antilogarithmes

lg	0	1	2	3	4	5	6
.60	39 811	39 902	39 994	40 087	40 179	40 272	40 365
.61	40 738	40 832	40 926	41 020	41 115	41 210	41 305
.62	41 687	41 783	41 879	41 976	42 073	42 170	42 267
.63	42 658	42 756	42 855	42 954	43 053	43 152	43 251
.64	43 652	43 752	43 853	43 954	44 055	44 157	44 259
.65	44 668	44 771	44 875	44 978	45 082	45 186	45 290
.66	45 709	45 814	45 920	46 026	46 132	46 238	46 345
.67	46 774	46 881	46 989	47 098	47 206	47 315	47 424
.68	47 863	47 973	48 084	48 195	48 306	48 417	48 529
.69	48 978	49 091	49 204	49 317	49 431	49 545	49 659
.70	50 119	50 234	50 350	50 466	50 582	50 699	50 816
.71	51 286	51 404	51 523	51 642	51 761	51 880	52 000
.72	52 481	52 602	52 723	52 845	52 966	53 088	53 211
.73	53 703	53 827	53 951	54 075	54 200	54 325	54 450
.74	54 954	55 081	55 208	55 336	55 463	55 590	55 719
.75	56 234	56 364	56 494	56 624	56 754	56 885	57 016
.76	57 544	57 677	57 810	57 943	58 076	58 210	58 345
.77	58 884	59 020	59 156	59 293	59 429	59 566	59 704
.78	60 256	60 395	60 534	60 674	60 814	60 954	61 094
.79	61 659	61 802	61 944	62 087	62 230	62 373	62 517
.80	63 096	63 241	63 387	63 533	63 680	63 826	63 973
.81	64 565	64 714	64 863	65 013	65 163	65 313	65 464
.82	66 069	66 222	66 374	66 527	66 681	66 834	66 988
.83	67 608	67 764	67 920	68 077	68 234	68 391	68 549
.84	69 183	69 343	69 503	69 663	69 823	69 984	70 146
.85	70 795	70 958	71 121	71 285	71 450	71 614	71 779
.86	72 444	72 611	72 778	72 946	73 114	73 282	73 451
.87	74 131	74 302	74 473	74 645	74 817	74 989	75 162
.88	75 858	76 033	76 208	76 384	76 560	76 736	76 913
.89	77 625	77 804	77 983	78 163	78 343	78 524	78 705

Tableau 58 (suite)

7	8	9	Partages proportionnels des valeurs moyennes de différences								
			1	2	3	4	5	6	7	8	9
40 458	40 551	40 664	9	19	28	37	46	55	65	74	83
41 400	41 495	41 591	9	19	28	38	47	57	66	76	85
42 364	42 362	42 560	10	19	29	39	49	58	68	78	87
43 351	43 451	43 551	10	20	30	40	50	60	70	80	89
44 361	44 463	44 566	10	20	30	41	51	61	71	81	91
45 394	45 499	45 604	10	21	31	42	52	62	73	83	94
46 452	46 559	46 666	11	21	32	43	53	64	75	85	96
47 534	47 643	47 753	11	22	33	44	54	65	76	87	98
48 641	48 753	48 865	11	22	33	45	56	67	78	89	100
49 774	49 878	50 003	11	23	34	46	57	68	80	91	103
50 933	51 050	51 168	12	23	35	47	58	70	82	93	105
52 119	52 240	52 360	12	24	36	48	60	72	84	96	108
53 333	53 456	53 580	12	24	37	49	61	73	85	98	110
54 576	54 702	54 828	13	25	38	50	63	75	88	100	113
55 847	55 976	56 105	13	26	38	51	64	77	90	102	115
57 148	57 280	57 412	13	26	39	52	66	79	92	105	118
58 479	58 614	58 749	13	27	40	54	67	80	94	107	121
59 841	59 979	60 117	14	27	41	55	69	82	96	110	123
61 235	61 376	61 518	14	28	42	56	70	84	98	112	126
62 661	62 806	62 951	14	29	43	58	72	86	101	115	130
64 121	64 269	64 417	15	29	44	59	74	88	103	118	132
65 615	65 766	65 917	15	30	45	60	75	90	105	120	135
67 143	67 298	67 453	15	31	46	62	77	92	108	123	139
68 707	68 865	69 024	16	32	47	63	79	95	110	126	142
70 307	70 469	70 632	16	32	48	64	81	97	113	129	145
71 945	72 111	72 277	17	33	50	56	83	99	116	132	149
73 621	73 790	73 961	17	34	51	68	85	101	118	135	152
75 336	75 509	75 683	17	35	52	69	87	104	121	138	156
77 090	77 268	77 446	18	35	53	71	89	107	125	142	159
78 886	79 068	79 250	18	36	54	72	91	109	127	145	163

Antilogarithmes

lg	0	1	2	3	4	5	6
.90	79 433	79 616	79 799	79 983	80 168	80 353	80 538
.91	81 283	81 470	81 658	81 846	82 035	82 224	82 414
.92	83 176	83 368	83 560	83 753	83 946	84 140	84 333
.93	85 114	85 310	85 507	85 704	85 901	86 099	86 298
.94	87 096	87 297	87 498	87 700	87 902	88 105	88 308
.95	89 125	89 331	89 536	89 743	89 950	90 157	90 365
.96	91 201	91 411	91 622	91 833	92 045	92 257	92 470
.97	93 325	93 541	93 756	93 972	94 189	94 406	94 624
.98	95 499	95 719	95 940	96 161	96 383	96 605	96 828
.99	97 724	97 949	98 175	98 401	98 628	98 855	99 083

Tableau 58 (suite)

7	8	9	Partages proportionnels des valeurs moyennes de différences								
			1	2	3	4	5	6	7	8	9
80 724	80 910	81 096	19	37	56	74	93	111	130	148	167
82 604	82 794	82 985	19	38	57	76	95	113	132	151	170
84 528	84 723	84 918	19	39	58	78	97	116	136	155	175
86 497	86 696	86 896	20	40	60	79	99	119	139	158	178
88 512	88 716	88 920	20	41	61	81	102	122	142	162	183
90 573	90 782	90 991	21	42	62	83	104	125	146	166	187
92 683	92 897	93 111	21	42	64	85	106	127	149	170	191
94 842	95 060	95 280	22	43	65	87	109	130	152	174	195
97 051	97 275	97 499	22	44	67	89	111	133	155	178	200
99 312	99 541	99 770	23	46	68	91	114	137	160	182	205

Appendices

Exemples d'utilisation de certaines tables de référence

Tableau 7

Facteurs analytiques et stœchiométriques

Le *Tableau* est destiné aux calculs liés aux dosages gravimétriques.

Lorsqu'on détermine la teneur en un constituant quelconque d'une substance à analyser, deux cas sont possibles.

1. *Le constituant cherché est pesé sous la forme dans laquelle on veut exprimer sa teneur dans une substance à analyser.* En déterminant, par exemple, la teneur en cuivre du bronze, il faut isoler Cu par électrolyse et peser comme tel. Dans un autre cas on pèse la silice à partir du minéral sous forme de SiO_2 , car sous cette forme on exprime généralement la teneur des minéraux et des roches en Si. Dans ces cas le pourcentage du constituant cherché est calculé d'après une simple formule :

$$x = \frac{a \cdot 100}{g} \%$$

où a est la masse d'un constituant isolé, g , la prise d'essai d'une substance à analyser (a et g sont exprimés en unités de masse identiques). Pour le calcul il faut trouver deux logarithmes sans utiliser le *Tableau 7*.

2. *Le constituant à doser est pesé sous forme différant de celle sous laquelle on cherche à exprimer le résultat du dosage effectué.* Par exemple, on termine le dosage de P par pesée du précipité calciné de $\text{Mg}_2\text{P}_2\text{O}_7$ ou, en déterminant la teneur d'un acier en Si, on achève ce procédé par pesée de SiO_2 , tout comme dans le cas du dosage d'un minéral, mais ici le résultat doit être exprimé en p.cent de l'élément Si. Parfois la substance à peser ne contient point d'élément à doser. Ainsi, dans le dosage de N dans un sel ammoniacal, l'ammonium est quelquefois précipité sous forme de $(\text{NH}_4)_2\text{PtCl}_6$, qui est ensuite transformé en Pt par calcination et l'on pèse Pt. D'après la masse de Pt on calcule le pourcentage de N dans un sel à analyser.

Dans tous ces cas il faut évidemment déterminer la quantité de constituant cherché qui correspondra à la masse trouvée (a) d'une substance

à peser. De ce fait, lors du dosage de Si il faut diviser la masse a par la masse moléculaire de SiO_2 et multiplier le nombre obtenu par la masse atomique de Si : $\frac{a\text{Si}}{\text{SiO}_2}$; dans le dosage de P il faut diviser la masse trouvée a par la masse moléculaire de $\text{Mg}_2\text{P}_2\text{O}_7$ et multiplier le nombre obtenu par 2 masses atomiques de P (une molécule $\text{Mg}_2\text{P}_2\text{O}_7$ renferme 2P), donc $\frac{a2\text{P}}{\text{Mg}_2\text{P}_2\text{O}_7}$. Toutes les valeurs de ces fractions : $\frac{\text{Si}}{\text{SiO}_2}$, $\frac{2\text{P}}{\text{Mg}_2\text{P}_2\text{O}_7}$, etc., ainsi que les valeurs de leurs logarithmes sont représentées dans le *Tableau 7*, elles sont appelées *facteurs* et désignées par f (on les appelle également « facteurs de conversion », « facteurs chimiques »). Ainsi, la teneur d'une substance pesée en constituant à doser sera égale à af , tandis que la teneur p.cent d'une substance à analyser sera de

$$x = \frac{af \cdot 100}{g} \cdot 100 \%$$

Ainsi, le calcul revient à la recherche de trois logarithmes (l'un dans le *Tableau 7* et les deux autres dans la table de logarithmes), à l'addition de deux logarithmes trouvés et à la soustraction du troisième de leur somme.

Puisqu'il est impossible d'effectuer les additions et les soustractions dans la même colonne, il est nécessaire de savoir trouver rapidement le supplément de logarithme à l'unité. Alors, toutes les opérations reviennent à l'addition de trois mantisses : $\lg x = \lg a + \lg f(1 - \lg g)$. On néglige les caractéristiques de logarithmes et le nombre entier 2 ($\lg 100 = 2$). Lorsque l'opération est achevée et que l'on ait trouvé le nombre x d'après son logarithme, il est facile d'en isoler le nombre nécessaire de décimales, car il est toujours connu si la teneur d'une substance à doser en constituant est, par exemple, 8,3 ou 83 ou bien 0,83 %.

Pour trouver le supplément de logarithme g à l'unité, on soustrait le dernier chiffre de la mantisse de 10, et les autres, de 9 ; par exemple, si la mantisse du logarithme g est égale à 34 906, son supplément à l'unité sera 65 094.

Exemples de calculs des résultats des dosages gravimétriques

Exemple 1. Pour doser Cu dans du lait, on a pris une prise d'essai de copeaux $g = 1,1238$ g. La masse d'électrode de platine pure est égale à 12,4826 g ; celle de la même électrode, recouverte de Cu déposé, après dessiccation est de 13,2965 g. Calculer la proportion p.cent de Cu dans cet alliage.

La masse de Cu déposé : $a = 13,2965 - 12,4826 = 0,8139$ g. La proportion p.cent cherchée de Cu est $x = \frac{0,8139 \cdot 100}{1,1238}$ %. On trouve les logarithmes dans le *Tableau 58* (p. 534) et l'on n'écrit que les mantisses sans caractéristiques :

$$\begin{array}{r} 91\ 057 \\ - 05\ 069 \\ \hline \end{array}$$

$$\lg x = 85\ 988 \quad x = 72,42 \%$$

Le fait que dans le résultat final on aura deux décimales devant la virgule est aisément compris d'après l'aspect de la formule de calcul aussi bien que d'après le sens du dosage. La résolution de ce problème n'a pas impliqué l'utilisation des facteurs donnés au *Tableau 7*, le constituant à chercher — Cu — du laiton ayant été pesé en état de métal.

Exemple 2. Pour doser Mg dans du calcaire, on a prélevé une prise d'essai $g = 1,2456$ g. Après la séparation de SiO_2 , Fe, Al et Ca, on fait précipiter Mg sous forme de MgNH_4PO_4 qui est ensuite transformé en $\text{Mg}_2\text{P}_2\text{O}_7$ par calcination. La masse du précipité calciné est $a = 0,0551$ g. Calculer la proportion p.cent du magnésium dans du calcaire.

Dans la table de logarithmes on trouve : $\lg g = \lg 1,2456 = 09\ 540$; $\lg a = \lg 0,0551 = 74\ 115$. Comme dans le cas précédent, on écrit les mantisses sans caractéristiques.

Dans le *Tableau 7*, dans la colonne « Détermination de » on trouve Mg et dans la colonne « Pesé », $\text{Mg}_2\text{P}_2\text{O}_7$. A cette formule correspond 0,2185 (voir la colonne « Facteur f ») ainsi que $\lg f = 33\ 930$.

On fait la somme :

$$\begin{array}{r} \lg a = 74\ 115 \\ \lg f = 33\ 930 \\ 1 - \lg g = 90\ 460 \\ \hline \lg x = 98\ 505 \end{array}$$

La teneur en Mg est donc de 0,966 ou 0,97 %.

La masse du précipité calciné de 0,0551 g est caractérisée par une erreur absolue de $\pm 0,0002$ g (imprécision des pesées ordinaires avec une balance analytique), ce qui fera 0,4 % relatifs, la même erreur relative limite caractériser le résultat final (Règle 4, p. 10), c.-à-d. que le résultat sera de $0,966 \pm 0,004$ %. Ce résultat ne doit pas renfermer plus de 3 chiffres après la virgule, déjà le troisième chiffre est incertain. Ainsi en tenant compte du fait qu'au cours de l'analyse d'autres erreurs que celles de la pesée ordinaire peuvent apparaître, il est plus raisonnable d'arrondir le résultat obtenu à 0,97 %.

Tableau 14

Calcul des résultats des dosages volumétriques

Lors du calcul des résultats des dosages volumétriques on fait souvent des opérations inutiles et compliquées. Ainsi, en calculant la quantité de Fe titré avec une solution de KMnO_4 , on commence par déterminer la quantité en grammes de KMnO_4 consommée par la réaction, puis on calcule la teneur en Fe suivant le rapport stœchiométrique 1 mole de KMnO_4 : 5 moles de Fe^{2+} . Ce mode de calcul est compliqué, donc inadmissible. Aussi exprime-t-on les concentrations de solutions par leurs normalités en simplifiant par là même tous les calculs.

On appelle *normalité* ou *concentration normale* d'une solution le nombre d'équivalents-grammes de soluté par 1 l de solution ou le nombre d'équivalents-milligrammes de celui-ci par 1 ml de solution.

On appelle *équivalent* la partie d'atome ou de molécule qui

a) *dans les réactions de neutralisation* correspond à un ion hydrogène H^+ ou à un ion hydroxyle OH^- , formant de l'eau.

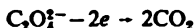
Dans la réaction $\text{H}_3\text{PO}_4 + 2\text{NaOH} = \text{Na}_2\text{HPO}_4 + 2\text{H}_2\text{O}$, par exemple, deux ions H^+ et deux ions OH^- forment 2 molécules H_2O . Donc à 1 ion H^+ ou OH^- correspond 1/2 molécule H_3PO_4 et une molécule $\left(\frac{2\text{NaOH}}{2}\right)$ d'hydroxyde de sodium. Ce sont ces valeurs qui expriment leurs équivalents ;

b) *dans les réactions d'oxydo-réduction* correspond à 1 électron qu'une molécule ou un ion peut gagner ou perdre au cours de cette réaction.

KMnO_4 , par exemple, se comporte comme oxydant en milieu acide :



On voit alors que 1 électron se rapporte à 1/5 MnO_4^- ou à 1/5 KMnO_4 , qui, dans ce cas, sont des équivalents. L'acide oxalique $\text{H}_2\text{C}_2\text{O}_4$ se comporte comme réducteur :



donc, 1 électron se rapporte à 1/2 $\text{C}_2\text{O}_4^{2-}$, à 1/2 $\text{H}_2\text{C}_2\text{O}_4$ ou à 1/2 $\text{H}_2\text{C}_2\text{O}_4 \cdot 2\text{H}_2\text{O}$; ces quantités sont des équivalents ;

c) *dans les réactions de précipitation et de formation de complexes* correspond à 1 ion de métal monovalent, à 1/2 ion de métal divalent, etc., formant le précipité ou le complexe. Ainsi, lors du titrage d'un cyanure par du sel d'argent selon la méthode de Mohr



l'équivalent de KCN est égal à sa molécule, mais en cas de titrage du même cyanure selon la méthode de Dénigès :



l'équivalent de KCN est égal à 2 molécules.

Il en résulte donc qu'un *équivalent de substance n'est pas un nombre constant*, mais dépend de la réaction dans laquelle intervient cette substance.

On appelle *équivalent-gramme* ou *équivalent-milligramme* la quantité de substance en grammes ou en milligrammes correspondant à son poids équivalent.

Si la concentration (le titre) d'une solution titrante (on l'appelle parfois solution étalon) est exprimée par sa normalité N_s et que E_s soit son poids équivalent, chaque millilitre de cette solution renfermera $N_s E_s$ mg de substance titrante. Avant de consommer pour titrage V ml de cette solution, on introduira dans la réaction $V N_s E_s$ mg de substance titrante. Du fait que la réaction se déroule toujours en présence de quantités de substances proportionnelles à leurs équivalents, la quantité de substance à titrer (à doser) sera égale à $V N_s E_x$ mg, où E_x est le poids équivalent de la substance à doser. Donc, dans les calculs il n'est pas nécessaire de connaître ni la masse moléculaire, ni le poids équivalent E_s d'une substance titrante, mais il suffit de connaître la normalité d'une solution titrante N_s et le poids équivalent E_x d'une substance à doser. (On trouve le poids équivalent dans le *Tableau 14*.) La teneur p.cent (x) en substance à doser de la prise d'essai g est calculée d'après la formule

$$x = \frac{V N_s E_x \cdot 100}{g} \% \quad \text{ou} \quad \frac{V N_s E_x}{g' \cdot 10} \%$$

où g est exprimée en milligrammes et g' en grammes.

A. Recherche de la normalité d'une solution titrante (mise en titre)

Lorsqu'il s'agit d'établir la normalité d'une solution, on pèse une certaine quantité de substance initiale g_{init} . La prise d'essai est dissoute, on titre la solution obtenue par une solution dont la normalité (N_x) est à établir. Supposons que le titrage consomme V ml. Alors $V N_x E_{\text{init}} = g_{\text{init}}$ et

$$N_x = \frac{g_{\text{init}}}{V E_{\text{init}}}$$

où E_{init} est le poids équivalent de la substance initiale (voir *Tableau 14*) ; g_{init} est exprimée en milligrammes.

Quelquefois on dissout la prise d'essai de substance initiale dans un ballon jaugé, on dilue avec de l'eau jusqu'à la jauge (volume V_1 ml) et on prélève pour titrage une partie aliquote à l'aide d'une pipette (volume V_2 ml). Alors

$$N_x = \frac{g_{\text{init}} \cdot V_2}{V_1 V E_{\text{init}}}$$

Exemple 1. La prise d'essai de 0,2712 g d'oxalate de sodium $\text{Na}_2\text{C}_2\text{O}_4$ pur desséché à 105-110 °C est dissoute dans de l'eau, on y ajoute H_2SO_4 et on titre la solution obtenue avec 39,88 ml de solution de KMnO_4 . Calculer la normalité de cette dernière.

Dans le *Tableau 14* on trouve :

$$\begin{array}{rcl} E_{\text{Na}_2\text{C}_2\text{O}_4} = 67\,000, & \lg E_{\text{init}} = 82\,607 \\ \lg g_{\text{init}} = \lg & 271,2 = 43\,329 \\ 1 - \lg V = 1 - \lg & 39,88 = 39\,924 \\ 1 - \lg E_{\text{init}} = 1 - \lg & 67\,000 = 17\,393 \\ \hline \lg N_x = 00\,646 & N_x = 0,1015 \end{array}$$

Si la normalité d'une solution (N_1) est déterminée d'après celle d'une autre solution dont la normalité est connue (N_2), on prélève V_1 ml de première solution et on en titre par la seconde. Supposons que le titrage a consommé V_2 ml de seconde solution. Alors

$$V_1 N_1 = V_2 N_2$$

$$N_1 = N_2 \frac{V_2}{V_1}$$

Exemple 2. La normalité d'une solution de NaOH (N_1) est établie par rapport à une solution de HCl 0,09859 *N*. Le titrage de 20,00 ml de première solution a consommé 21,12 ml de seconde. Calculer la normalité de la solution de NaOH :

$$\begin{array}{rcl} N_1 = \frac{0,09859 \cdot 21,12}{20,00} \\ \lg 0,09859 = 99\,362 \\ \lg 21,12 = 32\,469 \\ 1 - \lg 20,00 = 69\,897 \\ \hline \lg N_1 = 01\,728 \\ N_1 = 0,1041 \end{array}$$

En pratique analytique, la concentration d'une solution titrante ($T_{s/x}$, le titre d'une solution par rapport à la substance à analyser) est très souvent exprimée en milligrammes ou grammes de substance à analyser, qui titre 1 ml de solution T_x . En connaissant la normalité de la solution, il est facile de trouver son titre par rapport à n'importe quelle substance à doser à partir de la formule $T_{s/x} = N_s E_x$ (on trouve E_x dans le *Tableau 14*). Ainsi, le titre d'une solution de KMnO_4 0,1023 N par rapport au fer est $T_{\text{MnO}_4^-/\text{Fe}} = N_s E_{\text{Fe}} = 0,1023 \cdot 55,847 \text{ mg/ml}$, tandis que son titre par rapport à l'oxyde ferrique est $T_{\text{MnO}_4^-/\text{Fe}_2\text{O}_3} = N_s E_{\text{Fe}_2\text{O}_3} = 0,1023 \cdot 79,846$, etc. La teneur p.cent en substance à analyser est de

$$x = \frac{VN_s E_x \cdot 100}{g} = \frac{VT_{s/x} \cdot 100}{g} \%$$

où g et $T_{s/x}$ sont exprimées dans les mêmes unités.

Si le titre d'une solution par rapport à une substance quelconque est connu et qu'il s'agisse de trouver sa normalité ou son titre par rapport à une autre substance, on peut utiliser les formules

$$N = \frac{T_a}{E_a} = \frac{T_b}{E_b} = \dots = \frac{T_n}{E_n}$$

d'où on tire :

$$T_b = T \frac{T_a}{E_a} \quad E_b = N E_b = \dots$$

$$T_n = \frac{T_a}{E_a} E_n = N E_n$$

Exemple 3. Le titre d'une solution de KMnO_4 par rapport à Fe est égal à 0,005483 g/ml. Calculer la normalité de cette solution et son titre par rapport à Cr:

$$N = \frac{T_{\text{MnO}_4^-/\text{Fe}}}{E_{\text{Fe}}} \quad \begin{array}{l} \lg T_{\text{MnO}_4^-/\text{Fe}} = \lg 0,005483 = 73 \ 902 \\ 1 - \lg E_{\text{Fe}} = 1 - \lg 55,847 = 25 \ 300 \end{array}$$

$$\lg N = 99 \ 202$$

$$N = 0,09818$$

$$T_{\text{MnO}_4^-/\text{Cr}} = \frac{T_{\text{MnO}_4^-/\text{Fe}} E_{\text{Cr}}}{E_{\text{Fe}}}$$

$$\begin{array}{r}
 \lg T_{\text{MnO}_4^-/\text{Fe}} = 1 - \lg 55,847 = 73\,902 \\
 1 - \lg E_{\text{Fe}} = 1 - \lg 55,85 = 25\,300 \\
 \lg E_{\text{Cr}} = \lg 17,332 = 23\,885 \\
 \hline
 \lg T_{\text{MnO}_4^-/\text{Cr}} = 23\,087 \\
 T_{\text{MnO}_4^-/\text{Cr}} = 0,001702 \text{ g}
 \end{array}$$

B. Détermination de la proportion p.cent d'un constituant cherché dans la prise d'essai

Exemple 1. Pour doser Na_2CO_3 dans de la fonte de soude une prise d'essai de 1,100 g de cette dernière est dissoute dans de l'eau et la solution obtenue est titrée avec une solution de H_2SO_4 0,5012 N en présence de bleu de bromophénol. Il est à déterminer la proportion p.cent de Na_2CO_3 , si le titrage a consommé 35,00 ml d'acide.

Dans le *Tableau 14* (p. 148) on trouve que $E_{\text{Na}_2\text{CO}_3}$, en présence de bleu de bromophénol est égal à 52,995, $\lg E = 72\,423$.

On fait la somme :

$$\begin{array}{r}
 \lg V = \lg 35,00 = 54\,407 \\
 \lg N_s = \lg 0,5012 = 70\,001 \\
 \lg E_x = \lg 52,995 = 72\,423 \\
 1 - \lg g = 1 - \lg 1,100 = 95\,861 \\
 \hline
 \lg x = 92\,692 \quad x = 84,51 \%
 \end{array}$$

Exemple 2. On demande de trouver la proportion p.cent de CO_2 dans la fonte de soude, les conditions d'expérience étant celles de l'exemple 1.

La solution reste la même, mais au lieu de $E_{\text{Na}_2\text{CO}_3}$, on trouve dans le *Tableau 14* $E_{\text{CO}_2} = 22,005$, $\lg E = 34\,252$.

On fait la somme :

$$\begin{array}{r}
 \lg V = 54\,407 \\
 \lg N_s = 69\,897 \\
 \lg E_x = 34\,252 \\
 1 - \lg g = 95\,861 \\
 \hline
 \lg x = 54\,417 \quad x = 35,01 \%
 \end{array}$$

Exemple 3. On demande de calculer la proportion p.cent de Fe dans un échantillon de minerai ferrifère, si après la dissolution d'une prise d'essai de 0,7872 g de minerai suivie d'une réduction de Fe par Zn métallique, le titrage a nécessité 47,24 ml de solution de KMnO_4 0,1105 N.

On trouve dans le *Tableau 14* (p. 150) : $E_{Fe} = 55,85$; $\lg E = 74\,702$ et on fait l'addition :

$$\begin{array}{r}
 \lg V = \lg 47,24 = 67\,431 \\
 \lg N_s = \lg 0,1105 = 04\,336 \\
 \lg E_x = \lg 55,847 = 74\,700 \\
 1 - \lg g = 1 - \lg 0,7872 = 10\,391 \\
 \hline
 \lg x = 56\,858 \quad x = 37,03 \%
 \end{array}$$

Exemple 4. Pour doser Mn dans de l'acier par méthode au bismuthate, on a prélevé la prise d'essai de 1,1452 g et on l'a dissoute dans HNO_3 . En solution obtenue Mn est oxydé par le bismuthate de sodium NaBiO_3 en HMnO_4 qui est dosé par addition de 40,00 ml de solution de sel de Mohr 0,03012 N. Calculer la proportion p.cent de Mn dans la solution.

Puisque le produit VN fournit le nombre d'équivalents-milligrammes de *n'importe quelle substance*, il est plus utile d'effectuer le calcul selon la formule suivante :

$$x = \frac{(V_a N_a - V_b N_b) E_x \cdot 100}{g} \%$$

où V_a et N_a sont le volume et la normalité d'une solution de sel de Mohr ; V_b et N_b , le volume et la normalité d'une solution de KMnO_4 .

En dosant Mn par la méthode au bismuthate, on trouve dans le *Tableau 14* que $E_x = E_{Mn} = 10,9876$, $\lg E_x = 04\,090$.

Alors

$$\begin{array}{r}
 V_a N_a = 40,00 \cdot 0,02842 = 1,1368 \text{ Eq-mg} \\
 V_b N_b = 13,50 \cdot 0,03012 = 0,4066 \text{ Eq-mg} \\
 V_a N_a - V_b N_b = 1,1368 - 0,4066 = 0,7302 \text{ Eq-mg} \\
 \lg 0,7302 = 86\,344 \\
 \lg E_{Mn} = 04\,090 \\
 1 - \lg 1,1452 = 94\,110 \\
 \hline
 \lg x = 84\,544 \quad x = 0,70 \%
 \end{array}$$

Exemple 5. Quelle quantité de solution de KMnO_4 de même concentration serait-elle consommée par le titrage d'une prise d'essai de 1,1452 de même acier (voir *exemple 4*), si le dosage de Mn était effectué par la méthode de Volhard :

$$x = \frac{V N_s E_x \cdot 100}{g} \%$$

où g est la prise d'essai exprimée en milligrammes.

En dosant Mn par la méthode de Volgard, on trouve dans le *Tableau 14* que E_{Mn} est égal à 16,4814, $\lg E = 21\ 699$:

$$\begin{aligned}
 0,70 &= \frac{V \cdot 0,03012 \cdot 16,4814 \cdot 100}{1145,2} \\
 V &= \frac{0,70 \cdot 1145,2}{0,03012 \cdot 16,4814 \cdot 100} \\
 \lg 0,70 &= 84\ 510 \\
 \lg 1145,2 &= 05\ 889 \\
 1 - \lg 0,03012 &= 52\ 115 \\
 1 - \lg 16,4814 &= 78\ 301 \\
 \hline
 \lg V &= 20\ 815 \quad V = 16,15\ \text{ml}
 \end{aligned}$$

Tableau 16

Calcul des résultats des dosages gazométriques

Des exemples des calculs d'après les formules données p. 162 sont présentés ci-après.

Exemple 1. Le volume de gaz (V) mesuré au-dessus de l'eau est égal à 25,6 ml. La température du gaz est $t = 22,8\ ^\circ\text{C}$. L'indication observée du baromètre est $P_t = 720,4\ \text{mm Hg}$. La température de l'air ambiant mesurée au voisinage du baromètre est de $t' = 22,4\ ^\circ\text{C}$. On demande de réduire le volume de gaz aux conditions normales.

Avant tout on introduit la correction d'indication du baromètre. Il est nécessaire de rapporter cette indication à $0\ ^\circ\text{C}$, il faut alors en soustraire la valeur $t'/8\ \text{mm}$. En outre, du fait que le gaz a été recueilli au-dessus de l'eau, sa pression dans le récipient sera inférieure à celle de l'air ambiant, cette différence sera égale à la valeur P_E , pression de vapeur d'eau à $t = 22,8\ ^\circ\text{C}$. Il est également nécessaire de soustraire cette valeur de l'indication du baromètre.

Dans le *Tableau 16* (colonne « Eau ») en face de $t = 22\ ^\circ\text{C}$ on trouve $P_E = 19,8\ \text{mm Hg}$ et en face de $t = 23\ ^\circ\text{C}$, $P_E = 21,1\ \text{mm Hg}$. La différence entre ces valeurs est égale à $1,3\ \text{mm Hg}$. On trouve $0,8$ de cette différence : $0,8 \times 1,3 = 1,0\ \text{mm}$ et on ajoute cette valeur à $19,8\ \text{mm Hg}$. Il en résulte que P_E à $22,8\ ^\circ\text{C}$ est égale à $19,8 + 1,0 = 20,8\ \text{mm Hg}$.

Ainsi,

$$P_0 = 720,4 - \frac{22,4}{8} - 20,8 = 696,8\ \text{mm Hg}$$

Le volume de gaz cherché $V_0 = VF$. Trouvons $\lg F$ p. 169.

On a :

$t(^{\circ}\text{C})$	P_0 (696 mm Hg)	P_0 (696,8 mm Hg)	P_0 (697 mm Hg)
22	92 807	92 857	92 870
22,8	—	92 739	—
23	92 660		

La différence entre 92 807 et 92 870 est égale à 63. Dans la table de différences on trouve 0,8 de ce nombre et on l'ajoute à 92 807 ; on obtient 92 857. La différence entre 92 807 et 92 660 est égale à 147. Dans la table de différences on trouve le nombre le plus proche de celui-ci, c.-à-d. 148 ; 0,8 de ce nombre fait 118,5. On soustrait ce dernier nombre de 92 857 et on obtient 92 739 (en arrondissant) :

$$\begin{array}{r} \lg V = 40\,824 \\ \lg F = 92\,739 \\ \hline \lg V_0 = 33\,563 \quad V_0 = 21,66 \approx 21,7 \text{ ml} \end{array}$$

Il importe de souligner que dans la plupart des cas la correction de dixièmes de millimètre de pression et de dixièmes de degré de température est tout à fait inutile ; en arrondissant les chiffres correspondants, on obtiendra les résultats assez précis. Ainsi, dans l'exemple cité, en prenant pour P_E une valeur correspondant à 23°C , c.-à-d. 21,1 mm Hg, on obtiendrait $P_0 = 696,5 \approx 697$ mm Hg. Dans le *Tableau 16,A* pour $t = 23^{\circ}\text{C}$ et $P_0 = 697$ mm Hg on trouve $\lg F = 92\,723$, ce qui conduira à $V_0 = 21,65$ ml, résultat qui ne diffère que très peu du résultat précédent.

Exemple 2. Calculer le poids de 43,7 ml de NO mesuré au-dessus d'une solution de KOH à 28,6 % sous $P_0 = 757$ mm Hg et à 17°C .

On adopte que la température du mercure dans le baromètre est aussi égale à 17°C :

$$P_0 = 757 - \frac{17}{8} = 745 \text{ mm Hg}$$

La valeur 10,2 mm Hg est trouvée dans le *Tableau 16,B* (17°C , KOH à 28,6 %).

La masse cherchée est égale à $V F \varrho$, on trouve $\lg F$ dans le *Tableau 16,A*, et $\lg \varrho$, dans le *Tableau 16,B* :

$$\begin{array}{r} \lg V = \lg 43,7 = 64\,048 \\ \lg F = 96\,506 \\ \lg \varrho = \lg 1,3402 = 12\,717 \\ \hline \lg x = 73\,271 \quad x = 54,0 \text{ mg} \end{array}$$

Exemple 3. 395 ml d'acétylène C_2H_2 sont obtenus à partir de 1,200 g de carbure de calcium commercial à $17,5^\circ C$ et sous $P_t = 755,3$ mm Hg (la pression est mesurée à $16^\circ C$). Le gaz est recueilli au-dessus d'une solution saturée de NaCl. Calculer la proportion p.cent de CaC_2 dans du carbure commercial :

$$P_0 = 755,3 - \frac{16}{8} - 11,4 = 741,9 \text{ mm Hg}$$

La valeur 11,4 est trouvée dans le *Tableau 16,B* par interpolation entre 11,0 et 11,7.

On obtient le pourcentage cherché à l'aide de la formule

$$x = \frac{VFf' \cdot 100}{g} \%$$

On trouve F dans le *Tableau 16,A* et f' dans le *Tableau 16,D* :

$$\begin{array}{rcl} \lg V = \lg 395 & = & 59\ 660 \\ \lg F & = & 96\ 256 \\ \lg f' = \lg 2,8877 & = & 46\ 055 \\ 1 - \lg g = 1 - \lg 1200 & = & 92\ 082 \\ \hline \lg x & = & 94\ 053 \quad x = 87,20 \% \end{array}$$

Exemple 4. L'action de l'acide sur 0,250 g de zinc en poudre a fait se dégager 79,6 ml de H_2 , mesuré au-dessus de l'eau à $20^\circ C$ et sous 742 mm Hg (la température du mercure dans le baromètre est également de $20^\circ C$). Calculer la proportion p.cent de Zn dans du zinc en poudre :

$$\begin{array}{rcl} P_0 = 742 - \frac{20}{8} - 17,5 & = & 722 \text{ mm Hg} \\ x = \frac{VFf' \cdot 100}{g} \% \\ \lg V = \lg 79,6 & = & 90\ 091 \\ \lg F & = & 94\ 696 \\ \lg f' = \lg 2,9145 & = & 46\ 456 \\ 1 - \lg g = 1 - \lg 250 & = & 60\ 206 \\ \hline \lg x & = & 91\ 449 \quad x = 82,13 = 82,1 \% \end{array}$$

Le résultat final ne doit pas renfermer plus de 3 chiffres significatifs, car seulement 3 chiffres significatifs caractérisent les résultats de pesée et de mesure volumiques.

Dans certains appareils les burettes à gaz sont jaugées de manière à indiquer directement le pourcentage du composé à doser, à condition que la prise d'essai soit fixe (généralement 1 g ou 0,5 g) et que le gaz dans la burette soit à une température et sous une pression déterminées. Mais dans le cas où la température et la pression du gaz ne coïncident pas avec celles indiquées par la burette, un recalcul correspondant est à effectuer.

Exemple 5. Pour doser C dans un acier par la méthode de combustion dans le courant de O_2 , on a mesuré le volume de CO_2 formé dans une burette à gaz de l'appareil de Wurtz-Ströhlein indiquant la proportion p.cent de C dans une prise d'essai d'acier de 1,000 g prélevée à $16^\circ C$ et sous 760 mm Hg. On a prélevé une prise d'essai d'acier de 1,000 g à la température de $20^\circ C$ et sous la pression du gaz égale à 740 mm Hg. L'indication de la burette était 0,52 % de C.

Quelle est la teneur effective de l'acier en C ? Dans le *Tableau 16, A* on trouve $\lg F_{760, 16^\circ C} = 97\,522$, $\lg F_{740, 20^\circ C} = 95\,766$. Le premier logarithme est à soustraire du logarithme du pourcentage trouvé de C et ajouter au nombre obtenu le second logarithme :

$$\begin{array}{r}
 \lg 0,52 = 71\,600 \\
 1 - 97\,522 = 02\,478 \\
 \hline
 95\,766 \\
 \lg x = 69\,844 \qquad x = 0,49\%
 \end{array}$$

On néglige ici les différences de pression de vapeur au-dessus d'une solution alcaline concentrée à la température différente. Si la température du gaz mesuré ne s'écarte de $16^\circ C$ que de quelques degrés, l'erreur due à ce fait ne dépassera pas 0,01 %.

Tableau 18

Densités et concentrations des solutions

Dans la chimie analytique on utilise des méthodes variées pour exprimer les concentrations des acides et des bases : 1) par la densité (par exemple, « on ajoute 5 ml d'acide chlorhydrique de densité $d\,1,190$ »); 2) en indiquant la dilution des acides concentrés commerciaux (par exemple, « on met dans une solution 10 ml d'acide sulfurique dilué au 1/9 »), ce qui signifie qu'un volume d'acide sulfurique concentré commercial est dilué avec 9 volumes d'eau; 3) par la teneur p.cent du réactif (par exemple, « 2 ml de solution ammoniacale à 25 % ») et 4) par la normalité de la solution.

Dans la marche analytique on est obligé à recalculer les concentrations pour passer d'une forme d'expression à l'autre, à calculer le débit des réactifs au cours des réactions en opérant avec des solutions dont les concentrations

sont exprimées de façon différente, etc. Les tables de référence servent à faciliter ces opérations, les calculs stœchiométriques sont essentiellement simplifiés si les concentrations des réactifs sont exprimées en normalités. C'est pour cette raison qu'on représente dans les tables de référence les concentrations normales de toutes les solutions d'acides et de bases.

On donne ci-dessous quelques exemples de calculs effectués selon ces tables.

Exemple 1. Au cours de l'analyse du bronze à l'étain on dissout ce dernier dans de l'acide nitrique de densité d 1,2. On demande de préparer cette solution à partir de l'acide nitrique commercial ($d=1,4$) sans se servir de densimètre. La normalité de l'acide nitrique de densité 1,2 est de 6,273 N (Tableau 18,A) ; donc 1 l de cet acide doit renfermer 6,273 Eq-g. L'acide nitrique concentré de densité 1,4 a la normalité 14,88 N ; 1 l de cet acide renferme 14,88 Eq-g. La quantité requise (6,273) de HNO_3 en équivalents-

grammes est renfermée dans $\frac{6,273}{14,88} \cdot 1000 = 421,6$ ml d'acide nitrique concentré. Ayant prélevé ce volume d'acide, on le dilue avec de l'eau à 1 l, ce qui fournit un acide de densité 1,2.

Exemple 2. Au cours de l'analyse on ajoute à une solution neutre à analyser 5 ml de HNO_3 dilué au 1/4 que l'on neutralise avec de l'ammoniac. Combien de millilitres de solution ammoniacale concentrée (25 %) seront-ils consommés par la neutralisation ?

L'expression « acide nitrique dilué au 1/4 » signifie que 1 volume d'acide nitrique concentré de densité 1,400 a été dilué avec 4 volumes d'eau. L'acide concentré initial de densité 1,400 a eu la normalité 14,88 N. L'acide dilué aura évidemment la normalité $14,88 : 5 = 2,98$ N. On en a introduit 5 ml dans la solution à analyser, donc sa neutralisation nécessitera 5 ml de solution ammoniacale de normalité 2,98 N. La normalité d'une solution ammoniacale concentrée à 25 % est de 13,32 N (Tableau 18,I). Il en résulte que la neutralisation de l'acide nitrique consommera $\frac{5 \cdot 2,98}{13,32} = 1,12$ ml de solution ammoniacale concentrée.

Exemple 3. La prise d'essai de 1 g de roche est fondue avec 6 g de Na_2CO_3 anhydre dans un creuset en platine. L'alliage est lixivié avec de l'eau et acidifié avec de l'acide chlorhydrique dilué au 1/1. Combien de millilitres de cet acide est-il nécessaire d'ajouter pour la neutralisation complète de Na_2CO_3 et pour que l'excès d'acide ne soit pas important ?

$$6 \text{ g de } \text{Na}_2\text{CO}_3 \text{ font } \frac{6}{1/2 \text{Na}_2\text{CO}_3} = \frac{6}{52,9945} \text{ Eq-g}$$

$$\text{ou } \frac{6000}{52,9945} = 113,23 \text{ Eq-ml}$$

Pour la neutralisation il faut ajouter le même nombre d'équivalents-milligrammes de HCl. La normalité de l'acide chlorhydrique concentré de densité 1,190 est de 12,50 N, celle de l'acide dilué au 1/1 est de 6,25 N, c.-à-d. que 1 ml de ce dernier renferme 6,25 Eq-mg de HCl. Donc, la neutralisation de Na_2CO_3 nécessitera $\frac{113,23}{6,25} = 18,12$ ml d'acide chlorhydrique dilué au 1/1. Si l'on en verse 20 ml, l'excès d'acide sera suffisant.

Ces exemples montrent à quel point les calculs sont simplifiés lorsqu'on a la possibilité de convertir les concentrations des acides et bases de diverses expressions en leurs concentrations normales. A ces fins on peut se reporter au *Tableau 18*. La précision des données du *Tableau 18* est tellement grande qu'on peut les utiliser pour préparer des solutions titrantes d'acides et de bases en partant de la densité. Le titre de la solution obtenue par dilution doit être toutefois vérifié à l'aide d'une prise d'essai de substance initiale. On donne ci-après un exemple de calcul pour la préparation d'une solution titrante.

Exemple 4. Pour préparer une solution titrante de HCl 1 N, on a pris l'acide qu'on disposait au laboratoire, sa densité a été mesurée à l'aide d'un densimètre. La densité s'est trouvée égale à 1,082 g/cm³.

Dans le *Tableau 18*, C on trouve : la concentration d'un acide de densité 1,080 est de 4,878 N ; la normalité d'un acide de densité 1,085 est égale à 5,192 N. Par interpolation on obtient pour la densité 1,082 la normalité suivante :

$$4,878 + \frac{2}{5} (5,192 - 4,878) = 4,878 + \frac{2}{5} \cdot 0,314 = 5,004$$

Donc, il est nécessaire de diluer 1 volume d'acide de départ 5,004 fois. A ces fins on peut prendre, par exemple, 200 ml d'acide de densité 1,082, les transvaser dans un ballon jaugé à 1 l et diluer avec de l'eau jusqu'à la jauge puis y ajouter encore 0,8 ml d'eau (1 : 5,004 = 200 : 1000,8).

Tableau 19

Indicateurs de pH les plus importants

Pour effectuer des titrages volumétriques, il importe de choisir les indicateurs aux domaines de virage les plus étroits possibles. Ces indicateurs tels que l'azolithmine dont le domaine de virage s'étale sur un intervalle de 3 unités pH (de 5,0 à 8,0) ne sont pas aptes au titrage. On n'utilise presque pas les indicateurs dont les couleurs des deux formes sont les plus proches dans le spectre ; tels sont les indicateurs qui virent du rouge à l'orangé, de l'orangé ou l'orangé-rouge au jaune, du bleu-violet au bleu, etc. Ces dernières années, on a réussi à synthétiser les indicateurs qui changent brusque-

ment leur couleur en celle opposée dans le spectre aux domaines de pH très étroits, par exemple le jaune de nitrazine virant du jaune pour le pH 6,0 au bleu-violet pour le pH 7,0 ou le bleu de quinoléine virant de l'incolore pour le pH 7,0 au violet pour le pH 8,0.

La règle fondamentale à laquelle obéit la façon d'opérer le choix d'un indicateur pour les dosages volumétriques est la suivante : *l'indice de titrage pT d'un indicateur doit être le plus proche possible du pH qui s'établit dans la solution vers le terme du titrage, c.-à-d. lorsqu'on atteint le point équivalent.*

On appelle *indice de titrage pT* le pH auquel l'analyste observe nettement le virage indiquant le terme du titrage. C'est une valeur conventionnelle, différente selon les cas. Si l'œil décelait toujours nettement le moindre changement de couleur, le pT coïnciderait évidemment avec le début correspondant du virage de l'indicateur. Mais, puisqu'on termine généralement le titrage pour un changement de couleur plus net, on peut admettre que le pT dans le cas des indicateurs bicolores est déplacé à $1/4$ d'intervalle de sa limite correspondante *. Lorsqu'on opère avec des indicateurs unicolores (phénolphthaléine, nitrophénols), le pT presque coïncide avec le début du virage à condition qu'on utilise la même dilution de l'indicateur que celle utilisée pour établir le changement de sa couleur. Lorsqu'on effectue les analyses de haute précision, il importe de préparer à part une solution tampon ayant un pH coïncidant avec celui du point équivalent, on y ajoute l'indicateur et titre la solution à analyser jusqu'à ce que sa coloration ne coïncide avec celle d'une solution témoin.

Lorsqu'on titre un acide faible avec de la soude, il se forme alors au terme du titrage une solution de sel sodique de cet acide, du fait de l'hydrolyse cette solution possède une réaction alcaline. La constante de dissociation de cet acide étant connue, on peut calculer le pH de la solution obtenue et en le prenant en considération, choisir l'indicateur convenable. Il en est de même dans le titrage d'une solution de base faible avec un acide, on obtient alors un sel qui, par suite de l'hydrolyse, possède dans la solution une réaction acide.

Lorsqu'on titre avec de l'acide chlorhydrique une solution de sel d'un métal alcalin et d'un acide faible (Na_2CO_3 par exemple), cela aboutit à la formation d'un chlorure neutre de métal alcalin et d'un acide faible en état libre, la solution obtenue possède une réaction acide. La constante d'ionisation de cet acide étant connue, on peut calculer le pH de sa solution diluée qui sera obtenue au terme du titrage et choisir un indicateur convenable.

Lorsqu'on titre un acide fort avec une base forte (ou inversement) on obtient au terme du titrage une solution de sel neutre et non hydrolysable qui a le $pH \sim 7$. D'ailleurs, il n'est pas nécessaire d'utiliser l'indicateur changeant sa couleur au $pH \sim 7$, car même une goutte de réactif titrant

* Certains analystes estiment que pT se trouve juste au milieu du domaine de virage de l'indicateur.

déplace fortement le pH dans le domaine acide (si l'on titre avec l'acide) ou alcalin (si l'on titre avec la base). Dans de tels titrages on peut utiliser n'importe quel indicateur, mais si l'on titre avec un acide ou une base trop dilués (0,01 N par exemple) dont une goutte renferme très peu de réactif titrant, il faut éviter les indicateurs dont les domaines de virage sortent des limites de pH de 5 à 9.

Tableau 21

Dosage colorimétrique du pH des solutions

Pour un dosage colorimétrique du pH des solutions on n'utilise pas les indicateurs ayant les domaines de virage trop étroits. Les indicateurs bicolores y ont trouvé la plus large application, dans des domaines de pH assez étendus ils montrent les changements notables de teintes lorsque le pH varie de 0,1 à 0,2. On utilise également les indicateurs unicolores dont la couleur devient plus ou moins vive avec la variation du pH , tout en conservant sa teinte. Dans tous les cas on détermine la couleur de l'indicateur dans une solution à analyser et également dans une série de solutions tampons étalons au pH différent dont les valeurs sont trouvées préalablement par la méthode électrométrique. Le pH de la solution à analyser est égal à celui de la solution tampon dont la couleur est la plus proche de celle de la solution à analyser.

Au cours du dosage colorimétrique du pH on doit envisager des sources possibles des erreurs, en opérant le choix de l'indicateur, il faut en tenir compte.

a. *Effet des sels parasites.* Soit K_{ind} est constante d'ionisation de l'indicateur. Il en résulte que $K_{ind} = \frac{a_{H^+} a_{I^-}}{a_{HI}}$ où a_{I^-} est l'activité des anions

formés par l'indicateur ; a_{HI} , l'activité de sa partie non dissociée. Dans cet exemple l'indicateur est un acide, mais si l'indicateur est une base, le raisonnement ultérieur reste valable. En effet, ayant remplacé les activités par les produits des concentrations par les coefficients d'activité, on obtient :

$$\frac{[HI]f_0}{[I^-]f_1} = \frac{a_{H^+}}{K_{ind}}$$

où f_0 est le coefficient d'activité d'une partie de l'indicateur colorée ou incolore non dissociée ; f_1 , le coefficient d'activité des ions colorés ; les concentrations correspondantes sont indiquées entre crochets.

La coloration d'une solution est fonction du rapport $\frac{[HI]}{[I^-]}$, c'est la

raison pour laquelle les solutions ayant la même valeur de $\frac{[HI]}{[I^-]}$ ont le pH identique. Représentons l'expression donnée ci-dessus sous forme de

$$\frac{[HI]}{[I^-]} = \frac{a_{H^+} + f_1}{K_{ind} f_0}$$

Si les solutions possèdent une force ionique différente, la valeur de f_1 sera également différente (la valeur de f_0 le sera aussi, mais on peut négliger ce point). Le coefficient d'activité des ions décroît avec l'augmentation de la force ionique de la solution, donc f_1 décroît aussi. Pour la coloration persistante, c.-à-d. pour le rapport $\frac{[HI]}{[I^-]}$ constant, la valeur de a_{H^+} doit être

plus grande — la solution aura la même couleur en présence d'indicateur bien qu'elle soit plus acide. Par contre, pour une moindre force ionique de la solution f_1 augmente et de ce fait la valeur de a_{H^+} sera plus faible si la couleur de la solution ne varie pas. On détermine la valeur du pH des solutions tampons par la méthode électrométrique pour une force ionique égale à 0,1. Si la force ionique d'une solution à analyser est supérieure à 0,1 (la solution renferme une quantité importante de sels), la couleur de la solution sera celle de l'indicateur dans une solution tampon pour une acidité plus forte (le pH est plus faible). Il est donc nécessaire d'introduire une correction qui aurait dans ce cas une valeur négative. Si la force ionique d'une solution à analyser est inférieure à 0,1 (la solution ne renferme que peu de sels), cette dernière sera moins acide (le pH est plus élevé) et la couleur de l'indicateur sera celle d'une solution tampon ; la correction aura une valeur positive. Cette correction est appelée *correction de sel*. Il faut tenir compte de ce qu'elle ne dépend pas uniquement de la force ionique de la solution, mais aussi des propriétés individuelles de l'indicateur et du caractère des ions présents.

Si l'on utilise des indicateurs dont la forme acide est un ion mono-chargé et la forme basique, un anion bichargé (phénolphthaléine, sulfophthaléines), la correction sera alors plus importante que celle introduite dans le cas des indicateurs dont la forme acide est une molécule non dissociée et la forme basique, un anion monochargé (mononitrophénols). L'acide diméthylamino-azobenzosulfoné (orangé de méthyle) et l'acide diméthylamino-azobenzène-*o*-carboxylique (rouge de méthyle) donnent une erreur de sel très faible par suite de leur caractère amphotère, et c'est pour cette raison qu'ils présentent un certain avantage lorsqu'on effectue le dosage du pH dans des solutions ayant la teneur variable en sels. Si la force ionique de la solution est supérieure à 0,1, le caractère des ions formant les sels (valeur de leurs rayons ioniques) peut influencer considérablement sur la valeur de la correction.

b. Effet du pouvoir tampon de la solution. Les indicateurs qu'on utilise pour doser le pH des solutions sont eux-mêmes des acides ou des bases. Si la solution à étudier ne possède qu'un faible pouvoir tampon (eau pure, solutions de sels neutres dans de l'eau pure, solutions d'acides et de bases très faibles, etc.), l'indicateur peut modifier essentiellement le pH de cette solution.

Si, par exemple, on ajoute 0,1 ml de solution aqueuse de rouge de méthyle à 0,04 % à 10 ml d'eau pure, cette quantité infime d'indicateur ($K_{ind} = 1 \cdot 10^{-5}$) fait varier le pH de l'eau de 7,0 à 5,0.

Pour éviter la variation du pH lors de son dosage dans des solutions tampons faibles, on peut y ajouter une solution d'indicateurs ayant un pH égal à celui de la solution à analyser. Fawcett et Akri * appellent de telles solutions *solutions isohydriques*. On a mis en évidence le fait que l'addition à une solution à faible pouvoir tampon de *n'importe quelle* quantité de solution isohydrique d'indicateur n'implique pas de variation du pH . Sur cet effet est basée la méthode du dosage du pH de solutions de ce type. On prépare une série de solutions d'indicateur aux pH variés et on ajoute de la solution à analyser à chacune de ces solutions. La solution d'indicateur qui ne virera pas sera isohydrique par rapport à la solution à analyser.

c. Erreur due aux protéines. Plusieurs substances protéiques exercent une influence importante sur les indicateurs et rendent le dosage du pH tout à fait impossible en leur présence. Cette influence des substances protéiques est spécifique et dépend autant du caractère d'une protéine présente que de l'indicateur. C'est pourquoi en présence de protéines il ne suffit pas de partir uniquement des résultats du dosage colorimétrique du pH , il est nécessaire de les vérifier par la méthode électrométrique.

d. Autres sources des erreurs. En présence de colloïdes et parfois de particules dispersées, le virage de l'indicateur peut se produire du fait que l'une de deux formes (« acide » ou « basique ») de l'indicateur est sorbée à la surface des particules. La constante d'ionisation varie également à l'interface air-liquide. C'est par ce fait que s'explique un phénomène souvent observé : lors de l'agitation d'une solution d'indicateur la couleur d'une mousse formée diffère de celle de la solution. Si la solution renferme des particules d'une autre phase présentant un degré plus élevé de dispersion, il faudra vérifier les résultats du dosage du pH en utilisant deux indicateurs différents (acide ou basique) ou en confrontant ces résultats avec ceux du dosage électrométrique.

La couleur de l'indicateur varie considérablement au pH constant si l'on ajoute à la solution un solvant non aqueux tel que alcool, acétone, etc., ou si l'on fait varier la température.

* Ind. Eng. Chem., An. Ed., 2, 78 (1930).

Tableau 40

Potentiels normaux d'oxydation par rapport au potentiel d'électrode normale à l'hydrogène à 25 °C

Si une lame en métal noble est immergée dans une solution renfermant un oxydant et le produit de sa réduction, une différence de potentiel apparaît entre cette lame et la solution, que l'on appelle *potentiel d'oxydation d'un système donné*.

1. Pour le système qui est déterminé par l'équation



le potentiel d'oxydation par rapport au potentiel normal à l'hydrogène s'exprime par la formule

$$E = E^0 + \frac{RT}{nF} \ln \frac{a_{\text{Ox}}}{a_{\text{Red}}}$$

où R est la constante des gaz ;

T , la température absolue ;

n , le nombre d'électrons qui passent du réducteur à l'oxydant ;

F , le faraday = 96 500 C ;

a_{Ox} et a_{Red} , les activités des ions oxydant et réducteur en solution.

En remplaçant les logarithmes naturels par les logarithmes décimaux et en substituant les valeurs des constantes dans l'équation, on obtient à 25 °C

$$E = E^0 + \frac{0,0591}{n} \lg \frac{a_{\text{Ox}}}{a_{\text{Red}}}$$

Si $a_{\text{Ox}} = a_{\text{Red}}$, alors $E = E^0$. Le potentiel d'électrode immergée dans une solution renfermant les deux formes (oxydée et réduite) pour leurs activités égales est appelé *potentiel normal*.

2. Si la réduction d'un oxydant se déroule en présence d'ions hydrogène :



alors

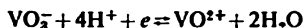
$$E = E^0 + \frac{RT}{nF} \ln \frac{a_{\text{Ox}} a_{\text{H}^+}^m}{a_{\text{Red}}}$$

Dans ce cas le potentiel dit normal sera celui d'une électrode immergée dans une solution renfermant les deux formes (oxydée et réduite) pour leurs

activités égales ainsi que les ions hydrogène pour leur activité égale à l'unité. Cela se rapporte aux systèmes tels que



ou

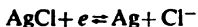


3. Si l'on détermine le potentiel entre le métal et la solution de son sel, c.-à-d. celui du système $\text{Me}^{n+} + ne = \text{Me}$ ($\text{Zn}^{2+} + 2e = \text{Zn}$, par exemple) et que l'activité d'une phase solide soit admise égale à l'unité, on aura :

$$E = E^0 + \frac{RT}{nF} \ln a_{\text{Me}^{n+}}$$

Alors $E = E^0$ pour $a_{\text{Me}^{n+}} = 1$. Le potentiel dit normal sera dans ce cas celui entre le métal et la solution de son sel lorsque l'activité d'ions métalliques est égale à l'unité.

4. Au cas où l'une ou les deux formes (oxydée et réduite) seraient des solides peu solubles ou des complexes, la quantité d'ions élémentaires qu'elles forment en solution sera très faible. Envisageons, par exemple, le système



Pour ce système on aura :

$$E_{\text{Ag}^+, \text{Ag}} = E_{\text{Ag}^+, \text{Ag}}^0 + \frac{RT}{F} \ln a_{\text{Ag}^+}$$

La valeur de a_{Ag^+} , l'activité des ions argent en solution, est une valeur très faible, dépendant du produit de solubilité du chlorure d'argent PS_{AgCl} et de l'activité des ions chlorure en solution :

$$a_{\text{Ag}^+} = PS_{\text{AgCl}} / a_{\text{Cl}^-}$$

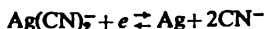
Si l'activité des ions chlorure est égale à l'unité, le deuxième membre de l'équation de potentiel prendra la forme :

$$E_{\text{Ag}^+, \text{Ag}}^0 + \frac{RT}{F} \ln PS_{\text{AgCl}} = E_{\text{AgCl}, \text{Ag}}^0$$

La valeur de $E_{\text{AgCl}, \text{Ag}}^0$ est le *potentiel normal* du système AgCl/Ag . On peut le considérer comme potentiel qui se forme dans le système renfermant des solides ou des complexes et dans lequel tous les ions qui interviennent dans le processus se caractérisent par l'activité égale à 1, *sauf les ions élémentaires séparés par précipités ou par complexes*.

L'équation citée ci-dessus permet de calculer les produits de solubilité des substances peu solubles d'après les valeurs mesurées des potentiels d'oxydation.

Citons un exemple où intervient un complexe. Envisageons le système



Pour ce système on aura :

$$E_{\text{Ag}^+, \text{Ag}} = E_{\text{Ag}^+, \text{Ag}}^0 + \frac{RT}{F} \ln a_{\text{Ag}^+}$$

La valeur de a_{Ag^+} est fonction de la stabilité du complexe $\text{Ag}(\text{CN})_2^-$ et est définie par sa constante d'instabilité $K_{\text{Ag}(\text{CN})_2^-} = \frac{a_{\text{Ag}^+} a_{\text{CN}^-}^2}{a_{\text{Ag}(\text{CN})_2^-}}$. Si la solution à étudier renferme des ions libres CN^- et des ions complexes $\text{Ag}(\text{CN})_2^-$ en concentrations pour lesquelles leurs activités sont égales à l'unité, on aura

$$K_{\text{Ag}(\text{CN})_2^-} = a_{\text{Ag}^+}$$

il en résultera

$$E_{\text{Ag}^+, \text{Ag}}^0 + \frac{RT}{F} \ln K_{\text{Ag}(\text{CN})_2^-} = E_{\text{Ag}(\text{CN})_2^-, \text{Ag}}^0$$

Cette formule et les formules analogues permettent de calculer les constantes d'instabilité des complexes d'après les résultats de dosages potentiométriques. Dans le *Tableau 40* est donnée une série de potentiels normaux des systèmes qui renferment les précipités et les complexes solubles.

5. Si dans le système d'oxydo-réduction cité ci-dessus l'une de ses formes est un gaz, l'activité de ce gaz sera fonction de sa pression et l'on pourra déterminer le potentiel normal de l'électrode dans laquelle ce gaz se trouve sous 1 atm ; les ions formés au cours de la réduction (ou l'oxydation) du gaz possèdent en solution une activité égale à l'unité.

L'équation de potentiel $E = E^0 + \frac{RT}{nF} \ln \frac{a_{\text{Ox}}}{a_{\text{Red}}}$ comprend les *activités* des ions des formes oxydée et réduite, mais pas leurs concentrations. On voit donc que les valeurs des potentiels dans deux solutions pour les mêmes concentrations en ions des deux formes peuvent toutefois différer, si la teneur totale de ces solutions en sels et la force ionique liée à celle-ci sont différentes. Le potentiel, par exemple, du système $\text{Ce}^{4+} + e \rightleftharpoons \text{Ce}^{3+}$ est égal à

$$E_{\text{Ce}^{4+}, \text{Ce}^{3+}} = E_{\text{Ce}^{4+}, \text{Ce}^{3+}}^0 + \frac{RT}{F} \ln \frac{a_{\text{Ce}^{4+}}}{a_{\text{Ce}^{3+}}} = E_{\text{Ce}^{4+}, \text{Ce}^{3+}}^0 + \frac{RT}{F} \ln \frac{[\text{Ce}^{4+}]}{[\text{Ce}^{3+}]} \cdot \frac{f_1}{f_2}$$

où f_4 et f_3 sont les coefficients d'activité des ions Ce tétra et trichargés. f_4 décroît beaucoup plus rapidement que f_3 avec l'augmentation de la force ionique de la solution, tandis que la valeur de E diminue. Il importe toujours d'en tenir compte lorsqu'on utilise les potentiels d'oxydation pour les calculs et raisonnements liés aux divers problèmes de la chimie analytique où l'on opère avec des solutions à haute force ionique.

Dans le *Tableau 40* sont représentés les potentiels de divers éléments aux degrés de valence différents, les potentiels de passage immédiat d'une valence supérieure à une valence inférieure (V^V-V^{II} , par exemple) et les potentiels de passage à gradins (V^V-V^{IV} ; $V^{IV}-V^{III}$; $V^{III}-V^{II}$). Ces potentiels sont liés entre eux par la *règle de Luther*: si un élément existe en trois degrés de valence m , n et p à condition que $m > n > p$, on aura :

$$(m-p)E_{m,p}^0 = (m-n)E_{m,n}^0 + (n-p)E_{n,p}^0,$$

où $E_{m,p}^0$, $E_{m,n}^0$ et $E_{n,p}^0$ sont les potentiels normaux de passage de m à p , de m à n et de n à p . Par exemple, Fe existe sous forme d'ions Fe^{3+} (valence 3), d'ions Fe^{2+} (valence 2) et sous forme de métal (valence 0). Selon la règle de Luther on aura :

$$3E_{Fe^{3+}, Fe}^0 = E_{Fe^{3+}, Fe^{2+}}^0 + 2E_{Fe^{2+}, Fe}^0$$

Plusieurs potentiels dont la détermination expérimentale est difficile ou impossible ont été calculés selon la règle de Luther.

Index

- Acétate**
 de n-butyle 392
 d'éthyle 396
 d'iso-amyle 392
Acétone 392
Acide
 acétique 396
 — densité et concentration des solutions 199, 206
 anthranilique 428
 bromhydrique
 — densité et concentration des solutions 206
 — utilisation pour extraction 410
 carminique 428
 chlorhydrique
 — densité et concentration des solutions 193-194
 — utilisation pour extraction 410
 chromotrope 245, 428
 dichloro-2,7-chromotrope 428
 éthylènediamine-tétracétique 345
 fluorhydrique
 — densité et concentrations des solutions 206
 indigomonosulfonique 372
 indigotétrasulfonique 372
 indigotrisulfonique 372
 iodhydrique
 — densité et concentration des solutions 206
 — utilisation pour extraction 410
 naphthionique 249
 naphtholdisulfonique 247, 248
 nitrique
 — densité et concentration des solutions 188-189
 — utilisation pour extraction 410
 perchlorique
 — densité et concentration des solutions 197-199
 N-phénylanthranilique 366
- Acide**
 phénylarsonique 430
 phénol-disulfonique-2,4 301
 phosphorique
 — densité et concentration des solutions 194-196
 picrique 208
 picrolanique 430
 quinaldinique 430
 quinique 245
 rosolique 222
 rubéanique 430
 salicylique 243, 430
 sulfosalicylique 282
 sulfurique 396
 — densité et concentration des solutions 190-192, 206
 thioglycolique 430
- Acides**
 constante de dissociation 317
 densités et concentrations des solutions 188-206
- Acidimétrie** 145
 indicateurs 564-566
- Acridine** 246
- Activité**
 coefficients 140-141
 — pour la force ionique élevée 142
 conversion du pH en 292
- Albéron** 430
- Alcalimétrie** 145
 indicateurs 564-566
- Alizarine** 430
 — S 216
- Aluminon** 430
- Ammoniac**
 densité et concentration des solutions 204, 205
- Analyse**
 gravimétrique
 — facteurs analytiques et stœchiométriques 80-87, 550-552

Analyse

- gazométrique 162
- calcul des résultats 162-185, 559-562
- Aniline 392
- Antilogarithmes 542-549
- Arsazène 434
- Arsénazo I 434
- Arsénazo III 434
- Azo-azoxy BN 436

Bases

- constantes de dissociation 317
- Bathoplénanthroline 436
- Benzène 392
- Benzène-azo-diphénylamine 210
- Benzidine 256
- Benzoflavine 241
- Benzopurpurine 4B 213
- α -Benzoinoxime 298, 436
- α -Benziledioxime 436
- Berrylon II 256, 438
- Bi-2,2'-cinchoninate de potassium 438
- Bis-salicylaléthylènediamine 438

Bleu

- d'alizarine BS 229
- de bromochlorophénol 215
- de bromocrésol 217
- correction de sel 233
- de bromophénol 215
- constante d'ionisation 235
- correction de sel 233
- de bromothymol 221
- constante d'ionisation 235
- correction de sel 233
- au chrome acide K 264
- de glycinethymol 260
- de méthylène 370
- de méthylthymol 270
- de Nil 228
- de quinoléine 223
- de thymol 211, 235
- constante d'ionisation 235
- correction de sel 233
- variamine B 258
- de xylénol 211

Bleu-noir

- Eriochrome B 290

Bromatométrie

- calcul des résultats 148
- Bromobenzothiazol 438
- Brucine 440
- Butanol 392
- n*-Butylamine 392
- Butylcellosolve 392

Calcium 297, 440

- S 440

Calces 262**Calcion 262****Calcone 262****Capacité**

- mesures 532
- Carbonate de sodium
- densité et concentration des solutions 205
- Carboxy-arsénazo 440
- p*-Carboxygallanilide 440
- Carmin d'indigo 231, 372
- Cérimétrie

- calculs des résultats 148

Chaleur

- mesures 533
- Chloroforme 396
- Chromatométrie
- calcul des résultats 148
- Chromazurol S 286
- Coefficients d'activité des ions 140-141
- Colorant de Patton-Reeder 276
- Colorations correspondant aux longueurs d'onde du spectre 376

Complexes

- constante d'instabilité 225

Complexone III 442**Composés organiques**

- séparation 411-423

Constantes

- de dissociation des acides et des bases 317
- d'instabilité des ions complexes 326-345
- d'ionisation des indicateurs 235

Correction(s)

- de sel 567
- due aux protéines 568
- des indicateurs 233

Coumarine 249***o*-Crésolindophénol 370*****o*-Crésolphtaléine 225****Crysoïdine 218****Cupferron 442**

- utilisation dans l'extraction 316

Curcumine 225, 442**Cyclohexane 396****Cyclohexanedionedioxime-1,2 442****Cyclohexanol 396****Cyclohexanone 396****Datiscétine 444****Davis**

- formule de 142

Décadine 392**Densité**

- des gaz et des vapeurs 142
- des solutions 562-564

Dessiccation

- des gaz 424
- des liquides 425

- Dialyldithiocarbamidohydrazine 444
 Diamino-3,3'-benzidine 444
o-Dianizidine 368
 Diantipyrilméthane 446
 Dibromo-2,6-benzolindophénol 370
 Dichlorobenzène 394
 Dichloréthane 394
 Dichloro-3,6-fluorescéine 253
 Dichloro-2,6-phénolindophénol 370
 Dicyanehydroquinone-2,3 247
 Diéthylthiocarbamate de sodium 446
 Dihydroxy-3,6-phthalimide 246
p-Diméthylaminobenzylidène-rhodanine 446
p-Diméthylaminophénylfluorone 446
N, *N'*-Diméthylbiacridène 250
 Diméthylglyoxime 448
 Diméthylnaphtéurhodine 244
 Diméthyl-3,3'-naphthidine 260
 Diméthyl-5,6-phénanthroline 368
 α -Dinitrophénol 214, 234
 constante d'ionisation 164
 β -Dinitrophénol 214, 234
 constante de dissociation 234
 γ -Dinitrophénol 217, 234
 constante de dissociation 234
 Dioxane-1,4 394
 Diphenylamine 368
 Diphenylaminosulfonate 368
 Diphenylbenzidine 368
 Diphenylcarbazine 253, 448
 Diphenylcarbazon 448
 Diphenyl-1,3-propanedione-1,3 305
 Dipicrylamine 448
 Dipyrindyle-2,2' 366, 448
 Diquinolyle-2,2' 448
 Diquinolyle-8,8'-disulfure 448
 Dithiol 450
 Dithione 448
 utilisation dans l'extraction 398
 Dosage
 colorimétrique 566-568
 volumétrique 184-185
 Eau 392
 pression de vapeur 181
 produit ionique 232
 Echelle des tamis 483
 Electrode(s)
 au calomel 314, 315
 à goutte de mercure 484-488
 indicatrices 512-527
 normale à hydrogène 307
 à quinhydrone 313, 315
 potentiels 306
 — normaux 307
 de référence 307
 pour la surtension de l'hydrogène et
 de l'oxygène 528
 Éléments radioactifs 20
 Énergie
 mesures 533
 Éosine 243
 Équivalent 553
 métrique 532-533
 Équivalent-gramme 554
 Équivalent-milligramme 554
 Eriochrome-cyanine R 290, 450
 Erythrosine 244
 Esculine 242
 Ethanol 396
 Ethanolamine 396
 Ethoxy-4-acridone 242
p-Ethoxycrysodine 366
 Ethyl-*bis*-(dinitro-2,4-phényle)-acétate 225
 Ethylène-glycol 396
 Eucrysine 3R 248
 Extraction 398-410
 Facteurs
 analytiques 80-87
 stœchiométriques 80-87
 Floxine 243
 Fluorescéine 245
 Fluorexone 284
 Formation des complexes 154-155
 Furfural 396
 α -Furyldioxime 452
 Fuchsine 255
 Gallion 452
 Gallocyanine 452
 Gaz
 dessiccation 424
 densités 182
 réduction du volume aux conditions
 normales 164-181
 Glycérine 392
 Glyoxal-*bis*-(hydroxy-2-anile) 258
 Groupes analytiques de cations 30
 Hémathoxyline 218
n-Hexane 392
 Hydrogène
 surtension sur l'électrode 528
 Hydroxocomplexes 316
 Hygrostats
 préparation 426-427
 Indicateurs
 acide-base 207
 d'absorption 252-256
 bicolores 235
 de chimiluminescence 250-251
 de complexométrie 256-291

Indicateurs

- constantes de dissociation 234
- corrections de sel 233
- de fluorescence 241-249
- mixtes 236-238
- d'oxydo-réduction 366-375
- solution isohydrique 568
- unicolores 234
- universels 239-240

Indice

- d'hydrogène Voir pH
- de titrage *pT* 236-238

Iodéosine 218**Iodométrie**

- calcul des résultats 148
- coefficients d'activité 142

Ions complexes 326-345

- mobilité 346

Jaugeage de verrerie 143-144**Jaune**

- d'alizarine GG 229
- d'alizarine R 213
- d'alizarine RS 229
- métanile 210
- de méthyle 214
- de naphtol 272
- de nitrazine 220
- de titane 452

Liquides

- dessiccation 425

Logarithmes 534-541**Longueur**

- mesures de 532

Lophine 250**Lucigénine 251****Luminol 251****Lumogallion 454****Lumomagnésion 454****Luther**

- règle de 572

Magnésion 268

- CIS 454

Masse

- mesures 532

Masses

- atomiques 31
- moléculaires 31

Mercaptobenzthiazole 454**Mercaptophénylthio-thiodiazolone 456****Mercapto-8-quinoléine**

- sel sodique 456

Méthanol 394

- à dissoudre 394

Méthyléthylcétone 394**Méthylisobutykétone 394** **β -Méthylombelliférone 241****Méthodes photométriques de dosage des divers ions 377-391****Mobilité des ions 346****Monochlorobenzène 396****Morine 248, 456****Muréxide 272, 456** **β -Naphtol 247** **α -Naphtolbenzoline 207** **α -Naphtolphtaléine 224** **β -Naphtoquinoléine 246, 456** **α -Naphtylamine 245** **β -Naphtylamine 244****Naphtylaminesulfamide-1,5 242****Naphtylazoxine 272****Nitchromazo 458****Nitrobenzène 394****Nitron 458****Nitro- α -phénanthroline 366*****m*-Nitrophénol 223, 234**

- constante d'ionisation 234

***p*-Nitrophénol 221, 234**

- constante d'ionisation 234

o*-Nitrophénol 219** **α -Nitroso- β -naphtol 458** **β -Nitroso- α -naphtol 460*Noir**

- au chrome acide spécial 266

Eriochrome T 290**Normalité 553****Octane 394****Ombelliférone 247****Orangé**

- d'acridine, base de 195

- de benzyle 213

- de diphenyle 164

- G 230

- de méthyle 215, 235

- constante d'ionisation 235

- correction de sel 233

- xylénol 268

Oxydants 148**Oxydo-réduction 148**

- calcul des résultats 148-153

Oxygène

- surtension sur l'électrode 528

Oxyquinoléates 408-409**8-Oxyquinoléine 460**

- utilisation dans l'extraction 408

Patton-Reeder

- colorant de 276

pH

- conversion en activité des ions hydrogène 292
- dosage colorimétrique 233
- électrométrique 311-315
- de précipitation des hydroxydes de métaux 316

Phénanthroline-1,10 360, 460

Phénazo 460

Phénolphtaléine 226

- correction de sel 233

Phénosafranine 255, 374

Phénylfluorone 462

Point équivalent 565

Potasse

- densité et concentration des solutions 200-201

Potentiels

- de décomposition 530
- des demi-vagues polarographiques 484-489
- d'électrode 306-310
 - détermination 306
 - de référence 307
- d'ionisation 27-29
- ioniques des cations 30
- normaux 307
- d'oxydation 347-365, 569-572

Pourpre

- de bromocrésol 220, 235
- constante d'ionisation 235
- correction de sel 233
- de *m*-crésol 210

Pouvoir tampon des solutions 568

Précipitation

- des complexes 154-155
- des hydroxydes de métaux 316

Produit

- ionique d'eau 232
- de solubilité 125

Propanol 394

Puissance

- mesures 533

Purpurine 462

Pyridine 394

(Pyridyl-2-azo)-1-naphtol-2 274

(Pyridyl-2-azo)-4-résorcine 276

Pyrogallol 462

Quinalizarine 462

Quinine 245

Rayons ioniques 21-26

Réactifs

- densité et concentration 206
- dissimulants 158
- organiques 428-482

Réducteurs 149

Règle(s)

- de calcul 9-14

de Luther 572

Rhodamine 6G 254

Rose

- bengale 252

d'hydroxyhydroquinone 274

Rouge

- d'alizarine S 216, 252, 464

de bromophénol 219

de bromopyrogallol 258

de chlorophénol 219, 235

— constante d'ionisation 235

Congo 216

de crésol 209, 224

Eriochrome B 290

Eriochrome RE 264

de méthyle 217

— constante d'ionisation 235

— correction de sel 233

de α -naphtyle 217

neutre 222

pentaméthoxy 211, 234

— constante d'ionisation 234

de phénol 223, 235

— constante d'ionisation 235

— correction de sel 233

de pyrogallol 278

de quinaldine 234

— constante d'ionisation 234

Safranine T 374

Salicylal- α -aminophénol 466

Salicylaldoxime 466

Sel-nitroso R 466

Séparation

- des composés organiques 411-423

des mélanges 422-423

Solubilité

- dans l'eau 89

dans les solvants organiques 120-124

Solutions

- absorbantes 181

— pression de vapeur 181

concentration 188-205

densités 188-205

force ionique 142

mise en titre 554

normalité 553

tampons 293-302

— acéto-acétiques 303

— à partir des substances individuelles 305

— universels 304

Solvants 392, 398-403

Sonde

- densité et concentrations des solutions 202-204

SPADNS 280**Spectre**

longueurs d'onde 376

SS-acide 249**Stilbazo 466****Stilbexon 468****Sulfarsazène 280, 468****Sulfonazo 282, 468****Sulfosalicylate de sodium 470****Sulfure de carbone 396****Sur tension de l'hydrogène et de l'oxygène 528****Tanin 470****Tartrazine 254****Tétrachlorure de carbone 396****Tétraline 396****Tétraphénylborate de sodium 470****Thio-acétamide 470****Thionalide 472****Thionine 370****Thio-urée 284, 472****Thymolphthaléine 227**

correction de sel 235

Thymolphthaléxone 282**Thymolsulfophthaléine 233****Tirone 284****Titrage**

acide-base 145

— calcul des résultats 145

ampérométrie 490-511

— avec deux électrodes indicatrices 512-527

indicateurs 207-231, 564-566

o-Tolidine 472**Toluène 396****Toron 284, 472****Tosylamino-8-quinoléine 474****Tournesol 217****Trinitro-1,3,5-benzène 231****Trinitro-2,4,6-toluène 230****Tropéoline 0 229****Tropéoline 00 211****Tropéoline 000 225****Vapeurs**

densité 182

Vert

brillant 474

de chromoxane GG 288

de diamine 225

foncé au chrome acide G 264

malachite 209

de méthyle 208

Violet

cristallisé 474

de méthyle 207, 209, 211, 474

de β -naphtol 228

de pyrocathécol 278

Volume

mesures 532

Xylène 394**p-Xylénolphtaléine 225****Zincon 288****Zirconon 476**

L'équilibre chimique et les vitesses des réactions sous hautes pressions

Cette monographie due au professeur M. Gonikberg, docteur ès sciences chimiques, est consacrée aux principes théoriques du déroulement des réactions chimiques sous hautes pressions.

De nombreux exemples illustrent l'influence exercée par la pression sur l'équilibre et la vitesse des réactions. Certains nouveaux effets des hautes pressions en chimie sont également examinés: accélération considérable des réactions en cas d'empêchement stérique; reconstruction des nuages électroniques des atomes de certains éléments; synthèse des diamants artificiels et d'autres minéraux.

Une attention particulière est accordée à la vitesse des processus chimiques complexes, à la composition de leurs produits, notamment à la réaction de polymérisation.

Le livre traite également de l'application des hautes pressions pour l'étude de la structure et des propriétés des complexes activés et du mécanisme réactionnel.

Cet ouvrage présentera certainement un intérêt pour de nombreux lecteurs préoccupés par les problèmes modernes de la chimie. Il sera également utile aux chercheurs travaillant dans ce domaine.